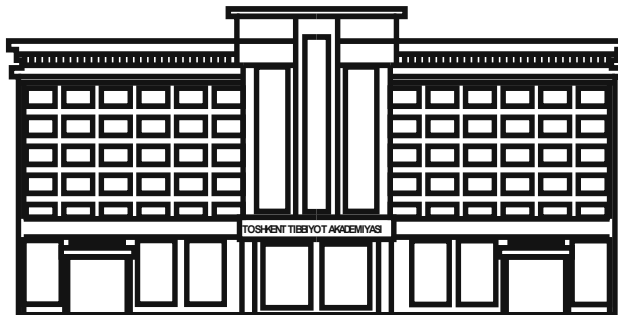


**ЎЗБЕКИСТОН РЕСПУБЛИКАСИ СОҒЛИҚНИ САҚЛАШ ВАЗИРЛИГИ
ТОШКЕНТ ТИББИЁТ АКАДЕМИЯСИ**

2016. №4

2011 йилдан чиқа бошлаган

TOSHKENT TIBBIYOT AKADEMIYASI АҲВОРОТНОМАСИ



ВЕСТНИК ТАШКЕНТСКОЙ МЕДИЦИНСКОЙ АКАДЕМИИ

Тошкент

ТАҲРИР ҲАЙЪАТИ

Бош муҳаррир

проф. Л.Н. Туйчиев

Бош муҳаррир ўринбосари

проф. А.Ш. Ваисов

Маъсул котиб

б.ф.д. Иноятова Ф.Х.

Таҳрир аъзолари

проф. Аляви А.Л., проф. Бахритдинова Ф.А.,

проф. Гадаев А.Г., акад. Даминов Т.А., акад. Каримов Ш.И.,

проф. Комилов Х.П., проф. Мавлянов И.Р., проф. Нажмутдинова Д.К.,

проф. Тешаев О.Р., проф. Шайхова Г.И.

Таҳрир кенгаши

проф. Агзамходжасаев Т.С. (Тошкент)

проф. Азимов М.И. (Тошкент)

проф. Азизов Н.К. (Тошкент)

проф. Акилов Ф.О. (Тошкент)

проф. Асамов Р.Э. (Тошкент)

проф. Ахмедов Р.М. (Бухоро)

проф. Аюпова Ф.М. (Тошкент)

проф. Бобожонов Б.Д. (Тошкент)

проф. Гиясов З.А. (Тошкент)

проф. Закирходжасаев Ш.Я. (Тошкент)

проф. Ирсалиев Х.И. (Тошкент)

проф. Камилов А.И. (Тошкент)

проф. Каримов М.Ш. (Тошкент)

проф. Каюмов У.К. (Тошкент)

проф. Курбанов Р.Д. (Тошкент)

проф. Мавлянходжасаев Р.Ш. (Тошкент)

проф. Мамасолиев Н.С. (Тошкент)

проф. Наврузов С.Н. (Тошкент)

проф. Назыров Ф.Г. (Тошкент)

проф. Охунов А.О. (Тошкент)

проф. Парниева Н.Н. (Тошкент)

проф. Рахимбаева Г.С. (Тошкент)

проф. Рустамова М.Т. (Тошкент)

акад. Саатов Т.С. (Тошкент)

проф. Сабирова Р. А. (Тошкент)

проф. Халиков П.Х. (Тошкент)

проф. Ходжисебеков М.Х. (Тошкент)

проф. Шомирзаев Н.Х. (Тошкент)

ЗАБОЛЕВАНИЯ ПАРОДОНТА У ЛИЦ ПОЖИЛОГО И СТАРЧЕСКОГО ВОЗРАСТА (ОБЗОР ЛИТЕРАТУРЫ)

Асадуллаев Н.С., Сафаров М.Т.

КЕКСА ОДАМЛАРДА ПАРОДОНТИТ КАСАЛЛИГИ (АДАБИЁТЛАР ШАРХИ)

Асадуллаев Н.С., Сафаров М.Т.

PERIODONTAL DISEASES IN ELDERLY AND SENILE AGE PEOPLE (LITERATURE REVIEW)

Asadullaev N.S., Safarov M.T.

Ташкентский государственный стоматологический институт

Адабиётлар таҳлили шуни қўрсатдики, сурункали пародонтитда ривожланиши оғиз бўшлиғида ҳимоя иммун механизмиларини мухим бузилиши билан бирга кузатилганда, қон ҳужайралари таркибида маҳаллий ўзгаришлар намоён бўлади (шу жумладан миқдорий нисбатда популяция ва субпопуляция лимфоцитлар), ҳамда сўлакдаги иммуноглобулин ва цитокинлар йигилмаси. Бу ўзгаришлар, маҳаллий яллиғланиши ва иммун мудофаа механизmlарини фаоллаштириш жараёнларини акс эттиради. Соматик потология айниқса коморбид ҳолати кекса беморларда дентал мақомига таъсир ва бадандаги даволаш. Шунинг учун, даволашга комплекс ёндашувни режалаштириш ва уни баҳолашда гериатрик беморларга полиморбид ҳолат.

Калит сўзлар: периодантал касаллик, кекса беморлар, соматик потология.

Analysis of the literature has shown that development of chronic periodontitis is accompanied by significant violation of the immune defense mechanisms of the oral cavity, which are manifested by local changes in the composition of gingival blood cells (including the proportion of populations and subpopulations of lymphocytes), as well as contents of immunoglobulins and cytokines in saliva. These changes reflect the processes of local inflammation and activation of immune mechanisms of protection. Somatic pathology and especially comorbid conditions in patients of elderly and senile age influence on dental status, and results of somatic treatment. Therefore, an integrated approach to treatment planning and prediction of its effects in geriatric patients with polymorbidity is important.

Key words: periodontal diseases, geriatric patients, somatic pathology.

В современной стоматологии здоровье полости рта лиц пожилого и старческого возраста представляет собой проблему особой важности. При определении стратегии стоматологического обслуживания населения следует исходить из приоритетов, определяемых демографической ситуацией и ее развитием, эпидемиологически обоснованной потребностью в стоматологической помощи, а также ее эффективностью. При этом необходимо учитывать отношение пожилых людей к состоянию полости рта, пониженным интересом к жизни, их восприятие стоматологического обслуживания. За рубежом давно существует мнение о том, что стоматологическое обслуживание лиц пожилого и старческого возраста, как и детей, должно рассматриваться как приоритетное. При этом следует учитывать, что состояние полости рта человека отражает его здоровье, социальный, психологический, экономический статус, а также возрастные изменения.

Увеличение доли пожилых и старых людей в структуре населения в мире, в том числе и в нашей стране, является одной из важнейших проблем здравоохранения начало XXI века [4,32,75]. Такое изменение демографической ситуации определяет приоритетность геронтостоматологического направления современной медицины. На стоматологический статус пациента, прежде всего, влияет уровень его общего здоровья, характер возрастных изменений, а также экономические причины, определяющие доступность стоматологической помощи [46,55]. Эти факты указывают на важность дифференцированного подхода к возможности и эффективности реабилитации пожилого пациента.

Взаимосвязи соматической и стоматологической патологии у лиц пожилого и старческого возраста широко обсуждаются в литературе [1,2,66,71,72,76]. Однако подавляющее большинство исследований касаются связи стоматологического статуса и лишь отдельных пато-

логий внутренних органов. В тоже время известно, что в старших возрастных группах значительно выше не только заболеваемость, но и количество заболеваний у каждого пациента [50,58,78,81]. В среднем у каждого человека пожилого или старческого возраста при обследовании выявляется по три-пять болезней [56]. Однако ряд особенностей патологических и адаптационных процессов полости рта у лиц гериатрического профиля, отягощенных хроническими заболеваниями внутренних органов и особенно их сочетанием, изучены недостаточно.

По данным мировой литературы, распространенность заболеваний пародонта достигает 98%. Наиболее часто встречается хронический пародонтит: среди лиц в возрасте до 35 лет – у 25-40%, после 40 лет – у 80-90% [6,17,18,24,34,35,42,65], а среди людей пожилого возраста – у 100% [3,7,8,23]. В пожилом возрасте болезни пародонта являются причиной потери зубов, вследствие чего возникают различные изменения в височно-нижнечелюстном суставе, нарушения жевания, речеобразования [14,36].

Некоторые исследователи указывают на то, что для лиц старше 40-45 лет и пожилого возраста характерно тяжелое течение пародонтита [18,29,35,42]. В то же время считается, что тяжелая степень заболевания не столь распространена, как это принято считать. Однако прогрессирующее течение болезни все же отмечается почти у 15-20% лиц данной возрастной категории [8,12,55A,74].

Значимость патологии пародонта определяется не только распространностью и тяжестью заболевания, отрицательным влиянием на организм в целом, но и малой эффективностью проводимого лечения [18,19,34,35,68,80]. Одной из причин недостаточной эффективности и безопасности лечения является снижение иммунобиологической реактивности организма. В результате острые процессы переходят в хронические, укорачивается период ремиссии [33].

На фоне ухудшения экологической обстановки, роста аллергических заболеваний среди населения актуальной проблемой остается поиск как новых методов терапии хронического пародонтита, так и средств контроля их лечебной эффективности [65].

Проведено достаточно большое количество исследований по выявлению механизмов альтерации тканей пародонта при воспалительных заболеваниях пародонта, выявлено первостепенное участие в них высокоактивного микробного фактора агрессии при снижении общих и местных факторов резистенции [20].

Среди многих факторов, обуславливающих возможность возникновения и определяющих течение хронического пародонтита, важнейшим является состояние местных механизмов защиты ротовой полости [9,10,65]. Одновременно пародонтит рассматривается не только как локальное воспаление пародонта, вызванное микрофлорой «зубной» бляшки, но и как реакция всего организма на воздействие бактериальной инфекции [16]. С другой стороны, очевидно, что в патогенезе генерализованного пародонтита существенную роль играют системные процессы, приводящие к глубоким изменениям внутренней среды организма и, как следствие, к структурному поражению тканей пародонта [41].

Бактериальная flora «зубных» бляшек рассматривается в настоящее время как первый фактор, вызывающий воспалительную реакцию при гингивите и пародонтите. Воспалительные заболевания тканей пародонта, как правило, сопровождаются дисбиозом полости рта, выраженная которого соответствует степени поражения пародонта. Используемые в стоматологической практике антибиотические и антисептические препараты оказывают на все звенья микробиоценоза полости рта тотальное воздействие. При этом на фоне сильного роста концентрации патогенных видов микроорганизмов содержание нормальной микрофлоры резко уменьшается [21,47].

Воспалительные заболевания пародонта, протекающие на фоне соматической патологии, имеют длительное хроническое течение, зачастую устойчивое к лечению и, несмотря на совершенствование методов диагностики, широкий арсенал консервативных и хирургических методов лечения и возросшее внимание к профилактике, остаются значимой проблемой современной стоматологии [15,61,68].

В настоящий момент выделен ряд общесоматических факторов, сопровождающих и влияющих на развитие воспалительных заболеваний пародонта: патология сосудистой системы, атеросклероз, болезни ЛОР-органов, эндокринная патология, заболевания желудочно-кишечного тракта, патология желчевыводящих путей [15,45,52,70,77]. Эти точки зрения объединяет мысль о том, что ткани пародонта стереотипно реагируют сдвигами в своих структурных образованиях под влиянием самых разнообразных изменений в организме.

Параллельно со структурными изменениями в связочном аппарате зуба при болезнях пародонта происходят значительные сдвиги микроциркуляции: повышение проницаемости, вазодилатация, тромбоз в микрососудистом русле [42,81]. Нарушения микроциркуляции в тканях пародонта – явление, определяемое многими авторами как одно из звеньев патогенеза и влияния соматического заболевания на ткани пародонта [68]. Следствие этого – дезинтеграция гликозаминогликанов, изменение резистентности коллагена, реактивности пародонта и общей реактивности организма [34]. О состоянии микроциркуляции с определенной долей вероятности можно судить по результатам исследования реологических свойств крови и компонентов системы гемостаза [38]. Исследования по-

казателей коагуляционного звена системы гемостаза при пародонтите выявляют снижение скорости образования протромбина и тромбина, возрастание содержания в крови свободного гепарина, тенденцию к уменьшению активности фактора XII и угнетению фибринолиза [39,57].

В патогенезе пародонтоза важную роль играют патологические изменения, возникающие в микроциркуляторном русле бассейна в результате воздействия экзо- и эндогенных факторов. У больных пародонтозом отмечаются сопутствующие заболевания, в частности гипертоническая болезнь [13,22], основным симптомом которой считают устойчивое повышение уровня артериального давления [30,48]. В начальном периоде выявляются гипертонус сосудов микроциркуляторного русла и неравномерность кровотока. Прогрессирование процесса сопровождается необратимыми патологическими изменениями структуры сосудистой стенки и нарастанием ее отечности, что вызывает сужение просвета сосудов [25].

Аналогичные нарушения возникают и в сосудах тканей пародонта. Дистрофические и продуктивные изменения гладкомышечного слоя артериол тканей пародонта у больных пародонтозом сочетаются с одновременным утолщением подэндотелиальной базальной мембранны, что обусловливает сужение просвета резистивных сосудов. При прогрессировании заболевания в процесс вовлекаются капилляры, в которых, наряду с адаптивными, развиваются и патологические нарушения [40]. Таким образом, наблюдается общность характера изменений сосудов пародонта и всего микроциркуляторного русла у больных с гипертонической болезнью [31].

Анатомо-физиологическая близость тканей пародонта и пищеварительного тракта, общность иннервации и гуморальной регуляции создают предпосылки к вовлечению пародонта в патологический процесс при заболеваниях органов желудочно-кишечного тракта [15]. Исследование патогенетических взаимосвязей и взаимовлияний заболеваний внутренних органов и пародонта представляется актуальной проблемой как стоматологии, так и гастроэнтерологии.

При заболеваниях желудочно-кишечного тракта наблюдаются поражения органов полости рта [5]. Установлено, что воспалительно-деструктивные изменения тканей пародонта протекают значительно активнее на фоне язвенной болезни [15,61]. Результаты иммунологических исследований, проведенных у таких пациентов, свидетельствуют о том, что изолированный патологический процесс сопровождается существенными изменениями местного иммунитета [62,63].

Заболевания желудка и двенадцатиперстной кишки – гастродуодениты, язва желудка и двенадцатиперстной кишки – нередко обнаруживаются при обследовании пациентов с тяжелыми, рефрактерными формами воспалительных заболеваний пародонта. Выводы ученых изменились параллельно с эволюцией взглядов на этиологию и патогенез язвенной болезни желудка и двенадцатиперстной кишки [51].

Кроме того, терапия язвенной болезни включает прием антибиотиков, которые снижают иммунитет, ведут к образованию устойчивых штаммов бактерий, нарушению биоценоза полости рта [33,68]. Поэтому рациональная терапия стоматологических заболеваний на фоне язвенной болезни предусматривает учет показателей, определяющих иммунитет полости рта, и включение иммунокорригирующих препаратов [35,43].

Изменение состава и физических свойств слюны, происходящее при заболеваниях желудочно-кишечного тракта, рассматривается как прямая и косвенная причины поражения пародонта, а тяжесть течения заболевания же-

лудка и двенадцатиперстной кишки определяет тяжесть хронического генерализованного пародонтита [27,51,53].

До настоящего времени вопрос о роли диффузной нейроэндокринной системы в патогенезе воспалительных заболеваний пародонта и заболеваний желудочно-кишечного тракта до конца не изучен. Клетки диффузной нейроэндокринной системы расположены во всех органах желудочно-кишечного тракта, они регулируют функции пищеварения, участвуют в трофических процессах, регенерации и пролиферации [60].

Тесно связаны с функциями диффузной нейроэндокринной системы тучные клетки полости рта, в которых синтезируются биологически активные вещества, – гистамин, гепарин, лейкотриены, мелатонин и серотонин [37]. Участие тучных клеток в регуляции воспаления и регенерации тканей обуславливает повышенный интерес исследователей к изучению их роли в возникновении и течении воспалительных заболеваний пародонта [73,82]. Функциональная активность тучных клеток не может не изменяться в условиях патологии пищевода, желудка и билиарного тракта [54].

Общей патоморфологической картиной, определяющей течение и прогноз хронического заболевания, в том числе и пародонтита, является выраженность нарушений клеточного обновления эпителиоцитов пищеварительного тракта, что может быть использовано как с целью до-клинической диагностики заболевания, так и для определения его течения и прогноза [11].

Изучение роли *Helicobacter pylori* в становлении и течении заболеваний верхнего этажа пищеварительного тракта и его связи с клеточным обновлением эпителиоцитов и компонентами диффузной нейроэндокринной системы может явиться основой для построения стройной системы этиопатогенеза хронического пародонтита [11].

Развитие хронического пародонтита сопровождается существенными изменениями состояния иммунных механизмов защиты ротовой полости, проявляющимися местными изменениями состава клеток крови десны (в том числе количественного соотношения популяций и субпопуляций лимфоцитов), а также содержания в слюне иммуноглобулинов и цитокинов. Эти изменения, варьирующие в зависимости от степени повреждения пародонта, отражают процессы местного воспаления и активации иммунных механизмов защиты [9,67].

При изучении концентрации цитокинов в полости рта получены достоверные сведения о снижении местного иммунитета полости рта у больных хроническим генерализованным пародонтитом на фоне язвенной болезни. При хроническом генерализованном пародонтите в тканях пародонта развивается поликлональная активация В-лимфоцитов, что привлекает в зону поражения нейтрофильные лейкоциты. Последнее в условиях активации В-лимфоцитов приводит к неадекватному ответу на присутствие патогенных микроорганизмов [44,62,63].

Таким образом, соматическая патология и особенно коморбидные состояния у пациентов пожилого и старческого возраста определяют, как стоматологический статус, так и результаты соматического лечения. Поэтому важен комплексный подход к планированию лечения и прогнозированию его эффекта у гериатрических больных с полиморбидными состояниями.

Литература

- Агзамходжаев С.С., Гайбулаева Ю.Х. Распространенность и интенсивность кариеса зубов у лиц пожилого и старческого возраста // Мед. журн. Узбекистана. – 2008. – №1. – С.54-56.
- Акулович А.В., Орехова Л.Ю. Зубы на склоне лет (геронтостоматология) // Мир медицины. – 1997. – №8. – С.29-30.
- Алимский А.В. Особенности распространения заболеваний пародонта среди лиц пожилого и преклонного возраста // Стоматология для всех. – 2000. – №2. – С.46-49.
- Анисимов В.Н. Фундаментальная геронтология на рубеже век // Клин. геронтол. – 2000. – №1. – С.25-32.
- Банченко Г.В. Сочетанные заболевания слизистой оболочки полости рта и внутренних органов. – М.: Медицина, 1979. – 190 с.
- Барер Г.М. Заболевания слизистой оболочки полости рта. – М.: ГЭОТАР-Медиа, 2005.
- Борисова Е.Н. Индивидуальные факторы, способствующие развитию заболеваний пародонта у лиц пожилого и преклонного возраста // Стоматология для всех. – 1999. – №4. – С.36-37.
- Борисова Е.Н. Социальные и клинические аспекты заболеваний пародонта у людей пожилого возраста // Профилактика заболеваний и укрепление здоровья. – 2001. – №2. – С. 31-36.
- Булагакова А.И. Совершенствование местной терапии хронического генерализованного пародонтита: Автореф. дис. ... канд. мед. наук. – М., 1999. – 22 с.
- Булгакова А.И., Медведев Ю.А., Чемиковская Т.О., Валеев И.В. Влияние пи бактериофага поливалентного и интерферона на лечение хронического генерализованного пародонтита // Иммунол., аллергол., инфектол. – 2000. – №2. – С. 2-4.
- Булкина Н.В. Хронический пародонтит при заболеваниях органов пищеварения: клинико-инструментальные, морфологические и иммунологические критерии возникновения и прогнозирования течения: Автореф. дис. ... д-ра мед. наук. – Волгоград, 2005.
- Виллерсхайзен-Ценхен Б., Глейснер К. Заболевания пародонта у пожилых пациентов // Клин. стоматол. – 1998. – №2. – С. 56-63.
- Вишняк Г.Н. Патогенез и клиника пародонта при патологии полового созревания: Автореф. ... д-ра мед. наук. – Киев, 1974. – 30 с.
- Воложин А.И., Логинова Н.К. Патофизиология пародонта. – М.: Изд-во ММСИ, 1994.
- Григорян А.С. Системная концепция пародонтита Окушко В.Р. // Новое в стоматологии. – 2002. – №8 (108).
- Грудянов А.И. Принципы организации и оказания лечебной помощи лицам с воспалительными заболеваниями пародонта: Автореф. дис. ... д-ра мед. наук. – М., 1992. – 465 с.
- Грудянов А.И. Методы профилактики заболеваний пародонта и их обоснование // Стоматология. – 1995. – №3. – С. 21-24
- Грудянов А.И., Фролова О.А. Заболевания пародонта и меры их профилактики // Леч. врач. – 2001. – №4. – С. 56-60
- Грудянов А.И., Безрукова М.В., Охапкина Н.Б. и др. Изучение эффективности использования препарата Имудон в пародонтологии. – М.: ЦНИИС МЗ РФ, 2002.
- Грудянов А.И., Дмитриева Н.А., Фоменко Е.Б. Эубиотики в комплексном лечении воспалительных заболеваний пародонта. – М.: ЦНИИС, 2003.
- Данилевский И.Ф., Вишняк Г.Н. Пародонтология детского возраста. – Киев: Здоровье, 1981. – 295 с.
- Даниленко А.Н. Нуждаемость населения пожилого и старческого возраста в стоматологической помощи // Сборник научных трудов. – Кемерово, 1997. – Вып. 3. – С.40-4.
- Данилевский Н.Ф., Борисенко А.В. Заболевания пародонта. – Киев: Здоровье, 2000.
- Дзян Л.А. Состояние микроциркуляции в различных стадиях гипертонической болезни // Материалы 1-й конференции молодых ученых-медиков УССР. – Киев: Здоровье, 1976. – С.27-28.
- Дмитриева Л.А. Современные аспекты клинической пародонтологии. – М.: МЕДпресс-информ, 2001. – 128 с.
- Епишев В.А. Клинические, электронно-микроскопические и экспериментально-морфологические исследования полости рта при хроническом гастрите: Автореф. дис. ... д-ра мед. наук. – М., 1970.
- Епишев В.А., Зуфаров А.А., Лунева М.Г. Состояние полости рта у лиц пожилого и старческого возраста, основы тактики врача при оказании им стоматологической помощи // Мед. журн. Узбекистана. – 1990. – №4. – С. 41-44.
- Заксон М.Л., Овруцкий Г.Д., Пясецкий М.И., Солнцев А.М. Практическая геронтостоматология и гериатрия. – Киев: Здоровье, 1993. – 272 с.
- Заноздра Н.С., Кришук А.А. Фармакотерапия гипертонической болезни. – Киев: Здоровье, 1983. – 111 с.
- Заноздра Л.И. Местное применение клофелина в комплексном лечении пародонтоза и гипертонической болезни // Врач. дело. – 1990. – №2.
- Здравоохранение Узбекистана 2008: Статистический сборник. – Ташкент, 2008.
- Зорян Е.В. Имудон в лечении гнойно-воспалительных процессов полости рта // Детский доктор. – 2000. – №2. – С. 42-45.

ЗАБОЛЕВАНИЯ ПАРОДОНТА У ЛИЦ ПОЖИЛОГО И СТАРЧЕСКОГО ВОЗРАСТА...

33. Иванов В.С. Заболевания пародонта. – М.: МИА, 1998. – 296 с.
34. Иванов В.С. Заболевания пародонта // Терапевтическая стоматология; Под ред. Е.В. Боровского. – М.: Медицина. 2001. – С. 365-458.
35. Калпакянц О.Ю., Петров Ю.А., Сеферян Н.Ю. Заболевания височно-нижнечелюстного сустава. – Краснодар: Советская Кубань, 1996.
36. Кветной И.М., Интель И.Э. Гормональная функция нейендокринных клеток: роль нового биологического феномена и регуляции гомеостаза // Бюл. экспер. биол. и медицины. – 2000. – №11. – С. 483-487.
37. Киричук В.Ф. Физиология крови. – Саратов: Изд-во СГМУ, 1998.
38. Киричук В.Ф., Лепилин А.В. и др. Микроциркуляторные нарушения у больных хроническим генерализованным пародонтитом, и их коррекция методом КВЧ-терапии // Бюл. Сибирской мед. – 2003. – №2.
39. Колесова Н.А. Механизмы компенсации изменений гемоциркуляторного русла пародонта при заболеваниях сердечно-сосудистой системы // Врач. дело. – 1980. – №3. – С. 61-64.
40. Куин А.А., Леонтьев В.Н., Максимовский Ю.М. Обмен веществ в твердых тканях зуба: Материалы «Круглого стола». – Воронеж, 2003. – 43 с.
41. Курякина Н.В., Кутепова Т.Ф. Заболевания пародонта. – М.: Мед. книга; Н. Новгород: Изд-во НГМА, 2000. – 162 с.
42. Немецкая Т.И. Клинико-экспериментальное обоснование классификации болезней пародонта и патогенетические принципы лечебно-профилактической помощи больным с патологией пародонта: Автореф. дис. ... д-ра мед. наук. – М., 1998. – 62 с.
43. Лепилин А.В., Булкин В.А. и др. Комплексное лечение гнойно-воспалительных заболеваний челюстно-лицевой области: Учеб.-метод. пособие. – Саратов, 2003.
44. Луцкая И.К. Потребность в стоматологической помощи лиц старших возрастных групп // Стоматология. – 1995. – Т. 54, №4. – С. 62-64.
45. Лыкова Е.А., Бондаренко В.М., Сидоренко С.В. и др. Сочетанная антибактериальная и пробиотическая терапия // Журн. микробиол., эпидемиол., иммунол. – 2000. – №2. – С. 63-66.
46. Малая Л.Т. Лечение болезней сердца и суставов. – Харьков: Вища шк., 1982. – 447 с.
47. Максимовский Ю.М., Чиркова Т.Д. и др. Клинические аспекты применения иммуномодулятора Имудон в комплексном лечении заболеваний пародонта // Стоматология для всех. – 2000. – №2. – С. 38.
48. Модестов Е.А., Новиков О.М., Шевченко В.В. и др. Методические подходы к комплексной оценке состояния здоровья лиц пожилого и старческого возраста // Сибирское мед. обозрение. – 2001. – №2. – С. 23-25.
49. Нейзберг Д.М. Комплексный подход к прогнозированию течения и результатов лечения хронического генерализованного пародонтита, сочетающегося с язвенной болезнью желудка и двенадцатиперстной кишки: Автореф. дис. ... канд. мед. наук. – СПб, 2004.
50. Николаев А.И., Цепов А.М. Практическая терапевтическая стоматология. – М.: МЕДпресс-информ, 2003. – 506 с.
51. Николаев Е.Н., Царев В.И. Опыт разработки стандартного метода молекулярно-генетической диагностики и оценки эффективности лечения заболеваний пародонта // Dental Forum. – 2004. – №1. – С. 20-24.
52. Осадчук А.М., Осадчук М.А., Кветной И.М., Ивашин В.Т. Клеточное обновление эпителиоцитов и диффузная эндокринная система кишечника при синдроме раздраженного кишечника; клинико-эндоскопическое и иммунологическое исследование // Рожжурн. гастроэнтерол., гепатол., колопроктол. – 2003. – №6.
53. Пак А.Н. Стоматологический статус у лиц пожилого и старческого возраста: Автореф. дис. ... канд. мед. наук. – М., 1991. – 22 с.
54. Пахомов Г.Н. Успехи и проблемы стоматологической помощи пожилым людям в США // Стоматология. – 1992. – №2. – С. 86-88.
55. Пименов Ю.С. Старение, старость, болезни // Практическая гериатрия; Под ред. Г.П. Котельникова. – Самара, 1995. – С. 24-29.
56. Пинелис И.С. Дифференциальные подходы к лечению некоторых заболеваний челюстно-лицевой области, сопровождающихся тромбогеморрагическим синдромом: Автореф. дис. ... д-ра мед. наук. – М., 1988.
57. Померанцев В.П. Общие принципы диагностики и лечения заболеваний внутренних органов в пожилом и старческом возрасте // Клин. мед. – 1990. – Т. 68, №8. – С. 93-98.
58. Райхлин Н.Т., Кветной И.М., Осадчук М.А. АРИД-система (общепатологические и онкокардиологические аспекты). – Обнинск, 1993.
59. Сафаров Т.Х. Патогенетические аспекты и особенности терапии заболеваний пародонта у больных с хронической патологией желудочно-кишечного тракта: Автореф. дис. ... д-ра мед. наук. – М., 1987.
60. Сафаров Т.Х. Некоторые особенности иммунного и иммуногенетического статуса при заболеваниях пародонта // Int. J. Immunorehabilitation. – 1996. – №2. – С. 178.
61. Сафаров Т.Х., Сафаров Р.Г. Локальный иммунитет и его определение при хроническом пародонтите // Бюл. ассоц. врачей Узбекистана. – 2005. – №2. – С. 59-61.
62. Сергеев Ю.В., Карапулов А.В. Иммунокорригирующая терапия при инфекционных поражениях полости рта // Леч. врач. – 2000. – №4. – С. 54-55.
63. Современные аспекты пародонтологии; Под ред. Л.А. Дмитриевой. – М., 2001. – 125 с.
64. Токмакова С.И., Бутанова Л.Ю., Ефремушкин Г.Г. и др. Микрофлора слизистой оболочки полости рта у пожилых лиц при общесоматической патологии // Стоматология. – 2009. – Т. 80, №4. – С. 24-27.
65. Фрейдлин И.О. Цитокины в клинике // Современные проблемы аллергологии, клинической иммунологии и иммунофармакологии: Сб. тр. РААРИ. – М., 1998. – С. 104-119.
66. Цепов Л.М., Николаев А.И. Диагностика и лечение заболеваний пародонта. – М.: МЕДпресс-информ, 2002. – 192 с.
67. Bohmer F. Aufgabender Pravention in der Gerontologie // Wien. Med. Wochenschz. – 2001. – Bd. 151, №18/20. – S. 468-471.
68. Buchmann R. Risikofaktoren in der Parodontologie Sistematische Therapie parodontalen Risikofaktoren // J. Dental. Hygiene. – 2001. – №2. – P.24-31.
69. Desvarieux M., Demmer R.T., Rundek T. et al. Relationship between periodontal disease, tooth loss and carotid artery plaque in the Oral infections and Vascular Disease Epidemiology Study (INVEST) // Stroke. – 2003. – Vol. 34, №9. P. 2120-2125.
70. Dorfz C.E., Becher H., Ziegler C.M. et al. The association of gingivitis and periodontitis with ischemic stroke // J. Clin. Periodontol. – 2004. – Vol. 31, №5. – P. 396-401.
71. Dvorak A.M. Ultrastructure of Human Mast Cells // Int. Arch. Allerg. Immunol. – 2002. – Vol. 127, №2.
72. Gjermo P.E. Epidemiology of periodontal diseases in Europe // Periodontol. Oral. Implantol. – 1998. – Vol. 17, №2.
73. Kalache A., Gatti A. Active ageing a policy framework // Успехи геронтол. – 2003. – Т. 11. – С. 7-18.
74. Maupome G., Gullion C.M., White B.A. et al. Oral disorders and chronic systemic diseases in very old adults living in institutions // Spec. Care Dent. – 2003. – Vol. 23, №6. – P. 199-208.
75. Nunn M.E., Harrel S.K. The effect of occlusal discrepancies on periodontitis. I. Relationship of initial occlusal discrepancies to initial clinical parameters // J. Periodontal. – 2001. – Vol. 72. – P. 489-494.
76. Platt D. Multimorbidität und Pharmakotherapie im Alter // Internist. – 1991. – Bd. 32, №8. – S. 460-466.
77. Rateitschak K.H. Безуспешность при лечении заболеваний пародонта // Квинтэссенция. – 1994. – №5/6. – С. 5-14.
78. Ribera-Casodo J.M. Ageing and the cardiovascular system // J. Gerontol. Geriatr. – 1999. – Vol. 52, №6. – P. 412-419.
79. Roder G., Tidt N. Pathophysiologie der Entzündung im Röntgenbild // Oral-Anatomie. – Rostok: Wilhelm-Piek-Universität, 1985.
80. Walsh L.J. Mast cells and oral inflammation // Crit. Rev. Oral Biol. Med. – 2003. – Vol. 14, №3. – P. 188-198.

ЗАБОЛЕВАНИЯ ПАРОДОНТА У ЛИЦ ПОЖИЛОГО И СТАРЧЕСКОГО ВОЗРАСТА (ОБЗОР ЛИТЕРАТУРЫ)

Асадуллаев Н.С., Сафаров М.Т.

Анализ литературы показал, что развитие хронического пародонтита сопровождается существенным нарушением состояния иммунных механизмов защиты ротовой полости, проявляющимся местными изменениями состава клеток крови десны (в том числе количественного соотношения популяций и субпопуляций лимфоцитов), а также содержания в слюне иммуноглобулинов и цитокинов. Эти изменения отражают процессы местного воспаления и активации иммунных механизмов защиты. Соматическая патология и особенно коморбидные состояния у пациентов пожилого и старческого возраста влияют как на стоматологический статус, так и на результаты соматического лечения. Поэтому важен комплексный подход к планированию лечения и прогнозированию его эффекта у гериатрических больных с полиморбидными состояниями.

Ключевые слова: заболевания пародонта, гериатрические больные, соматическая патология.

СОВРЕМЕННЫЙ ВЗГЛЯД НА ПРОБЛЕМУ ВИРУСНОГО ГЕПАТИТА Е

Мирзаев У.Х., Рахимова В.Ш., Утегенова С.К., Саматова И.Р., Бригидा К.С.

ВИРУСЛИГАПАТИТ ЕКАСАЛЛИГИННИГЗАМОНАВИЙМУАММОСИ

Мирзаев У.Х., Рахимова В.Ш., Утегенова С.К., Саматова И.Р., Бригидा К.С.

THE MODERN VIEW ON THE PROBLEM OF VIRAL HEPATITIS E

Mirzayev U.X., Rakhimova B.Sh., Utegenova S.K., Samatova I.R., Brigida K.S.

Научно-исследовательский институт вирусологии

Гепатит Е касаллиги-вирусли гепатитларга мансуб бўлиб, гепатит Е касаллиги ўткир ва сурункали кечиши билан ривожланади. Жигар касалликлари орасида вирусли гепатитлар алоҳида ўрин эгаллайди ва қўплаб мамлакатларнинг Соғлиқни Сақлаш Хизмати учун жиiddий муаммони келтириб чиқаради. Ушбу маъқолада, вирусли гепатит Е касаллигининг этиологияси, клиникаси ва сурункали кечиши сабаблари келтирилган. Шунингдек, вирусли гепатит Е нинг терапевтик ва профилактик усусларини қайта ўрганиш туғрисида ҳам келтирилган.

Hepatitis E, one of the known viral hepatitis, characterized by the development of acute or chronic forms of the disease. Among liver disease of viral etiology it has a special place and presents a serious public health problem in many countries. This article presents an overview data on etiology, clinic and causes of chronicization of viral hepatitis E. There also provides a view of therapeutic and preventive research in the study of HEV.

История и распространение

Документально подтвержденная вспышка гепатита Е зарегистрирована в 1955 году в Нью-Дели (Индия). Тогда заболели около 29 тыс. человек, употреблявшие воду, загрязненную, несмотря на хлорирование, неочищенными сточными водами. Такие же вспышки гепатита были зарегистрированы в Ахмадабаде (Индия) в 1975 и 1976 гг. Все эти вспышки рассматривались как эпидемии гепатита А, однако при ретроспективном анализе сывороток переболевших пациентов антитела класса IgM к вирусу гепатита А (анти-HAV-IgM) выявлены не были.

Учитывая эпидемиологические и клинические особенности вспышки, исключение этиологической роли вируса гепатита А, специалисты предположили о наличии неизвестного ранее возбудителя вирусного гепатита. Многие исследователи, занимавшиеся изучением гепатитов, не смогли обнаружить новый вирус под микроскопом. Это удалось сделать в 1983 году академику М.С. Балаяну из НИИ вирусологии, который совершил самозаражение. Принимая участие в ликвидации вспышки вирусного гепатита в Туркмении, он выпил материал от больного вирусным гепатитом. На 37-й день заражения у него появилась боль в животе, тошнота, рвота, повысилась температура. На 43-й день заражения появилась желтуха. Желтушный период продолжался 25 дней. После появления симптомов гепатита ученый стал собирать материал от себя для исследования. Таким образом, был выделен новый вирус, вызвавший гепатит у лабораторных животных, который был виден в электронном микроскопе. Позднее он был назван вирусом гепатита Е [1].

Вирус гепатита Е (ВГЕ) – одна из главных причин эпидемических испородических случаев гепатита вирусной этиологии, передающегося водным путем. Реальные показатели заболеваемости не установлены [2]. По данным ВОЗ, ежегодно происходит 20 млн случаев инфицирования ВГЕ, более 3 млн острых случаев заболевания ВГЕ и 56600 случаев смерти, связанных с ВГЕ [3].

В развитых странах Европы, Азии и Северной Америки гепатит Е встречается исключительно в виде спорадических случаев в качестве «завозной» инфекции. В таких государствах как Китай, Индия, Сомали и Уганда регистрируются большие вспышки ВГЕ, которые часто совпадают с большими осадками, наводнениями, способствующими контаминации питьевых вод человеческими экскрементами [3].

Вирусология, эпидемиология и пути передачи. ВГЕ имеет сферическую форму, диаметр его около 32 нм. Геном вируса представлен однонитевой РНК, по своим свойствам близок к калицивирусам (семейство Caliciviridae), в связи с чем его относили к данному семейству. В 2014 году для классификации ВГЕ была предложена новая таксономическая схема. Данная классификация основывается на результаты анализа имеющихся геномных последовательностей. По новой классификации ВГЕ относится к виду Orthohepevirus A из рода Orthohepevirus, который включает изолят человека, млекопитающих и птиц [17,20].

В окружающей среде ВГЕ менее устойчив, чем вирус гепатита А.

В мировой литературе описано пять генотипов ВГЕ – 1-й, 2-й, 3-й и 4-й генотипы, способные инфицировать человека, 5-й генотип, который инфицирует птиц [20].

По эпидемиологическим оценкам, ежегодно в мире ВГЕ заболевают около 20 млн человек, у 3 млн развиваются острый вирусный гепатит Е (ОВГЕ), из числа больных вирусным гепатитом Е погибают около 70 тыс. [18]. Большинство из этих пациентов находятся в эндемичных по ВГЕ районах, но все больше и больше инфицированных пациентов, в основном ВГЕ 3-го генотипа, регистрируются в настоящее время в развитых странах.

На данный момент не имеется известных резервуаров среди животных для ВГЕ 1-го и ВГЕ 2-го типов, но ВГЕ 3-го типа определяется у животных, таких как олени, свиньи, грызуны, мангусты и ракообразные [20].

На сегодняшний день наиболее распространенный путь передачи ВГЕ – фекально-оральный. ВГЕ 1-го и 2-го типов, обладая фекально-оральным путем передачи, часто встречаются в Южной Азии, Африке и Мексике и отвечают за крупные эпидемии на водной основе [15]. ВГЕ 3-го типа был впервые выявлен в виде нескольких спорадических случаев в США в 1997 году, а в настоящее время рассматривается как вновь возникший зооноз в ряде стран Европы, Северной Америки и Японии [17].

ВГЕ 4 вызывает спорадические случаи ОВГЕ у людей. Ранее считалось, что ВГЕ 4 ограничивается Азией (Китай, Тайвань, Япония и Вьетнам) [11,15]. Однако в последние годы ВГЕ 4 регистрируется и в странах Европы [20].

Высокая серопревалентность (обнаружение IgM и IgG в крови) ВГЕ характерна для развивающихся стран: Индия

и Юго-Восточная Азия, где вирус встречается в 27-80% в общей популяции. Некоторые исследования, проведенные в развитых странах, таких как Соединенные Штаты Америки и Великобритания, показали неожиданно высокую серопревалентность – соответственно 21 и 25% [18]. В неэндемичных районах путями распространения ВГЕ являются пищевые продукты, особенно инфицированная свинина и сырья оленина. В частности, в развитых странах люди, контактирующие со свиньями (ветеринары, свиноводы и мясники), имеют статистически значительно высокие показатели серопозитивности ВГЕ.

В последнее время регистрируют случаи парентерального пути передачи. Так, положительные образцы ИФА на ВГЕ обнаруживаются у пациентов после переливания крови и ее компонентов. Частота серопревалентности после трансфузий, местами превышает 50%. Это обстоятельство дает основание думать о парентеральной передаче ВГЕ [17,18].

В литературе приводятся данные о случаях передачи ВГЕ половым путем. Задокументированы также случаи вертикальной передачи HEV от матери к плоду [15].

Клиническая манифестация и диагностические критерии. Наиболее распространенной формой ВГЕ инфекции является острый гепатит. Болезнь, которая обычно длится в течение нескольких недель, сопровождается спонтанным выздоровлением. Редко болезнь имеет молниеносное течение, которое ведет к развитию печеночной недостаточности. Уровень смертности от ОГВЕ находится в интервале от 1 до 4%, при этом риск смерти выше у беременных и у пациентов с иммуносупрессией [11].

Инкубационный период варьирует от 15 до 60 дней.

Симптомами ОВГЕ выступают желтушность кожных покровов и склер, боли в подреберной области, у части больных подъем температуры тела, тошнота, рвота, боли в суставах и т.д. (табл. 1) [12].

Таблица 1

Эпидемиология и клинические особенности вируса гепатита Е [16]

Генотип	1	2	3	4
Источник	человек, свинья	исключительно человек	человек, свинья и другие виды млекопитающих	
Механизм передачи	фекально-оральный; вертикальный; зоонозный (генотип 1)		зоонозный (от свиней); контактный (ракообразные, реки); переливание крови и ее компонентов	
Географическое распространение	в основном в Азии и Латинской Америке (Куба, Венесуэла и Уругвай)	Мексика и западная Африка	все страны	Китай, Восточная Азия, Центральная Европа и Америка
Эпидемиологические особенности	является причиной вспышек и спорадических случаев. Часто у туристов, побывавших в эндемичных регионах	является причиной вспышек и спорадических случаев		спорадические случаи в развитых странах
Сезонность	да (вспышки во время наводнений / муссонов)			нет
Возрастные группы	взрослые и молодые (15-30 лет)		среднего возраста и старше (>50 лет)	
Соотношение полов	2:1		>3:1	
Прогноз	тяжелое течение у беременных и у лиц с сопутствующей хронической болезнью печени	фульминантное течение не зарегистрировано в мировой литературе		текущее тяжелее по сравнению с генотипом 1; летальность выше среди пожилых людей
Хронизация инфекции	нет			да

Как показывает анализ данных литературы, риск заболеть ВГЕ выше у беременных женщин, лиц с сопутствующей хронической болезнью печени или медикаментозным поражением печени, больных вирусным гепатитом В, активных алкоголиков [16].

Клиническая картина ВГЕ может существенно различаться – от бессимптомного течения до молниеносного. При этом клинические проявления в некоторой степени зависят от генотипа. В эндемичных районах, где наиболее распространены генотипы 1 и 2 являются, преобладает острый гепатит. В развитых странах, среди населения которых чаще регистрируются 3-й и 4-й генотипы, болезнь в основном протекает бессимптомно. По данным S. Kumar и соавт. [12], все острые случаи были вызваны подтипов генотипа 1a, а фульминантные случаи – подтипов 1c. Тем не менее, D.B. Smit и соавт. [18] высказывают мнение, что манифестация и течение болезни в большей степени зависят от специфических факторов инфицированного организма, чем от генотипа вируса.

По данным многих авторов, ВГЕ диагностируется у пациентов с хроническим заболеванием печени, что усложняет постановку диагноза. Наслоение ВГЕ в виде суперинфекции ухудшает прогноз. Мировой опыт показывает, что при суперинфекции ВГЕ у пациентов с хронической патологией печени летальность превышает 70% [16].

ОВГЕ также имеет широкий спектр внепеченочных проявлений. К ним относятся сыпь, артрит, синдром Гийена – Барре, миастения, двусторонние плечевые невралгии, периферическая невралгия с менингитом, судороги, параличи, нервные и псевдоопухоли головного мозга [19].

Хронический вирусный гепатит Е. Диагноз хронического вирусного гепатита Е (ХВГЕ) ставится на основании повышенного уровня аминотрансфераз, наличия HEVРНК, который определяется в сыворотке, по крайней мере, в течение 3-х месяцев [11]. Считают, что ХВГЕ вызывается генотипом 3, данных о ХВГЕ, вызванным генотипами 1 и 2, в литературе не обнаружено. Сообщают об одном случае ХВГЕ, вызванного генотипом 4 [11].

Риск развития ХГВЕ высок [16] у пациентов с иммуносупрессией, у лиц, перенесших трансплантацию органов, со злокачественными опухолями, с хронической инфекцией, у больных, получающих гемодиализ, гематологических больных, у больных с ВИЧ-инфекцией.

Путь передачи хронической инфекции не отличается от такового при острой. У большинства пациентов болезнь протекает бессимптомно, либо присутствуют непатогномоничные симптомы. К внепеченочным проявлениям относятся невралгическая амиотрофия, периферические нейропатии, энцефалит, энцефалопатия, син-

дром Тернера, пароксизмальная миопатия и двусторонние пирамидальные синдромы [11]. При несвоевременной диагностике и лечении ХВГЕ у пациентов с хроническими заболеваниями печени, а также у лиц с иммунодефицитом прогноз не благоприятный. Возможно прогрессирование болезни печени с развитием терминальной стадии вплоть до развития цирроза печени (10% в течение 2-х лет) [5,16].

ВГЕ во время беременности. ОВГЕ на фоне беременности протекает с осложнениями в виде повышенного риска преждевременных родов, аборта, низкой массы тела ребенка при рождении, перинатальной смертности или молниеносного гепатита с последующим летальным исходом для матери. Наиболее высокая материнская смертность, достигающая 25%, отмечается в III триместре беременности. Следует отметить, что в некоторых странах, в частности в Египте, ОВГЕ во время беременности не связан с повышенной смертностью. Этот феномен, вероятнее всего, объясняется тем, что преобладающий генотип ВГЕ менее вирулентен [16].

Диагностика ВГЕ. Клинические признаки, симптомы и результаты лабораторных исследований часто совпадают с таковыми при других формах гепатита, в связи с чем подтверждение диагноза становится затруднительным. Некоторые эксперты предполагают, что тестирование на ВГЕ должно быть частью диагностического алгоритма у всех больных с острым или хроническим гепатитом, который не может быть объяснен другими причинами [14].

Для диагностики применяют прямые и косвенные методы. Прямыми являются методы обнаружения вируса, вирусных белков или нуклеиновых кислот в крови или в образцах кала иммунологическими методами, электронной микроскопией или ПЦР. Обнаружение РНК HEV в биологических образцах (сыворотка и/или стул) служит «золотым стандартом» для подтверждения ВГЕ [6]. РНК HEV можно обнаружить в стуле за одну неделю до проявления симптомов болезни и до 6 недель после появления симптомов. Отрицательный ответ на РНК HEV не исключает острый процесс при ВГЕ.

Для исключения ошибочной диагностики Всемирная организация здравоохранения рекомендовала международный стандарт обнаружения и количественного определения РНК HEV, которым проводят диагностику генотипа 3a. Данный генотип, широко распространенный во всем мире, также является причиной развития ХВГЕ.

Другой метод амплификации нуклеиновых кислот, loop-mediated isothermal amplification (LAMP) был разработан для обнаружения RNA HEV. Метод LAMP более быстрый, чем ПЦР в реальном времени и не требует специального оборудования, что делает его идеальным для использования в странах с ограниченными ресурсами [16].

Низкая чувствительность и специфичность диагностических тестов для обнаружения анти-HEV антител делает постановку диагноза сложной задачей. Проведенные исследования показывают, что только 13,3% образцов, с положительными анти-HEVIgM коррелируют с положительными ответами ПЦР на РНК HEV. Данное состояние демонстрирует крайне низкий уровень корреляции [4]. Кроме того, при наличии в организме вирусов Эпштейна – Барра и цитомегаловируса перекрестная реактивность для анти-HEVIgM встречается соответственно в 33,3 и 24,2% [6].

Косвенными являются методы обнаружения анти-HEVIgM и IgG антител [1]. Обнаружение анти-HEVIgM считается диагностическим признаком ОГВЕ. Наличие же IgG антител указывает на перенесенную инфекцию [13]. Анти-HEVIgM обнаруживается через 4 дня после начала клинической симптоматики и сохраняется до 3-5 месяцев. Вскоре после появления IgM появляются IgG антитела, пик обнаружения который приходится на 4-ю неделю

после начала симптомов и сохраняются в течение от 1-го года до 14 лет [6].

Обнаружение анти-HEV-IgG и IgM методом ИФА – достаточно надежный метод у иммунокомпетентных лиц, что не характерно для лиц с иммунодефицитами. В связи с этим лицам с иммунодефицитом для подтверждения ВГЕ рекомендуется проведение ПЦР-диагностики [8].

Лечение ВГЕ. В настоящее время не существует определенного лечения ОВГЕ. Тем не менее, при лечении рибавирином наблюдается значительное клиническое улучшение за счет уменьшения симптомов. Учитывая высокую смертность от ОВГЕ с развитием печеночной недостаточности, назначение рибавирина является приоритетным.

Лица с ослабленным иммунитетом (пациенты с ВИЧ-инфекцией или трансплантированными органами), у которых часто развивается ХВГЕ, требуют раннего и эффективного лечения ОВГЕ [8].

Определяющим моментом развития ХВГЕ у лиц с трансплантированными органами является применение иммunosупрессоров. Исследования, проведенные Wang и соавт., показали, что ингибиторы кальцинеурина (иммunosупрессоры) стимулируют развитие ХВГЕ, а миофеноаты (иммunosупрессоры) ингибируют его.

На первых этапах лечения хронических гепатитов В и С больным назначались препараты пегилированного интерферона. Однако учитывая наличие иммунодефицитного состояния и возможные побочные эффекты, связанные с применением препаратов интерферонового ряда, от такой терапии впоследствии отказались [14].

В настоящее время имеются данные о различных комбинациях препаратов. Есть сведения об ингибировании репликации ВГЕ при применении софосбувира у лиц с трансплантированной печенью [14].

В качестве наиболее эффективного препарата для лечения ХВГЕ был выбран рибавирин, который назначали в дозе 12 мг/кг/сут в течение 12 недель, что приводило к снижению вирусной нагрузки и клиническому улучшению состояния больного [10].

Специфическая профилактика. В 2011 году в Китае была зарегистрирована первая вакцина для профилактики ВГЕ. Наиболее полные результаты 3-й фазы клинических испытаний вакцины были представлены на конгрессе APASL. Предусмотрено трехкратное введение вакцины по следующей схеме: 0, 1 и 6 месяцев.

Представленные результаты испытаний убедительно свидетельствуют об иммуногенной и специфической активности вакцины. Проведено рандомизированное контролируемое исследование, в которое были включены более 112 тысяч здоровых лиц, получавших плацебо и вакцину. Продемонстрирована хорошая переносимость вакцины и отсутствие осложнений на ее введение. Эффективность вакцины составила 100%. Установлено, что уже после второго введения почти у 100% вакцинированных выявляются антитела к компонентам вакцины [7,9]. И хотя эта вакцина пока не стала широко применяться, она может стать потенциально доступной в ряде других стран.

Таким образом, сегодня становится очевидным значение этой инфекции для здравоохранения, причем это касается и регионов, считавшихся ранее неэндемичными. Учитывая новые особенности ВГЕ, необходимы дальнейшее изучение этой актуальной проблемы гепатологии.

Литература

- Балаян М.С. Вирусный гепатит E // Рос. журн. гастроэнтерол., гепатол., колопроктол. – 1995. – №20. – С. 32-37.
- Зубкин М.Л., Семененко Т.А., Кокоева Ф.К. и др. Гепатит E: новый взгляд на старую проблему // Клин. мед. – 2012. – №6. – С. 4-11.
- Информационный бюллетень ВОЗ №280. – 2015.

СОВРЕМЕННЫЙ ВЗГЛЯД НА ПРОБЛЕМУ ВИРУСНОГО ГЕПАТИТА Е

4. Abe K., Li T.C., Ding X. et al. International collaborative survey on epidemiology of hepatitis E virus in 11 countries // South. Asian J. Trop. Med. Publ. Health. – 2006. – Vol. 37. – P. 90-95.
5. Boxall E., Herborn A., Kochethu G. et al. Transfusion-transmitted hepatitis E in a «nonhyperendemic» country // Transfus. Med. – 2006. – Vol. 16. – P. 79-83.
6. Dalton H.R., Stableforth W., Thurairajah P. et al. Autochthonous hepatitis E in Southwest England: natural history, complications and seasonal variation, and hepatitis E virus IgG seroprevalence in blood donors, the elderly and patients with chronic liver disease // Europ. J. Gastroenterol. Hepatol. – 2008. – Vol. 20. – P. 784-790.
7. Debing Y., Emerson S.U., Wang Y. et al. Hepatitis E infection, epidemiology and treatment // Lancet. – 2015. – Vol. 354, №4.
8. Galiana C., Fernández-Barredo S., García A. et al. Occupational exposure to hepatitis E virus (HEV) in swine workers // Amer. J. Trop. Med. Hyg. – 2008. – Vol. 78. – P.1012-1015.
9. Hoofnagle J.H., Nelson K.E., Purcell R.H. Current concept hepatitis E // New Engl. J. Med. – 2012. – Vol. 367. – P. 1237-1244.
10. Kamar N., Bendali R., Legrand-Abravanel F. et al. Hepatitis E // Lancet. – 2012. – Vol. 379 (9835). – P. 2477-2488.
11. Khuroo M.S., Kamili S., Jameel S. Vertical transmission of hepatitis E virus // Lancet. – 1995. – Vol. 345. – P. 1025-1026.
12. Kumar S., Subhadra S., Singh B. et al.: Hepatitis E virus: the current scenario // Int. J. Infect. Dis. – 2013. – Vol. 17. – P. e228-e233.
13. Meng X.J., Wiseman B., Elvinger F. et al. Prevalence of antibodies to hepatitis E virus in veterinarians working with swine and in normal blood donors in the United States and other countries // J. Clin. Microbiol. – 2002. – Vol. 40. – P. 117-122.
14. Mirazo S., Ramos N., Mainardi V. et al. Transmission, diagnosis, and management of hepatitis E: an update // J. Hepat. Med. Evid. Res. – 2014. – Vol. 6. – P. 45-59.
15. Panda S.K., Thakral D., Rehman S. Hepatitis E virus // Rev. Med. Virol. – 2007. – Vol. 17. – P. 151-180.
16. Purcell R.H., Emerson S.U. Hepatitis E: an emerging awareness of an old disease // J. Hepatol. – 2008. – Vol. 48. – P. 494-503.
17. Rein D.B., Stevens G.A., Theaker J. et al. The global burden of hepatitis E virus genotypes 1 and 2 in 2005 // Hepatology. – 2012. – Vol. 55. – P. 988-997.
18. Smith D.B., Simmonds P., Jameel S. et al.: Consensus proposals for classification of the family Hepeviridae // J. Gen. Virol. – 2014. – Vol. 95. – P. 2223-2232.
19. Tei S., Kitajima N., Takahashi K., Mishiro S. Zoonotic transmission of hepatitis E virus from deer to human beings // Lancet. – 2003. – Vol. 362. – P. 371-373.
20. Wedemeyer H., Pischke S., Manns M.P. Pathogenesis and treatment of hepatitis e virus infection // Gastroenterology. – 2012. – Vol. 142. – P. 1388-1397.

СОВРЕМЕННЫЙ ВЗГЛЯД НА ПРОБЛЕМУ ВИРУСНОГО ГЕПАТИТА Е

Мирзаев У.Х., Рахимова В.Ш., Утегенова С.К., Саматова И.Р.,
Бригидा К.С.

Гепатит Е, один из известных вирусных гепатитов, характеризующийся развитием острой и хронической форм заболевания. Среди заболеваний печени вирусной этиологии занимает особое место и представляет серьезную проблему для здравоохранения многих стран. В данной статье представлен обзорные данные об этиологии, клинике и причинах хронизации вирусного гепатита Е. Также представлен обзор терапевтических и профилактических разработок в изучении ВГЕ.

СОВРЕМЕННОЕ СОСТОЯНИЕ ПРОБЛЕМЫ БРУЦЕЛЛЕЗА

Миррахимова Н.М., Ахмедова Х.Ю., Рузимурадов М.А., Ибрагимов А.А.

БРУЦЕЛЛЕЗ МУАММОСИНИНГ ЗАМОНАВИЙ ҲОЛАТИ

Миррахимова Н.М., Ахмедова Х.Ю., Рузимурадов М.А., Ибрагимов А.А.

CURRENT STATE OF THE PROBLEM OF BRUCELLOSIS

Mirrahimova N.M., Akhmedova X.Y., Ruzimuradov M.A., Ibragimov A.A.

Научно-исследовательский институт эпидемиологии, микробиологии и инфекционных заболеваний

Бруцеллез – ўта-хавфли ва ижтимоий аҳаиятга эга бўлган, иқтисодий зиён келтирувчи, қўзғатувчининг ва макроорганизмнинг генетик ҳусусияти туфайли юқори даражада ногиронликка олиб келувчи инфекция. Уибу холат 50%, айрим маълумотларга кўра эса 90% беморларнинг дори воситаларга ноxуш жавоби, уибу bemornинг генетик факторларга боғлиқ эканлиги билан изохланади. Мужим клиник аҳамиятга эга бўлган ва хозирги пайтга энг ўрганилган генетик факторлардан бири – дори транспортери гликопротеин - P (Pgp)ни кодловчи кўпдори воситаларга чидамли бўлган геннинг ((МЛУ/ MDR1/Multidrug resistance 1) полиморфизми.

Калит сўзлар: бруцеллезнинг эпидемиологияси, клиникаси, ташхислаш ва даволаш, макроорганизмдаги дори воситаларга чидамли бўлган ген.

Brucellosis – especially dangerous and socially significant infection, bringing significant economic damage and cause a high level of disability of patients, which is caused not only by the properties of the pathogen, but also the genetic characteristics of the macro organism. This is due to the fact that about 50%, and according to some sources up to 90% of all "unfavorable" responses to drugs due to genetic factors of the patient. One of the studies, to date, genetic factors, and have important clinical implications, is a polymorphism of multidrug resistance gene (MDR/MDR1/Multidrug resistance1) encoding a drug transporter glycoprotein – P (Pgp).

Key words: epidemiology, clinical features, diagnosis, treatment brucellosis, multiple drug resistance genemacroorganism.

Бруцеллез – особо опасная и социально значимая инфекция, приносящая значительный экономический ущерб и обуславливающая высокий уровень инвалидности больных. Бруцеллез является системной зоонозной инфекцией, передаваемой от животных людям посредством потребления инфицированных продуктов, прямого контакта с инфицированными животными или ингаляцией аэрозолями. Распространена повсеместно, особенно в странах Средиземноморья, Персидского залива, на Индийском субконтиненте, в Мексике, Центральной и Южной Америке, Восточной Азии, Африке. Возможна алиментарная передача инфекции при употреблении в пищу сырого молока и молочных продуктов инфицированных коз и коров.

Эпидемиологические особенности заболеваемости в значительной мере зависят от видовой принадлежности возбудителя, активности и массивности эпизоотического очага. В очагах бруцеллеза козье-овечьего вида нередки групповые заболевания. Заболевают бруцеллезом в основном лица, в силу своей профессии занимающиеся уходом за животными или употребляющие в пищу инфицированные продукты животноводства. Среди заболевших преобладают взрослые, но в неблагоприятных районах нередко заболевают и дети [2,4,5,7,13,14,18,23,24,32,40].

По данным Объединенного комитета экспертов ВОЗ по бруцеллезу, эта болезнь среди животных регистрируется в 155 странах мира. Наиболее широко бруцеллез распространен в странах Средиземноморья, Малой Азии, Юга и Юго-Восточной Азии, Африки, Центральной и Южной Америки [30,31].

Согласно данным Всемирной организации здравоохранения, в мире ежегодно регистрируется полмиллиона новых случаев бруцеллеза [30,31].

По информации Регионального Совещания по Борьбе с Бруцеллезом в Центральной Азии и Восточной Европе (09-11 апреля 2013, Измир), несмотря на высокие показатели заболеваемости этой инфекцией, ее фактический уровень намного выше.

В России ежегодно регистрируется свыше 500 случаев впервые выявленного бруцеллеза среди людей [5,23]. В нашей республике эти данные сопоставимы или выше [6,7]. Эпидемиологическая обстановка по бруцеллезу в Узбекистане остается неблагополучной и определяется наличием бруцеллеза среди сельскохозяйственных животных [6,7,13,14].

Ряд стран, особенно Европы (Англия, Дания, Германия, Финляндия, Швеция, Норвегия, Швейцария, Чехия, Словакия, Румыния), а также Япония добились практически полной ликвидации этой болезни среди животных и людей. Успешно проводится борьба с бруцеллезом в Болгарии, государствах бывшей Югославии, где случаи болезни регистрируются в отдельных регионах лишь в единичных случаях [24,30-32].

Возросшая в последние два десятилетия миграция населения, недостаточный ветеринарно-санитарный контроль за ввозом животных из стран, неблагополучных по бруцеллезу, включая сопредельные государства СНГ, способны в настоящее время осложнить и без того напряженную эпизоотическую и эпидемическую ситуацию по этой инфекции. Ослабление санитарно-ветеринарного надзора за животными индивидуальных хозяйств в СНГ создало тревожную эпизоотическую и эпидемическую ситуацию. Последнее диктует необходимость совершенствования эпиднадзора, долгосрочного прогнозирования динамики и интенсивности эпизоотического процесса и его эпидемических проявлений с целью своевременного осуществления адекватных профилактических мероприятий [8,35,36].

Отличительной особенностью бруцеллеза является полиморфизм клинических проявлений острой и хронической форм заболевания, малая информативность интерпретации результатов рутинного лабораторного общеклинического и биохимического обследования, что нередко приводит к диагностическим ошибкам на догоспитальном этапе. Возможности традиционно используемых методов серологической диагностики ограничены. Отсутствуют четкие прогностические критерии течения

бруцеллеза, в том числе в отношении его хронических форм [1,3,9,16,17,20,22].

Высокий процент инвалидизации обуславливает актуальность совершенствования терапевтических подходов при бруцеллезе. Многочисленные исследования свидетельствуют о необходимости использования при лечении больных, наряду с этиотропными средствами, иммунокорригирующие препараты, однако общепринятых стандартов по применению препаратов этой группы при данной инфекции нет [9,10,15,19,22,25,26,33,38,39].

Из-за бессимптомного дебюта заболевания на инкубационный период могут ошибочно отводить несколько месяцев до периода, когда заболевание принимает симптоматическое течение. Бессимптомные формы заболевания, несмотря на полное отсутствие клинических признаков болезни, могут быть диагностированы с помощью серологических тестов. По длительности болезни выделяют острую, подострую и хроническую формы. При острой форме заболевания в процесс может вовлекаться любой орган, но наиболее часто (практически в половине случаев) отмечается поражение суставов. В современной западной литературе вовлеченность отдельных органов в патологический процесс при острой форме бруцеллеза рассматривается как осложнение, тогда как при хронической форме это может быть единственным проявлением болезни [1,13,16,22,38,39].

Многие исследователи, наблюдавшие больных в эндемичных странах, отмечают, что клинические проявления острой формы бруцеллеза могут претерпевать существенные изменения ввиду самостоятельного и неконтролируемого приема пациентами антибактериальных и нестероидных противовоспалительных лекарственных средств [7,10,17,33].

Неспецифичность клинической картины острого бруцеллеза, выражаясь в объективных и субъективных проявлениях синдрома интоксикации, является следствием ведущего звена патогенеза – развития бактериемии. Тем не менее, интоксикационный синдром при бруцеллезе по механизму своего развития и длительности клинических проявлений отличается от синдрома интоксикации при заболеваниях, обусловленных бактериальными возбудителями, не способными к длительному внутриклеточному паразитированию [3,8,16,37].

Бруцеллы представляют собой факультативные внутриклеточные патогены, высокоадаптированные не только к выживанию, но и к размножению в клетках, преимущественно ретикулоэндотелиальной системы (РЭС). Именно данным фактом объясняется поражение при бруцеллезе главным образом органов и систем, богатых клетками РЭС. Бруцеллы способны инфицировать как фагоцитирующие, так и нефагоцитирующие клетки. В отличие от других патогенных бактерий, у бруцелл не описаны классические факторы патогенности, хотя исследования показывают, что они обладают удивительно широким арсеналом оборонительных ресурсов, обеспечивающих им длительную персистенцию в организме хозяина. К числу таких механизмов, реализуемых на ранних стадиях заболевания, относятся сниженная способность бруцелл к активации системы комплемента, резистентность к катионным белкам, уклонение от распознающих систем организма. Большая часть бруцелл, поступающих в фагоциты, уничтожается после слияния и фаголизиса. Однако в некоторых клетках данный процесс ингибируется, и формируются так называемые репликативные фагосомы, или бруцеллосомы, в которых происходит размножение возбудителя, поддерживающее состояние бактериемии [3,8,16,37].

Таким образом, стратегия внутриклеточного выживания и размножения бруцелл с формированием длитель-

ной бактериемии обеспечивает инфицирование все новых и новых клеток, что проявляется клиническим прогрессированием заболевания с высоким риском формирования хронической формы.

Кроме этого, бруцеллы способны подавлять апоптоз инфицированных макрофагов, что выглядит парадоксально, поскольку клетки, которые должны уничтожать бактерии, становятся местом их сохранения и репликации [37]. Длительная персистенция бруцелл сопровождается выраженной иммунологической перестройкой организма с развитием таких иммунопатологических реакций, как гиперчувствительность замедленного типа и повышение уровней иммунных комплексов, которые могут лежать в основе клинических проявлений, таких как гломерулонефриты, гепатиты, артриты, кожные васкулиты [1,7,8,13,15,17,26,29]. Данный аспект патогенеза очень важен для понимания механизмов развития возможных необычных проявлений бруцеллезной инфекции на разных стадиях процесса.

Хронические формы бруцеллеза на сегодняшний день составляют особую группу патологии человека. Как это ни парадоксально, но единых, общепринятых и понятных критериев их диагностики не существует [15,19,22]. По формальному признаку хроническая форма бруцеллеза устанавливается в случае длительности заболевания свыше 12 месяцев. В то же время многие авторы отмечают неоднородность данной группы больных, что требует проведения специальных исследований.

В Узбекистане реализуется Правительственная программа КМ №03-35-20 от 16 февраля 2009 г., вытекающая из указов Президента РУз, в частности №308 от 23 марта 2006 г., №842 от 21 апреля 2008 г. и распоряжения Президента ПФ-4058 от 28 ноября 2008 г. по интенсивному развитию животноводства, увеличению производства мяса и молока, обеспечению населения высококачественной продукцией животноводства. Выполнение поставленных задач по развитию животноводства напрямую зависит от эпизоотического благополучия по зоонозным инфекциям. Эпизоотическое состояние и эпидемиологическое благополучие населения по зоонозным инфекциям, в частности бруцеллезом, взаимосвязаны.

Заболеваемость бруцеллезом в РУз за последние годы увеличилась. При этом источник инфекции во время эпидемиологического расследования очага бруцеллэза определялся до 60%, а по данным ветеринарной службы – лишь на 0,001%. Клиническая симптоматика бруцеллеза в силу факультативности проявлений с целым рядом инфекционных и неинфекционных заболеваний не позволяет своевременно установить диагноз. Даже в регионах, где хорошо знакомы с этой болезнью, удается диагностировать не более 10% больных, а 90% больных бруцеллэзом лечатся под другими диагнозами – грипп, ОРЗ, радикулиты, авитаминозы, артриты, простатиты и т.д. Полиморфизм клиники бруцеллэза, наличие разных форм возбудителя (S, R, L), обеспечивающих огромное количество невыявленных источников инфекции, внутриклеточная персистенция бруцелл, обуславливают сложность различных аспектов этой инфекции [8,15,19,22,24,25].

Несвоевременное выявление источников инфекции и факультативность клинических проявлений являются причиной запаздывания лечебных и профилактических мероприятий.

Длительная интрамакрофагальная персистенция бруцелл, избирательность поражения возбудителем соединительной ткани, репродуктивных органов в сочетании с отсутствием эффективных способов элиминационной терапии являются патогенетической основой высокой вероятности хронизации болезни. Солидный вес инвалиди-

зации работоспособного населения при этой инфекции приводит к социальным проблемам и экономическому ущербу [4,5,7,9,12].

Бруцеллэз занимают особое положение среди других инфекционных болезней из-за своеобразия свойств возбудителя, а именно высокой контагиозности, инфицирующей и инвазирующей способности, устойчивости возбудителей к неспецифическим факторам защиты макроорганизма; ничтожно малой инактивирующей способности (противобруцеллэзных антител); устойчивости бруцелл к действию ферментов лизосомального аппарата макрофагов, что создаёт условия для их внутриклеточного (бруцеллы) размножения.

Спонтанное выздоровление от бруцеллеза наблюдается очень редко. Хроническое рецидивирующее течение бруцеллеза со временем неизбежно приводит к инвалидизации людей зачастую в молодом и работоспособном возрасте. Своевременно поставленный диагноз острого бруцеллеза обеспечивает успех лечения только при адекватной этиотропной терапии и иммунокоррекции [7,9,10,15,16].

В настоящее время наиболее важными являются генетические особенности пациентов. Это обусловлено тем, что около 50%, а по некоторым данным, и до 90% всех «неблагоприятных» ответов на лекарственные средства, обусловлено генетическими факторами пациента. Поэтому индивидуальные генетические различия между людьми являются серьезным фактором, который становится причиной многих нежелательных лекарственных реакций (НЛР), в том числе приводящих к гибели или инвалидизации пациентов (кровотечения, поражения печени, почек, костного мозга и т.д.) [9-12,21].

Одним из изученных генетических факторов, имеющих важное клиническое значение, является полиморфизм гена множественной лекарственной устойчивости (МЛУ/MDR1/Multidrug resistance 1), кодирующий лекарственный транспортер гликопротеин – Р (Pgp) [9,11].

Ген *MDR1* является высокополиморфным, в его составе содержится полиморфный маркер C3435T, которому отводят ключевую роль в геномной медицине, в отношении выявления предрасположенности к различным заболеваниям и особенности ответа на воздействие лекарственных средств (ЛС). В связи с клинической значимостью полиморфного маркера C3435T по выявлению носительства у пациента соответствующего генотипа (ТТ – устойчивый, СТ – среднеустойчивый или СС – чувствительный в ответ на химиотерапию ЛС), генотипы C3435T интенсивно исследуются в разработке новых режимов химиотерапии с целью преодоления множественной лекарственной устойчивости и повышения эффекта лечения [1,27-29,34].

В этой связи индивидуализация фармакотерапии сводится, в первую очередь, к выявлению полиморфных маркеров, ассоциированных с изменением реакции организма на лекарственные средства, разработке методов генотипирования больных, т.е. определению аллельных вариантов полиморфных маркеров и внедрению этой методологии в практическую медицину.

Таким образом, выявление генетических особенностей у пациентов по полиморфному маркеру C3435T гена MDR1 позволяет прогнозировать характер фармакологического ответа, что дает возможность повысить эффективность и безопасность применения ЛС – доза, кратность введения, путь введения, замена ЛС и реальная возможность индивидуализации фармакотерапии при различных инфекционных заболеваниях [21,27-29].

Результаты этих исследований позволяют разработать метод прогнозирования исходов бруцеллеза, с учетом носительства полиморфных маркеров C3435T и G2677T гена MDR1 лекарственной устойчивости и иммунологических показателей больных бруцеллэзом до и после применения препаратов влияющих на гуморальный и клеточный иммунитет. Это позволит продвинуться в решении одной из глобальных задач современной медицины – **выбор элиминационной терапии** при бруцеллезе.

Литература

- Белозеров Е.С., Змушко Е.И. Органопатология при бруцеллезе // Зоонозы: Актуальные проблемы в клинике и эксперименте: Сб. науч. тр. 6-й Респ. науч.-практ. конф. – Махачкала, 2000. – С.131-137.
- Деонтовская С.В. Бруцеллез в Саратовской области: клинико-эпидемиологические аспекты, совершенствование лабораторной диагностики: Дис. ... канд. мед. наук. – Саратов, 2000. – 24 с.
- Драновская Е.А., Желудков М.М., Толмачева Т.А. и др. К вопросу о внутриклеточном паразитизме и персистенции бруцелл // 60 лет противочумной службы Кавказа // Актуальные вопросы профилактики особо опасных и других инфекционных заболеваний: Материалы науч.-практ. конф. – Ставрополь, 1995. – С. 269-271.
- Желудков М.М., Цирельсон Л.Е., Кулаков Ю.К. Бруцеллез в России // Бруцеллез – пограничная инфекция животных и человека, требующая общих усилий разных стран: Материалы Междунар. рабочего совещания. – Серпухов, 2008. – С. 21-22.
- Желудков М.М., Горшенко В.В., Хадарцев О.С. и др. Бруцеллез: современная эпидемиология и эпидемиологический надзор // Материалы 9-го съезда Всероссийского научно-практического общества эпидемиологов, микробиологов и паразитологов. – М., 2007. – Т. 1. – С. 148-149.
- Имомалиев У.Н., Ниязова Т.А., Косимов О.Ш. и др. О состоянии выделения возбудителя бруцеллеза в Республике Узбекистан // Вестн. врача. – 2007. – №2. – С. 74-75
- Имомалиев У.Н., Косимов О.Ш. Сурункали бруцеллезни беморнинг ёшига нисбатан кечишининг алохида хусусиятлари // Инфекции, иммунитет и фармакология. – 2004. – №2. – С. 83-85.
- Кулаков Ю.К., Желудков М.М. Молекулярные основы персистенции бруцелл // Журн. микробиол. – 2006. – №4. – С. 72-77.
- Кулаков Ю.В., Желудков М.М., Селютина Д.Ф. и др. Разработка современных средств диагностики и профилактики бруцеллеза с использованием методов генной инженерии // Мол. генетика, микробиол. и вирусол. – 1994. – №5. – С. 32-34.
- Кукес В.Г., Сычев Д.А., Гасанов Н.А. Проблемы клинической фармакогенетики на современном этапе // Клин. мед. – 2007. – Т. 85, №2. – С. 58-63.
- Кукес В., Сычев Д., Бруслук Т. и др. Изучение транспортеров лекарственных средств как новая возможность персонализации фармакотерапии // Врач. – 2007. – №5. – С. 2-5.
- Кукес В.Г., Сычев Д.А., Гасанов Н.А. Проблемы клинической фармакогенетики на современном этапе // Клин. мед. – 2007. – Т. 85, №2. – С. 58-63.
- Маджидов В.М. Бруцеллез: Руководство по зоонозам и паразитарным заболеваниям. – Ташкент: Медицина, 2000. – С. 3-55.
- Мирзаева М.А. Актуальные вопросы эпидемиологии, диагностики и профилактики бруцеллеза: Автореф. дис. ... д-ра мед. наук. – М., 2002. – 45 с.
- Нанаева Г.К., Исаилова Ж.С., Сергеева Г.С. Новые подходы в лечении бруцеллеза (Обзор зарубежной и отечественной литературы). <http://rudocs.exdat.com/docs/index-134962.html> (дата обращения: 17.01.2014 г.).
- Нурпейсова А.Х. Клинико-лабораторные критерии диагностики и эффективности терапии хронического бруцеллеза: Дис. ... канд. мед. наук. – СПб, 2009. – 171 с.
- Польщикова Н.Н., Желудков М.М., Никифоров В.Н. и др. Трудности оценки активности хронического бруцеллеза и выборов методов терапии // Сов. мед. – 1989. – №11. – С. 109-110.
- Сафонов А.Д., Камышева В.Ф., Михайлов Ю.Д. и др. Бруцеллез в Омской области // Зоонозы: Актуальные проблемы в клинике и эксперименте: Сб. науч. тр. 6-й Респ. науч.-практ. конф. – Махачкала, 2000. – С. 43-45.
- Сологуб Т.В., Романцов М.Г., Шульдяков А.А. Бруцеллез. Современные подходы к терапии: Пособие для врачей. – Саратов: Санкт-Петербург, 2006. – 28 с.

СОВРЕМЕННОЕ СОСТОЯНИЕ ПРОБЛЕМЫ БРУЦЕЛЛЕЗА

20. Сергеева И.В. Ошибки в диагностике хронического бруцеллеза // Соврем. пробл. науки и образования. – 2013. – №4. URL: www.science-education.ru/110-9838 (дата обращения: 17.01.2014).
21. Сычев Д.А., Игнатьев И.В., Раменская Г.В. и др. Фармакогенетические исследования системы биотрансформации и транспортеров для персонализации фармакотерапии в кардиологии (российский опыт): фармакогенетические исследования CYP2C9 // Клин. фармакол. и терапия. – 2007. – №3. – С. 44-48.
22. Фазылов В.Х. и др. Диагностика и лечение хронического бруцеллеза в реальной практике // Практ. медицина. – 2014. – №7 (83). – С. 72-75.
23. Черкасский В.Л., Иванов А.А. Эпидемиологическая ситуация по зоонозам в России // Эпидемиол. и инф. бол. – 2006. – №2. – С. 12-13.
24. Avdikou I., Maipa V., Alamanos Y. Epidemiology of human brucellosis in a defined area of Northwestern Greece // Epidemiol. Infect. – 2005. – Vol. 133, №5. – P. 905-910.
25. Ariza J., Bosilkovski M., Cascio A. et al. Perspectives for the Treatment of Brucellosis in the 21st Century: The Ioannina Recommendations // PLoS Med. – 2007. – Vol. 4 (Is. 12). – P. 1872-1878.
26. Alp E., Koc R.K., Durak A.C. et al. Doxycycline plus streptomycin versus ciprofloxacin plus rifampicin in spinal brucellosis // BMC Infect. Dis. – 2006. – Vol. 6. – P. 72.
27. Hoffmeyer S., Burk O., von Richter O. et al. Functional polymorphisms of the human multidrug-resistance gene: multiple sequence variations and correlation of one allele with P-glycoprotein expression and activity in vivo // Proc. Natl. Acad. Sci. USA. – 2000. – Vol. 97, №7. – P. 3473-3478.
28. Johnne A., Kopke K., Gerloff T. et al. Modulation of steady-state kinetics of digoxin by haplotypes of the P-glycoprotein MDR1 gene // Clin. Pharmacol. Ther. – 2002. – Vol. 72, №5. – P. 584-594.
29. Contreras-Rodriguez A., Ramirez-Zavala B., Contreras A. Purification and characterization of an immunogenic aminopeptidase of *Brucella melitensis* // Infect. Immun. – 2003. – Vol. 71, №9. – P. 5238-5244.
30. Corbel M. Brucellosis in Humans and Animals: FAO, OIE, WHO. Available: <http://www.who.int/csr/resources/publications/Brucellosis.pdf> (Дата обращения: январь 2014 г.).
31. Corbel M.J. Brucellosis in humans and animals. – World Organisation for Animal Health; WHO, 2006. – 89 р.
32. Doyle T.J., Bryan R.T. Infectious diseases morbidity in the U.S. region bordering Mexico, 1990-1998 // J. Infect. Dis. – 2000. – Vol. 182, №5. – P. 1503-1510.
33. Falagas M.E., Bliziotis I.A. Quinolones for treatment of human brucellosis: critical review of the evidence from microbiological and clinical studies // Antimicrob. Agents Chemother. – 2006. – Vol. 50. – P. 22-33.
34. Kerb R. Implications of genetic polymorphisms in drug transporters for pharmacotherapy // Cancer Lett. – 2006. – Vol. 234. – P. 4-33.
35. Kurata Y., Ieiri I., Kimura M. et al. Role of human MDR1 gene polymorphism in bioavailability and interaction of digoxin, a substrate of P-glycoprotein // Clin. Pharmacol. Ther. – 2002. – Vol. 72, №2. – P. 209-219.
36. Mahajan N.K., Kulshreshtha R.C., Malik G., Dahiya J.P. Immunogenicity of major cell surface protein(s) of *Brucella melitensis* Rev 1 // Vet. Res. Commun. – 2005. – Vol. 29, №3. – P. 189-199.
37. Moscow G.A., Cowan K.H. Multidrug resistance // J. Natl. Inst. – 1988. – Vol. 80. – P. 144.
38. Shamelian S.O. Diagnosis and treatment of brucellosis // Neth. J. Med. – 2000. – Vol. 56, №5. – P. 198-200.
39. Solera J. Treatment of human brucellosis // J. Med. Liban. – 2000. – Vol. 48. – P. 255.
40. Zheludkov M.M., Tsirelson L.E., Kulakov Y.K. Human brucellosis in Russia // Mat. Intern. Confer. Brucellosis 2008. – L., 2008. – P. 125.

СОВРЕМЕННОЕ СОСТОЯНИЕ ПРОБЛЕМЫ БРУЦЕЛЛЕЗА

Миррахимова Н.М., Ахмедова Х.Ю., Рузимурадов М.А., Ибрагимов А.А.

Бруцеллез – особо опасная и социально значимая инфекция, приносящая значительный экономический ущерб и определяющая высокий уровень инвалидности больных не только из-за свойств самого возбудителя, но и в результате генетических особенностей макроорганизма, которыми обусловлено около 50%, а по некоторым данным, до 90% всех «неблагоприятных» ответов на лекарственные средства. Одним из наиболее изученных на сегодняшний день генетических факторов, имеющих важное клиническое значение, является полиморфизм гена множественной лекарственной устойчивости (МЛУ/MDR1/Multidrug resistance 1) кодирующий лекарственный транспортёр гликопротеин – P (Pgp).

Ключевые слова: эпидемиология, клиника, диагностика, лечение бруцеллеза, ген множественной лекарственной устойчивости макроорганизма.

ЗНАЧИМОСТЬ МОЛЕКУЛЯРНО-БИОЛОГИЧЕСКИХ ФАКТОРОВ В ПРОГНОЗИРОВАНИИ ЭФФЕКТИВНОСТИ ТЕРАПИИ ПРИ РАКЕ ТОЛСТОЙ КИШКИ (ОБЗОР ЛИТЕРАТУРЫ)

Нишанов Д.А., Абдуллаходжаева М.С., Абдужаббаров С.Б., Мадалиев А.А., Хамидов С.Ю.

ЙЎҒОН ИЧАҚ ҲАВФЛИ ЎСМАЛАРИ ДАВОЛАШ САМАРАДОРЛИГИДА МОЛЕКУЛЯР-БИОЛОГИК ОМИЛЛАРНИНГ АҲАМИЯТИ (АДАБИЁТЛАР ШАРҲИ)

Нишанов Д.А., Абдуллаходжаева М.С., Абдужаббаров С.Б., Мадалиев А.А., Хамидов С.Ю.

SIGNIFICANCE OF MOLECULAR-BIOLOGICAL FACTORS IN PREDICTING THE EFFECTIVENESS OF THERAPY IN COLON CANCER

Nishanov D.A., Abdullakhodjayeva M.S., Abdujabborov S.B., Madaliyev A.A., Khamidov S.Yu.

Республиканский онкологический научный центр

Йўғон ичак ҳавфли ўсмалари жарроҳлик даволашда унинг ҳажмини аниқлаш, беморларда хусусий кимётерапияни репжалашни, ўсмаларни қайталаниши ва беморларнинг яшовчанглигини олдиндан белгилаш имкониятини берувчи молекуляр-биологик омиллар таҳлили қилинган. Бундай омилларга Ki-67 антигени, Bcl-2 оқсили, nm23, pS2, E-кадгерин, CD68, CD20 B-хужайра, CD3 T-хужайралар маркерлари, матрикс металлопротеиназалар, HER2/neu онкопротеини ва бошқалар киради. Аммо уларнинг сезувчанглигининг юқори эмаслиги амалиётда исботланмоқда. Турли хилдаги молекуляр маркерларни комплекс қўлланилиши касаллик кечишини самарали индивидуал прогнозлаш имкониятини яратиши мумкин.

Калит сўзлар: ангиопоэтинлар, Ki-67 антигени, p21 ва p27, Bcl-2, nm23, pS2 оқсилилари, ҳужайралараро матрикс, дендрит ҳужайралар, E-кадгерин, CD68, B-хужайраларининг CD20, T-хужайраларининг CD3, CA-19-9 маркерлари.

The review article is devoted to the study of molecular-biological factors for colon cancer, which can contribute to a better definition of the volume of surgical intervention, individual program planning and forecasting treatment of patients' survival and recurrence. Currently, among these factors, isolated primarily antigen Ki-67, Bcl-2, nm23, pS2 protein's, E-cadherin, the marker CD68, a marker of B cell CD20, a marker of T cell CD3, matrix metalloproteinase oncoprotein HER2 / neu, p53 tumor marker, proteoglycan CD44, carcinoembryonic antigen, thymidylate synthase, fibroblast growth factor, cyclins cytokine VEGF and S100-proteins. Despite the high hopes that were pinned by researchers at the tumor markers, the practice often shows their low sensitivity. However, the integrated use of various molecular markers, may contribute to the development of effective models of individual prognosis of the disease.

Key words: angiopoietins, antigen Ki-67, proteins p21 and p27, Bcl-2 protein, protein nm23, protein pS2, extracellular matrix (ECM), dendritic cells (DC), E-cadherin, marker CD68, marker of B cell CD20, T cell marker CD3, marker CA-19-9, etc.

Заболеваемость и лечение рака толстой кишки (РТК) остается актуальной проблемой на протяжении последних десятилетий, при этом во всём мире отмечается неуклонная тенденция к росту этой онкологии [2,12]. До сих пор ведущим в лечении РТК остается хирургический метод, что обусловлено большим числом пациентов с поздними стадиями заболевания, а также низкой чувствительностью злокачественных опухолей толстой кишки к химиолучевым методам воздействия. Выбор метода оперативного пособия при РТК зависит от локализации и распространенности опухолевого процесса, формы роста, морфологии опухоли, наличия или отсутствия лимфогенных и гематогенных метастазов и общего состояния больного [1,14].

В то же время, решение вопроса о целесообразности выполнения таких операций при РПК во многом определяется такими субъективными факторами, как позиция конкретного исполнителя, а также уровнем его подготовки. Поэтому на современном этапе развития онкохирургии при выборе метода хирургического лечения больных РПК актуальной является необходимость широкого использования последних достижений в области клинико-лабораторной диагностики. Расширение показаний к функционально сберегательным операциям должно идти параллельно с поиском молекулярно-биологических факторов и формированием на их основе четких критериев к их выполнению, с учётом сравнительного анализа отдаленных результатов лечения и обязательным учетом патоморфологических характеристик опухоли [1,4,5,16].

Улучшение отдаленных результатов лечения РТК сопряжено с решением ряда проблем, и прежде всего с совершенствованием методов оценки биологических свойств опухоли,

что стало возможным благодаря внедрению в клиническую практику иммуногистохимических методов диагностики [3]. Изучение экспрессии молекулярно-биологических маркеров представляет большой интерес для более четкого определения стадии заболевания, планирования индивидуальной программы лечения, отбора больных для проведения таргетной терапии, прогнозирования выживаемости и составления персональной программы мониторинга [4,5].

Основные факторы, влияющие на прогноз заболевания. В возникновении РТК доказана роль генных нарушений, приводящих к нарушению процесса апоптоза эндотелиальных клеток толстой кишки, которые могут возникать как спонтанно, так и под воздействием различных канцерогенных факторов [13,22]. Установлена также зависимость частоты инвазии от гистологического строения опухоли. В этом плане наиболее неблагоприятными являются слизистая аденокарцинома, перстневидно-клеточный рак, недифференцированный и неклассифицируемый рак. Немаловажными факторами прогноза, по разным данным, являются такие морфологические критерии как периваскулярная и периневральная инвазия, а также степень дифференцировки опухоли [1,6,35].

Существуют данные о том, что высокий процент анеуплоидии ДНК и клеток в S-фазе является признаком высокой частоты рецидивов и низкой выживаемости оперированных больных в стадии B2 по Dukes [4]. Было также показано, что в процессе канцерогенеза происходит увеличение активности ядрышковых организаторов в ядрах клеток [3,5].

Необходимо отметить, что агрессивность опухолевого процесса в группах больных со сходными клиническими и морфологическими признаками заболевания часто имеет

ЗНАЧИМОСТЬ МОЛЕКУЛЯРНО-БИОЛОГИЧЕСКИХ ФАКТОРОВ В ПРОГНОЗИРОВАНИИ...

значительные различия. Предполагают, что эти различия обусловлены молекулярными особенностями опухолей и могут служить дополнительными факторами, на основании которых можно прогнозировать метастазирование и выживаемость больных РТК [3].

Последние стремительные успехи в области молекулярной биологии и молекулярной клинической диагностике позволили выделить целый ряд молекулярных маркеров, наиболее часто ассоциирующихся с прогрессированием РТК [34]. Некоторые диагностически значимые маркеры могут быть достаточно полезными при выборе правильной тактики лечения, а также для контроля ответа опухоли на проводимое лечение [4,7,13].

Основой для выделения клинически значимых молекулярных факторов послужило открытие наблюдаемых в процессе развития и прогрессии опухоли структурных и функциональных изменения онкогенов и генов-супрессоров [8]. Особенности экспрессии кодируемых этими генами белков могут выявляться иммуногистохимическими методами в клетках РТК и служить специфическими показателями биологической активности раковых клеток. Кроме того, расширяются возможности для биохимического определения растворимых рецепторов антигенов в сыворотке крови больных РТК и в ткани опухоли с помощью иммуноферментных методов [6,22].

Оценка пролиферативной активности (ПА) опухоли толстой кишки. Пролиферативная активность является более важным прогностическим фактором в отношении выживаемости, чем тип роста опухоли или количество метастазов. Диагностически значимым маркером при определении ПА недавно признан антиген Ki-67. Ki-67 экспрессируется у 33% больных РТК, кроме того, его экспрессия положительно коррелирует с эффективностью проведения химиолечебной терапии [25]. Следует отметить, что в случае высокого уровня экспрессии Ki-67 пятилетняя безрецидивная выживаемость после химиолечебного лечения отмечена у 91% больных РТК, в случае низкого уровня – у 34% [3,21].

Важным ферментом синтеза ДНК является тимидилатсинтетаза (ТС), при повышении уровня экспрессии которой возрастает ПА клеток РТК. Высокий уровень экспрессии ТС в первичной опухоли определяется в среднем у 70-72% больных РТК [13]. ТС является мишенью для флуороурацила, который широко используют в химиотерапии РТК, поэтому внутриклеточная концентрация ТС также может быть индикатором клинического эффекта проводимой химиотерапии с использованием этого препарата [15]. Кроме того, уровень ТС является прогностическим фактором в отношении рецидивов и метастазов, а также безрецидивной и общей выживаемости больных РТК. Для пациентов с низким уровнем экспрессии ТС характерен более благоприятный прогноз по сравнению с таким у пациентов, у которых отмечается высокий уровень экспрессии этого маркера [8,31].

Факторы апоптоза. Опухолевый супрессор p53 является центральным интегратором клеточного ответа на стресс, повреждения ДНК, а также играет важную роль в процессах канцерогенеза. В результате мутаций p53 трансформируется в онкоген, запуская экспрессию генов, негативно регулирующих клеточный цикл или вызывающих апоптоз. Белок p53 способствует остановке клеточного цикла в ответ на повреждение ДНК. Было показано, что гиперэкспрессия p53 в ткани РТК, которая встречается в 43-59% случаев, ассоциируется со сниженной дифференцировкой опухоли, распространенной стадией опухолевого процесса, ранним развитием рецидивов и метастазов [13,20,21].

Важную роль в регуляции экспрессии p53 играют белки p21 и p27, которые являются одними из основных ин-

гибиторов циклинзависимых киназ. Так, p21 экспрессируется в опухолевых клетках у 33-67% больных РТК и чем ниже уровень экспрессии p21 до предоперационного химиолечебного лечения, тем лучше отдаленные результаты лечения [32]. Установлено, что экспрессия p21 связана с частотой развития метастазов и выживаемостью больных РТК. Доказано, что безрецидивная выживаемость лучше у больных с низким уровнем экспрессии p21 [24], по данным других авторов при уровне экспрессии p21 в клетках опухоли более 50%, у больных РТК отмечается достаточно благоприятный прогноз в отношении выживаемости [21].

Экспрессия p27 в adenокарциноме толстой кишки и нормальной слизистой оболочки кишечника определяется в 40-54% опухолей и у 80% пациентов. Было установлено, что экспрессия p27 в опухолях больных РТК является независимым благоприятным прогностическим признаком в отношении общей выживаемости. Некоторые авторы отмечают, что снижение экспрессии p27 в опухолях больных РТК менее чем до 50% является неблагоприятным прогностическим признаком [29]. По данным других авторов, экспрессия p27 в опухолевых клетках влияет на эффективность химиолечебного лечения у больных с местно-распространенным РТК, безрецидивная выживаемость после лечения была лучше в группе пациентов без экспрессии p27 до начала проведения терапии [32].

У больных метастатическим РТК экспрессия p21 и p27 в опухоли является неблагоприятным прогностическим признаком. При отсутствии экспрессии этих маркеров медиана выживаемости больных с метастатическим РТК составила 22 месяца, тогда как при экспрессии в опухоли одного из маркеров – 15 месяцев, а обоих маркеров – всего 10 месяцев [29]. Однако следует отметить, что некоторые исследователи вообще не выявили прогностического значения экспрессии p27 у больных РТК [20].

Белок Bcl-2, кодирующийся геном Bcl-2, также является регулятором апоптоза при РТК и в норме экспрессируется клетками, выстилающими донную часть кишечника. При этом экспрессия Bcl-2 при РТК стадии I по Dukes' ассоциируется с лучшей выживаемостью больных, соответственно тем пациентам, чьи опухоли не экспрессируют Bcl-2, целесообразно проводить адъювантную терапию. Экспрессия Bcl-2 определяется в 29-53% опухолей у больных РТК [21]. Высокий уровень экспрессии Bcl-2 у больных РТК II стадии ассоциируется с высокой 5-летней выживаемостью (до 98%), а также низким риском развития рецидивов. При низком уровне экспрессии Bcl-2 в опухоли 5-летняя выживаемость больных РТК снижается до 70%, а также повышается риск возникновения рецидивов [22]. Однако некоторые авторы не установили связи между реакцией опухоли на химиолечебную терапию, выживаемостью больных РТК и уровнем экспрессии Bcl-2 в клетках РТК [5,6].

Онкоспецифические маркеры и факторы роста. Наиболее известным маркером РТК является раковоэмбриональный антиген (РЭА), открытый в 1965 г. Gold и Freedman. РЭА представляет собой гликопротеид, располагающийся в периферических слоях клеточной мембраны. Как опухолевый маркер он обладает рядом недостатков. Во-первых, РЭА не выявляется у 40% больных РТК, во-вторых, имеет низкую специфичность, поскольку повышение его уровня выявляется при других злокачественных опухолях и при неопухолевых заболеваниях. Поэтому РЭА не нашел применения в первичной диагностике РТК. Повышение уровня РЭА отмечается в запущенных стадиях опухолевого процесса.

Высокий уровень маркера часто выявляется при метастазах в печени, реже при локальном раке. После радикального лечения уровень РЭА в крови больного, как правило, снижается по отношению к исходному значению или

до нормы. Высокий уровень РЭА после операции является неблагоприятным прогностическим признаком, свидетельствующим о нерадикальности проведенного лечения, что сопровождается увеличением вероятности рецидива и уменьшением выживаемости. Систематическое определение уровня РЭА у больных после радикального лечения позволяет выявить рецидив. Повышение уровня РЭА в плазме больного более чем в 2 раза по сравнению с исходным (послеоперационным) или показатель 10 нг/мл может считаться сигналом тревоги. В этом случае необходимо углубленное обследование больного с целью выявления рецидива [4,18,19].

Прогностическое значение при РТК имеет еще один широко определяемый маркер – СА-19-9. Если его уровень превышает 37 ед/мл, риск смерти в течение 3-х лет после операции в 4 раза выше, чем у тех больных, у которых этот показатель отрицательный или более низкий [4,5].

Факторы роста (эпидермальный фактор роста, трансформирующий фактор роста-α, амфирегулин, гепарин-связывающий фактор роста, херегулин и бетацеллюлин), а также рецепторы к эпидермальному (ErbB1/HER1, ErbB2/HER2, ErbB3/ HER3, ErbB4/HER4) и инсулиноподобным (IGFR) факторам роста влияют на рост и регенерацию слизистой оболочки кишечника, а также могут быть непосредственно связаны с прогрессированием РТК. Помимо структуры, эти рецепторы отличаются между собой относительной специфичностью и сродством к различным общим лигандам [9,16,33].

Гиперэкспрессия онкопroteина ErbB2 (HER2/neu), являющегося рецептором эпидермального фактора роста 2-го типа, придающего клеткам свойство неограниченного деления, служит фактором риска рецидива заболевания для ряда опухолей: рака молочной железы, толстой кишки, лёгкого и др. ErbB2 – это ещё один перспективный прогностический маркер неблагоприятного исхода, частоты метастазирования при РТК. Сверхэкспрессия ErbB2 (Hercept-Test) служит показанием к назначению химиотерапевтических препаратов (в частности герцептина) [27,34].

Различные белковые факторы. Для исследования клеточного цикла используются циклины – белки, оказывающие регулирующий эффект на рост активированной клетки. Этот эффект реализуется посредством активации циклинзависимых киназ (Cdk2). В настоящее время принята классификация циклинов в соответствии с фазами клеточного цикла: циклины фазы G1 – D1, D2 и D3, циклины S-фазы – A и E, фазы G2/M – B1 и B2. Уровень циклинов направленно меняется в ходе клеточного цикла таким образом, что в каждой стадии цикла активен обычно только один определенный комплекс Cdk. Прогрессию фаз G1>S регулируют циклин D-, E- и A-зависимые киназы, а фаз G2>M – циклин-B-зависимые [5,24].

Белок pS2, имеющий важное прогностическое значение при раке молочной железы, также экспрессируется у 89% больных РТК, при этом в опухоли определяется достоверно более высокий уровень pS2, чем в нормальной слизистой оболочке кишечника. Уровень экспрессии pS2 намного выше в дистально расположенных опухолях ободочной кишки, а также в опухолях прямой кишки. По данным ряда авторов, pS2 играет роль в канцерогенезе РТК, но достоверного прогностического значения этого маркера не установлено [3,6].

Белок nm23 является одним из маркеров клеточной пролиферации, дифференцировки и контроля метастазирования опухоли [3]. Ряд исследователей доказали, что экспрессия nm23 в опухолях больных РТК является благоприятным прогностическим фактором [20]. В то же время встречаются данные, что экспрессия nm23 у больных РТК, напротив, коррелирует с риском развития метастазов и не-

благоприятным прогнозом [4]. Согласно другим данным, экспрессия nm23 является независимым прогностическим фактором развития отдаленных метастазов и выживаемости больных РТК [3]. Несмотря на это, некоторые исследователи не наблюдали прогностической роли nm23 [5].

В норме в слизистой прямой кишки мембранный белок MUC1 не синтезируется, но его экспрессия характерна для РПК. Гиперэкспрессия MUC1 в РПК связана со снижением степени дифференцировки опухолевых клеток. При неопластической трансформации наблюдается связывание MUC1c рецепторами эпидермальных факторов роста и тирозинкиназы, что способствует активации ряда клеточных сигнальных систем [5,6].

S100-протеины представляют собой кальций-связывающие протеины, которые являются маркером дендритных клеток (ДК), которые присутствуют в следовых количествах во всех органах, в том числе и в слизистой кишечника. Миелоидные предшественники дифференцируются в классические эпителиальные CD1a и неэпителиальные тканевые ДК, которые мигрируют через лимфатические узлы в Т-зависимые области вторичных лимфоидных органов. В результате происходит стимуляция клонов нативных Т-клеток, играющих основную роль в развитии противоопухолевого иммунитета [3,7].

Внутриклеточные факторы. Об опухолевой прогрессии можно косвенно судить по состоянию сосудов микротиркуляторного русла и более крупных сосудов. Опухоль, достигая в диаметре более 1 мм, приобретает возможность метастазирования с началом ангиогенеза в ней. Во взрослом организме определяющую роль в ангиогенезе играют основной фактор роста фибробластов и VEGF [10,23]. VEGF – цитокин, действующий как специфический митоген для эндотелиальной клетки (ЭК) и фактор, индуцирующий повышение проницаемости сосудов. В норме VEGF экспрессируют активированные макрофаги, эпителиальные и мезангимальные клетки клубочков почек, тромбоциты и кератиноциты [30].

Пролиферации ЭК способствует также ряд других факторов: сосудистые эндотелиальные кадгерины (КГ) и ангиопоэтины (АГП-1 и АГП-2). В опухолевом ангиогенезе большую роль играют ангиостатин и эндостатин. В образовании сосудов важна способность ЭК к адгезии к тромбоцитам и эндотелиальным КГ [11]. В норме гетеротипическая адгезия проявляется связью ЭК с форменными элементами крови. В условиях патологии способность к адгезии с ЭК и циркулирующими элементами крови приобретают и клетки опухоли. Это происходит при инвазии опухоли в сосуды, а затем во внеклеточный матрикс (ВКМ) и является одним из основных механизмов распространения неопластического процесса и метастазирования [17,26].

Важным маркером прогрессирования злокачественного процесса может быть нарушение адгезии между клетками. Одними из основных молекул, обеспечивающих прочность адгезивных связей, являются Е-кадгерин и протеогликан CD44 [11], снижение уровня экспрессии которых в опухолевых клетках больных РТК связывают с повышенным риском развития метастазов и неблагоприятным прогнозом [26].

Важную роль в прогрессировании РТК играют матриксы металлопротеиназы (ММП), которые участвуют в разрушении экстрацеллюлярного матрикса, ангиогенезе опухоли; они также взаимодействуют с факторами роста и их рецепторами, медиаторами апоптоза и молекулами клеточной адгезии [28]. Обнаружен более высокий уровень экспрессии ММП в плазме крови и опухолевых клетках у больных РТК по сравнению с таковыми в плазме крови здоровых лиц и в нормальной слизистой оболочке

кишечника. Экспрессия ММП-2 определяется в 68,8% опухолях больных РТК [4]. Некоторые авторы установили, что уровень ММП в плазме крови и клетках опухоли у больных РТК коррелирует с метастатической активностью и инвазией опухоли в окружающие ткани, а также стадией заболевания и клиническим прогнозом [5,28].

В последние годы изучают влияние экспрессии фермента циклооксигеназы-2 (COX-2) на прогрессирование РТК. Установлено, что COX-2 влияет на неонангогенез опухоли и отдаленное метастазирование у данной категории больных. Существует мнение, что уровень экспрессии COX-2 может коррелировать со стадией РТК, но для определения прогностического значения экспрессии COX-2 необходимы дальнейшие исследования [3,5].

Опубликовано значительное количество работ, посвященных влиянию оксида азота (NO), а также ферментов его синтеза на развитие и прогрессирование РТК. Экспрессия iNOS в опухоли отмечается у 20-50% больных РТК, однако имеющиеся данные о возможном влиянии экспрессии iNOS на прогноз заболевания носят весьма противоречивый характер. Согласно результатам ряда исследований, при экспрессии iNOS метастазы в лимфатические узлы обнаруживаются у 63% больных, а при отсутствии таковой – у 30% [4]. Другие исследователи не выявили прогностического значения iNOS [5].

Современные эпидемиологические, экспериментальные и клинические данные подтверждают гипотезу о влиянии эстрогенов на развитие и прогрессирование РТК. Экспрессию рецепторов эстрогенов (РЭ) определяют у 60-91% больных РТК, тогда как в нормальной слизистой оболочке кишечника – всего в 30% случаев [3]. Существуют сведения, что экспрессия РЭ опухолевыми клетками положительно коррелирует с благоприятным течением заболевания и выживаемостью больных РТК [5].

Заключение

В настоящее время комплексный анализ факторов, участвующих в поддержании тканевого гомеостаза РТК, включает в себя, прежде всего, антиген Ki-67, белки p21 и p27, Bcl-2, nm23, pS2, E-кадгерин, маркер CD68, маркер В-клеток CD20, маркер Т-клеток CD3, маркер CA-19-9, матриксные металлопротеиназы, мембранный белок MUC1, онкопротеин ErbB2 (HER2/neu), опухолевый супрессор p53, протеогликан CD44, раковоэмбриональный антиген, тимидилатсинтетаза, фактор роста фибробластов, циклины, цитокин VEGF и S100-протеины [4,6,14,22,25,35].

В то же время, несмотря на большие надежды, которые возлагались исследователями на опухолевые маркеры как на средство повышения степени выявляемости ранних форм РТК, практика показывает, что их чувствительность обычно колеблется между 10 и 30%, значительно увеличивается по мере нарастания клинической манифестации и может достигать 90%. Однако ни один из онкомаркеров не обладает 100% чувствительностью и специфичностью, они не могут указывать на развитие опухоли на доклинической стадии, величина их сильно варьирует в зависимости от массы, стадии и метастазирования РТК. Ещё одной из причин немногочисленного внедрения молекулярных маркеров в диагностическую практику является высокая стоимость подобных исследований и сложность интерпретации данных множества прогностических факторов [5,16,21,30].

Таким образом, на сегодняшний день существует достаточно много молекулярных маркеров прогрессирования РТК, уровень экспрессии которых зачастую может ассоциироваться с высоким риском развития рецидивов или отдаленного метастазирования, а также позволяют контролировать результаты проведенного лечения и в

некоторых случаях даже прогнозировать выживаемость больных РТК. Комплексное использование различных молекулярных маркеров может способствовать разработкам эффективных моделей индивидуального прогнозирования течения заболевания. Представляется целесообразным дальнейшее изучение диагностической значимости существующих и поиск новых маркеров, имеющих прогностическое значение при РТК [3,6,15].

Литература

- Барсуков Ю.А., Кныш В.И. Современные возможности лечения колоректального рака // Соврем. онкол. – 2006. – Т. 8, №2. – С.7-16.
- Давыдов М.И., Аксель Е.М. Заболеваемость злокачественными новообразованиями в России и странах СНГ в 2008 г. // Вестн. РОНЦ им. Н.Н. Блохина РАМН. – 2010. – Т. 21, №2 (прил.1). – С. 52-86.
- Делекторская В.В. Молекулярно-биологические маркеры метастазирования и прогноза при раке толстой кишки: Дис. ... д-ра мед. наук. – М., 2007. – 240 с.
- Завалишина Л.Э. Молекулярно-биологические факторы инвазивного роста и метастазирования рака при морфологическом исследовании: Дис. ... д-ра мед. наук. – М., 2006. – 292 с.
- Имянитов Е.Н. Клинико-молекулярные аспекты колоректального рака: этиопатогенез, профилактика, индивидуализация лечения // Практ. онкол. – 2005. – Т. 6, №2. – С. 65-70.
- Корсакова Н.А. Иммунофенотипическая характеристика клеток эпителиальных новообразований толстой кишки: Дис. канд. мед. наук. – М., 2007. – 135 с.
- Олейник Е.К., Шибаев М.И., Олейник В.М. Динамика экспрессии маркеров активации лимфоцитов больных с опухолями желудочно-кишечного тракта на различных стадиях заболевания // Вопр. онкол. – 2005. – Т. 51, №5. – С. 571-574.
- Anderson D.D., Woeller C.F., Chiang E.P. et al. Serine hydroxymethyltransferase anchors de novo thymidylate synthesis pathway to nuclear lamina for DNA synthesis // J. Biol. Chem. – 2012. – Vol. 287, №10. -P.7051-7062.
- Azria D., Bibeau F., Barbier N. et al. Prognostic impact of epidermal growth factor receptor (EGFR) expression on loco-regional recurrence after preoperative radiotherapy in rectal cancer // BMC Cancer. – 2005. – Vol. 5. – P. 62.
- Bendaraf R., Buhmeida A., Hilska M. et al. VEGF-1 expression in colorectal cancer is associated with disease localization, stage, and long-term disease-specific survival // Anticancer Res. – 2008. – Vol. 28, №6B. – P. 3865-3870.
- Bendaraf R., Elzagheid A., Lamlum H. et al. E-cadherin, CD44s and CD44v6 correlate with tumor differentiation in colorectal cancer // Oncol. Rep. – 2005. – Vol. 13, №5. – P. 831-835.
- Boyle P., Leon M.E. Epidemiology of colorectal cancer // Brit. Med. Bull. – 2002. – Vol. 64. – P. 1-25.
- Broll R., Busch P., Duchrow M. et al. Influence of thymidylate synthase and p53 protein expression on clinical outcome in patients with colorectal cancer // Int. J. Colorectal Dis. – 2005. – Vol. 20, №2. – P. 94-102.
- Chin C.C., Wang J.Y., Yeh C.Y. et al. Metastatic lymph node ratio is a more precise predictor of prognosis than number of lymph node metastases in stage III colon cancer // Int. J. Colorectal. Dis. – 2009. – Vol. 24. – P. 1297-1302.
- Conradi L.-C., Bleckmann A., Schirmer M. et al. Thymidylate synthase as a prognostic biomarker for locally advanced rectal cancer after multimodal treatment // Ann. Surg. Oncol. – 2011. – Vol. 18, №9. – P. 2442-2452.
- Deng Y., Kurland B.F., Wang J. et al. High epidermal growth factor receptor expression in metastatic colorectal cancer lymph nodes may be more prognostic of poor survival than in primary tumor // Amer. J. Clin. Oncol. – 2009. – Vol. 32, №3. – P. 245-252.
- Filiz A.I., Senol Z., Sucullu I. The survival effect of E-cadherin and catenins in colorectal carcinomas // Colorectal. Dis. – 2010. – Vol. 12, №12. – P. 1223-1230.
- Nicholson B.D., Shinkins B., Pathiraja I. et al. Blood CEA levels for detecting recurrent colorectal cancer // Cochrane Database Syst. – 2015. – Vol. 10, №12. – P. CD011134.
- Sorensen C.G., Karlsson W.K., Pommergaard H.C. et al. The diagnostic accuracy of carcinoembryonic antigen to detect colorectal cancer recurrence – A systematic review // Int. J. Surg. – 2015. – Vol. 15. – P. S1743-1747.
- Guan-Zhen Y., Ying C., Can-Rong N. et al. Reduced protein expression of metastasis-related genes (nm23, KISS1, KAI1 and p53) in lymph node and liver metastases of gastric cancer // Int. J. Exp. Pathol. – 2007. – Vol. 88, №3. – P. 175-183.

21. Gurzu S., Jung J., Mezei T., Pávai Z. The correlation between the immunostains for p53 and Ki67 with bcl-2 expression and classical prognostic factors in colorectal carcinomas // Rom. J. Morphol. Embryol. – 2007. – Vol. 48, №2. – P. 95-99.
22. Guzinska-Ustymowicz K., Pryczynicz A., Kemona A., Czyzewska J. Correlation between proliferation markers: PCNA, Ki-67, MCM-2 and antiapoptotic protein Bcl-2 in colorectal cancer // Anticancer Res. – 2009. – Vol. 29, №8. – P. 3049-3052.
23. Hanrahan V., Currie M.J., Cunningham S.P. et al. The angiogenic switch for vascular endothelial growth factor (VEGF)-A, VEGF-B, VEGF-C, and VEGF-D in the adenoma-carcinoma sequence during colorectal cancer progression // J. Pathol. – 2003. – Vol. 200, №2. – P.183-194.
24. Holland T.A., Elder J., McCloud J.M. et al. Subcellular localisation of cyclin D1 protein in colorectal tumours is associated with p21 (WAF1/CIP1) expression and correlates with patient survival // Int. J. Cancer. – 2001. – Vol. 95, №5. – P. 302-306.
25. Huh J.W., Lee J.H., Kim H.R. Expression of p16, p53, and Ki-67 in colorectal adenocarcinoma: a study of 356 surgically resected cases // Hepatogastroenterology. – 2010. – Vol. 57 (101). – P. 734-740.
26. Karamitopoulou E., Zlobec I., Patsouris Es. et al. Loss of E-cadherin independently predicts the lymph node status in colorectal cancer // Pathology. – 2011. – Vol. 43, №2. – P.133-137.
27. Kim J.Y., Bae B.N., Kwon J.E. et al. Prognostic significance of epidermal growth factor receptor and vascular endothelial growth factor receptor in colorectal adenocarcinoma // APMIS. – 2011. – Vol. 119, №7. – P. 449-459.
28. Langenskiöld M., Holmdahl L., Falk P., Ivarsson M.L. Increased plasma MMP-2 protein expression in lymph node-positive patients with colorectal cancer // Int. J. Colorectal Dis. – 2005. – Vol. 20, №3. – P. 245-252.
29. Li G.Q., Zhang H.F. Mad2 and p27 expression profiles in colorectal cancer and its clinical significance // Wld J. Gastroenterol. – 2004. – Vol. 10 (21). – P. 3218-3220.
30. Liu H., Wan D., Pan Z. et al. Expression and biological significance of leptin, leptin receptor, VEGF, and CD34 in colorectal carcinoma // Cell. Biochem. Biophys. – 2011. – Vol. 60, №3. – P. 241-244.
31. Liu Y., Xia Q., Jia Y. et al. Significance of differential expression of thymidylate synthase in normal and primary tumor tissues from patients with colorectal cancer // J. Hematol. Oncol. – 2011. – Vol. 33, №4. – P. 1-2.
32. Prall F., Ostwald C., Nizze H., Barten M. Expression profiling of colorectal carcinomas using tissue microarrays: cell cycle regulatory proteins p21, p27, and p53 as immunohistochemical prognostic markers in univariate and multivariate analysis // Appl. Immunohistochem. Mol. Morphol. – 2004. – Vol. 12, №2. – P. 111-121.
33. Rego R.L., Foster N.R., Smyrk T.C. Prognostic effect of activated EGFR expression in human colon carcinomas: comparison with EGFR status // Brit. J. Cancer. – 2010. – Vol. 102, №1. – P. 165-172.
34. Yang D., Schneider S., Azuma M. et al. Gene expression levels of epidermal growth factor receptor, surviving, and vascular endothelial growth factor as molecular markers of lymph node involvement in patients with locally advanced rectal cancer // Clin. Colorectal Cancer. – 2006. – Vol. 6, №4. – P. 305-311.
35. Zlobec I., Holler S., Tornillo L. et al. Combined histomorphologic and immunohistochemical phenotype to predict the presence of vascular invasion in colon cancer // Dis. Colon. Rectum. – 2009. – Vol. 52, №6. – P. 1114-1121.

ЗНАЧИМОСТЬ МОЛЕКУЛЯРНО-БИОЛОГИЧЕСКИХ ФАКТОРОВ В ПРОГНОЗИРОВАНИИ ЭФФЕКТИВНОСТИ ТЕРАПИИ ПРИ РАКЕ ТОЛСТОЙ КИШКИ

Нишанов Д.А., Абдуллаходжаева М.С., Абдужаббаров С.Б.,
Мадалиев А.А., Хамидов С.Ю.

Описаны молекулярно-биологические факторы при раке толстой кишки, которые могут способствовать более четкому определению объема хирургического вмешательства, планированию индивидуальной программы лечения больных и прогнозированию выживаемости и рецидивирования. В настоящее время среди таких факторов выделяют, прежде всего, антиген Ki-67, белки Bcl-2, p21, p27, E-кадгерин, маркер CD68, маркер В-клеток CD20, маркер Т-клеток CD3, матриксные металлопротеиназы, онкопротеин HER2/neu и некоторые другие. Несмотря на большие надежды, которые возлагались исследователями на опухолевые маркеры, практика часто показывает их невысокую чувствительность. Однако комплексное использование различных молекулярных маркеров может способствовать разработкам эффективных моделей индивидуального прогнозирования течения заболевания.

Ключевые слова: анигиоэтины, антиген Ki-67, белки p21 и p27, белок Bcl-2, белок p21, белок p27, белок pS2, внеклеточный матрикс, дендритные клетки, Е-кадгерин, маркер CD68, маркер В-клеток CD20, маркер Т-клеток CD3, маркер CA-19-9 и др.

ВРОЖДЕННЫЕ РАСЩЕЛИНЫ ВЕРХНЕЙ ГУБЫ И НЕБА

Шамсиев Ж.А., Шамсиев Р.А.

ЮҚОРИ ЛАБ ВА ТАНГЛАЙНИНГ ТҮФМА БИТМАСЛИГИ

Шамсиев Ж.А., Шамсиев Р.А.

CONGENITAL LIP AND PALATE CLEFTS

Shamsiyev J.A., Shamsiyev R.A.

Самаркандинский государственный медицинский институт

Түфма юқори лаблар ва танглай түфма нұқсонларига бағишиләнган адабиётларни таҳлили. Бу патологияни даволаш натижаларини атрофлича таҳлил қылыш заруратини, ва эңг мұхими, илғор жаррохлық ва шикастланған үчөп ва организмга таъсир этүвчи альтернатив үсулларни құлланишидан қаттың назар, касалликнинг қайталаниши сабабларини аниқлаш лозимлигини күрсатдады.

Калит сұзлар: түфма ёриқ, юқори лаби ва болалар, генетик жиһатлари, даволаш.

The study of the literature on congenital lip and palate clefts demonstrates the need for rigorous analysis of results of treatment of this pathology, and most importantly, analysis of the causes of recurrence of the disease regardless of the use of advanced methods of surgical and alternative effects on the lesion and on the body.

Key words: congenital lip and palate clefts, children, genetic aspects, treatment.

Частота и распространенность рождения детей с врожденной расщелиной губы и нёба. Врожденная расщелина верхней губы и нёба (ВРГН) в структуре врожденных аномалий развития челюстно-лицевой области по частоте занимает первое место, а среди всех видов врожденных аномалий 4-7-е место и относится к наиболее тяжелым порокам развития, приводящим к значительным анатомическим (косметическим) и функциональным нарушениям (Исмайлова В.И., 2000; Мамедов Ад.А., 2002; Очнева Г.И., 2002; Хемприх А., 2002; Мурзабаева С.Ш., 2004; Сутулов В.В., 2006; Дворяковский И.В., 2007; Кугушев А.Ю., 2012; Нелюбина О.В., 2012; Coleman J., 2001).

Анатомические и функциональные нарушения, выявляемые у детей с данной патологией, приводят не только к задержке физического развития этих больных и частым сопутствующим заболеваниям, но и к изменениям со стороны психического состояния ребенка, обусловленного замкнутостью, развитием комплекса неполноценности. Кроме того, в некоторых случаях ВРГН может сочетаться с врожденными пороками развития других органов и систем (сердца, легких, почек и др.) (Мещерякова Т.И., 2015).

Частота рождения детей с ВРГН в мире, по данным Всемирной организации здравоохранения (2006), составляет 1:800-2000 новорожденных. В последние десятилетия отмечается тенденция к возрастанию частоты этого показателя, как и в целом врожденных пороков развития. Одной из причин этого счидают неблагоприятную экологическую обстановку (Mossey P.A., 2003; Gundlach K.K., 2006). Высказывается предположение, что в ближайшее десятилетие количество расщелин у живущего населения увеличится не менее чем до 1,5% (Аверьянова Н.И., 1996).

Распространенность врожденной расщелины верхней губы и неба зависит от географического положения, расы и социально-экономического статуса (Кугушев А.Ю., 2012; OPCS Congenital malformation statistics, 1992; Croen L.A., 1998; Cobourne M.T., 2004.). По данным K. Patel (2006), встречаемость данного порока наиболее высока у азиатских народов – 1:500 новорожденных, реже эта аномалия встречается у кавказских народов – 1:750, еще реже у афроамериканцев – 1:200. G. Smith отмечает высокую частоту этого порока в Сингапуре – до 5,38:1000 и, напротив, низкую у народа банту в ЮАР.

Согласно данным статистики, в США частота этого порока варьирует от 0,78 до 2,5 на 1000 новорожденных: от

0,78 в штате Нью-Йорк до 1,82 на Гавайях, 1,94 в Алабаме и даже до 2,5 на 1000 новорожденных в Нью-Мехико. В России дети с врожденными пороками развития составляют от 1 до 12% от всех новорожденных (Нелюбина О.В., 2012).

В Узбекистане в год с аномалией развития рождаются более 4 тысяч младенцев, третью часть из них составляют дети с врожденной патологией челюстно-лицевой области, из них 90% приходится на врожденные расщелины верхней губы и/или неба.

По данным Р.А. Амануллаева (2006), частота рождения детей с ВРГН в Узбекистане в 2003 г. в Аральском регионе составила 1:540, в Ферганской области – 1:943, в Самаркандинской области – 1:518, в Ташкентской области – 1:714, в Ташкенте – 1:806.

Несмотря на успехи современной медицины в совершенствовании хирургических методов лечения пациентов с ВРГН, до сих пор остаются спорными такие вопросы, как сроки выполнения хирургического лечения, выбор наиболее эффективных и наименее травматичных методов, которые в дальнейшем повлияют на состояние, речи, роста верхней челюсти и средней зоны лица и общее развитие ребенка (Махкамов Э.У., 1989; Артюшевич А.С., 2002; Кугушев А.Ю., 2012; Henningsson G.E., 1986;).

Этиология и патогенез врожденной расщелины верхней губы и нёба. Врожденная расщелина губы и неба – это порок, возникающий в результате нарушений морфогенеза плода на 7-8 и 11-12 неделях гестации (Аверьянова Н.И., 1996; Калюш А.В., 1999; Баландина Е.А., 2001; Водолацкий М.П., 2004; Викторова Т.В., 2005; Нелюбина О.В., 2012; Hruskova H., 1998). Высокие показатели рождения детей с ВРГН отмечаются в зонах с загрязненным атмосферным воздухом. Особенно высока частота рождения детей с ВРГН в районах с неблагоприятной экологической обстановкой, связанных с промышленным производством (Чуйкин С.В., 2008) и радиоактивным излучением (Ушаков И.Б., 1999).

Тератогенные яды представляют собой химические мутагены. К ним относятся соли тяжелых металлов, никотин, алкоголь, хлороформ, гормоны коры надпочечников, дефолианты, инсектициды, гербициды, органические вещества, содержащие бензольное кольцо 6 (фенолы) и т.п. (Вейн А.М., 1981).

Гипоксия, как химический фактор при заболевании крови у матери (анемия чаще всего) влияет на синтез нуклеиновых кислот и белков, что приводит к структурным

ВРОЖДЕННЫЕ РАСЩЕЛИНЫ ВЕРХНЕЙ ГУБЫ И НЕБА

изменениям формирующихся тканей и органов эмбриона. Кроме того, гипоксия на тканевом уровне возможна при любом инфекционно-воспалительном заболевании, хроническом алкоголизме и др. (Тутуева Т.А., 1999).

Тератогенным фактором является также неполноценное, несбалансированное питание. Немаловажную роль в возникновении врожденных пороков развития у детей играют эндокринные заболевания родителей, прежде всего, сахарный диабет и заболевания щитовидной железы. Причиной врожденной расщелины губы может также стать гинекологическая патология, перенесенная женщиной во время беременности. Особо опасны краснуха, грипп, эпидемический паротит, цитомегаловирусная и герпетическая инфекция, токсоплазмоз (Красникова О.П., 1999; Касаткина А.Л., 2000; Баландина С.И., 2002; Нелюбина О.В., 2012).

Особое значение имеет проблема тератогенного действия лекарственных препаратов, принимаемых женщинами во время беременности. Имеются многочисленные данные о тератогенном влиянии на плод химиопрепаратов, гормонов коры надпочечников, инсулина, витамина A, салицилатов и др. Доказана тератогенность талидомида и диазепама (седуксен, реланиум). Вышеизложенное говорит о том, что медикаменты женщинам в I триместре беременности лучше не назначать или такое лечение свести к минимуму (Полунин И.Н., 1999).

В будущем необходимо изучить влияние ряда других питательных веществ и микроэлементов с целью поиска доказательств эффективности их применения в качестве профилактического средства.

C. Rouget и соавт. (2005) сообщил и о снижении риска появления врожденных расщелин лица при достаточном содержании фолиевой кислоты в пище (около 0,35 г в день). Он считает, что одним из наиболее изученных методов профилактики появления ВРГН является прием фолиевой кислоты в первые месяцы беременности. Имеются сведения о низкой концентрации материнского витамина B12 и B6 в сыворотке крови детей с расщелинами лица (Van Rooij I.A., 2003). Антагонисты фолиевой кислоты в ранние сроки гестации удваивают риск формирования врожденных расщелин верхней губы (Hemandez-Diaz S., 2000). Антиретрогенные эффекты фолиевой кислоты и пищевых фолатов доказаны исследованиями, проведёнными на животных (мыши, крысы, собаки) (Fu S.S., 1996; Elwood J.M., 1997; Paros A., 1999; Bienengraber V., 2001; Burgoon J.M., 2002; Malek F.A., 2003; Reynolds P.R., 2003; Malek F.A., 2004). Результаты этих исследований свидетельствуют также о влиянии дефицита микроэлементов на развитии расщелин лица и возможность профилактики расщелин лица с применением микроэлементов. Известна взаимосвязь дефицита витаминов B1 и B6, а также миоинозитола, с увеличением риска развития расщелин лица (Krapels I.P., 2004; Krapels I.P., 2004; Munger R.G., 2004; Tamura T., 2005; Tamura T., 2007).

Например, есть данные, подтверждающие роль дефицита цинка в повышении риска появления лицевой расщелины в популяциях, где существует недостаток потребления цинка (Munger R.G. et al., 2009). Однако, по некоторым данным, содержание цинка не оказывает никакого влияния на вероятность развития расщелины лица (Lee, 2003).

Есть сведения о роли повышенной температуры тела беременной в этиологии ВРГН, которая возможна как в результате инфекционных заболеваний, так и вследствие вредных условий работы (горячий цех и т.п.). Гипертермия возможна также в результате злоупотребления солнечными ваннами или сауной (Гуцан А.Э., 1981).

Чем старше возраст родителей, тем больше вероятность рождения ребенка с пороком развития и хромосом-

ными аномалиями. Так, у женщин после 40 лет дети с повторами развития рождаются чаще, чем в возрасте до 30 лет (Мамедов Э.В., 2002).

Для понимания патогенеза врожденных пороков развития лица и челюстей необходимо рассмотреть некоторые периоды эмбриогенеза в челюстно-лицевой области.

Формирование лица человека начинается на 2-4-й неделе эмбрионального развития (Карлсон Б., 1983; Быков В.Л., 1999; Данилов Р.К. и др., 2004), на 6-7-й неделе внутриутробного развития формируется первичное нёбо, и происходит начальное разделение между ротовой и носовой полостями. Впоследствии первичное нёбо дает начало передней (премаксиллярной) части окончательного нёба, а также среднему отделу верхней губы (Cobourne M.T., 2004). В дальнейшем из первичного нёба развивается премаксиллярная часть верхней челюсти и передняя треть твердого нёба с резцами верхней челюсти. С 6-й по 8-ю недели эмбриогенеза формируется вторичное нёбо (Murray J.C., 2004; Nawshad A., 2004), которое дает начало двум задним третям твердого нёба с клыками и задними зубами верхней челюсти, расположенным дорсальнее резцового отверстия, а также мягкому нёбу и нёбному язычку (Hinrichsen K., 1985; Yoon H., 2000; Cobourne M.T., 2004). В течение 6-й и 7-й недель эмбриогенеза завершается формирование верхней губы (Sadler TW., 2006). Раннее развитие этих структур опосредовано эпителиально-мезенхимальными взаимодействиями и зависит от широкого диапазона сигнальных молекул, в том числе фактора роста фибробластов, костных морфогенетических белков, и трансформирующего фактора роста (Rahimov F. et al., 2012). Средняя часть верхней челюсти, несущая резцы и средний отдел верхней губы, возникает за счет слияния медиальных носовых отростков. Поэтому в эмбриональном периоде развития расщелина верхней губы часто сопутствует расщелине первичного нёба. Это так называемая срединная расщелина верхней губы и верхней челюсти (Ешиев А.М., 2014).

Наиболее частым является образование боковой расщелины верхней губы в результате несращения верхнечелюстного отростка с медиальным носовым отростком. Приблизительно к 8-9-й неделе беременности отмечается консолидация в области слияния отростков, формирующих верхнюю челюсть, обособление ротовой полости от носовой, начинает развиваться вторичное нёбо (Карлсон Б., 1983). Оно образуется от нёбных отростков, которые являются образованиями на внутренних поверхностях верхнечелюстных отростков. При опускании языка вниз края нёбных отростков поднимаются, перемещаются и срастаются между собой и носовой перегородкой. Морфогенез лица, ротовой полости, процесс формирования губы и нёба находится под генетическим контролем и характеризуется пространственно-временной последовательностью событий, включающих миграцию клеток, пролиферацию, дифференцировку и апоптоз (Rahimov F. et al., 2012). Нарушение любого из этих процессов вследствие воздействия неблагоприятных факторов экзо- и эндогенного характера (тератогенов) может стать причиной формирования аномалий развития в области лица (Корсак А.К. и др., 2000; Барсуков А.Н. и др., 2011; Давлетшин В.А., 2009; Shahrukh H.S., 2010; Rahimov F. et al., 2012).

Клинико-анатомическая и функциональная характеристика и особенности соматического статуса детей с врожденной расщелиной верхней губы и нёба. Существуют различные классификации ВРГ и/или Н. Наиболее удобна для использования в клинической практике челюстно-лицевого хирурга классификация Л.Е. Фроловой, наиболее полно отвечающая требованиям клиники и соответствующая международным классификациям. Согласно этой

классификации различают четыре группы лицевых расщелин: 1) изолированная расщелина верхней губы; 2) изолированная расщелина нёба; 3) сквозная расщелина (т.е. расщелина верхней губы и нёба); 4) атипичная расщелина лица. В первых трех группах указывается степень тяжести расщелины, которая зависит от величины и характера деформации (Мещерякова Т.И., 2015).

Клинически выделяют три основные формы лицевой расщелины: врожденная расщелина верхней губы, врожденная расщелина губы и нёба и врожденная расщелина только нёба (Leslie E.J., 2012).

Анатомические и функциональные нарушения при врожденных расщелинах верхней губы многообразны и зависят от вида расщелины губы, т.е. от степени тяжести врожденного порока. При всех расщелинах верхней губы имеются общие для всех видов анатомические нарушения, выраженные в большей или меньшей степени: расщепление тканей верхней губы; укорочение срединного фрагмента верхней губы; деформация кожно-хрящевого отдела носа.

При скрытой расщелине верхней губы наблюдается выраженное недоразвитие мышечного слоя при отсутствии нарушения целостности кожи и слизистой верхней губы. Сбоку от фильтрума имеется вертикальная рубцовая полоска кожи в виде бороздки, под которой отсутствует круговая мышца рта. В спокойном состоянии дефект мало заметен и проявляется лишь во время улыбки, плача и т.п., когда по обе стороны от бороздки появляются мышечные валики из-за сокращения круговой мышцы рта. Укорочение верхней губы при скрытой расщелине незначительное (1-2 мм), а деформация кожно-хрящевого отдела носа малозаметна.

При неполной расщелине верхней губы несращение тканей наблюдается только в нижних её отделах, а у основания носа имеется правильно развитый участок или тонкий кожный мостик, соединяющий оба отдела губы между собой. Практически всегда присутствует деформация носа: крыло носа на стороне расщелины растянуто, уплощено, основание его смещено книзу и книзу, кончик носа смещен в сторону расщелины, перегородка носа искривлена за счёт выгиба её в здоровую сторону. При скрытых и неполных расщелинах верхней губы ребёнок может брать грудь матери, прижимая ткани груди к нормальному развитому альвеолярному отростку верхней челюсти и нёбу, компенсируя неполноценность мышц губы активным включением языка в акт сосания.

При полных расщелинах наблюдается расщепление тканей верхней губы на всем протяжении – от красной каймы до нижнего носового хода. При этом всегда имеется деформация кожно-хрящевого отдела носа. При односторонней расщелине верхней губы присутствует уплощение и растяжение крыла носа на больной стороне. Кончик носа смещен в большую сторону, ноздря на этой стороне широкая, а перегородка носа выгнута в здоровую сторону. При двусторонней полной расщелине верхней губы последняя расщеплена справа и слева от фильтрума. Срединная часть губы укорочена. Перегородка носа короткая, за счет этого кончик носа уплощен и подтянут к верхней губе. Оба крыла носа растянуты и уплощены так, что нос имеет «негроидную» форму.

Анатомический дефект у больных с расщелиной приводит к функциональным нарушениям, степень выраженности которых прямо пропорциональна тяжести врожденного порока. У новорожденного с расщелиной неба происходит, прежде всего, расстройство питания. Нарушение функций сосания, глотания и дыхания вызывает затруднения при вскармливании ребенка, создает почву для развития заболеваний, что может явиться причиной его смерти в первые дни жизни (Грасманис Н.Б., 1983; Зелинская Д.И., 1998;

Вадачкория З.О., 2006; Васильев А.Ю., 2007; Давлетшин Н.А., 2009; Taskinen H., 1990; Vasan N., 1999).

Отсутствие разобщения полостей рта и носа приводит к расстройству носового и развитию смешанного ротоносового дыхания. При этом снижается защитная функция носовой полости, которая заключается в обеспечении фильтрации, согревания и увлажнения вдыхаемого воздуха (Качкаева Е.Д., 2005; Дьякова С.В., 2006). В результате такие больные чаще подвержены заболеваниям верхних дыхательных путей. Снижение функциональных и резервных возможностей аппарата внешнего дыхания у детей с врожденной расщелиной неба выявлены многими авторами с помощью метода спирографии (Дубов М.Д., 2003). Недостаточность легочной вентиляции может привести к возникновению гипоксии и анемии (Махкамов Э.У., 1981; Медведовская Н.М., 2003; Мамедов Ад.А., 2008).

Нарушение функции слуховой трубы (Качкаева Е.Д., 2005; Seagle M.B., 1999), нарушение носового дыхания, искривление носовой перегородки, наличие гипертрофированных аденоидных разрастаний, задержка пневматизации сосцевидных отростков ведут к частым заболеваниям среднего уха и становятся причиной тугоухости. Малая эффективность лечения воспалительных заболеваний уха при незакрытом дефекте неба ведет к хроническим адгезивным отитам (Мамедов Ад.А., 1998; Симановская Е.Ю., 2002; Качкаева Е.Д., 2005).

Наибольшие страдания ребенку с расщелиной неба в последующие годы жизни доставляет нарушение речи, которое является одним из тяжелых функциональных проявлений врожденного порока. Сложный комплекс анатомических нарушений – сама расщелина, укорочение неба, расширенное глоточное кольцо, изменение в носоглотке препятствуют образованию небно-глоточного клапана, что ведет к нарушениям звукообразования в виде открытой гнусавости и нарушениям артикуляции (Григоренко Н.Ю., 2005; Васильева Е.П., 2006; Юмашев Д.П., 2006; Васильев А.Ю., 2007; Гончакова С.Г., 2008; Давлетшин Н.А., 2009; Witt P.D., 1997). Неполноценная речь затрудняет нормальное психическое развитие. Поэтому умственное развитие ребенка, плохо владеющего речью, в той или иной степени задерживается (Дьякова С.В., 2002; Кондратов С.П., 2006; Neiman G.S., 1997).

Анатомические и функциональные нарушения, имеющиеся у детей с данной патологией, приводят не только к задержке физического развития этих больных и к частым сопутствующим заболеваниям, но и к изменениям со стороны психического состояния ребёнка, обусловленного замкнутостью, развитием комплекса неполноценности (Гуцан А.Э., 1981; Елькина М.М., 1995; Орел В.И., 1999; Дьякова С.В., 2002; Кондрашов С.П., 2006; Кондратов С.П., 2006; Давлетшин Н.А., 2009; Neiman G.S., 1997).

Нарушение функции жевания более выражено при сквозных расщелинах губы и неба когда имеются аномалии зубов, зубных рядов и прикуса (Муртазаев С.М., 2002; Лавриков В.Г., 2004; Чуйкин С.В., 2007; Юрьева Л.И., 2007; Jocelyn L.J., 1996).

Способы вскармливания новорожденного с расщелиной губы зависят от степени выраженности анатомических нарушений. Новорожденные с изолированной расщелиной губы могут и должны сосать грудь матери. При скрытых и неполных расщелинах ребенок сосет грудь, прижимая сосок к нормальному развитому альвеолярному отростку, компенсируя неполноценность мышц губы активным включением языка в акт сосания. При полной расщелине губы для создания герметичности необходимо свести края расщелины пальцами. Общепринято, что есте-

ВРОЖДЕННЫЕ РАСЩЕЛИНЫ ВЕРХНЕЙ ГУБЫ И НЕБА

ственное вскармливание новорожденного является наилучшим (Hodgkinson P., 2005; Kouskoura T., 2011).

Известно, что анатомические нарушения в полости рта и глотки у детей с данной врожденной патологией приводят к хроническим заболеваниям желудочно-кишечного тракта, гастритам, дуоденитам, колитам, холециститам (Васильев А.Ю., 1999; Яковлев М.А., 1999; Баландина Е.А., 2002; Мамедов Ад.А., 2002; Lopez D.M., 2005).

Считается установленным, что у них с первых дней жизни формируется атипичная, не свойственная здоровому организму аутофлора ороназофарингеальной области с преобладанием условно-патогенных штаммов. Это связано с затрудненным вскармливанием. Наличие хронической инфекции в названной области и частое применение антибиотиков приводят к развитию в дальнейшем дисбактериоза (Lopez D.M., 2005).

По данным Р.А. Аманулаева (2005), логопедическая помощь детям с ВРГН должна осуществляться на базе специализированного центра в рамках комплексной реабилитации совместно с хирургом, ортодонтом, педиатром, невропатологом и другими специалистами. Логопедическое обучение детей с врожденными расщелинами верхней губы и неба должно стать неотъемлемой частью комплексного лечения этих детей и проводиться как до, так и после хирургического вмешательства.

Многие исследователи отмечают наличие у детей с ВРГН зубочелюстных аномалий и деформаций, которые выявляются с первых дней жизни ребенка и усугубляются при отсутствии своевременного ортодонтического лечения (Виноградова Т.Ф., 1988; Белякова С.В., 1996; Хорошилкина Ф.Я., 2001; Давыдов Б.Н., 2002; Косырева Т.М., 2002; Давыдов Б.Н., 2006; Топольницкий О.З., 2008; Aoshima O., 1996; Marcusson A., 2001; Tejani Z., 2005; Walter J.D., 2005). С целью профилактики деформации зубочелюстной системы разработаны сроки и объем ортодонтической помощи на различных этапах комплексной реабилитации, начиная с периода новорожденности и до окончания формирования постоянного прикуса у детей в возрасте от 16 до 18 лет. Наличие аномалий зубных рядов и отдельных зубов, вероятно, связано с несвоевременной санацией полости рта и ранней потерей молочных зубов, аномальным прорезыванием постоянных зубов из-за врожденных дистопий зачатков этих зубов (Каламкаров Х.А., 1981; Каспарова Н.Н., 1985).

М.И. Азимов, Р.А. Аманулаев (2001) считают, что большой проблемой при лечении данной патологии является устранение остаточных послеоперационных деформаций, а как следствие этого – правильный выбор первичной хейлопластики, которая решала бы наибольшее число задач, предусмотренных при первичной хейлопластике с учетом формы и степени расщелины.

Генетические аспекты развития врожденной расщелины верхней губы и неба. В этиологии ВРГН немалую роль играют генетические факторы. Успехи в изучении генома человека позволили выявить новые локусы, в значительной степени связанные с развитием лица, лицевого скелета и зубочелюстной системы, что позволяет глубже понять механизмы формирования пороков лица, лицевого скелета, в том числе и лицевых расщелин. При изучении семейных форм ВРГН определяется мутация FGF8, FGFR1 и TFT (Мещерякова Т.И., 2015; Lindhal S., 1998; Wurdak H., 2005; Riley B.M., 2007). Ученными также выявлена связь мутации в гене BMP4 и BMP7, где происходит задержка слияния лицевых структур с формированием порока (Suzuki S., 2009; Zouvelou V., 2009). В развитии и формировании губы и неба значительную роль играют транскрипционные факторы, т.е. белки, контролирующие процесс синтеза мРНК на матрице ДНК (транскрипцию) путем связывания со специфическими участками ДНК. У людей с точечной

мутацией в последовательности ДНК, приводящей к появлению стоп-кодона, происходит преждевременная терминация синтеза нужного белка. В нашем случае люди с нонсенс-мутацией в MSX1 гене в сочетании с расщелиной губы и неба (Van den Boogaard M.J., 2000) составляют 2% несиндромальных случаев (Jezewski P.A., 2003). Ген IRF6 расценивается как основной ген, вызывающий около 12% расщелин губы (Zuccherio T.M., 2004; Kouskoura T., 2011). Дефект генов GSTM1 и GSTT1 также приводит к развитию расщелины губы и неба. В литературе данные гены описаны у матери, курящих во время беременности (Мещерякова Т.И., 2015; Lammer E.J., 2004; Shi B., 2007). Кроме того, если во время беременности женщины не принимали поливитамины или курили, отмечается мутация NAT1 (N-ацетилтрансферазы 1), который кодирует белок и участвует в детоксикации сигаретного дыма, что увеличивает риск появления расщелин в 2-4 раза (Lammer E.J., 2004).

Полногеномное секвенирование 574 семей из 13 популяций выявило взаимосвязь различных локусов хромосом 1, 2, 4, 6, 14, 17 и 19 (IRF6, TGF- α , MSX1, TGF- β r1, FOXE1, RTCH, ROR2, TGF- β 3, RARA, PVRL1) с риском развития несиндромальной ВРГН (Marazita M.L. et al., 2004).

Часть генов-кандидатов в развитии лицевой расщелины относится к генам фактора роста (TGF- α , TGF- β 3) и генам транскрипционных факторов (MSX1, IRF6, TBX22), часть – к генам, контролирующими синтез ферментов, участвующих в метаболизме ксенобиотиков (CYP1A1, GSTM1, NAT2) или фолиевой кислоты (MTHFR), часть генов регулируют иммунные реакции организма (PVRL1, IRF6) (Мещерякова Т.И., 2015; Mossey P.A. et al., 2009). Наиболее хорошо изучены гены TGF- α и MTHFR, но результаты исследований подчас носят противоречивый характер. Тем не менее, исследования полиморфизмов гена IRF6 выявили ассоциации с ВРГН во многих популяциях (Zuccherio T.M., 2004; Rahimov F., 2012).

Для изучения роли в развитии ВРГН одним из первых генов был предложен ген – трансформирующий фактор роста альфа (TGF α) (Ardinger H.H. et al., 1989).

Методы и сроки проведения хирургического лечения при врожденной расщелине верхней губы и неба. Хирургия врожденных расщелин, помимо научной эрудии, должна основываться на эстетике оперативных методов устранения этих пороков с учетом того, что вмешательства производятся на растущих тканях и органах. Воссоздание нормального внешнего облика человека должно предусматривать восстановление различных функций органов лица и неба, во многом определяющих оптимальное оздоровление больных и их социальную реабилитацию. Красота – понятие не только философское, но и биологическое, поскольку только правильное восстановление анатомии и функций смежных органов может обеспечить совершенную форму.

Развитие хирургического лечения врожденной расщелины губы и неба насчитывает период более 250 лет с момента проведения первой удачной операции по поводу расщелины мягкого неба в 1764 году французским дантистом Le Monnier's. За это время было описано множество методов ушивания расщелин, большинство из которых быстро забывалось. Исключением стали лишь несколько старых способов, положенных в основу некоторых используемых в настоящее время методов (Давыдов Б.Н., 2000; Cutting C., 2006; Noordhoff M.S., 2006; Sykes J.M., 2007; Sitzman T.J., 2008).

Б основу всех методов, которые используются в настоящее время, положены принципы, сформулированные J.B. Mulliken (1985):

Добиться симметрии носогубного треугольника, так как даже самая незначительная асимметрия может нарастать с ростом ребенка.

Восстановить непрерывность круговой мышцы рта для получения мышечного кольца и минимизировать деформацию носового фильтра.

Создать оптимальный размер/форму носовому фильтру, так как он быстро удлиняется и расширяется (особенно сверху).

Создать срединный бугорок, используя латеральные элементы губы, а также красную и белую кайму губы, так как они не увеличиваются с ростом.

Выполнить безопасное перемещение и фиксацию нижних латеральных хрящей, чтобы восстановить нормальную проекцию носа и длину колумелы.

В настоящее время наиболее известными остаются 2 методики: ротационная по Millard (Heycock J.B., 1977) и треугольных лоскутов по Tennison – Randall (Meyer E., 2010).

Ротационная методика по D.R. Millard (S.D. Megremis) в различных модификациях наиболее популярна для ликвидации расщелины верхней губы. P. Ingelrans (1963) назвал методику Millard «самым оригинальным из всех способов, появившихся за последние полвека» (Козлов В.И., 1998). В Европе до 58,1 и 44,7% опрошенных хирургов предпочитают эту технику при устранении соответственно односторонней и двусторонней расщелины губы. Причем при двусторонней локализации порока, операция проводится одномоментно (Agrawal K., 2011).

В настоящее время большинство хирургов большое внимание уделяют одномоментной коррекции деформации носа (Козин И.А., 1998; В.А. Виссарионов, 2005; Salyer K.E., 2001; Kirschbaum M.U., 2005), считая возможным и необходимым коррекцию формы носа провести одновременно с первичной хейлопластикой (Козин И.А., 1996; Давыдов Б.Н., 2000; Byrd H.S., 2000; Salyer K.E., 2001). Первичная хейлопластика, по данным литературы, при односторонних расщелинах губы сочетается с коррекцией положения крыла носа более чем в 80% случаев, а при двусторонних расщелинах – только в 40% (Langman J., 1985; Weinfeld A.B., 2005; Paranaiba L.M., 2009; Gopalakrishna A., 2010). Это связано со стремлением не только сразу восстановить анатомию, но и предупредить деформацию (Numa W., 2006). Однако существует мнение, что ни один из современных методов первичной хейлоринопластики не может полностью исправить сопутствующие и предупредить вторичные деформации носа после устранения расщелины верхней губы. При этом ведущими факторами в возникновении деформаций крыльных хрящей носа являются недоразвитие верхней челюсти в области базальной части, деформация грушевидного отверстия, порочное прикрепление и дисфункция мышц носа, верхних пучков круговой мышцы рта (Виссарионов В.А., 2005).

Существуют методики первичной хейлоринопластики, предусматривающие комплекс мероприятий по устраниению деформаций носа. Л.В. Агеевой, Г.М. Савицкой, В.В. Рогинским (1997) разработана методика, основанная на проведении полноценной реконструкции мышечных сфинктеров, восполнении дефекта кожи и слизистой оболочки, подъеме носового свода с устранием аномального расположения хрящей, восстановлении непрерывности альвеолярной части верхней челюсти периостальными лоскутами.

Методика Р.Д. Новоселова (1986) и Б.Н. Давыдова (2000) позволяет восстановить анатомическую форму верхней губы, устранить деформацию хрящевого остова носа и провести реконструкцию расщелины альвеолярного отростка в сочетании с аутонадкостницей.

В настоящее время считается оправданным проведение ранних, щадящих операций в объеме первичной хейлоринопластики и первичной ринохейлопластики,

сочетающейся с гнатопластикой (Давыдов Б.Н., 2010), периостопластикой (Агеева Л.В., 1997). Авторы считают, что в последующем значительно сокращается число детей, нуждающихся в проведении вторичной ринохейлопластики. Следовательно, в настоящее время тенденция может быть определена как расширение объема оперативного вмешательства, выполнение его щадящим способом и в раннем возрасте. Любой вариант реконструктивно-восстановительной операции на верхней губе при любом варианте расщелины может проводиться с рождения ребенка, но вмешательство должно быть обосновано специальными показаниями (чаще социальными). Начиная с одного месяца и до конца первого года жизни хейлопластика у ребенка должна быть выполнена в полном объеме. Однако результаты операций у новорожденных хуже, чем после пластики губы, проведенной в более позднем возрасте (Колесов А.А., 1978; Фролова Л.Е., 1986). Тем не менее, при условии рационально выполненной ранней хейлопластики с последующим ортодонтическим лечением ткани верхней губы и челюсти развиваются вполне благоприятно, и тяжелых деформаций зубочелюстной системы не отмечается. В литературе описаны случаи вполне удовлетворительного развития тканей верхней губы и челюсти у неоперированных взрослых больных со сквозными врожденными расщелинами (Ortiz-Monasterio E., 1959). Так как современные операции хейлопластики предусматривают более совершенные, но сложные приемы, их, безусловно, лучше производить в период, когда размеры элементов верхней губы и носа значительно увеличиваются. В связи с этим в настоящее время коррекция выполняется в возрасте 3-6 месяцев (Tercijonas P., 1999; Gopalakrishna A., 2010; Zaleckas L., 2011). Все виды пластики губы осуществляются в один этап. Есть точка зрения (Губина Л.К., 2000), что предшествовать хейлопластике должна губная адгезия, которая положительно влияет на расположение расщепленной альвеолярной части верхней челюсти, создает лучшие условия вскармливания ребенка. Губная адгезия проводится на первом месяце жизни, а основная операция также в возрасте после 3-6 месяцев первого года жизни ребенка. Однако негативным моментом такого подхода является формирование дефицита тканей для последующей хейлоринопластики.

Критерием при выборе срока первичной хейлопластики, помимо общего состояния ребенка, должен быть вид расщелины. Так, при изолированных расщелинах верхней губы дети могут сосать грудь, поэтому хейлопластика может быть перенесена на второе полугодие жизни и даже позже. У детей со сквозными расщелинами верхней губы и неба естественное вскармливание невозможно, поэтому первичная хейлопластика должна быть выполнена в первом полугодии, но с обязательным до- и послеоперационным лечением у ортодонта. В связи с врожденным недоразвитием концов альвеолярного отростка полное их сближение при первичной хейлопластике в ранние сроки нежелательно, поскольку это приводит к укорочению фронтального отдела верхней челюсти.

По мнению Ш.Т. Шокирова, у больных с одно- и двусторонними расщелинами верхней губы и неба уранопластику целесообразно проводить в возрасте 1-1,5 лет, т.е. до начала формирования речевого аппарата. Восстановление непрерывности альвеолярного отростка приводит к сбалансированному развитию верхней челюсти, создает условия для дальнейшего роста межчелюстной кости в случае двусторонней расщелины. Ортодонтическая реабилитация больных с врожденными расщелинами обеспечивает стабильность результатов лечения, направленного

ВРОЖДЕННЫЕ РАСЩЕЛИНЫ ВЕРХНЕЙ ГУБЫ И НЕБА

на установление фрагментов верхней челюсти в правильном положении, предупреждает сужение зубных рядов в дальнейшем до и после уранопластики.

Откладывание первичной хейлопластики на более поздние сроки чаще всего происходит из-за болезни ребенка или установки той или иной клиники при планировании проведения первичной остеопластики или пластики дефекта альвеолярного отростка периостальным лоскутом с латерального фрагмента верхней челюсти.

Предупреждение и устранение общих осложнений во время и после операции (возмещение кровопотери, устранение нарушений сердечно-сосудистой системы, предупреждение и устранение послеоперационной пневмонии) проводят по правилам, принятым в детской хирургии.

С целью предупреждения аспирации во время оперативного вмешательства, проводимого под местным обезболиванием у детей с расщелинами неба, следует тщательно отсасывать содержимое полости рта. Смертность детей после пластики верхней губы, по разным данным, составляет 0,5-4%. При пластике верхней губы в раннем возрасте, особенно у новорожденных, необходимо тщательно складывать линию красной каймы, так как даже малозаметные неточности, допущенные во время операции, с ростом ребенка становятся сильно выраженным. После оперативного вмешательства может произойти расхождение краев раны.

Причиной расхождения могут быть погрешности в технике операции (натяжение краев раны из-за плохого препарирования тканей, недостаточно тщательное послойное ушивание тканей), развитие послеоперационного воспалительного процесса в ране, травма. При расхождении краев раны у новорожденных не рекомендуется накладывать вторичные швы, так как это вызывает дополнительную травму нежных тканей и ухудшает косметический эффект последующей корригирующей операции. Окончательный эффект операции определяется отдаленными результатами. Неглубокое рубцовое преддверие полости рта следует рассматривать как осложнение после операции. Рубцы губы у этих больных оказывают избыточное давление на альвеолярный отросток, вызывая с годами уплощение переднего отдела альвеолярной дуги верхней челюсти.

Выраженные тяжелые деформации верхней челюсти вызываются рубцовыми изменениями тканей губы у больных с полными расщелинами верхней губы, альвеолярного отростка и неба. Плохо сформированное, неглубокое преддверие полости рта не позволяет проводить ортодонтическое лечение у этих больных и требует дополнительных хирургических вмешательств.

Корригирующие операции на верхней губе рекомендуется выполнять не ранее чем через 1-2 года после первичной пластики. При полных расщелинах верхней губы и альвеолярного отростка во время операции иногда не достигается правильной формы крыла носа.

У других детей искажение формы наступает через несколько лет после операции в результате недоразвития верхней челюсти. Коррекцию крыла носа следует проводить в возрасте 15-16 лет, так как повторные операции, осуществленные на хрящах носа в возрасте, в котором еще продолжается активный рост лицевого скелета, не дают стойкого косметического результата (Колесов А.А., 1991).

Л.В. Харьковым (1992) предложен способ уранопластики с использованием одного слизисто-надкостничного лоскута, выкроенного с большого фрагмента, перемещенного по плоскости на область расщелины, выкраиванием языкообразного слизисто-мышечного лоскута со слизистой щеки для закрытия раневой поверхности твердого неба и выкраиванием треугольных лоскутов по границе

твердого и мягкого неба для Z-пластики. Однако способ можно применять только при полных односторонних расщелинах, и при этом удлинение неба незначительно.

Наиболее популярным из удлиняющих способов является «Оксфордская палатопластика» (V-Y – push back, или «толчок кзади»). Эта техника первоначально не увеличивает длину неба, но добавляет количество мышц, отслоенных от заднего края твердого неба. Поперечные разрезы новой слизистой оболочки в области границ твердого и мягкого неба освобождают ткани и позволяют переместить их назад. Однако, по мнению W. Lindsay (1996), это приводит к патологическому рубцеванию.

Ряд авторов предлагают отслойку мышц мягкого неба и сшивание их поперечно вместо наклонного положения. Эта техника обеспечила закрытие дефекта неба тремя слоями: носовая слизистая, мышцы и ротовая слизистая. Этот способ является разновидностью метода «intravelar veloplasty», предложенного F. Braithwaite (Фара М., 1985; Мамедов Ад.А., 1998).

К этой же группе операций можно отнести и способ, предложенный Ад.А. Мамедовым (1998), при этом группы мышц мягкого неба сшивались «стык в стык» или «внахлест». На основе этого метода совместно с А.Г. Леоновым и Н.А. Корякиной создана модификация, отличающаяся углубленной препаровкой т. tensor veli palatini, тщательной мобилизацией и сшиванием «конец в конец».

L. Furlow предложил способ пластики мягкого неба, вовлекающий антагонистическую Z-пластику носовой и ротовой слизистых оболочек мягкого неба. Главное преимущество этого способа – отсутствие продольного рубца, что не нарушает функцию небно-глоточного кольца. Модификации этого способа включают расслабляющие разрезы (Furlow L.T., 1986; Hudson D.A., 1995).

Существует много методов пластики дефектов неба, позволяющих удлинить носовую выстилку при смещении нёбного лоскута кзади. К ним относят способы Z-пластики, применение расщепленного кожного транспланта, трансплантов из слизистой оболочки, лоскутов из сошника, лоскутов из слизистой оболочки твердого нёба (Hudson D.A., 1995). Е. Kaplan предложил использовать односторонний лоскут из слизистой оболочки щеки (с поворотом его в полость носа) (Харьков Л.В., 1992).

В связи с вышеизложенным возникает необходимость скрупулезного анализа результатов лечения этой патологии, а главное, анализа причин рецидивирования заболевания независимо от применения прогрессивных методов хирургического и альтернативного воздействия на очаг поражения и на организм.

Литература

1. Акуленко Л.В., Богомазов Е.А., Захарова О.М. и др. Медицинская и клиническая генетика для стоматологов: Учеб. пособие; Под ред. О.О. Янушевича. – М.: ГЭОТАР-Медиа, 2008. – 400 с.
2. Атаманенко И.А., Румянцева О.А., Кравчук Ж.П., Кривицкая Л.В. Патофизиология внутриутробного периода развития: Учеб.-метод. пособие для студ. 3-5 курсов всех фак-тов. – Гомель: ГомГМУ, 2012. – 20 с.
3. Бочков Н.П., Пузырев В.П., Смирнихиная С.А. Клиническая генетика: Учебник. – 4-е изд., доп. и перераб. – М.: ГЭОТАР-Медиа, 2011. – 592 с.
4. Демикова Н.С., Кобринский Б.А. Эпидемиологический мониторинг врожденных пороков развития в Российской Федерации. – М.: ООО ПрессАрт, 2011. – 236 с.
5. Каспарова Н.Н. Организация диспансерного наблюдения и комплексного лечения детей с врожденными расщелинами верхней губы и нёба: Метод. рекомендации. – М., 1981. – 21 с.
6. Кеннет Л. Джонс. Наследственные синдромы по Дэвиду Смиту: Атлас-справочник/ Пер. с англ. – М.: Практика, 2011. – 1024 с.
7. Махарин О.А., Макляков Ю.С., Женило В.М. Полиморфизм генов системы детоксикации ксенобиотиков и его роль в биотрансформации внутривенных анестетиков // Биомедицина. – 2012. – № 3. – С. 98-107.
8. Мещерякова Т.И., Зинченко Р.А., Жилина С.С. и др. Клинический полиморфизм и молекулярная диагностика бранхио-окуло-фаци-

- ального синдрома // Детская больница. – 2013. – №4 (54). – С. 28-32.
9. Мусин А.Г., Хазиева А.В., Нигматуллина А.Э. и др. Полиморфизм генов системы детоксикации ксенобиотиков, его роль в биотрансформации лекарственных препаратов // Мед. вестн. Башкортостана. – 2014. – Т. 9, №2. – С. 211-216.
10. Негаметзянов Н.Г., Суипев Т.К. Организация комплексной реабилитации детей с врожденной и наследственной патологией челюстно-лицевой области // Материалы Республиканской научно-практической конференции с международным участием. – Алматы, 2012. – С. 3-6.
11. Нехорошкина М.О. Роль генетических факторов в развитии врожденных расщелин губы и нёба среди населения Краснодарского края: Автoref. дис. ... канд. мед. наук. – Белгород, 2014. – 18 с.
12. Цыпкун А.Г. Проблемы безопасности использования лекарственных средств во время беременности // Неонатология, хирургия и пренатальная медицина. – 2012. – Т. 2, №1 (3). – С. 77.
13. Чуйкин С.В., Шайхутдинова Д.И., Викторов С.В. и др. Генетические маркеры в профилактике врожденных расщелин губы и нёба в регионе с развитой нефтехимической промышленностью // Здоровье семьи – 21 век. – 2010. – №4. – С. 12.
14. Benko S., Fantes J.A. Highly conserved non-coding elements on either side of SOX9 associated with Pierre Robin sequence // Nat. Genet. – 2009. – Vol. 41. – P. 359-364.
15. Blanton S.H., Henry R.R., Quiping Y. et al. Folat pathway and nonsyndromic cleft lip and palate // Birth. Def. Res. A Clin. Mol. Teratol. – 2011. – Vol. 91, №1. – P. 50-60.
16. Brochard E., Decotte R.P. Robin syndrome and support from associations // Soins Pediatr. Pueric. – 2013. – Vol. 274. – P. 32-33.
17. Chen G.B., Xu Y., Xu H.M. et al. Practical and theoretical considerations in study design for detecting gene-gene interactions using MDR and GMDR approaches // PLoS One. – 2011. – Vol. 6, №2. – P. e16981.
18. Escoffie-Ramirez M. Asociación de labio y/o paladar hendido con variables de posición socioeconómica: un estudio de casos y controles // Rev. Bras. Saude Mater. Infant. – 2010. – Vol. 10. – P. 323-329.
19. Gestri G., Osborne R.J., Wyatt A.W. et al. Reduced TFAP2A function causes variable optic fissure closure and retinal defects and sensitizes eye development to mutations in other morphogenetic regulators // Hum. Genet. – 2009. – Vol. 126. – P. 791-803.
20. Grossen D., Chevrier C., Skytthe A. et al. A cohort study of recurrence patterns among more than 54000 relatives of oral cleft cases in Denmark: support for the multifactorial threshold model of inheritance // J. Med. Genet. – 2010. – Vol. 47, №3. – P. 162-168.
21. Jugessur A., Shi M., Gjessing H.K. et al. Genetic determinants of facial clefting: analysis of 357 candidate genes using two national cleft studies from Scandinavia // PLoS One. – 2009. – Vol. 4, №4. – P. e5385.
22. Lou X-Y., Chen G-B., Yan L. et al. A generalized combinatorial approach for detecting gene-by-gene and gene-by-environment interactions with application to nicotine dependence // Amer. J. Hum. Genet. – 2007. – Vol. 80, №6. – P. 1125-1137.
23. Maarse W., Rozendaal A.M., Pajkrt E. et al. A systematic review of associated structural and chromosomal defects in oral clefts: when is prenatal genetic analysis indicated? // J. Med. Genet. – 2012. – Vol. 49. – P. 490-498.
24. Park J.W., McIntosh I., Jacqueline B. et al. Association between IRF6 and nonsyndromic cleft lip with or without cleft palate in four populations // Genet. Med. – 2007. – Vol. 9. – P. 219-227.
25. Selvi and Mukunda Priyanka A. Role of SOX9 in the etiology of Pierre Robin Syndrome // Iran. J. Basic. Med. Sci. – 2013. – Vol. 16, №5. – P. 700-704.
26. Shahrukh H.S., Gallaway M.S., Waller D.K. et al. №iiопa1 Birth Defects Prevention Study Maternal fever during early pregnancy and the risk of oral clefts // Birth. Def. Res. A Clin. Mol. Teratol. – 2010. – Vol. 88, №3. – P.186-194.
27. Shi M., Wehby G.L., Murray J.C. Review on genetic variants and maternal smoking in the etiology of oral clefts and other birth defects // Birth Def. Res. C Embryo Today. – 2008. – Vol. 84, №1. – P. 16-29.
28. Tekin M., Sirmaci A., Yuksel-Konuk B. et al. A complex TFAP2A allele is associated with branchio-oculo-facial syndrome and inner ear malformation in a deaf child // Amer. J. Med. Genet. Part A. – 2009. – Vol. 149A. – P. 427-430.
29. Wehby G.L., Murray J.C. Folic acid and orofacial clefts: a review of the evidence // Oral. Dis. – 2010. – Vol. 16, №1. – P. 11-19.
30. Yaqoob M., Mahmood F., Hanif G. et al. Etiology and genetic factors in clefts of iip and/or paMe reported at children's hospital, Lahore, Pakistan // Indian J. Hum. Genet. – 2013. – Vol. 19, №2. – P. 136-143.
31. Zhu H., Kartiko S., Finnell R.H. Importance of gene-environment interactions in the etiology of selected birth defects // Clin. Genet. – 2009. – Vol. 75, №5. – P. 409-423.

ВРОЖДЕННЫЕ РАСЩЕЛИНЫ ВЕРХНЕЙ ГУБЫ И НЕБА

Шамсиев Ж.А., Шамсиев Р.А.

Изучение литературы, посвященной врожденной расщелине верхней губы и нёба, свидетельствует о необходимости скрупулезного анализа результатов лечения этой патологии, а главное, анализа причин рецидивирования заболевания независимо от применения прогрессивных методов хирургического и альтернативного воздействия на очаг поражения и на организм.

Ключевые слова: врожденная расщелина верхней губы и нёба, дети, генетические аспекты, лечение.

Экспериментальная биология и медицина

УДК: 616.36+616:831:616.89-008.441.13:615.99

ВЗАИМОСВЯЗЬ УРОВНЯ НЕЙРОМЕДИАТОРОВ В ТКАНИ МОЗГА С АКТИВНОСТЬЮ ФЕРМЕНТОВ МЕТАБОЛИЗМА В ПЕЧЕНИ ПРИ ХРОНИЧЕСКОЙ ИНТОКСИКАЦИИ ЭТАНОЛОМ

Абдуллаева М.И., Иноярова Ф.Х., Сафарова С.Ч.

ЭТАНОЛ БИЛАН СУРУНКАЛИ ЗАҲАРЛАНИШДА БОШ МИЯ ТЎҚИМАСИДА НЕЙРОМЕДИАТОЛРЛAR МИҚДОРИНИ ЖИГАРДАГИ МЕТАБОЛИЗМДА ҚАТНАШУВЧИ ФЕРМЕНТЛAR ФАОЛЛИГИ БИЛАН УЗВИЙ БОҒЛИҚЛИГИ

Абдуллаева М.И., Иноярова Ф.Х., Сафарова С.Ч.

THE RELATIONSHIP OF THE LEVEL OF NEUROTRANSMITTERS IN BRAIN TISSUE WITH ACTIVITY OF METABOLIC ENZYMES IN THE LIVER AT CHRONIC ETHANOL INTOXICATION

Abdullayeva M.I., Inoyatova F.Kh., Safarova S.Ch.

Ташкентская медицинская академия

Мақсад: каламушларни этанол билан сурункали заҳарланишида жигарнинг этанолоксидловчи тизими фаолиятини нейромедиатор тизимига таъсирини баҳолаш. **Материал ва усуллар:** тадқиқотлар 60 зотсиз тана вазни 180-220 гр каламушларда ўтказилди. 52 каламушда сурункали алкогол билан заҳарланиши 25% этанол эритмасини 6, 14, 21 ва 28 кун киритилиши билан чакирилди. **Натижса:** тажрибининг барча муддатларида жигар гомогенатида АДГ фаоллигининг моиллиги кузатилди. МЭОС фаоллиги статистик ишонарли 1,74; 1,96; 2,25 ва 2,97 маротаба ортган бўлса, каталазанинг этанолоксидловчи фаоллиги – 1,33; 1,58; 1,79 ва 2,04 маротаба кўтарилиди. Дофамин миқдори тажрибанинг 7-, 21- ва 28-чи кунларида 1,3; 3,27 ва 3,3 маротаба пасайган бўлса, серотонин миқдори тажрибанинг 7-, 14-, 21- ва 28-чи кунларида 2,91; 2,38; 1,92 ва 2,21 маротаба камайди. **Ҳулоса:** этанол билан сурункали заҳарланиши жигарда МЭОС ва каталаза фаоллигини кескин ошишига олиб келса, АДГнинг фаолланиши бошлангич кунларида кузатилади. Этанол билан сурункали заҳарланиши дофамин ва серотонинни қонга кўп миқдорда тушишига ва миядга уларнинг заҳираларини кескин камайшиига олиб келади.

Калит сўзлар: этанол, жигар ва мия шикастланиши, МЭОС, серотонин, дофамин.

Objective: To assess the influence of ethanol-oxidative liver systems on the neurotransmitter systems of rats under chronic alcohol intoxication. **Materials and Methods:** In the experiment were used 60 white mongrel rats-males weighing 180-220 g. Chronic alcohol intoxication in 52 rats was modeled by intragastric administration of a 25% solution of ethanol for 7, 14, 21 and 28 days. **Results:** In liver homogenate of rats in all periods of the experiment was recorded a tendency to increase the activity of ADH. The activity of MAOS statistically significantly increased in 1.74; 1,96; 2.25 and 2.97 times, ethanol-oxidative catalase – in 1.33; 1,58; 1.79 and 2.04 times, respectively. The concentration of dopamine at 7, 21and 28 days of the experiment decreased in 1.3; 3.27 and 3.3 times, serotonin – in 2.38; 1.92 and 2.21 times, respectively. **Conclusions:** Chronic exposure of ethanol leads to a sharp activation of MAOS and ethanol-oxidative catalase, whereas activation of ADH was characteristic for the early period of the study. Chronic ethanol intoxication leads to intense release of dopamine and serotonin in the blood and the depletion of their stocks in the brain.

Key words: ethanol, liver and brain damages, MAOS, serotonin, dopamine.

Длительное злоупотребление алкоголем приводит к необратимым изменениям внутренних органов. На фоне хронического алкоголизма развиваются такие заболевания, как алкогольная кардиомиопатия, алкогольный гастрит, алкогольный панкреатит, алкогольный гепатит, алкогольная нефропатия, алкогольная энцефалопатия, различные типы анемии, нарушения иммунной системы, риск кровоизлияния в мозг и субарахноидального кровоизлияния [1,4,7]. Этanol быстро всасывается в желудочно-кишечном тракте, проникает в мозг и взаимодействует с нервными клетками [4,6,15]. Концентрация этанола в крови достигает максимума через 45-90 минут после употребления спиртного напитка, в течение первых суток продолжается разрушение и выведение алкоголя из организма. При окислении алкоголя в организме образуется ацетальдегид, вызывающий развитие хронической интоксикации организма, стимулирующий прогрессию атеросклероза, алкогольного гепатита и алкогольной энцефалопатии [2,6,11]. Однако механизм развития этих состояний и роль этанолокисляющих систем печени в развитии поражений мозга до конца не ясны.

Цель исследования

Оценка влияния этанолокисляющих систем печени на нейромедиаторные системы крыс при хронической алкогольной интоксикации.

Материал и методы

В эксперименте использовано 52 белых беспородных крыс-самцов массой 180-220 г, находящихся на стандартном рационе вивария. Хроническую алкогольную интоксикацию у 32 крыс моделировали путем внутрижелудочного введения 25% раствора этанола в течение 7, 14, 21 и 28 суток [6]. Контрольным особям интрагастрально вводили эквиобъемное количество физиологического раствора хлорида натрия. После декапитации у животных на холоду извлекали головной мозг и печень, которые промывали в растворе трис-НС1 буфера, pH 7,4, гомогенизировали в том же буфере, удаляли неразрушенные клетки путем фильтрования через 4 слоя марли. Содержание нейромедиаторов в гомогенатах головного мозга крыс определяли методом высокоеффективной жидкостной хроматографии в ВЭЖХ-системе Waters с обработкой хроматограмм на программно-аппаратном комплексе Мульти-Хром-1. В гомогенате

печени определяли активность алкогольдегидрогеназы (АДГ) и альдегиддегидрогеназы (АлДГ), микросомальной этанолокисляющей системы (МЭОС) и этанолокисляющей каталазы с использованием наборов системы Лахема на автоматическом биохимическом анализаторе Autohumolizer. Статистическую обработку данных проводили с использованием непараметрических методов. Достоверность различий между экспериментальными группами устанавливали с помощью U-критерия Манна – Уитни. Значимыми считались различия, удовлетворяющие $p < 0,05$. Для этого использовался пакет статистических программ Statistica 6,0.

Результаты и обсуждение

При проведении исследований выявлена тенденция к увеличению активности АДГ во все сроки исследования (рисунок). Наибольшие изменения затрагивали МЭОС, значения которого на 7-, 14-, 21- и 28-й дни введения субпороговых доз этанола статистически значимо возрастили соответственно до $0,379 \pm 0,019$; $0,427 \pm 0,031$; $0,486 \pm 0,037$ и $0,647 \pm 0,049$ мкмоль/мг белка, при значении данного показателя у интактных крыс $0,218 \pm 0,029$ мкмоль/мг белка. Активность катализы, окисляющей этанол, увеличилась соответственно до $0,122 \pm 0,007$; $0,145 \pm 0,009$; $0,165 \pm 0,012$ и $0,188 \pm 0,017$ мкмоль/мг белка, при значении этого показателя у интактных крыс $0,092 \pm 0,006$ мкмоль/мг белка. Активность АлДГ в гомогенате печени на 7-е сутки введения субпороговых доз этанола статистически значимо возрастает до $0,319 \pm 0,029$ мкмоль/мг белка при значении этого показателя у интактных крыс $0,247 \pm 0,016$ мкмоль/мг белка. Однако в дальнейшем (через 14 сут) мы наблюдали постепенное снижение активности данного фермента до значений интактных крыс. В последующие сроки активность АлДГ продолжает снижаться и на 21-е и 28-е сутки введения этанола составляет соответственно $0,189 \pm 0,016$ и $0,158 \pm 0,012$ мкмоль/мг белка, что достоверно ниже, чем у интактных крыс в 1,31 и 1,56 раза.

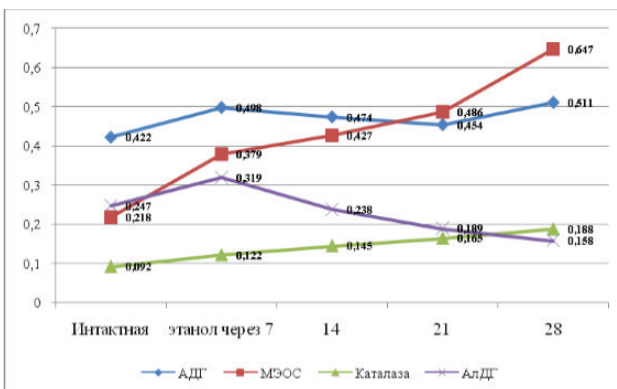


Рисунок. Активность ферментов метаболизма этанола при хронической интоксикации.

Анализируя полученные данные, следует сказать, что из крови этанол путем пассивной диффузии очень быстро проникает во все ткани организма, в большей степени накапливаясь в мозге [6,7,12]. У крыс с хроническим отравлением этанолом в печени он индуцирует Сур2Е1, при которой не образуется ацетальдегид, но усиливается генерация активных форм кислорода (АФК) [2,9,15], однако активации только этого цитохрома недостаточно для развития печечной патологии. К другим способствующим факторам относится повышение ДНК-связывающей активности пероксисомного пролифераторного альфа-рецептора [10], что приводит к экспрессии генов микросомных ферментов Сур4А1, Сур4А2 и Сур2Е1 [7]. Так как этанол также является субстратом для пероксисомного фермента (катализы), то активация ее повышает образование токсичных продуктов [7,8], что мы и наблюдали в наших экспери-

ментах. Тенденция к повышению активности АДГ на фоне снижения активности АлДГ, наблюдаемое в наших экспериментах, приводит к накоплению ацетальдегида и АФК, повышая вероятность поражения не только печени, но и других органов и систем при систематическом злоупотреблении алкоголем [12-14]. Согласно данным литературы, при систематическом употреблении этанола нарушается моторика желудочно-кишечного тракта, развивается дисбактериоз с повышенным образованием ацетальдегида, что приводит к еще большему его накоплению [3,7].

Действие этанола на мозг иногда связывают с его способностью проникать через мембранны и изменять физические свойства липидных компонентов мембран. Если при остром алкогольном отравлении повышается текучесть мембран, то в условиях хронического воздействия алкоголя мембранны нервных клеток приобретают большую жесткость, что вносит свой вклад в нарушение нервных процессов [4,6,10]. Точкой приложения действия этанола является нейротрансмиссия.

Проведенные нами исследования показали достоверное снижение в ткани мозга концентрации дофамина на 7-, 21- и 28-е сутки опыта соответственно в 1,3; 3,27 и 3,3 раза, а серотонина на 7-, 14-, 21- и 28-е сутки – в 2,91; 2,38; 1,92 и 2,21 раза (табл.).

**Таблица
Содержание дофамина и серотонина в ткани мозга крыс
при хронической алкогольной интоксикации, М±т, n=8**

Группа животных, срок исследования	Дофамин, нмоль/г ткани	P	Серотонин, нмоль/г ткани	P
Интактная,	$3,73 \pm 0,21$		$0,186 \pm 0,011$	
Опытная, 7-е сут	$2,87 \pm 0,16$	$<0,05$	$0,064 \pm 0,004$	$<0,001$
14-е сут	$3,44 \pm 0,22$	$>0,05$	$0,078 \pm 0,006$	$<0,001$
21-е сут	$1,14 \pm 0,09$	$<0,001$	$0,097 \pm 0,006$	$<0,001$
28-е сут	$1,23 \pm 0,07$	$<0,001$	$0,084 \pm 0,005$	$<0,001$

Есть указания, что нейрохимической основой зависимости от алкоголя является хроническая дисфункция дофаминовой нейротрансмиттерной системы мозга, затрагивающая в основном его лимбические структуры [4,6]. Алкоголь приводит к интенсивному выбросу из депо в этих отделах нейромедиаторов из группы катехоламинов, в первую очередь дофамина. При хронической алкогольной интоксикации развивается дефицит катехоламинов, который может принимать угрожающий для жизнедеятельности характер [11]. Отмеченное нами снижение содержания серотонина, закономерно проявляемое на всем протяжении алкоголизации, указывает на усиление освобождения и обмен серотонина в мозге под действием алкоголя.

Ряд авторов высказывают предположение о том, что снижение содержания серотонина под действием этанола может являться вторичным и быть обусловлено его влиянием на дофаминергическую систему [9]. Проведенными ранее исследованиями нами была показана индукция ПОЛ в различных отделах головного мозга крыс при хронической интоксикации этанолом, что обуславливает, на наш взгляд, структурные и функциональные изменения нервной системы [5]. Полученные данные о функциональном состоянии основных нейромедиаторных систем головного мозга в динамике субхронической алкогольной интоксикации указывают на формирование определенных патохимических нарушений в ЦНС уже на ранних сроках алкоголизации.

Выходы

- Хроническое отравление этанолом приводит к резкой активации МЭОС и этанолокисляющей каталазы, тогда как активизация АлДГ характерна для раннего срока исследования.

2. Хроническая интоксикация этанолом приводит к интенсивному выбросу дофамина и серотонина в кровь и истощению их запасов в головном мозге.

Литература

1. Алябьев Ф.В., Крахмаль Н.В., Арбыкин Ю.А. и др. Динамика патоморфологических изменений внутренних органов и биохимических параметров крови при острой алкогольной интоксикации в эксперименте // Актуальные вопросы судебной медицины и экспертной практики. – Барнаул; Новосибирск, 2012. – Вып. 18.
2. Биохимия: Учебник для мед. вузов; Под ред. Е.С. Северина. – М., 2008. – С. 631-635.
3. Виноградова С.В. Роль генетических факторов в развитии алкогольной болезни печени // Современные проблемы токсикологии. – 2007. – №7. – С. 27-37.
4. Евтушенко С.К., Грищенко А.Б., Евтушенко И.С. Алкогольные поражения нервной системы // Междунар. неврол. журн. – 2012. – №2 (48).
5. Иноярова Ф.Х., Абдурахманова К., Абдуллаева М., Дустов Ф. Динамика изменения процессов перекисного окисления липидов в различных тканях крыс при алкогольной интоксикации // Вестн. ТМА. – 2015. – №4.
6. Сиволап Ю.П. Алкогольная болезнь мозга // Журн. неврол. и психиатр. им. С.С. Корсакова. – 2006. – № 5. – С. 4-8.
7. Таганович А.Д., Олецкий Э.И., Котович И.Л. Патологическая биохимия. – М.: БИНОМ, 2013. – С. 218-243.
8. Cederbaum A. I. Alcohol metabolism // Clin. Liver Dis. – 2012. – Vol. 16, №4. – P. 667-685.
9. Haorah J., Ramfrez S. H., Floreani N. et al. Mechanism of alcohol-induced stress and neuronal injury // Free Radic. Biol. Med. – 2008. – Vol. 45. – P. 1542-1550.
10. Kruman I.I., Henderson G.I., Bergeson S.E. DNA damage and neurotoxicity of chronic alcohol abuse // Exp. Biol. Med. – 2012. – Vol. 237, №7. – P. 740-747.
11. Qin L., Crews F.T. NADPH oxidase and reactive oxygen species contribute to alcohol-induced microglial activation and neurodegeneration // J. Neuroinflammation. – 2012. – №9. – P. 5.
12. Reddy V.D., Padmavathi P., Kavitha G. et al. Alcohol-induced oxidative/nitrosative stress alters brain mitochondrial membrane properties // Mol. Cell. Biochem. – 2013. – Vol. 375, №1-2. – P. 39-47.

13. Rhoads D. E., Contreras C., Fathalla S. Brain Levels of Catalase Remain Constant through Strain, Developmental and Chronic Alcohol Challenges // Enzyme Research. – 2012. – Vol. 115. – P. 1-6.

14. Ryter S. W., Kim H. P., Hoetzel A. et al. Mechanisms of cell death in oxidative stress // Antiox. Redox Signal. – 2007. – №9. – P. 49-89.

15. Wang J., Du H., Jiang L. et al. Oxidation of ethanol in the rat brain and effects associated with chronic ethanol exposure // PNAS. – 2013. – Vol. 110 (35). – P. 14444-14449.

ВЗАИМОСВЯЗЬ УРОВНЯ НЕЙРОМЕДИАТОРОВ В ТКАНИ МОЗГА С АКТИВНОСТЬЮ ФЕРМЕНТОВ МЕТАБОЛИЗМА В ПЕЧЕНИ ПРИ ХРОНИЧЕСКОЙ ИНТОКСИКАЦИИ ЭТАНОЛОМ

Абдуллаева М.И., Иноярова Ф.Х., Сафарова С.Ч.

Цель: оценка влияния этанолокисляющих систем печени на нейромедиаторные системы крыс при хронической алкогольной интоксикации. **Материал и методы:** в эксперименте использовано 60 белых беспородных крыс-самцов массой 180-220 г, хроническую алкогольную интоксикацию у 52 крыс моделировали путем внутрижелудочного введения 25% раствора этанола в течение 7, 14, 21 и 28 суток. **Результаты:** в гомогенате печени во все сроки опыта регистрировалась тенденция к увеличению активности АДГ. Активность МЭОС статистически значимо возросла в 1,74; 1,96; 2,25 и 2,97 раза, этанолокисляющей каталазы – в 1,33; 1,58; 1,79 и 2,04 раза. При этом концентрация дофамина на 7-, 21- и 28-е сутки опыта снижалась в 1,3; 3,27 и 3,3 раза, серотонина на 7-, 14-, 21- и 28-е сутки – в 2,91; 2,38; 1,92 и 2,21 раза. **Выводы:** хроническое отравление этанолом приводит к резкой активизации МЭОС и этанолокисляющей каталазы, тогда как активизация АДГ была характерна для раннего срока исследования. Хроническая интоксикация этанолом приводит к интенсивному выбросу дофамина и серотонина в кровь и истощению их запасов в головном мозге.

Ключевые слова: этанол, поражение печени и мозга, МЭОС, серотонин, дофамин.

ДИНАМИКА РАЗВИТИЯ СОСУДОВ НИЖНЕЙ КОНЕЧНОСТИ В УСЛОВИЯХ ТРАВМЫ И НА ФОНЕ ЭКСПЕРИМЕНТАЛЬНОГО САХАРНОГО ДИАБЕТА

Миршарапов У.М., Сагдуллаева М.К., Каттаходжаева Д.У.

ИШИМИЯ ШАРОИТИДА ВА ЭКСПЕРИМЕНТАЛ ҚАНДЛИ ДИАБЕТДА ОЁҚ ҚОН ТОМИРЛАР ДИНАМИКАСИ

Миршарапов У.М. Сагдуллаева М.К., Каттаходжаева Д.У.

THE DYNAMICS OF LOWER LIMBS VESSELS GROWTH IN INJURY AND ON THE BACKGROUND OF EXPERIMENTAL DIABETES

Mirsharapov U.M., Sagdullaeva M.K., Kattakhodjayeva D.U.

Ташкентская медицинская академия

Мақсад: оёқ томирлари коллатераллар ривожланиши ҳамда, артериялар жароҳатлаганды ва аллоксан қандли диабетда мушак ичи томирлари деворлари шаклланишида кечадиган ўзгаришиларнинг асосий қонуниятларини аниқлаш.

Материал ва усуулар: оғирлиги 1800-2500 г.га тенг 50 дона иккала жинсга тегишили соғлом қуёнларда 1-қисмда (25 та ҳайвон) сон чукур терапияси бошланишидан юқорироқ қисмидә сон артерияси кесилди, 2-қисмда (25 та ҳайвонда) ташқи ёнбаш артерияси кесилди. Синовдаги ҳайвонларга қорин ичига ҳайвон оғирлигининг 100г. га 11 мг ҳисобида аллоксаннинг 2,5% буффер эритмасини бир маротаба юбориш билан аллоксан диабети ҳосил қилинди. **Натижасы:** Қандли диабеттадаи патологик омиллар томир эндотел вазифаларини бузилишига ва түқима гипоксиясининг оғирлашувига олиб келади. **Хуносасы:** аллоксан диабетта сон мушаклари ва терисида коллатерал томирлар ривожланиши ва уларнинг деворларининг шаклланишининг 15-30 қун назоратдаги ҳайвонларга нисбатан бирмунча ортда қолиши қозатилди.

Калим сўзлар: қуёнлар, аллоксан диабети, оёқ томирлари.

Objective: To determine the main patterns of development and formation of collateral vessels of the lower limb and transformation of walls of intramuscular vessels in violation of the integrity of the artery and on the background of alloxan diabetes. **Materials and Methods:** In 45 healthy male and female rabbits, weighing 1800-2500 g, (in the series of 20 animals) was resected femoral artery above bifurcation of deep femoral artery, in 25 animals was reproduced alloxan diabetes by intraperitoneal single administration of alloxan in 2,5% buffered solution based 11 mg/100 of animal weight. **Results:** Morphological and morphometric reconstructions of the lower limb vessels in dynamics had the same type and unidirectional character. Pathological factors that accompanied diabetes, disrupt the function of vascular endothelium and contribute to aggravation of tissue hypoxia, which leads to manifestations of the structur and function of the lower limb. **Conclusions:** In alloxan diabetes after second month development of collateral vessel in the femoral muscles and skin and formation of their walls occur slower than in control animals. This was manifested by hair loss and trophic ulcers, as by this term available devious vessels in tri medial muscle group are not yet able to provide a distal portion of the operated limb with necessary amount of blood.

Key words: rabbits, alloxan diabetes, lower limb vessels.

Несмотря на большое количество работ, посвященных изучению сахарного диабета, до сих пор нет единого мнения относительно выраженности и качественных особенностей сосудистых изменений, динамики структурных преобразований артериальных сосудов нижней конечности, особенно дистальных отделов, распространенность которого в мире увеличивается [1,4]. Знание закономерностей развития морфологических преобразований и патологических изменений стенок крупных и мелких сосудов во многом помогают избежать серьезных осложнений.

Особую актуальность приобретает изучение динамики структурных преобразований артериальных сосудов нижних конечностей на фоне сахарного диабета [8,9]. Следовательно, изучение развития и формирования коллатералей сосудов нижней конечности, регенерации стенок развивающихся коллатералей не только при нарушении целостности магистральных сосудов конечности, но и при сахарном диабете является актуальной проблемой экспериментальной медицины.

Цель исследования

Определение основных закономерностей развития и формирования коллатералей сосудов нижней конечности и преобразования стенок внутримышечных артерий при нарушении целостности артерий на различном уровне и на фоне аллоксанового диабета.

Материал и методы

Были поставлены 2 серии экспериментов, в каждой из которых были контрольная и опытная группы. В 1-й серии опы-

тов использовано 25 кроликов. У 11 животных контрольной группы этой серии резецировалась правая бедренная артерия на 1 см ниже места отхождения глубокой артерии бедра. У 14 животных опытной группы, наряду с повреждением бедренной артерии на 1 см ниже места отхождения глубокой артерии бедра, создавали модель экспериментального аллоксанового диабета. У 13 контрольных животных 2-й серии экспериментов производилась перерезка наружной подвздошной артерии. У 12 кроликов опытной группы 2-й серии, наряду с перерезкой наружной подвздошной артерии, моделировался экспериментальный сахарный диабет. У животных опытной серии те же исследования проводили после моделирования экспериментального аллоксанового диабета, который создавали внутрибрюшинным однократным введением аллоксана в 2,5% буфферном растворе из расчета 11 мг на 100 г массы животного. Уровень глюкозы определяли глюкозооксидазным методом. Для изучения сосудов конечности в норме и при развитии окольного кровообращения и в условиях аллоксанового диабета использовали рентгеновазографию, анатомическую препаровку, общие гистологические и гистохимические методы исследования. Результаты исследования обрабатывались методами вариационной статистики с использованием таблиц Р.Б. Стрелкова.

Результаты и обсуждение

У всех подопытных животных через 3-7 дня на рентгеновазограммах тазовой конечности просматривались внутренняя и наружная подвздошная артерия с ветвями,

проксимальный отрезок бедренной артерии. Следует отметить, что в оперированной конечности через 3 дня после операции сосуды ниже места перерезки бедренной артерии на рентгеновазографии не проявлялись, а визуализировались лишь на 7-е сутки после операции. Спустя 7-10 дней у кроликов после перерезки только бедренной артерии, с 10-15-го дня после резекции наружной подвздошной артерии, и через 15-20 дней у аллоксан-индивидуированных животных отмечается расширение внутримышечных артерий в заднемедиальной группе мышц и анастомозов (200-250 мкн) в коже переднелатеральной поверхности бедра. С первых дней после операции у всех подопытных животных отмечались деструктивные изменения в стенке внутримышечных сосудов. Они характеризовались истончением стенки и расширением просвета сосуда, редким расположением ядер эндотелия, набуханием и десквамацией некоторых из них в просвет. Внутренняя эластическая мембрана распрямлена, растянута, местами напряжена и истончена с наличием на отдельных участках разрывов, дает резкоположительную ШИК-реакцию. Мышечный слой представлен 2-3-мя рядами гладкомышечных волокон. Сеть анастомозов в заднемедиальной группе мышц бедра выявляется у животных контрольной группы 1-й серии через 15-20 дней, у кроликов контрольной группы 2-й серии – спустя 20-30 дней, а у животных опытной группы 1-й и 2-й серий – через 35-40 дней. Микроскопически в эти сроки в стенке внутримышечных сосудов процессы деструкции продолжаются.

Расширение анастомозов в мышцах передней группы и формирование коллатералей из сети расширенных анастомозов в заднемедиальной группе мышц наблюдалось спустя 30-40 дней у контрольных животных 1-й и 2-й серий и через 60-80 дней у животных опытной группы 1-й и 2-й серий. В эти сроки у животных контрольной группы наблюдается 7-11 (100-150 мкн) окольных путей в медиальной и 7-12 (150-200 мкн) – в задней, а у опытных животных – соответственно 5-8 (100-120 мкн) и 6-9 (100-150 мкн), то есть у опытных животных коллатеральных путей заметно меньше, а диаметры их уже.

Гистологически в эти сроки в стенке внутримышечных сосудов отмечаются процессы reparativeной регенерации в виде утолщения стенки сосуда, увеличения количества ядер эндотелия, эластических волокон, фрагменты внутренней эластической мембранны сливаются. Мышечный слой состоит из 2-3-х, местами из 3-4-х рядов гладкомышечных клеток. Однако следует отметить, что у животных опытных групп процессы дегенерации и деструкции стенки внутримышечных сосудов более выражены.

Через 45-60 дней после перерезки бедренной артерии и наружной подвздошной артерии (контрольная группа животных), спустя 90-120 дней у опытных животных 1-й и 2-й серий наблюдается увеличение основных анатомических путей кровотока и дальнейшее формирование коллатералей. Так, в группе передних мышц бедра имеется 5-8 коллатералей (у контрольных животных), а у опытных животных в мышцах передней группы бедра формирования коллатералей не происходит, а в коже передней латеральной поверхности отмечается до 4-6 (диаметром 300-350 мкн) извитых коллатеральных путей. В заднемедиальной группе мышц у контрольных животных наблюдается 6-9 (диаметром 200-300 мкн) коллатеральных сосудов, у опытных животных – до 6-8 (200-250 мкн).

Результаты гистологических и гистохимических исследований показывают, что в указанные сроки в стенке внутримышечных сосудов как у контрольных, так и у опытных животных происходит морфологическая перестройка. Стенка сосуда заметно уплотняется, увеличи-

вается количество клеточных элементов и эластических волокон. Мышцы бедра, особенно у контрольных животных, дают равномерную умеренную ШИК-реакцию. Дальнейшие наблюдения показывают, что формирование путей окольного кровообращения отмечается и спустя 150-180 дней после операции. Окольные сосуды становятся крупными и извитыми. Калибр их достигает 600-800 мкн, прибликаясь к диаметру магистральных сосудов конечности. В стенке внутримышечных сосудов наблюдается дальнейшее утолщение всех слоев. Внутренняя эластическая мембрана складчатая. Мышечный слой состоит из 7-8 рядов гладкомышечных клеток. Интенсивность ШИК-реакции мышц бедра заметно повышается. У животных опытной группы подобная картина наблюдается лишь спустя 9-12 месяцев. Морфологическая перестройка стенки внутримышечных сосудов, формирование коллатералей протекают у них заметно медленнее и продолжаются до конца срока (до 1-го года) наблюдения.

Установлено, что при аллоксановом диабете развитие коллатеральных сосудов в мышцах и в коже бедра, формирование их стенок, начиная со 2-го месяца, отстает на 15-30 дней по сравнению с животными, которым перерезали только артерию.

Анализ результатов собственных исследований и данных других авторов [2,3] показывает, что, несмотря на то, что повреждения магистральных сосудов конечности создают условия для развития путей окольного кровообращения, морфологическая картина их структурной перестройки зависит не только от места повреждения, но и от степени поражения. При сахарном диабете отмечаются глубокие дегенеративные изменения в стенках внутримышечных сосудов, выражющиеся в набухании и десквамации эндотелиальных клеток в просвет, фрагментации внутренней эластической мембранны всех слоев стенки сосудов, что способствует усугублению тканевой гипоксии, в результате которой происходят выраженные нарушения структуры стенок и функции нижней конечности. Полученные нами данные подтверждают тот факт, что, сахарный диабет, дебютируя как болезнь метаболизма, сопровождается морфологическими и функциональными изменениями сосудистой стенки, макро-микроангиопатия приводит к поражениям глубокого и поверхностного сосудистых сплетений [6].

В заключение необходимо отметить, что расширение диаметра внутримышечных артерий, развитие окольных путей при аллоксановом диабете протекает медленно, количество окольных сосудов и диаметры их заметно меньше. В отдаленные сроки в коже коллатеральные сосуды продолжают функционировать, чего не наблюдается у животных контрольной группы. Подобное явление, по-видимому, связано с восстановительным процессом, так как имеющиеся анастомозы в заднемедиальной группе мышц функционально еще не могут обеспечить дистальную конечность, что в свою очередь приводит к выпадению шерсти и возникновению трофической язвы.

Выводы

1. Reparativeная регенерация в стенке формирующихся коллатералей, восстановление путей окольного кровотока после повреждения артерии ниже места отхождения глубокой артерии бедра у животных 1-й серии опытов (как контрольных, так опытных) наступает раньше – через 15-30 дней после операции. При этом сохранение глубокой артерии бедра позволяет избежать возможных осложнений, связанных с острой ишемии конечности.

2. При аллоксановом диабете развитие и преобразование стенок внутримышечных сосудов отстают от таковых у контрольных животных. Установлено относительно

медленное образование анастомозов и коллатералей во всех группах мышц.

Литература

1. Кульчиева А.А., Морозов А.А. и др. Гнойно-инфекционные заболевания при сахарном диабете // Амбулаторная хирургия. – 2010. – №3 – С. 71-74.
2. Миршарапов У.М., Садикова С.Ш. Морфология сосудов нижней конечности при аллоксановом диабете // Морфология. – 2012. – №3. – С. 105.
3. Миршарапов У.М., Примова Г.А., Расулова Н. и др. Морфология сосудов нижней конечности в условиях ишемии и на фоне экспериментального диабета // Вестн. ТМА. – 2014. – №3. – С. 34-37.
4. Охунов А.О., Иноярова Ф.Х. и др. Экспериментальное моделирование диабетической микро- и макроangiопатии нижних конечностей: Метод. рекомендации. – Ташкент, 2002.
5. Петрик Г.Г., Павлищук С.А. Патология белкового, липидного спектра и гомеостаза у больных сахарным диабетом 1 типа в зависимости от выраженности ангиопатии // Сахарный диабет. – Т, – 2010. -№2 – С. 77-80.
6. Папишева О.В., Мартинова М.И., Клещева Л.В. Влияние инсулин-зависимого сахарного диабета на физическое развитие детей // Педиатрия. – 2002. – №6. – С.16-19.
7. Саттаров И.С., Охунов А.О., Бабаярова Ш.У., Сайфуллаева С. Прогностические критерии развития диабетической ангиопатии // Патология. – 2008. – №4. – С. 16-17.
8. Хужаназарова С.Д. Изменение вен маточных труб в постнатальном онтогенезе: Автореф. дис. ... канд. мед. наук. – Ташкент, 2012.
9. Clarke W.L., Vance M.L., Rogol A.D. Growth and the Child with Diabetes Mellitus // Diab. Care. – 2003. – Vol. 16 (Suppl. 3).
10. American Diabetes association/Standards of medical Care in Diabetes/ Diabetes / Care 2010.

ДИНАМИКА РАЗВИТИЯ СОСУДОВ НИЖНЕЙ КОНЕЧНОСТИ В УСЛОВИЯХ ТРАВМЫ И НА ФОНЕ ЭКСПЕРИМЕНТАЛЬНОГО САХАРНОГО ДИАБЕТА

Миршарапов У.М., Сагдуллаева М.К., Каттаходжаева Д.У.

Цель: определение основных закономерностей развития и формирования коллатералей сосудов нижней конечности и преобразования стенок внутримышечных артерий при нарушении целостности артерий на различном уровне и на фоне аллоксанового диабета. **Материал и методы:** у животных контрольной группы резецировалась правая бедренная артерия на 1 см ниже места отхождения глубокой артерии бедра, в опытной группе, наряду с повреждением бедренной артерии на 1 см ниже места отхождения глубокой артерии бедра, создавали модель экспериментального аллоксанового диабета. **Результаты:** при аллоксановом диабете развитие коллатеральных сосудов в мышцах и в коже бедра, формирование их стенок отстает на 15-30 дней по сравнению с животными, которым перерезали только артерию. Развитие окольных путей при аллоксановом диабете протекает медленно, количество окольных сосудов и диаметры их заметно меньше. Несмотря на отдаленные сроки, в коже коллатеральные сосуды продолжают функционировать, чего не наблюдается у животных контрольной группы. **Выводы:** при аллоксановом диабете развитие и преобразование стенок внутримышечных сосудов отстают от таковых у контрольных животных. Установлено относительно медленное образование анастомозов и коллатералей во всех группах мышц.

Ключевые слова: кролики, аллоксановый диабет, нижняя конечность.

РОЛЬ МУЛЬТИСПИРАЛЬНОЙ КОМПЬЮТЕРНОЙ ТОМОГРАФИИ В РАННЕЙ ДИАГНОСТИКЕ ИНФРАВЕЗИКАЛЬНОЙ ОБСТРУКЦИИ У ДЕТЕЙ

Акилов Х.А., Хаккулов Э.Б., Пайзиев Х.М.

БОЛАЛАРДА ИНФРАВЕЗИКАЛ ОБСТРУКЦИЯНИНГ ТАШХИСИДА МУЛЬТИСПИРАЛ КОМПЬЮТЕР ТОМОГРАФИЯСИННИНГ РОЛИ

Акилов Х.А., Хаккулов Э.Б., Пайзиев Х.М.

THE ROLE OF MULTISLICE COMPUTED TOMOGRAPHY IN THE EARLY DIAGNOSIS OF INFRAVESICAL OBSTRUCTION IN CHILDREN

Akilov Kh.A., Hakkulov E.B., Payziev H.M.

Ташкентский институт усовершенствования врачей,
Республиканский научный центр экстренной медицинской помощи

Мақсад: болаларда инфравезикал обструкцияниң оғирлик даражасини ва ташхислаш усулларини танлашда касаллик-нинг аҳамиятли ўзига хос белгиларини аниқлаш. **Материал ва усуулар:** 2005-2012 йй. РШТЭИМнинг болалар жарроҳлиги бўлимида туфма уретерогидронефроз билан касалланган 3 ёшдан 14 ёшгача бўлган 97 болалар даволанди, улардан 11 қизлар, 8 ўғил болалар. **Натижса:** бўйрак ва сийдик ажратув ўйларининг (САЙ) спиралсимон, кесмаларнинг кенглиги 3 мм, қайта тақланиши 1,5 мм тартибида ўтказилган КТ-қўринишларини САЙ контрастлаш асосида мультипланар реконструкцияси уретерогидронефрозни ташхислаш ҳамда уретра қопқоқлари ва унинг натижасида келиб чиққан уретерогидронефрознidan дифференциал ташхислаш имконини берди. **Хуноса:** контраст билан ва уч ўлчамли МСКТ қўйи сийдик ажратув ўйларининг обструкция сабабини дифференциал ташхислаш ва бемор болага тўғри даволаш усулларини танлаш имкониятини беради.

Калим сўзлар: инфравезикал обструкция, мультиспираал компьютер томография, ташхис, болалар.

Objective: To determine the characteristic features of importance in determining the disease severity and the choice of tactics of diagnosis for infravesical obstruction in children. **Materials and Methods:** In 2005-2012, in the Department of Pediatric surgery of RSCEM were treated 97 children with congenital ureterohydronephrosis at the age from 3 months to 14 years. Girls were 11, boys were 8. **Results:** CT images of the kidneys and urinary ways in spiral mode, the slice width 3 mm, reconstruction 1.5 mm, have been obtained followed by multiplanar reconstruction in the background of contrasting the urinary ways that allowed make a diagnosis of ureterohydronephrosis and a differential diagnosis with urethral valve, and to differentiate ureterohydronephrosis arising on the background of urethral valve. **Conclusions:** MSCT with contrast-enhanced three-dimensional image can be considered one of the methods of diagnosis of bladder outlet obstruction in children, and it is possible to differentiate the cause of the obstruction of the lower urinary tract, and thereby select appropriate counseling and treatment.

Key words: bladder outlet obstruction, multislice computed tomography, diagnostics, children.

Врожденный уретерогидронефроз встречается как самостоятельное заболевание, так и в качестве составной части множественных пороков развития. По общему мнению, врожденный уретерогидронефроз является одним из наиболее тяжелых урологических заболеваний у детей и одной из ведущих причин (23%) обращения пациентов к детскому урологу [2,9].

Одной из наиболее тяжелых форм врожденного уретерогидронефроза считаются клапаны уретры, которые встречаются с частотой 8,3% [10]. Несмотря на адекватное лечение, у 48-70% этих больных развивается хроническая почечная недостаточность, а летальность до настоящего времени остается относительно высокой, варьируя от 10,0 до 44% [5].

У 10% новорожденных с врожденными заболеваниями почек и мочевыводящих протоков выполняется нефрэктомия, что указывает на неудовлетворительное состояние ранней диагностики заболевания, особенно у детей с атипичной симптоматикой болезни. В более старшем возрасте нефрэктомией заканчивается 1,4% приобретенных заболеваний и 56% врожденных аномалий [7,8].

Ранняя диагностика пороков развития мочевыделительной системы остается одной из наиболее сложных проблем педиатрии и детской хирургии. Возникающие трудности связаны со склонностью клинической картины и физиологическими особенностями мочевой системы у ново-

рожденных и грудных детей. Вследствие этого заболевания часто выявляются в поздние сроки, когда развивается поражение мочевыделительной системы тяжелой степени [1,3,4].

Благодаря применению при обследовании почек у детей любого возраста мультиспиральной компьютерной томографии (МСКТ) сокращается время исследования, что ведет к уменьшению артефактов от дыхательных движений, появляется возможность проводить исследование без задержки дыхания и в состоянии физиологического сна; наиболее точно, без применения контрастного препарата, выявляются мочевые камни; проявляются типичные характеристики контрастного усиления почек, позволяющие оптимально визуализировать почечную паренхиму, ее изменения и изменения почечных сосудов, оценить состояние чашечно-лоханочной системы (ЧЛС), мочеточников и мочевого пузыря [6]. МСКТ обладает высокой чувствительностью и специфичностью при выявлении пороков верхних и нижних мочевыводящих путей.

Цель исследования

Определение характерных признаков, имеющих значение в определении тяжести патологии и выборе тактики диагностики инфравезикальной обструкции у детей.

Материал и методы

В период с 2005 по 2012 гг. в отделении детской хирургии РНЦЭМП на лечении находились 97 детей с врожденным

уретерогидронефрозом. Комплексному обследованию с использованием МСКТ-урографии на аппаратах Brilliance 40 (сер. №9193, Philips) и Somatom Emotion-6 (Siemens-80027) были подвергнуты 65 (67,0%) из них. Возраст больных детей колебался от 3-х месяцев до 14 (4,15±3,21) лет. Инфравезикальная обструкция (клапан уретры - КУ и склероз шейки мочевого пузыря) обнаружена у 19 (12,0%) из 65 пациентов. В возрасте 0-1 года были 3 больных, 1-3 лет – 4, 3-7 лет – 8, старше 7 лет – 4. Девочек было 11, мальчиков 8. Картина сморщеных почек выявлена у 5 детей.

Для более четкой визуализации и контрастирования мочевого пузыря детям старшего возраста предлагали сделать несколько приседаний. В этом случае благодаря создаваемому давлению достигалось контрастирование всех отделов мочевого пузыря. У детей раннего возраста (от 1 мес.) ножки, согбая в коленно-тазовом суставе, несколько раз приводили к животу, что также обеспечивало полное контрастирование мочевого пузыря.

Реконструкцию томограмм осуществляли с толщиной среза 1,0-1,5 мм. Выполняли многоплоскостные ре-

конструкции во фронтальной и сагиттальной плоскостях (возможно, в наклонной плоскости, для каждой почки в отдельности), МИП для визуализации камней в мочевых путях и 3D рендеринг, а также МИП во фронтальной плоскости для представления почек, мочеточников, мочевого пузыря в урографической фазе.

Результаты и обсуждение

Получено КТ-изображение почек и мочевыводящих путей (МВП) в спиральном режиме, ширина среза 3 мм, реконструкция 1,5 мм с последующей мультипланарной реконструкцией на фоне контрастирования МВП.

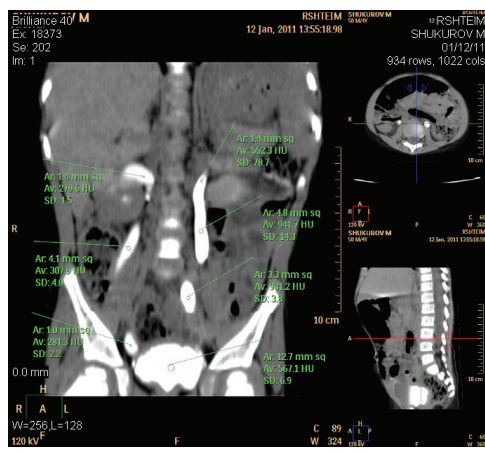
Контрастированный мочевой пузырь достаточно заполнен, размеры 125x75 мм, плотность содержимого +155 ед. Н с четкими контурами. Отмечается локальное «углубление» в области шейки на глубину 6 мм, размерами 10x9 мм, в форме треугольника, на данном уровне плотность +150 ед. Н. Заключение: Аномалия развития мочевыводящих путей. Инфравезикальная обструкция. Клапан уретры. Осложнение: Хронический пиелонефрит без нарушением функции почки. Хронический цистит (рис. 1, 2).



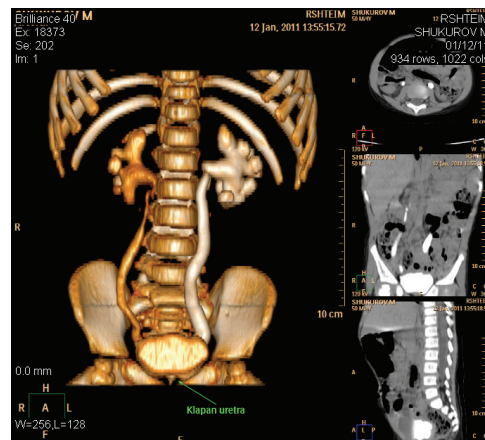
Рис. 1. Рентгенологическая картина КУ больного уретерогидронефрозом.

На МСКТ-урограмме отмечаются расширение и деформация мочеточников больше справа. Введение контраст-

ного вещества и последующее динамическое исследование различных фаз контрастирования позволяли выявить КУ.



a



б

Рис. 2. КТ (а) и 3D-реконструкция обследованного больного. Обструкция уретеровезикального сегмента с двух сторон. Инфравезикальная обструкция. КУ.

Применение МСКТ с контрастированием у наблюдавших нас больных детей с уретерогидронефрозом позволило диагностировать уретерогидронефроз и провести дифференциальную диагностику его с клапаном уретры, а также дифференцировать уретерогидронефроз, возникший на фоне клапана уретры.

МСКТ с контрастированием имеет большие преимущества перед УЗИ и рентгенологическим исследова-

нием мочевыводящих путей, но не является конкурирующим методом.

Для определения инфравезикальной обструкции (клапан уретры, склероз шейки мочевого пузыря) стандартным методом является микционная цистоуретрография. Однако у детей раннего возраста (до года) проведение микционной цистоуретрографии не представляется возможным, так как она может привести к травмированию

ребенка и вызвать у него болезненные ощущения. Поэтому при проведении этого метода мы не можем получить желаемый результат.

Выводы

1. МСКТ с контрастированием является альтернативой в ранней диагностике инфравезикальной обструкции у детей.

2. МСКТ можно считать одним из методов диагностики инфравезикальной обструкции у детей, отличающихся меньшей инвазивностью, большей комфортностью, безопасностью, краткосрочностью периода исследования.

3. МСКТ с контрастированием с трехмерным изображением дает возможность дифференцировать причину обструкции нижних мочевыводящих путей, что позволяет выбрать адекватную тактику лечения.

Литература

1. Антонов Д.В. Особенности диагностики, лечения и реабилитации детей с врожденными пороками мочевыделительной системы: Автореф. дис. ... д-ра мед. наук. – Уфа, 2005. – 46 с.
2. Адаменко О.Б., Халена З.А., Комова Л.Ю. // Детская хирургия. – 2006. – №1. – С. 13-16.
3. Гаврюшов В.В., Гельдт В.Г., Эйрамджян Г.Г., Володько Е.А. Критерии ранней диагностики пороков развития мочевыделительной системы у новорожденных // Физиология и патология периода новорожденных. – Минск, 1980. – С. 21-23.
4. Гуревич А.И., Пыков М.И., Меловщикова Л.Б. и др. // Детская хирургия. – 2007. – № 4. – С. 14-18.
5. Дерюгина Л.А. Расстройства уродинамики нижних мочевых путей у плодов // Детская хирургия. – 2007. – №3. – С. 30-34.
6. Прокоп М., Зубарева А.В., Шотемора Ш.Ш. Спиральная и многослойная компьютерная томография. – М.: МЕДпресс-информ, 2007. – Т. 2. – 712 с.
7. Daradka I. Indications for nephrectomy in children: a report on 119 cases // Saudi J. Kidney Dis. Transpl. – 2012. – Vol. 23, №6. – P. 1221-1226.

8. Diniz G., Aktas S., Ortac R. et al. A regional panorama of non-tumoral nephrectomy reasons in childhood // Aegean. Pathol. J. – 2005. – №2. – P. 71-76.

9. Merlini E., Spina P. Primary non-refluxing megaureters // J. Pediatr. Urol. – 2005. – Vol. 1, №6. – P. 409-417.

10. Mali V.P., Prabhakaran K., Loh D.S. Anterior urethral valves // Asian J. Surg. – 2006. – Vol. 29, №3. – P. 165-169.

РОЛЬ МУЛЬТИСПИРАЛЬНОЙ КОМПЬЮТЕРНОЙ ТОМОГРАФИИ В РАННЕЙ ДИАГНОСТИКЕ ИНФРАВЕЗИКАЛЬНОЙ ОБСТРУКЦИИ У ДЕТЕЙ

Акилов Х.А., Хаккулов Э.Б., Пайзиев Х.М.

Цель: определение характерных признаков, имеющих значение в определении тяжести патологии и выборе тактики диагностики инфравезикальной обструкции у детей.

Материал и методы: в 2005-2012 гг. в отделении детской хирургии РНЦЭМП на лечении находились 97 детей с врожденным уретерогидронефрозом в возрасте от 3-х месяцев до 14 лет. Девочек было 11, мальчиков 8. **Результаты:** получено КТ-изображение почек и мочевыводящих путей (МВП) в спиральном режиме, ширина среза 3 мм, реконструкция 1,5 мм с последующей мультипланарной реконструкцией на фоне контрастирования МВП, что позволило диагностировать уретерогидронефроз и провести дифференциальную диагностику его с клапаном уретры, а также дифференцировать уретерогидронефроз, возникший на фоне клапана уретры. **Выходы:** МСКТ с контрастированием с трехмерным изображением дает возможность дифференцировать причину обструкции нижних мочевыводящих путей, что позволяет выбрать адекватную тактику лечения больного ребенка.

Ключевые слова: инфравезикальная обструкция, мультиспиральная компьютерная томография, диагностика, дети.

ИММУНОГИСТОХИМИЧЕСКАЯ ОЦЕНКА БЕЛКА Р 53 И БЕЛКОВ СЕМЕЙСТВА BCL2 У ДЕТЕЙ С ЦЕЛИАКИЕЙ, АССОЦИИРОВАННОЙ С ДЕФИЦИТОМ И НЕДОСТАТКОМ ВИТАМИНА Д

Алиева Н.Р.

ВИТАМИН Д ТАНҚИСЛИГИ ВА ЕТИШМОВЧИЛИГИ БИЛАН БОҒЛИҚ ЦЕЛИАКИЯЛИ БОЛАЛАРДА Р 53 ОҚСИЛИ ВА BCL2 ОИЛАСИГА МАНСУБ ОҚСИЛЛАРНИ

Алиева Н.Р.

IMMUNOHISTOCHEMICAL EVALUATION OF PROTEIN P53 AND BCL-2 FAMILY PROTEIN IN CHILDREN WITH CELIAC DISEASE ASSOCIATED WITH DEFICIENCY AND LACK OF VITAMIN D

Aliyeva N.R.

Ташкентский педиатрический медицинский институт

Мақсад: витамин Д танқислиги ва етишмовчилиги билан боғлиқ целиакияли болаларда р53 оқсили ва bcl-2 оиласига мансуб оқсилларни. **Материал ва усуулар:** ушбу мақолада 42 та целиакияли 7 дан 16 ёшгача бўлган болаларнинг текширув натижасалири кўрсатилган. Ишқорий фосфатаза, паратормон, фосфор, кальций, 25(OH)D, белгиланган даражаси. **Натижса:** ингичка ичак касалликлари бўлган болаларда ингичка ичак шиллиқ қаватининг яссиланган ворсинкали ичак эпителийсининг минимал баландликдаги жойларида р53 оқсили билан витамин Д танқислиги орасида боғлиқлик бўлиб, бу ингичка ичак алоҳида соҳаларида регенерацияни кечикишидан ва апоптоз жараёнларига турткি бўлишидан далолат беради. **Хунос:** витамин Д танқислигига қараб ингичка ичак касалликларида ундағи эпителий орасида лимфоцитлар миқдорининг кўпайиши bcl-2 ҳужайра кўрсаткичларининг икки баробар камайиши аниқланди. Витамин Д танқислиги билан р53 оқсили ва bcl-2 оиласига мансуб оқсиллар орасидаги корреляцион боғлиқлик аниқланди. Бу эса целиакияда bcl-2 оиласига мансуб оқсилларни протектив аҳамиятидан далолат беради.

Калим сўзлар: целиакия, bcl-2 оиласига мансуб оқсиллар, р53 оқсили, витамин Д.

Objective: To identify the relationship between the levels of p53protein and proteins of bcl-2 family in the mucosa of small intestine and values of calcidiol in children with celiac disease. **Materials and Methods:** In 42 patients with celiac disease aged from 7 to 16 years were determined the levels of 25(OH)D, calcium, phosphorus, parathormone and alkaline phosphatase. **Results:** Children with small intestine diseases are characterized with relationship between deficiency of vitamin D and increase of p53 protein in small intestinal mucosa in the more flattened villi with a minimum height of the intestinal epithelium. This confirms the delay of regeneration in some parts of small intestine and possible initiation of apoptosis. **Conclusions:** The correlations between vitamin D deficiency and indicators of proteins of bcl-2 family and p53 protein indicates the protective value of the proteins of bcl-2 family in celiac disease.

Key words: celiac disease, proteins of bcl-2 family, p53 protein, vitamin D.

Целиакия (Ц) – хроническое полисиндромное заболевание, характеризующееся неспецифическим повреждением слизистой оболочки тонкой кишки глютеном, в результате чего развивается нарушение всасывания в кишечнике [2]. Известно, что в механизмах межклеточного взаимодействия при аутоиммунных заболеваниях важную роль играют процессы, обусловленные митохондриальными белками, разновидностью которых является суперсемейство белков Bax/bcl-2, суммарное действие которых охарактеризовано как антиапоптотическое. Роль белка р53 в клеточном гомеостазе объясняет его причастность к широкому диапазону физиологических процессов и болезней организма [1].

Интерес к витамину Д в мире очень высок. Исследования последних лет продемонстрировали высокую распространенность его недостаточности у населения многих стран мира, в том числе в странах Азии и Африки [3,8,9]. В связи с расширением понимания о значении витамина Д в генезе многих заболеваний существует необходимость изучения его влияния на течение целиакии в условиях повышенной солнечной инсоляции в Узбекистане.

Цель исследования

Выявление параллелей между уровнями белка р53, белков семейства bcl-2 в слизистой тонкой кишки и значениями кальцидиола у детей с Ц.

Материал и методы

Под наблюдением находились 42 пациента с Ц в возрасте от 7 до 16 лет, из них 23 (54,8%) мальчика и 19 (45,2%) девочек, средний возраст 11,5±0,4 года. Диагноз заболевания устанавливали на основании критерииев ESPGHAN [6].

Для изучения статуса витамина Д в организме в сыворотке крови определяли уровень 25(OH)D, кальция, фосфора, паратормона, щелочной фосфатазы. Содержание витамина Д считается достаточным при уровне 25(OH)D в сыворотке крови более 30 нг/мл (75 нмоль/л). Под дефицитом витамина Д понимается снижение концентрации 25(OH)D в сыворотке крови менее 20 нг/мл (50 нмоль/л); недостаточность витамина Д – когда концентрация 25(OH)D в сыворотке крови сохраняется в диапазоне 21-29 нанограммов/мл (Holick M.F., 2008; Holick M.F., Chen T.C., 2008). Для изучения состояния тонкокишечного всасывания использовались нагрузочные тесты с глюкозой – глюкозотolerантный тест (ГТТ), состоящий из введения глюкозы регос из расчета 1 г на 1 кг с последующим определением через 30 и 60 минут уровня глюкозы глюкооксидным методом.

Витамин Д и паратормон определяли методом ИФА на аппарате Elecsys 2010. Контрольную группу составили 16 здоровых детей сопоставимого возраста.

В отделе электронной микроскопии ЦНИЛ ТашПМИ в биоптатах из залуковичного отдела двенадцатиперстной кишки определяли ген р53 и уровень bcl-2 мечеными моноклональными мышими антителами к человеческим р53 протеинам (клон DO-7, Дания) и bcl-2 онкопротеинам (клон 124, Дания), а также проводили гистоморфологическое исследование.

Результаты исследования

У всех больных наблюдались разнообразные различной степени выраженности клинические проявления метаболических нарушений. Было характерно значительное отставание больных в физическом развитии. Белково-энергетическая

недостаточность тяжёлой степени (индекс массы тела – ИМТ – ниже -3СО) выявлена у 8,3% обследованных, у остальных больных констатирована белково-энергетическая недостаточность умеренной степени. Ведущими клиническими проявлениями заболевания были учащение стула, метаболические нарушения, в копрологии встречалась гепатогенная и пакреатогенная стеаторея (85,0%).

При изучении содержания общего белка в сыворотке крови у больных Ц детей выявлена значительная гипопротеинемия, достоверно сниженная по сравнению с контролем ($62,3 \pm 0,8$ г/л при норме $69,8 \pm 0,7$ г/л, $p < 0,05$). Анализ состояния всасывания в тонкой кишке показал низкий прирост гликемии после нагрузки глюкозой, установленный у всех больных с заболеваниями тонкого кишечника ($0,5 \pm 0,06$ ммоль/л при норме $1,6 \pm 0,1$ ммоль/л, $p < 0,001$). Дефицит витамина Д наблюдался у 48 (80%) больных Ц, причем у каждого четвертого пациента (15/25%) установлены предельно низкие цифры (ниже 10 нг/мл). Средний уровень витамина Д был значимо снижен и составил $14,8 \pm 1,04$ нг/мг при норме $45,1 \pm 8,04$ нг/мг ($p < 0,001$). Уровень паратгормона был значительно повышен и составил $29,3 \pm 1,9$ пг/мл при норме $9,1 \pm 0,5$ пг/мл ($p < 0,001$). Концентрация общего и ионизированного кальция имела тенденцию к снижению, которое было статистически недостоверным, а уровень фосфора был достоверно ниже нормы ($1,1 \pm 0,07$ ммоль/л при норме $1,48 \pm 0,05$ ммоль/л, $p < 0,05$). Активность щелочной фосфатазы при Ц была в 2 раза выше нормы ($95,5 \pm 1,4$ Е/л) и составляла $195,8 \pm 2,2$ ($p < 0,001$).

Анализ корреляционной зависимости содержания витамина Д от биохимических показателей, характеризующих фосфорно-кальциевый обмен и уровень паратгормона, показал, что при Ц имелась обратная корреляция с уровнем щелочной фосфатазы (соответственно $r = -0,710$) и обратная корреляция между значениями витамина Д и паратгормона ($r = -0,610$, $p < 0,001$).

При изучении общего содержания в биоптатах белка p53, Bcl-2 клеток и межэпителиальных лимфоцитов в зависимости от уровня витамина Д выявлено, что у детей с дефицитом витамина Д содержание онкомаркера p53 почти в 2,1 раза выше, чем у детей с недостаточностью витамина Д ($p < 0,001$) (табл.).

Таблица

Содержание в биоптатах двенадцатиперстной кишки p53, bcl-2 клеток и межэпителиальных лимфоцитов у детей с Ц в зависимости от содержания витамина Д, $n=42$

Содержание витамина Д	p53, %	bcl-2 клетки, %	Межэпителиальные лимфоциты, %
Недостаточное, $n=9$	$3,1 \pm 0,3$	$16,6 \pm 0,3$	$4,0 \pm 0,9$
Дефицит, $n=33$	$6,5 \pm 0,3$	$7,5 \pm 0,4$	$26,3 \pm 0,4$

Примечание. $p < 0,001$ по сравнению с нормой.

Такая же ситуация наблюдается и в содержании межэпителиальных лимфоцитов: содержание МЭЛ у детей с дефицитом витамина Д было в 6,6 раза выше нормы ($p < 0,001$). Данный процесс у детей с дефицитом витамина Д сопровождался выраженным уменьшением количества bcl-2 клеток в 2,2 раза ($p < 0,001$).

В результате морфологических исследований было выявлено, что в эпителиальном компоненте слизистой оболочки при дефиците витамина Д развиваются дистрофические, деструктивные и атрофические изменения, заканчивающиеся дисрегенераторными перестройками, а в стромально-сосудистых структурах происходят альтеративные, дезорганизационные и воспалительные перестройки, которые завершаются формированием лимфоидного инфильтрата и развитием склероза.

При изучении корреляционной взаимосвязи изменений морфологических показателей и дефицита витамина Д у детей с Ц выявлены сильные обратные связи с показателями p53 (обратная связь ($r = -0,759$, $p < 0,001$) и положительные с белками семейства bcl-2 (прямая связь, ($r = +0,803$, $p < 0,001$).

Обсуждение

Низкое усвоение витамина Д у пациентов с мальабсорбицией (муковисцидоз и синдром короткой кишки) отмечают ряд авторов [5]. Так, у больных муковисцидозом установлена недостаточная абсорбция витамина Д в связи с выраженной эндокринной недостаточностью поджелудочной железы [7]. Первичный механизм дефицита витамина Д у больных с воспалительными заболеваниями кишечника связывают с низким количеством белка, в частности альбумина. Недавно полученные данные экспериментальных исследований на животных предполагают, что витамин Д вовлечён в регулирование эпителиального заживления слизистой кишечника. Эти наблюдения могут, по крайней мере, частично объяснить ассоциации между дефицитом витамина D и развитием воспалительных заболеваний кишечника [4].

Роль интестинального эпителиального повреждения в нарушении всасывания витамина Д у детей с Ц полностью не изучена. Известно, что рецепторы витамина Д присутствуют в криптах тонкой кишки у больных Ц, однако не совсем ясно, приводит ли воспаление кишечника к мальабсорбции жирорастворимых витаминов и, как следствие, к дефициту витамина D [9]. Предполагают, что у детей с Ц в странах с холодным и солнечным климатом может быть одинаковая степень атрофии ворсинок, но влияние ультрафиолетовой радиации в солнечных странах может легко привести к нормальным уровням витамина D, в отличие от детей, живущих в странах с более холодным климатом с ограничением ультрафиолетовой радиации [4,5]. Полученные данные дают основание полагать, что витамин D принимает активное участие в регулировании интестинальной регенерации слизистой тонкой кишки у детей с Ц.

Данные литературы показывают, что молекулярные механизмы, ответственные за апоптоз, консервативны для организма. В своей работе мы на примере Ц впервые изучили человеческий protoонкоген bcl-2, который предохраняет от самоубийства многие клетки, и белок p53, отвечающий за многие процессы, характеризующие функционально активное состояние, неизбежно ведущее к самоограничению и самоуничтожению клетки в зависимости от содержания витамина D. Полученные нами данные соответствуют результатам экспериментальных исследований на животных, согласно которым витамин D вовлечен в регулирование эпителиального заживления слизистой кишечника. Эти наблюдения могут, по крайней мере, частично объяснить ассоциации между дефицитом витамина D и развитием воспалительных заболеваний кишечника [6].

Выявленная зависимость увеличения в слизистой тонкой кишки белка p53 в местах атрофии эпителия слизистой тонкой кишки при дефиците в организме витамина D является подтверждением задержки регенерации в отдельных участках тонкой кишки и вариантом возможной инициации процессов атрофии слизистой тонкой кишки.

Заключение

В регионе с высокой инсоляцией у 78,6% детей с целиакией выявляется дефицит витамина D, у каждого четвертого больного (24,2%) установлен авитаминоз витамина D, у остальных (21,4%) имеется его недостаточность.

Для детей с заболеваниями тонкой кишки характерна взаимосвязь между дефицитом витамина D и увеличением в слизистой тонкой кишки содержания белка p53 в местах наиболее уплощённых ворсинок с минимальной высотой кишечного эпителия, что является подтверждением задержки

регенерации в отдельных участках тонкой кишки и вариантом возможной инициации процессов апоптоза. В зависимости от дефицита витамина Д в слизистой тонкой кишки при ее заболеваниях происходит увеличение количества межэпителиальных лимфоцитов (в 6 раз, $p<0,001$) и двукратное снижение показателей bcl-2 клеток (в 2 раза, $p<0,001$).

У детей с Ц определены корреляционные взаимосвязи между дефицитом витамина Д и показателями белков семейства bcl-2 и белка p53: сильная обратная связь между значениями кальцидиола и p53 ($r=-0,759$), сильная прямая связь кальцидиола с белками семейства bcl-2 ($r=+0,803$). Это свидетельствует о протективном значении белков семейства bcl-2 при Ц.

Литература

1. Логачев М.Ф., Папонов В.Д., Упадышева Н.В., Бражникова И.П. Клиническое значение уровня белков Р53 и Р43 при сахарном диабете 1-го типа у детей и подростков // Педиатрия. – 2007. – Т. 86, №83. – С. 15-18.
2. Ревнова О.М., Лайл Х.Б. Клинические аспекты целиакии у детей // Педиатрия. – 2000. – №5. – С. 107-109.
3. Da Silva G. Celiac disease: effects on bone mineralization // J. Pediatr (Rio J.). – 2003. – Vol. 79. – P. 282-283.
4. Fraser D.R. Vitamin D-deficiency in Asia // J. Steroid Biochem. Mol. Biol. – 2004. – Vol. 89-90. – P. 491-495.
5. Garg M., Lubel J.S., Sparrow M.P. Vitamin D and Inflammatory Bowel Disease Established Concepts and Future Directions Alimentary // Pharmacol. Ther. – 2012. – Vol. 36, №4. – P. 324-344.
6. Marsh M.N. Gluten, major histocompatibility complex and the small intestine. A molecular and immunobiologic approach to the spectrum of gluten sensitivity (celiac sprue) // Gastroenterology. – 1992. – Vol. 102. – P. 330-354.
7. Pappa H., Thayu M., Sylvester F. et al. Skeletal Health of Children and Adolescents with Inflammatory Bowel Disease // JPGN. – 2011. – Vol. 53. – P. 11-25.

8. Raftery T., Martineau A.R. Effects of vitamin D supplementation on intestinal permeability, cathelicidin and disease markers in Crohn's disease: Results from a randomised double-blind placebo-controlled study // United Europ. Gastroenterol. J. – 2015. – Vol. 3, №3. – P. 294-302.

9. Raman Maitreyi, Andrew N., Julian R.F. Vitamin D and gastrointestinal diseases: inflammatory bowel disease and colorectal cancer // Ther. Adv. Gastroenterol. – 2011. – Vol. 4, №1. – P. 49-62.

ИММУНОГИСТОХИМИЧЕСКАЯ ОЦЕНКА БЕЛКА Р 53 И БЕЛКОВ СЕМЕЙСТВА BCL2 У ДЕТЕЙ С ЦЕЛИАКИЕЙ, АССОЦИИРОВАННОЙ С ДЕФИЦИТОМ И НЕДОСТАТКОМ ВИТАМИНА Д

Алиева Н.Р.

Цель: выявление параллелей между уровнями белка p53, белков семейства bcl-2 в слизистой тонкой кишки и значениями кальцидиола у детей с целиакией. **Материал и методы:** у 42 пациентов с целиакией в возрасте от 7 до 16 лет определяли уровень 25(OH)D, кальция, фосфора, паратгормона, щелочной фосфатазы. **Результаты:** для детей с заболеваниями тонкой кишки характерна взаимосвязь между дефицитом витамина Д и увеличением в слизистой тонкой кишки содержания белка p53 в местах наиболее уплощенных ворсинок с минимальной высотой кишечного эпителия, что является подтверждением задержки регенерации в отдельных участках тонкой кишки и вариантом возможной инициации процессов апоптоза. **Выводы:** выявленные корреляционные взаимосвязи между дефицитом витамина Д и показателями белков семейства bcl-2 и белка p53 свидетельствуют о протективном значении белков семейства bcl-2 при целиакии.

Ключевые слова: целиакия, белки семейства Bcl-2, белок p53, витамин Д.

ПРАКТИЧЕСКИЕ АСПЕКТЫ ОЦЕНКИ КОНТРОЛЯ КАЧЕСТВА ЛЕЧЕНИЯ ЗАБОЛЕВАНИЙ ПАРОДОНТА В МНОГОПРОФИЛЬНОЙ КЛИНИКЕ

Гафуров Г.А., Ризаев Ж.А.

ҚҮП ТАРМОҚЛЫ КЛИНИКАДА ПЕРИОДОНТАЛ КАСАЛЛИК ДАВОЛАШ СИФАТИНИ НАЗОРАТ ҚИЛИШ ВА БАҲОЛАШНИ АМАЛИЙ ЖИҲАТЛАРИ

Гафуров Г.А., Ризаев Ж.А.

PRACTICAL ASPECTS OF EVALUATION OF QUALITY CONTROL OF TREATMENT OF PERIODONTAL DISEASE IN A MULTIDISCIPLINARY CLINIC

Gafurov G.A., Rizayev J.A.

Ташкентский государственный стоматологический институт

Мақсад: қўп тармоқли касалхоналардаги соматик беморларнинг парадонт касаллигини даволаши сифатини назорат қилиш ва баҳолашни илмий асослаш ва амалий жиҳатларини ишлаб чиқиш. **Материал ва усуллар:** соматик касалликларда парадонт касаллигини даволаши сифатини назорат қилиш ва баҳолашнинг услуги яратилган бўлиб, улар асосида парадонт касалликларни даволашнинг сифат кўрсаткичларини миқдорий баҳолаш имконини беради. **Натижса:** парадонт касаллигини даволаши сифатини назорат қилиш ва баҳолашнинг янги тавсия этилган мезонлари нафақат даволаши диагностик жараёнларини тақомиллаштириш, балки тиббий муассасалар бошқарии тизимини тақомиллаштиради, бу эса парадонтолик ёрдамни муассасаларда доимо янгиланиб туришига олиб келади. **Хулоса:** даволаши сифатини баҳолашда тизимили ёндошиш, истеъмолчилар талабларини таҳлил қилиш ва тиббий ёрдам жараёнини мониторинг қилиш, қабул қилинаётган қарорларнинг асослилигини ва тезкорлигини таъминлайди.

Калим сўзлар: парадонт касалликлари, соматик патология, даволаши, сифат назорати, қўп тармоқли клиникалар.

Objective: Scientific substantiation and elaboration of the practical aspects of estimation of productivity of system of quality control of treatment for periodontal diseases at the somatic patients in a multidisciplinary hospital. **Materials and Methods:** Technique of estimation of quality of treatment for periodontal diseases at the somatic patients has been developed, which is a tool to quantitatively evaluate the qualitative side of the process of treatment for periodontal diseases. **Results:** The proposed method of assessing the quality of treatment for periodontal diseases allows not only to improve the diagnostic and treatment process of diseases of the periodontium in somatic patients, but also to optimize the management of medical organization that ensures the constant introduction of improvements in the organization of periodontal care. **Conclusions:** A systematic approach to the assessment of the quality of the treatment increases the validity and efficiency of decisions through analysis of customer requirements, monitoring processes in medical organizations, bringing these processes into a manageable condition.

Key words: periodontal diseases, somatic pathology, treatment, quality of control, multidisciplinary clinic.

Воспалительные заболевания пародонта (ВЗП) в структуре стоматологической патологии занимают ведущее место по частоте и распространённости, являясь основной причиной потери зубов, которая негативно влияет на показатели здоровья и качества жизни (КЖ) человека [1,8]. В основе современного подхода к лечению воспалительных заболеваний пародонта лежит комплексность, определяющая участие специалистов различного профиля [2,3,7,9-11].

В этой связи актуальным представляется внедрение новых организационно-функциональных подходов к лечению заболеваний пародонта у соматических больных многопрофильных клинических больниц [7].

Клиническая больница представляет собой сложный высокотехнологичный комплекс, а для внедрения новых организационных форм лечения её руководителю необходимо решать не только медицинские задачи, но и целый ряд организационно-технических проблем [4-6]. Очевидно, что только сочетание передовых методик в области медицины и современных подходов к постановке системы управления способно обеспечить внедрение новых организационных форм междисциплинарного взаимодействия стоматологов и врачей соматического профиля.

Цель исследования

Научное обоснование и разработка практических аспектов оценки результативности системы контроля качества лечения заболеваний пародонта у соматических больных в условиях многопрофильной клинической больницы.

Материал и методы

Разработана методика оценки качества лечения заболеваний пародонта у соматических больных, являющаяся инструментом, позволяющим количественно оценить качественную сторону процесса лечения заболеваний пародонта. Экспертная оценка качества лечения представлена разделами:

- А – качество ведения документации;
- В – диагностические мероприятия;
- С – постановка диагноза;
- Д – лечебно-профилактические мероприятия;
- К – консультации врачей-интернистов;
- Р – междисциплинарная интеграция;
- Р – результат лечения.

Каждый из вариантов ответов на поставленные перед экспертом вопросы имеет ранжированную балльную оценку от 0 до 1,0. Балльная оценка прямо пропорциональна уровню соответствия экспертизуемого критерия установленным требованиям и стандарту. По каждому из перечисленных разделов экспертизы рассчитывается результирующая оценка, которая представляет собой среднюю арифметическую оценку всех подразделов.

По результатам анализа всех разделов вычисляется интегрированный показатель (Е) качества и технологий лечения заболеваний пародонита у пациентов с соматической патологией. Показатель определяется как сумма всех результирующих оценок по разделам, делённая на количество оцениваемых разделов.

Клиническая
медицина

Интегрированный показатель результатов экспертизы качества и технологий лечебно-диагностического процесса может быть охарактеризован следующими градациями, установленными эмпирически:

- 1,0 – 0,90 – «отлично»;
- 0,89 – 0,80 – «хорошо»;
- 0,79 – 0,70 – «удовлетворительно»;
- менее 0,70 – «неудовлетворительно».

Все результаты экспертиз законченных случаев лечения заболеваний пародонта за 2013-2014 г.г. анализиро-

вались по 7 различным профилям процессуальных индикаторов, посвященных диагностике, объемам и методам лечения, по результатам которых рассчитывалась интегрированная оценка качества и технологий лечения.

Для разработки методики и оценки её результативности методики в 3-й клинике ТМА был разработан алгоритм, в соответствии с которым проводились исследование и мероприятия по улучшению лечебно-диагностического процесса согласованные с результатами экспертизы рисунок.



Рисунок. Алгоритм изучения результативности внедрения метода оценки качества лечения заболеваний у соматических больных.

Результаты и обсуждение

Результаты исследований показали, что внедрение методики оценки качества лечения заболеваний пародонта у соматических больных привело к значительному увеличению числа случаев законченного лечения заболеваний пародонта. За период 2013 г. число случаев законченного лечения было 452, в 2014 г. – 4771, что составило соответственно $11,5 \pm 0,32$ и $45,32 \pm 0,49\%$ от общего числа леченых ($p \leq 0,05$).

Динамика интегрированного показателя качества лечения представлена в таблице 1.

Анализ показывает, что внедрение системы оценки качества позволило в значительной степени улучшить интегрированный показатель качества лечения (E). Достаточно наглядным является увеличение в 2014 г. ин-

тегрального показателя качества лечения как обобщающей характеристики с $0,69 \pm 0,01$ до $0,93 \pm 0,03$ ($p \leq 0,01$).

При обработке результатов экспертиз обнаружено низкое качество ведения медицинской документации блока «A», о чём свидетельствует широкий спектр выявленных дефектов.

Первичная медицинская документация – основной источник выявления дефектов медицинского наблюдения. Оценка её оформления, не являясь самоцелью, приобретает, прежде всего, важность при итоговом экспертном заключении о качестве и уровне оказываемой помощи. Ненадлежащее ведение медицинской документации обуславливает снижение её доказательной роли в оценке качества лечения.

Таблица 1

Сводные данные о количестве проведенных экспертиз и оценке интегрированного показателя качества лечения заболеваний пародонта в отделениях 3-й клиники Ташкентской медицинской академии за период 2013-2014 гг.

Отделение	Е – интегрированная оценка качества и технологий лечения заболеваний пародонта				р	
	2013 год		2014 год			
	коли-чество экспертиз	Оценка, балл	коли-чество экспертиз	Оценка, балл		
Ревматология	74	0,62±0,02	742	0,92±0,04	0,01<	
Эндокринология	25	0,71±0,03	451	0,93±0,03	0,01<	
Общая терапия	63	0,63±0,03	612	0,89±0,03	0,01<	
Кардиология	83	0,73±0,02	712	0,94±0,04	0,01<	
Неврология	65	0,68±0,03	783	0,99±0,03	0,01<	
Нефрология	78	0,71±0,03	618	0,86±0,03	0,01<	
Кардиореабилитация	41	0,77±0,04	321	0,97±0,04	0,01<	
Реабилитационные отделения №1, №2	33	0,68±0,02	532	0,92±0,04	0,01<	
Итого	452	0,69±0,01	4771	0,93±0,03	0,01<	

По результатам экспертизы качества ведения медицинской документации наиболее частым дефектом является отсутствие информации о давности заболевания. Эти дефекты обнаружены в 36,0-18,0% случаев. Достаточно часто эксперты отмечали отсутствие подписи врачей в дневниках наблюдения, подписи больных в информированном согласии на лечение, упоминания о наличии и тяжести новой соматической патологии; а также указания отделения, в котором в настоящее время лечится больной. Такие дефекты встречались в 39,90-12,55% случаев.

Отмечались также случаи потери информации при переносе данных из «Истории болезни больного» в «Карту стоматологического больного», отсутствие в дневниках жалоб больных, данных объективных исследований и лекарственных назначений (20,8-11,5%).

Очевидно, что широкий спектр выявленных дефектов оказал влияние на итоговые оценки по данному блоку. За изучаемый период средняя оценка по блоку «А», является одним из самых неудовлетворительных разделов работы врачей, составила в 2013 г. 0,59±0,01, в 2014 г. – 0,73±0,02 ($p\leq 0,01$) (табл. 2).

Таблица 2

Сводные данные по оценке профилей профессиональных индикаторов качества лечения заболеваний пародонта в отделениях III клиники ТМА в 2013 (числитель) и 2014 г. (знаменатель)

Профиль индикаторов	Отделение								Всего
	ревматология	эндокринология	общая терапия	кардиология	nevropatologiya	неврореабилитация	кардиореабилитация	реабилитационное	
A – качество ведения документации	0,58±0,02* 0,77±0,02	0,63±0,02* 0,81±0,03	0,51±0,03* 0,71±0,07	0,60±0,02* 0,80±0,03	0,55±0,02* 0,67±0,02	0,40±0,02* 0,70±0,02	0,51±0,01* 0,66±0,02	0,51±0,02* 0,68±0,02	0,59±0,01* 0,73±0,02
B – диагностические мероприятия	0,68±0,02* 0,94±0,03	0,63±0,02* 0,98±0,02	0,75±0,01* 0,99±0,03	0,69±0,02* 0,81±0,02	0,58±0,01* 0,77±0,02	0,66±0,02* 0,88±0,02	0,71±0,01* 0,73±0,02	0,60±0,02* 0,96±0,03	0,64±0,02* 0,92±0,03
C – постановка диагноза	0,45±0,02* 0,99±0,03	0,58±0,02* 0,96±0,03	0,61±0,02* 0,90±0,02	0,44±0,01* 0,95±0,03	0,58±0,01* 0,98±0,02	0,62±0,02* 0,91±0,03	0,63±0,02* 0,96±0,03	0,59±0,01* 0,93±0,03	0,59±0,02* 0,95±0,03
D – лечебно-профилактические мероприятия	0,36±0,01* 0,77±0,02	0,41±0,01* 0,91±0,03	0,45±0,02* 0,87±0,02	0,35±0,01* 0,93±0,03	0,42±0,02* 0,94±0,03	0,37±0,01* 0,95±0,03	0,38±0,01* 0,81±0,02	0,44±0,11* 0,88±0,02	0,41±0,01* 0,86±0,03
K – консультации	0,55±0,01* 0,90±0,03	0,60±0,02* 0,91±0,02	0,58±0,01* 0,82±0,02	0,47±0,01* 0,87±0,02	0,61±0,02* 0,89±0,03	0,57±0,01* 0,94±0,02	0,58±0,02* 0,85±0,02	0,61±0,01* 0,91±0,03	0,55±0,02* 0,87±0,02
P – преемственность	0,47±0,02* 0,88±0,02	0,45±0,02* 0,86±0,01	0,55±0,02* 0,92±0,03	0,52±0,02* 0,96±0,03	0,51±0,01* 0,94±0,02	0,46±0,02* 0,87±0,09	0,45±0,01* 0,91±0,03	0,51±0,02* 0,92±0,03	0,47±0,01* 0,91±0,02
R – достижение полученного результата	0,71±0,02* 0,95±0,03	0,68±0,02* 0,89±0,02	0,77±0,02* 0,96±0,03	0,66±0,02* 0,88±0,02	0,65±0,02* 0,97±0,03	0,58±0,02* 0,99±0,03	0,71±0,03* 0,92±0,03	0,68±0,02* 0,94±0,03	0,69±0,01* 0,93±0,03

Примечание. * – $p < 0,05$ по сравнению с 2014 г.

По мнению врачей, значительная часть дефектов ведения медицинской документации связана с дефицитом рабочего времени, необходимого для её оформления, а также отсутствием унифицированного формализованного документа лечения заболеваний пародонта, который значительно облегчил и упростил бы работу.

Положительные изменения произошли во всех разделах, формирующих блок «В». Если в 2013 г. количество недостатков в сборе анамнеза, проведении физикальных, лабораторных и инструментальных методов исследования составили соответственно 45,23; 53,67 и 47,32%, то в 2014 г. доля таких дефектов сократилась более чем в 3-4 раза до 13,26; 14,33 и 15,82%. За счёт уменьшения количества де-

фектов в комплексе проводимых диагностических мероприятий средняя оценка по блоку «В» возросла с 0,64±0,02 до 0,92±0,03 ($p\leq 0,01$).

Внедрение обязательной экспертизы качества лечения заболеваний пародонта у соматических больных позволило повысить качество диагностики воспалительно-деструктивных заболеваний пародонта, снизить частоту неполной или необоснованной постановки основного и сопутствующего диагнозов (блок «С») с 59,66±2,02% в 2013 г. до 17,95±1,03% ($p\leq 0,01$) в 2014 г. Частыми дефектами в постановке основного диагноза являлись ошибки в установлении тяжести воспалительно-деструктивного поражения пародонта, недооценка локальных факторов риска, уровня

гигиены полости рта, наличия и тяжести заболеваний слизистой оболочки полости рта. Средняя оценка по блоку «С» в 2013 г. составила $0,59 \pm 0,02$; в 2014 г. – $0,95 \pm 0,03$ ($p \leq 0,01$).

Качество лечебно-профилактической работы отражает блок «Д», включающий составление индивидуального плана лечения, проведение мероприятий по профилактике и лечению заболеваний пародонта, включающих профессиональную гигиену полости рта, а также применение специальных лекарственных средств и врачебных манипуляций.

Стратегия лечения заболеваний пародонта в каждом конкретном случае находит своё отражение в составлении индивидуального плана лечения, характеризующего врачебную логику, знания и индивидуальный подход к каждому больному. При анализе результатов экспертиз данного раздела по оценке качества лечения заболеваний пародонта отмечается снижение количества дефектов, имеющих место при составлении индивидуального плана лечения с $63,55 \pm 2,33\%$ в 2013 г. до $12,87 \pm 0,53\%$ ($p \leq 0,01$) в 2014 г. Эти показатели свидетельствуют о том, что у значительной части больных не всегда выбирается адекватная тактика лечения.

Оценка качества и обоснованности гигиены полости рта позволила выявить, что удельный вес недостаточно-го объёма гигиенических мероприятий достаточно высок, в целом удельный вес адекватного проведения гигиены полости рта повысился с $34,80 \pm 1,33\%$ в 2013 г. до $88,63 \pm 2,53\%$ ($p \leq 0,01$) в 2014 г.

Качественная и количественная оценка лечебных мероприятий показала, что количество дефектов при назначении лечения сократилось более чем в 2 раза (с $50,35 \pm 2,21\%$ в 2013 г. до $20,67 \pm 0,51\%$ ($p \leq 0,01$) в 2014 г.), а количество врачебных назначений, согласованных с врачом-интернистом, увеличилось более чем в 3 раза (с $23,4 \pm 0,51$ до $70,65 \pm 0,51\%$ ($p \leq 0,01$); удельный вес рационально назначенных комбинаций лекарственных препаратов возрос с $23,56 \pm 0,81$ до $67,05 \pm 1,51\%$ ($p \leq 0,01$).

Повышение качества лечебно-профилактической работы оказало влияние на итоговые оценки по блоку «Д»: в 2014 г. оценка увеличилась более чем в 2 раза и составила $0,86 \pm 0,03$ против $0,41 \pm 0,01$ в 2013 г. ($p \leq 0,01$).

Больной пародонтитом должен быть осмотрен врачами-интернистами: врачом-терапевтом и при выявлении заболеваний обязательная консультация узких специалистов (эндокринолога, гастроэнтеролога, уролога и т.д.), по результатам которой осуществляется коррекция лечения пародонтита. По результатам экспертиз своеевременную и обоснованную консультацию узких специалистов в 2013 г. получили 20,33% больных пародонтитом, а в 2014 г. – 77,88%. В 2014 г. оценка по блоку «К» возросла до $0,87 \pm 0,02$ против $0,55 \pm 0,02$ в 2013 г. ($p \leq 0,01$).

Анализ междисциплинарной интеграции при лечении заболеваний пародонта у больных с соматической патологией также выявил ряд дефектов (блок «Р»). Случай отсутствия коррекции лечения, которые привели в недостаточному объёму оказываемой помощи и удлинению сроков лечения, в 2013 г. составили 83,54%, а в 2014 г. их количество уменьшилось до 20,65%. В результате оценка по блоку «Р» в 2014 г. возросла до $0,91 \pm 0,02$ против $0,47 \pm 0,01$ в 2013 г. ($p \leq 0,01$).

Изучение показателей результативности (блок «R») показало, что лишь у 35,00% больных пародонтитом в 2013 г. отмечался положительный результат лечения, заключающийся в купировании воспалительно-деструктивного поражения пародонта, отсутствии жалоб и отделяемого из пародонтальных карманов, снижение или исчезновение подвижности зубов, восстановление нормального цвета и фестончатого края и плотного прилега-

ния края десен к зубам, индексы деструкции и воспаления пародонта не определяются. У 20,0% больных отмечалась положительная динамика, заключающаяся в уменьшении жалоб, купировании воспалительных изменений пародонта, уменьшении кровоточивости; в 20,0% случаев отмечено частичное улучшение состояния пародонта (восстановление изучаемых показателей до 50,0%); у 15,0% наблюдавших пациентов установлено незначительное (ниже 50,0%) улучшение состояния пародонта, у 10,0% больных эффект лечения отсутствовал.

Внедрение экспертизы качества лечения заболеваний пародонта за исследуемый период позволило значительно улучшить результаты лечения. Так, в 2014 г. число больных, у которых наблюдалось полное купирование воспалительно-деструктивного поражения пародонта, возросло до 60,0%; положительная динамика и частичное достижение результатов лечения отмечались соответственно у 15,0 и 10,0%; незначительное улучшение наступило у 10,0%, эффекта отсутствовал у 5,0%.

Итоговая оценка по блоку «R» – оценка достижения полученного результата в 2014 г. составила $0,93 \pm 0,03$, а в 2013 г. $0,69 \pm 0,01$ ($p \leq 0,01$).

Выводы

1. Разработанный метод оценки качества лечения заболеваний пародонта направлен не только на совершенствование лечебно-диагностического процесса заболеваний пародонта у соматических больных, но и на оптимизацию системы управления медицинской организацией, а также на непрерывное усовершенствование, гарантирующее постоянное внедрение улучшений в организацию пародонтологической помощи.

2. Предложенные подходы позволяют отслеживать динамику основных показателей деятельности на фоне организационных преобразований при внедрении системы контроля качества лечения и ее функционирования. Системный подход к оценке качества лечения повышает обоснованность и оперативность принимаемых решений путем анализа требований потребителей, мониторинга процессов медицинской организации, приведение этих процессов в управляемое состояние.

Литература

1. Абаев З.М., Домашев Д.И., Антидзе М.К. и др. Современные методы лечения и профилактики заболеваний пародонта // Стоматология. – 2012. – №4. – С. 72-73.
2. Еремин А.В., Еремин О.В., Козлова И.В. Клинико-морфологическая характеристика пародонта при циррозах печени // Рос. журн. гастроэнтерол., гепатол., колопроктол. – 2011. – №1, Прил. №37. – С. 28.
3. Иващенко Ю.Ю., Шварц Ю.Г., Пархонюк Е. В., Еремин О.В. Взаимосвязь хронической патологии зубочелюстной системы с ишемической болезнью сердца и ее осложнениями // Саратовский науч.-мед. журн. – 2013. – Т. 9, №3. – С. 408-412.
4. Кравчук С.Г. Осуществление контроля качества медицинской помощи в медицинских организациях: основные принципы и подходы // Вестн. Росздравнадзора. – 2014. – №1. – С. 68-70.
5. Миргазизов М.З., Макарова Н.А., Блашкова С.Л. Возможность применения основных протоколов патогенетического лечения хронического генерализованного пародонтита для повышения качества пародонтологической помощи // Рос. стоматол. журн. – 2010. – №6. – С. 45-46.
6. Серегина И.Ф. Стандарты медицинской помощи: история вопроса и положение дел // Менеджмент качества. – 2009. – № 6. – С. 4-9.
7. Соловьева А.М. Итоги круглого стола экспертов по проблеме “Связь стоматологического и общего здоровья” // Институт стоматологии. – 2012. – №2. – С. 1-2.
8. Фукс Е.И., Карева Ю.А., Гализина О.А., Таболина, Е.С. Современные аспекты этиологии и патогенеза заболеваний пародонта // Рос. мед.-биол. вестн. им. акад. И.П. Павлова. – 2013. – №3. – С. 153-156.
9. Lockhart P.B., Bolger A.F., Papapanou P.N. et al. Periodontal Disease and Atherosclerotic Vascular Disease: Does the Evidence Support an Independent Association?: A Scientific Statement from the American

Heart Association // Circulation. – 2012. – Vol. 125. – P. 2520-2544.

10. Wang G., Zhou X., Huag D. Role for Porphyromonas gingivalis in the progression of atherosclerosis // Med. Hypotheses. – 2009. – Vol. 72, №1. –P. 3-71.

11. Wolf A.R., Avram R., Bogdan M., Chiroban J.S. The relationship between periodontal disease and the atherosclerotic changes of the carotid artery and aortic valves // J. Exp. Med. Surg. Res. – 2009. – №4. – P. 301-308.

ПРАКТИЧЕСКИЕ АСПЕКТЫ ОЦЕНКИ КОНТРОЛЯ КАЧЕСТВА ЛЕЧЕНИЯ ЗАБОЛЕВАНИЙ ПАРОДОНТА В МНОГОПРОФИЛЬНОЙ КЛИНИКЕ

Гафуров Г.А., Ризаев Ж.А.

Цель: научное обоснование и разработка практических аспектов оценки результативности системы контроля качества лечения заболеваний пародонта у соматических больных в условиях многопрофильной клинической больницы. **Материал и методы:** разработана методика оценки качества лечения заболеваний пародонта у соматических

больных, являющаяся инструментом, позволяющим количественно оценить качественную сторону процесса лечения заболеваний пародонта. **Результаты:** предложенный метод оценки качества лечения заболеваний пародонта позволяет не только совершенствовать лечебно-диагностический процесс заболеваний пародонта у соматических больных, но и оптимизировать систему управления медицинской организацией, что гарантирует постоянное внедрение улучшений в организацию пародонтологической помощи. **Выводы:** системный подход к оценке качества лечения повышает обоснованность и оперативность принимаемых решений путем анализа требований потребителей, мониторинга процессов медицинской организации, приведение этих процессов в управляемое состояние.

Ключевые слова: заболевания пародонта, соматическая патология, лечение, контроль качества, многопрофильная клиника.

**ИЗМЕНЕНИЯ КЛИНИКО-ФУНКЦИОНАЛЬНЫХ ПОКАЗАТЕЛЕЙ ОРГАНА ЗРЕНИЯ
В ПРОЦЕССЕ КОМБИНИРОВАННОГО ЛЕЧЕНИЯ ПАЦИЕНТОВ
С НЕПРОЛИФЕРАТИВНОЙ ДИАБЕТИЧЕСКОЙ РЕТИНОПАТИЕЙ**

Журабекова А.З., Кангилбаева Г.Э.

**НОНПРОЛИФЕРАТИВ ДИАБЕТИК РЕТИНОПАТИЯ БҮЛГАН БЕМОРЛАРДА
БИРЛАШТИРИЛГАН ДАВОЛАШ ЖАРАЁНИДА
КЛИНИК- ФУНКЦИОНАЛ КҮРСАТКИЧЛАРНИ ЎЗГАРИШИ**

Журабекова А.З., Кангилбаева Г.Э.

**CHANGES OF CLINIC-FUNCTIONAL INDEXES OF ORGAN OF VISION
IN PROCESS OF COMBINATION THERAPY OF PATIENT WITH
NONPROLIFERATIV DIABETIC RETINOPATHY**

Jurabekova A.Z, Kangilbaeva G.E.

Ташкентская медицинская академия

Мақсад: эндоназал электрофорез усули билан даволашда танакан самарадорлигини ўрганиш. **Материал ва усуллар:** клиник тадқиқотлар НДР ташхис қўйилган 66 беморларда (123 кўз) даволаш давомида ўтказилди. Асосий гуруҳга 34 та бемор (63 кўз), танакан дорисини 120мг меъёрда кунига, шунингдек эндоназал электрофорез усули билан. Назорат гуруҳидаги беморларга 32 (60 кўз) танакан ичига меъёрда 120 мг кунига. **Натижаси:** асосий гуруҳда 10 кунли даволаш курсидан кейин қўриш ўтқирилгини ошиши кўринишида ижобий эфект кузатилди. **Хуноси:** таклиф килинган НДР танакан билан эндоназал электрофорез усули сезиларли даражада стандарт даволашга нисбатан эфектив ва кўз тубидаги патологик ўзгаришларни регрессга олиб келиши билан қўриш функциясини тиклайди.

Калим сўзлар: диабетик ретинопатия, эндоназал электрофорез, антиоксидант, нейропротектор.

Objective: To study the effectiveness of the treatment tanakan NDR by endonasal electrophoresis. **Materials and Methods:** The clinical study was carried out in the course of treatment 66 patients (123 eyes) with the diagnosis of NDR. The study group included 34 patients (63 eyes) who received tanakan oral dose of 120 mg per day, as well as by endonasal electrophoresis. Patients in the control group (32 people, 60 eyes) was appointed tanakan oral dose of 120 mg per day. **Results:** At the end of 10 days of treatment in the study group observed a significant positive effect in the form of increased visual acuity. **Conclusions:** The proposed combined method of treatment with intranasal electrophoresis tanakan the treatment of PDR is significantly effective when compared with standard treatment, leads to regression of pathological changes in the fundus and the restoration of visual function.

Key words: diabetic retinopathy, endonazal electrophoresis, antioxidant, neuroprotector.

Для стабилизации и регресса дегенеративно-дистрофического процесса на сетчатке при непролиферативной диабетической ретинопатии (НДР) и, следовательно, предотвращения перехода в пролиферативную стадию оправданы медикаментозные методы лечения, воздействующие на все звенья патогенеза развития заболевания. Изменения стенок капилляров (утолщение базальной мембранны, исчезновение перицитов, изменения эндотелиальных клеток) и реологических свойств циркулирующей крови при НДР способствуют формированию микротромбов и окклюзии капилляров. Возникает локальная гипоксия тканей, что приводит к повышению синтеза оксида азота (NO) – мощного вазодилататора. Известно, что NO синтезируется из L-аргинина при участии NO-синтаз. Повышенная продукция NO во время ишемии сетчатки является компенсаторным механизмом для обеспечения хорошего кровоснабжения и поддержания высокого уровня метаболизма в тканях, испытывающих недостаток кислорода или питательных веществ. О.В. Занозина и соавт. [5] показали, что оксид азота выполняет свои функции как ангиопротектор, вазодилататор, эндотелиоопротектор, выступая в качестве эндогенного антиоксиданта на ранних стадиях сахарного диабета. Повышенная продукция NO приводит к истощению источника синтеза NO – L-аргинина [7,10] и, соответственно, снижению синтеза NO. Происходит ослабление NO-зависимых процессов, таких как вазодилатация, увеличивается агрегация тромбоцитов. Это ведет к развитию микротромбозов сосудистой системы и локальной ишемии сетчатки,

которая в свою очередь стимулирует синтез вазопролиферативных факторов и, как следствие, неоваскуляризации и пролиферации [3,5]. Поэтому наиболее перспективным нам представляется коррекция метаболических нарушений на ранних этапах их развития.

На фармакологическом рынке появился препарат танакан (экстракт Гинкго билоба EGb 761), обладающий антиоксидантным, нейропротекторным и улучшающим реологические свойства крови действием и применяющийся как патогенетическое средство при лечении различных форм ДР и глаукоматозной оптической нейропатии [2,7,9].

Известно, что проникновение препаратов внутрь организма происходит значительно интенсивнее под воздействием электрического тока. Кроме того, физические лечебные факторы, оказывающие как местное, так и общее воздействие, активизируют адаптивные реакции организма, способствуют улучшению микроциркуляции и нормализации обменных процессов. Одним из таких электрофармакологических методов является лекарственный электрофорез, в основе которого лежит комплексное, т.е. одновременное, воздействие на организм больного постоянного электрического тока и лекарственного вещества, поступающего в кровь и лимфу с током черезслизистую оболочку и неповрежденные кожные покровы. Обычные методы электрофореза, применяемые в офтальмологии (ванночковый и через веки) недостаточно эффективны при лечении поражений заднего отрезка глаза из-за небольшой глубины проникновения лекарств. Для данной патологии более эффективен метод эндоназаль-

ИЗМЕНЕНИЯ КЛИНИКО-ФУНКЦИОНАЛЬНЫХ ПОКАЗАТЕЛЕЙ ОРГАНА ЗРЕНИЯ В...

ного электрофореза. Лекарственное вещество проникает через рыхлую слизистую оболочку носа по периневральным щелям ветвей обонятельного и тройничного нервов и лимфатическим сосудам непосредственно в ликвор базальных цистерн мозга, а затем по периневральным пространствам в зрительный нерв [1].

Цель исследования

Изучение эффективности танакана при лечении НДР методом эндоназального электрофореза.

Материал и методы

Под наблюдением были 66 пациентов (123 глаза) с диагнозом НДР. Средний возраст пациентов $62,1 \pm 1,9$ года. Женщин было 43, мужчин – 23. Пациенты были разделены на 2 группы, сопоставимые по полу и возрасту, стадии НДР, степени тяжести СД. Стадии определяли по известной классификации ETDRS, основанной на модифицированной схеме Airlie House [3]. Кроме того, обследовали 10 практически здоровых лиц в возрасте от 50 до 60 лет. В основную группу вошли 34 пациента (63 глаза), получавшие танакан внутрь в дозе 120 мг в сутки, а также методом эндоназального электрофореза. 32 пациентам контрольной группы (60 глаз) был назначен танакан внутрь в дозе 120 мг в сутки. В обеих группах лечение проводилось в течение 10 дней на фоне стандартной терапии НДР. Для эндоназального электрофореза использовали аппарат гальванизации Поток-1. До лечения и после терапии больным проводили общее офтальмологическое обследование, компьютерную статическую периметрию и определение уровня NO_2 (NO_3) в слезной жидкости.

Исследование полей зрения проводили на компьютерном анализаторе поля зрения Octopus (Interzeag AG, Switzerland), используя пороговую программу 60-2 с определением пороговой светочувствительности сетчатки, отклонения от возрастной нормы, наличия относительных и абсолютных скотом.

Содержание NO_2 (NO_3) в слезной жидкости определяли с использованием реактива Грисса (раствор сульфаниламида и N-(1-нафтил)-этилендиамин в 2,5% ортофосфорной кислоте), который дает окрашенный диазопродукт с максимумом поглощения при 546 нм [6,8].

Результаты и обсуждение

Лечение больные переносили хорошо. Побочных реакций как местного, так и общего характера не отмечалось. По завершении 10-дневного курса лечения у 87,3% пациентов основной группы отмечался существенный положительный эффект в виде повышения остроты зрения, у 12,7% больных острота зрения оставалась без динамики. В контрольной группе повышение остроты зрения достигнуто лишь у 22% больных (табл. 1).

Таблица 1

Острота зрения у обследованных больных до (числитель) и после (знаменатель) лечения, $M \pm m$

Острота зрения	Контрольная группа, n=32	Основная группа, n=34
0,01-0,09	$0,04 \pm 0,01$ $0,06 \pm 0,02$	$0,05 \pm 0,01$ $0,2 \pm 0,07^*$
0,1-0,9	$0,5 \pm 0,04$ $0,55 \pm 0,06$	$0,52 \pm 0,02$ $0,7 \pm 0,08^*$

Примечание. * – $p < 0,05$ по сравнению с данными до лечения.

Офтальмологическое обследование показало, что количество кровоизлияний, очагов мягких и твердых экссудатов, отеков макулярной области в основной группе в среднем уменьшилось в 2,5 раза, а в контрольной группе – в 1,5 раза. По данным статической компьютерной периметрии после лечения светочувствительность сетчатки в основной группе достоверно уве-

личилась на 22%, в контрольной группе – на 10%; среднее отклонение от возрастной нормы уменьшилось соответственно на 33 и 12%; количество абсолютных скотом снизилось на 30 и 21%; относительных скотом – на 100 и 83% (табл. 2).

Таблица 2
Показатели статической периметрии у больных до (числитель) и после (знаменатель) лечения, $M \pm m$

Показатель	Основная группа, n=34	Контрольная группа, n=32
MS, dB	$13,60 \pm 0,63$ $16,61 \pm 0,37^b$	$13,66 \pm 0,73$ $15,05 \pm 0,85$
MD, dB	$9,31 \pm 0,60$ $6,23 \pm 0,32^b$	$8,67 \pm 0,75$ $7,6 \pm 0,85$
Абс. скот.	$6,17 \pm 2,42$ $3,12 \pm 1,11$	$8,17 \pm 1,5$ $6,83 \pm 1,4$
Относит. скот.	$28,5 \pm 2,72$ $11,5 \pm 1,71^b$	$34,5 \pm 2,4$ $26,5 \pm 2,5^a$

Примечание. a – $p < 0,05$, b – $p < 0,01$ – по сравнению с данными до лечения.

Проведенные исследования показали, что содержание оксида азота в слезной жидкости у пациентов с НДР снижалось: у больных 1-й группы на 45,5%, 2-й – на 45,19%. Полученные результаты, на наш взгляд, подтверждают мнение специалистов о том, что при прогрессировании заболевания происходит истощение источников синтеза NO (L-аргинин) и снижение его выработки [4,10].

Таблица 3
Содержание оксида азота (мкмоль/л) в слезной жидкости у пациентов с НДР, $M \pm m$

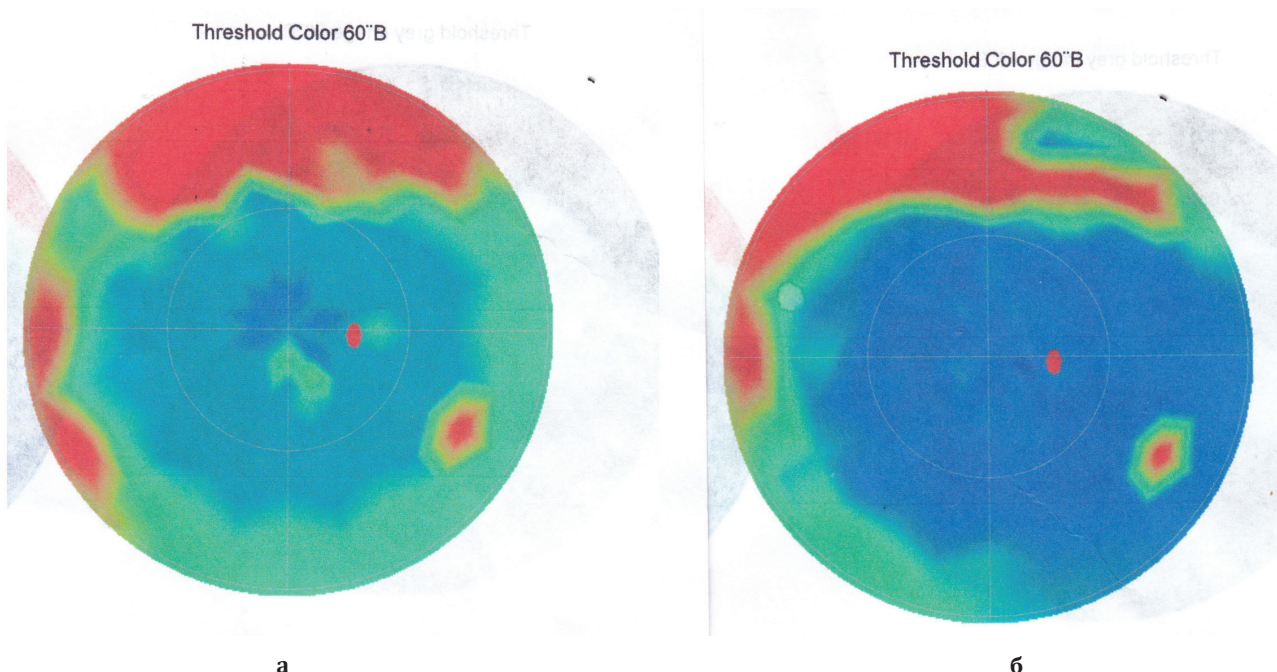
Группа обследованных	До лечения	После лечения
Здоровые лица	$3,54 \pm 0,24$	$3,54 \pm 0,24$
Контрольная группа	$1,93 \pm 0,21^a$	$2,4 \pm 0,1^*$
Основная группа	$1,94 \pm 0,19^*$	$3,6 \pm 0,14^b$

Примечание. a – $p < 0,05$ по сравнению с данными здоровых лиц; b – $p < 0,05$ по сравнению с данными до лечения.

Как видно из таблицы 3, в контрольной группе на 10-е сутки лечения уровень NO повысился незначительно – на 24,35%, у пациентов же основной группы этот показатель возрос на 85,6%.

Изменения состава и метаболических показателей слезной жидкости достаточно адекватно отражают патобиохимические изменения в тканях и внутриглазной жидкости глаза. Полученные данные свидетельствуют о незначительном действии традиционных методов лечения и позитивном влиянии комбинированной терапии на метаболическое состояние тканей глазного яблока.

Пример 1. Пациент Х., 1955 г.р. Д-з: Непролиферативная диабетическая ретинопатия I-b стадия. Острота зрения до лечения OD/OS = 0,5/0,7 н/к. На глазном дне: диск зрительного нерва бледно-розовый с четкими границами. Вены расширены, извитые, артерии сужены. Имеются микроаневризмы, точечные кровоизлияния, твердые экссудаты. На правом глазу отмечается макулярный отек. Общая светочувствительность сетчатки правого глаза 14,30 db, левого глаза 17,19 db. На фоне стандартной терапии НДР больная получала эндоназальный электрофорез танакана, на курс 10 процедур. После лечения острота зрения OD/OS = 0,9/1,0. На глазном дне отмечается уменьшение количества и размеров кровоизлияний и очагов твердых экссудатов, исчезновение отека макулярной области на правом глазу. Общая светочувствительность сетчатки правого глаза повысилась до 17,89 db, левого глаза – до 17,91 db (рис. 1).



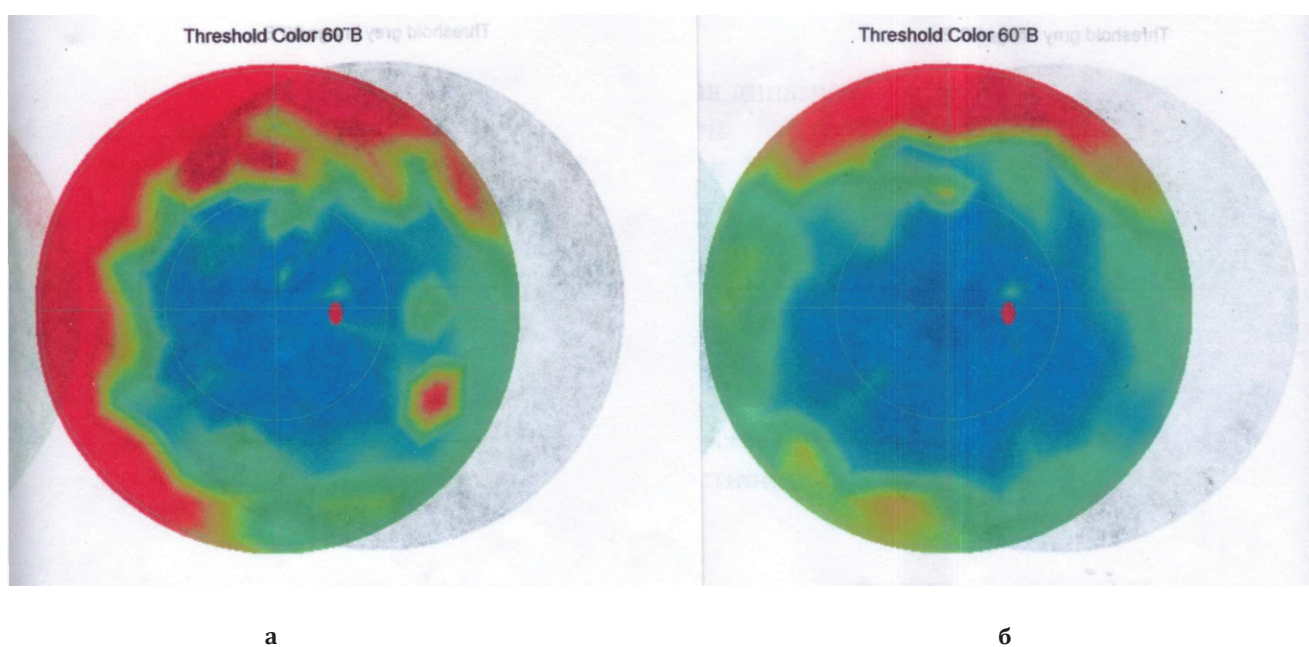
а

б

Рис. 1. Статическая компьютерная периметрия правого глаза пациентки Х. с умеренно выраженной непролиферативной ДР (ДР I-b) до (а) и через месяц после лечения методом эндоназального электрофореза танакана (б).

Пример 2. Пациентка И., 1934 г.р. Д-з: OD Непролиферативная диабетическая ретинопатия I-b стадия, OS Непролиферативная диабетическая ретинопатия I-с стадия. Острота зрения до лечения OD/OS = 0,6/0,4 н/к. На глазном дне: диск зрительного нерва бледно-розовый с четкими границами. Вены расширены, извитые, артерии сужены. Имеются микроаневризмы, точечные кровоизлияния, мягкие и твердые экссудаты. На левом глазу имеются чёткообразные вены и сосудистые петли в 2-х квадрантах

сетчатки. Общая светочувствительность сетчатки правого глаза 14,85 db, левого глаза 14,60 db. На фоне стандартной терапии НДР больная получала эндоназальный электрофорез танакана, на курс 10 процедур. После лечения острота зрения OD/OS = 0,7/0,5. На глазном дне отмечено уменьшение количества и размеров кровоизлияний и очагов твердых экссудатов. Общая светочувствительность сетчатки правого глаза повысилась до 17,19 db, левого глаза – до 17, 81 db (рис. 2, 3).



а

б

Рис. 2. Статическая компьютерная периметрия правого глаза пациентки И. с умеренно выраженной непролиферативной ДР (ДР I-b) до (а) и через месяц после лечения методом эндоназального электрофореза танакана (б).

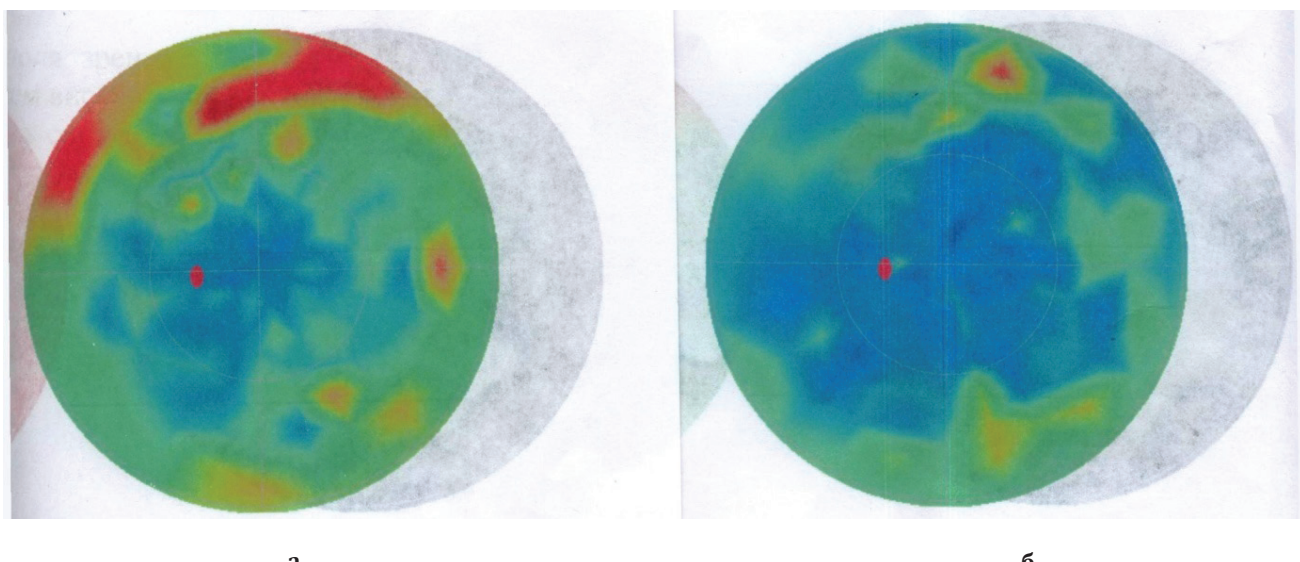


Рис. 3. Статическая компьютерная периметрия левого глаза того же пациента И. с тяжелой непролиферативной ДР (ДР I-с) до (а) и через месяц после лечения методом эндоназального электрофореза танакана (б).

Заключение

Эффект, достигнутый в ходе 10-дневного курса предложенной терапии, сохраняется в течение 5-6 месяцев. Комбинированный метод лечения позволяет стабилизировать развитие ДР и избежать развития грозных осложнений.

Выводы

- Предложенный комбинированный метод терапии с эндоназальным электрофорезом танакана при лечении НДР является более эффективным, чем стандартное лечение, приводит к регрессу патологических изменений на глазном дне и восстановлению зрительных функций.
- Прогрессирование гипоксии и состояние хронической ишемии при ДР приводят к истощению источника синтеза NO – L-аргинина и снижению уровня NO в тканях глаза, что имеет большое значение в патогенезе развития диабетической ретинопатии.

- Динамика клинико-функциональных показателей глаза соответствует восстановлению процессов антиоксидантной защиты в тканях глаза в процессе предложенной схемы лечения.

Литература

- Борисова Н.А., Нигматуллина К.Ф., Зенкина А.Р. Эндоназальный электрофорез с танаканом при лечении ранних форм сосудистых заболеваний мозга // Журн. неврол. и психиатр. – 2003. – №3. – С. 10-11.
- Ботабекова Т.К., Алдашева Н.А., Джуматаева З.А., Асылбекова А.С. Нейропротекторное лечение глаукоматозной оптической нейропатии // Материалы международной конференции. – Алматы, 2005. – С. 14-18.
- Евграфов В.Ю., Батманов Ю.Е. О классификации изменений глазного дна при сахарном диабете // Вестн. офтальмол. – 2004. – №4. – С. 11-14.
- Жабоедов Г.Д., Петренко О.В. Особенности характера накопления оксида азота в слезной жидкости при разных стадиях диабетической ретинопатии // Клин. лаб. диагностика. – 2004. – №1. – С. 10-25.
- Занозина О.В. Роль окислительного стресса в развитии и прогрессировании поздних осложнений сахарного диабета 2-го типа. Возможности антиоксидантной терапии // Междунар. эндокринол. журн. Эндокринологу от других специалистов. – 2010. – № 7. – С. 31-33.
- Метельская В.А., Гуманова Н.Г. // Лаб. медицина. – 2005. – №7. – С. 19-24.
- Мошетова Л.К., Аржиматова Г.Ш., Строков И.А. и др. Современная антиоксидантная терапия диабетической ретинопатии // Клин. офтальмол. – 2006. – Т. 7. – С. 2-3.
- Мошетова Л.К., Метельская В.А. Скрининг-метод определения уровня метаболитов оксида азота в сыворотке крови и слезной жидкости у больных сахарным диабетом второго типа // Рус. мед. журн. – 2008. – №6. – С. 45-47.
- Солонина С.Н., Шишкун М.М., Бойко Э.В. и др. Влияние комплексной терапии с использованием Танакана на перекисное окисление липидов и антиоксидантную активность крови больных с пролиферативной витреоретинопатией // Рус. мед. журн. – 2010. – №3. – С. 96.
- Yamagishi S., Matsui T. Advanced glycation end products (AGEs), oxidative stress anddiabetic retinopathy // Curr. Pharm. Biotechnol. – 2011. – №3. – С. 362-368.

ИЗМЕНЕНИЯ КЛИНИКО-ФУНКЦИОНАЛЬНЫХ ПОКАЗАТЕЛЕЙ ОРГАНА ЗРЕНИЯ В ПРОЦЕССЕ КОМБИНИРОВАННОГО ЛЕЧЕНИЯ ПАЦИЕНТОВ С НЕПРОЛИФЕРАТИВНОЙ ДИАБЕТИЧЕСКОЙ РЕТИНОПАТИЕЙ

Журабекова А.З., Кангилбаева Г.Э.

Цель: изучение эффективности танакана при лечении непролиферативной диабетической ретинопатии методом эндоназального электрофореза. **Материал и методы:** под наблюдением были 66 пациентов (123 глаза) с диагнозом НДР. 34 пациента (63 глаза) получали танакан внутрь в дозе 120 мг в сутки, а также эндоназальный электрофорез. 32 больным (60 глаз) был назначен танакан внутрь в дозе 120 мг в сутки. **Результаты:** по завершении 10-дневного курса лечения в основной группе отмечался существенный положительный эффект в виде повышения остроты зрения. **Выводы:** предложенный комбинированный метод терапии с эндоназальным электрофорезом танакана при лечении НДР является более эффективным, чем стандартное лечение, приводит к регрессу патологических изменений на глазном дне и восстановлению зрительных функций.

Ключевые слова: диабетическая ретинопатия, эндоназальный электрофорез, антиоксидант, нейропротектор.

НЕЙРОДЕГЕНЕРАТИВНЫЕ ПРОЯВЛЕНИЯ В ГОЛОВНОМ МОЗГЕ У ЛЮДЕЙ ПРИ СМЕРТЕЛЬНОЙ КРОВОПОТЕРЕ

Индиаминов С.И.

ҮЛИМГА ОЛИБ КЕЛУЧВИ ҚОН ЙЎҚОТИШЛАРДА БЕМОРЛАРНИНГ БОШ МИЯСИДА НЕЙРОДЕГЕНЕРАТИВ ЎЗГАРИШЛАРНИНГ КЎРИНИШЛАРИ

Индиаминов С.И.

NEURODEGENERATIVE MANIFESTATIONS IN THE BRAIN IN PEOPLE WITH FATAL BLOOD LOSS

Indiaminov S.I.

Самаркандинский государственный медицинский институт

Мақсад: бош мия бўйламида амилоид таначаларини суд тиббиёти материаллари асосида таҳлил қилиш. **Материал ва усуллар:** алкогол ва наркотиклар билан заҳарланиши негизида санчиб-кесилган ва кесилган жароҳатлар натижасида келиб чиқсан ўткир кўн миқдорда қон йўқотиш ва геморрагик караҳтиликдан ўлганларнинг 130 бош мия препараторни ўрганиши. **Натижса:** кўриб чиқилган ҳолатларда кўплаб амилоид таначалари, кучли кариолизис ва нейронлар цитолизи, бизнинг фикримизча, беморнинг ёши ва наркотиклар билан заҳарланиш, ҳамда уларда кузатиладиган жигар циррози билан боғлиқ. Жигар энцефалопатиясида бош мия невр тўқималарининг қучли зарарланиши кузатилади. **Хуноса:** танатогенезни аниқ ўтказиш учун бош мия препараторни амилоид таначаларини аниқланиши ёндош касалликлар ва заҳарланишларни аниқлаш заруратини таққозо этади.

Калим сўзлар: амилоид таначалари, бош мия, ўлимга олиб келувчи қон кетиш, танатогенез.

Objective: The analysis of forensic material to determine the amyloid cells in the parts of the brain. **Materials and Methods:** We investigated 130 preparations of the brain of individuals who died from acute, massive blood loss and hemorrhagic shock caused by stab and incised wounds, and in these conditions on the background of alcoholic and narcotic intoxication. **Results:** A large number of amyloid corpuscles, pronounced karyolysis and cytolysis of neurons in the described cases, in our opinion, are associated with poisoning with drugs, with the age of the victim, and presence of cirrhosis. Hepatic encephalopathy is accompanied by significant damage of the brain nervous tissue. **Conclusions:** detection of amyloid cells in preparations of the brain dictates the need to identify the presence of comorbidities and intoxication for a more precise definition of tanatogenesis.

Key words: amyloid corpuscles, brain, fatal blood loss, tanatogenesis.

В структуре неврологической патологии нейродегенеративные заболевания занимают значительное место, являясь основной причиной деменции и различных расстройств движений. При многих заболеваниях центральной нервной системы в нейронах обнаруживаются цитоплазматические и внутриядерные включения [3,4,6]. Они могут содержать аномальные агрегаты белков и неорганизованные внутриклеточные органеллы, в том числе митохондрии и эндоплазматический ретикулум [8]. Наряду с цитоплазматическими включениями, в головном мозге обнаруживаются экстрацеллюлярные образования, к которым относятся амилоидные тельца (АТ) или тельца Лафора. Их называют также гематоксилиновыми, базофильными шарами, или парапластическими тельцами [2]. Амилоидные тельца – гомогенные или слоистые округлые образования диаметром от 0,5 до 30 мкм. В норме они встречаются почти во всех областях головного мозга у пожилых людей, а также при заболеваниях нервной системы, сопровождающихся нейродегенерацией. АТ локализуются, главным образом, в субпиальной, перивентрикулярных и периваскулярных зонах головного мозга [4]. Несмотря на длительную историю изучения АТ, их происхождение до настоящего времени точно неизвестно. Это стимулирует применение для их изучения новых подходов и современных методов.

С помощью иммуногистохимического анализа показано, что у пациентов с диагнозом болезни Альцгеймера АТ помечены различными противогрибковыми антителами на внешней поверхности, в то время как центральная их часть состоит из солей кальция и содержит меньше белков [10]. Предполагается нейрональное происхождение АТ головного мозга человека. Изучение локализации АТ

при различных состояниях, строения и условий возникновения позволяют ответить на некоторые вопросы относительно природы этих структурных образований [5].

Цель исследования

Анализ случаев судебно-медицинского материала для определения АТ в отделах головного мозга.

Материал и методы

Исследованы 130 препаратов головного мозга лиц, погибших от острой, массивной кровопотери и геморрагического шока, вызванных колото-резаными и резанными ранениями, а также при этих состояниях на фоне алкогольной и наркотической интоксикации. Возраст потерпевших составил от 15 до 60 лет, один погибший был в возрасте 68 лет. Материал был взят не позднее 6-8 часов после смерти. Гистологическому исследованию подвергнуты кусочки из полушарий головного мозга (поле 6 по Бродману), дна III желудочка с участком гипоталамуса и дна IV желудочка с частью продолговатого мозга. Кусочки ткани мозга фиксировали в 12% растворе нейтрального формалина, заливали в парафин по стандартной методике. Парафиновые срезы окрашивали гематоксилином и эозином, по методам Ван-Гизона и Нисселя.

Результаты и обсуждение

АТ обнаружены в 5 случаях. В 3 случаях они определялись в единичном числе в коре больших полушарий и в мягкой мозговой оболочке, прилегающей к ней, чаще в бороздах между извилинами, в составе стенки желудочек и перивентрикулярной зоне. В 2 случаях обнаружены большие скопления амилоидных телец. Один из них представляет собой препарат головного мозга женщины 50 лет, погибшей от кровопотери; в моче у неё найдены алкалоиды опия. В головном мозге обнаруживаются округлые тельца

с базофильной сердцевиной и светлым ободком. При этом отмечается обеднение препарата нейронами и нейроглией.

Во втором случае АТ обнаружены в препарате головного мозга мужчины 68 лет, страдающего циррозом печени, погибшего от кровопотери. В этом случае также обнаруживаются округлые образования разных размеров с интенсивно окрашенной гомогенной базофильной сердцевиной и светлым ободком. Лишь некоторые из телец имеют слабобазофильную сердцевину. Большое их количество определяется в поверхностной зоне коры больших полушарий, перивентрикулярной зоне, а также в краевой части желудочков, покрытых мягкой мозговой оболочкой. Кроме того, они находятся непосредственно на поверхности коры, желудочков, в периваскулярном пространстве и стенке сосудов мягкой мозговой оболочки (рис. 1).

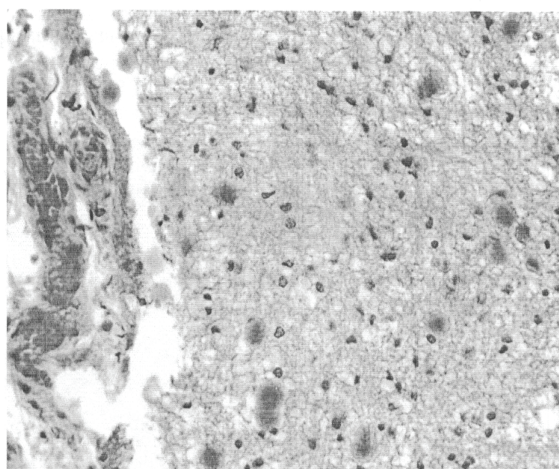


Рис. 1. Амилоидные тельца в стенке IV желудочка мужчины 68 лет. Окраска гематоксилином и эозином. Ок. 10, об. 40.

Многие АТ располагаются поодиночке, однако некоторые из них контактируют между собой, образуя небольшие группы. Такие структуры обнаруживаются также в глубине вещества продолговатого мозга вокруг крупных сосудов (рис. 2).

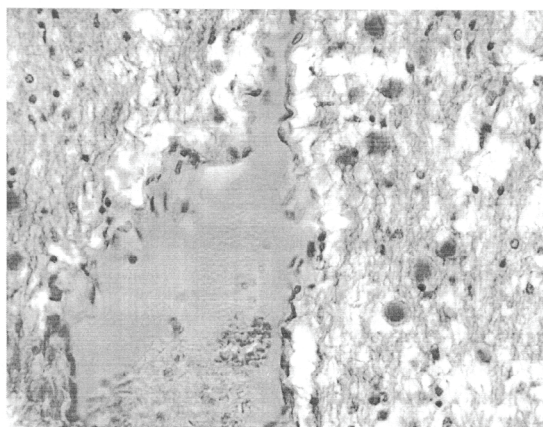


Рис. 2. Амилоидные тельца вокруг сосуда в продолговатом мозге. Окраска гематоксилином и эозином. Ок. 10, об. 40.

Изучение препарата показало, что число нейронов визуально значительно меньше, чем в других случаях. Имеющиеся нейроны подвергнуты кариолизису и цитолизу (рис. 3).

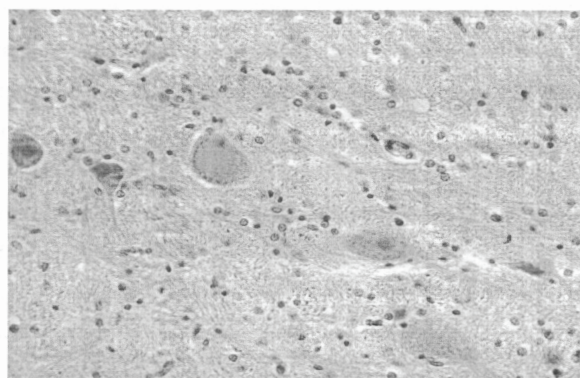


Рис. 3. Кариолизис и цитолиз нейронов продолговатого мозга. Окраска гематоксилином и эозином. Ок. 10, об. 40.

Исследование головного мозга лиц, подвергнутых судебно-медицинской экспертизе по поводу смерти от острой и массивной кровопотери ввиду колото-резаных ранений, позволило установить наличие в нем нейродегенеративных изменений в виде АТ. Нами установлено, что основное их количество концентрируется вокруг кровеносных сосудов, перивентрикулярной области, а также под мягкой мозговой оболочкой. В препаратах, в которых обнаруживаются АТ, наблюдается уменьшение количества нейронов, а оставшиеся нейроны подвергнуты кариолизису и цитолизу.

Находка АТ в зрительном нерве при глаукоме служит косвенным подтверждением тому, что дегенеративные изменения могут распространяться от латеральных коленчатых тел к сетчатке [1]. Отмеченная нами особенность локализации АТ, а также уменьшение количества нервных клеток позволяют считать, что АТ являются продуктом дегенерации нейронов, содержащим их базофильные компоненты. При этом АТ, по-видимому, от зоны гибели нейронов продвигаются к областям мозга, через которые они могут быть удалены в кровь или спинномозговую жидкость.

Большое количество АТ, выраженный кариолизис и цитолиз нейронов в описываемых случаях могут быть связаны с отравлением наркотиками, с возрастом пострадавшего, а также с наличием у него цирроза печени. Печеночная энцефалопатия сопровождается значительным поражением нервной ткани головного мозга [7]. В нашем исследовании отдельные АТ тесно контактировали между собой. Как показало трехмерное исследование АТ, более 70% из них являются частями крупных агрегатов, где плоские отдельные сферические разветвления образовывали с другими тельцами сложный узор, наблюдалась бутонизация малых АТ от более крупных центров [9].

Морфологические проявления АТ в нашем наблюдении позволяют нам присоединиться к мнению судебных медиков, которые считают, что они являются изменениями значительной давности и не могут развиваться за сроки, прошедшие от травмы до смерти [2]. Однако обнаружение их в препаратах головного мозга диктует необходимость выявления наличия сопутствующих заболеваний и интоксикаций для более точного определения танатогенеза.

Литература

1. Аничков Н.М., Коржевский Д.Э., Захряпин М.С. и др. Головной мозг и открытоугольная глаукома // Практ. медицина. – 2012. – Т. 59, №4. – С. 157-161.
2. Богомолов Д.В., Богомолова И.Н. Пособие по общей судебно-медицинской гистологии. – М., 2010. – 53 с.

3. Григорьев И.П., Коржевский Д.Э. Тельца Маринеско внутриядерные включения дофаминергических нейронов // Мед. акад. журн. 2015. – Т. 15, №2. – С. 31-34.
4. Коржевский Д.Э., Григорьев И.П., Колос Е.А. Молекулярная нейроморфология; Под ред. Д.Э. Коржевского. – М.: Спец.лит-ра, 2015. – 110 с.
5. Радько С.П., Хмелеева С.А., Супрун Г.В. и др. Физико-химические методы исследования агрегации β-амилоида // Биомедицинская химия. – 2015. – №2. – С. 203-218.
6. Скворцова В.И., Бачурин С.О., Разинская О.Д. и др. Новые аспекты патогенеза бокового амиотрофического склероза // Журн. неврол. и психиатр. – 2011. – №2. – С. 4-9.
7. Смолина С.П., Петрова М.М., Шаробаро В.П., Якубов Д.А. Особенности патогенеза и клинического течения печеночной энцефалопатии при алкогольном циррозе печени // Вестн. новых мед. технологий. – 2013. – Т. 20. №1. – С. 33-34.
8. Huang E.J., Zhang J., Geser F. et al. Extensive FUS-immunoreactive pathology in juvenile amyotrophic lateral sclerosis with basophilic inclusions // Brain Pathol. – 2010. – Vol. 20, №6. – P. 1069-1076.
9. Pirici I., Margaritescu C., Mogoanta L. et al. Corpora amylacea in the brain form highly branched three-dimensional lattices // Rom. J. Morphol. Embryol. – 2014. – Vol. 55, №3 (Suppl.). – P. 1071-1077.
10. Pisa D., Alonso R., Rabano A., Carrasco L. Corpora amylacea of brain tissue from neurodegenerative diseases are stained with specific anti fungal antibodies // Front. Neurosci. – 2016. – Vol. 8, №1. – P. 86-93.

НЕЙРОДЕГЕНЕРАТИВНЫЕ ПРОЯВЛЕНИЯ В ГОЛОВНОМ МОЗГЕ У ЛЮДЕЙ ПРИ СМЕРТЕЛЬНОЙ КРОВОПОТЕРЕ

Индиаминов С.И.

Цель: анализ случаев судебно-медицинского материала для определения амилоидных телец в отделах головного мозга. **Материал и методы:** исследованы 130 препаратов головного мозга лиц, погибших от острой, массивной кровопотери и геморрагического шока, вызванных колото-резаными и резанными ранениями, а также при этих состояниях на фоне алкогольной и наркотической интоксикации. **Результаты:** большое количество амилоидных телец, выраженный кариолизис и цитолиз нейронов в описываемых случаях, по нашему мнению, связаны с отравлением наркотиками, с возрастом пострадавшего, а также с наличием у него цирроза печени. Печеночная энцефалопатия сопровождается значительным поражением нервной ткани головного мозга. **Выводы:** обнаружение амилоидных телец в препаратах головного мозга диктует необходимость выявления наличия сопутствующих заболеваний и интоксикаций для более точного определения танатогенеза.

Ключевые слова: амилоидные тельца, головной мозг, смертельная кровопотеря, танатогенез.

ПОКАЗАТЕЛИ СИНДРОМА ЦИТОЛИЗА И ХОЛЕСТАЗА У БОЛЬНЫХ С АРТЕРИАЛЬНОЙ ГИПЕРТЕНЗИЕЙ НА ФОНЕ ПРИМЕНЕНИЯ ГИПОТЕНЗИВНЫХ ПРЕПАРАТОВ

Иноярова Ф.Х., Хайитов М.С.

ГИПОТЕНЗИВ ПРЕПАРАТЛАРИ ҚАБУЛ ҚИАЁТГАН АРТЕРИАЛ ГИПЕРТЕНЗИЯЛИ БЕМОРЛАРДА ЦИТОЛИЗ ВА ХОЛЕСТАЗ КҮРСАТКИЧЛАРИ

Иноярова Ф.Х., Хайитов М.С.

INDICATORS OF SYNDROMEI OF CYTOLYSIS AND CHOLESTASIS IN PATIENTS WITH ARTERIAL HYPERTENSION DURING USE OF ANTIHYPERTENSIVE DRUGS

Inoyatova F.Kh., Hayitov M.S.

Ташкентская медицинская академия

Мақсад: артериал гипертензия билан касалланган беморларда узоқ муддат гипотензив дори воситалар қўлланилгандан сўнг келиб чиқадиган жигарнинг дори воситаларидан жароҳатланишидаги диагностика усулиларини таомиллаштириши. **Тадқиқот ва усулилар:** таҳлил қилинган АГ билан касалланган беморларнинг 18 та касаллик тарихи (1-гурух), жигарнинг дори воситаларидан жароҳатланиши ва АГ билан касалланган 48 нафар беморлар гипотензив терапия билан боғлиқлигига кўра гурухларга бўлинди: 2-гурух (калций антагонистларини узоқ муддат қабул қилган 26 нафар беморлар) ва 3-гурух (ангиотензинни ўзгартирувчи фермент ингибиторлари билан даволанган 22 нафар беморлар), шунингдек 16 нафар амалий соғлом кишилар. Кон зардобида биохимик кўрсаткичларни ўргандик: "AutohunolizerF1" биохимик анализатори орқали АлАТ, АсАТ, ГГПТ, ЩФ и ХЭ фаоллиги, билурбин миқдори ваунинг фракциялари, МДА, протромбин ва албумин миқдори, тимол синамасининг кўрсаткичлари аниқланди. **Натижса:** артериал гипертензия билан касалланган беморларда, айниқса калций антагонистлари гипотензив дори воситаларини узоқ муддат давомида қабул қиливчиларда, 6,75% ҳолатларда асосан аралаши тирадаги жигарнинг дори воситаларидан жароҳатланиши ривожланади, 3-гурух беморларда транзитор характердаги жигарнинг дори воситаларидан жароҳатланиши ривожланади. Гиперлипопероксидация, кам миқдордаги жигар ҳужайра етишмовчилиги ва холестатик синдром, цитолитик циндром ривожланиши аниқланди. **Хулоса:** артериал гипертензия билан касалланган беморларда жигарнинг дори воситаларидан жароҳатланишида асосий биохимик мёвзиий кўрсаткичларнинг ошиши, айниқса калций антагонистлари узоқ муддат қўлланилгандага қўзатиласди.

Калим сўзлар: артериал гипертензия, жигарнинг дори воситаларидан жароҳатланиши, калций антагонистлари, ангиотензинни ўзгартирувчи фермент ингибиторлари.

Objective: To optimize methods of diagnosis for liver drug damage (LDD) during long-term use of antihypertensive drugs in patients with arterial hypertension (AH). **Materials and Methods:** We analyzed 18 case of histories of patients with hypertension (group 1), 48 patients with hypertension and DLD, which depending on antihypertensive therapy were divided into groups: 2-I (26 patients receiving long-term calcium antagonists) and 3 -I (22 patients treated with ACEI) and 16 healthy volunteers. **Results:** In 6.75% of patients with hypertension treated for a long time antihypertensive drugs, especially calcium antagonists, developed LDD of mainly mixed type, in patients treated with ACEI developed LDD of transient nature. **Conclusions:** In patients with hypertension main biochemical criteria for liver drug damage increases, especially with prolonged use of calcium antagonists.

Key words: arterial hypertension, liver drug damage, calcium antagonists, angiotensin converting enzyme inhibitors.

Лекарственные поражения печени (ЛПП) составляют около 10-28% от всех побочных реакций организма, связанных с применением фармакологических препаратов [8,15]. Спектр медикаментозных средств, вызывающих поражения печени постоянно расширяется, так как практически любой лекарственный препарат оставляет в ней «метаболический след» с дальнейшим развитием лекарственного гепатита и других поражений печени (митохондриальная цитопатия, лекарственно-индуцированный фиброз печени, лекарственный канальцевый холестаз, лекарственно-индуцированный склерозирующий холангит, лекарственно-индуцированный билиарный сладж и др.) [11,15].

Развитие лекарственного гепатита зависит от фармакологических свойств конкретного лекарственного препарата, индивидуальных особенностей организма, дозы лекарства, длительности приема, а также от полипрагмазии [4,8,10,13]. Следует отметить, что к наиболее широкому и бесконтрольно применяемым лекарственным препаратам относятся гипотензивные лекарственные средства (ЛС) [5]. Бесконтрольный доступ к ним, длительный их прием зачастую вызывают ЛПП, на которые большинство пациентов не обращают внимание, так как клинические проявления маскируются под основное заболевание. Основная проблема терапии гипертензии заключается в постоян-

ном эффективном лекарственном лечении в течение многих лет. Поэтому важно сопоставить риск побочных эффектов от лекарственного лечения с риском осложнений некорригируемой гипертензии, который пропорционален степени подъема артериального давления до лечения и варьирует в соответствии с особенностями конкретного больного. Поэтому нет определенных схем лечения, подходящих для больших групп больных с гипертензией. В последнее время на фармацевтическом рынке появились новые гипотензивные препараты: антагонисты кальциевых каналов и ингибиторы ангиотензинпревращающего фермента (иАФП). Однако исследования их гепатодепрессивного действия ранее не проводились.

Цель исследования

Оптимизация методов диагностики лекарственного поражения печени при длительном использовании гипотензивных препаратов у больных с эссенциальной гипертонией.

Материал и методы

Проведен ретроспективный анализ 722 историй болезни пациентов с гипертонической болезнью, находившихся на стационарном лечении в 1-й клинике ТМА в 2011-2014 гг. Отобрано истории болезни 18 больных с артериальной гипертонией (АГ), которые составили 1-ю группу. Кроме того, наблюдали 48 пациентов с АГ и ЛПП, которые в за-

Клиническая
медицина

висимости от гипотензивной терапии были разделены на группы: 2-ю группу составили 26 пациентов, длительно получавших антагонисты кальция, в 3-ю включены 22 больных, принимавших иАФП. Контрольной группой служили 16 практически здоровых добровольцев.

При анализе результатов биохимического исследования у больных с ЛПП мы исходили из положения о наличии 4-х лабораторных синдромов, каждый из которых соответствует определенным морфологическим и функциональным изменениям в органе. Для диагностики цитолитического синдрома анализировали активность ферментов в сыворотке крови: АЛТ, АСТ; содержание прямого и непрямого билирубина, содержание малонового диальдегида (МДА) [1]. Для диагностики синдрома малой печеночно-клеточной недостаточности в сыворотке крови определяли активность холинэстеразы (ХЭ), содержание протромбина и альбумина. Для диагностики холестатического синдрома анализировали активность глутамил-транспептидазы (ГГТП), щелочной фосфатазы (ЩФ) и содержание общего холестерина. Для оценки синдрома мезенхимального воспаления определяли содержание глобулинов, альбумин/глобулиновый индекс, проводили тимоловую пробу. Биохимические исследования выполнялись в биохимической лаборатории 1-й клиники ТМА на автоматическом биохимическом анализаторе «Autohitulizer F1» («Hitman», Германия) с помощью специальных наборов реагентов. Следует отметить, что основными биохимическими критериями диагностики ЛПП с уровнем доказательности 2b (описательные/ретроспективные когортные исследования) служили:

– АЛТ: 5-кратное и более превышение верхней границы нормы;

– АЛТ: 3-кратное и более превышение верхней границы нормы при одновременном 2-кратном и более повышении концентрации билирубина;

– ЩФ: 2-кратное и более превышение верхней границы нормы (особенно значимо при сопутствующем повышении уровня ГГТП и отсутствии костной патологии, способствующей повышению ЩФ). Согласно данным критериям различают 3 типа поражения печени (табл. 1).

Таблица 1

Типы лекарственных поражений печени

Тип поражения печени	АЛТ	ЩФ	АЛТ/ЩФ
Гепатоцеллюлярный	≥2	норма	≥5
Холестатический	норма	≥2	≤2
Смешанный	≥2	≥2	2-5

Статистическую обработку полученных результатов проводили на компьютере Pentium II NT с помощью пакета прикладных программ 2.1. За статистически значимые изменения принимали уровень достоверности $p<0,05$.

Результаты исследования

Исследования по выявлению синдрома цитолиза у пациентов с АГ (1-я гр.) выявили отсутствие различий в активности АЛТ по сравнению с практически здоровыми лицами. У пациентов, получавших гипотензивную терапию, наблюдалось статистически достоверное повышение активности аминотрансфераз. Так, активность АЛТ у пациентов 2-й группы по сравнению с контролем и больными 1-й группы возрасла соответственно в 2,6 и 2,38 раза. У больных 3-й группы этот показатель увеличился только в 1,68 и 1,54 раза, а по сравнению с данными больных 2-й группы был достоверно ниже в 1,55 раза. Это свидетельствует о наличии цитолиза гепатоцитов у пациентов с ЛПП, особенно 1-й группы.

Активность АСТ у больных 1-й группы по сравнению с практически здоровыми лицами статистически зна-

чимо возросла в 1,37 раза (табл. 2). У пациентов 2-й и 3-й групп наблюдалось еще большее увеличение этого показателя: соответственно в 1,51 и 1,58 раза, при этом по сравнению с показателями пациентов 1-й группы активность АСТ имела тенденцию к увеличению. Как видно из полученных данных, активность АСТ во всех группах возрастала одинаково, что, видимо, было обусловлено наличием кардиомиопатии у обследованных больных. Более выражено это проявлялось при сочетании АГ с ЛПП.

При исследовании пигментного обмена у пациентов 1-й группы выявлено отсутствие гипербилирубинемии. Содержание общего, прямого и непрямого билирубина существенно не отличалось от нормы. Вместе с тем у больных с АГ в сочетании с ЛПП наблюдалось повышение содержания общего билирубина и его фракций. Так, у пациентов 2-й группы эти показатели по сравнению с данными практически здоровых лиц статистически значимо возрастили в 2,49; 2,7 и 2,41 раза, а по сравнению с показателями пациентов 1-й группы – в 2,35; 2,73 и 2,23 раза. В то же время у пациентов 2-й группы уровень общего, прямого и непрямого билирубина увеличилось по сравнению со здоровыми лицами соответственно в 1,89; 1,42 и 1,86 раза, а по сравнению с 1-й группой – в 1,79; 1,44 и 1,72 раза. Эти значения были ниже показателей пациентов 2-й группы в 1,31; 1,9 и 1,3 раза. При этом наиболее низкие значения были характерны для прямого билирубина. Полученные нами результаты свидетельствуют о наличии некоторого холестаза у пациентов 2-й группы на фоне цитолиза гепатоцитов. Следовательно, для пациентов 2-й группы характерно развитие как цитолиза гепатоцитов, так и холестаза (ЛПП, развивающиеся по механизму митохондриальной цитопатии и стеатогепатита), а для пациентов 3-й группы – некоторого цитолиза.

Таблица 2

Показатели цитолитического синдрома у обследованных больных, М±т

Показатель	Практически здоровые, n=16	Группа больных		
		1-я, n=18	2-я, n=26	3-я, n=22
АЛТ, МЕ/л	43,26±2,87	47,12±2,96	112,33±9,67 ^{a,b}	72,54±4,66 ^{a,b,a}
АСТ, МЕ/л	29,11±2,02	39,98±2,57 ^a	43,82±2,78 ^{a,b}	45,98±3,08 ^{a,b}
Билирубин, мкмоль/л: - общий - прямой - непрямой	13,44±0,78 3,51±0,11 9,93±0,65	14,19±1,12 3,46±0,21 10,73±1,17	33,41±1,98 ^{a,b} 9,46±0,43 ^{a,b} 23,95±1,79 ^{a,b}	25,44±1,63 ^{a,b,a} 4,98±0,18 ^{a,b,a} 18,46±1,02 ^{a,b,a}
МДА, нмоль/мл	2,76±0,12	4,67±0,24a	6,73±0,44a,b	5,97±0,23a,b

Примечание. $p<0,05$: а – по сравнению с практически здоровыми лицами; б – по сравнению с 1-й группой; в – по сравнению со 2-й группой.

Подтверждением мембранодеструктивных процессов в гепатоцитах является резкое увеличение уровня МДА у пациентов 1-й, 2-й и 3-й групп соответственно в 1,69; 2,44 и 2,16 раза. При этом содержание МДА во 2-й и 3-й группах было статистически значимо выше, чем в 1-й в 1,44 и 1,28 раза. Во 2-й группе уровень МДА был выше, чем у больных 3-й группы в 1,13 раза, что указывает на более выраженную мембранодеструкцию у пациентов 2-й группы. Здесь следует отметить, что наблюдавшая гиперлипопероксидация у пациентов с АГ, получавших гипотензивную терапию, может быть связана с основной патологией. Некоторое увеличение уровня МДА у больных 2-й и 3-й групп указывает на усиление мембранодеструктивных процессов при наличии ЛПП, особенно при применении антагонистов кальция. Результаты исследования сыворотки крови пациентов с АГ (1-я гр.) указывают на сохранение показателей печеночно-клеточной недостаточности в пределах нормативных значений (табл. 3). В то же время у больных с АГ и наличием ЛПП, леченных гипотензивными препаратами, выявлялся гепатодепрессивный синдром. Так, активность ХЭ в сыворотке крови пациентов 2-й группы статистиче-

ски значимо снижалась в 1,42 и 1,36 раза, а в 3-й группе это снижение было менее выраженным. Различия между показателями 2-й и 3-й групп также носили статистически значимый характер. Так, у пациентов 2-й группы актив-

ность ХЭ был в 1,23 раза ниже, чем у больных 3-й группы, что свидетельствует о более глубокой гепатодепрессии у пациентов с АГ, леченных антагонистами кальция.

Таблица 3

Показатели синдрома малой печеночно-клеточной недостаточности у обследованных больных, $M \pm m$

Показатель	Практически здоровые, n=16	Группа больных		
		1-я, n=18	2-я, n=26	3-я, n=22
ХЭ, мкмоль/с*л	79,36±5,03	75,97±4,97	55,78±3,73 ^a	68,46±4,02 ^{a,b}
Альбумин, г/л	46,50±3,21	47,11±3,33	41,01±3,12	43,23±3,07
Общий белок, г/л	73,46±4,12	72,07±5,13	70,77±5,31	71,42±4,30
Протромбин, мкмоль/л	1,65±0,07	1,79±0,10	1,37±0,08 ^{a,b}	1,51±0,09 ^b
MCM, усл. ед.	0,218±0,015	0,343±0,024 ^a	0,432±0,022 ^{a,b}	0,375±0,021 ^{a,b}

Примечание. То же, что и к табл. 2.

В то же время, если у пациентов 1-й группы содержание общего белка и альбуминов оставалось в пределах значений практически здоровых лиц, то у пациентов 2-й и 3-й групп отмечалась лишь тенденция к снижению этих показателей. Более выраженное снижение изучаемых показателей зарегистрировано у пациентов, принимавших антагонисты кальция. Содержание общего белка в сыворотке крови больных сохранялось в пределах нормативных значений.

В то же время уровень протромбина у пациентов 1-й группы имел тенденцию к увеличению. У больных 2-й группы этот показатель статистически значимо снижался в 1,21 и 1,31 раза, а в 3-й группе наблюдалась лишь тенденция к его снижению и статистически значимое снижение в 1,18 раза по сравнению с 1-й группой. Различия в уровне протромбина у пациентов 2-й и 3-й групп были статистически не значимыми. Возможно, что незначительное снижение содержания протромбина у пациентов с АГ связано с исходно его высоким уровнем, так как для данной категории больных, особенно пожилого возраста, характерна гиперкоагуляция с риском развития тромбозов.

Следовательно, синтетическая функция печени при АГ существенно не изменяется, однако наслаждение ЛПП приводит к замедлению синтетических процессов в гепатоцитах, указывая на синдром малой печеночно-клеточной недостаточности. Наиболее отчетливо это наблюдается при лечении антагонистами кальция.

При исследовании показателей холестаза у пациентов 1-й группы с АГ выявлено отсутствие данного синдрома. Активность ГГПТ и ЩФ была в пределах контрольных значений (табл. 4). Однако уровень общего холестерина у больных этой группы по сравнению с практически здоровыми лицами статистически значимо возрос в 1,31, что свидетельствовало о наличии гиперхолестеринемии и атеросклероза.

Таблица 4

Показатели синдрома холестаза у обследованных больных, $M \pm m$

Показатель	Практически здоровые, n=16	Группа больных		
		1-я, n=18	2-я, n=26	3-я, n=22
ГГПТ, МЕ/л	35,12±1,22	39,01±2,12	109,77±7,34 ^{a,b}	70,65±4,39 ^{a,b}
ЩФ, МЕ/л	83,79±4,22	88,37±5,42	231,86±17,18 ^{a,b}	119,98±8,37 ^{a,b}
Холестерин, ммоль/л	4,18±0,22	5,48±0,29 ^a	8,22±0,56 ^{a,b}	7,09±0,45 ^{a,b}

Примечание. То же, что и к табл. 2.

При наслаждении ЛПП у больных с АГ было выявлено развитие синдрома холестаза. Так, у пациентов 2-й группы по сравнению с практически здоровыми лицами и больными 1-й группы активность ГГПТ статистически значимо возросла в 3,13 и 2,81 раза. У пациентов 3-й группы активность изучаемого фермента увеличилась соответственно в 2,01 и 1,81 раза. При этом оказалось, что активность ГГПТ по сравнению с показателями 3-й группы пациентов была достоверно выше в 1,55 раза, что сви-

детельствовало о более выраженным разрушении как гепатоцитов, так и клеток эпителия желчных протоков.

При сравнительном анализе активности ЩФ в сыворотке крови выявлено, что у пациентов 2-й группы этот показатель был достоверно выше, чем у практически здоровых лиц и больных 1-й группы соответственно в 2,77 и 2,62 раза. У пациентов 3-й группы активность ЩФ возрасала соответственно в 1,43 и 1,36 раза. При этом активность ЩФ была достоверно выше, чем у больных 3-й группы в 1,93 раза, что свидетельствовало о более выраженным разрушении клеток эпителия желчных протоков.

При наслаждении ЛПП у больных с АГ отмечалось развитие более выраженной гиперхолестеринемии, чем у пациентов 1-й группы. Так, у пациентов 2-й группы по сравнению с практически здоровыми лицами и больными 1-й группы содержание общего холестерина статистически значимо возросло соответственно в 1,97 и 1,5 раза. У пациентов 3-й группы содержание общего холестерина увеличилось соответственно в 1,7 и 1,29 раза. При этом содержание общего холестерина по сравнению с 3-й группой было достоверно выше в 1,16 раза, что свидетельствовало о нарушении холестерин экскреторной функции печени и снижении активности 7- α холестерингидроксилазы.

Вместе с тем представляло интерес изучение показателей мезенхимального воспаления. У пациентов 1-й группы с АГ результат тимоловой пробы был статистически значимо выше в 1,21 раза, что свидетельствует о наличии слабо выраженной воспалительной реакции. В то же время у пациентов 2-й и 3-й групп показатели синдрома мезенхимального воспаления были статистически значимо выше. Так, у больных 2-й группы с ЛПП на фоне АГ показатель тимоловой пробы по сравнению с показателями практически здоровых лиц и больных 1-й группы был статистически значимо выше соответственно в 2,88 и 2,38 раза. У пациентов 3-й группы значения тимоловой пробы возрастали в 2,32 и 1,92 раза. При этом у пациентов 2-й группы значения тимоловой пробы были в 1,24 раза выше, чем в 3-й группе.

Другой показатель мезенхимального воспаления – содержание глобулинов в сыворотке крови – несколько возрастил у всех обследованных больных. Сравнив уровень глобулинов, мы отметили, что у пациентов 2-й группы он был несколько выше, чем в 3-й группе, что указывало на более выраженное мезенхимальное воспаление при длительном использовании антагонистов кальция.

Как было отмечено ранее, при гепатоцеллюлярном типе поражения печени отмечается увеличение содержания АЛТ ≥ 2 , уровень ЩФ остается в норме; при холестатическом типе активность АЛТ сохраняется в пределах нормы, ЩФ ≥ 2 ; при смешанном типе поражения – АЛТ ≥ 2 , ЩФ

≥2. Основываясь на этих данных, мы проанализировали тип поражения печени под воздействием гипотензивных препаратов. Активность АЛТ и ЩФ у пациентов 2-й группы увеличивалась в 2,5 и 2,77 раза, а у пациентов 3-й группы – соответственно в 1,68 и 1,43 раза. На основании этого можно сказать, что у пациентов 2-й группы высок риск развития смешанной формы ЛПП. Менее выраженный подъем изучаемых ферментов у пациентов 3-й группы указывает на транзиторный характер ЛПП. В этих случаях целесообразно по возможности снизить дозу или сменить гипотензивный препарат. В то же время больным 2-й группы целесообразно отказаться от дальнейшего потребления антагонистов кальция и провести соответствующую терапию ЛПП.

Анализ полученных данных показал, что гепатотоксины могут вызывать гибель клеток по механизмам как некроза, так и апоптоза, а соотношение между этими процессами определяется дозой, применением протекторов и другими факторами [2,12]. Основными этапами некроза является повреждение плазматической мембранны, набухание митохондрий и всей клетки, потеря внутриклеточных компонентов, дезинтеграция ядра с последующим фагоцитозом погибших гепатоцитов. Некротическая смерть клетки сопровождается развитием активного воспалительного процесса и повреждениями окружающих тканей.

При этом наличие быстро окисляемых липидов в печени достаточно, чтобы стать триггером каскада ПОЛ [9]. Второй толчок – это стимуляция образования свободных радикалов – дополнительный источник окислительного стресса, инициирующий ПОЛ и преодолевающий механизмы нормальной клеточной защиты и приводящий к появлению некроза и вторичного воспаления [3,14]. Согласно результатам недавно проведенных исследований, «второй толчок» является источником свободных радикалов, способных вызывать окислительный стресс [3].

Непосредственной причиной некроза является окислительный стресс и пероксидация липидов, образование аддуктов ксенобиотиков с биологически важными макромолекулами; повреждение митохондрий и нарушение продукции энергии, разрушение цитоскелета. Наблюданная нами гиперлипопероксидация у больных с артериальной гипертензией и ЛПП, видимо, запускает апоптоз через специальные «рецепторы смерти» на поверхности клетки или нерецепторным путем, что ведет к активации регуляторных белков, которые останавливают митотическую активность клетки, вызывают фрагментацию ДНК и деградацию жизненно важных белков [9,12].

С другой стороны, стеатоз, развивающийся при повреждении печени под влиянием лекарств, каким-то образом повышает чувствительность гепатоцитов к токсическому воздействию ФНО- α и/или других цитокинов [11]. Существует гипотеза, что такая сенсибилизация включает повышение восприимчивости гепатоцитов к дефициту АТФ, развивающемуся вследствие адаптационных изменений митохондрий в ответ на избыток субстратов окисления. Этот процесс зависит от антиоксидантного потенциала клетки. В норме гепатоциты резистентны к проапоптотическому действию ФНО- α [2,7,8].

Вместе с тем следует отметить, что наблюданная нами эндотоксикемия на фоне цитокиновой атаки на гепатоциты печени при внутрипеченочном холестазе вызывает «кислородный взрыв» клетки, который ассоциируется также с нарастанием пула молекул средней массы на фоне дисфункции системы ПОЛ и АОС, сопровождающейся истощением потенциала антиоксидантной системы и значимым нарастанием уровня МДА. Выявленные в изучаемых показателях изменения свидетельствуют о высокой чувствительности к повре-

ждающему действию как цитокинов, так эндотоксинов печени, которая в свою очередь обеспечивает их клиренс.

Наблюдаемый патологический процесс в гепатоцитах сопровождается холестазом, который в общем виде представляет собой нарушение синтеза, секреции и оттока желчи на уровне желчных канальцев на фоне эндотоксемии и усиление процесса апоптоза гепатоцитов происходит гибель клеток желчных капилляров и выход ферментов в плазму крови [2,6,15]. В данной ситуации мы наблюдаем достоверный рост активности ГГПТ. Схожая динамика наблюдается относительно фермента ЩФ. Причиной этого является расположение вблизи друг от друга в мемbrane эпителия желчевыводящих протоков изучаемых ферментов, именно поэтому при деструкции мембран их активность в кровотоке повышается одновременно и почти в равной степени.

Таким образом, у пациентов с АГ, длительно получающих гипотензивные препараты, могут развиваться лекарственные поражения печени. Сравнение двух классов широко применяемых гипотензивных препаратов – антагонистов кальция и иАПФ показало, что более гепатотоксичными являются антагонисты кальция. При длительном их применении мы наблюдали развитие всех 4-х синдромов поражения печени: цитолитического, холестатического, гепатодепрессии и мезенхимального воспаления. По выраженности этих синдромов при лекарственном поражении антагонистами кальция можно расположить в следующем порядке: синдром холестаза → синдром цитолиза → синдром мезенхимального воспаления → синдром гепатодепрессии. В этих случаях целесообразнее назначать препараты, ликвидирующие явления холестаза, в сочетании с гепатопротекторами.

Выводы

1. У 6,75% пациентов с артериальной гипертензией, в течение длительного времени получавших гипотензивные препараты, в основном антагонисты кальция, развивается лекарственное поражение печени, в основном смешанного типа.

2. Гипотензивная терапия у пациентов с артериальной гипертонией приводит к развитию цитолитического синдрома (повышение уровня АЛТ, гипербилирубинемия).

3. У больных с артериальной гипертонией отмечается гиперлипопероксидация. Наслоение лекарственного поражения печени резко усугубляет имеющиеся нарушения, особенно при длительном использовании антагонистов кальция.

Литература

1. Андреева Л.И., Кожемякин Л.А., Кишкун А.А. Модификация метода определения перекисей липидов в тесте с тиобарбитуровой кислотой // Лаб. дело. – 1989. – №1. – С. 41-43.
2. Аруин Л.И. Апоптоз и патология печени // Рос. журн. гастроэнтерол., гепатол., колопроктол. – 1998. – Т. 8, № 2. – С. 6-11.
3. Буеверов А.О. Оксидативный стресс и его роль в повреждении печени // Рос. журн. гастроэнтерол., гепатол., колопроктол. – 2006. – №1. – С. 20-29.
4. Каримов Х.Я., Ирискулов Б.У., Дадажанов Ш.Н., Бобоев К.Т. Индивидуальные свойства организма от конституциологии до генетического полиморфизма – Ташкент: Фан, 2014. – 150 с.
5. Кацунг Б. Базисная и клиническая фармакология. – М., 1998. – Т. 1. – 573 с.
6. Кузнецова Е.Л., Широкова Е.Н., Ивашин В.Т. Новые данные о молекулярных механизмах гепатобилиарного транспорта // Рос. журн. гастроэнтерол., гепатол., колопроктол. – 2006. – Т. 16, №6. – С. 9-15.
7. Морозов С.В., Кучеряный Ю.А. Гепатопротекторы в клинической практике: рациональные аспекты использования: Пособие для врачей. – М., 2011. – 28 с.
8. Шерлок Ш., Дули Дж. Заболевания печени и желчных путей: Практ. руководство / Пер. с англ.; Под ред. З.Т. Апросиной, Н.А. Мухина. – М: ГЭОТАР-Медиа, 1999. – 864 с.
9. Caro A.A., Cederbaum A.I. Oxidative stress, toxicology and pharmacology of CYP2E1 // Ann. Rev. Pharmacol. Toxicol. – 2004. – Vol. 44. – P. 27-42.
10. Crews K.R., Hicks J.K., Pui C.H. et al. Pharmacogenomics and

- individualized medicine: Translating science into practice // Clin. Pharmacol. Ther. – 2012. – Vol. 92, №4. – P. 467-475.
11. Farrell G.C. Drugs and steatohepatitis // Semin. Liver Dis. – 2002. – Vol. 22. – P. 185-194.
 12. Individual response to drug therapy: Bases and study approaches // Rev Invest Clin. – 2012. – Vol. 64, №4. – P. 364-376.
 13. Kalow W, Tang B.K., Endrenyi L. Hypothesis: comparisons of inter- and intra-individual variations can substitute for twin studies in drug research // Pharmacogenetics. – 2008. – Vol. 8. – P. 283-289.
 14. Lucena M.I., Garcia-Martin E., Andrade R.J. et al. Mitochondrial superoxide dismutase and glutathione peroxidase in idiosyncratic drug-induced liver injury // Hepatology. – 2010. – Vol. 52, №1. – P. 303-312.
 15. Teschke R. Drug-induced liver diseases // Z. Gastroenterol. – 2002. – Vol. 40. – P. 305-326.

ПОКАЗАТЕЛИ СИНДРОМА ЦИТОЛИЗА И ХОЛЕСТАЗА У БОЛЬНЫХ С АРТЕРИАЛЬНОЙ ГИПЕРТЕНЗИЕЙ НА ФОНЕ ПРИМЕНЕНИЯ ГИПОТЕНЗИВНЫХ ПРЕПАРАТОВ

Иноярова Ф.Х., Хайитов М.С.

Цель: оптимизация методов диагностики лекарственного поражения печени при длительном использовании гипотензивных препаратов у больных с эссенциальной гипертонией. **Материал и методы:** проанализировано 18 историй болезни больных с артериальной гипертонией, обследованы 48 пациентов с АГ и ЛПП, 26 из которых длительно получали антагонисты кальция, а 22 иАФП, а также 16 практически здоровых добровольцев. **Результаты:** у 6,75% пациентов с артериальной гипертензией, получавших в течение длительного времени гипотензивные препараты, особенно антагонисты кальция, развивается ЛПП основного смешанного типа, у пациентов, принимающих иАПФ, ЛПП носит транзиторный характер. **Выводы:** у больных с артериальной гипертонией повышаются основные биохимические критерии лекарственного поражения печени, особенно при длительном использовании антагонистов кальция.

Ключевые слова: артериальная гипертензия, лекарственное поражение печени, антагонисты кальция, ингибиторы ангиотензинпревращающего фермента.

ВЛИЯНИЕ АНЕМИЧЕСКОГО СИНДРОМА И ПОРАЖЕНИЯ ГАСТРОДУОДЕНАЛЬНОЙ ЗОНЫ НА КЛИНИЧЕСКИЕ ХАРАКТЕРИСТИКИ БОЛЬНЫХ РЕВМАТОИДНЫМ АРТРИТОМ (ПО ДАННЫМ РЕТРОСПЕКТИВНОГО ИССЛЕДОВАНИЯ)

Каримов М.Ш., Эшмурзаева А.А., Сибиркина М.В.

КАМҚОНЛИК ТАШХИСИГА ТАЪСИР ЭТИШ ВА ГАСТРОДУОДЕНАЛ СОҲА КАСАЛЛИК ТАРИХИ БЕ-МОРЛАРДА БЎҒИН КАСАЛЛИКЛАРИ (КАСАЛЛИК ТАРИХИНИ РЕТРОСПЕКТИВ ТАҲЛИЛ ҚИЛИНГАН)

Каримов М.Ш., Эшмурзаева А.А., Сибиркина М.В.

THE IMPACT OF ANEMIA AND LESIONS OF GASTRODUODENAL ZONE ON THE CLINICAL CHARACTERISTICS OF PATIENTS WITH RHEUMATOID ARTHRITIS (ACCORDING TO RETROSPECTIVE STUDY)

Karimov M.Sh., Eshmurzayeva A.A., Sibirkina M.V.

Ташкентская медицинская академия

Мақсад: РА беморларда камқонликнинг учраши, ҳамда камқонлик ва гастродуоденал соҳа (ГДС) шикастланиши билан кечадиган РА нинг ўзига хос клиник кечишни беморлар жинси ва ёшига боғлиқ ҳолда баҳолаш. **Материал ва усуллар:** камқонликни ва ГДС шикастланиши даражасини аниқлаш мақсадида ТТА Зчи клиникасининг ревматология бўлимида 2012дан то 2014 йиллар давомида даволанган 625 РА беморлар касаллик тарихини ретроспектив таҳлил қилинганд. **Натижаси:** РА беморларда камқонлик ва ГДС шикастланиши учрашини, уларни ёши ва жинсига боғлиқлигини, ҳамда клиник хусусиятларини ретроспектив таҳлили, уларни биргаликда кечишида ўзига ҳослилик аниқланди. Аниқланган ўзгаришилар чуқур таҳлил қилиши ва негизини аниқлаш, беморларни самарали даволаш усулларини ишлаб чиқиш ва такомиллаштиришини талаб қиласди. **Хулоса:** камқонлик ва ГДС шикастланиши билан кечадиган РА барча беморлар орасида учраши юкори бўлиб, асосан аёлларга хосдир, бундай беморларда бўғин-висцерал шакллари кўп учраб, патологик жараёнларнинг оғир даражаси қузатилади.

Калит сўзлар: ревматоид артрит, камқонлик, гастродуоденал соҳа шикастланиши.

Objective: To study the frequency of anemia occurrence in patients with RA and characteristics of patients, according to gender and age, as well as characteristics of the clinical course of RA on the background of anemia and lesions of gastroduodenal zone (GDZ). **Materials and Methods:** We retrospectively analyzed medical histories of 625 patients with RA, who were hospitalized in the Rheumatology Department of the 3rd clinic of TMA in 2012-2014, in order to study the frequency of occurrence of anemia and lesions of GDZ. **Results:** The retrospective analysis of the frequency of RA and its combination with anemia and GDZ lesions, as well as age / gender and clinical characteristics of the patients indicate the presence of some features of this pathology. This circumstance dictates the necessity of more detailed study of the genesis of emergence of these differences with the aim of developing effective approaches to the management of patients and improve the results of treatment of combined forms of RA. **Conclusions:** RA with anemia and GDZ lesions were mainly found in female patients, while there was a high frequency of occurrence of lesions and anemia, and more frequent detection of articular-visceral forms and severe degrees of activity of the process.

Key words: rheumatoid arthritis, anemia, lesions of gastroduodenal zone.

Ревматоидный артрит (РА) имеет большое общемедицинское и социальное значение, так как приводит к колоссальным экономическим потерям, что обусловлено значительной распространенностю данной патологии, существенным риском для жизни пациентов и большими материальными затратами на лечение и профилактику [5,6,8,9]. Распространенность РА в мире составляет 0,5-1% [1]. Согласно современным представлениям, ревматоидный артрит – хроническое воспалительное заболевание неясной этиологии, для которого характерно поражение периферических синовиальных суставов и периартикулярных тканей, сопровождающееся аутоиммунными нарушениями и способное приводить к деструкции суставного хряща и кости, а также к системным воспалительным изменениям.

Кроме поражения суставов, в клинической картине РА значительное место принадлежит внесуставным проявлениям, отличающимся чрезвычайной гетерогенностью. Поражение органов и систем, вовлеченных в патологический процесс, характеризуются взаимоотягощающим влиянием каскадного типа, т. е. нарушения со стороны одного органа вызывают определенные изменения со стороны других, а они, в свою очередь, могут усугублять первичный патологический процесс. Одним из коморбидных состояний, часто встречающихся при РА, является анемия,

которая может как сопутствовать ему или быть его фоном, так и служить проявлением данного заболевания [2,4,7].

Анемия, развивающаяся у 30-70% больных ревматоидным артритом, может быть системным внесуставным проявлением хронического воспалительного процесса либо следствием проводимой терапии [2,7].

По данным литературы, патология ЖКТ встречается у 13-62% больных РА [3,10]. Возможно, это связано с широким использованием в лечении РА НПВС и ГКС, а также наличием H. pylori-инфекции. Однако независимо от этиологической причины поражения гастродуоденальной зоны (ГДЗ), это состояние, несомненно, отрицательно оказывается на течении РА, а также вносит определенный вклад в прогрессирование анемии и влияет на результат лечения.

Цель исследования

Изучение частоты встречаемости анемии у больных РА и характеристика больных в зависимости от пола и возраста и особенностей клинического течения РА на фоне анемии и поражения гастродуоденальной зоны.

Материал и методы

Ретроспективно проанализированы истории болезни 625 пациентов с РА, находившихся на стационарном лечении в отделении ревматологии 3-й клиники ТМА в 2012 по 2014 гг., с целью изучения частоты встречаемости анемии и поражения ГДЗ.

Результаты и обсуждение

Учитывая, что анемия чаще всего встречается у лиц женского пола, нами проанализирована структура больных РА с учетом их половой принадлежности. Установлено, что среди больных РА лиц женского пола было 567 (90,7%). Соотношение женщин и мужчин в среднем составило 9:1, причем эти цифры сохранялись в течение всего анализируемого периода. 3/5 всех больных РА составили пациенты в возрасте от 41 года до 60 лет. Лишь 1/5 часть больных были моложе 40 лет. Наряду с изучением возрастно-половых различий, для нас определенный интерес представляла клиническая характеристика больных РА. Больных с суставной формой было более чем в 2 раза больше, чем пациентов с суставно-висцеральной формой РА. Соотношение пациентов с суставной и суставно-висцеральной формами РА в среднем составляло 2,4:1,0. Подобное соотношение сохраняется за весь анализируемый период с 2012 по 2014 гг. Необходимо отметить, что у 618 (98,9%) больных изучаемая патология характеризовалась медленно-прогрессирующим течением.

У 1/3 часть больных отмечалась II степень активности РА, у 1/5 была III степень активности. У подавляющего большинства больных РА наблюдаются функциональные нарушения, соответствующие I-II ст. поражения суставов.

Учитывая, что сочетание анемии с РА, независимо от этиологии анемии, должно оказывать определенное влияние на клиническую характеристику основной патологии, нами были проанализированы возрастно-половая и клиническая характеристика больных РА в сочетании с анемией. В структуре больных РА в сочетании с анемией удельный вес мужчин почти в 2 раза меньше, чем таковых в группе больных без анемии. При этом в сравниваемых группах преобладали пациенты женского пола.

Анализ возрастных особенностей показал, что среди больных РА в сочетании с анемией, в отличие от пациентов с РА без анемии, имеет место почти одинаковое распределение по возрастным категориям. Однако обращает на себя внимание тот факт, что больных с анемией в возрасте до 30 лет было в 1,6 раза больше, чем больных без анемии. Следовательно, РА с анемией реже встречается среди пациентов мужского пола и чаще среди лиц в возрасте до 30 лет.

Для нас представляло интерес изучение частоты встречаемости поражения гастродуоденальной зоны у больных РА. В условиях РА в результате развития патологического процесса, с одной стороны, и из-за вероятного риска развития побочного действия НПВС и ГКС, – с другой, может повреждаться слизистая ГДЗ.

Результаты проведенного анализа представлены на рис. 1.

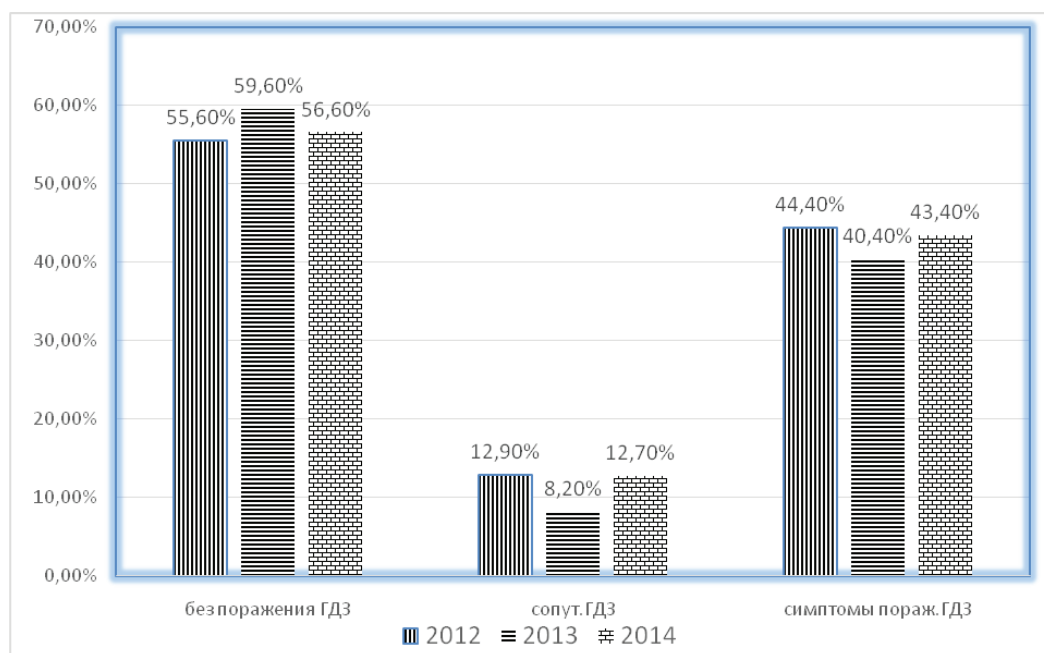


Рис. 1. Характеристика состояния ГДЗ у больных РА (ретроспективное исследование за период 2012-2014 гг.).

Как видно из рисунка, среди больных РА поражения ГДЗ встречались у 2/5, но только у 1/3 из них в историях болезни был выставлен диагноз, указывающий на поражение ГДЗ (рис. 1). У остальных поражение ГДЗ выявлено на основании симптомов поражения данной области. Следовательно, у довольно большой части больных РА имеет место поражение ГДЗ. Однако на основании записей в историях болезни выяснить причину поражения ГДЗ у больных с изучаемой патологией не удалось.

Известно, что РА наиболее часто сопровождается анемией, которая может носить характер как сопутствующей – фоновой патологии, так и может явиться проявлением осложнения РА. Независимо от того, является ли анемия сопутствующей патологией или последствием РА, ее наличие, несомненно, отрицательно сказывается на течении основной патологии.

Исходя из изложенного, в рамках ретроспективного исследования нами проанализирована частота встречае-

мости анемии среди больных РА и ее взаимосвязь с гастроэнтеритом. Результаты этого анализа представлены на рис. 2.

Как видно из рисунка, почти у 3/5 части больных РА имели место проявления анемии. Очень важно отметить тот факт, что почти у половины больных РА с анемией имеется поражение ГДЗ. Следовательно, между поражением ГДЗ у больных РА и частотой встречаемости у них анемии имеется определенная зависимость.

Как было отмечено выше, среди больных РА достаточно высок удельный вес пациентов с поражением гастродуоденальной зоны. Возможно, это связано с широким использованием в лечении РА НПВС и ГКС, наличием *H. pylori*-инфекции или с другими факторами. Однако независимо от этиологической причины поражения ГДЗ наличие этого состояния, несомненно, отрицательно сказывается на течении РА, а также вносит значительный вклад в прогрессирование анемии и влияет на результаты лечения.

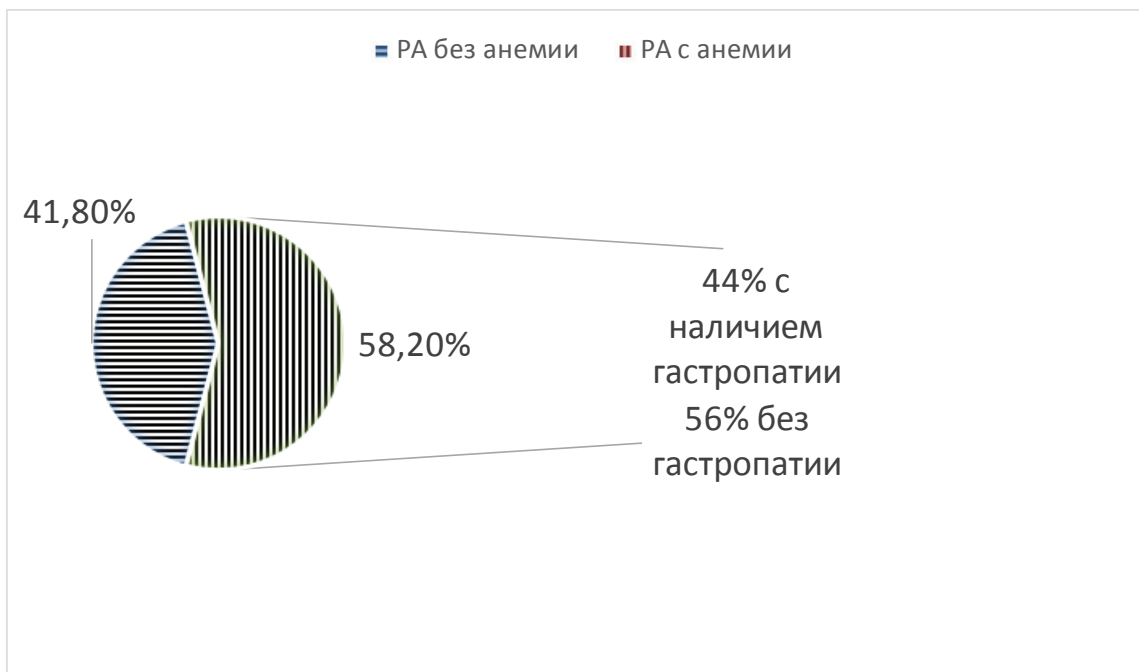


Рис. 2. Частота встречаемости анемии у больных РА и ее взаимосвязь с гастропатией (ретроспективное исследование).

В связи с этим мы проанализировали особенности течения РА у больных с анемией в зависимости от поражения ГДЗ.

При анализе характеристики больных РА с анемией и наличием поражения ГДЗ в зависимости от пола было выявлено, что мужчин среди больных РА с анемией и пора-

жением ГДЗ было в 2,4 раза меньше, чем пациентов с РА с анемией без патологии ГДЗ (табл. 1). Следовательно, если анемия среди больных РА мужчин встречается реже, то при наличии поражения ГДЗ среди этих больных удельный вес мужчин еще меньше.

Таблица 1

Распределение больных РА с анемией и поражением ГДЗ в зависимости от пола и возраста (по данным ретроспективного исследования), абс. (%)

Показатель	Больные РА с анемией	
	без поражения ГДЗ	с поражением ГДЗ
Всего больных, из них:	201	163
- мужчины	21 (10,4)	7 (4,3)
- женщины	180 (89,6)	156 (95,7)
Возраст, лет:		
- до 20	4 (1,9)	-
- 20-30	7 (3,4)	7 (4,3)
- 31-40	17 (8,4)	29 (17,8)
- 41-50	55 (27,3)	36 (22,1)
- 51-60	80 (39,8)	58 (35,6)
- 61-70 л	32 (16,0)	22 (13,5)
- старше 70	6 (2,9)	11 (8,7)

Как видно из таблицы 1, поражение ГДЗ у больных РА с анемией практически не встречается в возрасте до 20 лет, а в возрасте от 31 года до 40 лет и старше 70 лет наблюдается соответственно в 2 и 3 раза чаще.

Результаты анализа особенностей клинического течения и степени тяжести РА у этих больных представлены в таблице 2. Как видно из таблицы, поражение ГДЗ у больных РА с анемией заметно влияет на клиническую картину РА. При этом РА в 1,5 раза чаще, чем у больных РА с анемией без поражения ГДЗ представлен суставно-висцеральной формой и в 1,4 раза чаще – III степенью активности процесса (табл. 2). Следовательно, для поражения ГДЗ при РА с анемией характерно учащение суставно-висцеральной формы патологии и утяжеление степени активности процесса.

Наряду с другими показателями клинического течения РА, мы проанализировали длительность и характер течения основной патологии у больных РА с анемией в сочетании с поражением ГДЗ. Результаты этого анализа представлены в таблице 3.

Как видно из таблицы, течение болезни у пациентов с РА без анемии практически не отличалось от такового у больных РА с анемией без поражения ГДЗ. В то же время определенные различия прослеживаются в длительности течения.

Как видно из таблицы 3, среди больных РА с анемией и поражением ГДЗ лиц с длительностью заболевания от 1-го года до 10 лет было на 23% меньше, чем больных РА с анемией без поражения ГДЗ. Число больных РА с анемией и поражением ГДЗ с длительностью РА от 10 до 15 лет,

ВЛИЯНИЕ АНЕМИЧЕСКОГО СИНДРОМА И ПОРАЖЕНИЯ ГАСТРОДУОДЕНАЛЬНОЙ ЗОНЫ...

нпротив, было на 50% больше, чем больных РА с анемией без поражения ГДЗ.

Таким образом, ретроспективный анализ частоты встречаемости РА и его сочетания с анемией и поражением ГДЗ, а также возрастно-половая и клиническая характеристика больных свидетельствуют о наличии некоторых особенностей данной патологии. Это обстоятельство диктует необходимость более детального изучения генеза возникновения этих различий с целью разработки эффективных подходов ведения больных и улучшения результатов лечения сочетанных форм РА.

Таблица 2

Клиническая характеристика пациентов с РА в сочетании с анемией и поражением ГДЗ (по данным ретроспективного исследования), абс. (%)

Показатель	Больные РА с анемией	
	без поражения ГДЗ	с поражением ГДЗ
Форма РА:		
- суставная	144 (71,6)	96 (58,9)
- суставно-висцеральная	57 (28,4)	67 (41,1)
Степень активности РА:		
- I	26 (13,2)	7 (4,3)
- II	122 (60,6)	96 (58,9)
- III	53 (26,4)	60 (36,8)
ФНС:		
- 0	15 (7,5)	11 (6,7)
- I ст.	40 (19,9)	42 (25,8)
- II ст.	125 (62,1)	98 (60,1)
- III ст.	21 (10,4)	12 (7,4)

Таблица 3

Длительность и клинические формы течения РА у пациентов с анемией и поражением ГДЗ (по данным ретроспективного исследования), абс. (%)

Показатель	Больные РА с анемией	
	без поражения ГДЗ	с поражением ГДЗ
Длительность течения РА, лет:		
- до 1	2 (0,9)	2 (1,2)
- от 1 до 5	86 (42,7)	52 (31,9)
- от 5 до 10	58 (28,8)	42 (25,8)
- от 10 до 15	19 (9,5)	20 (12,3)
- более 15	36 (17,9)	47 (28,8)
Течение болезни:		
- быстропрогрессирующее	100 (100)	2 (1,2)
- медленно прогрессирующее		161 (98,8)

Выводы

1. РА с анемией и поражением ГДЗ в основном встречался у больных женского пола.
2. Для РА характерна высокая частота встречаемости поражения ГДЗ и анемии.

3. Для РА с анемией и поражением ГДЗ характерно учащение выявляемости суставно-висцеральной формы и утяжеление степени активности процесса.

Литература

1. Балабанова Р.М., Кашеваров Р.Ю., Олюнин Ю.А. и др. Антидеструктивное действие лефлуномида при раннем ревматоидном артрите // Тер. арх. - 2006. - №6. - С. 5-10.
2. Галушко Е.А. Анемия хронического заболевания // Науч.-практ. ревматол. - 2009. - № 3. - С. 70-78.
3. Карапеев А.Е., Насонов Е.Л. Применение нестероидных противовоспалительных препаратов: клинические рекомендации // Рус. мед. журн. - 2006. - №14 (25). - С. 1769-1778.
4. Коваленко В.М., Кузьмина Г.П., Маркова О.Я. Імовірність розвитку цитокін-медійованого анемічного синдрому у зворих на ревматоїдний артрит // Український ревматол. журн. - 2010. - №2 (40). - С. 33-38.
5. Коваленко В.М., Корнацький В.М. Хвороби системи кровообігу: динаміка та аналіз // Аналітично-статистичний посібник. - Київ, 2008. - С. 66-79.
6. Насонова В.А., Фоломеева О.М., Эрдес Ш.Ф. Ревматические заболевания в Российской Федерации в начале XXI века глазами статистики // Тер. арх. - 2009. - Т. 81, №6. - С. 5-10.
7. Циммерман Я.С., Бабушкина Г.Д. Анемия (Вопросы этиологии, патогенеза, клиники, классификации, диагностики и дифференциального лечения). - Пермь, 2004. - 125 с.
8. Чичасова Н.В., Владимиров С.А., Иголкин Е.В. и др. Бремя ревматоидного артрита: медицинские и социальные проблемы // Науч.-практ. ревматол. - 2009. - №1. - С. 4-10.
9. Sokka T, Abelson B, Pincus T. Mortality in rheumatoid arthritis: 2008 update // Clin. Exp. Rheumatol. - 2008. - Vol. 26 (Suppl. 51). - P. S35-S61.
10. Turesson C. Incidence and predictors of severe extra-articular disease manifestations in an early rheumatoid arthritis inception cohort // Ann. Rheum. Dis. - 2007. - Vol. 66. - P. 1543-1544.

ВЛИЯНИЕ АНЕМИЧЕСКОГО СИНДРОМА И ПОРАЖЕНИЯ ГАСТРОДУОДЕНАЛЬНОЙ ЗОНЫ НА КЛИНИЧЕСКИЕ ХАРАКТЕРИСТИКИ БОЛЬНЫХ РЕВМАТОИДНЫМ АРТРИТОМ (ПО ДАННЫМ РЕТРОСПЕКТИВНОГО ИССЛЕДОВАНИЯ)

Каримов М.Ш., Эшмурзаева А.А., Сибиркина М.В.

Цель: изучение частоты встречаемости анемии у больных РА и характеристика больных в зависимости от пола и возраста и особенностей клинического течения РА на фоне анемии и поражения гастродуоденальной зоны (ГДЗ). **Материал и методы:** ретроспективно проанализированы истории болезни 625 пациентов с РА, находившихся на стационарном лечении в отделении ревматологии 3-й клиники ТМА в 2012 по 2014 гг., с целью изучения частоты встречаемости анемии и поражения ГДЗ. **Результаты:** ретроспективный анализ частоты встречаемости РА и его сочетания с анемией и поражением ГДЗ, а также возрастно-половая и клиническая характеристика больных свидетельствуют о наличии некоторых особенностей данной патологии. Это обстоятельство диктует необходимость более детального изучения генеза возникновения этих различий с целью разработки эффективных подходов ведения больных и улучшения результатов лечения сочетанных форм РА. **Выходы:** РА с анемией и поражением ГДЗ в основном встречалась у больных женского пола, при этом отмечалась высокая частота встречаемости поражения ГДЗ и анемии, а также более частое выявление суставно-висцеральной формы и тяжелой степени активности процесса.

Ключевые слова: ревматоидный артрит, анемия, поражение гастродуоденальной зоны.

СИМУЛЬТАННЫЕ ОПЕРАЦИИ У БОЛЬНЫХ С ОПУХОЛЯМИ НАДПОЧЕЧНИКОВ

Каримов Ш.И., Беркинов У.Б., Сахибоев Д.П., Ирназаров А.А., Тажиев С.З.

БҮЙРАК УСТИ БЕЗИ ЎСМАЛАРИ БЎЛГАН БЕМОРЛАРДА СИМУЛЬТАН ОПЕРАЦИЯЛАР

Каримов Ш.И., Беркинов У.Б., Сахибоев Д.П., Ирназаров А.А., Тажиев С.З.

SIMULTANEOUS OPERATIONS IN PATIENTS WITH ADRENAL TUMORS

Karimov Sh.I., Berkinov U.B., Sahiboyev D.P., Irnazarov A.A., Tajiev S.Z.

Ташкентская медицинская академия

Мақсад: буйрак усти бези ўсмалари бўлган беморларда симультан операциялар ўтказилиши имкониятларини ўрганиш. **Материал ва усуллар:** ТТА 2- клиникасида 2009-2016 йиллар давомида 102 буйрак усти бези ўсмалари бўлган беморларда жарроҳлик амалиёти ўтказилган. Улардан 12 тасида (11,8%) жарроҳлик даволашни талаб қилувчи ёндош касалликлар аниқланган: сурункали калькулэзхолецистит (8), киндик чурраси (2), тугунли қалқонсимон без катталашиши ва паразитар бўлмаган жигар кистаси (битетадан). **Натижса:** ёндош касалликлари бўлган беморлар даволаш на-тижаларини таҳлили қуидагиларни қўрсатди: жарроҳлик амалиётининг давомийлиги, беморларни стационарда бўлиш муддати симультан операциялар бўлмаган беморларнидан фарқланмади, қайта операцияларга эҳтиёж кузатилмади, асоратлар келиб чиқши кам бўлди. **Хулоса:** ёндош хирургик патологияларда симультан операциялар ўтказиш самарали, бунда албаттa анетезиологик ҳавф эътиборга олиниши керак.

Калим сўзлар: буйрак усти бези ўсмалари, ёндош касалликлар, симультан операциялар, асоратлар.

Objective: To study the possibility of performing simultaneous operations in patients with adrenal tumors. **Materials and Methods:** In 2009-2016, there were operated 102 patients with adrenal tumors. 12 (11.8%) of them identified comorbidities requiring surgical treatment, such as chronic calculous cholecystitis (8), umbilical hernia (2), nodular goiter and non-parasitic liver cyst (1). **Results:** Analysis of results of treatment of patients with combined pathology showed that duration of surgery and length of stay in the hospital practically does not differ from those patients with isolated surgical diseases. At simultaneous treatment of several surgical diseases there were no re-operations, the risk of possible complications decreased. **Conclusions:** The implementation of simultaneous operations is expedient and effective in patients with concomitant surgical pathology, but the anesthetic risk should be considered.

Keywords: adrenal tumor, combined pathology, simultaneous operations.

Одной из актуальных проблем медицины сегодня является хирургическое лечение артериальной гипертензии (АГ). Известно, что у 65-80% пациентов повышение артериального давления является симптоматическим, а 15-25% из них оно возникает вследствие эндокринной гипертонии надпочечникового генеза [2,6,7]. Своевременная диагностика этих заболеваний и вовремя начатое лечение, как правило, приводят к выздоровлению пациентов [3,6,7,10]. До настоящего времени у 1/3 больных АГ, обусловленная опухолями надпочечников (ОН), устанавливалась не ранее чем через 5 лет от момента первых симптомов заболевания [5,7,10]. Такое «затягивание» сроков лечения на фоне улучшения диагностических возможностей в современных лечебных учреждениях приводит к тому, что у 20-30% пациентов, поступающих в хирургические стационары, диагностируются 2-3 заболевания, требующие оперативного лечения. Подобная ситуация особенно актуальна для больных с инциденталомами надпочечников (ИН) – образованиями, выявляемыми при визуализирующих исследованиях брюшной полости и забрюшинного пространства, не связанными с патологией надпочечников [3,4,6,10,11]. Достижения последних лет в хирургии и анестезиологии создали реальные условия для выполнения симультаных операций, позволяющих одномоментно провести коррекцию нескольких хирургических заболеваний у одного больного. В связи с этим перед хирургом закономерно возникает вопрос о выборе адекватного доступа и оптимальной этапности хирургического вмешательства [1,2,8,9].

Цель исследования

Изучение возможности выполнения симультаных операций у пациентов с опухолями надпочечников.

Материал и методы

В 2009-2016 гг. в клинике на обследовании и лечении находились 102 больных с опухолями надпочечников в воз-

расте от 16 до 70 лет, из них 61 женщина и 41 мужчина. Средний возраст – $42,9 \pm 2,6$ года. Все пациенты оперированы. У 12 (11,8%) из 102 больных во время обследования выявлена сопутствующая патология, требующая хирургической коррекции, в том числе у 8 – хронический калькулезный холецистит, у 2 – пупочная грыжа, у 1 – узловой зоб и у 1 – непаразитарная киста печени. Следует отметить, что у 16 больных опухоли надпочечников выявлены случайно, при обследовании по поводу других заболеваний. У 14 пациентов опухоли были гормонально неактивные, у 2 диагностированы альдостеромы надпочечников. У остальных больных, обследованных по поводу АГ, выявлены различные гормонально активные опухоли надпочечников. Таким образом, из 102 пациентов у 28 было две или более патологий, при этом 12 требовалось хирургическое лечение.

Выявленные сопутствующие патологии, возможно, связаны с применением ряда взаимно дополняющих методов исследования: УЗИ, МСКТ, флегография надпочечников, а также различных методов лабораторных исследований [6,7]. С целью выяснения гормональной активности опухолей надпочечников в плазме и моче определяли катехоламины и их метаболиты, альдостерон, кортизол, 17-ОКС, 11-ОКС, 17-КС, АКТГ, эстрогены и андрогены, ренин методом иммуноферментного анализа.

Из инструментальных методов применяли УЗИ, МСКТ и селективную флегографию надпочечников. Исследования проводились на линейном сканере модели "Aloka-SSD-880" и «Интерскан 250» фирмы Hoffman (Голландия). МСКТ – на томографе 3-го поколения "Somatom-SF" фирмы "Siemens" (Германия). Ангиографические исследования выполнялись в рентгенооперационной, оснащенной рентгеноангиографическими комплексами Multistar T.O.P. фирмы "Siemens"

СИМУЛЬТАННЫЕ ОПЕРАЦИИ У БОЛЬНЫХ С ОПУХОЛЯМИ НАДПОЧЕЧНИКОВ

(Германия) и ARTISZEE Cieling (Германия). Цифровой материал обработан методом вариационной статистики.

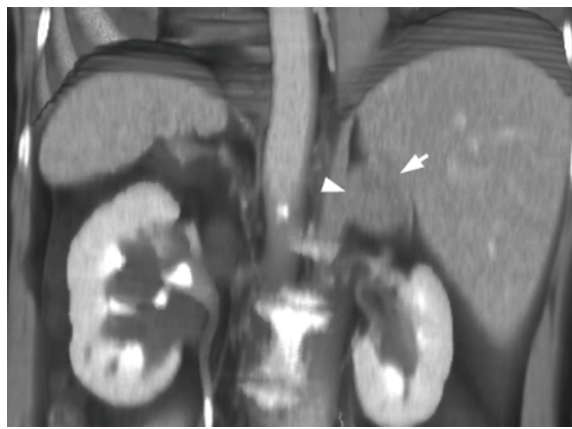
Результаты и обсуждение

При хирургическом лечении опухолевидных образований надпочечников ключевыми факторами, определяющими возможность выполнения адреналэктомии из лапароскопического доступа, являются точность определения размеров образования, исключение наличия тромбов в крупных венах, а также определение толщины прослойки жировой ткани между опухолевидным образованием и нижней полой веной, аортой, печенью и диафрагмой



a

[3,6]. По МСКТ-данным оценивались размеры, положение и взаимоотношение опухолевидного образования надпочечника с окружающими органами, а также выявлялись признаки смещения или прорастания. С правой стороны оценивали связь опухоли надпочечника с диафрагмой, нижней полой веной, правой почкой, почечными сосудами и печенью (рисунок), при левосторонних поражениях – с диафрагмой, аортой, левой почкой, почечными сосудами, поджелудочной железой, селезенкой, селезеночной веной и артерией, желудком и петлями ободочной кишки.



б

Рисунок. Объемное образование правого (а) и левого (б) надпочечников.

С целью уточнения ангиоархитектоники сосудов надпочечнику у 30 больных применялась селективная флегография, которая позволяла достичнуть полного контрастирования венозной системы железы при селективной и суперселективной катетеризации единственной правой и левой надпочечниковых вен. Следует сказать, что флегографическая картина надпочечников при гиперплазии является достаточно характерной и постоянной, при этом выделяются два типа, один из которых соответствует диффузной, другой – аденоматозной гиперплазии надпочечников [3,6]. Проведенные исследования выявили аденоматозную гиперплазию надпочечников у большинства оперированных нами больных.

При проведении УЗИ надпочечников и органов брюшной полости камни в желчных пузырях обнаружены у 8 больных, киста печени – у 1, узловый зоб – еще у 1. У 2 больных из 12 больных калькулезный холецистит был асимптомным, из-за чего больные отказались от операции на желчном пузыре. От симультанного вмешательства отказалось также пациентка с узловым зобом.

К решению вопроса о возможности проведения симультанной операции у больных с опухолевой патологией надпочечников мы подходили дифференцировано. Кроме того, при определении показаний к симультанным операциям в обязательном порядке проводилась оценка операционного риска. У пациентов с высокой степенью операционного риска от выполнения симультаных операций мы отказывались, а при низкой и умеренной степени риска – планировали их выполнение. На этапе подготовки больных к операции лечебные мероприятия предусматривали коррекцию АД и лечение сердечной патологии, компенсацию углеводного и электролитного обмена, лечение сопутствующих заболеваний и санацию хронических очагов инфекции. Во всех случаях определяющими факторами очередности хирургического вмешательства являлось соблюдение принципов асептики, антисептики и аблстики [6,7]. При проведении симультаных операций учитывали целесообразность выполнения в первую очередь максимально «чистого» и наиболее сложного этапа операции.

Так, если у больных с предполагаемой феохромоцитомой в ходе выполнения адреналэктомии отмечались выраженные гемодинамические нарушения, то от проведения симультанной операции отказывались, опасаясь развития неуправляемой гипотензии. У 1 больного с феохромоцитомой правого надпочечника во время операции гемодинамика была очень лабильная, в связи с чем симультанная холецистэктомия не выполнена. У другой больной с пупочной грыжей после клипирования центральной вены правого надпочечника артериальное давление упало до 90/60 мм рт. ст. и, несмотря на проводимую гормональную терапию, сохранялось на том же уровне до конца операции, в связи с чем операция грыжесечения была отложена на следующий этап.

Таким образом, симультанные операции планировались у 9 пациентов. У 2 из них после пересечения центральной вены надпочечника отмечалось снижение АД, которое удалось поднять до 80-90/50-60 мм рт. ст., подключив вазопрессоры. Учитывая это обстоятельство, вопрос о выполнении симультанной операции (холецистэктомия, грыжесечение) был снят.

Симультанные операции выполнены у 7 больных, из них 4 женщины и 3 мужчины. Показанием к проведению симультаных операций явилось сочетание опухолей надпочечников с желчнокаменной болезнью, непаразитарной кистой печени и пупочной грыжей. При этом у 4 (56,8%) пациентов одновременно проведена правосторонняя лапароскопическая адреналэктомия и лапароскопическая холецистэктомия, у 1 (14,2%) – левосторонняя лапароскопическая адреналэктомия и лапароскопическая холецистэктомия, у 1 (14,2%) правосторонняя адреналэктомия и лапароскопическая герниопластика и у 1 (14,2%) – лапароскопическая адреналэктомия слева и фенестрация кисты левой доли печени.

При морфологическом исследовании опухолей надпочечников альдостерома обнаружена у 3 (42,8%) больных, феохромоцитома – у 1 (14,2%), киста надпочечника – у 1 (14,2%), аденома коры надпочечника – у 2 (28,4%).

Инциденталома была у 42,8% больных (у 2 аденома коры надпочечника, у 1 киста надпочечника). Результаты наших наблюдений совпадают с данными литературы [5,6].

Наиболее частой сопутствующей патологией, по поводу которой производились симультанные операции, был хронический калькулезный холецистит. При лапароскопическом удалении опухолей надпочечников и желчного пузыря первый этап операции независимо от стороны поражения надпочечника начинали с адреналэктомии, которую проводили посредством бокового трансабдоминального доступа. При этом пневмоперitoneум наложен по безопасной методике. В 3 случаях после правосторонней адреналэктомии положение больного и место троакаров не менялись. Одна пациентка из-за технических трудностей уложена на спину, ей выполнена холецистэктомия. Средняя продолжительность операции составила $139 \pm 9,5$ минуты. Лишь одному больному симультанно произведены лапароскопическая адреналэктомия слева и холецистэктомия. При этом возникла необходимость в изменении положения оперируемого на столе и установки нескольких дополнительных «портов», что привело к удлинению продолжительности операции до 151 минуты. В послеоперационном периоде осложнений не наблюдалось. На следующий день после операции дренажи были удалены, все больные активизированы. Средняя продолжительность болевого синдрома составила $20,8 \pm 5,13$ часа, интенсивность болевого синдрома в покое и при кашлевой пробе от времени после операции в среднем оценивалась в $4,96 \pm 1,59$ и $6,88 \pm 0,54$ балла, через 4-5 часов после операции – в $2,08 \pm 0,51$ и $3,12 \pm 0,33$ балла. Время пребывания пациентов в стационаре после операции составляло $3,3 \pm 0,3$ дня.

Таким образом, анализ результатов лечения больных показал, что продолжительность операции и сроки пребывания в стационаре практически не отличаются от показателей больных с изолированной хирургической патологией. При лечении одновременно нескольких хирургических заболеваний не возникало потребности в повторных операциях, снижался риск возможных осложнений. Полученные данные указывают на целесообразность и экономическую эффективность выполнения симультанных операций у пациентов с сочетанной хирургической патологией с обязательным учетом анестезиологического риска.

Выводы

1. У больных с опухолями надпочечников и сопутствующей хирургической патологией возможно проведение симультанных операций, обязательным условием выполнения которых должна быть оценка операционного и анестезиологического риска до операции.

2. При оперативном вмешательстве на органах брюшной полости и забрюшинного пространства у больных с опухолями надпочечников целесообразно выполнять операцию на надпочечнике, при этом адреналэктомия должна осуществляться первым этапом.

3. Этапность выполнения хирургического вмешательства является важным фактором успешного одномоментного лечения нескольких патологий у больных с опухолями надпочечников.

4. Симультанные операции экономически выгодны, так как позволяют за время одной госпитализации и про-

ведения одного общего обезболивания избавить стационарного больного от двух-трех заболеваний.

Литература

1. Аристархов В.Г., Гадзыра А.Н., Бирюков С.В. Симультанные операции у больных с патологией надпочечников // Анналы хир. – 2007. – №3. – С. 72-77.
2. Белошицкий М.Е., Калинин А.П., Богатырев О.П. и др. Симультанные операции в хирургии надпочечников // Сучасні медичні технології. – 2013. – №3. – С. 26-28.
3. Белошицкий М.Е. Алгоритм дооперационного обследования больных с инциденталомами надпочечников // Анналы хир. – 2007. – №3. – С. 58-63.
4. Ветшев П.С., Ипполитов Л.И., Ветшев С.П., Коваленко Е.И. Спорные вопросы и негативные тенденции в диагностике и хирургическом лечении случайно выявленных опухолей надпочечников // Хирургия. – 2005. – №6. – С. 11-14.
5. Гогин Е.Е. Основные тенденции совершенствования диагностики и возрастающее значение инвазивных методов исследования // Тер. арх. – 2003. – Т. 75, №4. – С. 5-7.
6. Емельянов С.И., Богданов Д.Ю. Эндохирургия новообразований надпочечников. – М.: Изд-во Панфилова, 2012. – 168 с.
7. Калинин А.П., Майстренко Н.А., Ветшев П.С. Хирургическая эндокринология: Руководство. – СПб: Питер, 2004. – С. 561-568.
8. Никоненко А.С., Завгородний С.Н., Подлужный А.А. и др. Опыт применения симультанных операций у больных с опухолями надпочечников // Запорожский мед. журн. – 2010. – Т. 12, №1. – С. 17-18.
9. Никоненко А.С., Завгородний С.Н., Головко Н.Г. и др. Симультанные операции при хирургическом лечении больных с эндокринной патологией // Сучасні медичні технології. – 2013. – №3. – С. 137-139.
10. Brunaud L., Kebabew E., Sebag F. et al. Observation or laparoscopic adrenalectomy for adrenal incidentaloma? A surgical decision analysis // Med. Sci. Monit. – 2006. – Vol. 324. – С. 355-362.
11. Findling J.W., Raff H. Cushing's Syndrome: important issues in diagnosis and management // J. Clin. Endocrinol. Metab. – 2006. – Vol. 91. – С. 3746-3753.

СИМУЛЬТАННЫЕ ОПЕРАЦИИ У БОЛЬНЫХ С ОПУХОЛЯМИ НАДПОЧЕЧНИКОВ

Каримов Ш.И., Беркинов У.Б., Сахибоев Д.П., Ирназаров А.А., Тажиев С.З.

Цель: изучение возможности выполнения симультанных операций у пациентов с опухолями надпочечников. **Материал и методы:** в 2009-2016 гг. в клинике оперированы 102 больных с опухолями надпочечников. У 12 (11,8%) из них выявлены сопутствующие патологии, требующие хирургического лечения, такие как хронический калькулезный холецистит (8), пупочная грыжа (2), узловой зоб и непаразитарная киста печени (по 1). **Результаты:** анализ результатов лечения больных с сочетанной патологией показал, что продолжительность операции и сроки пребывания в стационаре практически не отличаются от показателей больных с изолированными хирургическими заболеваниями. При лечении одновременно нескольких хирургических заболеваний не возникало потребности в повторных операциях, снижался риск возможных осложнений. **Выводы:** выполнение симультанных операций целесообразно и эффективно у пациентов с сочетанной хирургической патологией, но при этом обязательно следует учитывать анестезиологический риск.

Ключевые слова: опухоли надпочечников, сочетанная патология, симультанные операции.

ПЕРВЫЙ ОПЫТ ЛАПАРОСКОПИЧЕСКОЙ ЛИКВИДАЦИИ ДИАСТАЗА ПРЯМЫХ МЫШЦ ЖИВОТА В РЕСПУБЛИКЕ УЗБЕКИСТАН

Каримов Ш.И., Хакимов М.Ш., Беркинов У.Б., Саттаров О.Т., Холматов Ш.Т.

ЎЗБЕКИСТОН РЕСПУБЛИКАСИ МИҚЁСИДА ҚОРИН ТҮҒРИ МУШАКЛАРИ ДИАСТАЗИНИ ЛАПАРОСКОПИК ЛИКВИДАЦИЯСИНИНГ БИРИНЧИ НАТИЖАЛАРИ

Каримов Ш.И., Хакимов М.Ш., Беркинов У.Б., Саттаров О.Т., Холматов Ш.Т.

FIRST EXPERIENCE OF LAPAROSCOPIC LIQUIDATION OF DIASTASES OF DIRECT MUSCLES OF THE ABDOMEN AT THE REPUBLIC OF UZBEKISTAN

Karimov Sh.I., Khakimov M.Sh., Berkinov U.B., Sattarov O.T., Kholmatov Sh.T.

Ташкентская медицинская академия

Мақсад: юртимиз шароитида қорин түғри мушаклари диастазини лапароскопик ликвидация қилишинг имкониятларини ва унинг бирламчи натижаларини баҳоладик. **Материал ва усуллар:** ТТА 2- клиникасида 2015-2016 йиллар мобайнида қорин түғри мушаклари II-III даражали диастази билан 21 беморга лапароскопик усулда ликвидация қилинди. **Натижасы:** жарроҳлик амалиёти биз томондан ишилаб чиқилган эндоскопик нина – илгич ёрдамида бажарилди. Жарроҳлик амалиётининг ўртача давомийлиги $52,5 \pm 5,3$ дақиқани ташкил қилди. Асоратлар кузатилмади. Беморлар иккинчи кундан фаол ҳаракат қила бошлади. 5 (23,8%) bemorda амалиёт соҳасида енгил нокулайлик кузатилди ва бу ҳолат 3-4 кунда ўтиб кетти. **Хулоса:** демак, қорин түғри мушаклари диастазини лапароскопик ликвидация қилиш кам жароҳат етказувчи усул бўлиб, традицион усуллардан ўзининг ижобий натижалари билан устунлик қиласи.

Калит сўзлар: қорин түғри мушаклари диастази, лапароскопик ликвидация, эндоскопик нина - илгич.

Objective: In this connection we estimated opportunities and the first results of realization of laparoscopic liquidation of diastases of direct muscles of a abdomen at our region. **Material and methods:** In 2 clinics of TMA from 2015 for 2016 it is executed 21 laparoscopic operations at a diastase of direct muscles of a abdomen of the II-III degree. **Results:** Operation was carried out by means of the endoscopic "needle-hook" developed by us. The average duration of operation made $52,5 \pm 5,3$ min. Intraoperative complications were not. Patients became more active by next days after operation. The slight discomfort in a zone of operational action is noted at 5 (23,8%) patients which passed in 3-4 days after operation. **Conclusions:** So, laparoscopic liquidation of diastases of direct muscles of a abdomen is mini-invasive intervention, has advantages before a traditional way of liquidation.

Keywords: diastases of direct muscles of a abdomen, laparoscopic liquidation, an endoscopic needle – a hook.

Диастаз прямых мышц живота – одна из наиболее частых патологий, встречающихся в практической деятельности хирурга. Число больных с этой патологией не имеет тенденции к уменьшению, а частота развития грыж белой линии живота при диастазе колеблется от 5 до 15% [1,3,5].

В структуре деформаций мягких тканей передней брюшной стенки диастаз прямых мышц живота составляет 40% [2]. Сочетание диастаза прямых мышц живота с пупочной грыжей выявляется у 60% пациентов, что нередко не учитывается хирургами при операции, в результате возникает рецидив грыжи. Количество рецидивов в отдаленном послеоперационном периоде варьирует от 45 до 80% [1,5,8].

Расхождение (диастаз) прямых мышц живота встречается преимущественно у женщин, чаще всего у многорожавших, с общей дистонией мышц и слабостью апоневротических элементов [2,4], а также у лиц старшего возраста. Факторами, предрасполагающими к развитию данной патологии, являются сопутствующие заболевания, такие как хроническая обструктивная болезнь легкого, ожирение, хронический колит и т.д., приводящие к повышению внутрибрюшного давления. Большое значение имеет профессиональная деятельность. Лица, постоянно занимающиеся тяжелой физической нагрузкой, создают группу риска развития не только диастаза прямых мышц живота, но и наружных грыж.

Для лечения диастаза предложено более 35 хирургических способов ликвидации и их модификации. Несмотря на такое разнообразие методов коррекции, вопрос о выборе наиболее эффективных среди них остается спорным [1,6,7].

Известно, что для ликвидации диастаза прямых мышц передней брюшной стенки чаще всего используются традиционные способы хирургической коррекции, такие как

пластика по Шампиньонеру или по Вознесенскому. Частота рецидивов и развития послеоперационных вентральных грыж после таких операций достигает 11,3% [2,4,7].

Внедрение новых технологий позволило выполнять разные малоинвазивные хирургические вмешательства в абдоминальной хирургии с минимальной травматизацией тканей передней брюшной стенки. Для дальнейшего совершенствования существующих способов было бы целесообразно изучить возможности ликвидации диастаза прямых мышц живота мининвазивным методом.

Цель исследования

Оценка возможности выполнения лапароскопической ликвидации диастаза прямых мышц живота и улучшение результатов лечения данной категории пациентов.

Материал и методы

Во 2-й клинике ТМА в 2015-2016 гг. выполнена 21 лапароскопическая операция при диастазе прямых мышц живота II-III степени. Пациенты были в возрасте от 36 до 62 лет, 58% из них – старше 50 лет. Мужчин было 7, женщин – 14. Больных со II степенью диастаза было 9 (42,8%), с III – 12 (57,2%). У 7 пациентов имелась сочетанная патология, требующая выполнения симультанных операций, в том числе у 4 – желчнокаменная болезнь, у 3 – паховая грыжа.

Учитывая значительный риск развития послеоперационных осложнений при открытой пластике у пациентов с высоким анестезиологическим риском, её выполнение было ограничено. Именно в таких случаях целесообразно осуществление ликвидации диастаз прямых мышц живота лапароскопическим путем. Так, пациентов с ИБС было 2 (9,5%), ожирением II-III степени – 2 (9,5%), сахарным диабетом – 1 (4,7%), хронической патологией дыхательной системы – 1 (4,7%).

У 4 (19%) больных симультанно выполнена лапароскопическая холецистэктомия, у 3 (14,2%) – лапароскопическая герниопластика. При сочетанной патологии брюшной полости диастаз ликвидировали вторым этапом, т.е. после выполнение холецистэктомии и лапароскопической герниопластики.

Результаты

Лапароскопическая ликвидация диастаза производилась под общей анестезией. При лапароскопии определяли границы диастаза прямых мышц живота. Операцию выполняли с помощью разработанной нами эндоскопической «иглы-крючок» (рис. 1).

По правому (или левому) медиальному краю прямых мышц под контролем лапароскопа через насечки длиной до 2 мм вводили инструмент «эндоскопическую иглу-крючок» в брюшную полость и доставляли нить, которую



Рис. 1. Эндоскопическая игла-крючок.

фиксирували в брюшной полости эндоскопическим зажимом, введенным через рабочий прокол. Эндоскопическую иглу-крючок выводили из брюшной полости (рис. 2).



Рис. 2. Интраоперационный вид ликвидации диастаза прямых мышц живота.

Через имеющуюся насечку на коже под углом ориентировано 40-60 градусов эндоскопическую иглу-крючок вводили в толщу передней брюшной стенки по направлению к левому (или правому) медиальному краю прямых мышц и входили в брюшную полость. Нить фиксировали в эндоскопической игле-крючке и выводили наружу. Производили экстракорпоральное завязывание узла на натяжение. Завязанную часть нитки оставляли внутри кожи, т.е. на месте раны в образованном подкожном туннеле (рис. 3).



Рис. 3. Общий вид больного в 1-е сутки после лапароскопической ликвидации диастаза прямых мышц живота.

Средняя продолжительность операции составляла $52,5 \pm 5,3$ мин. При симультанной операции этот показатель был равен $73,5 \pm 13,7$ мин. Интраоперационных осложнений не было.

Пациенты активизировались уже к следующим суткам после операции. 5 (23,8%) больных отмечали легкий дискомфорт в зоне операционного действия, который прошел через 3-4 суток после операции. У 1 (4,7%)

пациента развилась серома, невралгические боли, которые были разрешены консервативным путем, наблюдались у 6 (28,5%) больных. Других осложнений не было.

Среднее время пребывания пациентов в стационаре составило $4,1 \pm 1,3$ койко-дня. После операции больные уже на 7-8-е сутки возвращались к нормальной дооперационной деятельности. Необходимости в ежедневных перевязках и посещениях хирурга не было. Среднее количество посещений хирурга в амбулаторных условиях $5,2 \pm 1,3$. Рецидивов за время наблюдения в течение одного года не было. Больные жалоб не предъявляли, физические нагрузки дискомфорта у них не вызывали, деформации в области передней брюшной стенки не было, края прямых мышц живота плотно прилегали друг к другу (рис. 4).



Рис. 4. Общий вид пациента через год после лапароскопической ликвидации диастаза прямых мышц живота.

Помимо клинических данных, важным критерием оценки исхода операции является степень восстановления анатомических структур передней брюшной стенки, в частности белой линии живота, и возвращение прямых

мышц в их анатомическое положение, что в последующем влияет на улучшение восстановления ее функции.

По мнению И.У. Лечиева [1], при лечении диастаза прямых мышц живота необходимо учитывать морфофункциональное состояние мышечно-апоневротического слоя брюшной стенки, которое теряет свою прочность при травме или открытом хирургическом вмешательстве. Многие зарубежные исследователи в своих публикациях также отмечают, что 55% открытых операций на органах брюшной полости протекают с образованием спаечной болезни и требуют вторичной операции по причине кишечной непроходимости [5-8].

По данным F.C. Leong (2014), у 80% женщин после родов прямые мышцы живота сокращаются и сходятся обратно к центру. Однако первоначальное состояние достигается не всегда, например, при ослабленных мышцах брюшного пресса, при повторных беременностях. С этой точки зрения диастаз прямых мышц живота чаще возникает у лиц женского пола [8].

В связи с этим сегодня хирургическое лечение диастаза является актуальной проблемой, однако результаты традиционных способов лечения не могут полностью удовлетворить хирургов в силу высокой частоты рецидивов и развития абдоминальных грыж.

Полученные нами результаты показывают, что больным со II и III степенью диастаза показано хирургическое лечение. По нашему мнению, в этих случаях операцией выбора является лапароскопическая ликвидация, которая позволяет сохранить морфофункциональное состояние мышечно-апоневротического слоя передней брюшной стенки.

Таким образом, наш первый опыт выполнения лапароскопической ликвидации диастаза прямых мышц живота показал, что она является высокоэффективным малотравматичным методом лечения и имеет ряд преимуществ перед традиционными оперативными вмешательствами: косметический эффект; максимальный комфорт для пациента в послеоперационном периоде; отсутствие хронической боли, возникающей после традиционной ликвидации диастаза; малая вероятность развития спаечного процесса в брюшной полости; возможность выполнения симультанной лапароскопической операции при сочетанной патологии, когда возможно осуществление оперативного вмешательства эндоскопическим путем.

Литература

- Лечиев У.И. Пути улучшения результатов хирургического лечения пупочных грыж в сочетании с диастазом прямых мышц живота: Автореф. дисс. ... канд. мед. наук. – Томск, 2013. – 211 с.
- Павленко В.В., Рехачев В.П. Послеоперационные вентральные грыжи. Диастазы прямых мышц живота. – Архангельск: Изд. центр Архангельской гос. мед. академии, 2012. – 195 с.
- Топчиев М.А. Способ хирургического лечения при диастазах прямых мышц живота // Хирургия. – 2012. – №7. – С. 49-51.
- Korenkov M., Beckers A., Koebke J. et al. Biomechanical and morphological types of the linea alba and its possible role in the pathogenesis of midline incisional hernia // Europ. J. Surg. – 2014. – Vol. 167, №12. – P. 909-914.
- Nahas F.X., Augusto S.M., Ghelfond C. Should diastasis recti be corrected? // Aesthetic. Plast. Surg. – 2014. – Vol. 21, №4. – P. 285-289.
- Rath A.M., Attali P., Dumas J.L. at al. The abdominal linea alba an anatomoradiologic and biomechanical study // Surg. Radiol. Anat. – 2013. – Vol. 18, №4. – P. 281-288.
- Sanjay P., Reid T.D., Davies E.L. Retrospective comparison of mesh and sutured repair for adult umbilical hernias // J. Hernia. – 2015. – Vol. 9, №3. – P. 248.
- Spitznagle T.M., Leong F.C., Van Dillen L.R. Prevalence of diastasis recti abdominis in aurogynecological patient population // Int. Urogynecol. J. Pelvic Floor Dysfunct. – 2014. – Vol. 18, №3. – P. 312-318.

ПЕРВЫЙ ОПЫТ ЛАПАРОСКОПИЧЕСКОЙ ЛИКВИДАЦИИ ДИАСТАЗА ПРЯМЫХ МЫШЦ ЖИВОТА В РЕСПУБЛИКЕ УЗБЕКИСТАН

Каримов Ш.И., Хакимов М.Ш., Беркинов У.Б., Саттаров О.Т., Холматов Ш.Т.

Цель: оценка возможности выполнения лапароскопической ликвидации диастаза прямых мышц живота и улучшение результатов лечения данной категории пациентов.

Материал и методы: во 2-й клинике ТМА в 2015-2016 гг. выполнена 21 лапароскопическая операция при диастазе прямых мышц живота II-III степени. **Результаты:** операцию выполняли с помощью разработанной нами эндоскопической «иглы-крючка». Средняя продолжительность операции – $52,5 \pm 5,3$ мин. Интраоперационных осложнений не было. Пациенты активизировались уже к следующим суткам после операции. Легкий дискомфорт в зоне операционного действия, который прошел через 3-4 суток после операции, отмечался у 5 (23,8%) больных. **Выводы:** лапароскопическая ликвидация диастаза прямых мышц живота является малоинвазивным вмешательством, который имеет важные преимущества перед традиционным способом ликвидации.

Ключевые слова: диастаз прямых мышц живота, лапароскопическая ликвидация, эндоскопическая игла-крючок.

СРАВНИТЕЛЬНАЯ ОЦЕНКА ЭФФЕКТИВНОСТИ ПРЕПАРАТА ПАЛЛАДА ПРИ ЛЕЧЕНИИ АЛЛЕРГИЧЕСКИХ КОНЬЮНКТИВИТОВ

Кодирова Ш.Р., Нарзикулова К.И., Исламова Ф.К.

АЛЛЕРГИК КОНЬЮНКТИВИТНИ ДАВОЛАШДА ПАЛЛАДА ПРЕПАРАТИНИНГ ЭФФЕКТИВЛИГИНИ БАҲОЛАШ

Кодирова Ш.Р., Нарзикулова К.И., Исламова Ф.К.

COMPARATIVE ASSESSMENT OF EFFICIENCY OF PREPARATION PALLADA IN THE TREATMENT OF ALLERGIC CONJUNCTIVITIS

Kodirova SH.R., Narzikulova K.I., Islamova F.K.

Ташкентская медицинская академия

Мақсад: аллергик конъюнктивитни комплекс даволашда Паллада препаратининг клиник эффективлигини баҳолаш.
Материал ва усуллар: бизнинг кузатувимизда 40 та бемор олинди. Беморлар икки гурухга ажратилди: асосий гуруҳдаги bemorlar Pallada препарати билан 1 томчидан 2 маҳал комплекс даволаш ўтказилди. **Натижса:** асосий гуруҳ bemorларни даволашда 1 - ҳафта охирида субъектив белгилар, 2 - ҳафта охирида эса объектив белгилар йўқолди, назорат гуруҳда эса бу жараёнлар 1-2 ҳафтага чўзилди, бу жараён шубҳасиз даволашда янги Pallada препаратини қўллаш афзаллигини исботлайди. **Хулоса:** клиник текширув натижсалари шунч кўрсатдиги, Pallada кўз томчиси умумий аллергияга қарши давода аллергик конъюнктивитни сабаб омилларини ва касаллик белгиларини самарали камайтишини исботлайди.

Калим сўзлар: аллергик конъюнктивит, даволаш, Pallada препарати.

Objective : To evaluate the clinical efficacy of Pallada drug in treatment for allergic conjunctivitis. **Materials and Methods:** We observed 40 patients. The patients were divided into two groups: I group (control) - 20 patients (40 eyes) received comprehensive therapy with Lekrolin drug 1-2 drops 4 times a day. Group II patients (main) - 20 patients (40 eyes) receiving the combined treatment with drug Pallada 1 drop every 2 days. **Results:** If in the main group by the end of the first week of treatment, subjective feelings of patients disappeared, and by the end of the second week, retreated objective symptoms of the disease, so in patients of the control group this process dragged on for 1-2 weeks, which undoubtedly proves the preference of therapy with new drug Pallada. **Conclusion:** The clinical study showed that Pallada eye drops against the backdrop of the general anti-allergic therapy is effective in reducing the phenomenon of allergic conjunctivitis, regardless of the causal factor and form of the disease.

Key words: allergic conjunctivitis, cure, Pallada drugs.

По данным эпидемиологических исследований, аллергическими заболеваниями глаз страдают от 5-22 до 40% населения различных стран мира. Это определяет высокую медико-социальную значимость данной патологии [1-4]. Наиболее распространенным поражением является аллергический конъюнктивит (АК), нередко сопровождающийся аллергическим блефаритом [3,5,7]. Являясь клиническим проявлением аллергической болезни, аллергические конъюнктивиты указывают на широкую распространенность аллергозов. В руководстве по иммунологии Р.М. Хайтов (2000) указывает, что в западных странах различными формами аллергии в среднем страдают 20% всего населения, а в отдельных регионах число таких больных достигает 40-50%. Среди страдающих аллергии 80-90% имеют поражения глаз [4]. Согласно последним исследованиям [3], среди больных с подтвержденной гиперчувствительностью к пыльцевым аллергенам 91,2% имели проявления глазной аллергии. По данным Н.И. Ильиной, С.А. Польнер (2001), заболеваемость рино-конъюнктивитами в среднем по России варьирует от 12,7 до 24% [1,2]. Считается, что аллергия развивается в 50% случаев, если оба родителя страдают аллергическими заболеваниями, в 25% – если болен аллергией один из родителей и в 12,5% – если у родителей нет аллергии.

Конъюнктивит, который возникает при повышенной, генетически заложенной чувствительности организма к тому или иному аллергену, является наиболее частой локализацией аллергической реакции со стороны органа зрения, составляя до 90% всех аллергозов. Реже встречаются аллергический блефарит, дерматит век, еще более редко – аллергический кератит, ирит, увеит, ретинит, не-

врит. Вместе с тем, конъюнктивит обычно обнаруживается при других аллергических поражениях глаз – блефаритах, дерматитах век, кератитах.

В патогенезе заболевания существует реакция гиперчувствительности. Реакции гиперчувствительности классифицируют на немедленные (развиваются в пределах 30 мин от момента воздействия аллергена) и замедленные (развиваются спустя 24-48 ч или позже после воздействия). Немедленные конъюнктивальные реакции вызываются выбросом в конъюнктиву биологически активных медиаторов из гранул тучных клеток при их активации и дегрануляции.

Тщательное изучение факторов риска, клинических проявлений, особенностей течения и патогенетических моментов развития аллергических поражений глаз позволили бы заметно снизить заболеваемость и разработать эффективные методы лечения этого заболевания.

Цель исследования

Оценка клинической эффективности препарата Паллада в комплексном лечении аллергических конъюнктивитов.

Материал и методы

Под нашим наблюдением находились 30 пациентов, из них 16 мужчин и 24 женщины, в возрасте от 15 до 60 лет (средний возраст 34,6±1,5 года).

Больные были разделены на две группы. 1-ю группу (контрольная) составили 20 больных (40 глаз), которые получали комплексную терапию с применением препарата лекролин (2% 10 мл глазные капли, «Santan») по 1-2 капли 4 раза в день. У 20 пациентов (40 глаз) 2-й группы (основная) в комплексе с комбинированным лечением назначали препарат Паллада (1% 5 мл глазные капли, «World Medicini») по 1 капле 2 раз в день. Все больные прошли

стандартное офтальмологическое обследование; определение уровня иммуноглобулинов в сыворотке крови и слезной жидкости, кожные пробы (прик-тест, скарификационная, скарификационно-аппликационная), элиминационная и экспозиционная пробы.

Результаты

Наши исследования показали, что после лечения препаратом Паллада на фоне общей антигистаминной терапии обострение процесса купировалось у всех 100% больных основной группы, а к 4-й неделе лечения признаки заболевания полностью исчезли у 90,0%. На фоне лечения лекролином признаки аллергического конъюнктивита сохранилось у 5 больных (25,0%). Эти изменения сопровождались уменьшением основных жалоб, характерных для данной патологии. Так, в основной группе покраснения глаз исчезли у половины больных, тогда как в контрольной группе этот показатель не менялся. Явления слезотечения и светобоязни у больных основной группы также полностью проходили на 3-й день лечения. К концу 1-й недели лечения покраснение оставалось лишь у 20% больных основной группы. Чувство зуда у подавляющего большинства (95%) больных этой группы прекращалось на 10-12-й день заболевания. Чувство песка в глазу, связанное с отеком конъюнктивы, проходило на 5-10-й день заболевания у 85,0% больных. В контрольной же группе к концу лечения явления зуда в глазу отмечали у 15,0% больных, а чувство песка в глазу – у 10,0%. Слезотечение наблюдалось у 5,0% больных.

Согласно результатам наших исследований, из числа больных основной группы, получавших в качестве местного лечения препарат Паллада, аллергическим отеком страдали 3 (15,0%), блефароконъюнктивит встречался у 9 (45,0%), фолликулярный конъюнктивит – у 6 (30,0%), сосочковый конъюнктивит – у 2 (10,0%) больных. В группе больных, получавших традиционное лечение, аллергический отек наблюдался у 3 (15,0%), блефароконъюнктивит – 9 (45,0%), фолликулярный конъюнктивит – у 6 (30,0%) и сосочковый конъюнктивит – у 2 (10,0%) больных.

Объективный осмотр показал, что через 2 недели от начала лечения Палладой в основной группе отек конъюнктивы век сохранялся лишь у 15,0% больных, а к концу проводимого курса лечения полностью исчезал. Отек конъюнктивы глазного яблока ко 2-й неделе лечения наблюдался у 20,0% пациентов, а к концу лечения (4-я нед.) полностью исчезал у всех наблюдаемых. Со стороны же конъюнктивы глазного яблока этот признак ко 2-й неделе после начала лечения наблюдался менее чем у половины больных (10,0%), а к концу лечения исчезал полностью у всех обследованных.

По нашим наблюдениям, в этой группе ко 2-й неделе лечения единичные фолликулы не наблюдались вообще. Множественные фолликулы, которые имели место у 20% больных, к концу 2-й неделе лечения сохранялись только у 5,0%, а к концу 4-й недели – у всех пациентов полностью исчезали.

Изучение состояния конъюнктивы век и глазного яблока в процессе лечения препаратом лекролин (1-я гр.) показало, что отек конъюнктивы век, наблюдавшийся у 40% больных, к концу 2-й недели оставался у 25,0% из них, а после проведенного лечения сохранялся у 5,0%. Отек конъюнктивы глазного яблока к концу 2-й недели наблюдался у 5,0% больных, а после проведенного лечения исчезал полностью. Гиперемия конъюнктивы глазного яблока к середине проводимого лечения оставалась у 25,0%, а к концу 4-й недели исчезал полностью. Единичные фолликулы, имевшие место у 25% обследованных, к концу 2-й недели лечения отмечались у 10,0%, а после проведенной традиционной терапии полностью исчезали. Множественные же фолликулы к середине лечения на-

блюдались у 10,0% больных и после проведенной терапии – у 5,0%. К концу 2-й недели лечения единичные сосочки наблюдались у 10,0% больных, а множественные – у 5,0%.

Полученные данные свидетельствуют о сравнительно низкой эффективности данного метода лечения при сосочковом и фолликулярном конъюнктивитах по сравнению с препаратом Паллада.

В ходе лечения Палладой при блефароконъюнктивите отмечалась выраженная положительная динамика патологического процесса. К концу 2-й недели лечения утолщение краев век оставалось у 40,0% больных, гиперемия сохранялась у 30,0%, явления отека век наблюдались только у 15,0%, а шелушение практически прекратилось. К концу лечения утолщение краев век наблюдалось только у 10,0% больных, гиперемия – также у 10,0%, отек и шелушение практически не наблюдалось (табл.1).

Таблица 1

Показатели со стороны век у больных АК через 2 (числитель) и 4 (знаменатель) недели от начала лечения, абс. (%)

Группа	Отек	Гиперемия	Утолщение краев век	Шелушение
До лечения	11/55,0	15/75,0	17/85,0	7/35,0
Контрольная группа	5/25,0 1/5,0*	10/50,0 3/15,0*	12/60,0 4/20,0*	4/20,0 1/5,0*
Основная группа	3/15,0* -	6/30,0* 2/10,0*	8/40,0* 2/10,0*	-

*Примечание. * – p≤0,05 по сравнению с данными до лечения.*

Таким образом, использование препарата Паллада приводило к постепенному купированию патологического процесса в веках у большинства больных, что указывает на патогенетическую обоснованность применяемого метода.

Для изучения состояния иммунитета у больных аллергическими конъюнктивитами в процессе лечения определяли уровень IgE в слезной жидкости. (табл.2). Как показали результаты анализа, изучаемый показатель превышал нормальные величины более чем в 10 раз, составив $0,28\pm0,05$ МЕ/мл против $0,025\pm0,002$ МЕ/мл в норме. До начала лечения у больных выявлена выраженная гиперсенсибилизация организма в целом, и глаза в частности. При этом уровень иммуноглобулинов зависел от формы аллергического поражения глаз, в связи с чем больные были разделены на группы.

Таблица 2

Содержание IgE у больных АК до и после лечения, МЕ/мл

Форма АК	До лечения	После лечения	
		основная группа	контрольная группа
Аллергический отек, n=6	0,11±0,08	0,025±0,04*	0,035±0,05
Блефароконъюнктивит, n=18	0,15±0,09	0,03±0,03*	0,04±0,02
Фолликулярный конъюнктивит, n=12	0,2±0,04	0,045±0,03*	0,098±0,07
Сосочковый конъюнктивит, n=4	0,28±0,06	0,09±0,02*	0,15±0,08

*Примечание. * – p≤0,05 по сравнению с контролем.*

Таким образом, можно заключить, что комплексное лечение аллергических конъюнктивитов с использованием препарата Паллада способствует нормализации содержания иммуноглобулина Е в сыворотке крови, что свидетельствует о снижении повышенной чувствительности организма к различным аллергенам.

Результаты наших исследований показали, что использование препарата Паллада в виде глазных капель в комплексе с антиаллергическими препаратами приводит к выраженному и стойкому снижению явлений аллергического воспаления, выражаящемуся в исчезновении зуда и гиперемии, рассасывании сосочков и фолликулов, что свидетельствует о наступлении ремиссии. Эффективность препарата доказана результатами гистоморфологических и иммунологических исследований, а также специфических аллергологических проб. Использование же схемы лечения лекролин + антигистаминные препараты, хотя и уменьшает клинические проявления аллергических конъюнктивитов, однако не приводит к стойкому и полному блокированию патологического процесса.

Обсуждение

Аллергические конъюнктивиты поражают примерно 15% всего населения и являются важной клинической проблемой практической офтальмологии и аллергологии – так сформулирована значимость аллергической патологии глаз в современном международном руководстве Current oculartheraphy [1,3].

Кортикоステроидные препараты рекомендованы при тяжелом течении АК, отсутствии эффекта от лечения антигистаминными лекарственными средствами в сочетании с мембраностабилизаторами. Кортикостероиды оказывают выраженное противоспалительное, десенсибилизирующее и иммуносупрессивное действие, однако они имеют ряд недостатков, таких как риск развития побочных эффектов местного и характера, особенно при длительном применении [3,4].

Сосудосуживающие и нестериоидные противовоспалительные средства являются вспомогательными в лечении АК.

На сегодняшний день существует потребность в лекарственном средстве, которое обладало бы высокой, пре-восходящей другие препараты противоаллергической эффективностью, влияло на различные механизмы развития аллергической реакции, быстро устранило ее симптомы (зуд, краснота, слезотечение, хемоз, отек век), оказывало минимальное влияние на качество жизни пациента и было безопасным при длительном применении [3,6].

Выводы

1. Препарат Паллада значительно уменьшает проявления аллергических поражений глаз, устранивая гиперемию и отек конъюнктивы, слезотечение, раздражение глаз, зуд и жжение.

2. На 4-й неделе лечения аллергических конъюнктивитов препаратом Паллада на фоне общей противоаллергической терапии эффективно купируют явления аллергического конъюнктивита независимо от причинного фактора и формы заболевания.

Лечебной терапии признаки заболевания полностью исчезли у 90,0% больных.

3. Комплексное лечение аллергических конъюнктивитов с использованием препарата Паллада способствует нормализации содержания иммуноглобулина Е в слезной жидкости у 85,0% больных.

Литература

1. Камилов Ф.Х., Галимова В.У., Газдалиева Л.М. Оксид азота в физиологии и патологии глаза // Пермский мед. журн. – 2005. – Т. 22, №2. – С. 130-137.
2. Камилов Х.М., Файзиева У.С., Гулямова М.Д. Клинико-лабораторные особенности герпес-вирусных микст-инфекций глаза // Клин. офтальмол. – 2005. – Т. 6, №4. – С. 139-143.
3. Майчук Д.Ю. Современные возможности терапевтического лечения аллергических конъюнктивитов // Офтальмология. – 2014. – Т. 11, №2. – С. 19-26.
4. Майчук Ю.Ф. Сезонный поллинозный конъюнктивит – самая распространенная форма глазных аллергозов // Рос. офтальмол. журн. – 2010. – №1. – С. 37-41.
5. Сахнов С.Н., Янченко С.В., Рудашова А.С., Малышев А.В. Фармакотерапия хронического блефарита неинфекционной этиологии // Офтальмология. – 2013. – Т. 10, №3. – С. 75-79.
6. Семесько С.Г., Балашевич Л.И., Беляков Н.А. Антиоксидантная активность глазных капель // Офтальмохирургия и терапия. – 2004. – Т. 4, №4. – С. 43-46.
7. Singla J.P., Parashr Y. Prevalence of allergic rhinitis, allergic conjunctivitis and dermatitis in children with recurrent wheeze // Indian. J. Ophtalmol. – 2009. – Vol. 58, №3. – S. 262.

СРАВНИТЕЛЬНАЯ ОЦЕНКА ЭФФЕКТИВНОСТИ ПРЕПАРАТА ПАЛЛАДА ПРИ ЛЕЧЕНИИ АЛЛЕРГИЧЕСКИХ КОНЪЮНКТИВИТОВ

Кодирова Ш.Р., Нарзикулова К.И., Исламова Ф.К.

Цель: оценка клинической эффективности препарата Паллада в комплексном лечении аллергических конъюнктивитов. **Материал и методы:** под наблюдением были 40 пациентов, которых в зависимости от схемы лечения разделили на две группы. Больные основной группы получали комбинированное лечение с применением препарата Паллада по 1 капли 2 раз в день. **Результат:** у больных основной группы к концу 1-й недели лечения субъективные ощущения больных исчезали, а к концу 2-й недели отступили объективные симптомы заболевания. У пациентов контрольной группы процесс затянулся на 1-2 недели. **Выходы:** глазные капли Паллада на фоне общей противоаллергической терапии эффективно купируют явления аллергического конъюнктивита независимо от причинного фактора и формы заболевания.

Ключевые слова: аллергические конъюнктивиты, лечение, препарат Паллада.

КЛИНИКО-МИКРОБИОЛОГИЧЕСКИЕ ОСОБЕННОСТИ АЛЛЕРГОДЕРМАТОЗОВ В ЗАВИСИМОСТИ ОТ ПОЛОВОЙ ПРИНАДЛЕЖНОСТИ

Мавлянова Ш.З., Тешабаева Д.А., Боймирзаев Н.И.

АЛЛЕРГОДЕРМАТОЗЛАРНИНГ КЛИНИК-МИКРОБИОЛОГИК ХУСУСИЯТЛАРИНИ ЖИНСГА БӨГЛИКЛИГИ

Мавлянова Ш.З., Тешабаева Д.А., Боймирзаев Н.И.

THE CLINICAL AND MICROBIOLOGICAL FEATURES OF ALLERGIC DISEASES ACCORDING TO SEXUAL IDENTITY

Mavlanova Sh.Z., Teshabaeva D.A., Boymirzaev N.I.

Республиканский специализированный научно-практический медицинский центр
дерматологии и венерологии

Мақсад: аллергодерматозларда терининг клиник-микробиологик статусини жинсга бөгликлигини баҳолаш. **Материал ва усуулар:** Умумий гурухда 156та аллергодерматозлар (АлД) билан ҳасталанган беморлар текширилган. Барча bemорларда клиник ва микробиологик таҳлиллар утказилган булиб, стафилококк флорасининг турлари бўйича идентификацияси ва колонизация миқдори аниқланди. **Натижса:** аллергодерматозларда теридаги патологик учоқлардан микробиологик текширувлар натижасида 88,4%да *Staphylococcus spp.* аниқланган. Стафилококкларнинг турлар бўйича идентификация натижасида кўп ҳолларда *Staph. aureus* - 52,8%да усиси кузатилган юқори колонизация даражаси билан $1617,6 \pm 818,4$ КОЕ/см². АлД билан ҳасталанган bemорларда жинсга бөглиликда утказилган текширувлар жараёнида теридаги учоқларда аелларда юқори миқдорда *Staph. aureus* - 58,9%, эркакларда эса 41,1% усган. Шу билан бирга аеллар терисидаги учоқларда юқори фоизда *Staph.epidermidis* - 76,5% хамда *Staph. haemoliticus* - 63,6%ни экилган. Холбуки, эркак bemорларнинг терисидаги патологик элементлар экмасида кўпроқ *Staph. saprophyticus* - 61,5% аниқланган. **Хулоса:** аллергодерматозларда жинсга бөглиликда утказилган клиник-микробиологик текширувлар натижасида ўзига хос узгаришлар аниқланган аел bemорлар терисидаги учоқлардан олинган материалда кўпроқ стафилококк флоранинг усиси кузатилган. Стафилококклар орасида айниқса патоген турлари ташкил қилган ва юқори миқдорда колонизация аниқланган.

Калим сұзлар: аллергодерматозлар, клиника, патогенез, микробиологик текширувлар, стафилококк флора, тери колонизацияси.

Objective: to assess the clinical and microbiological status of the skin in the allergic dermatoses, taking into account sex of the patients. **Material and methods:** there were examined 156 patients with variety of allergic dermatoses (AID). All patients conducted clinical, microbiological trials with definition of specific identification and colonization of staphylococcal flora. **Results:** Microbiological studies of the skin of patients with allergic showed that in 88.4% of cases were sown *Staphylococcus spp.* The analysis of specific identification revealed the most frequent sowing of *Staph. aureus* 52,8% with the raised colonization on average $1617,6 \pm 818,4$ CFU/cm². Results of microbiological studies depending on gender of patients ALD revealed that female persons on skin in the centers of defeat the highest growth of *Staph. aureus* was noted with the rate of 58.9%, whereas in males it shows 41.1%. Also growth of *Staph.epidermidis* and *Staph. haemoliticus* in patients with allergic dermatoses of female was higher than male in comparison (76.5 per cent and 63.6%, respectively). While the planting of *Staph. saprophyticus* in men had a high rate 61.5% in comparison with females is 38.5%. **Conclusions:** clinical and microbiological studies on the skin of patients with allergic dermatoses, taking into account gender revealed certain features of the painting of specific identification of staphylococcal flora with a predominance of pathogenic forms in females and with a high level of colonization of microorganisms.

Key words: allergic dermatoses, clinic, pathogenesis, microbiological study of staphylococcal flora, the colonization of the skin.

Как известно, кожа является органом иммунологической защиты, в котором происходят сложные биохимические и биофизические процессы и который служит естественной и постоянной средой для обитания многочисленных микробов, грибов и вирусов, их экологической пищей [2,3,7,9,10]. Согласно данным литературы, микробиоценоз кожи больных аллергодерматозами характеризуется преимущественно колонизацией представителей стафилококковой флоры [1,4-6]. Нарушение микробиоты кожи при аллергодерматозах протекает на фоне изменений кожных покровов, характеризуется повышением качественного и количественного состава стафилококков, что способствует хронизации патологических процессов [4,7,8-10].

На наш взгляд, особый интерес представляет изучение состояния микробиоты кожи с учетом пола и возраста больных аллергодерматозами, так как известно, что гормональные различия, присущие мужскому и женскому организму, отражаются на структуре и функциях кожи [1,5,6,9]. В частности, у женщин кожа менее тонкая, а подкожной жировой клетчатки больше, чем у мужчин. При этом толщина женской кожи остается неизменной до 50 лет и уменьшается только с

наступлением климактерического периода, в то время как у мужчин толщина кожи плавно уменьшается [4,6,7].

Имеет значение также изменение трансэпидермальной потери воды (ТЭПВ), показателя барьера функции эпидермиса, базальный уровень которой у женщин 18-39 лет меньше, чем у мужчин такого же возраста. При этом величина ТЭПВ у женщин существенно изменяется в течение менструального цикла и достоверно увеличивается в период минимальной эстроген-прогестероновой секреции [2,8].

С возрастом как у мужчин, так и у женщин липидные пластины рогового слоя становятся тоньше, общее содержание липидов уменьшается, при этом снижается скорость восстановления липидных пластов при повреждениях, что нередко сопровождается их неполной reparацией [1,4,5,7]. Однако риск развития воспалительной реакции у женщин при различной патологии, в том числе и при аллергодерматозах, остается более высоким. Таким образом, половые различия ряда морфофункциональных характеристик кожи определяются в разных возрастных периодах и оказывают влияние на развитие колонизации кожи микроорганизмами преимущественно стафилококковой флорой. Это в свою очередь при-

водит к развитию различных специфических патологических процессов при аллергодерматозах [2,4,7,8].

Следует отметить, что в доступной литературе не нашли подробного описания клинико-микробиологического статуса кожи с учетом половых и возрастных особенностей у больных с аллергическими заболеваниями кожи. В то же время знание количественного и качественного состава микробиоты кожи больных аллергодерматозами в зависимости от пола, возраста и локализации имеет существенное значение для раскрытия ряда патогенетических аспектов хронизации и/или частого рецидивирования заболевания, что представляет большой интерес для практической дерматологии.

Цель исследования

Оценка клинико-микробиологического статуса кожи при аллергодерматозах в зависимости от пола больных.

Материал и методы

На базе клиники РСНПМЦДиВ МЗ РУз были обследованы 156 больных различными аллергодерматозами (АлД) в возрасте от 7 до 67 лет. Среди них лиц мужского пола было 67 (42,9%), женского – 89 (57,1%). Контрольную группу составили 36 здоровых лиц сопоставимого возраста.

Исследования проводились по гранту «Иммуногенетические, метаболические и микробиологические маркеры в развитии аллергодерматозов и пути усовершенствования методов их диагностики и терапии» (АДСС 15.19.3) 2015-2017 гг. Диагноз аллергодерматозов устанавливали по МКБ-10 (2000). Микробиологические методы исследования включали почевые материала на среды Эндо, Мюллера – Хентона, солевой агар с маннитом, среду Клегера.

Для статистической обработки результатов применяли программу Statistica V.55A с использованием критерия Шапиро – Уилка (2006).

Результаты и обсуждение

При проведении микробиологических исследований у 138 (88,4%) больных на коже в очагах поражения были высеяны грамположительные хемоорганотропные факультативно-анаэробные бактерии из семейства Mycrococcaceae – *Staphylococcus* spp.

Рост стафилококковой флоры был выявлен при всех нозологиях АлД, в том числе у 59 (42,7%) больных атопическим дерматитом (АД), у 39 (28,2%) – аллергическим дерматитом, у 25 (18,1%) – токсикодермии, у 15 (10,8%) – крапивницей.

При определении видовой принадлежности *Staphylococcus* spp. на коже в очагах поражения высокий рост *Staph. aureus* отмечался у 52,8% обследованных, *Staph. saprophyticus* – у 18,8%, *Staph. haemolyticus* – у 15,9%, *Staph. epidermidis* – у 12,3% (табл. 1).

Таблица 1

Показатель видовой идентификации *Staphylococcus* spp. у больных с различными формами аллергодерматозов, абс. (%)

Группа	<i>Staph. aureus</i>	<i>Staph. epidermidis</i>	<i>Staph. saprophyticus</i>	<i>Staph. haemolyticus</i>
Всего, n=138	73 (52,8)	17 (12,3)	26 (18,8)	22 (15,9)
Контрольная группа, n=36	2 (5,6)	19 (52,8)	14 (38,9)	-

Результаты изучения видовой принадлежности *Staphylococcus* spp. в зависимости от клинической формы АлД представлены в таблице 2.

Таблица 2

Видовая идентификация *Staphylococcus* spp. у больных аллергодерматозами, абс. (%)

Группа	<i>Staph. aureus</i>	<i>Staph. epidermidis</i>	<i>Staph. saprophyticus</i>	<i>Staph. haemolyticus</i>
АлД, n=39	22 (56,4)	7 (17,9)	7 (17,9)	3 (7,7)
АД, n=59	41 (69,5)	4 (6,8)	8 (13,6)	6 (10,2)
Токсикодермия, n=25	6 (24,0)	3 (12,0)	9 (36,0)	7 (28,0)
Крапивница, n=15	4 (26,7)	3 (20,04)	2 (13,3)	6 (40,0)
Контрольная группа, n=36	2 (5,6)	19 (52,8)	14 (38,9)	-

В зависимости от нозологической формы аллергодерматозов видовая идентификация *Staphylococcus* spp. у больных с атопическим дерматитом и аллергодерматитом характеризовалась высоким ростом *Staph. aureus* (соответственно 69,5 и 56,4%).

Особый интерес представляла идентификация стафилококковой флоры на коже больных аллергодерматозами в зависимости от пола.

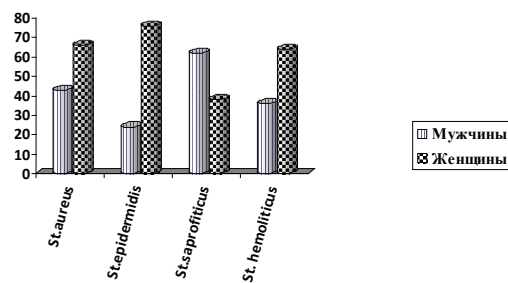


Рисунок. Показатель высеваемости *Staphylococcus* spp. на коже больных АлД в зависимости от пола, %.

Так, среди лиц женского пола *Staph. aureus* высеян у 58,9%, среди пациентов мужского пола – у 41,1%. *Staph. epidermidis*, который обнаружен у 76,5% пациенток, а рост *Staph. haemolyticus* – у 63,6%. В то же время *Staph. saprophyticus* высеян у 61,5% мужчин и у 38,5% женщин (рисунок).

При изучении характера колонизации стафилококковой флоры в зависимости от нозологии было обнаружено, что показатель колонизации *Staph. aureus* был более высоким у больных с АтД и АлД – соответственно $1958,5 \pm 727,3$ и $1770,5 \pm 669,2$ КОЕ/см². Полученные результаты послужили обоснованием для изучения колонизации стафилококковой флоры при различных нозологических формах аллергодерматозов в зависимости от половой принадлежности.

Таблица 3

Колонизация *Staphylococcus* spp. у больных с различными нозологическими формами аллергодерматозов мужского (числитель) и женского (знаменатель) пола, КОЕ/см²

Группа	<i>Staph. aureus</i> , n=73	<i>Staph. epidermidis</i> , n=17	<i>Staph. saprophyticus</i> , n=26	<i>Staph. haemolyticus</i> , n=22
АлД, n=39	$1165,7 \pm 774,8$ 1872,6±616,5*	$184,3 \pm 85,1$ 194,7±99,1*	$187,2 \pm 71,9$ 83,2±48,7*	$23,7 \pm 12,8^*$ 221,2±135,7*
АД, n=59	$1583,2 \pm 599,6$ 1954,3±804,4*	$173,9 \pm 87,3$ 159,3±97,9*	$127,1 \pm 79,3$ 93,3±43,9*	$133,7 \pm 97,3$ 183,1±117,6*
Токсикодермия, n=25	$1377,9 \pm 673,3$ 1803,8±537,1*	$119,1 \pm 117,1^*$	$116,9 \pm 77,1$ 57,3±37,4*	$18,8 \pm 12,7$ 204,7±113,2*
Крапивница, n=15	$983,3 \pm 362,2$ 1687,9±583,2*	$-$	$117,3 \pm 63,9$ 57,7±17,3*	$117,6 \pm 97,5$ 329,5±114,7*
Всего, n=138	$1319,2 \pm 879,4$ 1832,3±664,5*	$135,7 \pm 91,1$ 160,7±99,1*	$97,7 \pm 61,5$ 60,8±22,1*	$153,4 \pm 113,3$ 240,7±155,3*

Примечание. * – p<0,01 по сравнению с показателем обсеменности на коже в очагах поражения у мужчин.

Как видно из таблицы 3, при аллергическом дерматите уровень колонизации *Staph. aureus* у женщин был выше, чем у мужчин. Такая же картина наблюдалась у среди пациентов с АД. При токсикодермии и крапивнице более высокие показатели высыпания *Staph. aureus* также имели место у лиц женского пола. Уровень колонизации *Staph. epidermidis* при аллергическом дерматите у женщин был выше, чем у мужчин. Аналогичные результаты колонизации *Staph. saprophyticus* получены при токсикодермии и крапивнице.

При изучении колонизации *Staph. saprophyticus* среди больных аллергическим дерматитом более высокие показатели обнаружены у лиц мужского пола. При атопическом дерматите колонизация *Staph. saprophyticus* у мужчин также была выше, чем у женщин. При токсикодермии

уровень колонизации *Staph. saprophyticus* у мужчин был выше, чем у женщин. Аналогичные изменения отмечались и при крапивнице: у мужчин уровень колонизации *Staph. saprophyticus* при этой нозологической форме аллергодерматоза был выше, чем у женщин.

Что касается *Staph. haemoliticus*, то высеваемость его у женщин с аллергическим дерматитом была выше, чем у мужчин. Также более высокой была высеваемость *Staph. haemoliticus* у пациенток с атопическим дерматитом. Среди больных токсикодермии и крапивницей этот показатель у женщин был выше, чем у мужчин.

Таким образом, изучение клинико-микробиологических особенностей у больных аллергодерматозами с учетом пола открывает широкие возможности для разработки методов патогенетической терапии.

Выводы

- У 88,4% больных аллергодерматозами высевались грам-положительные хемоорганотропные факультативно-анаэробные бактерии семейства *Mycoscoccaceae* – *Staphylococcus spp*: у пациентов с атопическим дерматитом этот показатель составил 42,7%, аллергическим дерматитом – 28,2%, крапивницей – 10,8%, токсикодермии – 18,1%. По видовой идентификации наиболее часто высевался *Staph. aureus* – у 52,8% с повышенной колонизацией в среднем $1617,6 \pm 818,4$ КОЕ/см².

- У лиц женского пола отмечался более высокий, чем у мужчин рост *Staph. aureus*. Такая же тенденция обнаружена и в отношении *Staph. epidermidis* и *Staph. haemolyticus*. В то же время у мужчин чаще обнаруживались *Staph. saprophyticus*.

Литература

- Глебкова Н.С. Особенности микробиоценозов кожи и кишечника при экземе на фоне *Blastocytis hominis*: Автoref. дис. ... канд. биол. наук. – М., 2007.
- Иванов А.А. Микроэкология кожи человека и её взаимосвязь с иммунным статусом организма // Материалы научно-практической конференции. – М., 2009. – С. 3-11.
- Короткий Н.Г., Тихомиров А.А., Белова А.В. Особенности развития инфекционных процессов и роль бактериальных суперантител в формировании различных клинико-патогенетических вариантов атопического дерматита у детей // Педиатрия. Журн. им. Г.Н. Сперанского. – 2003. – №6. – С. 26-32.
- Мавлянова Ш.З., Тешабаева Д.А., Есионова Е.В. Особенности микробиологической картины биосубстратов больных атопическим дерматитом // Мед. журн. Узбекистана. – 2015. – №5. – С. 41-43.
- Мавлянова Ш.З., Тешабаева Д.А., Эшбаев Э.Х., Разиков А.А. Роль факультативно-анаэробных бактерий из семейства *Mycoscoccaceae*

в клиническом течении атопического дерматита // Актуальные проблемы паразитологии и инфекционной патологии: Тез. докл. Респ. науч.-практ. конф. – Ташкент, 2007. – С. 57-58.

6. Мавлянова Ш.З., Тешабаева Д.А. Роль бактериальной флоры в клиническом течении атопического дерматита // Новости дерматовенерол. и репрод. здоровья. – 2008. – №4. – С. 93-94.

7. Солнцева В.К. и др. Микробиоценоз кожи больных хроническими дерматозами // Журн. микробиол., иммунол. и вирусол. – 2010. – №6. – С. 51-55.

8. Bunikowski R., Mielke M.E., Skarabis H. et al. Evidens for a disease promoting effect of *Staphylococcus aureus* derived exotoxins in atopic dermatitis // J. Allergy Clin. Immunol. – 2008. – Vol. 105, №4. – P. 814-819.

9. Davison S., Allen M., Vaughan R., Barker J. Staphylococcal toxin induced T-cell proliferation in atopic eczema correlates with increased use of superantigen reactive V-beta in cutaneous lymphocyte-associated antigen (CLA)- positive lymphocytes // Clin. Exp. Immunol. – 2000. – №2. – P. 181-186.

10. Paul C., Gruber M., Stuetz A. Ascomycins: Promising agent for the treatment of inflammatory skin diseases // Exp. Opin. Invest. Drugs. – 2000. – №9. – P. 69-77.

КЛИНИКО-МИКРОБИОЛОГИЧЕСКИЕ ОСОБЕННОСТИ АЛЛЕРГОДЕРМАТОЗОВ В ЗАВИСИМОСТИ ОТ ПОЛОВОЙ ПРИНАДЛЕЖНОСТИ

Мавлянова Ш.З., Тешабаева Д.А., Боймираев Н.И.

Цель: оценка клинико-микробиологического статуса кожи при аллергодерматозах с учетом пола больных. **Материал и методы:** под наблюдением были 156 больных различными аллергодерматозами, у которых проводились клинические и микробиологические исследования с определением видовой идентификации и колонизации стафилококковой флоры. **Результаты:** у 88,4% обследованных высевены *Staphylococcus spp*. Анализ видовой идентификации выявил более частую высеваемость *Staph. aureus* (52,8%) с повышенной колонизацией в среднем $1617,6 \pm 818,4$ КОЕ/см². У лиц женского пола на коже в очагах поражения отмечался высокий рост *Staph. aureus*, выше были показатели роста *Staph. epidermidis* и *Staph. haemolyticus*. У мужчин чаще обнаруживались *Staph. saprophyticus*. **Выводы:** знание клинико-микробиологических особенностей у больных аллергодерматозами с учетом пола открывает широкие возможности для разработки методов патогенетической терапии.

Ключевые слова: аллергодерматозы, клиника, патогенез, микробиологические исследования, стафилококковая флора, колонизация кожи.

ИНФОРМАТИВНОСТЬ ЛУЧЕВЫХ МЕТОДОВ В ДИАГНОСТИКЕ ТУБЕРКУЛЕЗНОГО СПОНДИЛИТА, СОЧЕТАННОГО С ТУБЕРКУЛЕЗОМ ЛЕГКИХ И ОСЛОЖНЕННОГО НЕВРОЛОГИЧЕСКИМИ РАССТРОЙСТВАМИ

Махмудова З.П.

ҮПКА СИЛИ ВА НЕВРОЛОГИК БУЗИЛИШЛАР БИЛАН КЕЧАДИГАН ТУБЕРКУЛЕЗЛИ СПОНДИЛИТНИ АНИҚЛАШДА НУР УСУЛЛАРИНИНГ АҲБОРОТЛИГИ

Махмудова З.П.

THE INFORMATIVENESS OF X-RAY METHODS IN DIAGNOSIS OF TUBERCULOSIS SPONDYLITIS ASSOCIATED WITH PULMONARY TUBERCULOSIS AND COMPLICATED BY NEUROLOGICAL DISORDERS

Makhmudova Z.P.

Республиканский специализированный научно-практический медицинский центр
фтизиатрии и пульмонологии им. Ш.Алимов

Мақсад: туберкулезли спондилитни ва спинал ўзгаришларини ташхислашда нур усуллари аҳамиятини таҳлил қилиши.

Материал ва усуслар: касаллик давомийлиги 1 йилдан 3 йилгача бўлган 140 туберкулезли спондилити бўлган беморларнинг касаллик тарихи таҳлил қилинган. **Натижса:** туберкулезли спондилити бўлган bemorларда орқа мия компрессиясини аниқлашда КТ ва МРТ диагностик самарадорлиги 96,1 ва 100% ташкил қилди, МРТ асосан компрессияузунлигини аниқлашда самарали бўлиб, орқа миядаги ўзгаришларни аниқлайдиган ягона қўриш усули ҳисобланади. **Хулоса:** КТ ва МРТни қўйлаш жарроҳлик амалиёти ҳажсмини ва кейинги даволаш тактикасини баҳолашнинг объектив критерийларини аниқлайди.

Калим сўзлар: туберкулезли спондилит, компьютер диагностика, МРТ-диагностика, аҳборотлик.

Objective: To study the role of radial diagnostics in revealing of tuberculous spondylitis and causes of spinal disorders. **Materials and Methods:** We examined the medical history of 140 patients with tuberculous spondylitis with disease duration from 1 year to 3 years. **Results:** In patients with tuberculous spondylitis diagnostic efficiency of CT and MRI in detection of spinal cord compression were respectively 96.1% and 100%, MRI is more effective in determining the extent of compression and is the only method for imaging changes in the spinal cord. **Conclusions:** CT and MRI provide objective criteria for assessing the extent of surgical intervention and determine further treatment tactics.

Key words: tuberculous spondylitis, computer diagnostics, MRI, informativeness.

Костно-суставной туберкулез относится к числу ведущих проблем фтизиатрии. В структуре локализаций костно-суставного туберкулеза туберкулез позвоночника стабильно занимает первое место и составляет 70-75% [2,7,8]. Нарушение опорной функции позвоночного столба, формирование абсцессов, значительная частота неврологических расстройств разной степени выраженности, запаздывание диагностики и адекватного лечения обусловливают тяжесть патологии и высокий уровень инвалидизации больных, которая достигает 40-50%.

Выявление неврологических нарушений, локализации, глубины и распространенности является важной проблемой. Сходство клинико-рентгенологической картины при спондилитах различной этиологии затрудняет диагностику при верификации диагноза [4,5]. В связи с этим актуальность приобретает разработка ранних и своевременных диагностических критериев туберкулезного спондилита с использованием лучевых методов.

Реализация возможностей современной хирургии при туберкулезном спондилите во многом зависит от своеобразной, точной визуализации патологического процесса и правильной оценки результатов оперативного вмешательства [1,4,5]. До настоящего времени оценка эффективности хирургического лечения туберкулеза позвоночника проводилась рентгенологическим методом, который не дает полной картины регенерации костной ткани и трансплантата, не выявляет изменения в спинном мозге и его оболочках, являющихся причиной спинномозговых расстройств после операции [1,8].

В последние десятилетия в выявлении причин спинальных расстройств различного генеза существенно возросла

роль лучевой диагностики. Разработаны методы контрастирования субарахноидального пространства позитивными водорастворимыми средствами (йодексол и др.) – контрастная миелография (КМГ). Появление магнитно-резонансной томографии (МРТ) и компьютерной томографии (КТ) открыло новые возможности в диагностике осложненных и неосложненных форм туберкулезного спондилита.

Цель исследования

Изучение роли лучевой диагностики в выявлении туберкулезного спондилита и причин спинальных нарушений.

Материал и методы

Проанализированы истории болезни 140 больных с туберкулезным спондилитом, лечившихся в костно-суставном отделении РСНПМЦ фтизиатрии и пульмонологии. Большинство пациентов были в возрасте от 18 до 55 лет, мужчин было 80 (57,1%), женщин – 60 (42,9%). Давность патологического процесса в позвоночнике до 1-го года была у 68 (48,6%) больных, от 1-го года до 2-х лет – у 36 (25,7%), от 2-х до 3-х лет – у 19 (13,6%), более 3-х лет – у 17 (12,1%). Диагноз «туберкулезный спондилит» у 132 (94,3%) больных подтвержден гистологически и бактериологически; у остальных 8 (5,7%) больных – на основании результатов клинико-рентгенолабораторных исследований [6]. Лучевое исследование включало рентгенографию в сагиттальной и фронтальной проекциях и МРТ. Данные МРТ сопоставлялись с результатами рентгенографии. КТ выполняли по показаниям для дифференциальной диагностики в спорных случаях.

Неврологический статус больных оценивался в клинике при осмотрах невропатологов в динамике до и после оперативного лечения. Для оценки степени тяжести неврологических расстройств использовалась классифика-

ция H.L. Frankel (1969) [4]. Цифровой материал обработан методом вариационной статистики.

Результаты и обсуждение

В результате проведенных исследований туберкулезное поражение грудного отдела выявлено у 31 (22,1%) обследованного, грудопоясничного отдела – у 25 (17,9%), поясничного отдела – у 48 (34,3%), пояснично-крестцового отдела – у 18 (12,9%), крестцового отдела – у 18 (12,9%). Анализ объема поражения позвонков показал, что поражение специфическим процессом 2-х позвонков имелось у 30 (21,4%) пациентов, 3-х позвонков – у 51 (36,4%), от 4-х до 6 – у 53 (37,9%), более 6 – у 6 (4,3%). В дооперационном периоде наблюдения у 125 (89,3%) пациентов установлены паравертебральные, пресакральные, эпидуральные, псоас-абсцессы и свищи, нередко в большом количестве.

Что касается болевых симптомов, то наиболее частым и давним симптомом была боль в состоянии покоя, на которую жаловались 75 (53,6%) больных, боль при нагрузке – у 140 (100%), ограничение подвижности – у 72 (51,4%). Тотальный резко выраженный болевой синдром наблюдался у 23 обследованных, боль в области пораженных туберкулезом позвоночника – у 69, опоясывающие боли по межреберьям – у 27, корешковые боли с иррадиацией в нижние конечности – у 16, боли в эпигастрии и правом подреберье – у 38.

Нестабильность позвоночника обнаружена у 56 больных. Легкий спастический парапарез отмечался у 47 (33,6%) пациентов, средний спастический парапарез – у 35 (25,0%), глубокий – у 16 (11,4%), спастическая параплегия – у 19 (13,6%), вялая параплегия – у 9 (6,4%), смешанный тип спинномозговых расстройств 14 (10,0%).

У 132 (94,3%) больных выполнены операции радиально-восстановительного характера. Костная пластика в области основного процесса произведена у всех оперированных больных. При этом у 56 (42,4%) пациентов использованы трансплантаты, взятые из ребра (от 2-х до 4-х фрагментов), у 70 (53,0%) – из гребня подвздошной кости и у 6 (4,5%) – из малоберцовой кости.

Анализ диагностической значимости рентгенологических исследований, проведенных у 40 (28,6%) пациентов, направленных в фтизиоортопедическое отделение из хирургических отделений общей лечебной сети после выполнения различных по объему хирургических операций, показал, что рентгенологическая диагностика была ошибочной. На наш взгляд, это было связано со стертостью клинической картины и длительным лечением у этих больных (от 1-го года до 5 лет) по поводу заболеваний нетуберкулезной этиологии.

Анализ полученного нами материала показал, что процент ошибочной трактовки результатов лучевого обследования туберкулезного спондилита на начальных этапах все еще велик, преобладает поздняя диагностика туберкулезного спондилита. У 96,0% больных процесс был выявлен в период разгара спондилитической фазы, у 33,0% – на фоне развившихся неврологических расстройств. Наиболее часто в процесс были вовлечены от 2-х до 6 позвонков. Инфильтрация в позвоночном канале рентгенологически выявлена у 45 (32,1%) больных. На рентгенограммах абсцессы хорошо визуализировались в грудном отделе позвоночника, где они видны на фоне воздушной легочной ткани. Забрюшинные абсцессы обнаруживались по косвенному признаку расширения контуров m. iliopsoas major, которые достигали значительных размеров. Невозможно было увидеть абсцесс мягких тканей спины и небольшие паравертебральные абсцессы в поясничном отделе позвоночника.

Контуры абсцессов и их соотношения с окружающими органами на рентгенограммах удавалось определить

лишь в 55% случаев. В 86 и 92% случаев при проведении КТ и МРТ в равной степени хорошо выявлялись абсцессы, их камеры, соотношения с позвонками и окружающими органами и тканями, особенно после внутреннего контрастирования. На ранней стадии формирования абсцесса отмечалась инфильтрация жировой прослойки вокруг тела позвонка. Преимущество МРТ перед КТ заключалось в возможности многопроекционного исследования, которое позволяло выявить соотношения абсцессов не только с окружающими тканями, но и связь их между собой. Комплексная оценка изменений костной структуры, выявляемых на рентгенограммах и КТ, и патологических изменений сигнала на МРТ, давала представление о морфологических изменениях в позвоночнике и фазе туберкулезного спондилита.

Наиболее ранним рентгенологическим симптомом спондилитической фазы туберкулезного спондилита является снижение высоты межпозвонкового диска. Его можно выявить только с помощью цифрового рентгена. В отдельных случаях обнаруживаются очаги деструкции костной ткани с нечеткими, неровными контурами, содержащие несколько мелких секвестров, которые в наших исследованиях четко выявлялись при КТ высокого разрешения. Согласно данным литературы [1,3,5], нарастание деструктивных изменений в телах позвонков приводит к их компрессионному перелому. В наших наблюдениях натечные абсцессы, которые были частыми спутниками туберкулезного спондилита, при рентгенографии и КТ обнаружены соответственно у 32,7 и 80% больных туберкулезным спондилитом. Если на рентгенограммах тень натечного абсцесса характеризовалась гомогенной структурой с неровными краями, то при КТ – четкими наружными контурами, располагающимися с двух сторон от позвоночника.

Выводы

1. Использование КТ и МРТ открывает новые возможности в диагностике туберкулезного спондилита, они высокоэффективны в выявлении компрессии спинного мозга у больных туберкулезным спондилитом. Диагностическая эффективность КТ и МРТ составляет соответственно 96,1 и 100%.
2. МРТ более эффективна в определении протяженности компрессии (100%) и является единственным методом визуализации изменений в спинном мозге.
3. КТ и МРТ позволяют получить объективные критерии для оценки объема хирургического вмешательства в дооперационном периоде и выбора дальнейшей тактики во время хирургического вмешательства и дальнейшего лечения.

Литература

1. Корнев П.Г. Вопросы хирургического туберкулеза и костно-суставных заболеваний (выдержки из опубликованного) // Пробл. туб. и бол. легких. – 2006. – №11. – С. 55-56.
2. Кульчавеня Е.В. Клинико-эпидемиологические особенности современного туберкулезногого спондилита // Туб. и бол. легких. – 2013. – №1. – С. 41-45.
3. Роднова И.Г. Магнитная стимуляция спинного мозга в комплексном послеоперационном лечении неврологических нарушений у больных туберкулезом и остеомиелитом позвоночника: Дис ... канд. мед. наук. – СПб, 2010. – 132 с.
4. Смердин С.В. Возможности лучевой диагностики туберкулезного спондилита // Туб. и бол. легких. – 2014. – №7. – С. 65-70.
5. Советова Н.А. Туберкулезный спондилит у взрослых (клинико-лучевые проявления) // Туб. и бол. легких. – 2014. – №2. – С. 10-14.
6. Delogu G. et al. Microbiological and immunological diagnosis of tuberculous spondylodiscitis // Europ. Rev. Med. Pharmacol. Sci. – 2012. – Vol. 16, Suppl. 2. – P.73-78.
7. Tiksnaid B. et al. The NRAMP1 polymorphism as a risk factor for tuberculous spondylitis // Malays Orthop. J. – 2013. – Vol. 7, №1. – P. 25-29.
8. Vatutina V.V. et al. Tuberculosis of respiratory organs concomitant with tuberculosis of bones and joints in young children // Probl.

Tuberk. Bolezn. Legk. – 2003. – Vol. 5. – P. 31-33.

**ИНФОРМАТИВНОСТЬ ЛУЧЕВЫХ МЕТОДОВ В ДИАГНОСТИКЕ
ТУБЕРКУЛЕЗНОГО СПОНДИЛИТА, ОСЛОЖНЕННОГО
НЕВРОЛОГИЧЕСКИМИ РАССТРОЙСТВАМИ И СОЧЕТАННОГО
С ТУБЕРКУЛЕЗОМ ЛЕГКИХ**

Махмудова З.П.

Цель: изучение роли лучевой диагностики в выявлении туберкулезного спондилита и причин спинальных нарушений.

Материал и методы: проанализированы истории болезни 140 больных с туберкулезным спондилитом с давностью заболевания от 1-го года до 3-х лет. **Результаты:** у больных

туберкулезным спондилитом диагностическая эффективность КТ и МРТ в выявлении компрессии спинного мозга составила соответственно 96,1 и 100%, МРТ более эффективна в определении протяженности компрессии и является единственным методом визуализации изменений в спинном мозге. **Выводы:** КТ и МРТ позволяют получить объективные критерии для оценки объема хирургического вмешательства и определения дальнейшей лечебной тактики.

Ключевые слова: туберкулезный спондилит, компьютерная диагностика, МРТ-диагностика, информативность.

СРАВНИТЕЛЬНАЯ ОЦЕНКА ЭФФЕКТИВНОСТИ АНТИБАКТЕРИАЛЬНЫХ ПРЕПАРАТОВ ЛЕВОКСИМЕД И ТОБРАМИЦИН В ПРОФИЛАКТИКЕ ПОСЛЕОПЕРАЦИОННЫХ ОСЛОЖНЕНИЙ ПРИ ЭКСТРАКАПСУЛЯРНОЙ ЭКСТРАКЦИИ КАТАРАКТЫ

Миррахимова С.Ш., Нигматжанова Н.Б.

КАТАРАКТА ЭКСТРАКАПСУЛЯР ЭКСТРАКЦИЯСИ АМАЛИЁТИДАН КЕЙИНГИ АСОРАТЛАР ПРОФИЛАКТИКАСИДА ЛЕВОКСИМЕД ВА ТОБРАМИЦИН АНТИБАКТЕРИАЛ ПРЕПАРАТЛАРИНИ ЭФФЕКТИВЛИГИНИ ҚИЁСИЙ БАҲОЛАШ

Миррахимова С.Ш., Нигматжанова Н.Б.

COMPARATIVE EVALUATION OF EFFECTIVENESS OF ANTIBACTERIAL DRUGS LEVOXIMED AND TOBRAMYCIN, IN PREVENTION OF EXTRACAPSULAR CATARACT EXTRACTION POSTOPERATIVE COMPLICATIONS

Mirraximova S.Sh., Nigmatjanova N.B.

Ташкентская медицинская академия

Мақсад: ЭЭК амалиётидан кейинги асоратлар профилактикаси мақсадида қўлланилган левоксимед ва тобрамицин препаратларининг самарадорлигини баҳолаш. **Материал ва усуллар:** татқиқотга турли етилиш даражали ва этиологияли 24 та бемор (24та қўз) 50 дан 80 ёшгача бўлган bemorлар киритилган. 12 bemор антибактериал препарати 0,3% тобрамицин эритмасини (тобрекс, Alcon-Couvreur) қабул қилган, қолган 12 bemорга 0,5% левофлоксацин (Левоксимед World Medicine) препарати қўлланилган. **Натижса:** биринчи тартиб билан левоксимед томчиси ишлатилган bemорларда бир соатли инстилляциядан сўнг конъюнктив микрофлорасини статистик ишонарли камайиши кузатилган. Жарроҳлик амалиётидан олдин тобрекс препаратини инстилляцияси ўтказилган bemорларда микрофлоранинг камайиши сезиларни даражада бўлмаган. **Хуолоса:** профилактика мақсадида бир соатли схема қўлланилганда левоксимид препарати кучли анти микроб хусусиятини намойиш қилган, икки қунлик схемада қўлланилганда иккала препаратлар бир хил таъсир кўрсатган.

Калим сўзлар: катарактани экстракапсули экстракцияси, тобрамицин, левоксимед, қиёсий самарадорлик.

Purpose: clinical-laboratory evaluation of effectiveness of antibacterial drugs Levoximed and Tobramycin, in prevention of ECCE (extracapsular cataract extraction) postoperative complications. **Materials and methods:** 24 patients (24 eyes) have been under our medical observation with various degrees of cataract maturity and etiology. The age range of patients under our medical observation was between 50 and 80 years. The patients were divided into two homogeneous groups: Group-I (control group) - 12 patients received antibiotic therapy with 0.5% of the drug tobramycin 0.3% solution (tobreks, Alcon-Couvreur), Group-II (main group) -12 patients were prescribed antibiotic therapy with the drug solution of 0.5% levofloxacin (Levoximed World Medicine). **Results:** patients who instilled antibacterial eye drops Levoximed according to the first scheme, experienced statistically significant reduction in the conjunctivalmicroflora, in only one hour medicine instillation, from 55% to 20%. In the group of patients who instilled tobramycin before surgery, microflora decreased insignificantly, from 42% to 30%. Two-day course of antibiotic prophylaxis showed a significant reduction of the conjunctivalmicroflora, which occurred in all groups. **Conclusion:** 1. Prescription of local antimicrobials, significantly inhibits bacterial flora of the conjunctiva. 2. On the one hand, during the application of one-hour prevention scheme, Levoximed had the greatest antimicrobial effect, and on the other hand, during two-day scheme, both.

Несмотря на значительный выбор антибактериальных препаратов, применяемых в офтальмологии местно, адекватная антибиотикотерапия в офтальмохирургии остаётся актуальной проблемой. Отсутствие рациональной и своевременной терапии приводит к послеоперационным осложнениям (ирит, иридоциклит,uveит) с возможным значительным снижением зрения или потерь органа. По данным литературы [1,3,5], частота возникновения послеоперационного эндофталмита колеблется в пределах 0,05-1,77%, а частота увеитов достигает 13%.

Наиболее часто послеоперационные осложнения вызываются микрофлорой век и конъюнктивы, которые не являются стерильными. При отсутствии профилактической санации конъюнктивальной полости с использованием антибактериальных препаратов потенциальные возбудители инфекции обнаруживаются на конъюнктиве в 47-78%, а на коже век – в 100% случаев [2,6].

По данным отечественных и зарубежных авторов, в составе бактериальной микрофлоры конъюнктивы взрослых основная доля, до 90%, приходится на грамположительные микроорганизмы, в том числе 55-78% составляют стафилококки: Staph. epidermidis, Staph. hominis,

Staph. saprophyticus, Staph. capitis, Staph. intermedius, Staph. warneri, Staph. lugdunensis и др. Staph. aureus обнаруживается у 5-26% пациентов, штаммы Sreptococcus spp. – у 2%. Значительный удельный вес принадлежит микроорганизмам рода Propionibacterium spp. – 31-47%, реже встречаются коринебактерии – в 4-6%, грамотрицательная флора – в 6-11% и грибы – в 4-6% [2,4]. Данные микроорганизмы, попадая во внутрглазные структуры при выполнении разреза и/или имплантации интраокулярной линзы (ИОЛ), могут обусловить риск возникновения послеоперационных осложнений [1].

Есть мнение, что для минимизации риска развития инфекционных осложнений, помимо соблюдения правил асептики и антисептики, необходимо назначение антибактериальных глазных капель до, во время и после операции. А одним из критериев оценки эффективности методов профилактики могут служить бактериологические исследования конъюнктивы и/или содержимого передней камеры [3,6].

Ряд исследователей предлагают применять капельные формы антибактериальных препаратов в день операции, в то время как другие авторы отмечают более вы-

сокую эффективность длительного (в течение 2-3-х дней) назначения антимикробных препаратов [3,6].

Таким образом, в настоящее время в офтальмологии отсутствует единое мнение не только о кратности применения, но и о выборе группы антимикробных препаратов.

В связи с этим наше внимание привлекли препараты левоксимед (левофлоксацин 0,5%) и тобрамицин. Левоксимед – антибиотик группы фторхинолонов III поколения, противомикробное бактерицидное средство широкого спектра действия. Тобрамицин – бактерицидный антибиотик широкого спектра действия группы аминогликозидов.

Цель исследования

Изучение эффективности местного применения антибактериальных препаратов левоксимед и тобрамицин в профилактике послеоперационных осложнений при экстракапсулярной экстракции катаракты (ЭЭК).

Материал и методы

Под нашим наблюдением находились 24 пациента (24 глаза) с катарактой различной степени зрелости и этиологии в возрасте от 50 до 80 лет. Больные были разделены на две группы. 12 пациентов 1-й группы, которая была контрольной, получали антибактериальную терапию с применением препарата 0,3% раствор тобрамицина (тобрекс, Alcon-Couveur). 12 больных основной группы была назначена антибактериальная терапия с применением препарата 0,5% раствора левофлоксацина (левоксимед World Medicine).

Всем пациентам была выполнена операция ЭЭК с имплантацией ИОЛ. До оперативного вмешательства больные закапывали антимикробные глазные капли по двум схемам: в 1-й группе 5 раз в течение часа в день операции, второй – 4 раза в день за 2 дня до операции и 5 раз в течение часа в день операции. Микробиологические исследования содержимого конъюнктивальной полости у всех пациентов проводились перед операцией (посев 1), после курса антибиотикопрофилактики (посев 2) и сразу после окончания операции (посев 3).

Статистическая обработка результатов исследования осуществлялась с помощью пакета прикладных программ Excel 6,0 и программного обеспечения Microsoft Office XP (критерий χ^2).

Результаты

При микробиологическом исследовании содержимого конъюнктивальной полости у 10 (42%) больных до операции были обнаружены различные виды резидентной микрофлоры, при этом на слизистой конъюнктивы преобладали дифтероиды, а также грамположительные анаэробные палочки и штаммы стрептококков. Роль золотистого стафилококка и грамотрицательных палочек оказалась несущественной. Внутригрупповых различий по видовому составу микрофлоры не установлено ($p>0,05$).

У пациентов, которым закапывали антибактериальные глазные капли левоксимед по первой схеме, отмечалось статистически значимое уменьшение количества конъюнктивальной микрофлоры уже после одн часовых инстилляций препарата с 55 до 20% ($p=0,001$). У больных, которым инстилировали тобрекс до операции, выявлено незначительное уменьшение микрофлоры – с 42 до 30% ($p>0,05$). Использование двухдневного курса антибиотикопрофилактики показало существенное уменьшение количества микрофлоры конъюнктивы, которое имело место в обеих группах ($p<0,001$).

Таблица

Индекс тяжести воспаления у больных после операции, $M \pm m$

Группа больных	Индекс тяжести воспаления, балл			
	кол-во глаз	1-й день лечения	3-й день лечения	7-й день лечения
Контрольная	12	10,6±1,4	5,4±0,5	1,8±0,4
Основная	12	6,4±1,2*	2,6±0,7*	0,3±0,1*

Примечание. * – $p<0,05$ по сравнению с контролем.

Послеоперационный период у всех пациентов протекал спокойно. Инфекционных осложнений и аллергических реакций не отмечалось. Необходимости в инъекциях ни у одного больного не возникло, (табл.1).

Обсуждение

По данным Endophthalmitis Vitrectomy Study, возбудителями эндофталмитов в США в 75-95% случаев являются грамположительные кокки. Все названные микроорганизмы представляют потенциальную опасность, так как, попадая во внутрглазные структуры, могут вызывать послеоперационные осложнения [4,5].

Особенно опасна травма эндотелия роговицы – нерегенерирующего слоя клеток, обеспечивающих транспорт жидкости и метаболитов в роговицу и из роговицы. Повреждение эндотелия неизбежно. Вопрос лишь в том, какая часть эндотелиальных клеток погибнет в ходе операции. От этого в значительной степени зависит особенность развития воспалительной реакции в ткани роговицы. Не исключено отрицательное действие лекарственных средств, применяемых в ходе операции, например, лидокаина, алкаина, сульфацила натрия, мезатона и др. [4].

Названные факторы имеют значение при простой экстракции катаракты. Имплантация ИОЛ оказывает дополнительное влияние на ткани глаза. Само введение ИОЛ в полость глаза обуславливает разрушение значительной части эндотелиальных клеток роговицы механическим путем. Это обстоятельство побудило офтальмологов искать пути снижения травматичности. Для заполнения передней камеры были предложены хеалон и подобные ему средства. Травма эндотелия уменьшилась, но полностью не ликвидирована [6].

Критериями выбора антибиотиков местного применения для профилактики послеоперационного воспаления являются бактерицидное действие, высокая способность проникать во влагу передней камеры, широкий спектр действия, низкая токсичность, а также удобство использования [2].

Выходы

1. Назначение местных антимикробных препаратов существенно подавляет бактериальную микрофлору конъюнктивы.

2. При использовании одночасовой схемы профилактики наибольшим антимикробным эффектом обладал левоксимед, а при двухдневной схеме оба два препарата действовали с равной эффективностью.

Литература

1. Воронцова Т.Н., Бржеский В.В., Михайлова М.В. Чувствительность и резистентность к антибактериальным препаратам микрофлоры конъюнктивальной полости у детей // Офтальмология. – 2012. – Т. 9, №1. – С. 83-91.

2. Ковалевская М.А., Ведринцева Н.В., Филина Л.А., Перова А.Ю. Прогнозирование, профилактика и лечение послеоперационных осложнений хирургии диабетической катаракты // Офтальмология. – 2015. – Т. 12, №2. – С. 60-66.

3. Стебнев С.Д. Опыт использования лекарственного препарата Окомистин в пред- и послеоперационном периоде у пациентов с катарактой // Офтальмология. – 2013. – Т. 10, №1. – С. 67-70.

4. Lofoco G., Quercioli P., Ciucci F. et al. Fusidic acid vs ofloxacin prophylaxis before cataract surgery // Europ. J. Ophthalmol. – 2005. – Vol. 15, №6. – P. 718-721.

5. Sandvig K.U., Dannevig L. Postoperative endophthalmitis: Establishment and results of a national registry // J. Cataract. Refract. Surg. – 2003. – Vol. 29. – P. 1273-1280.

6. Wallin T., Parker J., Jin Y. et al. Cohort study of 27 cases of endophthalmitis on a single institution // J. Cataract Refract. Surg. – 2005. – Vol. 31. – P. 735-741.

**СРАВНИТЕЛЬНАЯ ОЦЕНКА ЭФФЕКТИВНОСТИ
АНТИБАКТЕРИАЛЬНЫХ ПРЕПАРАТОВ ЛЕВОКСИМЕД И
ТОБРАМИЦИН В ПРОФИЛАКТИКЕ ПОСЛЕОПЕРАЦИОННЫХ
ОСЛОЖНЕНИЙ ПРИ ЭКСТРАКАПСУЛЯРНОЙ ЭКСТРАКЦИИ
КАТАРАКТЫ**

Миррахимова С.Ш., Нигматжанова Н.Б.

Цель: изучение эффективности местного применения антибактериальных препаратов левоксимед и тобрамицина в профилактике послеоперационных осложнений при ЭЭК. **Материалы и методы:** в исследование включены 24 пациента (24 глаза) с катарактой различной степени зрелости и этиологии в возрасте от 50 до 80 лет. 12 больных получали антибактериальную терапию с применением препарата 0,3% раствор тобрамицина (тобрекс, Alcon-Couvreur), 12 больных была назначена антибактериаль-

ная терапия с применением препарата 0,5% раствор левофлоксацина (левоксимед World Medicine). **Результаты:** у пациентов, которым закапывали антибактериальные глазные капли левоксимед по первой схеме, отмечалось статистически значимое уменьшение количества конъюнктивальной микрофлоры уже после одночасовых инстилляций препарата. У больных, инстилировали тобрекс до операции, выявлено незначительное сокращение микрофлоры. **Выводы:** при использовании одночасовой схемы профилактики наибольшим антимикробным эффектом обладал левоксимед, а при двухдневной схеме оба препарата действуют с равной эффективностью.

Ключевые слова: экстракапсулярная экстракция катаракты, тобрамицин, левоксимед, сравнительная эффективность.

КЛИНИЧЕСКИЕ ОСОБЕННОСТИ И ХАРАКТЕР ТЕЧЕНИЯ ПНЕВМОЦИСТНОЙ ПНЕВМОНИИ В СОЧЕТАНИИ С ОРОФАРЕНГИАЛЬНЫМ КАНДИДОЗОМ У ПАЦИЕНТОВ С ВИЧ-ИНФЕКЦИЕЙ

Мустафаева Д.А., Атабеков Н.С., Аслонов М.Н.

ОИВ БИЛАН КАСАЛЛАНГАН БЕМОРЛАРДА ОРОФАРИНГЕАЛ КАНДИДОЗ КОМБИНАЦИЯСИ БИЛАН ПНЕВМОЦИСТАЛИ ЗОТИЛЖАМ КАСАЛЛИГИНИНГ КЛИНИК ХУСУСИЯТЛАРИ ВА БЕЛГИЛАРИ

Мустафаева Д.А., Атабеков Н.С., Аслонов М.Н.

CLINICAL FEATURES AND CHARACTER OF THE FLOW OF PNEUMOCYSTIC PNEUMONIA ASSOCIATED WITH OROPHARYNGEAL CANDIDIASIS IN PATIENTS WITH HIV INFECTION

Mustafayeva D.A., Atabekov N.S. Aslonov M.N.

Республиканский центр по борьбе со СПИДом

Мақсад: ОИВ билан касалланган bemорларда пневмоцистали зотилжамни хусусиятларини анықлашып, ташхис дағулашын мұвоғиқлаштириши ва сифатини яхшилаштырып, жаңа мәдениеттік критерийлердің орталығын түзуден шынайы болады. **Материал ва усуулар:** күзатувымыздың давомыда 18 ёшдан 57 ёшгача 47 та бемор текширудан ўтқазылды. **Натижә:** пневмоцистали зотилжам ташхисини құйыш клиник күренишлар ва лейкоциттарни, CD3+, CD4+, CD8+ даражасын анықлашып, асосланған. **Хулоса:** клиник ташхис мәжъзонарни ва орофарингиал кандидоз комбинациясы билан пневмоцистали зотилжам касаллигининг оғып кечиши анықланды.

Калит сүзләр: ОИВ инфекцияси, пневмоцистали зотилжам, орофарингеал кандидоз, моноинфекция

The study of pneumocystis pneumonia in patients with HIV infection like monoinfection combining it with other secondary destruction.

Purpose of the study: defining features of Pneumocystis pneumonia in HIV-infected patients to improve the quality of diagnosis and treatment optimization. **Material and methods:** we observed 47 patients in aged 18 to 57 years. **Results and discussion:** PCP is based on the identification of the characteristic clinical picture, as well as the level of white blood cells, CD3 +, CD4 +, CD8 +. **Conclusions:** we identified criteria for clinical diagnosis, as well as revealed heavy for PCP in the group combined with oropharyngeal candidiasis.

Keywords: HIV, Pneumocystis pneumonia (PCP), oropharyngeal candidiasis, monoinfection.

Согласно данным литературы [1,2], легкие поражаются у 25-60% ВИЧ-инфицированных лиц. Пневмония различного генеза – самое распространенное оппортунистическое заболеванием у этих больных. По мере усугубления иммунодефицита риск ее развития возрастает, что значительно ухудшает долгосрочный прогноз. Поэтому пневмония, возникающая чаще одного раза в год, считается СПИД-индикаторным заболеванием [3,5].

Однако ввиду отсутствия у врачей настороженности в отношении ВИЧ-инфекции диагностика иммунодефицитных пневмоний весьма затруднительна. Пациенты, страдающие пневмонией, с момента обращения и до выявления истинной природы заболевания вынуждены проходить широкий круг диагностических мероприятий с целью исключения разнообразной патологии, что приводит к ухудшению их состояния и нередко к неблагоприятному исходу [4,6]. В структуре иммунодефицитных пневмоний ВИЧ-инфицированных пневмоцистная инфекция является наиболее распространенным заболеванием, с которым приходится сталкиваться медработникам. Пневмоцистная пневмония, вызываемая *Pneumocystiscarini*ii/jirovecii – оппортунистическая инфекция у больных с иммунодефицитом, способная к генерализации [1,2]. Число больных такой пневмонией составляет от 5,6 до 8,5% всех госпитализируемых больных с диагнозом СПИД [7,8].

Риск клинических проявлений пневмоцистной пневмонии особенно высок, когда число лимфоцитов CD4 ниже 200 (мкл в степени -1). У больных с ВИЧ размножение в альвеолах *P. carinii/jirovecii* часто происходит в составе смешанной инфекции (бактериальная флора, грибы), что создает патоморфологическую картину пневмоцистоза [1]. В связи с вышеизложенным актуальность представляет изучение особенностей пневмоцистной пневмонии у больных с ВИЧ-инфекцией как в моноинфекции, так при сочетании ее с другими вторичными поражениями, разработка критериев клинической диагностики и поиски надежных лабораторных методов подтверждения диагноза.

Цель исследования

Определение клинических и лабораторных особенностей пневмоцистной пневмонии у больных ВИЧ-инфекцией для улучшения качества диагностики и оптимизации лечения.

Материал и методы

Под нашим наблюдением находились 47 пациентов, госпитализированных в специализированную инфекционную больницу при Республиканском центре по борьбе со СПИД, в возрасте от 18 до 57 лет. Среди обследованных больных было 23 мужчины и 14 женщин. Всем пациентам, наряду со стандартными исследованиями (общий анализ крови, мокроты, рентгенография легких, КТ), проводились иммunoлогические, вирусологические, культуральные исследования, консультации специалистов центра СПИД. Лечение проводилось в соответствии с национальными рекомендациями по лечению. После обследования в зависимости от количества CD4-клеток в периферической крови и сопутствующих оппортунистических заболеваний (орофарингиальные микозы) пациенты были разделены на 2 группы. В 1-ю группу были включены пациенты, у которых диагностирована только пневмоцистная пневмония, во 2-ю группу вошли больные с пневмоцистной пневмонией в сочетании с орофарингиальным кандидозом.

В 1-й группе у 19 человек (13 мужчин, 6 женщин) количество CD4-клеток было меньше 200 кл/мкл. Во 2-й группе количество CD4-клеток менее 200кл/мкл было у 28 человек, из них 17 мужчин и 11 женщин.

Результаты и обсуждение

Развитие пневмоцистной пневмонии у ВИЧ-инфицированных больных в обеих группах началось с появления общей слабости, повышения температуры тела, которое сопровождалось ознобом у 18, повышенной потливостью у 13. Тяжелее всего протекала пневмоцистная пневмония у больных 2-й группы. У этих больных фебрильная температура сохранялась в течение 3,4±2,5 дня, тяжелая дыхательная недостаточность определялась в те-

КЛИНИЧЕСКИЕ ОСОБЕННОСТИ И ХАРАКТЕР ТЕЧЕНИЯ ПНЕВМОЦИСТНОЙ ПНЕВМОНИИ В...

чение $4,1 \pm 2,3$ дня, отмечались гипотония, дефицит массы тела, длительная астенизация. Пациенты жаловались на боли и чувство застревания пищи и таблеток при глотании, в связи с чем возникали проблемы с приемом таблетированных лекарственных форм препаратов.

У пациентов этой группы самыми частыми сопутствующими заболеваниями были тяжелая анемия ($14,3 \pm 3,9$). У больных 1-й группы наблюдалась субфебрильная температура, которая в последующем либо повышалась до фебрильных цифр, либо оставалась субфебрильной в течение $2,3 \pm 1,7$ дня. Присоединяющийся непродуктивный, навязчивый кашель у больных обеих групп сохранялся в течение нескольких недель ($18,2 \pm 5,5$) или месяцев ($4,2 \pm 3,1$). Одышка – наиболее ранний симптом пневмоцистной пневмонии – наблюдалась у всех. При аусcultации легких на фоне ослабленного везикулярного дыхания сухие хрипы выслушивались у 9 (22%) у больных 1-й группы, крепитирующие – у 17 (41%), у 15 (37%) пациентов никаких отклонений от нормы при аускультации не выявлено.

Во 2-й группе при аускультации легких на фоне жесткого (у 67%) и ослабленного дыхания (у 28%) крепитирующие хрипы выслушивались у 9 (50%) больных, сухие – у 4 (22%), у 5 (28%) больных хрипы не отмечались.

Пациенты 1-й и 2-й групп получали длительную кислородотерапию в отделении интенсивной терапии. Уровень рO₂ составил $43,5 \pm 4,1$ мм рт. ст. т.е. выше, чем во 2-й группе. Уровень рO₂ в крови у пациентов 2-й группы в среднем составил $28,9 \pm 2,6$ мм рт. ст., что было значительно ниже нормальных значений и свидетельствовало о выраженной дыхательной недостаточности. В 1-й группе активность суммарной ЛДГ была значительно ниже, чем в другой группе ($p < 0,001$) и не превышала 300 МЕ/л ($263,0 \pm 27,09$). Средний уровень CD4+лимфоцитов составил $69,2 \pm 7,9$ кл/мкл, что отражало наличие глубокого иммунодефицита.

У больных 1-й группы к антибактериальным препаратам добавлялся бисептол (триметоприм/сульфометоксазол) из расчета 15 мг/кг массы тела, 2-й – флюканазол/интраканазол в дозе, указанной в Национальном протоколе по лечению пациентов с ВИЧ в сочетании с орофарингеальным кандидозом. На фоне лечения у всех пациентов была достигнута положительная динамика, при выписке рекомендовался профилактический прием ко-тримаксазола.

У больных обеих групп наблюдались рентгенологические изменения в лёгких. В начале заболевания почти у 13 пациентов рентгенологическая картина лёгких соответствовала норме. Позднее выявлялось прикорневое снижение пневматизации лёгочной ткани, усиление интерстициального рисунка, а у 23 пациентов – билатеральные облаковидные инфильтраты (симптом «бабочки»). У пациентов 2-й группы в разгар заболевания процесс чаще проявлялся множественными очаговыми тенями («ватное» лёгкое) ($8,1 \pm 2,4$), чем в первой группе пациентов ($6,3 \pm 2,1$). По данным спиральной компьютерной томографии органов грудной клетки выявляли двустороннее интерстициальное поражение легочной ткани, зоны затемнений по типу «матового стекла», чередование участков нормальной легочной ткани и инфильтрации у 17 пациентов. Результаты анализа иммунограммы показали, что уровень лейкоцитов во второй группе ($5,5 \pm 0,7$ кл/мкл) был достоверно ниже, чем в первой группе ($7,5 \pm 0,6$). Абсолютное число лимфоцитов было выше в первой группе ($2498,83 \pm 290,08$) по сравнению со второй группой ($1360,59 \pm 146,55$). При исследовании периферической крови специфических изменений при пневмоцистной пневмонии отмечался высокий уровень СОЭ (которая довольно быстро нарастал и в разгар болезни достигал 60 мм/ч и выше) в обеих группах наблюдения.

Абсолютное значение CD3+ клеток было выше в первой группе ($2036,01 \pm 189,76$), чем во второй группе ($1136,32 \pm 140,16$). Абсолютное значение CD8+ было выше в первой группе ($1643,18 \pm 178,23$) по сравнению с второй группой ($767,99 \pm 172,83$). Значение коэффициента CD4/CD8 ниже всего было в первой группе ($0,07 \pm 0,02$) по сравнению со второй ($0,32 \pm 0,03$) группой. Уровень активности суммарной ЛДГ у всех больных был высоким, и в среднем составил $743 \pm 184,5$ МЕ/л.

Таблица 1
Показатели иммунограммы в наблюдаемых группах пациентов

Показатель	Градации по группам пациентов (n=47)		Статистическая значимость пар групп
	1-группа M±m, n=19	2-группа M±m, n=28	
Лейкоциты	7,5±0,6	5,5±0,7	0,676
Лимфоциты, %	16,21±1,59	28,71±2,43	0,001
Лимфоциты, абсолютное значение	2498,83±290,08	1360,59±146,55	0,006
CD3, %	75,28±4,04	82,72±2,89	0,062
CD3, абсолютное значение	2036,01±189,76	1136,32±140,16	0,009
CD4, %	5,98±1,30	21,49±1,73	<0,001
CD4, абсолютное значение	69,2±7,9	231,74±13,47	<0,001
CD8, %	86,47±3,20	72,21±1,80	<0,001
CD8, абсолютное значение	1643,18±178,23	767,99±172,83	0,078
CD4/CD8	0,07±0,02	0,32±0,03	<0,001
В-лимфоциты, %	23,63±4,25	14,45±1,85	0,121
В-лимфоциты, абсолютное значение	279,58±122,74	172,90±36,43	0,431
Фагоцитарный показатель	76,89±2,48	76,50±2,44	0,752
Фагоцитарное число	17,69±4,64	12,99±0,81	0,704
IgA	2,59±0,35	2,25±0,22	0,339
IgM	2,66±0,26	2,70±0,13	0,765
IgG	21,65±1,67	22,45±0,99	0,93

Выявлено повышение уровней IgG в сыворотке крови, которые участвуют в образовании иммунных комплексов, активации системы комплемента, оседают на микробных клетках и усиливают фагоцитоз. Повышение уровней IgM свидетельствует о высокой активности В-лимфоцитов, следовательно — гуморального иммунитета. IgA — суррогатный маркер прогрессирования ВИЧ-инфекции, повышение их уровня при сочетании пневмоцистной пневмонии с орофарингиальным кандидозом. Уровень абсолютного количества В-лимфоцитов, относительное количество В-лимфоцитов, показатели фагоцитоза и иммуноглобулинов были повышенными во всех двух группах, но достоверно не отличались.

Таким образом, верификация диагноза пневмоцистной пневмонии основана на выявлении характерной клинической картины (ведущий синдром — прогрессирующая дыхательная недостаточность); определении иммунодефицитного состояния у пациента; высоких показателей СОЭ, артериальной гипоксемии (снижение рO₂); выделении возбудителя из биологического материала респираторного тракта; рентгенологически — двусторонних интерстициальных инфильтративных изменений в легких; положительного клинико-рентгенологического эффекта противопневмоцистной химиотерапии триметоприм/сульфометаксазолом.

Таким образом, можно сказать, что уровни лейкоцитов, CD3+, CD4+, CD8+, отношение CD4+/CD8+ были достоверно ниже во второй группе пациентов, что обусловило более тяжелое течение болезни при сочетании данного заболевания с другими оппортунистами. Гиперпродукция иммуноглобулинов всех классов свидетельствовала о неадекватности иммунного ответа, способствовала затяжному течению болезни во всех группах больных.

Выводы

Клинически диагностическими критериями пневмоцистной пневмонии являются длительное постепенное начало заболевания с нарастающей дыхательной недостаточностью, снижение содержания РО2 в крови, всегда высокая СОЭ.

Более тяжелое течение пневмоцистной пневмонии отмечалась в группе больных в сочетании с орофарингиальным кандидозом, но сохраняло закономерности, свойственные пневмоцистной пневмонии.

Пневмоцистная пневмония у ВИЧ инфицированных пациентов на фоне кандидоза слизистой ротовой полости и пищевода проявляется угнетением активности клеточных иммунных реакций, значительным повышением уровня ЦИК, иммуноглобулинов всех основных классов (M, A, G) в сыворотке крови, что свидетельствует о неадекватности иммунного ответа на внутриклеточную инфекцию, тенденции к затяжному течению

Рентгенологическая картина у большинства пациентов (63%) характеризуется диффузной билатеральной интерстициальной и (или) альвеолярной инфильтрацией. Однако у некоторых пациентов (15%) в острой фазе заболевания рентгенологическая картина может оставаться нормальной.

Литература

- Ермак Т.Н. Оппортунистические (вторичные) заболевания у больных ВИЧ-инфекцией в Российской Федерации: структура, клиническая диагностика, лечение. Ч. 1. Туберкулез. Пневмоцистная пневмония // Фарматека. – 2010. – №4. – С. 54-56.
- Ермак Т.Н. Лечение пневмоцистной пневмонии при ВИЧ-инфекции // Фарматека. – 2003. – №13. – С. 17-21.
- Потехин Н.П. и др. СПИД-ассоциированная пневмоцистная пневмония // Воен.-мед. журн. – 2005. – №10. – С. 42-48.
- Carmona E.M. et al. Update on the Diagnosis and Treatment of Pneumocystis Pneumonia // Ther. Adv. Resp. Dis. – 2011. – Vol. 5, №1. – P. 41-59.

5. Huang L. et al. An Official ATS Workshop Summary: Recent Advances and Future Directions in Pneumocystis Pneumonia (PCP) // Proc. Amer. Thorac. Soc. – 2006. – Vol. 3. – P. 655-664.

6. Matthew W. et al. Fey Severity and outcomes of Pneumocystis pneumonia in patients newly diagnosed with HIV infection: an observational cohort study // J. Infect. Dis. – 2009. – Vol. 41, №9. – P. 672-678.

7. Utili R. et al. Efficacy of caspofungin addition to trimethoprim-sulfamethoxazole treatment for severe pneumocystis pneumonia in solid organ transplant recipients // Transplantation. – 2007. – Vol. 84. – P. 685-688.

8. Wright T.W. et al. Immune-mediated inflammation directly impairs pulmonary function, contributing to the pathogenesis of Pneumocystis carinii pneumonia // J. Clin. Invest. – 1999. – Vol. 104. – P. 1307-1317.

КЛИНИЧЕСКИЕ ОСОБЕННОСТИ И ХАРАКТЕР ТЕЧЕНИЯ ПНЕВМОЦИСТНОЙ ПНЕВМОНИИ В СОЧЕТАНИИ С ОРОФАРИНГИАЛЬНЫМ КАНДИДОЗОМ У ПАЦИЕНТОВ С ВИЧ-ИНФЕКЦИЕЙ

Мустафаева Д.А., Атабеков Н.С., Аслонов М.Н.

Изучение особенностей пневмоцистной пневмонии у больных ВИЧ-инфекцией какmonoинфекции и сочетания ее с другими вторичными поражениями. Цель исследования: определение особенностей пневмоцистной пневмонии у больных ВИЧ-инфекцией для улучшения качества диагностики и оптимизации лечения. Материал и методы: под нашим наблюдением находились 47 пациентов в возрасте от 18 до 57 лет. Результаты и обсуждение: диагностика пневмоцистной пневмонии основана на выявлении характерной клинической картины, а так же уровня лейкоцитов, CD3+, CD4+, CD8+. Выводы: нами определены критерии клинической диагностики, а так же выявили более тяжелое течение пневмоцистной пневмонии в группе в сочетании с орофарингиальным кандидозом.

Ключевые слова: ВИЧ-инфекция, пневмоцистная пневмония, орофарингиальный кандидоз, monoинфекции

ЭФФЕКТИВНОСТЬ ПРИМЕНЕНИЯ ЛИРАГЛУТИДА (ГЛЮКАГОНОПОДОБНОГО ПЕПТИДА-1) В ЛЕЧЕНИИ БОЛЬНЫХ САХАРНЫМ ДИАБЕТОМ 2-ГО ТИПА

Нажмутдинова Д.К., Урунбаева Д.А., Содыкова Н.Ф., Нуралиев И.И.,
Рахимбердиева З.А., Худойберганова Ш.Б

ҚАНДЛИ ДИАБЕТ 2 ТУР КАСАЛЛАРНИ ДАВОЛАШДА ЛИРАГЛУТИД (ГЛЮКОГОНГА ЎХШАШ ПЕПТИД-1) ҚЎЛЛАНИШИНГ САМАРАСИ

Нажмутдинова Д.К., Урунбаева Д.А., Содыкова Н.Ф., Нуралиев И.И.,
Рахимбердиева З.А., Худойберганова Ш.Б

EFFECTIVENESS OF LIRAGLUTIDE (GLUCAGON LIKE PEPTIDE-1) IN THE TREATMENT OF PATIENTS WITH TYPE 2 DIABETES

Nazhmutdinova D.K., Urunbaeva D.A., Sodykova H.F., Nuraliev I.I.,
Rahimberdieva Z.A., Hudoyberganova Sh.B.

Ташкентская медицинская академия

Мақсад: қандли диабет 2 тури бўлган беморларни даволашда ГПП-1 аналогарини (виктоза) қўллаш ҳавфсизлиги ва самарасини баҳолаш. **Материал ва усулилар:** 20 қандли диабетнинг 2 тури бўлган беморлар лираглутидидни 7 кун давомида кунига бир маротаба 0,6 мгдан кунига бир маротаба тери остига юборилиб, сўнг 3 ой ичидаги лираглутидни кунига 1,2 мг миқдорда метформин, глимиперид билан биргаликда қабул қилган, қолган беморлар эса инсулин аналогарини қабул қилган.

Натижаси: даволанишидан сўнг барча қўрсаткичларнинг пасайиши қузатилди: шикоятлар, гипотензив препаратлар сони камайди, систолик ва диастолик артериал босим, ҳамда қонда наҳорги глюкоза миқдори, постпрандал гликемия, гликирланган гемоглобин миқдори пасайди ва гипогликемик ҳолатларни учраши камайди. Жигар синамаларининг кўтарилиши қузатилмади. **Хулоса:** қандли диабетнинг 2 турини даволашда Лираглутид препарати самарали ва ҳавфсиз қанд миқдорини пасайтирувчи препаратdir, айниқса уни метформин ва инсулин аналоглари билан узоқ муддатда қўллаша мумкин.

Калит сўзлар: қандли диабет, инкремин, ГПП-1, лираглутид, виктоза.

The aim of our study was to evaluate the efficacy and safety of GLP-1 analogues (Viktoza) in the treatment of patients with type 2 diabetes. Materials and Methods: The study involved 20 patients with type 2 diabetes in the endocrinology department clinic TMA-3. All patients received liraglutide scheme: 0,6mg 1 subcutaneously once a day for 7 days, then 1,2mg 1 times a day in combination with metformin, glimiperidom and the proportion of patients receiving the drug insulin analogues. The duration of treatment was 3 months. All figures after 3 months of treatment decreased in the group of liraglutide and metformin: a complaint with 5,52±1,02 points to 2,25±1,12 points, BMI 33,46 ± 1,47 kg/m² up to 31,32 ± 1,34 kg/m² systolic and diastolic blood pressure, the number of antihypertensive drugs (Table/d.) by 6.4%, 11.6%, 57.9% respectively..., fasting blood glucose, post-prandial blood glucose, glycosylated hemoglobin, the frequency of hypoglycemia at 40 4%, 40.02%, 23.67%, 90.1% respectively. The treatment increase liver function tests were observed. Conclusions: Liraglutide is safe and effective hypoglycemic agents in the treatment of patients with type 2 diabetes, especially in combination with metformin and a long-acting insulin analogue.

Сахарный диабет (СД) 2-го типа является остройшей медико-социальной проблемой. Уже сейчас в мире насчитывается более 415 млн больных, при этом этот вариант сахарного диабета характеризуется неуклонным прогрессированием [1,2].

Диабетология сегодня развивается быстрыми шагами, разработка и внедрение в клиническую практику терапевтических подходов, основанных на применения инкретинов, открывает новые возможности выбора метода лечения. Инкретины – это гормоны желудочно-кишечного тракта, вырабатываемые в ответ на прием пищи и вызывающие стимуляцию секреции инсулина. Открытие инкретинов было совершено более чем 100 лет назад. Местом их синтеза являются К-клетки слизистой кишечника, в основном двенадцатиперстной и тощей кишки [3,4]. Этот гормон увеличивает плазменный уровень инсулина вслед за приемом пищи посредством нескольких механизмов. Этот процесс получил название «инкретинового эффекта». Так, увеличенная секреция инсулина наблюдается после пероральной нагрузки глюкозой и отвечает за 80% выработки инсулина после приема глюкозы [6].

Достижение как минимум двух составляющих гликемического контроля: поддержание практически нормальных уровней гликемии для профилактики поздних осложнений заболевания и снижение риска развития ги-

погликемий представляется весьма актуальной проблемой современной медицины. В интенсивной терапии СД воспроизведение базального уровня инсулинемии во многом определяет возможность достижения целевых показателей контроля заболевания.

Общеизвестно, что в развитии СД 2-го типа основная роль принадлежит инсулинерезистентности и относительному дефициту инсулина, которые вызывают гипергликемию и развитие микро- и макроваскулярных осложнений. Постепенное развитие резистентности к инсулину проявляется возникновением постпрандиальной гипергликемии и гипергликемии натощак. Секреция ГПП-1 и ГИП у больных СД 2-го типа уменьшается, а следовательно, снижается их влияние на α- и β-клетки панкреатических островков [8].

В изучении безопасности и эффективности препарата виктоза – первого аналога человеческого ГПП-1 для введения 1 раз в день – участвовали 6000 больных сахарным диабетом со всего мира (вестник 4). Программа клинической апробации препарата LEADTM (Liraglutide Effect and Action in Diabetes – «Действие и эффективность лираглутида при сахарном диабете») включала 6 клинических сравнительных исследований с антидиабетическими препаратами разных групп: препаратами сульфонилмочевины (глиметтрид), тиазолидондинами (росиглитазон), инсулинами длительно-го действия и агонистом ГПП-1 (экзенатид) [5,9].

Цель исследования

Оценка эффективности и безопасности аналогов ГПП-1 (виктоза) в лечении больных сахарным диабетом типа 2.

Материал и методы

Были обследованы 20 больных сахарным диабетом типа 2, находившихся на лечении в эндокринологическом отделении №3 клиники ТМА. Средний возраст обследованных больных – $54,0 \pm 4,32$ года, длительность сахарного диабета – $7,2 \pm 1,28$ года. Индекс массы тела составлял $33,46 \pm 1,47$ кг/м².

Больные ранее получали инсулинотерапию (короткого и длительного действия, преимущественно аналоги инсулина), терапию с СПП (метформин, препараты сульфонилмочевины), но компенсации углеводного обмена достичь не удалось ($10,01 \pm 0,46$ ммоль/л).

Лираглутид назначали по схеме 0,6 мг подкожно 1 раз в день в течение 7 дней, затем 1,2 мг 1 раз в день в комбинации с метформином, глимиперидом, часть больных получали препараты аналогов инсулина. Длительность лечения – 3 месяца. Назначенная ранее гипотензивная терапия не отменялась.

Критериями включения был СД типа 2, длительность заболевания 10 лет.

Система наблюдения за больными включала сбор жалоб, анамнеза, физикальное и общеклиническое обследование, определение состояния углеводного обмена (глюкоза крови натощак, постпрандиальная глюкоза крови, гликозилированный гемоглобин), АД, ИМТ, частота гипогликемии, с целью определения безопасности сахароснижающих препаратов определяли содержание АЛТ, АСТ, креатинина, мочевины в крови до и через 3 месяца терапии. Жалобы пациентов, такие как сухость во рту, слабость, частое мочеиспускание, зуд кожи и слизистых оценивали по балльной системе: 0 – признак отсутствует, 1 балл – незначительная, 2 – умеренная, 3 – выраженная.

Результаты и обсуждение

Как показали наши наблюдения после лечения лираглутидом интенсивность жалоб больных уменьшились с $5,52 \pm 1,02$ до $2,25 \pm 1,12$ балла, ИМТ снизился с $33,46 \pm 1,47$ до $31,32 \pm 1,34$ кг/м² (табл. 1).

Таблица 1

Клиническая характеристика больных и оценка их жалоб, М±т

Показатель	До лечения
Возраст, лет	$54,0 \pm 4,32$
Длительность сахарного диабета, лет	$7,2 \pm 1,28$
Жалобы	$5,52 \pm 1,02^*$
ИМТ, кг/м ²	$33,46 \pm 1,47^*$

Примечание. * – $p < 0,05$ по сравнению с данными до лечения.

Показатель систолического и диастолического артериального давления, количество гипотензивных препаратов по сравнению с исходными данными в динамике достоверно уменьшились соответственно на 6,4, 11,6, 5,6 и 57,9% (табл. 2).

Таблица 2

Показатели АД и количество гипотензивных препаратов, М±т

Показатель	До лечения	После лечения
Систолическое артериальное давление, мм рт. ст.	$135,68 \pm 2,77$	$120,0 \pm 1,54^*$
Диастолическое артериальное давление, мм рт. ст.	$83,53 \pm 1,19$	$78,82 \pm 1,17$
Число гипотензивных препаратов, таб/сут	$1,9 \pm 0,28$	$0,8 \pm 0,18^*$

Примечание. То же, что и к табл. 1.

Показатели углеводного обмена, такие как глюкоза крови натощак, постпрандиальная гликемия, гликозилированный гемоглобин, частота гипогликемии после лечения лираглутидом достоверно снизились соответственно на 40,4, 40,02, 23,67 и 90,1% (табл. 3).

Таблица 3
Показатели углеводного обмена до и на фоне сахароснижающих препаратов, М±т

Показатель	До лечения	После лечения
Глюкоза в крови натощак, ммоль/л	$12,46 \pm 0,56$	$7,43 \pm 0,36^*$
Постпрандиальная гликемия, ммоль/л	$15,60 \pm 0,47$	$9,33 \pm 0,38^*$
Гликозилированный гемоглобин, %	$10,01 \pm 0,47$	$7,6 \pm 0,44^*$
Частота гипогликемии, %	$72,2 \pm 0,57$	$5,55 \pm 0,42^*$

Примечание. То же, что и к табл. 1

Существенного влияния на функцию печени и почек использованные препараты не оказывали (табл. 4).

Таблица 4
Показатели функции печени и почек на фоне терапии инкретина и метформина

Показатель	До лечения	После лечения
АЛТ, У/Л	$27,6 \pm 3,28$	$27,76 \pm 3,10$
АСТ, У/Л	$24,0 \pm 2,63$	$24,41 \pm 2,73$
Креатинин, мкмоль/л	$77,6 \pm 3,21$	$77,09 \pm 2,75$
Мочевина, ммоль/л	$7,31 \pm 0,27$	$7,29 \pm 0,26$

Полученные нами результаты совпадают с данными других исследователей (Албекова Ж.С. и др., 2013; Серикбаева А.А. и др., 2014; Garber A. et al., 2010). Так, Ж.С. Албекова и соавт (2013) наблюдали 10 больных СД 2-го типа в возрасте 32-61 года. Всем пациентам на фоне метформина (1500-2000 мг) или инсулина длительного действия назначали виктозу. В конце исследования у больных отмечалось достоверное снижение показателей углеводного обмена: гликозированного гемоглобина с $8,3 \pm 1,3$ до $6,1 \pm 1,1\%$, сахара кр ови натощак с $9,2 \pm 3,0$ до $7,2 \pm 1,8$ ммоль/л, глюкозы после еды с $12,5 \pm 2,1$ до $8,5 \pm 2,6$ ммоль/л. ИМТ снизился с $30,6 \pm 1,9$ до $28,2 \pm 0,8$ кг/м², систолическое АД – с 150 ± 20 до 145 ± 20 мм рт. ст. [7].

Полученные данные свидетельствуют об эффективности применения лираглутида в лечении СД 2-го типа. Это связано с тем, что у лиц без диабета инкретиновый эффект обеспечивает поддержание физиологического уровня глюкозы в крови после приема углеводов вне зависимости от количества принятой пищи [8], так как лираглутид (виктоза) способен усиливать секрецию инсулина поджелудочной железой в соответствии с потребностью организма. Однако у больных СД 2-го типа инкретиновый эффект ослабевает или вовсе исчезает. Тем не менее, действие инкретинов у таких пациентов можно восстановить с помощью экзогенных препаратов инкретина.

Таким образом, лираглутид являются эффективным и безопасным сахароснижающим препаратом в лечении больных сахарным диабетом типа 2, особенно в сочетании метформином и аналоговым инсулином длительного действия.

Выходы

1. При применении лираглутида в комбинации с бигуанидами или инсулином длительного действия у больных СД 2-го типа наблюдается достоверная положительная динамика в субъективных данных, ИМТ.

2. Лираглутид достоверно снизил гликемию натощак, постпрандиальную гликемию и уровень гликозилированного

гемоглобина, в результате чего уменьшилось количество гипогликемических состояний.

3. Влияния инкретинов на функцию печени и почек не наблюдалось.

Литература

1. Аметов А.С. Сахарный диабет 2 типа. Основы патогенеза и терапии. – М., 2015. – С. 10-12.
2. Аметов А.С., Мельник А.В., Демидова Т.Ю. и др. Роль и место комбинированной терапии в управлении сахарным диабетом 2 типа // Рус. мед. журн. – 2015. – Т. 13, №28. – С. 19-48.
3. Галстян Г.Р., Шестакова М.В. Современные возможности управления сахарным диабетом типа 2 // Consilium Medicum. – 2012. – Т. 14, №12. – С. 50-54.
4. Кудинов В.И., Ничитенко М.С., Ибрагимова В.А. Преимущества перевода больных сахарным диабетом 2-го типа с инсулина на виктозу // Пробл. эндокринол. – 2013. – Т. 53, №6. – С. 3-5.
5. Мохор Т. Инкретины и лечение сахарного диабета 2-го типа // Наука и инновации. – 2011. – Т. 99, №5. – С. 13-16.
6. Khaw K., Wareham N., Bingham S. et al. Association of Hemoglobin A1c with Cardiovascular Disease and Mortality in Adult: The European Prospective Investigation into Cancer in Norfolk // Ann. Intern. Med. – 2014. – Vol. 141. – P. 413-421.
7. Montanya E., Cuddihy R., Pratley R. et al. Treatment satisfaction in patients with type 2 diabetes is significantly improved with liraglutide, the once-daily GLP-1 analogue versus sitagliptin, both combined with metformin. //46th European Association for the Study of diabetes Annual Meeting. – Stockholm 2011. – 832 p.
8. Nauck M.A., Homberger E., Siegel E.G. et al. Incretin effects of increasing glucose loads in man calculated from venous insulin and C-peptide responses // J. Clin. Endocrinol. Metab. – 2011. – Vol. 63. – P. 492-498.

9. Nauck M., Sto`ckmann F., Ebert R., Creutzfeldt W. Reduced incretin effect in type 2 (non-insulin-dependent) diabetes // Diabetologia. – 2016. – Vol. 29. – P. 46-52.

ЭФФЕКТИВНОСТЬ ПРИМЕНЕНИЯ ЛИРАГЛУТИДА (ГЛЮКАГОНОПОДОБНОГО ПЕПТИДА-1) В ЛЕЧЕНИИ БОЛЬНЫХ САХАРНЫМ ДИАБЕТОМ 2-ГО ТИПА

Нажмутдинова Д.К., Урунбаева Д.А., Содыкова Н.Ф., Нуралиев И.И., Рахимбердиева З.А., Худойберганова Ш.Б

Цель: оценка эффективности и безопасности аналогов ГПП-1 (виктоза) в лечении больных сахарным диабетом типа 2. **Материал и методы:** обследованы 20 больных сахарным диабетом типа 2, которые в течение 3-х месяцев получали лираглутид по схеме 0,6мг подкожно 1 раз в день в течение 7 дней, затем 1,2 мг 1 раз в день в комбинации с метформином, глимиперидом, часть больных получали препараты аналогов инсулина. **Результаты:** после лечения все изученные показатели снизились: уменьшились жалобы, количество гипотензивных препаратов, снизилось систолическое и диастолическое артериальное давление, а также уровень глюкозы крови натощак, пострандитальная гипогликемия, содержание гликозилированного гемоглобина, частота гипогликемий. Повышения печеночных проб не отмечалось.

Выходы: лираглутид является эффективным и безопасным сахароснижающим препаратом для лечения больных сахарным диабетом типа 2, особенно в сочетании метформином и аналоговыми инсулинами длительного действия.

Ключевые слова: сахарный диабет, инкретины, ГПП-1, лираглутид, виктоза.

ОТДАЛЕННЫЕ РЕЗУЛЬТАТЫ ЭНДОСКОПИЧЕСКИХ ВМЕШАТЕЛЬСТВ В ПРОФИЛАКТИКЕ РЕЦИДИВА КРОВОТЕЧЕНИЙ ПОРТАЛЬНОГО ГЕНЕЗА

Назыров Ф.Г., Девятов А.В., Бабаджанов А.Х., Джуманиязов Д.А.

ПОРТАЛ ГЕНЕЗЛИ ҚОН КЕТИШЛАР ҚАЙТАЛАНИШИ ПРОФИЛАКТИКАСИДА ЭНДОСКОПИК МУОЛАЖАЛАРИНИНГ УЗОҚ МУДДАТЛИ НАТИЖАЛАРИ

Назыров Ф.Г., Девятов А.В., Бабаджанов А.Х., Джуманиязов Д.А.

LONG-TERM RESULTS OF ENDOSCOPIC INTERVENTIONS IN THE PREVENTION OF RECURRENT PORTAL GENESIS BLEEDINGS

Nazirov F.G., Devyatov A.V., Babajanov A.Kh., Jumanazarov D.A.

Республиканский специализированный центр хирургии

Мақсад: қизилўнгач ва ошқозоннинг варикозли кенгайган веналаридан (ҚОВКВ) қон кетиши ҳавфини прогнозлашда профилактик эндоскопик муолажаларининг самарадорлигини баҳолаш. **Материал ва усуллар:** тадқиқотларга 1996-2015 йиллар орасида "Акад. В. Вохидов номидаги Республика ихтисослашган хирургия маркази" АЖ нинг портал гипертензия ва панкреато-диоденал соҳаси бўлимига портал гипертензия билан кечувчи жигар циррози бўлган 449 та беморда 19 ёшдан 66 ёшгacha (ўртacha ёши $38,2 \pm 1,4$ йил) бўлган ва ҚОВКВ дан қон кетиши кузатилган ёки қайталаниш ҳавфи бўлган bemorlar киритилган. Эркаклар 289 (64,3%), аёллар – 160 (35,7%). **Натижажа:** жигар циррози бўлган bemorларда давола-лаш-профилактика эндоскопик муолажаларини ўтказиш 11,7% ҳолатларда ҚОВКВ ни тўлиқ әрадикасиянига олиб кела-ди, минимал кўрсаткичлар (7,9%) 30 ёшгacha бўлган bemorларда, максимал кўрсаткичлар (18,2%) 50 ёшдан юқори бўлган bemorларда кузатилган. **Хулоса:** гемостазнинг эндоскопик усуllibарини ишлаб чиқилган гемморрагиядан сўнг реабилитация алгоритми билан биргаликда қўллаш, эрта муддатларда ПГ нинг радикал коррекциясини ўтказиш имкониятларини ошириди ва уч йиллик қайталанишсиз кечиши юқори натижаларига эришилди.

Калит сўзлар: жигар циррози, портал гипертензия, қизилўнгач ва ошқозон варикоз-кенгайган венлар, эндоскопик муолажалар, қайталаниш.

The study included 449 cirrhotic patients with portal hypertension, bleeding from esophageal varices or the threat of its recurrence in the period from 1996 to 2015. The study group included 239 patients treated between 2008 and 2015 in the control group - 210 patients between 1996 and 2007. As a result of the study revealed that up to 3 years after the bleeding from esophageal varices 20,3-28,6% of patients die from progressive liver cirrhosis, on a background of recurrent bleeding - 46,4% in the conservative management of patients, 18,0% - in the application of endoscopic technologies for prevention and 9,3% - when combined with decompressive surgery, conditioning in the whole group of remote mortality in 75,0%, 51,6% and 29,7%, respectively. The use of endoscopic methods of hemostasis in conjunction with the post-hemorrhagic rehabilitation algorithm allowed increasing the likelihood of early implementation of radical correction of portal hypertension and thus achieving the best results of three years of recurrence-free flow in the main group - 68,1%.

В современной гепатологии хронические диффузные заболевания печени остаются актуальной социально-эпидемиологической и клинической проблемой [6,8]. Кровотечение из варикозно-расширенных вен пищевода и желудка (ВРВПЖ), которое развивается у 80% больных циррозом печени (ЦП) с портальной гипертензией (ПГ), является самым частым и опасным для жизни осложнением [5]. Риск его развития в течение первых двух лет после выявления варикозной трансформации вен пищевода составляет 30%, при этом ежегодно геморрагический синдром развивается у 12-15% пациентов с ВРВПЖ [2]. Средняя продолжительность жизни после первого пищеводно-желудочного кровотечения составляет около 19 месяцев. [7]. Смертность от первого кровотечения составляет 30-60%, а при декомпенсированной функции печени достигает 76-100% [1].

Единственно радикальным методом лечения ЦП является трансплантация печени, однако при отсутствии показаний к пересадке или невозможности ее выполнения по социально-правовым аспектам, основным направлением хирургического лечения этой категории пациентов является профилактика кровотечений из ВРВПЖ [4,6].

Среди всего спектра хирургических вмешательств особое внимание уделяется лечебно-профилактическим малоинвазивным технологиям. Основными преимуществами последних являются не только низкая травматичность по сравнению с традиционными операциями, но и возможность их

применения даже у самых тяжелых больных, особенно в ургентной хирургии кровотечений портального генеза [3].

В этом ряду наиболее перспективными и конкурентоспособными являются различные методики эндоскопических вмешательств на ВРВПЖ. Развитие этих технологий позволило вывести их в разряд «метода первой линии» как на высоте кровотечения, так и при высоком риске его развития [1,4].

Не менее дискутабельными являются вопросы диагностической оценки результатов эндоскопических вмешательств и определения риска рецидива пищеводно-желудочных геморрагий, что требует стратифицированного подхода к исследованию выживаемости больных ЦП после выполнения этих методик. Другим спорным фактором является доступность эндоскопического вмешательства, что нередко неоправданно расширяет показания к его применению. Паллиативный характер локального воздействия на ВРВПЖ не всегда удовлетворяет потребности клинической практики и обуславливает необходимость изучения целесообразности и эффективности сочетания эндоскопических технологий с другими хирургическими вмешательствами, в частности комбинирования с различными вариантами декомпрессивных или разобщающих операций.

Цель исследования

Оценка эффективности профилактических эндоскопических вмешательств и прогнозирование риска развития кровотечений из ВРВПЖ.

Материал и методы

Для оценки эффективности эндоваскулярных вмешательств в исследование включены 449 больных ЦП с ПГ в возрасте от 19 до 66 лет (средний возраст $38,2 \pm 1,4$ года), поступивших с кровотечением из ВРВПЖ или угрозой его рецидива в отделение порталной гипертензии и панкреатодуodenальной зоны АО «Республиканский специализированный центр хирургии им. акад. В. Вахидова» в 1996-2015 гг. Мужчин было 289 (64,3%), женщин – 160 (35,7%).

Все больные были разделены на 2 группы. В основную группу вошли 239 больных, получавших лечение в 2008-2015 гг., в контрольную группу – 210 больных, находившихся на лечении в 1996-2007 гг. В основной группе эндоваскулярные вмешательства применялись значительно шире как с целью профилактики, так и по экстренным показаниям.

Из анализа отдаленных результатов исключены 72 больных, которым на фоне неэффективности эндоваскулярных вмешательств.

Результаты исследования

Основным параметром для оценки отдаленных результатов явился анализ рецидивов кровотечений из ВРВПЖ. С учетом выполненных у части больных декомпрессивных операций в этот анализ пациенты после ПСШ не включались. В течение одного месяца после выписки в различные клиники республики с рецидивом геморрагического синдрома поступили 10 (8,2%) из прослеженных 122 больных контрольной группы и 5 (4,2%) пациентов из 118 основной группы.

В течение 6 месяцев кровотечение развилось соответственно еще у 9 (7,4%) и 5 (4,2%) пациентов. В сроки от 6 до 12 месяцев это осложнение отмечалось еще у 13 (10,7%) и 10 (8,5%) наблюдаемых, до 3-х лет – у 16 (13,1%) и 10 (8,5%). В целом к трем годам наблюдения рецидивы кровотечений развились у 48 (39,3%) больных контрольной и у 30 (25,4%) пациентов основной группы (рис. 1).

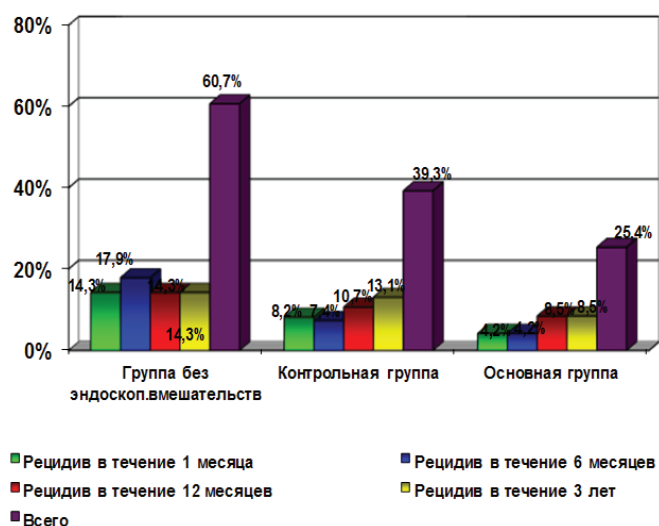


Рис. 1. Частота рецидива кровотечений из ВРВПЖ после эндоваскулярных вмешательств.

Интересным представляется анализ не только в группах сравнения, но и среди пациентов, у которых гемостаз был достигнут только консервативными мероприятиями, включая зонд Блекмора – Сенгстайкена. Из 28 таких больных кровотечение в трехлетний период наблюдения развились у 17 (60,7%), причем у 13 (46,4%) – уже в сроки до года после первичного эпизода.

Без зависимости от причины летального исхода в отдаленном периоде были выделены больные с прогрессированием ЦП и рецидивом геморрагического синдрома. В различные сроки от нарастающей печеночной недостаточности умирали от 5 (4,1%) до 15 (12,3%) в контрольной группе и от 3 (2,5%) до 10 (8,5%) в основной группе, от кровотечения – соответственно от 4 (3,3%) до 9 (7,4%) и от 2 (1,7%) до 4 (3,4%) (табл. 2).

Таблица 1
Число больных, прослеженных в отдаленный период после эндоваскулярных вмешательств, абс. (%)

Показатель	Контрольная группа	Основная группа	Всего
Выписаны (без экстренной операции)	173 (82,4)	215 (90,0)	388 (86,4)
Выпали из исследования	34 (16,2)	38 (15,9)	72 (16,0)
Выполнение ПСШ в ранние сроки после кровотечения	17 (8,1)	59 (24,7)	76 (16,9)
Только эндоваскулярные вмешательства	122 (58,1)	118 (49,4)	240 (53,5)
Эндоваскулярные вмешательства + ПСШ	139 (66,2)	177 (74,1)	316 (70,4)

тоз из 118 основной группы. В течение 6 месяцев кровотечение развилось соответственно еще у 9 (7,4%) и 5 (4,2%) пациентов. В сроки от 6 до 12 месяцев это осложнение отмечалось еще у 13 (10,7%) и 10 (8,5%) наблюдаемых, до 3-х лет – у 16 (13,1%) и 10 (8,5%). В целом к трем годам наблюдения рецидивы кровотечений развились у 48 (39,3%) больных контрольной и у 30 (25,4%) пациентов основной группы (рис. 1).

Таблица 2

Причины летальных исходов в отдаленные сроки наблюдения после эндоваскулярных вмешательств среди пациентов контрольной (числитель) и основной (знаменатель) групп, абс. (%)

Срок наблюдения	Прогрессирование ЦП	Рецидив кровотечения	Всего
До 1 мес.	5 (4,1) 3 (2,5)	4 (3,3) 2 (1,7)	9 (7,4) 5 (4,2)
До 6 мес.	9 (7,4) 5 (4,2)	4 (3,3) 3 (2,5)	13 (10,7) 8 (6,8)
До 1-го года	12 (9,8) 6 (5,1)	5 (4,1) 2 (1,7)	17 (13,9) 8 (6,8)
До 3-х лет	15 (12,3) 10 (8,5)	9 (7,4) 4 (3,4)	24 (19,7) 14 (11,9)
Итого	41 (33,6) 24 (20,3)	22 (18,0) 11 (9,3)	63 (51,6) 35 (29,7)

Следует отметить еще раз, что кровотечение провоцирует прогрессирование печеночной недостаточности, и даже при успешной остановке рецидива геморрагического синдрома у части больных после выписки из медицинских учреждений отмечается отсутствие эффекта от консервативной терапии и прогрессирование печеночной недостаточности.

В целом в контрольной группе в отдаленный период до 3-х лет 41 (33,6%) больной умер от нарастающей печеночной недостаточности и 22 (18%) – от геморрагий. В основной группе таких пациентов было меньше – 24 (20,3%) и 1 (9,3%). Летальность среди больных с кровотечением контрольной группы составила 45,8% (умерли 22 из 48 больных), основной – 36,7% (умерли 11 из 30) (рис. 2).

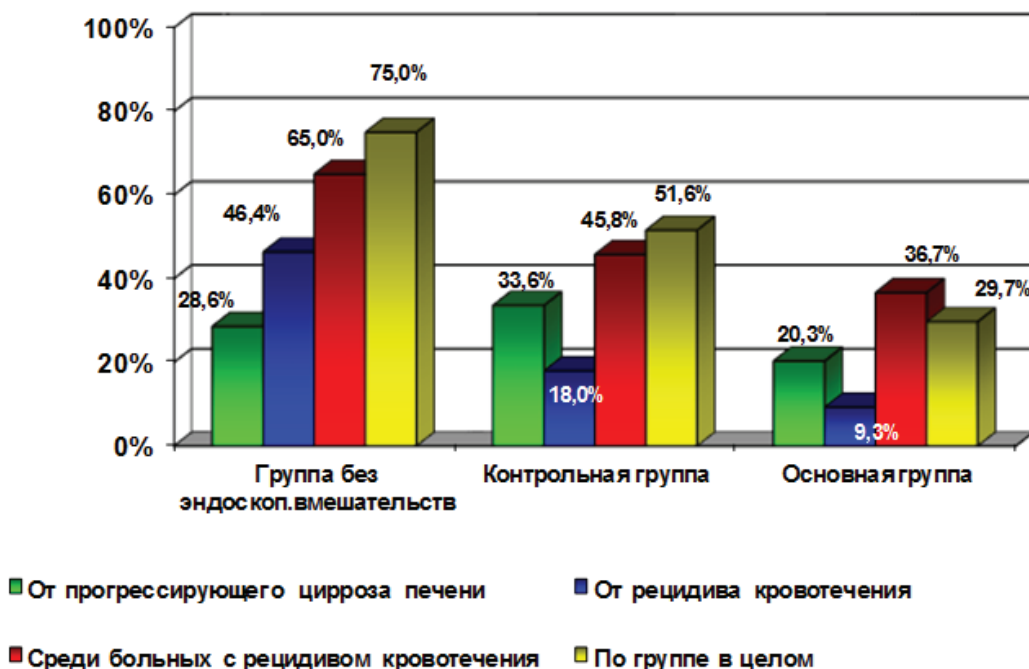


Рис. 2. Причины летальных исходов в сроки до 3-х лет наблюдения среди больных после эндоскопических вмешательств.

Следовательно, в сроки до 3-х лет после кровотечения из ВРВПЖ 20,3–28,6% пациентов умирают от прогрессирующего ЦП, на фоне рецидива кровотечения – 46,4% больных после консервативного лечения, 18,0% – при применении эндоскопических технологий профилактики и 9,3% – при их сочетании с декомпресивными операциями (ПСШ). В целом же в отдаленные сроки наблюдения летальность в группах составила соответственно 75,0, 51,6 и 29,7%.

Таким образом, прогностическое значение профилактических эндоскопических вмешательств заключается в снижении риска рецидивов кровотечений из ВРВПЖ в сроки наблюдения до 3-х лет с 60,7% (среди пациентов без эндоскопических манипуляций) до 39,3%, а постгеморрагической летальности – с 46,4 до 18,0%.

Проведенный анализ показал, что больных без рецидивов кровотечения из ВРВПЖ только при выполнении эндоскопических вмешательств было 33 (27%) в контрольной группе и 64 (54,2%) – в основной. При этапной тактике с выполнением ПСШ после эндоскопических вмешательств таких пациентов было соответственно 45 (32,4%) и 109 (61,6%). Из числа выжившего 81 больного ЦП, у которых были выполнены эндоскопические вмешательства, в отдаленном периоде рецидивов кровотечений удалось избежать 33 (40,7%) пациентам контрольной и 94 (68,1%) – основной группы. При комбинированном эндоскопии и ПСШ среди выживших больных ЦП без рецидивов пережили отдаленный период наблюдения соответственно 45 (45,9%) (из 98 больных) и 102 (71,2%) (из 153). Из числа больных, у которых не проводились никакие эндоскопические вмешательства и пациенты получали только консервативную терапию только 3 (10,7%) удалось избежать рецидива кровотечения, что указывает на

низкую эффективность изолированных терапевтических попыток снижения риска рецидива геморрагического синдрома (рис. 3). Таким образом, у больных ЦП в условиях субкомпенсированного и компенсированного функционального резерва гепатоцитов выполнение эндоскопических вмешательств для профилактики кровотечения из ВРВПЖ увеличивает вероятность безрецидивного течения в сроки до 3-х лет наблюдения с 10,7 до 40,7%. Применение эндоскопических методик гемостаза в совокупности с разработанным алгоритмом постгеморрагической реабилитации позволило в ранние сроки увеличить вероятность выполнения ранней радикальной коррекции ПГ с 8,1 до 24,7% и соответственно достигнуть наилучших показателей трехлетнего безрецидивного течения в основной группе – 71,2%.

Динамическое наблюдение за пациентами показало, что применение только эндоскопических вмешательств позволило достичь полной эрадикации вен только у 28 (11,7%) (из 240). Поэтапное проведение нескольких сеансов лигирования и склеротерапии у этих пациентов позволило добиться снижения степени ВРВП до усиления венозного рисунка или полного исчезновения. Примечательно, что наиболее эффективная эрадикация отмечалась у лиц старше 50 лет – у 6 (18,2%) из 33. У лиц до 30 лет этот показатель составил 7,9% (у 6 из 76 пациентов), до 50 лет – 12,2% (у 16 из 131 больного) (рис. 4).

Таким образом, у больных ЦП выполнение только лечебно-профилактических эндоскопических вмешательств позволяет достичь полной эрадикации ВРВП в 11,7% случаев с минимальным значением этого показателя среди пациентов до 30 лет (7,9%) и максимальным в возрастной группе старше 50 лет (18,2%).

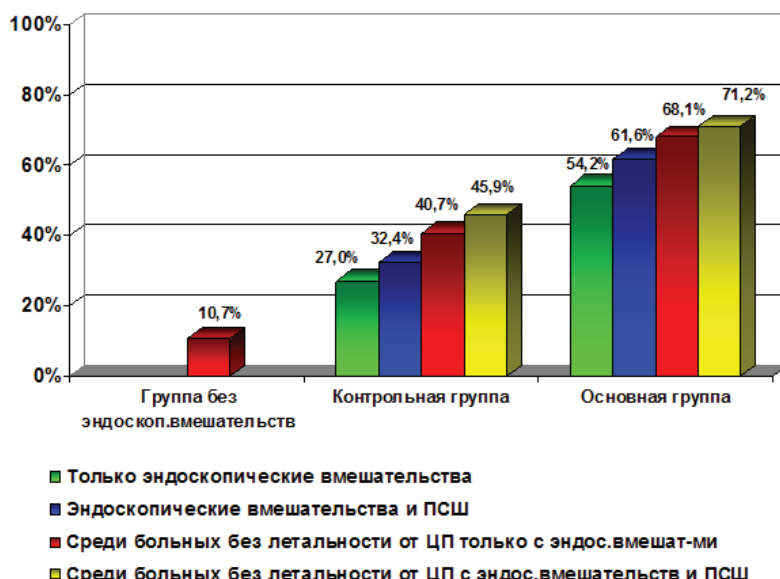


Рис. 3. Доля больных без рецидивов кровотечения из ВРВПЖ после эндоскопических вмешательств.

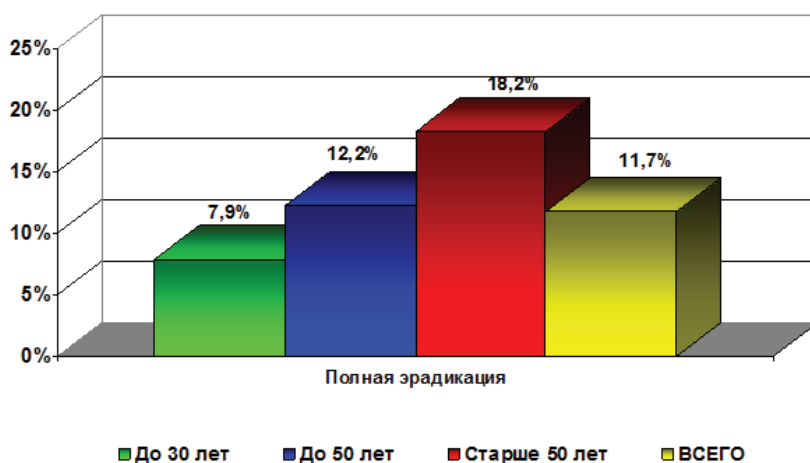


Рис. 4. Вероятность достижения полной эрадикации ВРВ пищевода.

Выводы

1. В сроки до 3-х лет после кровотечения из ВРВПЖ 20,3-28,6% пациентов умирают от прогрессирующего ЦП, на фоне рецидива кровотечения погибают 46,4% пациентов в группе с консервативной тактикой ведения больных, 18,0% – при применении эндоскопических технологий профилактики и 9,3% – при их сочетании с декомпрессивными операциями (ПСШ), обусловив отдаленную летальность в целом по группам соответственно в 75,0, 51,6 и 29,7%.

2. Прогностическое значение профилактических эндоскопических вмешательств определяется уровнем снижения риска развития кровотечений из ВРВПЖ. Так, только при консервативной профилактике в сроки до 3-х лет наблюдения осложнение рецидивирует у 60,7% больных с показателем постгеморрагической летальности 46,4%, тогда как их выполнение снижает эти значения соответственно до 39,3 и 18,0%.

3. У больных ЦП в условиях суб- и компенсированного функционального резерва гепатоцитов выполнение эндоскопических вмешательств для профилактики кровотечения из ВРВПЖ увеличивает вероятность безрецидивного течения в сроки до 3-х лет наблюдения с 10,7 до 40,7%.

4. Применение эндоскопических методик гемостаза в совокупности с разработанным алгоритмом постгеморрагической реабилитации позволили в ранние сроки увеличить вероятность выполнения ранней радикальной коррекции ПГ с 8,1 до 24,7% и соответственно достичь

наилучших показателей трехлетнего безрецидивного течения в основной группе – 68,1%.

5. У больных ЦП монопольное выполнение лечебно-профилактических эндоскопических вмешательств позволяет достичь полной эрадикации ВРВПЖ только в 11,7% случаев, с минимальным значением этого показателя среди пациентов до 30 лет (7,9%) и максимальным в возрастной группе старше 50 лет (18,2%).

Литература

- Назиров Ф.Г., Девятов А.В., Бабаджанов А.Х. Сводный анализ результатов и конкурентные перспективы портосистемного шунтирования у больных циррозом печени // Анналы хир. гепатол. – 2015. – Т. 20, №2. – С. 31-40.
- Шерцингер А.Г., Жигалова С.Б., Мелкумов А.Б., Манукьян В.Г. Варикозное расширение вен желудка у больных порталой гипертензией: диагностика и лечение // Анналы хир. гепатол. – 2010. – Т. 15, №3. – С. 84-94.
- Figueiredo A., Romero-Bermejo F., Perdigoto R., Marcelino P. The End-Organ Impairment in Liver Cirrhosis: Appointments for Critical Care // Crit. Care Res. Pract. – 2012. – Vol. 2012. – P. 13.
- Holster I.L., Tjwa E.T., Moelker A. et al. Covered TIPS vs endoscopic therapy + B-blocker for prevention of variceal rebleeding // Hepatology. – 2015. –Vol. 30.
- Romcea A.A., Tanțău M., Seicean A., Pascu O. The etiology of upper gastrointestinal bleeding in cirrhotic patients // Clujul Med. – 2013. – Vol. 86, №1. – P. 21-23.
- Stine J.G., Shah P.M., Cornell S.L. et al. Portal vein thrombosis, mortality and hepatic decompensation in patients with cirrhosis: A meta-analysis // Wld J. Hepatol. – 2015. – Vol. 27, №7. – P. 2774-2780.

7. Wiegand J., Berg T. The etiology, diagnosis and prevention of liver cirrhosis-part 1 of a series on liver cirrhosis. // Dtsch. Arztbl. Int. – 2013. – Vol. 110, №6. – P. 85-91.

8. Williams M.J., Hayes P. Improving the management of gastrointestinal bleeding in patients with cirrhosis // Exp. Rev. Gastroenterol. Hepatol. – 2015. – Vol. 7. – P. 1-11.

ОТДАЛЕННЫЕ РЕЗУЛЬТАТЫ ЭНДОСКОПИЧЕСКИХ ВМЕШАТЕЛЬСТВ В ПРОФИЛАКТИКЕ РЕЦИДИВА КРОВОТЕЧЕНИЙ ПОРТАЛЬНОГО ГЕНЕЗА

Назыров Ф.Г., Девятов А.В., Бабаджанов А.Х., Джуманиязов Д.А.

Цель: оценка эффективности профилактических эндоскопических вмешательств и прогнозирование риска развития кровотечений из варикозно-расширенных вен пищевода и желудка (ВРВПЖ). **Материал и методы:** в исследование включены 449 больных циррозом печени (ЦП) с портальной гипертензией в возрасте от 19 до 66 лет (средний возраст $38,2 \pm 1,4$ года), поступивших с кровотечением из ВРВПЖ или угрозой его рецидива в отделение портальной гипертензии

и панкреатодуodenальной зоны АО «Республиканский специализированный центр хирургии им. акад. В. Вахидова» в 1996-2015 гг. Мужчин было 289 (64,3%), женщин – 160 (35,7%).

Результаты: у больных ЦП выполнение только лечебно-профилактических эндоскопических вмешательств позволяет достичь полной эрадикации ВРВПЖ в 11,7% случаев с минимальным значением этого показателя среди пациентов до 30 лет (7,9%) и максимальным в возрастной группе старше 50 лет (18,2%). **Выводы:** применение эндоскопических методик гемостаза в совокупности с разработанным алгоритмом постгеморрагической реабилитации позволили в ранние сроки увеличить вероятность выполнения ранней радикальной коррекции ПГ и соответственно достигнуть наилучших показателей трехлетнего безрецидивного течения.

Ключевые слова: цирроз печени, портальная гипертензия, варикозно-расширенные вены пищевода и желудка, эндоскопические вмешательства, рецидивы.

ПРИЧИНЫ ГЕНЕРАЛИЗАЦИИ ИНФЕКЦИИ У БОЛЬНЫХ С ГНОЙНО-ВОСПАЛИТЕЛЬНЫМИ ЗАБОЛЕВАНИЯМИ МЯГКИХ ТКАНЕЙ НА ФОНЕ САХАРНОГО ДИАБЕТА

Охунов А.О., Бабаджанов Б.Д., Пулатов У.И., Косимов У.К., Султанов Н.Х.

ҚАНДЛИ ДИАБЕТ НЕГИЗИДА ЮМШОҚ ТҮҚИМАЛАРНИҢ ЙИРИНГЛИ-ЯЛЛИҒЛАНИШ КАСАЛЛИКЛАРИ БҮЛГАН БЕМОРЛАРДА ИНФЕКЦИЯНИҢ КЕҢ ТАРҚАЛИШ САБАЛЛАРИ

Охунов А.О., Бабаджанов Б.Д., Пулатов У.И., Косимов У.К., Султанов Н.Х.

CAUSES OF GENERALIZED INFECTION IN PATIENTS WITH PURULENT-INFLAMMATORY DISEASES OF SOFT TISSUES ON THE BACKGROUND OF DIABETES

Ohunov A.O., Babadjanov B.D., Pulatov U.I., Kosimov U.K., Sultanov N.H.

Ташкентская медицинская академия

Мақсад: қандли диабет негизида юмшоқ түқималарнинг йирингли-яллиғланиш касалликлари бўлган беморларда инфекцияниң кенг тарқалиши ва сепсиснинг турли шакллари ривожланисини анъанавий ва янги диагностик усуllibар ёрдамида ўрганиш. **Материал ва усуllibар:** Республика йирингли хирургия ва қандли диабетнинг хирургик асоратлари марказининг клиникасига 2005-2011 йилларда даволанган қандли диабет негизида ривожланган юмшоқ түқималарнинг йирингли-яллиғланиш касаллиги бўлган 73 беморларнинг даволаш натижалари таҳлил қилинган. **Натижса:** информацион аҳамиятли бўлган SIRS хусусиятлари билан бир қаторда прокальцитонин ва яллиғланиш цитокинлари ИЛ-1b, ИЛ-6, TNF- α яллиғланиш жараёнлари кенг тарқалишининг маркерлари бўлиб ҳисобланади. Уларни даволаш самараодорлигини баҳолашда ва сепсис ривожланисининг профилактикасида қўйлаш мумкин. Қандли диабет негизида ривожланган юмшоқ түқималарнинг йирингли-яллиғланиш жараёнларини кенг тарқалишининг ўзига хос хусусиятларидан бири бўлиб клиник белгиларнинг суст бўлишидир. **Хулоса:** беморлар ҳолатини баҳолашда бу лаборатор усуllibарнинг диагностик қийматини объективлаш мақсадида интеграл усуllibар ишлаб чиқши талаб қилинади, улар даволаш-диагностика тизимини унифицирлаш имкониятини беради.

Калим сўзлар: қандли диабет, хирургик инфекция, сепсис, йирингли-яллиғланиш жараёнлар, яллиғланиш медиаторлари.

Objective: To study the generalization of infection and different forms of sepsis in patients with purulent-inflammatory diseases of soft tissues on the background of diabetes mellitus using new and traditional methods of diagnosis of sepsis. **Materials and Methods:** We analyzed the results of treatment of 73 patients with purulent-inflammatory diseases of soft tissues on the background of diabetes, who received in-patient treatment in the Republican center of purulent surgery and surgical complications of diabetes mellitus of the MOH of the Republic of Uzbekistan in 2005-2011 for urgent reasons. **Results:** Procalcitonin and proinflammatory cytokines IL-1b, IL-6, TNF- α are markers of generalization of inflammatory process, along with signs of SIRS, having informational value. These markers can undoubtedly be used in assessing the effectiveness of the therapy and prevention of sepsis. The special feature of the course of purulent-inflammatory diseases of soft tissues in patients with diabetes is the effacement of clinical signs of generalization. **Conclusions:** With the aim of objectifying the diagnostic value of these laboratory methods for the evaluation of patient's condition the development of integrated methods is required that, in turn, will allow unifying the system of medical-diagnostic algorithm.

Key words: diabetes mellitus, surgical infection, sepsis, suppurative inflammation, mediators of inflammation.

До настоящего времени гнойно-воспалительные заболевания мягких тканей (ГВЗМТ) остаются той областью хирургии, на которую обращают мало внимания специалисты как поликлинического, так и стационарного звена. Значимость проблемы ГВЗМТ подчеркивается тем фактом, что в структуре причин первичной обращающейся к общему хирургу их частота достигает 70% [1,12]. В структуре нозокомиальных инфекций частота ГВЗМТ (послеоперационные нагноения, постинъекционные осложнения и т.д.) достигает 36%, в России – 24% [2,5].

Анализ данных литературы показал, что гнойно-воспалительные заболевания мягких тканей являются наиболее частой причиной обращения пациентов за хирургической помощью. Так, 10% госпитализаций в Великобритании составляют больные с данной патологией. В США гнойно-воспалительные заболевания мягких тканей являются причиной 333 тыс. госпитализаций в год [10,11].

Особое значение в этиологии и патогенезе ГВЗМТ имеет сопутствующая патология в виде сахарного диабета (СД) [7-9]. Известно, что происходящие при сахарном диабете специфические изменения создают благоприятные условия для возникновения и прогрессирующего развития ГВЗМТ. Особенностью течения ГВЗМТ на фоне сахарного диабета являются стертость клинической картины,

частое сочетание патологического процесса с тяжелым сепсисом, полиорганной дисфункцией, что обуславливает высокую летальность [4,6,11,12]. Актуальность этой проблемы объясняет все возрастающим уровнем распространенности СД и его многочисленных осложнений, являющихся основной причиной инвалидности и смерти людей в индустриально развитых странах [3,7].

Цель исследования

Изучение генерализации инфекции и различных форм сепсиса у больных с гнойно-воспалительными заболеваниями мягких тканей на фоне сахарного диабета с использованием новых и традиционных методов диагностики сепсиса.

Материал и методы

Проанализированы результаты лечения 73 больных с гнойно-воспалительными заболеваниями мягких тканей на фоне сахарного диабета, находившихся на стационарном лечении в Республиканском центре гнойной хирургии и хирургических осложнений сахарного диабета МЗ РУз в 2005-2011 гг. Все больные поступали в клинику, как правило, по неотложным показаниям. Все они были всесторонне обследованы с применением современных клинико-биохимических и инструментальных методов. Больные с ГВЗМТ на фоне СД различались по тяжести общего состояния, выраженности эндотоксикоза и симптомов сепсиса, а также

степени распространенности гнойно-некротического процесса, интенсивности его прогрессирования. Общая клиническая симптоматика варьировалась в зависимости от причины развития ГВЗМТ, ее локализации, состояния пациента на момент заболевания и его возраста.

Результаты и обсуждение

Известно, что существует прямая корреляционная зависимость между распространенностью гнойного процесса и тяжестью состояния больного, степенью эндотоксикоза, частотой развития тяжелого сепсиса и прогнозом заболевания. В общей сложности ГВЗМТ на фоне СД достигали стадии сепсиса (по международной классификации Чикагской согласительной конференции 1992 г.) у 57,5% обследованных, сопровождаясь 2-4 симптомами SIRS. У 9,6% пациентов было констатировано наличие тяжелого сепсиса за счет присоединения полиорганной дисфункции. У 6,8% пациентов диагностирован септический шок.

В динамике проводимого комплекса лечебных мероприятий уже на 3-и сутки отмечалось существенное уменьшение числа больных с сепсис-синдромом (23 больных – 33,8%) и септическим шоком (3 больных – 4,4%) (табл. 1). Однако на этом фоне число пациентов с тяжелым сепсисом увеличилось до 9 (13,2%), вероятно, за счет усугубления течения гнойно-воспалительного процесса, а в ряде случаев в связи с разрешением шокового состояния.

Таблица 1

Количество септических осложнений у больных с ГВЗМТ на фоне СД, абс. (%)

Вид септического осложнения	При поступлении	3-и сут	5-е сут	7-е сут
Без сепсиса	31 (42,4)	33 (48,5)	45 (67,1)	58 (87,7)
Сепсис-синдром	30 (41,1)	23 (33,8)	9 (13,4)	2 (3)
Тяжелый сепсис	7 (9,6)	9 (13,2)	12 (17,9)	6 (9)
Септический шок	5 (6,8)	3 (4,4)	1 (1,5)	-
Всего	73 (100)	68 (100)	67 (100)	66 (100)
Общая летальность	-	5 (6,8)	6 (8,2)	7 (9,6)

Данная тенденция отмечалась и на 5-е сутки проводимого лечения, когда число больных с сепсис-синдромом и септическим шоком уменьшилось, а число больных с тяжелым сепсисом возросло. Это обстоятельство подтверждало наше предположение о том, что выход больных из шокового состояния не гарантирует благополучный исход гнойно-септического процесса. В частности, наличие сопутствующего сахарного диабета способствует сохранению у больных отягощенного морбидного фона с тяжелым сепсисом.

На фоне проводимого лечения отмечается постепенное снижение удельного веса тяжелого сепсиса и септического шока. Лишь на 7-е сутки проводимого лечения септические осложнения отмечались у 12% пациентов, главным образом, за счет наличия тяжелого сепсиса (9%) и сепсис-синдрома (3%). У 58 больных была достигнута ликвидация септического осложнения с нормализацией течения гнойно-воспалительного процесса.

Анализ летальных исходов у больных с ГВЗМТ на фоне СД позволил выявить наличие определенной взаимосвязи с клинико-патогенетическими формами септических осложнений. В общей сложности из числа больных с ГВЗМТ на фоне СД умерли 7 (9,6%).

В хронологическом порядке летальные исходы распределились в следующей порядке. В день поступления в связи с прогрессирующим септическим шоком на фоне тяжелой формы ГВЗМТ умер 1 (1,36%) больной. В последующем, на 3-5-е сутки лечения в результате тяжелого сепсиса умерли еще 5 больных. На 7-е сутки лечения умер еще 1 (1,36%) пациент также в связи с прогрессированием тяжелого сепсиса.

Таким образом, при проведении традиционных методов лечения ГВЗМТ у пациентов с СД осложнения наблюдалась у 42 (57,5%) больных, летальность составила 9,6% (7 больных). Основной причиной летальных исходов была генерализация гнойно-септического процесса. Исходя из этого, можно констатировать, что при традиционных методах лечения ГВЗМТ на фоне СД сохраняется высокий риск генерализации гнойно-септического процесса, который приводит к летальному исходу. В связи с этим нам представляется, что проведение более подробного анализа причин развития септических осложнений у больных с гнойно-воспалительными заболеваниями мягких тканей на фоне сахарного диабета позволит пересмотреть причинно-следственные закономерности фатальных исходов.

Анализ септических проявлений у больных с ГВЗМТ на фоне СД показал, что при поступлении пациентов в клинику преобладали синдромы системно-воспалительной реакции (SIRS) – SIRS2 и SIRS3 (соответственно у 23,3 и 21,9%) (табл.2). У 18 (24,7%) пациентов признаки SIRS отсутствовали (SIRS0).

По мере проведения традиционных методов лечения число больных с регрессией количества признаков SIRS увеличивалось. Так, на 3-и число больных с частотой проявления признаков SIRS распределилось следующим образом: SIRS1/SIRS3/SIRS2/SIRS4. У 22,1% наблюдаемых пациентов какие-либо признаки SIRS отсутствовали. На 5-е и 7-е сутки проводимого традиционного метода дисперсия распределения больных с септическими проявлениями ГВЗМТ на фоне СД была фактически идентичной и распределилась следующим образом: SIRS1/SIRS2/SIRS3/SIRS4.

Таким образом, анализ динамики септических проявлений у больных с ГВЗМТ на фоне СД свидетельствует, с одной стороны, что, несмотря на проведенные традиционные методы лечения даже на 5-е и 7-е сутки все еще есть больные с SIRS4. С другой стороны, распределение больных в зависимости от количественной характеристики проявления септических осложнений диктует необходимость оценки каждого из симптомов проявления данного заболевания. Анализ частота проявлений отдельных признаков SIRS у больных в динамике течения ГВЗМТ на фоне СД показал, что при поступлении у 73 больных имелся всего 131 признак. В общей сложности с учетом числа больных, у которых признаков SIRS не было, данный показатель составил 87,9%.

Таблица 2

Количество септических проявлений у больных с ГВЗМТ на фоне СД, абс. (%)

Количество признаков сепсиса	При поступлении	3-и сут	5-е сут	7-е сут
SIRS0	18 (24,7)	15 (22,1)	23 (34,3)	37 (56,1)
SIRS1	13 (17,8)	18 (26,5)	22 (32,8)	21 (31,8)
SIRS2	17 (23,3)	13 (19,1)	13 (19,4)	5 (7,6)
SIRS3	16 (21,9)	14 (20,6)	6 (8,95)	2 (3,0)
SIRS4	9 (12,3)	8 (11,7)	3 (4,55)	1 (1,5)
Всего	73 (100)	68 (100)	67 (100)	66 (100)
Общая летальность	-	5 (6,8)	6 (8,2)	7 (9,6)

Уже на 3-и сутки лечения больных с ГВЗМТ на фоне СД абсолютное количество зарегистрированных признаков SIRS уменьшилось. Однако в процентном отношении этот показатель не имел существенных различий с предыдущим сроком наблюдения. На 5-е и 7-е сутки проводимого лечения количество зарегистрированных признаков SIRS у больных с ГВЗМТ на фоне СД существенно уменьшалось в абсолютном цифровом значении соответственно в 1,7 и в 3,2 раза. В процентном соотношении к общему числу зарегистрированных признаков этот показатель существенно изменился лишь на 7-е сутки.

С целью оценки степени генерализации воспалительного процесса у больных в динамике течения ГВЗМТ на фоне СД определяли в сыворотке крови уровень диагностических маркеров сепсиса: прокальцитонина, провоспалительных цитокинов ИЛ-1b, ИЛ-6 и фактора некроза опухоли (табл. 3).

Таблица 3
Содержание диагностических маркеров генерализации инфекции в сыворотке крови у больных с ГВЗМТ на фоне СД в динамике лечения, М±т

маркер генерализации инфекции	При поступлении, n=73	3-и сут, n=70	5-е сут, n=68	7-е сут, n=66
Прокальцитонин, нг/мл	17,15±5,4	14,55±1,4*	12,74±1,1*	4,11±0,98*
ИЛ-1б, пкг/мл	21,02±8,4	22,85±3,5*	16,6±1,5*	9,12±1,2*
ИЛ-6, пкг/мл	35,6±8,9	38,3±7,4*	38,2±2,2*	23,7±2,4*
TNF-α, пкг/мл	21,4±4,2	21,4±2,1*	21,3±2,5*	10,9±1,1*

Примечание. * – p<0,05 по сравнению с данными при поступлении в клинику.

Как видно из полученных данных, у больных с ГВЗМТ на фоне сахарного диабета в динамике проводимого лечения определялось стабильное изменение изучаемых показателей. Уровень прокальцитонина в сыворотке крови, при поступлении пациентов в клинику составивший в среднем 17,15±5,4 нг/мл в большей степени свидетельствовал о наличии сепсиса. В динамике лечения, на 7-е сутки этот показатель снизился до 4,1±0,98 нг/мл, оставаясь, однако, выше нормальных значений в среднем в 82 раза.

Изменения концентрации провоспалительных цитокинов в сыворотке крови у больных с ГВЗМТ на фоне СД в динамике лечения были не однозначными. Наиболее высокий уровень зарегистрирован у провоспалительного цитокина ИЛ-6, который при поступлении пациентов с ГВЗМТ на фоне СД превышал значения ИЛ-1б и TNF-α в среднем в 1,7 раза.

В динамике на 3-и и 5-е сутки лечения содержание провоспалительного цитокина ИЛ-6 увеличился до 38,3±7,4 пкг/мл, а на 7-е сутки уровень данного маркера по сравнению с исходными значениями снизился в 1,5 раза.

Подобные изменения были характерны и для провоспалительного цитокина ИЛ-1б, уровень которого на 7-е сутки лечения было меньше исходного в 2,3 раза. В то же время динамика изменения концентрации провоспалительного цитокина TNF-α характеризовалась стабильными значениями на 3-и и 5-е сутки лечения. Уменьшение данного показателя на 7-е сутки проводимого лечения было также существенным (почти в 2 раза).

В целом следует отметить, что выявленные нами изменения в содержании провоспалительных цитокинов в крови у больных с ГВЗМТ на фоне СД подтвердило общеизвестные данные об их роли в генерализации инфекции. Однако сохранение высоких значений при условии проводимого лечения на протяжении пяти суток свидетельствовало о расхождении заключения между наличием септического осложнения и его видом. В этой связи мы решили проанализировать характер изменения диагностических маркеров сепсиса в крови в зависимости от вида его проявления.

Средние значения маркеров диагностики генерализации инфекции у больных в динамике течения ГВЗМТ на фоне СД свидетельствуют о неоднозначности происходящих перемен (табл. 4).

Таблица 4

Средние значения маркеров диагностики генерализации инфекции у больных с ГВЗМТ на фоне СД, М±т

Септические проявления	Маркер генерализации инфекции			
	РСТ, нг/мл	ИЛ-1б, пкг/мл	ИЛ-6, пкг/мл	TNF-α, пкг/мл
Без сепсиса, n=31	1,99±0,09	7,4±1,12	14,4±2,1	3,15±0,52
Сепсис-синдром, n=30	4,75±0,57*	17,85±2,4*	33,9±9,4*	12,3±0,98*
Тяжелый сепсис, n=7	17,75±5,2*	19,2±1,54*	44,2±10,4*	27,9±1,4*
Септический шок, n=5	34,5±2,8*	33,53±8,4*	54,7±12,4*	42,4±5,2*

Примечание. * – p<0,05 по сравнению с пациентами с отсутствием признаков ССВР.

Уровень прокальцитонина у больных с септическим течением ГВЗМТ был выше нормальных значений (0,05 нг/

мл) в 39,8 раза, что, вероятно, связано с особенностями течения данного патологического процесса у больных на фоне сахарного диабета. У больных с ГВЗМТ с сепсис-синдромом содержание прокальцитонина в сыворотке крови превышало норму в 95 раз. В то же время по сравнению с предыдущей группой данный показатель был выше лишь в 2,4 раза. Тяжелый сепсис, а особенно септический шок, характеризовались самыми высокими значениями уровня прокальцитонина в сыворотке крови у больных с ГВЗМТ на фоне СД, который был выше нормы соответственно в 355 и 690 раз.

Таким образом, концентрация прокальцитонина в крови у больных с ГВЗМТ на фоне СД повышается пропорционально тяжести инфекционного процесса. Локальные воспалительные очаги не сопровождаются значительным выбросом прокальцитонина в кровь (уровень прокальцитонина в среднем составлял 1,99±0,09 нг/мл). При наличии генерализации инфекции уровень прокальцитонина превышает 2 нг/мл (самый высокий уровень прокальцитонина отмечается у больного с септическим шоком – 34,5±2,8 нг/мл). Соответственно тест на прокальцитонин обладает высоким диагностическим потенциалом и рекомендуется для рутинного использования в стационаре.

Содержание провоспалительных цитокинов ИЛ-1б, ИЛ-6 и TNF-α также имело тенденцию к достоверному повышению, однако менее выражено, чем прокальцитонин. В частности, уровень провоспалительного цитокина ИЛ-1б у больных с сепсис-синдромом превышал норму в 2,4 раза. При тяжелом сепсисе этот показатель был выше в 2,6 раза, а у больных с септическим шоком – в 4,5 раза (p<0,05).

Содержание провоспалительного цитокина ИЛ-6 в плазме крови больных с сепсис-синдромом превышало нормативные значения в 2,3 раза, а при тяжелом сепсисе – в 3,1 раза. Максимальное значение данного показателя зарегистрировано у пациентов с септическим шоком, у которых этот показатель был выше нормы в 3,8 раза.

Провоспалительный цитокин TNF-α реагировал на изменения септического вида осложнения более значительно, чем изученные показатели. Во всех случаях развития септических осложнений у больных с ГВЗМТ на фоне СД отмечалось утяжеление патологического процесса. При сепсис-синдроме данный показатель превышал нормальные значения в 3,9 раз, при тяжелом сепсисе – в 8,9 раза, а при септическом шоке – в 14,5 раза.

При определении содержания прокальцитонина у больных с ГВЗМТ на фоне СД в зависимости от вида септического проявления во все сроки исследования выявлено характерное распределение дисперсионного значения данного показателя (табл. 5). Септический шок характеризовался самыми высокими значениями содержания прокальцитонина в сыворотке крови, который находился в диапазоне от 30,2±2,5 до 39,7±3,1 нг/мл. В среднем уровень прокальцитонина в крови у больных с септическим шоком составил 34,5±2,8 нг/мл, а при тяжелом сепсисе – 17,75±5,2 нг/мл. Уровень прокальцитонина в сыворотке больных с сепсис-синдромом варьировал в диапазоне от 2,1±0,1 до 6,9±0,15 нг/мл.

У больных, у которых признаки септического осложнения отсутствовали, среднее значение прокальцитонина в сыворотке крови во все сроки исследования составляло 1,99±0,09 нг/мл, что свидетельствовало о генерализации воспалительного процесса при стертости клинических его признаков. То есть, иными словами, на фоне отсутствия общепризнанных признаков синдрома системной воспалительной реакции у больных с ГВЗМТ на фоне СД имело место повышение уровня прокальцитонина в сыворотке крови до уровня, свидетельствующего о наличии генерализации инфекции.

Справедливость нашего суждения доказывают изменения уровня прокальцитонина в сыворотке крови у больных, у которых отсутствовали признаки SIRS. При по-

ПРИЧИНЫ ГЕНЕРАЛИЗАЦИИ ИНФЕКЦИИ У БОЛЬНЫХ С ГНОЙНО-ВОСПАЛИТЕЛЬНЫМИ...

ступлении уровень прокальцитонина в сыворотке крови составлял $0,5\pm0,09$ нг/мл, на 3-и сутки он снижался до $0,2\pm0,03$ нг/мл. На 5-е сутки лечения данный показатель достигал нормальных значений ($0,05\pm0,0012$ нг/мл), которые сохранялись и на 7-е сутки ($0,04\pm0,001$ нг/мл).

В целом следует отметить, что уровень прокальцитонина, являющегося основным маркером генерализации инфекции, у больных с ГВЗМТ на фоне СД превышал контрольные значения даже при наличии клинических признаков ССВР. Это обстоятельство было характерно в ранние сроки проводимого лечения. В последующем клинико-лабораторные данные проявления ССВР и уровень прокальцитонина имели схожесть в выражении патологической сущности процесса.

Таблица 5
Содержание прокальцитонина (нг/мл) в сыворотке крови у больных в динамике течения ГВЗМТ на фоне СД, $M\pm t$

Вид септического проявления	При поступлении	3-и сут	5-е сут	7-е сут
Без сепсиса, $n=31$	$0,5\pm0,09$	$0,2\pm0,03^*$	$0,05\pm0,0012^*$	$0,04\pm0,001^*$
Сепсис-синдром, $n=30$	$6,9\pm0,15$	$5,8\pm0,11^*$	$4,2\pm0,12^*$	$2,1\pm0,1^*$
Тяжелый сепсис, $n=7$	$21,5\pm1,2$	$18,7\pm0,95^*$	$16,5\pm0,88^*$	$14,3\pm0,42^*$
Септический шок, $n=5$	$39,7\pm3,1$	$33,5\pm2,4^*$	$30,2\pm2,5^*$	-

Примечание. * – $p<0,05$ по сравнению с данными при поступлении в клинику.

Концентрация провоспалительного цитокина ИЛ-1 b у больных с ГВЗМТ на фоне СД при поступлении их в клинику варьировалась в диапазоне от $10,4\pm0,15$ до $32,8\pm9,84$ пкг/мл. Среднее значение данного показателя составило в этот срок $21,02\pm0,32$ пкг/мл (табл. 6). Анализ изменения концентрации провоспалительного цитокина ИЛ-1 b в зависимости от вида септического проявления распределился в порядке уменьшения от септического шока до признаков сепсис-синдрома. При септическом шоке среднее значение концентрации провоспалительного цитокина ИЛ-1 b составило $33,53\pm8,4$ пкг/мл, у больных с тяжелым сепсисом – $19,2\pm1,54$ пкг/мл, с признаками сепсис-синдрома – $17,85\pm1,49$ пкг/мл. Следует отметить, что при отсутствии признаков SIRS у больных при поступлении в клинику уровень провоспалительного цитокина ИЛ-1 b был равен $10,4\pm0,15$ пкг/мл. При этом, несмотря на общую тенденцию к снижению данного показателя до $4,1\pm0,1$ пкг/мл на 7-е сутки проводимого лечения, 3-е сутки все еще характеризовались относительно высокими его цифрами ($9,8\pm0,24$ пкг/мл).

Таблица 6
Содержание провоспалительного цитокина ИЛ-1 b (пкг/мл) в сыворотке крови у больных в динамике течения ГВЗМТ на фоне СД, $M\pm t$

Вид септического проявления	При поступлении	3-и сут	5-е сут	7-е сут
Без сепсиса, $n=31$	$10,4\pm0,15$	$9,8\pm0,24$	$5,4\pm0,11$	$4,1\pm0,1$
Сепсис синдром, $n=30$	$18,5\pm2,14$	$18,5\pm2,45$	$17,4\pm1,98$	$17,0\pm1,55$
Тяжелый сепсис, $n=7$	$22,4\pm3,18$	$20,4\pm2,87$	$18,5\pm1,45$	$15,4\pm1,13$
Септический шок, $n=5$	$32,8\pm9,84$	$42,7\pm8,41$	$25,1\pm1,24$	-

Примечание. * – $p<0,05$ по сравнению с данными при поступлении в клинику.

Следует отметить, что в данном случае, несмотря на отсутствие клинических признаков генерализации инфекции у больных с ГВЗМТ на фоне СД исследование провоспалительного цитокина свидетельствовало об обратном явлении. Еще одной особенностью изменения концентрации провоспалительного цитокина ИЛ-1 b у больных с ГВЗМТ на фоне СД является повышение его уровня на 3-и сутки лечения в случае развития септического шока, что, по-видимому, было связано с применением дополнительной агрессии в виде ХОГО.

Концентрация провоспалительного цитокина ИЛ-6 у больных с ГВЗМТ на фоне СД при поступлении в клинику варьировалась от $10,2\pm0,49$ до $54,5\pm12,8$ пкг/мл (табл. 7). Следует отметить, что концентрация ИЛ-6 нарастала по мере утяжеления септических проявлений.

При отсутствии септического осложнения ГВЗМТ на фоне СД применение традиционных методов лечения сопровождалось увеличением уровня концентрации ИЛ-6 на 3-и сутки до $22,1\pm0,97$ пкг/мл. В последующие сроки у этих больных уровень провоспалительного цитокина ИЛ-6 оставался высоким. Вероятно, это обстоятельство было связано с поздней воспалительной реакцией организма, что характерно для данного маркера генерализации инфекции. Наше суждение подтверждают данные, полученные при исследовании больных с сепсис-синдромом (табл. 7).

Таблица 7
Содержание провоспалительного цитокина ИЛ-6 (пкг/мл) в сыворотке крови у больных в динамике течения ГВЗМТ на фоне СД, $M\pm t$

Вид септического проявления	При поступлении	3-и сут	5-е сут	7-е сут
Без сепсиса, $n=31$	$10,2\pm0,49$	$22,1\pm0,97^*$	$15,8\pm0,12^*$	$18,5\pm0,34^*$
Сепсис-синдром, $n=30$	$32,1\pm2,7$	$33,6\pm2,1^*$	$36,8\pm1,85^*$	$33,2\pm2,4^*$
Тяжелый сепсис, $n=7$	$45,6\pm9,6$	$43,8\pm8,4^*$	$44,2\pm7,4^*$	$43,1\pm9,5^*$
Септический шок, $n=5$	$54,5\pm12,8$	$53,6\pm11,7^*$	$55,9\pm9,5^*$	-

Примечание. * – $p<0,05$ по сравнению с данными при поступлении в клинику.

Умеренное повышение уровня данного маркера генерализации инфекции на 3-и и на 5-е сутки традиционного лечения оставалось сохранным и на 7-е сутки исследования. Присоединение к септическому осложнению ГВЗМТ на фоне СД полиорганной дисфункции и септического шока на фоне высоких значений провоспалительного цитокина ИЛ-6 в сыворотке крови характеризовалось стабильными показателями.

Характер изменения содержания провоспалительного цитокина TNF- α в сыворотке крови у больных в динамике течения ГВЗМТ на фоне СД указывает на выраженную разницу между видами септического осложнения (табл. 8).

У больных с сепсис-синдромом уровень провоспалительного цитокина TNF- α варьировал в пределах от $12,0\pm0,58$ до $12,5\pm0,98$ пкг/мл, с тяжелым сепсисом – от $26,4\pm1,44$ до $28,5\pm1,47$ пкг/мл, с септическим шоком – от $40,7\pm5,8$ до $43,8\pm5,4$ пкг/мл (табл. 8).

Таблица 8
Содержание провоспалительного цитокина TNF- α (пкг/мл) в сыворотке крови у больных в динамике течения ГВЗМТ на фоне СД, $M\pm t$

Вид септического проявления	При поступлении	3-и сут	5-е сут	7-е сут
Без сепсиса, $n=31$	$2,7\pm0,45$	$2,8\pm0,52^*$	$3,7\pm0,12^*$	$3,4\pm0,1^*$
Сепсис-синдром, $n=30$	$12,4\pm1,24$	$12,5\pm0,98^*$	$12,4\pm0,55^*$	$12,0\pm0,58^*$
Тяжелый сепсис, $n=7$	$28,4\pm2,85$	$26,4\pm1,44^*$	$28,5\pm1,47^*$	$28,4\pm2,5^*$
Септический шок, $n=5$	$42,7\pm10,4$	$43,8\pm5,4^*$	$40,7\pm5,8^*$	-

Примечание. * – $p<0,05$ по сравнению с данными при поступлении в клинику.

Таким образом, проведенное нами исследование показало, что диагностические маркеры генерализации воспалительного процесса наравне с признаками SIRS имеют информационную ценность. Эти маркеры, несомненно, можно использовать при оценке эффективности проводимой терапии и в профилактике развития сепсиса. При этом особенностью течения гнойно-воспалительного заболевания мягких тканей у больных сахарным диабетом является

ся стертость клинических признаков генерализации. Нам представляется, что с целью объективизации диагностической ценности этих лабораторных методов оценки состояния больного требуется разработка интегрированных методов, которые в свою очередь позволят унифицировать систему лечебно-диагностического алгоритма.

Литература

1. Горюнов С.В., Ромашов Д.В., Бутивщенко И.А. Гнойная хирургия. – М.: БИНОМ. Лаборатория знаний, 2004. – 558 с.
2. Гумилевский Б.Ю., Гумилевская О.Л., Кабурнеева О.Г. Особенности иммунологических нарушений у пациентов перитонеального диализа с разной степенью риска развития перитонита // Вестн. Волгоградского мед. ун-та. – 2011. – №3. – С. 88-91.
3. Исмаилов С. Пути усовершенствования помощи больным сахарным диабетом в Узбекистане // Междунар. эндокринол. журн. – 2007. – №10.
4. Кетлинский С.А., Симбирцев А.С. Цитокины. – СПб: ООО Фолиант, 2008. – 552 с.
5. Сидорова Е.В. В-1 лимфоциты. Происхождение, дифференцировка, функции // Успехи соврем. биол. – 2009. – Т. 129, №1. – С. 27-38.
6. Ярилин А.А. Иммунология. – М.: ГЭОТАР-Медиа, 2010. – 752 с.
7. Чакрян С.А., Тимербулатов В.М., Моругова Т.В., Алибаева Г.Ф. Состояние иммунитета у больных сахарным диабетом 1 и 2 типов при пневмонии // Сахарный диабет. – 2010. – №2. – С. 81-83.
8. Cooper M.E., Gilbert R.E., Jerums G.D. Diabetic complications // Proc. Austral. Physiol. Pharmacol. Soc. – 2006. – Vol. 27, №2. – P. 248.
9. Cruciani M., Lipsky B.A., Mengoli C., de Lalla F. Are granulocyte colony-stimulating factors beneficial in treating diabetic foot infections? A meta-analysis // Diab. Care. – 2005. – Vol. 28, №2. – P. 454-60.
10. De Lalla F., Pellizzer G., Strazzabosco M. et al. Randomized prospective controlled trial of recombinant granulocyte colony-stimulating factor as adjunctive therapy for limb-threatening diabetic foot infection. Antimicrobial Agents and Chemotherapy 2001Maheshwari S. Pterygium-induced corneal refractive changes // Indian J. Ophthalmol. – 2007. – Vol. 55, №5. – P. 383-386.
11. Godfrey D.I., Rossjohn J. New ways to turn on NKT-cells // J. Exp. Med. – 2011. – Vol. 208, №6. – P. 1121-1125.
12. Harris N., Gause W.C. To B or not to B: B-cells and the Th2-type immune response to helminthes // Trends Immunol. – 2011. – Vol. 32,

№2. – Р. 80-88.

ПРИЧИНЫ ГЕНЕРАЛИЗАЦИИ ИНФЕКЦИИ У БОЛЬНЫХ С ГНОЙНО-ВОСПАЛИТЕЛЬНЫМИ ЗАБОЛЕВАНИЯМИ МЯГКИХ ТКАНЕЙ НА ФОНЕ САХАРНОГО ДИАБЕТА

Охунов А.О., Бабаджанов Б.Д., Пулатов У.И., Косимов У.К., Султанов Н.Х.

Цель: изучение генерализации инфекции и различных форм сепсиса у больных с гнойно-воспалительными заболеваниями мягких тканей на фоне сахарного диабета с использованием новых и традиционных методов диагностики сепсиса. **Материал и методы:** проанализированы результаты лечения 73 больных с гнойно-воспалительными заболеваниями мягких тканей на фоне сахарного диабета, поступивших на стационарное лечение в Республиканский центр гнойной хирургии и хирургических осложнений сахарного диабета МЗ РУз в 2005-2011 гг. по неотложным показаниям. **Результаты:** прокальцитонин и провоспалительные цитокины ИЛ-1 β , ИЛ-6, TNF- α являются маркерами генерализации воспалительного процесса наравне с признаками SIRS, имеющими информационную ценность. Эти маркеры, несомненно, можно использовать при оценке эффективности проводимой терапии и в профилактике развития сепсиса. При этом особенностью течения гнойно-воспалительного заболевания мягких тканей у больных сахарным диабетом является стертость клинических признаков генерализации. **Выводы:** с целью объективизации диагностической ценности этих лабораторных методов оценки состояния больного требуется разработка интегрированных методов, которые в свою очередь позволят унифицировать систему лечебно-диагностического алгоритма

Ключевые слова: сахарный диабет, хирургическая инфекция, сепсис, гнойно-воспалительный процесс, медиаторы воспаления.

Клиническая
медицина

АТОПИК ДЕРМАТИТЛИ БОЛАЛАРДАГИ СУРУНКАЛИ ГЛОМЕРУЛОНЕФРИТДА ИММУНОПАТОЛОГИК СИЛЖИШЛАР ХУСУСИЯТИ

Рахманова Л.К., Каримова У.Н., Рахманов А.М.

ОСОБЕННОСТИ ИММУНОПАТОЛОГИЧЕСКИХ СДВИГОВ ПРИ ХРОНИЧЕСКОМ ГЛОМЕРУЛОНЕФРИТЕ У ДЕТЕЙ С АТОПИЧЕСКИМ ДЕРМАТИТОМ

Рахманова Л.К., Каримова У.Н., Рахманов А.М.

THE FEATURES OF IMMUNOPATHOLOGICAL SHIFTS IN CHRONIC GLOMERULONEPHRITIS IN CHILDREN WITH ATOPIC DERMATITIS

Rakhmanova L.K., Karimova U.N., Rakhmanov A.M.

Тошкент тиббиёт академияси

Под нашим наблюдением находились 34 ребенка в возрасте от 3-х до 6 лет, страдающих нефротической формой хронического гломерулонефрита с атопическим дерматитом. Выявлено, что у детей при нефротической форме хронического гломерулонефрита с атопическим дерматитом иммунопатологические сдвиги характеризуются дефицитом клеточного и гуморального звеньев иммунитета и гиперпродукцией интерлейкина-4, которые сохраняются и в периоде ремиссии, также могут служить критерием ранней иммунодиагностики. Выраженные иммунопатологические сдвиги позволяют рекомендовать в комплексную терапию включение иммунокорригирующих методов терапии при лечении таких больных.

Ключевые слова: атопик дерматит, хронический гломерулонефрит, иммунопатологические сдвиги, интерлейкин-4.

Objective: to study immunopathological shifts in chronic glomerulonephritis in children with atopic dermatitis. **Materials and Methods:** we studied 34 children with atopic dermatitis associated with nephrotic form of chronic glomerulonephritis at the age of 3-6 years old. **Results:** in children with atopic dermatitis associated with nephrotic form of chronic glomerulonephritis immunopathological shifts are characterized by deficient cellular and humoral immunity and interleukin-4 overproduction, which are stored in the remission period and can serve as a criterion of immunodiagnosis. **Conclusions:** high immunopathological shifts allow to recommend methods of immunocorrection in complex treatment of patients with atopic dermatitis associated with nephrotic form of chronic glomerulonephritis.

Key words: atopic dermatitis, chronic glomerulonephritis, immunopathological shifts, interleukin-4.

Маълумки, нефротик синдром (НС) болалардаги гломерулопатиянинг оғир варианти ҳисобланади. Унинг тарқалиши ҳар 100 минг нафар болага 1,9-2,6%ни ташкил қилади [13,15]. НС- бу клиник-лаборатор симптом комплекс бўлиб, протеинурия (кунига 2,5г ортиқ ёки 50 мг/кг тана вазнига), олигурия, шишлар, гипопротеинемия, гипоальбуминемия, гиперлипидемия, гиперкоагуляция билан характерланади ва бу симптомлар болаларда кўпинча ўткір ва сурункали гломерулонефритнинг асосий кўриниши сифатида ривожланади. НС да гломеруляр патология кечишининг мураккаблиги ва оғир асорати бўлган сурункали буйрак етишмовчилигининг (СБЕ) ривожланиши касаллик патогенезини доимий синчилаб ўрганиш ва самарали даво усуllibарни кўллашни талаб этади [9,11,13,15].

Атопик дерматит (АД) – бу болалардаги атопиянинг эрта намоён бўлишидир. АД ирсий характерга эга бўлиб, 81% болаларда агар ота ва онада атопия ёки аллергия бўлса, 59% болаларда агар ота-онанинг бирида АД ёки респиратор аллергия бўлса, 56% болаларда ота ёки онада АД бўлса ривожланади [1,2]. АД ли болаларда патологик жараённинг кечиши деярли барча аъзо ва тизимларни камраб олади. Шунинг учун болаларда АД ни даволаш ва олдини олиш буғунги кунда педиатриянинг долзарб муаммоларидан бири бўлиб қолмоқда. [12,14]. Бу ўринда болаларда АД ва буйрак патологияси, шу жумладан сурункали гломерулонефритнинг бирга кечиши жиддий ахамият касб этади.

Сурункали гломерулонефрит (СГН) муаммоларига бағишлиган илмий изланишлар салмоқли бўлсада, касалликнинг АД билан бирга кечиши, интерлейкин-4 (ИЛ-4) ишлаб чиқарилиши ва бундай беморларни даволашда иммункоррекцияни кўллаш масалалари ўрганилмаган.

Максад

Атопик дерматитли болалардаги сурункали гломерулонефритнинг нефротик шаклида иммунопатологик силжишлар ва интерлейкин-4 ишлаб чиқариш хусусиятини ўрганиш.

Материал ва усуллар

34 нафар 3-6 ёшдаги СГНнинг нефротик шакли билан касалланган болалар кузатувимизда бўлди. Болалар икки гурӯхга ажратилди: 1-гуруҳ- СГН+АД; 2-гуруҳ-СГН. Назорат гурӯҳи шу ёшдаги 25 нафар амалий союлом болалар ташкил қилди. Клиник ташхис анамнез, клиник-лаборатор ва функционал текширувлар, иммунологик кўрсаткичлар ҳамда SCORAD индекси бўйича АД маркерлари асосида кўйилди [1].

Тадқиқот давомида ҳужайравий, гуморал иммунитет ҳолати, буйрак антиген боғловчи лимфоцитлари (АБЛ), Гарiba Ф.Ю. ва хаммуал. усуллари [6,7]нейтрофиллар фагоцитар фаоллиги (НФФ), Бумагина Т.К усули бўйича фагоцитоз объекти сифатида латекс кўллаш ёрдамида баҳоланди [4]. Иммуноглобулинлар IgA, IgM, IgG зардобдаги концентрацияси радиал иммунодиффузия усули (Mancini et.al (1965)), IgE ИФА усули [5], айланувчи иммун комплекс (АИК) преципитация усули [3] ёрдамида аниқланди, ҳамда ИЛ-4 ишлаб чиқарилиши ўрганиди [14].

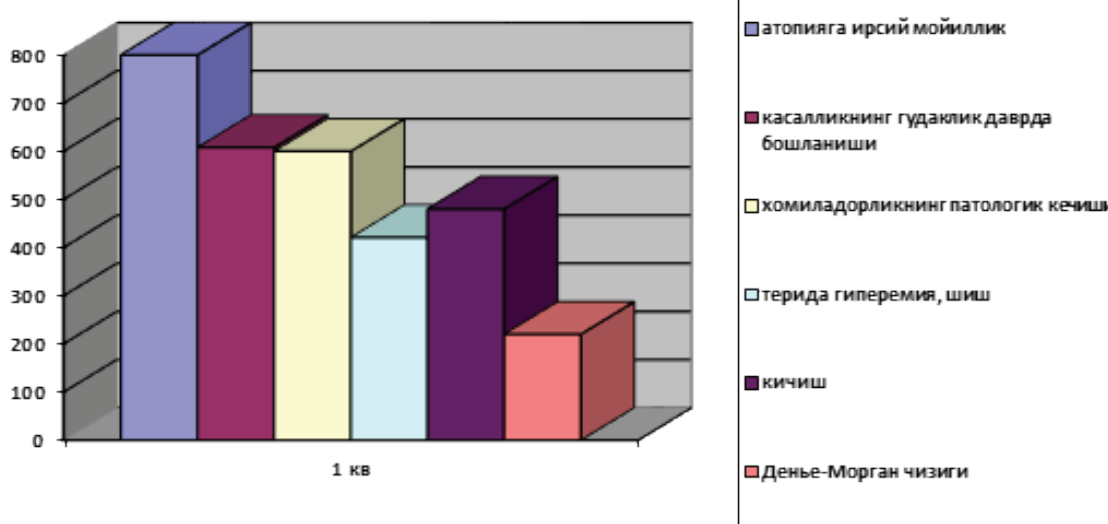
Текширув материали учун эрталаб оч қоринга венадан қон олинди. Тадқиқот натижасида олинган рақамлар вариацион статистика усулида ишланди, фарқларнинг ишончлилиги Стъюдент мезони бўйича аниқланди.

Тадқиқот натижалари

Ўтказилган тадқиқот натижасига кўра, кузатувдаги беморлар жинси бўйича қиз болалар 40,0%, ўғил болалар 60,0% ни ташкил қилди. Беморларнинг ўтказган касалликлари ичida юқори нафас ўйлари ва ЛОР аъзолари патологиялари юқори фоизга эга бўлди (30%; 48%). Аднинг асосий ва қўшимча ташхис мезонлари аниқланиши қўйидагича бўлди: аллергия ва иатопияга ирсий мойиллик 80,0%, хомиладорлик ва туғруқнинг патологик кечиши 68,0%, касалликнинг гўдаклик даврда бошланиши 63,1%, терида шиши ва гиперемия 42,1%, қичиш 48,0%, кафт ёрилиши 28,2%, оёқ-кўл ички юзасида тери тошмалари 75,3%, Денъе-Морган чизиги 22,0%, аралаш дермографизм 82,4%, овқатланиш ти-

зими ҳамроҳ касаллуклари (гастродуоденит) 26,0%, асаб

тизими касаллиги (КТД) 52,0% бўлиб, адабиёт манбааларидаги маълумотларни тасдиқлади [1,2,10], (расм).



Расм. Атопик дерматит ташхис меъзонлари

СГН нинг нефротик шаклида клиник манзара тавсифи куйидагича бўлди: шишлиар (100%), асцит (74,3%), терининг «бўрсимон» оқариши (76,0%), толиқиши (82,0%), иштаҳа камайиши (58,0%), кўнгил айниши (35%), кусиши (13,0%), А/Б ортиши (19,0%), тахикардия (88,0%), гепатомегалия (52,0%), мусбат Пастернацкий симптоми (38,0%).

Беморларда бўйрак парциал функцияси текшируви натижалари иккала гуруҳда ҳам назорат гуруҳ билан таққосланганда статистик ишонарли тарзда кундалик диурез камайиши, кундалик эритроцитурия, лейкоцитурия ва протеинурия ($P<0,001$), гиперлипидемия ($P<0,001-0,01$), гиперкоагуляция ($P<0,01$), гипопротеинемия, гипоальбуминемия ($P<0,001$), гипергаммаглобулинемия ($P<0,01$) ҳамда қон зардобида мочевина вакреатинин миқдорининг ортишида намоён бўлди ($P<0,001-0,01$).

Иммунологик текширув натижаларига кўра, назорат гуруҳ билан таққосланганда 1-ва 2-гуруҳда касалликнинг зўриқиши даврида (даволашдан олдин) статистик ишонарли Т-лимфоцитлар (СД3), Т-супрессорлар (СД8), Т-хелпер (СД4), табии киллерлар (LNK16), НФФ ва IgA камайиши ($P<0,001-0,01$), В-лимфоцит (СД19) ва бўйрак АБЛ ортиши ($P<0,001$), қон зардобида IgE ва IgM миқдорининг ортиши ($P<0,001-0,05$) ва ИЛ-4 ишлаб чиқарилиши ва АИК концентрациясининг ортиши кузатилди ($P<0,001-0,01$). Иммунопатологик силжишлар 1-гуруҳ bemorларда 2-гуруҳга нисбатан яққол намоён бўлди (жадвал).

Замонавий тиббиётдан маълумки, организм иммун жавоби бошқарувида эрувчан медиаторлар бўлган лимфо-, монокинлар-, интерлейкинлар, (шу жумладан ИЛ-4) муҳим роль ўйнайди. ИЛ-4 фаоллашган Т-хужайралар (Th2) томонидан ишлаб чиқарилади ва ҳужайра мембраннысидаги махсус рецепторларга боғланиб таъсир кўрсатади. ИЛ-4- IgE ишлаб чиқарилиши учун зарурий компонент ҳисобланади [8].

Адли болаларда СГН нинг нефротик шаклида иммунопатологик силжишлар ривожланишини шундай изоҳлаш мумкин, яъни организм иммун жавобининг турлари лимфоцитлар бирор вариантининг фаоллашуви билан боғлиқдир. Бу жараёнда Т-хелпер клонининг (Th) биринчи (Th1) ёки иккинчи (Th2) типлари қатнашади ва булар ўзлари ишлаб чиқарадиган цитокин тури (шу жумладан, ИЛ-4) ва иммун жавобни ҳужайравий ёки гуморал типи ривожланишини жадаллаштиришдаги роли бўйича ўзаро фарқланади. Т-хужайра клонларининг плазматик ҳужайралар томони-

дан IgE ишлаб чиқарилишини таъминлаши цитокинлардан ИЛ-4 ишлаб чиқарилишига тўғри пропорционалдир. Болалардаги аллергик касалликда (масалан: АД) ИЛ-4 кўрсаткичининг ўзгариши касалликнинг даври, давомийлиги ва қондаги IgE миқдори даражасига коррелятив боғлиқдир. ИЛ-4 нинг ортиқча ишлаб чиқарилиши атопик касаллика эга бўлган bemorлар учун нуқсон бўлиб, ортиқча ва узоқ вақт IgE ишлаб чиқарилишини таъминлайди. [8,12,13].

Жадвал

Болалардаги СГНда иммунологик кўрсаткичлар динамикаси ($M\pm m$)

Кўрсаткичлар	Бемор болалар, n=34			
	Назорат гуруҳ, n=25	Даволашдан олдин, n=34	Даволашдан кейин	
			1-гуруҳ, СГН+АД, n=17	2-гуруҳ, СГН, n=17
СД3, %	56,21±0,98	34,25±1,12*	41,16±1,18#	45,38±0,56#
СД4 %	34,50±1,40	13,00±1,26*	17,08±1,67	23,16±1,17#
СД8, %	18,64±0,49	12,27±0,89*	13,44±1,09	16,82±1,16#
СД19, %	11,16±0,73	21,03±0,36*	18,00±0,68	14,00±0,79#
LNK16, %	11,44±0,53	7,00±0,24*	10,00±0,71	11,00±0,54
АСЛ крови, % АСЛ почек	-	7,43±0,56	3,89±0,45*	2,65±0,34*
IgA, г/л	1,80±0,31	0,61±0,27*	0,72±0,19	1,06±0,22#
IgM, г/л	1,71±0,44	2,61±0,37*	2,23±0,14	1,96±0,17
IgG, г/л	10,50±0,16	12,40±0,18	10,78±1,23	10,66±0,78
IgE, МЕ/мл	109,67±60,11	578,68±82,47*	324,73±66,11	111,24±53,15#
ЦИК, ед.опт.пл.	0,002±0,004	0,087±0,004*	0,058±0,001	0,021±0,009#
ФАН, %	50,50±1,11	35,25±1,45*	39,09±0,29	44,42±0,56#

Эслатма: *-назорат гуруҳ билан таққослагандаги фарқларнинг ишончлилиги; 1-ва 2-гуруҳ таққослагандаги фарқларнинг ишончлилиги. АБЛ даволашдан олдинги фарқлар билан таққосланган.

Анъянавий терапия натижаси динамикада (6 ойдан сўнг) даволашдан олдинги кўрсаткичлар билан таққосланганда bemorлардаги клиник-лаборатор ва иммунологик кўрсаткичлар ўзгариши қонда СД3, СД4, СД8, ФАН, IgA миқдори ортиши ($P<0,001$), бўйрак АБЛ, IgM, IgEva АИК концентрацияси ҳамда ИЛ-4 ишлаб чиқарилиши камайиши да ($P<0,01$) намоён бўлди.

1-1,5 йил давомидаги катамнез кузатувида 1-гуруҳ bemorларда (СГН+АД) 2-гуруҳ билан таққосланганда, пе-

риферик қон ва пешоб кўрсаткичлари (гемоглобин, лейкоцит, ЭЧТ, протеинурия, эритроцитурия, лейкоцитурия, кундалик диурез) меъёrlашуви тўлиқ кечмагани ва клиник ремиссия даврининг қисқалиги кузатилди. Бу даврда 1-гурухда (СГН+АД) касаллик қайталаниши 6 нафар (35,3%) ни ташкил қилди. 2-гурухда (ХГН) касаллик қайталаниши 3 нафар (17,6%) ни ташкил қилди.

Олинган маълумотлар шуни кўrсатдики, СГН нинг нефротик шакли АД ли болаларда АД сиз болаларга нисбатан анча оғир кечади ва анъанавий усууллар билан беморни даволаш қўйин кечади. Шунинг учун бундай bemорларни даволашда қўшимча адекват терапия усуулларини кўллашни талаб этади.

Хулоса

1. Адли болалардаги СГНнинг нефротик шаклида иммунопатологик силжишлар иммунитет хужайравий ва гуморал звеносида СДЗ, СД4, СД8, ФАН, IgA камайиши, СД19, буйрак АБЛ кўrсаткичи ортиши, қон зардобида IgM, IgE миқдори, АИК концентрацияси кўтарилиши а ИЛ-4 гиперпродукцияси билан характерланади, бу ҳол касалникнинг ремиссия даврида ҳам сақланиб қолади.

2. Иммунопатологик силжишларининг СГН ремиссия даврида сақланиб қолиши, яъни қон зардобида буйрак АБЛ, IgE миқдори, АИК концентрацияси кўтарилиши ва ИЛ-4 гиперпродукцияси организм иммун компрометивлигини тасдиқлади ва Адли болалардаги СГН нефротик шаклини эрта иммун ташхис меъзони бўлиб хизмат қолади.

3. Адли болалардаги СГНнинг нефротик шаклида яққол иммун патологик силжишлар, патологик жараённинг анча оғир кечиши ва даволашнинг мураккаблиги бундай bemорларни комплекс даволаш таркибида адекват иммун коррекция даво усуулларини кўллашни талаб этади.

Адабиётлар

1. Атопический дерматит у детей: диагностика, лечение и профилактика // Программа Союза педиатров России. М., 2000. -75 с.
2. Балаболкин И.И. Влияние генетических факторов на развитие атопического дерматита у детей // Педиатрия.-2009. Том 87. -№2 -С.125-130.
3. Белокриницкий Д.Б. Методы клинической иммунологии. В кн: Лабораторные методы исследования в клинике.// Под ред. Меньшикова В.В.-М: Медицина, 1987. -С.277-310.
4. Бумагина Т.К. Определение фагоцитарной активности нейтрофилов при помощи латекса // Иммунология.-1981.-№2.-С.44-45.
5. Влагов Г.С. Метод иммуноферментного анализа применением набора реагентов, выпускаемых ЗАО «Вектор-бест»//Новосибирск, 1991.
6. Гариф Ф.Ю. и др. Способ определения лимфоцитов // Расмий ахборотнома.-1995.-№1.-С.90.

7. Гариф Ф.Ю. и др. Клиническая ценность определения АСЛ у больных брюшным тифом и другими заболеваниями. //Метод. Рек. Ташкент. 1983.

8. Намазова Л.С., Ревякина В.А., Балаболкин И.И. Роль цитокинов в формировании аллергических реакций у детей // Педиатрия.-2000.-№1 -С.56-65.

9. Ни А., Лучанинова В.Н. Результаты катамнестического наблюдения детей, перенесших гломерулонефрит. // Педиатрия.-2009.-Том.87. -№3.-С.39-42.

10. Ortaldo J., et al. Effects of natural and recombinant IL-2 on regulation of JEN production and Nk activity // J. Immunol.-1984. -Vol.133.N2.-P.779-784.

11. Рахманова Л.К., Сулейманов А.С., Каримжанов И.А., Холтоева Ф.Ф. Эффективность полиоксидония при лечении атопического дерматита у часто болеющих детей // Вестник ТМА.-2014. -№2 с.99-102.

12. Rakhmanova L.K., Suleymanov A.S. Features of interleukin-2 production and efficiency of polioxidonium in the treatment of glomerulonephritis in children // Вестник ТМА.-2014.-№3.-с.83-85.

13. Фомина С.П., Багдасарова И.В. Иммуносупрессивная терапия гормонрезистентного нефротического синдрома у детей: алкилирующие агенты. //Укр. журнал нефрології та діалізу. 2010.№1(25).с.27-33.

14. Хамидов И.М., Рахманова Л.К. Особенности продукции интерлейкина-2 и эффективность вебэнзима при лечении атопического дерматита у часто болеющих детей // Врач-аспирант. 2011.№4.1.(47). -с.255-260.

15. Warady B.A., Chadcha V. Chronic kidney disease in children the global perspective// Pediatric nephrology. 2010. №22. P.1999-2009.

АТОПИК ДЕРМАТИТЛИ БОЛАЛАРДАГИ СУРУНКАЛИ ГЛОМЕРУЛОНЕФРИТДА ИММУНОПАТОЛОГИК СИЛЖИШЛАР ХУСУСИЯТИ

Рахманова Л.К., Каримова У.Н., Рахманов А.М.

Мақсад: атопик дерматити бўлган болаларда сурункали гломерулонефрит ривожланишида иммунопатологик силжишларни ўрганиш. **Материал ва усууллар:** сурункали гломерулонефритнинг нефротик шакли ва атопик дерматити бўлган 3 ёшдан 6 ёшгача бўлган 34 болаларнинг иммун кўrсаткичлари ўрганилган. **Натижга:** бундай болаларда иммунопатологик силжишлар иммунитетнинг хужайравий ва гуморал тизимларининг етишмовчилиги ва интерлейкин 4нинг гиперпродукцияси билан кечади ва бундай ўзгаришлар ремиссия даврида ҳам сақланиб қолади, ҳамда иммунодиагностиканинг эрта критерийлари бўлиб хисобланади. **Хулоса:** бундай bemорларда аниқланган кучли иммунопатологик силжишлар даволаш комплексига иммун тизимни тикловчи усуулларни киритишни тавсия этади.

Калит сўзлар: атопик дерматит, сурункали гломерулонефрит, иммунопатологик силжишлар, интерлейкин-4.

ОЦЕНКА ЭФФЕКТИВНОСТИ КОНСЕРВАТИВНОГО ЛЕЧЕНИЯ КИШЕЧНОГО БИОЦЕНОЗА У ДЕТЕЙ С ХРОНИЧЕСКИМ КОЛОСТАЗОМ

Сайдов Ф.Х., Акилов Х.А., Мухамеджанова Н.Н

СУРУНКАЛИ КОЛОСТАЗ БҮЛГАН БОЛАЛАРДА ИЧАК БИОЦЕНОЗИНИ ДАВОЛАШНИНГ КОНСЕРВАТИВ УСУЛЛАРИНИ БАҲОЛАШ

Сайдов Ф.Х., Акилов Х.А., Мухамеджанова Н.Н

EVALUATION OF CONSERVATIVE TREATMENT INTESTINAL BIOCENOSIS IN CHILDREN WITH CHRONIC COLOSTASIS

Saidov F.Kh., Akilov Kh.A., Mukhamedjanova N.N.

Ташкентский институт усовершенствования врачей,
Республиканский научный центр экстренной медицинской помощи

Мақсад: сурункали колостаз бўлган болаларда ичак биоценозини клиникага ётқизилган ва консерватив даводан сўнг қиёси бахолаш. **Материал ва усуллар:** Республика шошилинч тиббий ёрдам илмий марказининг болалар жарроҳлиги бўлимида 2012-2015 йилларда даволанган 3 ёшдан 14 ёшгача бўлган 71 болаларнинг ичак микрофлораси ўрганилган. 52 (73,2%) беморда пархез, бактериал препаратлар, физиотерапевтик даволашни ўз ичига олган медикаментоз даво ўтказилган. **Натижга:** најаснинг микробиологик текширувларига кўра ўтказилган консерватив даводан сўнг 53,5% беморларда ичак флорасини тикланиши кузатилган. **Хулоса:** сурункали колостаз бўлган беморларнинг йўғон ичак микробиоценозини ўрганиши даволаш самарадорлигини баҳолашнинг мұхим мезонларидан бири хисобланади.

Калим сўзлар: болалар, сурункали колостаз, ичак биоценози, даволаш.

The analysis of the results of bacteriological studies of feces in 71 children with chronic colostasis at admission and 43 children after conservative treatment. Drug therapy in 53.5% of cases did not lead to the full restoration of normal bowel microbiocenosis children with chronic colostasis underway subcompensation and decompensation.

Key words: chronic colostasis, biocinosis intestine, treatment, children.

Несмотря на пристальное внимание зарубежных и отечественных специалистов к проблеме запоров, ее решение и в настоящее время остается актуальной задачей [13,17]. Многочисленные публикации свидетельствуют о том, что число людей, страдающих запорами, неуклонно растет. Это заставляет вновь обращаться к изучению причин подобной тенденции, особенно в детском возрасте [13].

В развитых странах запорами страдают 30-50% взрослого трудоспособного населения, а в возрасте старше 60 лет их число возрастает до 60%. Считается, что запором страдает от 10 до 25% детей, однако истинная его распространенность у детей неизвестна вследствие низкой обращаемости родителей по этому поводу к врачу [11].

Только у 10% детей запоры связаны с органической патологией, в 90% случаев они имеют функциональный характер. Избыточное накопление каловых масс в кишечнике само по себе снижает его моторику, приводит к изменению кишечно-го биоценоза и накоплению кишечных метаболитов [6,15,18].

Теоретические предпосылки свидетельствуют о влиянии нарушений кишечного биоценоза на состояние эпителия кишечной стенки, а следовательно, его возможной роли в этиологии и патогенезе хронических заболеваний кишечника, в том числе хронического запора. Многие авторы отмечают, что на фоне моторных нарушений имеются различной степени дисбиотические расстройства, роль которых в развитии хронического запора также может быть значительной [1].

Для лечения хронического колостаза (ХК) предложено множество методов консервативного и хирургического лечения, но ни один из них не обладает стопроцентной эффективностью, частота неудовлетворительных результатов достигает 27-46% [4,8]. Консервативное лечение детей с ХК должно быть комплексным с индивидуальным подходом к каждому больному, учетом анамнеза, возраста ребенка, этиологии, клинических проявлений, осложнений и сопутствующих заболеваний [3]. При консерватив-

ном лечении хронического колостаза немалая роль отводится коррекции дисбиотических нарушений [4].

Поиску подходов к решению данной проблемы, в том числе в педиатрии, посвящено много работ, среди которых определенное место занимают исследования по изучению эффективности препаратов, используемых для коррекции моторно-эвакуаторных нарушений [13].

Цель исследования

Сравнительная оценка кишечного биоценоза у детей с хроническим колостазом при поступлении в клинику и после проведения консервативной терапии.

Материал и методы

Кишечная микрофлора изучена у 71 ребенка с хроническим колостазом в возрасте от 3-х месяцев до 14 лет, поступившего на лечение в отделение детской хирургии Республиканского научного центра экстренной медицинской помощи г. Ташкента в 2012-2015 гг. Бактериологическое исследование кала проводилось в бактериологической лаборатории РНЦЭМП при поступлении больного и после проведения консервативного лечения.

Взятие материала, его разведение, посев на соответствующие питательные среды (Эндо, кровяной агар, желочно-солевой агар, Сабуро-агар, среда Бликтфельда, желочно-эскулиновый агар, МРС-агар) и учет результатов по IV степеням дисбактериоза толстой кишки проводились по методу И.Б. Куваевой, К.С. Ладодо [9]. Идентификацию родов или видов микроорганизмов выполняли согласно Руководству Берджи [14]. В зависимости от степени компенсации ХК все больные были разделены на 3 группы: с компенсированной стадией – 22 (31%), с субкомпенсированной – 25 (35,2%), с декомпенсированной стадией – 24 (33,8%). Для проведения статистической обработки материала использовали непараметрический показатель – таблицу сопряженности 2x2 с определением критерия χ^2 [2].

Результаты и обсуждение

Дети с хроническим колостазом при поступлении были разделены в зависимости от стадии компенсации заболевания (табл. 1).

Показатели кишечной микрофлоры у пациентов с хроническим колостазом при поступлении, аб. (%)

Количественные изменения микробного пейзажа	Норма	Стадия хронического колостаза			Всего, n=71
		компенсирующая, n=22	субкомпенсирующая, n=25	декомпенсирующая, n=24	
Уменьшение общего кол-ва кишечной палочки <107	107-08		8 (32)	10 (41,7)	18 (25,4)
Увеличение кол-ва лактозонегативных кишечных палочек >105	<105	4 (18,2)	5 (20)	6 (25)	15 (21,1)
Гемолитические кишечные палочки	0	3 (13,6)	7 (28,0)	12 (50)	22 (31,0)
Другие условно-патогенные энтеробактерии	<104	Pr. vulgaris 2 (9,1)	Pr. mirabilis 3 (12)		5 (7)
Увеличение кол-ва неферментирующих бактерий >104	≤103-≤104			Ps. aeruginosa 3 (12,5)	3 (4,2)
Стафилококки (сапрофитный, эпидермальный)	≤104	4 (18,2)		2 (8,3)	6 (8,5)
Стафилококк золотистый	0			2 (8,3)	2 (2,8)
Уменьшение кол-ва энтерококков <105	105-108	5 (22,7)	6 (24)	8 (33,3)	19 (26,8)
Уменьшение кол-ва лактобацил <107	107-108	10 (45,5)	20 (80)	23 (95,8)	53 (74,6)
Уменьшение кол-ва бифидобактерий <109	109-1010	6 (27,3)	6 (24)	13(54,2)	25 (35,2)
Увеличение кол-ва грибов рода Candida >104	≤103-≤104		6 (24)	8 (33,3)	14 (19,7)

Диета: ограничение потребления легкоусвояемых углеводов, исключение потребления молока (особенно пресного); потребление овощей, фруктов и ягод, обладающих бактерицидным действием (редис, хрен, морковь, малина, клубника, земляника, черника, абрикосы, яблоки, черноплодная рябина, гвоздика, корица, лавровый лист); увеличение в рационе количества пищевых волокон – овсяные, пшеничные, кукурузные, применяемые в индивидуальных возрастных дозировках (от 10 до 20 г в день), которые можно рассчитать по формуле: возраст (в годах) + 5 г; употребление достаточного количества жидкости (в виде супа, чая, сока, воды и др. до 800-1000 мл в день); исключение продуктов, замедляющих моторику кишечника и опорожнение (кисели и компоты из груши, айвы, черники, каши «размазни» – манные и рисовые, протертые супы, наваристые бульоны, крепкие чай и кофе и др.); ограничение приема жирной пищи. Питание должно быть дробным, 5-6 раз в день, небольшими порциями.

Бактериальные препараты: в этой группе различают эубиотики и пробиотики – содержат живые микроорганизмы, синбиотики – содержат комбинацию из нескольких видов живых микроорганизмов, пребиотики – содержат стимуляторы роста облигатных микроорганизмов.

Синбиотики – содержат живые микроорганизмы и пребиотики, пробиотические комплексы, представляющие собой рациональную комбинацию из перечисленных выше компонентов и средств из других групп (сорбентов, витаминов, микроэлементов) [5,10,11,16].

Пробиотики – это препараты, БАДы – парафармацевтики, а также продукты питания, в состав которых входят живые микробы – представители нормальной микрофлоры кишечника, оптимизирующие микроэкологию кишечника благодаря целому ряду свойств – устойчивости к низкой pH желудочного сока, желчным кислотам, бактерицидам, высокой адгезивности, антагонизму к условно патогенной и патогенной микрофлоре и др. [5,19].

Для лечения больных дисбактериозом применялся один из наиболее ранних и хорошо зарекомендовавших

консервативное лечение было проведено у 52 (73,2%) детей с хроническим колостазом. Для восстановления нормального микробиоценоза кишечника лечение начинали с немедикаментозных мер.

Таблица 1**Показатели кишечной микрофлоры у пациентов с хроническим колостазом при поступлении, аб. (%)**

себя препаратов – Бифидумбактерин-Форте, содержащий иммобилизованные на косточковом активированном угле (сорбент) бифидобактерии. Форма выпуска – капсулы или порошок в пакетиках. Способ применения у детей – однократно 3 капс. или 1 упаковка порошка (3 дозы) во время вечернего приема пищи. Курс лечения – 5-15 дней. Также назначали эубиотик линекс, содержащий Lactobacillus acidophilus, Bifidobacterium infantis, Enterococcus faecium по 1-2 капсуле 3 раза в день. Курс лечения – 5-15 дней.

Для усиления эффекта пробиотика детям со значительными отклонениями в микробиоценозе кишечника одновременно назначался пребиотик дисахарид лактулоза – дюфалак, обладающий слабительными и аммонийсвязывающими свойствами. Препарат показан при хронических запорах, оказывает слабительный эффект, не влияя непосредственно на слизистую оболочку и гладкую мускулатуру толстого кишечника [7,8].

Медикаментозная терапия включала витаминные препараты (витамины группы В или витаминные комплексы); слабительные (гуталакс, пиколаксид), при необходимости – ферментные препараты (кроен, панкреатин и др.), спазмолитики (дротоверин, дюспаталин и др.) и антихолинэстеразные средства (прозерин).

Физиотерапевтическое лечение. Из большого разнообразия методов аппаратной физиотерапии [12] для нормализации пассажа кала, тонуса сфинктерного аппарата прямой кишки и мышц тазового дна мы использовали электрофорез раствора прозерина на переднюю брюшную стенку в области толстого кишечника.

Все дети получали консервативную терапию в стационаре с дальнейшим продолжением ее в амбулаторных условиях.

Для оценки состояния микробиоценоза толстого кишечника на фоне проведенного консервативного лечения отдаленные результаты изучены у 43 (82,7%) детей.

В стадии декомпенсации было 6 детей, соответствен но 19 и 18 находились в стадии компенсации и субкомпенсации (табл. 2).

Во всех 3 группах наблюдалась отклонения от нормальных показателей микробиоценоза. У больных с компенсированной стадией большинство показателей было в норме. При субкомпенсированной форме наиболее значительно снижалось количество лактобацилл (38,9%), нормальной кишечной палочки (27,8%), у некоторых па-

циентов обнаруживались и другие отклонения. При декомпенсированной стадии отклонения встречались у 6 (100%) больных. Следовательно, у 23 (53,5%) больных (дети с субкомпенсированными и декомпенсированными стадиями хронического колостаза), которые лечились консервативно, дисбиоз полностью не восстановился.

Таблица 2

Состояние кишечного биоценоза у детей с хроническим колостазом после консервативного лечения, абс. (%)

Количественные изменения микробного пейзажа	Норма	Стадия хронического колостаза			Всего, n=43
		компенсирующая, n=19	субкомпенсирующая, n=18	декомпенсирующая, n=6	
Уменьшение общего кол-ва кишечной палочки <107	107-108		5 (27,8)	3 (50)	8 (18,6)
Увеличение кол-ва лактозонегативных кишечных палочек >105	<105	2 (10,5)	2 (11,1)	2 (33,3)	6 (14)
Гемолитические кишечные палочки	0	-	1 (5,5)	5 (83,3)	6 (14)
Другие условно-патогенные энтеробактерии	<104		Pr. mirabilis 1 (5,5)		1 (2,3)
Увеличение кол-ва неферментирующих бактерий >104	≤103-≤104			Ps. aeruginosa 1 (16,6)	1 (2,3)
Стафилококки (сапрофитный, эпидермальный)	≤104	1 (5,3)		2 (33,3)	3 (7)
Стафилококк золотистый	0			2 (33,3)	2 (4,7)
Уменьшение кол-ва энтерококков <105	105-108	1 (5,3)	2 (11,1)	4 (66,6)	7 (16,3)
Уменьшение кол-ва лактобацилл <107	107-108	2 (10,5)	7 (38,9)	6 (100)	15 (34,9)
Уменьшение кол-ва бифидобактерий <109	+109-+1010	2 (10,5)	3 (16,7)	5 (83,3)	10 (23,3)
Увеличение кол-ва грибов рода Candida >104	≤103-≤104		2 (11,1)	3 (50)	5 (11,6)

Полученные ранее (при поступлении в клинику) результаты микробиологического исследования кала у детей с ХК показали, что практически у всех имеются нарушения микроэкологии кишечника, что согласуется с данными других авторов [4]. Сравнение контрольных показателей, полученных у 71 больного при поступлении, с данными после проведенного консервативного лечения показало, что у большинства больных произошло восстановление кишечной флоры (табл. 3).

Так, после лечения количество нормальной кишечной палочки было снижено лишь у 8 (18,6%) детей, в то время как до лечения таких больных было 25,4%; ферментативно неактивные *E. coli* встречались также реже – соответственно у 14% (до лечения у 21,1%). Энтерококки до лечения выявлялись у 26,8% обследованных, после лечения у 16,3%. Более низкие показатели были получены в отношении бифидобактерий (35,2 и 23,3%) и кандид (19,7 и 11,6%). Но наиболее значимо изменилось количество лактобактерий: если до лечения в контроле количество лактобактерий было снижено у 74,6% детей, то после консервативного лечения снижение их сохранялось у 34,9% ($p<0,01$).

О существенном восстановлении кишечной флоры после лечения свидетельствует и статистически достоверное уменьшение выявления гемолитической кишечной палочки (соответственно у 31 и 14%, $p<0,01$) и условно-патогенных энтеробактерий (7 и 2,3%). В то же время после лечения у 1 (2,3%) больного сохранилась синегнойная палочка, у 2 (4,7%) – патогенный стафилококк, относящиеся к типичным представителям госпитальной флоры. В целом, оценка не только качественных, но и количественных показателей (титры выявляемых микроорганизмов) микробной флоры кишечника больных, получавших консервативное лечение, показала, что у 23 (53,5%) детей (с субкомпенсированными и декомпенсированными стадиями хронического колостаза) микробиоценоз восстановлен не полностью.

Таблица 3
Показатели дисбиоза кишечника при поступлении и после консервативного лечения, абс. (%)

Основные показатели дисбиоза	Больные с отклонением от нормы при поступлении, n=71	Больны с с отклонением от нормы после консервативного лечения, n=43	X ² p
Уменьшение общ. кол-ва кишечной палочки <107	18 (25,4)	8 (18,6)	X ² -0,3 p>0,05
Увеличение кол-ва лактозонегативных кишечных палочек >105	15 (21,1)	6 (14)	X ² -0,5 p>0,05
Гемолитические кишечные палочки	22 (31)	6 (14)	X ² -5,7 p<0,05
Другие условно-патогенные энтеробактерии	(Pr. vulgaris 2, Pr. mirabilis 3) 5 (7,0)	Pr. mirabilis 1 (2,3)	p>0,05
Увеличение кол-ва неферментирующих бактерий >104	Ps. aeruginosa 3 (4,2)	Ps. aeruginosa 1 (2,3)	p>0,05
Стафилококки (сапрофитный, эпидермальный)	6 (8,5)	3 (7)	p>0,05
Стафилококк золотистый	2 (2,8)	2 (4,7%)	p>0,05
Уменьшение кол-ва энтерококков <105	19 (26,8)	7 (16,3)	X ² -1,1 p>0,05
Уменьшение кол-ва лактобацилл <107	53 (74,6)	15 (34,9)	X ² -15,9 p<0,01
Уменьшение кол-ва бифидобактерий <109	25 (35,2)	10 (23,3)	X ² -1,8 p>0,05
Увеличение кол-ва грибов рода Candida >104	14 (19,7)	5 (11,6)	X ² -0,7 p>0,05

Выводы

1. Изучение микробиоценоза толстой кишки является важным критерием оценки эффективности терапии хронического колостаза у детей.

2. Проведенная консервативная терапия в 53,5% случаев не привела к полному восстановлению нормального микробиоценоза кишечника детей с ХК в стадии субкомпенсации и декомпенсации.

Литература

1. Белоусова О.Ю. Дисбактериоз кишечника при функциональном запоре у детей и его коррекция синбиотиком лактиале // Соврем. педиатр. – 2012. – №5 (45). – С. 123-124.
2. Гланс С. Медико-биологическая статистика. Электронная книга. М.: Практика, 1999. – С. 139-150.
3. Горелов А.В., Шевцова Г.В. Хронические запоры у детей // Вопр. практ. медицины. – 2014. – Т. 9, №6. – С. 46-53.
4. Долгарев С.О. Комбинированное лечение и реабилитация больных с хроническим колостазом: Автореф. дис. ... канд. мед. наук. – Ставрополь, 2010. – С. 7-12.
5. Калмыкова А.И., Селятицкая В.Г., Пальчикова Н.А., Бгатова Н.П. Клеточные и системные механизмы действия пробиотиков. – Новосибирск, 2007. – 280 с.
6. Корниенко Е.А., Комаров К.М., Типикина М.Ю., Лобода Т.Б. Применение осмотических слабительных в лечении хронических запоров у детей // Вопр. соврем. педиатр. – 2012. – Т. 11, №5. – С. 153.
7. Ленюшкин А.И., Киргизов И.В. О профилактической роли лактулозы в свете новой интерпретации хронического колостаза у детей // Вопр. практ. педиатр. – 2007. – Т. 2, №4. – С. 23-26.
8. Момотов А.Г., Литвинов Г.А., Момотов А.А. и др. Оценка ближайших и отдаленных результатов комплексного лечения хронических колостазов у детей // Український медичний альманах. – 2012. – Т. 15, №3. – С. 122-124.
9. Осадчук М.А., Осадчук М.М. Дисбактериоз кишечника (микробиологическая классификация дисбактериоза толстой кишки по IV степеням, предложенная И.Б. Куваевой и К.С. Ладодо, 1991): Метод. рекомендации. – Москва – Нижний Новгород, 2010. – С 5-16.
10. Шамсиев Ф.С., Мухамедова Х.Т., Дивеева А.С. Диагностика и лечение дисбактериоза у детей. Коррекция нарушений микробиоценоза кишечника с использованием препарата Дюфалак: Метод. рекомендации. – Ташкент, 2000. – С. 3-10.
11. Хавкин А.И. Подходы к лечению запоров у детей. // Вопросы современной педиатрии. 2009. Т 8. № 6. - С. 71.
12. Хан М.А., Петрова А.В., Попов В.В. и др. Физические факторы в комплексном лечении хронических запоров у детей // Педиатрия. – 2011. – Т. 90, №2. – С. 96-98.
13. Цветкова Л.Н., Нечаева Л.В., Горячева О.А. и др. Эффективность лактулозы в коррекции запоров у детей // Педиатр. фармакол. – 2007. – Т. 4, №6. – С. 59-63.
14. Bergey's Manual of Systematic Bacteriology Second Edition (10), Ed. William B. Whitman. – 2004. – P. 12-16.
15. Giannetti E., Sciorio E., Staiano A. Treatment of constipation: Where do we go? // JPGN. – 2011. – Vol. 53, №2. – P. 53-54.
16. Harvard Th., Versalovic J. Probiotics-host communication modulation of signaling pathways in the intestine // Gut. Microbes. – 2010. – Vol. 1, №3. – P. 1-16.
17. Rubin G., Dale A. Chronic constipation in children // Brit. Med. J. – 2006. – Vol. 33. – P. 1051-1055.
18. Tabbers M.M., DiLorenzo C., Berger M.Y. et al. Evaluation and treatment of functional constipation in infants and children: evidence-based recommendations from Espghan and Naspgahn // J. Pediatr Gastroenterol. Nutr. – 2014. – Vol. 58. – P. 258-274.
19. Senok A.C., Ismael A.Y., Botta G.A. Probiotics: facts and myths. – 2006. – P. 28-31.

ОЦЕНКА ЭФФЕКТИВНОСТИ КОНСЕРВАТИВНОГО ЛЕЧЕНИЯ КИШЕЧНОГО БИОЦЕНОЗА У ДЕТЕЙ С ХРОНИЧЕСКИМ КОЛОСТАЗОМ

Сайдов Ф.Х., Акилов Х.А., Мухамеджанова Н.Н

Цель: сравнительная оценка кишечного биоценоза у детей с хроническим колостазом при поступлении в клинику и после проведения консервативной терапии. **Материал и методы:** кишечная микрофлора изучена у 71 ребенка с хроническим колостазом в возрасте от 3-х месяцев до 14 лет, поступившего на лечение в отделение детской хирургии Республиканского научного центра экстренной медицинской помощи г. Ташкента в 2012-2015 гг. У 52 (73,2%) больных было проведено медикаментозное лечение, которое включало диету, бактериальные препараты, физиотерапевтическое лечение. **Результаты:** результаты микробиологического исследования показали, что после проведенного консервативного лечения у 53,5% больных произошло восстановление кишечной флоры. **Выводы:** изучение микробиоценоза толстой кишки является важным критерием оценки эффективности терапии хронического колостаза у детей.

Ключевые слова: дети, хронический колостаз, биоценоз кишки, лечение.

ВЛИЯНИЕ ГЛИКОЗАМИНОГЛИКАНОВ (СУЛОДЕКСИД «VESSEL DUE F») НА ТЕЧЕНИЕ ДИАБЕТИЧЕСКОЙ НЕФРОПАТИИ НА СТАДИИ МИКРОАЛЬБУМИНУРИИ У БОЛЬНЫХ САХАРНЫМ ДИАБЕТОМ 2-ГО ТИПА

Салихова И.С., Муродова С.М.

2 ТУР ҚАНДЛИ ДИАБЕТНИНГ АСОРАТИ ДН НИНГ МАУ БОСҚИЧИДА ГЛИКОЗАМИНОГЛИКАН СУЛОДЕКСИД «VESSEL DUE F» ПРЕПАРАТИНИНГ ИЖОБИЙ ТАСИРИНИ ЎРГАНИШ

Салихова И.С., Муродова С.М.

EFFECT OF GLYCOSAMINOGLYCANS (SULODEXIDE «VESSEL DUE F») ON THE COURSE OF DIABETIC NEPHROPATHY IN THE STAGE OF MICROALBUMINURIA IN PATIENTS WITH TYPE 2 DIABETES

Salikhova I.S., Murodova S.M.

Ташкентская медицинская академия

Мақсад: 2 чи турдаги қандли диабет диабетик нефропатиянинг микроальбуминурия босқичида бўлган беморларни даволашда гликозаминогликанли сулодексид препаратини клиник самарадорлигини баҳолаш. **Материал ва усуллар:** МАУси бўлган қандли диабетниң иккинчи тури билан оғриган 42 ёшдан 71 ёшгача бўлган 60 беморлар, улардан 29 эркак ва 31 аёллар текширувдан ўтказилган. 30 бемор стандартлар бўйича анъанавий усула даволанган, 30 беморга қўшимча гликозаминогликанлар гуруҳига кирувчи сулодексид (Вессел Дүз Ф фирмаси Alfa Wasserman, Italiya) препарати қўлланилган. **Натижаси:** сулодексид препарати альбуминни сийдик билан ажралишини ишонарли камайтирган. Унинг антитромботик ва профибринолитик хусусиятлари, эндотелий функциясини яхшиланиши аниқланган, бу эса турли томирлар ўзанини ҳимоялашда самараали эканлигидан далолат беради. **Хулоса:** сулодексид билан даволаш стандарт давони тўлдиради ва гликемияни назоратини тўлиқ таъминлайди.

Калим сўзлар: қандли диабет, диабетик нефропатия, микроальбуминурия, гепарансульфат, сулодексид.

Objective: to evaluate the clinical efficacy of the drug from the group of glycosaminoglycans of sulodexide in the treatment of patients with type 2 diabetes with diabetic nephropathy in the stage of microalbuminuria. **Material and Methods:** 60 patients with type 2 diabetes with MAU, including 29 men and 31 women, aged from 42 to 71 years. 30 patients received conventional treatment under the standard, 30 on the background of traditional treatment additionally received sulodexide (Vessel Due F Alfa Wasserman company, Italiya) from the group of glycosaminoglycans. **Results:** Sulodexide was significantly positive effect on urinary albumin excretion rate. Established anti-thrombotic and pro-fibrinolytic effect of the drug, improved endothelial function, which justifies the use of sulodexide in the protection of various vascular regions. **Conclusions:** Sulodexide therapy complements the standard of care and provides a strict glycemic control.

Keywords: diabetes mellitus, diabetic nephropathy, microalbuminuria, heparan sulfate, sulodexide.

Диабетическая нефропатия (ДН) – одно из наиболее серьезных осложнений сахарного диабета (СД). Безусловно, неблагоприятные последствия хронической болезни почек часто могут быть предупреждены или отсрочены, если проведена ранняя диагностика и своевременно начато лечение. Оптимальный контроль гликемии – основной подход к предупреждению или замедлению развития осложнений сахарного диабета 2-го типа. Вместе с тем важной составляющей патогенетической терапии диабетической нефропатии является коррекция дисфункции эндотелия и структурных изменений гликокаликса и базальной мембранны клубочков почек с восстановлением уровня гепарансульфата (ГС). Все механизмы развития ДН тесно взаимосвязаны друг с другом.

Гликозаминогликаны (ГАГ) – гетерогенная группа полисахаридов с различной степенью сульфатирования, молекулярной массой и биологической активностью. Основными классами ГАГ являются гепарины, гепараны, ходроитины, кератаны, дерматан [1]. Ключевые функции их заключаются в регуляции гемостаза, защите сосудистой стенки от повреждающего воздействия и регуляции ее проницаемости. ГАГ, и в частности гепарансульфат протеогликан, входят в состав базальной клеточной мембранны (БКМ). Почечные ГАГ выполняют три основных функции: 1) структурную: являются одними из основных структурных элементов БКМ, мезангимального матрикса и интерстиция; 2) барьерающую: обеспечивают нормальную зарядоселектив-

ность и проницаемость почечного фильтра; 3) регуляторную: участвуют в межклеточных взаимодействиях, регуляции роста и пролиферации разных типов клеток [1].

Синтез почечных ГАГ осуществляют фибробlastы, эпителиальные и мезангимальные клетки. При развитии нефропатии отмечается резкое снижение содержания ГАГ в структуре БКМ, а следовательно, и повышение проницаемости БКМ. В основе этих процессов лежит недостаточное сульфатирование боковых цепей ГАГ за счет снижения активности сульфонтрансфераз (возможно, генетически детерминированное) в условиях «shear stress», активации ренин-ангиотензин-альдостероновой системы (РААС), окислительного стресса, метаболических нарушений. В нарушении структуры БКМ, происходящего вследствие нарушенного синтеза ГАГ и их сульфатирования, играют роль не только предполагаемые генетические дефекты соответствующих ферментных систем, но и активация РААС. Последней, как известно, придают большое значение в патогенезе гипертонической и диабетической нефропатии [3].

На современном этапе развития медицины надежным и ранним, доклиническим критерием повреждения клубочкового аппарата почки при СД2 микроальбуминурия (МАУ) является не только предиктором ДН у больных СД, но и связана с высоким риском развития сердечно-сосудистых осложнений [2], ассоциирована с повышенной общей и сердечно-сосудистой смертностью [3]. Факторами риска

развития МАУ у больных СД2 являются повышение НВА1с выше 6,5% и уровня триглицеридов выше 1,7 ммоль/л, артериальная гипертония >130/80 мм рт. ст., длительность диабета более 5 лет [6]. Предполагают, что МАУ является также маркером эндотелиальной дисфункции [8].

БКМ является общей для эндотелия кровеносных капилляров клубочка и подоцитов. Под электронным микроскопом БКМ выглядит трехслойной: центральный плотный темный слой (*lamina densa*) окружен менее плотными светлыми слоями с наружной (*laminae rara externa*) и внутренней (*laminae rara interna*) стороны. Структурная основа *lamina densa* представлена коллагеном IV типа, который обеспечивает размероселективность БКМ, формируя прочную решетку, играющую роль механического сита. Многие исследователи сходятся во мнении, что повреждение гломерулярного эндотелия с покрывающим его гликозаминогликаном является первым звеном в ряду патологических процессов, приводящих к МАУ и протеинурии [6].

Одним из новых направлений нефропротективной терапии является использование препаратов группы гликозаминогликанов с высоким тропизмом к сосудистой стенке, в частности суподексида [9]. Препарат суподексид («Vessel Due F», Alfa Wasserman, Italy) представляет собой смесь отрицательно заряженных гликозаминогликанов (80% – быстроподвижной электрофоретической фракции гепарина и 20% – дерматана сульфата) и обладает широким спектром биологической активности с восстановлением содержания ГС в почках. Данный препарат использовался в большинстве исследований активности гликозаминогликанов у человека, что связано с наличием пероральной формы, удобной для длительного применения.

Цель исследования

Оценка клинической эффективности препарата из группы гликозаминогликанов суподексида в терапии больных сахарным диабетом 2-го типа с диабетической нефропатией на стадии микроальбуминурии.

Материал и методы

Обследованы 60 больных СД2 с МАУ, из них 29 мужчин и 31 женщины, в возрасте от 42 лет до 71 года (51±4,5). Длительность заболевания – от 5 до 34 лет, в том числе у 11 пациентов – 5-10 лет, у 17 – 10-15 лет, у 14 – 15-20 лет, у 16 – 20-30 лет, у 2 – 30-34 года. Легкая форма СД имела место у 7 обследованных, средней тяжести – у 37, тяжелой формы – у 16 (табл.1). Пациенты были разделены на 2 группы: 30 больных, получавших традиционное лечение по стандарту, составили 1-ю группу. 30 пациентов 2-й группы на фоне традиционного лечения дополнительно получали суподексид (Вессел Дуэ Ф фирмы Alfa Wasserman, Italiya) из группы гликозамингликанов.

Суподексид («Vessel Due F») больным назначали в стационаре инъекционно по 2 мл (600 ЛЕ) № 10 ежедневно, в последующем в течение 3 месяцев перорально в капсулах в дозе 500 ЛЕ (250 ЛЕ утром и вечером) в сутки. При инъекционном применении и при пероральном приёме суподексида («Vessel Due F») побочных явлений не наблюдалось. Выбор дозы основан на данных проспективного рандомизированного исследования Di.N.A.S. (Diabetic Nephropathy and Albuminuria Sulodexide) [7]. У всех пациентов до лечения, а также через 3 и 6 месяцев проводилось клиническое обследование и лабораторно-инструментальное исследование основных параметров крови (уровень креатинина сыворотки, гликированного гемоглобина, альбуминурии по стандартным методикам). Показатели функционального состояния почек оценивали по уровню креатининемии, азотемии, протеинурии, определяемому кинетическим

методом (набор реагентов «Human», Германия), СКФ по формуле CKD-EPI [2]. МАУ в суточной моче стационарно и амбулаторно определяли тест-полосками Combi 13-10, 30, 80, 150 мг/л Visual Reading or with Combilezer («Human», Германия) (норма – до 20 мг/л).

Таблица 1
Общая характеристика больных в начале исследования

Показатель	1-я группа	2-я группа	p
Возраст, лет	52,12±0,40	54,10±0,50	0,512
Муж/жен	15/15	14/16	1
ИМТ, кг/м ²	31±0,5	31,5±0,4	0,744
Длительность СД2, лет	10±0,1	9±0,9	0,367
АГ, абс. (%)	13 (86,6)	12 (80,0)	1,0
Длительность АГ, лет	11,47±10,9	10,8±6,58	0,074
САД, мм рт. ст., среднее	141±8,4	142±7,1	0,892
ДАД, мм рт. ст., среднее	78±8,4	77,9±10	0,821
НВА1с, %	7,9±0,2	8±0,1	0,870
МАУ, мг/л	63,6±0,88	61,0±0,62	1,0
Инсулинотерапия, абс. (%)	3 (10)	4 (13,3)	1,0
Прием препаратов сульфонилмочевины, абс. (%)	8 (26,65)	7 (23,3)	1,0
Прием статинов, абс. (%)	3 (10)	4 (13,3)	1,0
ДР, абс. (%)	7 (23,3)	8 (26,6)	0,804

Обследованные были разделены на группы в зависимости от стадии ДН согласно принятой классификации по уровню АМ. Данные представлены в виде M±m. Статистическая обработка результатов проводилась с помощью непараметрических методов программы Statistica (6.0), описательные статистики приведены в формате M±m (Min, Max). Достоверными считали различия, удовлетворяющие p<0,05.

Результаты исследования

Суподексид оказал достоверный позитивный эффект на экскрецию альбумина с мочой. Установлено антитромботическое и профибринолитическое действие препарата, улучшение функции эндотелия, что оправдывает применение суподексида в отношении защиты различных сосудистых регионов.

При анализе динамики МАУ через 12 недель (табл. 2) установлено, что потеря белка уменьшилась у больных обеих групп, однако у пациентов, получавших суподексид, этот показатель снизился на 37,3% (p<0,05), тогда как у больных 1-й группы – лишь на 13,8%.

Таблица 2
Основные показатели у пациентов на фоне лечения

Показатель	При поступлении	1-я группа	2-я группа	p
Мочевина крови, моль/л	13,7±3,8	9,9±4,2	9,3±2,8	0,131
Креатинин крови, мкмоль/л	0,149±0,063	0,130±0,048	0,124±0,041	0,1
СКФ по CKD-EPI, мл/мин	47,2±12,8	53,8±13,1	67,9±11,4	0,618
Протеинурия, мг/л	878,6±234,7	757,9±167,8	551,3±189,7	0,8
Гематурия, в поле зрения	7,9±3,8	3,3±3,1	2,1±2,8	0,69

У пациентов 1-й группы, начиная с 3-го месяца, отмечался статистически значимый гипоальбуминурический эффект, который достигался без изменения уровней креатинина и калия плазмы. Полученный эффект не был связан с улучшением углеводного обмена, так как уровень гликированного гемоглобина в течение 6 месяцев достоверно не отличался от исходного. Сравнение групп показало, что в 1-й группе уменьшение МАУ на 50% и более от исходного уровня произошло у 27 (90%) пациентов через 6 месяцев, у 25 (83,3%) из них достигнута нормоальбуминурия. В группе сравнения уровень экскреции альбумина с мочой остался прежним у 12 пациентов (40%), а у 5 увеличился (16,6%), у 13 (43,3%) не изменилась. Различия между группами по уровню альбуминурии были статистически значимыми как через 3 (p=0,042), так и через 6 месяцев лечения (p=0,011).

Обследование больных через 3 месяца после окончания курса лечения сулодексидом показало, что достигнутый эффект сохранялся и после отмены препарата. Длительность лечения составила 6 месяцев с промежуточным исследованием через 3 месяца приема препарата. У больных 1-й группы не наблюдалось клинически значимых изменений стандартных показателей коагуляции. Побочных и нежелательных явлений не наблюдалось ни у одного участника исследования. Контрольный осмотр окулиста через 6 месяцев не выявил геморрагических осложнений; состояние глазного дна было стабильным у пациентов как 1-й группы, так и группы сравнения.

Обсуждение

В настоящее время проводятся масштабные международные исследования, которые могут предоставить дополнительные сведения о терапевтическом потенциале гликозаминогликанов при ДН. Результаты таких исследований позволяют создать доказательную базу, необходимую для возможного включения гликозаминогликанов в международные стандарты лечения ДН [4,5]. Но, возможно, уже сегодня следует обратиться к мнению экспертов для создания консенсуса по применению гликозаминогликанов в лечении ДН.

В проведенном нами исследовании выявлено положительное влияние препарата сулодексид на снижение экскреции альбумина у больных СД2 с начальными проявлениями ДН. Полученные нами результаты о влиянии препарата на альбуминурию согласуются с данными международных работ по применению сулодексида у больных с ДН на стадии МАУ. В проведенном нами исследовании достигнутый эффект снижения экскреции альбумина с мочой после отмены препарата сохранялся в течение 3-х месяцев. Вероятнее всего, сохраняющийся эффект сулодексида после окончания его приема отражает благоприятное влияние препарата на почечное ремоделирование. Препарат не оказал влияния на параметры коагулограммы, что позволяет считать его пероральное применение безопасным и не требующим контроля коагулограммы. Снижение уровня фибриногена обеспечивает дополнительный благоприятный гемодинамический эффект, снижая вязкость крови. Считается, что МАУ является маркером повреждения не только БКМ почек, но и системного сосудистого повреждения и генерализованной дисфункции эндотелия с повреждением покрывающего эндотелиоциты слоя гликокаликса. В нашем исследовании на основании снижения уровней МАУ и маркеров эндотелиальной дисфункции можно косвенно судить об уменьшении повреждения эндотелия при лечении сулодексидом. Положительный эффект препарата на снижение экскреции альбумина с мочой, многофакторная направленность сулодексида, удобство применения, низкий риск осложнений, удовлетворительный профиль переносимости и безопасности у пациентов пожилого возраста с СД2 дают основание считать препарат перспективным в лечении больных СД2 с МАУ.

Согласно современным представлениям о механизмах развития ДН актуальной и патогенетически обоснованной является мультикомпонентная терапия, одним из направлений которой является коррекция дисфункции эндотелия и структурных изменений гликокаликса и базальной мем-

бранны клубочков почек с восстановлением содержания в ней ГС. Проведенное исследование показало, что сулодексид хорошо переносится, не вызывает побочных эффектов.

Выводы

1. Сулодексид («Vessel Due F», Alfa Wasserman, Italy), применяемый инъекционно и перорально, является удобным для патогенетической терапии ДН на стадии МАУ при СД2.

2. Терапия сулодексидом дополняет стандарт лечения и обеспечивает строгий контроль гликемии.

Литература

1. Дедова И.И., Шестакова М.В. Алгоритмы специализированной медицинской помощи больным сахарным диабетом // Сахарный диабет. – 2015. – №15. – С. 1-120.
2. Свищунов А.А., Фомин В.В. Сулодексид и хронические заболевания почек: результаты экспериментальных и клинических исследований // Клин. нефрол. – 2013. – №2. – С. 47-50.
3. Abaterusso C., Gambaro G. The role of glycosaminoglycans and sulodexide in the treatment of diabetic nephropathy // Treat. Endocrinol. – 2012. – Vol. 5, №4. – P. 211-222.
4. Gambaro G., Kinalski I., Oksa A. et al. Oral sulodexide reduces albuminuria in microalbuminuric and macroalbuminuric type 1 and type 2 diabetic patients: The Di.N.A.S. rtrial // J. Amer. Soc. Nephrol. – 2012. – Vol. 13. – P. 1615-1625.
5. Harvey S., Miner J. Revisiting the glomerular charge barrier in the molecular era // Curr. Opin. Nephrol. Hypertens. – 2008. – Vol. 17, №4. – P. 393-398.
6. Jarad G., Miner J. Update on the glomerular filtration barrier // Curr. Opin. Nephrol. Hypertens. – 2012. – Vol. 18, №3. – P. 226-232.
7. Satchell S., Anderson K., Mathieson P. Angiopoietin 1 and vascular endothelial growth factor modulate human glomerular endothelial cell barrier properties // J. Amer. Soc. Nephrol. – 2014. – Vol. 26. – P. 566-574.
8. Satchell S., Tookey J. What is the mechanism of microalbuminuria in diabetes: a role for the glomerular endothelium? // Diabetologia. – 2012. – Vol. 51, №5. – P. 714-772.
9. Singh A., Satchell S.C., Neal C.R. et al. Glomerular Endothelial Glycocalyx Constitutes a Barrier to Protein Permeability // J. Amer. Soc. Nephrol. – 2012. – Vol. 134. – P. 2885-2893.

ВЛИЯНИЕ ГЛИКОЗАМИНОГЛИКАНОВ (СУЛОДЕКСИД «VESSEL DUE F») НА ТЕЧЕНИЕ ДИАБЕТИЧЕСКОЙ НЕФРОПАТИИ НА СТАДИИ МИКРОАЛЬБУМИНУРИИ У БОЛЬНЫХ САХАРНЫМ ДИАБЕТОМ 2-ГО ТИПА

Салихова И.С., Муродова С.М

Цель: оценка клинической эффективности препарата из группы гликозаминогликанов сулодексида в терапии больных сахарным диабетом 2-го типа с диабетической нефропатией на стадии микроальбуминурии. **Материал и методы:** обследованы 60 больных СД2 с МАУ, из них 29 мужчин и 31 женщины, в возрасте от 42 лет до 71 года. 30 больных получали традиционное лечение по стандарту, 30 на фоне традиционного лечения дополнительно получали сулодексид (Вессел Дуэ Ф фирмы Alfa Wasserman, Italiya) из группы гликозаминогликанов. **Результаты:** сулодексидоказал достоверный позитивный эффект на экскрецию альбумина с мочой. Установлено антитромботическое и профибринолитическое действие препарата, улучшение функции эндотелия, что оправдывает применение сулодексида в отношении защиты различных сосудистых регионов. **Выводы:** терапия сулодексидом дополняет стандарт лечения и обеспечивает строгий контроль гликемии.

Ключевые слова: сахарный диабет, диабетическая нефропатия, микроальбуминурия, гепарансульфат, сулодексид.

РАЦИОНАЛЬНОЕ ДОЗИРОВАНИЕ И МОНИТОРИНГ ЛЕКАРСТВЕННЫХ СРЕДСТВ ПРИ ЭПИЛЕПСИИ У ДЕТЕЙ

Самадов Ф.Н.

БОЛАЛАР ЭПИЛЕПСИЯДА ДОРИ ВОСИТАЛАРИНИНГ МОНИТОРИНГИНИ ВА РАЦИОНАЛ ДОЗАЛАШ

Самадов Ф.Н.

RATIONAL DISPENSING AND MONITORING DRUGS FOR EPILEPSY IN CHILDREN

Samadov F.N.

Ташкентский институт усовершенствования врачей

Мақсад: вальпроат кислотаси ва карбамазепин мисолида, қон зардобидаги тутқаноққа қарши дори воситаларининг миқдорини назорат қилишининг аҳамиятилигини баҳолаш. **Материал ва усуллар:** эпилепсияга чалинган 95 та беморнинг қон зардобида тутқаноққа қарши дори воситаларининг миқдори вальпроат кислотаси ва карбамазепин мисолида текширилди. Тадқиқотда турли генезли эпилепсияга чалинган 2 ойдан 13 ёшгача (41.63 ± 4.02 ой) бўлган, 53 (55,8%) ўғил болалар ҳамда 42 (42,2%) қиз болалар қатнашди. **Натижса:** дори воситаларининг терапевтик миқдори bemorлар қон зардобида жуда паст ёки юқори бўлган ҳолатлар 48,8% ва 34,6% кузатилди. Натижада, bemorларни даволаши жадвалига ўзгартириши киритилди ҳамда дори мониторинги билан тасдиқланди. **Хулоса:** эпилепсияга чалинган bemorларда тутқаноққа қарши дори воситаларини қондаги миқдорини мониторинг қилиш, бошқа инструментал текширувлар ЭЭГ ва МРТ каби муҳим аҳамията эга.

Калим сўзлар: болалар, эпилепсия, дори мониторинги

Objective: to assess the significance of control of the level of antiepileptic drugs in blood plasma on the example of valproic acid and carbamazepine. **Materials and Methods:** we studied the concentration of antiepileptic drugs (valproic acid and carbamazepine) in blood plasma of 95 children with epilepsy of various origins at the age from 2 months to 13 years (average 41.63 ± 4.02 months). **Results:** the contents of anticonvulsants were not reached or greatly exceeded the therapeutic level of 48.8% and 34.6% of patients, respectively. As a result, the treatment was changed to those patients in whom therapy with anticonvulsants were not given due effect and were confirmed by the concentration of antiepileptic medication in the blood. **Conclusions:** there is reliable evidence that for patients with epilepsy therapeutic drug monitoring is an important and integral part of the treatment, along with clinical examination, electroencephalography and neuroimaging techniques.

Key words: children, epilepsy, drug monitoring.

Эпилепсия – одно из тяжелых заболеваний нервной системы, требующих постоянной фармакотерапии на протяжении всей жизни пациента. В лечении эпилепсии следует применять современные антиэпилептические препараты (АЭП), занимающие ведущее место по критериям эффективности и переносимости. Преимущество, особенно в педиатрической практике, должно быть отдано оригинальным препаратам (а не их «копиям») или, по крайней мере, дженерикам всемирно известных производителей. При этом, особенно при лечении детей, экономический критерий никогда не должен быть ведущим в выборе препарата! [3].

Использование АЭП необходимо в адекватных возрастных дозировках. Применение низких дозировок – одна из основных причин псевдорезистентности в клинической практике. Следует помнить, что при тяжелых формах эпилепсии единственный шанс реально помочь пациенту – применять АЭП в максимально высоких дозировках, балансируя между клинической эффективностью и переносимостью. С другой стороны, при многих идиопатических формах эпилепсии целесообразно назначение минимальных «рабочих» дозировок АЭП. Несмотря на колossalные достижения в области лечения эпилепсии в последние годы, остается большая группа резистентных пациентов. В настоящее время происходит значительный пересмотр понятия критериев резистентности [3].

Индивидуализация терапии больных эпилепсией и выявление ее скрытых резервов в системе оптимизации лечения остаются актуальной проблемой, которой по-

священо значительное число работ зарубежных авторов [1,4,7,9,11], в то время как в отечественной литературе такие исследования единичны [8,10].

Появление возможности измерять концентрацию препаратов в крови позволило по-новому подойти к решению вопросов лекарственного лечения больных эпилепсией отдельными АЭП, вскрыть некоторые причины отсутствия их терапевтической эффективности и проявления побочного действия.

Лекарственный мониторинг АЭП необходим для решения трех основных проблем [6]. Во-первых, судороги происходят нерегулярно, иногда между эпизодами бывают длительные перерывы. Следовательно, долгосрочное наблюдение любой терапии судорог могут быть необходимы для клинической оценки состояния пациента. Во-вторых, некоторые АЭП вызывают побочные эффекты, которые трудно отличаются от основного неврологического заболевания. И, наконец, не существуют простые лабораторные анализы или диагностические процедуры, с помощью которых можно оценить клиническую эффективность АЭП [5].

Терапевтический лекарственный мониторинг (ТЛМ) также может быть использован для оценки соблюдения приверженности (комплаентность) к терапии [9]. Учитывая, что АЭП необходимо принимать в течение многих лет даже при отсутствии судорог, пациенты могут пропустить или прекратить прием препарата в целом. Наличие побочных эффектов или высокая стоимость лекарств и другие причины также могут стать причиной, по которой пациенты прекращают принимать препараты [5].

Цель исследования

Оценка значимости контроля уровня антиэпилептических препаратов в плазме крови на примере вальпроевой кислоты и карбамазепина.

Материал и методы

В исследование включены 95 детей обоего пола, направленных в городскую клиническую детскую больницу г. Ташкента №1 с различными формами эпилепсии. Диагноз верифицировали на основании данных анамнеза, характера припадков, результатов ЭЭГ и МРТ головного мозга. Всем пациентам при обращении за консультацией и при динамическом наблюдении проводили ТЛМ антиконвульсантов (вальпроевая кислота и препараты иминостельбина) в плазме крови. За терапевтические концентрации приняты следующие значения: для карбамазепина – 4-12 мг/л, для вальпроатов – 50-100 мг/л.

Согласно данным литературы [2], в случае, когда задача касается оценки эффективности или некомплаентности, идеальное время забора крови для всех АЭП – непосредственно перед приемом следующей дозы препарата, поэтому у наших больных забор крови осуществлялся именно в это время (остаточная концентрация после последнего приема).

Критерии включения в исследование: установленный диагноз эпилепсии различного генеза; пациенты обоего пола в возрасте от 2-х месяцев до 13 лет, находившиеся на стационарном лечении, а также поступившие в амбулаторном порядке, непрерывно принимающие АЭП; пациенты/опекуны, давшие письменное информированное согласие на участие в исследовании.

Критерии исключения из исследования: возраст больных старше 13 лет; нерегулярный прием АЭП; отсутствие информированного письменного согласия пациента/опекуна на участие в клиническом исследовании; соматически ослабленные на момент исследования пациенты.

Статистический анализ проводился с использованием программ Microsoft Excel 2013 и SPSS 19 (IBM, USA). В работе использовалась метод описательной статистики. Все данные представлены как средние значения (M) и стандартная ошибка среднего ($\pm m$). При проведении анализа результатов статистически значимыми считали значения при $p < 0,05$.

Результаты и обсуждение

В исследовании участвовали дети, страдающие эпилепсией различного генеза, в возрасте от 2-х месяцев до 13 лет ($41,63 \pm 4,02$ мес.), из которых было 53 (55,8%) мальчика и 42 (42,2%) девочки. В возрасте 2-11 месяцев было 19 (20%) пациентов, 12-35 месяцев (1 г.-2 г. 11 мес.) – 42 (44,2%), 36-71 месяц (3 г.-5 л. 11 мес.) – 20 (21%), старше 72 месяцев – 14 (14,7%). Возраст дебюта заболевания равен $21,2 \pm 3,53$ месяца, при этом минимальный возраст дебюта припадков был 1 месяц, а максимальный – 13 лет.

При изучении клинических проявлений заболевания установлено, что основным видом эпилептических пароксизмов являлись генерализованные приступы, которые встречались у 67 (70,5%) обследованных, что достоверно чаще, чем другие типы приступов ($p < 0,05$). Различные варианты простых парциальных приступов зафиксированы у 49 (51,5%) пациентов, сложных парциальных – у 19. У 7 (7,36%) больных отмечались полиморфные приступы в виде сочетания простых или сложных парциальных с вторично-генерализованными. Полиморфные припадки были представлены сочетанием абсансов, миоклонических и тонико-клонических припадков при генерализованной эпилепсии, простых и сложных парциальных, вторично генерализованных судорожных приступов – при парциальной (табл. 1).

Таблица 1
Семиотика приступов у обследованных пациентов

Семиотика приступов	Число больных, абс. (%)
Парциальные:	
- простые	20 (21,1)
- сложные	19 (20,0)
- с вторичной генерализацией	10 (10,5)
Генерализованные:	
- абсансы	9 (9,5)
- миоклонические	19 (20,0)
- клонические	1 (1,1)
- тонические	19 (20,0)
- тонико-клонические	11 (11,6)
- атонические	6 (6,3)
- инфантильные спазмы	2 (2,1)
Фебрильные судороги	2 (2,1)
Полиморфные приступы	7 (7,4)

Примечание. У ряда пациентов было выявлено более одного вида приступов, в связи с чем их сумма не соответствует общему числу пациентов.

В настоящее время в клинической практике применяется большое количество АЭП, обладающих различным спектром антиэпилептической активности и специфическими побочными эффектами. Предпочтение, особенно в педиатрической практике, отдается современным оригинальным АЭП, имеющим широкий спектр клинической эффективности, и хорошо переносимым АЭП. На сегодняшний день к базовым АЭП относятся вальпроаты и карбамазепин [3].

Проведенный нами анализ показал, что по числу назначений лидируют вальпроаты: 76 (80%) назначений пришлось на препараты этой группы, причем 23,6% составили назначения оригинального препарата депакин-хроно и 76,3% – его дженерика конвулекса. Оба препарата импортные, их широко используют во всех развитых странах, так как они эффективны в монотерапии как генерализованных, так и парциальных приступов эпилепсии. Второе место по числу назначений при эпилепсии у детей занимает карбамазепин – у 61 (64,2%), но в мононазначениях он встречается редко. Чаще всего его сочетают с конвулексом, депакином-хроно, бензодиазепинами. Третьим препаратом по числу назначений является бензонал – у 41 (49,4%), причем его чаще назначали в монотерапии.

Для карбамазепина и вальпроевой кислоты интерпретация результатов ТЛМ осложнена в связи с наличием активных метаболитов, значительными суточными колебаниями концентрации в плазме и широкой вариабельностью концентрации у разных пациентов [2].

Приводим данные о некоторых особенностях детского организма применительно к основным фармакокинетическим параметрам карбамазепина и вальпроевой кислоты (табл. 2).

Таблица 2
Фармакокинетические параметры антиконвульсантов (A. Fisher, P. Patsalos, 2004; B. Bourgeois, 2006)

АЭП	Биодоступность, %	Пик концен-трации, ч	Связывание белка-ми плазмы, %	t _{1/2} , ч	Сроки установления стабильной концентрации, сут	Элиминация
CBZ*	75-85	2-12	75	3-25	5 (20-30)	Печень
VPA*	90-100	1-8	70-93	5-18	2-3	Печень

*Примечание. *CBZ – карбамазепин, VPA – вальпроат.*

Необходимо также учитывать, что фармакокинетические параметры АЭП могут меняться в результате различных соматических заболеваний и ятрогенных манипуляций.

Оптимизация фармакотерапии пациентов проводилась под контролем терапевтического лекарственного мониторинга. Недостаточный терапевтический эффект, отсутствие проявлений побочного действия и выявленный быстрый метаболизм АЭП у пациентов позволяли постепенно повышать дозы под контролем ТЛМ.

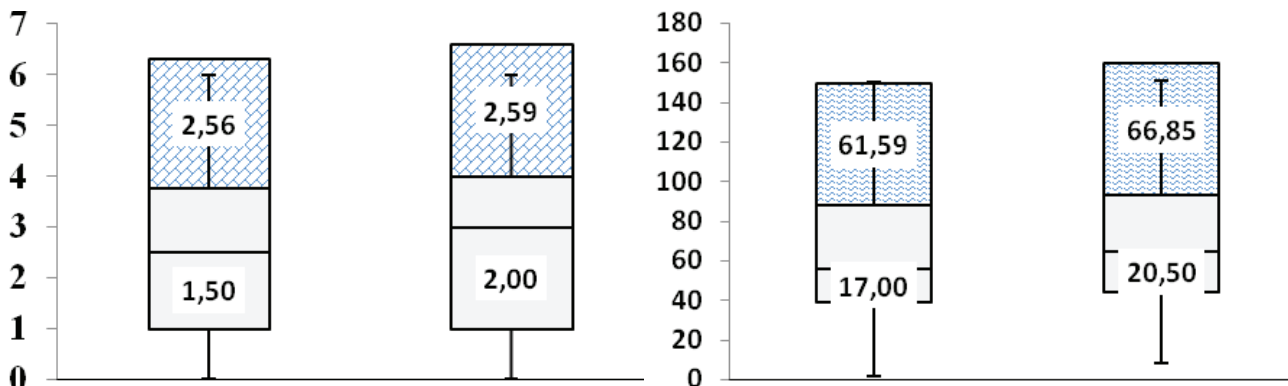


Рис. 1. Концентрация АЭП в плазме крови в зависимости от пола.

Из 43 пациентов, принимающих препараты карbamазепинового ряда, уровень, не соответствующий терапевтической норме, наблюдался у 21 (48,8%) ребенка, то есть концентрация препарата была менее 4 мкг/мл. Из этого числа концентрация ниже нормы 3-3,9 мкг/мл отмечалась у 7 (16,2%) детей, низкая концентрация 2-2,9 мкг/мл – у 8 (18,6%), очень низкая концентрация – у 6 (19,9%). Данный диапазон концентраций не входит в терапевтический, что может быть связано с неправильным подбором дозы препарата, т.е. с неадекватным подбором ПЭП, без учета формы эпилепсии и типа припадков, а также с индивидуальными особенностями организма (метаболические причины). Только у 1 больного определяется токсический

Полученные значения индивидуальных фармакокинетических параметров были использованы для корректировки режима дозирования. Выбранная индивидуальная терапевтическая дозировка привела к улучшению состояния пациентов (купированиеочных припадков, уменьшение продолжительности дневных приступов).

В случаях, когда падение общей концентрации клинически сопровождается учащением припадков, суточная дозировка АЭП должна повышаться (рис. 1).

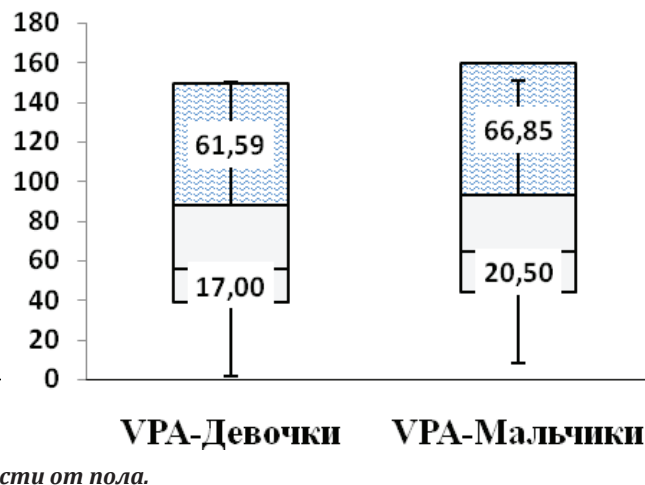


Рис. 2. Уровень валпроевой кислоты и карbamазепина в плазме крови.

уровень карbamазепина в крови 2,32%. В данном случае была произведена коррекция антиэпилептического лечения (рис. 2).

Из 52 пациентов, принимающих препараты валпроевой кислоты, субтерапевтический уровень отмечался у 18 (34,6%), терапевтический уровень – у 25 (48,07%), уровень выше терапевтического – у 9. Таким образом, 27 (51,9%) пациентов нуждались в коррекции терапии.

Благодаря сравнению клинических, нейрофизиологических и индивидуальных фармакокинетических параметров, оцененных у наших пациентов, нам удалось оптимизировать их режим дозирования для улучшения клинического эффекта.

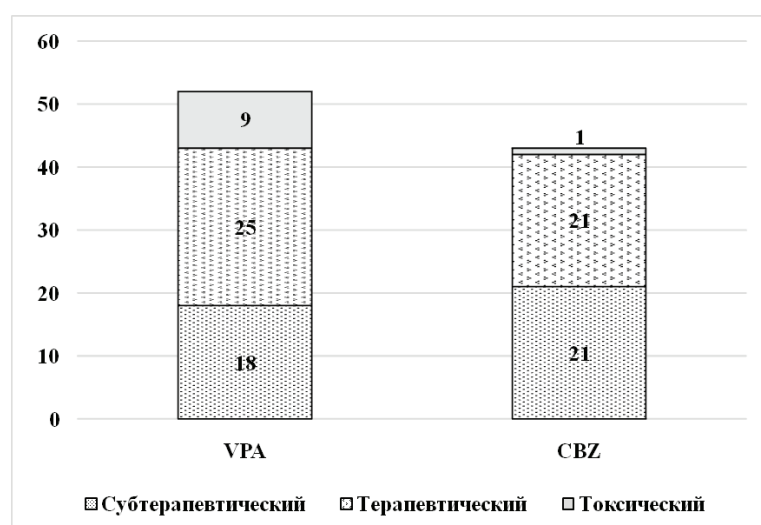


Рис. 2. Уровень валпроевой кислоты и карbamазепина в плазме крови.

Эти клинические примеры указывают на преимущества ТЛМ АЭП и расчета индивидуальных фармакокинетических параметров с целью оптимизации фармакотерапии в труднокурабельных случаях, особенно при смене лекарственных форм АЭП, при смене АЭП, при переводе пациента на моно- или полiterапию.

Выводы

Практика применения АЭП позволяет сделать вывод о том, что индивидуальная коррекция доз антiconвульсан-

тов по концентрации их в плазме обеспечивает более эффективное и безопасное лечение эпилепсии.

Проведение ТЛМ позволило установить причины неадекватно проводимого лечения: назначение АЭП в необоснованно низких дозах; назначение двух и более АЭП из различных групп без учета их фармакокинетического взаимодействия.

Среди пациентов с эпилепсией, ранее не обследованных на предмет концентрации противосудорожных пре-

паратов, содержание антikonвульсанта не достигало или резко превышало терапевтический уровень у 48,8 и 34,6%.

Лекарственный мониторинг должен являться неотъемлемой частью терапии эпилепсии, так как оптимальному терапевтическому эффекту должна соответствовать некая средняя концентрация (или средний диапазон концентраций) противосудорожного препарата в крови пациента.

Автор выражает свою признательность сотрудникам кафедры детской неврологии ТашИУВ за содействие в проведении данного исследования и ценные консультации. Работа проводилась под руководством профессора Ш.Ш. Шамансурова в рамках Государственного научно-технического гранта молодых учёных АЕСС-1 «Оптимизация диагностики и лечебных мероприятий, организация специализированной помощи детям страдающим эпилепсией».

Литература

1. Абаймов Д.А., Сариев А.К. и др. Современные технологии в терапевтическом лекарственном мониторинге // Эпилепсия и пароксизмальные состояния. – 2013. – Т. 5, №2. – С. 31-41.
2. Айвазян С.О. Терапевтический лекарственный мониторинг антikonвульсантов у детей // Эпилепсия и пароксизмальные состояния. – 2010. – Т. 2, №3. – С. 28-33.
3. Мухин К.Ю., Пылаева О.А. Основные принципы лечения эпилепсии. Алгоритм выбора антиэпилептических препаратов // Рус. журн. детской неврол. – 2014. – Т. IX, №4. – С. 30-39.
4. Kacirova I., Grundmann M., Brozmanova H. Concentrations of carbamazepine and carbamazepine-10, 11-epoxide in maternal and umbilical cord blood at birth: Influence of co-administration of valproic acid or enzyme-inducing antiepileptic drugs // Epilepsy Res. – 2016. – Vol. 122. – P. 84-90.
5. Matthew D. Krasowski. Therapeutic Drug Monitoring of the Newer Anti-Epilepsy Medications // Pharmaceuticals. – 2010. – Vol 3. – P. 1909-1935.
6. Patsalos P.N. et al. Antiepileptic drugs Best practice guidelines for therapeutic drug monitoring: A position paper by the subcommission on therapeutic drug monitoring, ILAE commission on therapeutic strategies // Epilepsia. – 2008. – Vol. 49. – P. 1239-1276.
7. Rosati A. et al. Antiepileptic Drug Treatment in Children with

Epilepsy // CNS Drugs. – 2015. – Vol. 29. – P. 847-863.

8. Saint-Marcoux F., Libert F. Practical information for therapeutic drug monitoring of the most common compounds // Therapie. – 2016. – Vol 71, №4. – P. 405-34.

9. Sarma A.K. et al. Medical management of epileptic seizures: challenges and solutions // Neuropsych. Dis. Treat. – 2016. – Vol. 12. – P. 467-485.

10. Shbarou R. Current Treatment Options for Early-Onset Pediatric Epileptic Encephalopathies // Curr. Treat. Options Neurol. – 2016. – Vol. 18. – P. 44-53.

11. Wilfong A. et al. Seizures and epilepsy in children: Classification, etiology, and clinical features. // <http://www.uptodate.com/contents/seizures-and-epilepsy-in-children-classification-etiology-and-clinical-features>

РАЦИОНАЛЬНОЕ ДОЗИРОВАНИЕ И МОНИТОРИНГ ЛЕКАРСТВЕННЫХ СРЕДСТВ ПРИ ЭПИЛЕПСИИ У ДЕТЕЙ

Самадов Ф.Н.

Цель: оценка значимости контроля уровня антиэпилептических препаратов в плазме крови на примере вальпроевой кислоты и карbamазепина. **Материал и методы:** изучена концентрация антиэпилептических препаратов в плазме крови в примере вальпроевой кислоты и карbamазепина у 95 детей, страдающих эпилепсией различного генеза, в возрасте от 2-х месяцев до 13 лет ($41,63 \pm 4,02$ мес). **Результаты:** Содержание антikonвульсантата не достигало или резко превышало терапевтический уровень соответственно у 48,8 и 34,6% обследованных. В результате лечение было изменено тем пациентам, у которых терапия антikonвульсантами не давала должного эффекта и была подтверждена концентрация противосудорожного препарата в крови. **Выводы:** получено достоверное подтверждение тому, что для пациентов с эпилепсией терапевтический лекарственный мониторинг является важной и неотъемлемой частью лечения, наравне с оценкой клинических данных, данных электроэнцефалографии и методов нейровизуализации.

Ключевые слова: дети, эпилепсия, лекарственный мониторинг.

РЕЗУЛЬТАТЫ ВИДЕОЭНДОСКОПИЧЕСКОЙ АДРЕНАЛЭКТОМИИ У БОЛЬНЫХ С ДОБРОКАЧЕСТВЕННЫМИ ОПУХОЛЯМИ НАДПОЧЕЧНИКОВ БОЛЬШИХ РАЗМЕРОВ

Сахибоев Д.П.

КАТТА ҲАЖМДАГИ БҮЙРАК УСТИ БЕЗИ ҲАВФСИЗ ЎСМАЛАРИНИ ВИДЕОЭНДОСКОПИК АДРЕНАЛЭКТОМИЯ НАТИЖАЛАРИ

Сахибоев Д.П.

THE RESULTS OF VIDEOENDOSCOPIC ADRENALECTOMY IN PATIENTS WITH BENIGN ADRENAL TUMORS OF LARGE SIZES

Sahiboyev D.P.

Ташкентская медицинская академия

Мақсад: 5 см дан катта бўлган бүйрак усти бези ҳавфсиз ўсмаларини даволашда лапароскопик адреналэктомиянинг имкониятлари. **Материал ва усуслар:** бүйрак усти бези ўсмаларини даволашда ёнбош трансабдоминал усули билан 97 операция ўтказилган. Ўсманинг ҳажмига кўра улар 2 гурухга бўлинган: 1-гурух 15 беморда бүйрак усти бези ўсмалари 5 см дан катта, 2-гурух 82 беморда ўсмаларининг катталиги 5 см дан кичик бўлган. **Натижса:** бүйрак усти бези ўсмалари 5 см дан кичик бўлган гуруҳда ЛАЭда асоратлари бир мунча кўпроқ ва беморларнинг операциядан сўнг ҳолати оғирроқ бўлишига қарамасдан, 5 см дан катта бўлган беморлар гуруҳидаги натижсалар очиқ жарроҳлик амалиётига нисбатан анчагина яхши бўлди. **Хулоса:** бүйрак усти бези ҳавфсиз ўсмалари ҳажми 5 см катта бўлган беморларда ЛАЭ ҳавфсиз ва самаралидир. Бүйрак усти бези ҳавфсиз ўсмалари 5 смдан катта бўлганда жарроҳлик амалиётининг ҳавфсизлиги операциядан олдин ўтказила-диган ташхиснинг сифатига, анестезиологик ёндашувга ва замонавий аппаратуралар билан таъминланганлигига боғлиқ.

Калим сўзлар: бүйрак усти бези ҳавфсиз ўсмалари, лапароскопик адреналэктомия, ўсма ҳажми, асоратлар.

Objective: to study the possibilities of laparoscopic adrenalectomy in patients with benign adrenal tumors of more than 5 cm.
Materials and Methods: there were performed 97 operations for adrenal tumors through lateral transabdominal access. The 1st group consisted of 15 patients with adrenal tumors larger than 5 cm, the 2nd one included 82 patients with adrenal tumor smaller than 5 cm. **Results:** despite a slight increase in the number of complications and a slight deterioration in postoperative performance, as compared to those after LAE, for adrenal tumors smaller than 5 cm, the immediate results of LAE for adrenal tumors larger than 5 cm are superior to open surgeries. **Conclusions:** LAE in benign adrenal tumors larger than 5 cm is enough safe and effective intervention. Great importance for the safety of patients with adrenal tumors larger than 5 cm during the operation have the highest quality of preoperative topical diagnostics and anesthesia, as well as the appropriate level of hardware.

Key words: benign adrenal tumors, laparoscopic adrenalectomy, the size of tumors, complications.

Влечении больных с доброкачественными опухолями надпочечников в настоящее время золотым стандартом является лапароскопическая адреналэктомия (ЛАЭ). ЛАЭ имеет все преимущества малоинвазивных операций и обеспечивает возможность выполнения адекватного объема операции [5]. По данным разных авторов, основным фактором, влияющим на возможность выполнения ЛАЭ, является размер опухоли надпочечника. В течение нескольких лет считалось, что опухоли надпочечника, размер которых превышает 5 см, служит противопоказанием к выполнению ЛАЭ [11]. Специалисты полагали, что опухоли больших размеров сопровождаются значительными изменениями анатомии в области надпочечника, а это вызывает затруднения при идентификации анатомических структур. Значение данного факта выражалось в повышении частоты развития интраоперационных осложнений и конверсии доступа, а также в критическом увеличении времени, затрачиваемого на выполнение ЛАЭ [6]. Кроме того, с увеличением размеров опухолей надпочечников закономерно возрастает вероятность злокачественной природы процесса, что также считалось противопоказанием к осуществлению ЛАЭ [7,8].

Однако в последнее время в практику внедрены более информативные методы, такие как МСКТ и МРТ, что позволило значительно улучшить топическую диагностику опухолей надпочечников и конкретизировать до начала операции представления об особенностях области надпочечника. Кроме того, появились возможности для облегчения идентификации анатомических структур во время

операции [1,9,12]. Другим важным аспектом является совершенствование анестезиологического пособия, которое позволяет проводить более длительные операции при сохранении того же уровня безопасности анестезии для больных [3]. С учетом перечисленных моментов в литературе появились данные об успешном выполнении ЛАЭ при опухолях надпочечников размером более 5 см.

Цель исследования

Изучение возможностей лапароскопической адреналэктомии у больных с доброкачественными опухолями надпочечников более 5 см.

Материал и методы

Нами при опухолях надпочечников выполнено 97 операций. Для диагностики опухолей надпочечников применяли комплекс лабораторных и инструментальных исследований, среди которых более информативной оказалась МСКТ. Все больные были разделены на 2 группы. У всех больных ЛАЭ были произведены посредством бокового трансабдоминального доступа. Предпочтение боковому трансабдоминальному лапароскопическому доступу отдавали в связи с тем, что он наиболее полно отвечает критериям пространственной оценки оперативных доступов. В 1-ю группу вошли 15 больных, у которых размеры опухоли надпочечников превышали 5 см. Правосторонняя ЛАЭ выполнена у 10 (66,6%) больных, левосторонняя – у 5 (33,3%). Размеры удаленных новообразований составили от 51 до 98 мм при правосторонней ЛАЭ и от 52 до 75 мм – при левосторонней. Средний размер опухоли в данной группе составил 71 ± 8 мм.

РЕЗУЛЬТАТЫ ВИДЕОЭНДОСКОПИЧЕСКОЙ АДРЕНАЛЭКТОМИИ У БОЛЬНЫХ С...

2-ю группу составили 82 больных, у которых размеры опухоли надпочечника были менее 5 см. Правосторонняя локализация опухоли выявлена у 37 (45,1%) больных, левосторонняя – у 45 (54,9%), средний размер опухоли составил 34 ± 11 мм.

В зависимости от морфологического характера опухоли больные были распределены следующим образом: аденома смешанного строения имела место соответственно у 5 и 43, альдостерома – у 3 и 13, феохромоцитома – у 3 и 3, узелковая гиперплазия коры надпочечника – у 0 и 6, киста надпочечника – у 4 и 2.

Предоперационная подготовка больных зависела в основном от природы опухоли. Пациент располагался на операционном столе в положении лежа на боку, противоположном стороне поражения. Пневмoperитонеум накладывали по безопасной методике, давление газа в брюшной полости во время операции не превышало 10 мм рт. ст.

Основные этапы операции при увеличении размеров опухоли надпочечников оставались теми же и включали создание экспозиции операционного поля, идентификацию центральной вены, клипирование и пересечение центральной вены, диссекцию надпочечника в едином блоке с опухолью, экстракцию макропрепарата. Все макропрепараты (рис. 1, 2) после операции в обязательном порядке направляли на гистологическое исследование.



Рис. 1. Опухоль правого надпочечника (феохромоцитома) размерами 77x52 мм.



Рис. 2. Опухоль правого надпочечника (аденома) размерами 33x27 мм.

Анализ полученных результатов включал изучение продолжительности операции в целом и отдельных ее этапов, частоты интра- и послеоперационных осложнений, течения послеоперационного периода.

Таблица
Продолжительность основных этапов ЛАЭ по поводу опухолей надпочечников в зависимости от их размера

Продолжительность этапов операции, мин	Размеры опухоли, см	
	<5	>5
Создание экспозиции операционного поля	22,9±2,1	23,1±2,1
Идентификация центральной вены	16,1±3,2	24,0±4,4
Клипирование и пересечение центральной вены	16,4±1,8	16,3±1,7
Диссекция надпочечника с опухолью	15,5±3,9	23,7±4,3
Экстракция надпочечника	18,3±2,1	24,7±2,1
Средняя продолжительность операции в целом	89,2±13,1	111,5±16,4

Как видно из таблицы, общая длительность операции в 1-й группе превысила таковую во 2-й на 20%, причем в основном различались этапы идентификации центральной вены, диссекции надпочечника с опухолью и экстракции макропрепарата из брюшной полости. У 5 больных с целью сокращения времени операции (в частности продолжительности 4 и 5 этапов) и уменьшения объема кровопотери после клипирования и пересечения центральной вены надпочечника мы использовали методику "hand-assist". Средняя кровопотеря во время операции составила соответственно 117 ± 38 и 67 ± 27 мл. Однако следует отметить, что на современном уровне развития анестезиологического обеспечения такое увеличение длительности хирургического вмешательства принципиально не сказывается на состоянии пациента.

Среди наших пациентов летальных исходов не было. У 2 (13,3%) больных 1-й группы развились интраоперационные осложнения в виде кровотечения из печени и реактивного панкреатита. Во 2-й группе осложнения отмечались у 3 (3,6%) пациентов: забрюшинная гематома (1), ранение селезенки (1), реактивный панкреатит (1). Кровотечение из печени остановлено с помощью электрокоагуляции, реактивный панкреатит и забрюшинная гематома успешно излечены консервативным путем. 1 пациенту вынуждено выполнена лапароскопическая спленэктомия. При этом конверсия оперативного доступа не потребовалась ни одному больному. Интраоперационное ранение селезенки было связано с тесным прилеганием опухоли и трудностями ее диссекции. В послеоперационном периоде у 1 больного после удаления опухоли большого размера (85 мм) в области расширенного для экстракции макропрепарата троакарного доступа была выявлена гематома предбрюшинной клетчатки, которая успешно излечена консервативным путем.

Среднее время активизации больных составило $9,3 \pm 3,1$ и $8,7 \pm 2,19$ ч; средняя продолжительность болевого синдрома – $21,4 \pm 5,9$ и $16,7 \pm 4,1$ ч (в обеих группах применение наркотических анальгетиков не требовалось), средняя время пребывания больных в стационаре – $5,8 \pm 1,2$ и $4,3 \pm 0,6$ суток, средняя длительность временной нетрудоспособности больных – $13,7 \pm 3,4$ и $11,5 \pm 27$ суток. Полученные данные показывают, что значительно различалась только средняя продолжительность болевого синдрома и его характер (у больных 1-й группы наблюдались более сильные боли), остальные показатели существенных различий не имели.

При этом, несмотря на некоторое увеличение количества осложнений и незначительное ухудшение послеоперационных показателей по сравнению с таковыми после ЛАЭ по поводу опухолей надпочечников размером менее

5 см, непосредственные результаты ЛАЭ при новообразованиях надпочечников размером более 5 см значительно превосходят результаты открытых операций.

В отдаленном периоде (до 1-го года) рецидивов заболевания не наблюдалось, а концентрация гормонов надпочечников не превышала нормативные показатели.

По данным С.И. Емельянова и соавт. [2], ЛАЭ при опухолях надпочечников размером от 51 до 87 мм является операцией выбора при условии соблюдения определенных требований к проведению данного вмешательства. R. Sharma и соавт. [10] и G. Zografos и соавт. [13] сообщили о лапароскопическом удалении опухолей надпочечников при размере 8-9 см у 15 больных. По данным других авторов, максимальный размер опухоли надпочечника, успешно удаленного лапароскопическим доступом, составил 12 см [4].

Выходы

1. ЛАЭ при доброкачественных опухолях надпочечников размером более 5 см является достаточно безопасным и эффективным вмешательством.

2. Для успешного проведения ЛАЭ при опухолях размером более 5 см требуется высокий уровень внимания и опыта хирурга.

3. Высокое качество предоперационной топической диагностики и анестезиологического пособия, а также соответствующий уровень аппаратного обеспечения имеют огромное значение для безопасности больных с опухолями надпочечников размером более 5 см во время операции.

Литература

- Емельянов С.И., Вередченко В.А., Митичкин А.Е. Использование трехмерной компьютерной томографии в планировании лапароскопической адреналэктомии // Эндоскоп. хир. – 2008. – №3. – С. 41-44.
- Емельянов С.И., Курганов И.А., Богданов Д.Ю. и др. Возможности лапароскопической адреналэктомии у пациентов с новообразованиями надпочечников больших размеров // Эндоскоп. хир. – 2011. – №4. – С. 3-9.
- Agarwal A., Mehrotra P.K., Jain M. et al. Size of the tumor and pheochromocytoma of the adrenal gland scaled score: can they predict malignancy? // Wld J. Surg. – 2010. – Vol. 34, №12. – P. 3022-3028.
- Boylu U., Oommen M., Lee B.R., Thomas R. Laparoscopic adrenalectomy for large adrenal masses:pushing the envelope // J. Endourol. – 2009. – Vol. 23, №6. – P. 971-975.
- Gumbs A.A., Gagner M. Laparoscopic adrenalectomy // Best Pract. Res. Endocrinol. Metab. – 2006. – Vol. 20, №3. – P. 483-499.
- Henry J.F., Defechereux T., Raffaelli M. et al. Complications of Laparoscopic adrenalectomy: Results of 169 Consecutive Procedures // Wld Surg. – 2000. – Vol. 24. – P. 1324-1346.
- Liao C.H., Chueh S.C., Lai M.K. et al. Laparoscopic adrenalectomy for potentially malignant adrenal tumors greater than 5 centimeters // J. Clin. Endocrin. Metab. – 2006. – Vol. 91, №8. – P. 3080-3083.
- Pallazzo F.F., Sebag F., Sierra M. et al. Long-term outcome following laparoscopic adrenalectomy for large solid adrenal cortex tumors // Wld J. Surg. – 2013. – Vol. 30, №5. – P. 893-898.
- Pampaloni F., Valeri A., Mattei R. et al. Experience with laparoscopic adrenalectomy in children // Chir. Ital. – 2012. – Vol. 58, №1. – P. 45-54.
- Sharma R., Ganpule A., Veeramani M. et al. Laparoscopic management of adrenal lesions larger than 5 cm in diameter // Urol J. – 2009. – Vol. 6, №4. – P. 254-259.
- Zacharius M., Haese A., Jurczok A. et al. Transperitoneal laparoscopic adrenalectomy: outline of the preoperative management, surgical approach, and outcome // Europ. Urol. – 2011. – Vol. 49, №3. – P. 448-445.
- Zhu D., Kumar A., Weintraub W.S., Rahman E. A large Pheochromocytoma with invasion of multiple local organs // J. Clin. Hypertens. – 2011. – Vol. 13, №1. – P. 60-64.
- Zografos G.N., Farfaras A., Vasiliadis G. et al. Laparoscopic resection of large adrenal tumors // JSLS. – 2010. – Vol. 14, №3. – P. 364-368.

РЕЗУЛЬТАТЫ ВИДЕОЭНДОСКОПИЧЕСКОЙ АДРЕНАЛЭКТОМИИ У БОЛЬНЫХ С ДОБРОКАЧЕСТВЕННЫМИ ОПУХОЛЯМИ НАДПОЧЕЧНИКОВ БОЛЬШИХ РАЗМЕРОВ

Сахибоев Д.П.

Цель: изучение возможностей лапароскопической адреналэктомии у больных с доброкачественными опухолями надпочечников более 5 см. **Материал и методы:** при опухолях надпочечников выполнено 97 операций посредством бокового трансабдоминального доступа. В 1-ю группу вошли 15 больных, у которых размеры опухоли надпочечников превышали 5 см, во 2-ю 82 больных, у которых размеры опухоли надпочечника были менее 5 см. **Результаты:** несмотря на некоторое увеличение количества осложнений и незначительное ухудшение послеоперационных показателей по сравнению с таковыми после ЛАЭ по поводу опухолей надпочечников размером менее 5 см, непосредственные результаты ЛАЭ при новообразованиях надпочечников размером более 5 см значительно превосходят результаты открытых операций. **Выходы:** ЛАЭ при доброкачественных опухолях надпочечников размером более 5 см является достаточно безопасным и эффективным вмешательством. Огромное значение для безопасности больных с опухолями надпочечников размером более 5 см во время операции имеют высокое качество предоперационной топической диагностики и анестезиологического пособия, а также соответствующий уровень аппаратного обеспечения.

Ключевые слова: доброкачественные опухоли надпочечников, лапароскопическая адреналэктомия, размеры опухолей, осложнения.

СОСТОЯНИЕ ГЕМОДИНАМИКИ ВО ВРЕМЯ СПИНАЛЬНОЙ И ЭПИДУРАЛЬНОЙ АНЕСТЕЗИИ У ПАЦИЕНТОК С ПОВЫШЕННЫМ ИНДЕКСОМ МАССЫ ТЕЛА ПРИ АБДОМИНАЛЬНОМ РОДОРАЗРЕШЕНИИ

Семенихин А.А., Матлубов М.М., Ким Е.Д., Абидов А.К.

ТАНА ВАЗНИ ИНДЕКСИ ОРТИК БҮЛГАН ҲОМИЛАДОРЛАРДА АБДОМИНАЛ ТУҒРУҚДА
ОРҚА МИЯ ВА ЭПИДУРАЛ ОГРИҚСИЗЛАНТИРИШ ПАЙТИДА ГЕМОДИНАМИКАНИНГ ҲОЛАТИ

Семенихин А.А., Матлубов М.М., Ким Е.Д., Абидов А.К.

HEMODYNAMIC STATUS DURING SPINAL AND EPIDURAL ANESTHESIA IN PATIENTS WITH INCREASED BODY MASS INDEX DURING ABDOMINAL DELIVERY

SemenihinA.A., MatlubovM.M., KimE.D., AbidovA.K.

Республиканский специализированный научно-практический медицинский центр акушерства и гинекологии, Самаркандинский государственный медицинский институт

Мақсад: абдоминал туғруқ пайтида тана вазни ортиқча бўлган беморларда орқа мия ва эпидурал оғриқсизлантиришнинг гемодинамика холатига таъсири ва анестезиологик самараадорлигини баҳолаш мақсадида ўтказилган изланишлар натижаси келтирилган. **Материал ва усуllibar:** текширув гуруҳларига коронар заҳираси сақланган тана вазни индекси – 25-34,9 кг/м² бўлган 38 та ҳомиладор киритилди. **Натижса:** марказий нероаксиал блокаданинг қўлланилган турлари жарроҳлик амалиёти пайтида гемодинамиканинг турғунлигини таъминлади ва юқори самараадорлигини кўрсатди. **Хуоса:** маҳаллий анестетиклар миқдорини индивидуал танлаш ва коронар заҳиранинг сақланганлиги марказий нероаксиал блокаданинг ҳавфсизлик кафолати ҳисобланади.

Калит сўзлар: эпидурал, спинал аnestезия, ортиқча тана вазни индекси, абдоминал туғруқ.

Objective: the assessment of hemodynamic status and effectiveness of anesthesia spinal and epidural anesthesia in patients with high body mass index at abdominal delivery weight. **Materials and methods:** the studied group consisted of 38 pregnant women with BMI - 25-34,9 kg/m², with intact coronary reserve. **Results:** it was established that piloted options CSL are highly effective and provide hemodynamic stability during the entire operation. **Conclusions:** security guarantees of CSL is the individual approach to the selection of a dose of local anesthetic and initial safety of the coronary reserve.

Key words: epidural, spinal anesthesia, increased body mass index.

Общепризнанным «золотым стандартом» при анестезиологическом обеспечении абдоминального родоразрешения считаются центральные нейроаксиальные блокады (ЦНБ) [3,7]. Между тем использование спинальной (СА) и эпидуральной анестезии (ЭА) у пациенток с повышенным индексом массы тела (ИМТ) и ожирением может сопровождаться выраженным нарушениями гемодинамики, обусловленными, с одной стороны, высокой сегментарной симпатической блокадой, а с другой, снижением адаптационно-приспособительных возможностей со стороны сердечно-сосудистой системы.

В этой связи изучение состояния гемодинамики у беременных с повышенным ИМТ и ожирением во время использования центральных нейроаксиальных блокад (ЦНБ) с целью определения наиболее безопасной и приемлемой в акушерской практике анестезии приобретает особое значение.

Цель исследования

Оценка гемодинамического статуса и анестезиологической эффективности СА и ЭА у пациенток с повышенным ИМТ и ожирением при сохраненных коронарных резервах во время абдоминального родоразрешения.

Материал и методы

Проанализированы результаты клинических наблюдений и комплексных клинико-функциональных и биохимических исследований, выполненных во время абдоминального родоразрешения у 38 женщин в возрасте от 22 до 30 лет при сроках гестации 36-39 недель. Все пациентки имели избыточную массу тела или ожирение I степени (ИМТ от 25 до 34,9 кг/м²) [4].

Согласно многофакторным критериям степени сохранности коронарных резервов [5] у всех 38 женщин адаптационно-приспособительные возможности сердечно-сосудистой системы были сохранены. Операции выполняли в

плановом порядке, их продолжительность составляла 25-40 минут. В зависимости от способа обезболивания все пациентки были разделены на две группы. В 1-ю группу вошли 19 женщин, оперированных в условиях СА, 2-ю группу составили 19 женщин, оперированных под ЭА.

Методика анестезии заключалась в следующем: после внутривенного введения димедрола (0,2 мг/кг) и дексаметазона (0,07 мг/кг) у пациенток 1-й группы на уровне LII-LIV проводили пункцию субарахноидального пространства с последующим введением 2,0-2,5 мл (10-12,5 мг) 0,5% раствора гипербарического раствора бупивакaina. Дозу бупивакaina рассчитывали согласно индивидуальным морфометрическим характеристикам пациентки [6].

У пациенток 2-й группы после аналогичной премедикации под местной инфильтрационной анестезии в положении на боку на уровне LI-ThXII проводили пункцию-катетеризацию эпидурального пространства. Катетер вводили в краинальном направлении на 4-5 см с последующим введением тест-дозы (2 мл 2% раствора лидокаина). При отсутствии признаков СА фракционно медленно через эпидуральный катетер вводили 0,5% изобарического раствора бупивакaina из расчета 1,25-1,5 мл на спинальный сегмент. С появлением клинических признаков полной сегментарной сенсорно-моторной блокады пациенткам обеих групп придавали «левоматочное» положение, а головной и срединный фрагмент операционного стола приподнимали на 10-15° (положение Фовлера). После извлечения плода с целью уменьшения психоэмоционального напряжения внутривенно вводили сибазон (0,2 мг/кг).

Об эффективности обезболивания судили по общепринятым клиническим признакам. Уровень сенсорного блока оценивали по утрате болевой чувствительности

(тест pinprick). Верхнюю границу блокады оценивали после ее стабилизации. Для оценки глубины моторной блокады использовали шкалу P. Bromage. Центральную гемодинамику изучали методом эхокардиографии с помощью аппарата Mindray. Определяли ударный индекс (УИ), сердечный индекс (СИ), общее периферическое сосудистое сопротивление (ОПСС). Среднее динамическое давление (СДД), частоту сердечных сокращений (ЧСС), сатурацию гемоглобина (SpO₂) отслеживали с помощью монитора Schiller. Адекватность анестезии оценивали по индексу напряжения (ИН), используя для этого математический анализ сердечного ритма [1], уровень суммарного кортизола (СК) в плазме крови (радиоиммунный метод) и скорости экскреции норадреналина (НА) с мочой [2].

Исследование проводили в 4 этапа: 1 – на операционном столе; 2 – перед кожным разрезом; 3 – в наиболее травматичный этап операции (извлечение плода, ревизия брюшной полости); 4 – после окончания операции. Полученные результаты обрабатывали методами вариационной статистики с использованием критерия Стьюдента (при помощи программы Microsoft Excel) и представлялись в виде $M \pm m$, где: M – среднее арифметическое значение, m – стандартная ошибка среднего. Статистически достоверными считали различия, удовлетворяющие $p < 0,05$. Полученные результаты представлены в таблице.

Результаты и обсуждение

Изучение клинического течения СА у пациенток 1-й группы показало, что классические признаки полного сегментарного сенсорно-моторного блока развивались к 6-8-й минуте с момента субарахноидального введения расчетной дозы местного анестетика и сохранялись в течение 1,5-2 часов. При этом сегментарный уровень сенсорной блокады соответствовал Th9-Th7 дерматомам. При использовании ЭА (2-я гр.) признаки полной сегментарной сенсорно-моторной блокады формировались только к 15-18 минуте, сегментарный уровень сенсорной блокады соответствовал Th10-Th8 дерматомам.

Исходное состояние гемодинамики у пациенток двух групп характеризовалось умеренно выраженной тахикардией; снижением ОПСС, разовой и минутной производительности сердца, однако не выходящих за границы физиологических колебаний. У всех обследованных женщин имел место эукинетический режим кровообращения (табл.). Изучаемые параметры в двух группах были идентичны и достоверно не отличались друг от друга.

Перед кожным разрезом на фоне полного сегментарного блока у пациенток обеих групп регистрировали классические клинико-функциональные проявления центральных сегментарных блокад – урежение ЧСС, снижение СДД и ОПСС достоверно более выраженные при использовании СА (1-я гр.). При этом УИ и СИ оставались без достоверных различий, отражая сохранение адаптационно-приспособительных возможностей сердечно-сосудистой системы беременных независимо от варианта регионарной блокады. На этом фоне регистрировали достоверное увеличение минутного диуреза на 15,8-16,3%, что свидетельствует об улучшении периферического кровотока в зоне сегментарного действия ЦНБ.

Наиболее травматичный этап операции характеризовался стабильностью изучаемых параметров гемодинамики и периферического кровотока, отсутствием достоверно значимых изменений относительно предыдущего этапа исследования, что свидетельствует об адекватности анестезиологической защиты. Исключение составляли абсолютные величины минутного диуреза, которые у пациенток обеих групп были достоверно ниже, чем на предыдущем этапе исследования, но выше исходных показателей до операции.

После окончания операции изучаемые параметры гемодинамики и периферического кровотока у всех женщин оста-

вались стабильными, достоверно не отличались друг от друга и укладывались в рамки физиологических колебаний. Исключение составляло СДД, снижение которого на данном этапе исследования было более выраженным у пациенток, оперированных в условиях СА, что можно объяснить более выраженной и высокой симпатической сегментарной блокадой.

В течение всей операции, в том числе и на ее наиболее травматичных этапах, пациентки оставались спокойными, жалоб не предъявляли. Признаков депрессии дыхания не наблюдали, SpO₂ составляло 96-98%. Адекватность анестезии подтверждалась отсутствием выраженного повышения ИН и концентрации СК в плазме крови даже на травматичных этапах операции. Так, ИН и СК на этапах извлечения плода и ревизии раны составляли у пациенток 1-й группы соответственно 246,2±24,3 усл. ед и 746,3±44,3 нмоль/л, 2-й – 232,8±20,8 усл. ед и 726,4±48,3 нмоль/л и не выходили за границы «стресс» нормы. Концентрация НА в моче за период операции увеличивалась до 10,1±1,3 (1-я гр.) и 9,8±1,1 нмоль/л (2-я гр.). При этом скорость экскреции НА с мочой достоверно не отличалась от таковой до операции.

Вышеизложенное свидетельствует об умеренно выраженной активации симпатоадреналовой и гипоталамо-гипофизарно-адренокортикальной систем в ответ на операционную травму, что подтверждает эффективность использованных вариантов регионарной блокады. Осложнений, связанных с использованием ЦНБ, не наблюдалось. Послеоперационная эпидуральная аналгезия обеспечивала гладкое течение ближайшего послеоперационного периода и способствовала сокращению сроков реабилитации.

Таким образом, апробируемые нами варианты СА и ЭА высоко эффективны и безопасны, однако при условии строго индивидуального подхода к выбору дозы местноанестезирующего препарата и исходной сохранности адаптационно-приспособительных возможностей сердечно-сосудистой системы (коронарных резервов).

Таблица
Некоторые показатели гемодинамики, периферического кровообращения, вегетативной и гипоталамо-гипофизарно-адренокортикальных систем на этапах анестезии и операции у пациенток 1-й (числитель) и 2-й (знаменатель) групп

Показатель	Этап исследования			
	I	II	III	IV
ЧСС, в мин	84,9±1,7 85,6±1,6	78,3±1,2 ^{a,b} 83,6±1,1 ^b	80,2±1,4 ^{a,b} 86,3±1,6 ^b	78,8±2,1 ^a 82,9±1,9
СДД, мм рт. ст.	92,4±1,2 90,8±1,2	76,8±1,4 ^{a,b} 83,6±1,8 ^{a,b}	78,1±2,0 ^{a,b} 85,6±1,6 ^{a,b}	76,4±1,3 ^{a,b} 85,3±1,6 ^{a,b}
СИ, л/мин/м ²	2,86±0,08 2,81±0,07	2,81±0,11 2,79±0,13	2,73±0,11 2,77±0,09	2,75±0,08 2,81±0,07
ОПСС, дин×с/см ⁵	1344,6±51,3 1354,2±54,9	1150,4±48,3 ^{a,b} 1291,3±46,8 ^a	1204,2±40,9 ^a 1300,8±43,4	1169,4±44,8 ^a 1250,8±50,1
Минутный диурез мл/мин	0,61±0,07 0,63±0,05	0,71±0,03 ^a 0,73±0,03 ^a	0,62±0,03 0,64±0,03	0,81±0,04 ^{a,b} 0,83±0,03 ^{a,b}
ИН, усл. ед.	138,6±12,4 122,4±14,2	92,6±7,1 ^a 94,3±5,6 ^a	246,2±24,3 ^{a,b} 232,8±20,8 ^{a,b}	220,4±21,3 212,6±22,3
СК плазмы, нмоль/л	429,6±48,3 417,4±45,6	623,1±42,3 ^a 586,8±43,3 ^a	746,3±44,3 ^{a,b} 726,4±48,3 ^{a,b}	709,4±36,6 ^a 694,8±40,1 ^a
НА в моче, нмоль/л	7,2±1,1 7,4±6,9	-	-	10,1±1,3 9,8±1,1

Примечание. $p < 0,05$: a – по сравнению с исходными показателями; b – по сравнению с предыдущим этапом исследования; в – при сравнении между группами.

Выводы

1. Апробированные варианты ЦНБ обеспечивают гемодинамическую стабильность в течение всей операции и вполне приемлемы для анестезиологического обеспечения абдоминального родоразрешения у пациенток с ИМТ – 25-34,9 кг/м² и сохранными коронарными резервами.

2. Преимуществом ЭА следует считать менее выраженный симпатолитический эффект и возможность использования эпидурального катетера для проведения

длительного и непрерывного послеоперационного обезболивания, а также возможность использования метода в случаях непредвиденных хирургических осложнений.

Литература

1. Баевский Р.М., Кирилов С.З., Клецкин С.З. Математический анализ изменений сердечного ритма при стрессе. – М.: Наука, 1984. – 222 с.
2. Матлина Е.Ш., Кисилева З.М., Софиева И.Э. Методы исследования некоторых гормонов и медиаторов. – М.: Медицина, 1965. – 280 с.
3. Овечкин А.М., Пырегов А.В., Шифман Е.М., Флока С.Е. Обзор материалов XXIX ежегодного конгресса Европейского общества регионарной анестезии (ERSA) // Регионарная анестезия и лечение острой боли. – 2010. – Т. IV, №4. – С. 33-40.
4. Ожирение и избыточный вес // Информационный бюллетень ВОЗ. – 2011. – №311.
5. Семенихин А.А., Юсупбаев Р.Б., Бекбулатова И.Р., Закирова Ф.А. Критерии сохранности коронарных резервов у беременных с сопутствующими сердечно-сосудистыми заболеваниями // Новости дерматол. и репрод. здоровья. – 2013. – №3А. – С. 21-26.
6. Фирсова Л.И. Оптимизация спинномозговой анестезии у беременных женщин с высоким индексом массы тела при оперативном родоразрешении: Автореф. дис. ...канд. мед. наук. – Воронеж: Гос. мед. академия им Н.Н. Бурденко, 2010. – 23 с.
7. Dennis A.T., Castro J.M., Ong M., Carr C. Haemodynamics in obese pregnant women // Int. J. Obstet. Anesth. – 2012. – Vol. 21, №2. – P. 129-134.

СОСТОЯНИЕ ГЕМОДИНАМИКИ ВО ВРЕМЯ СПИНАЛЬНОЙ И ЭПИДУРАЛЬНОЙ АНЕСТЕЗИИ У ПАЦИЕНТОК С ПОВЫШЕННЫМ ИНДЕКСОМ МАССЫ ТЕЛА ПРИ АБДОМИНАЛЬНОМ РОДОРАЗРЕШЕНИИ

Семенихин А.А., Матлубов М.М., Ким Е.Д., Абидов А.К.

Цель: оценка гемодинамического статуса и анестезиологической эффективности СА и ЭА у пациенток с повышенным ИМТ и ожирением при сохранных коронарных резервах во время абдоминального родоразрешения. **Материал и методы:** под наблюдением были 38 беременных с ИМТ 25-34,9 кг/м² с сохранными коронарными резервами. **Результаты:** Установлено, что апробируемые варианты ЦНБ высоко эффективны, так как обеспечивают гемодинамическую стабильность в течение всей операции. **Выводы:** гарантом безопасности ЦНБ является индивидуальный подход к выбору дозы местного анестетика и исходная сохранность коронарных резервов.

Ключевые слова: эпидуральная, спинальная анестезия, повышенный индекс массы тела, абдоминальное родоразрешение.

ОСОБЕННОСТИ ХИРУРГИЧЕСКОГО ЛЕЧЕНИЯ ПОСЛЕОПЕРАЦИОННЫХ ВЕНТРАЛЬНЫХ ГРЫЖ У БОЛЬНЫХ С ОТВИСЛЫМ ЖИВОТОМ

Тешаев О.Р., Хайитов И.Б., Мавлянов О.Р.

ҚОРНИ ОСИЛИБ ҚОЛГАН ОПЕРАЦИЯДАН СҮНГ КЕЛИБ ЧИҚҚАН ВЕНТРАЛ ЧУРРАЛИ БЕМОРЛАРДА ЖАРРОҲЛИК АМАЛИЁТИНИНГ ЎЗИГА ҲОСЛИГИ

Тешаев О.Р., Хайитов И.Б., Мавлянов О.Р.

FEATURES OF SURGICAL TREATMENT OF POSTOPERATIVE VENTRAL HERNIAS IN PATIENTS WITH PENDULOUS ABDOMEN

Teshaev O.R., Khayitov I.B., Mavlyanov O.R.

Ташкентская медицинская академия

Мақсад: қорни осилиб қолган операциядан сўнг келиб чиқкан вентрал чурралы (ОСКЧВЧ) беморларда герниопластика ва абдоминопластика билан биргаликда ўтказиладиган операциялар натижаларини яхшилаш. **Материал ва усуллар:** 2007 йилнинг январь ойидан то 2014 йилгача Тошкент шаҳрининг 1- клиник касалхонасининг жарроҳлик бўлимида операция қилинган 19 ёшдан 82 ёшгача бўлган 174 ОСКЧВЧ bemорларда жарроҳлик амалиёти ўтказилди. 90 bemорларда чуррани олиб ташлаш протезловчи материаллар қўлланилиб ўтказилди, 84 пациентларда комплекс жарроҳлик амалиёти герниопластика ва абдоминопластика билан биргаликда ўтказилди. **Натижажа:** чуррани олиб ташлаш протезловчи материаллар қўлланилиб ўтказилди bemорларда умумий ва маҳаллий асоратлар асосий гуруҳга нисбатан 7,2 ва 1,5 мартаба кўп кузатилди. **Хуносат:** тана шакли ва эстетик нокулайликларни бартараф қилишига қаратилган герниологик ва абдоминопластика жарроҳлик амалиётини биргаликда ўтказиш, bemорларнинг психологияк ва ижтимоий реабилитациясига изжобий таъсир этади ва тана вазнини камайтиришга қизиқишини оширади.

Калит сўзлар: семизлик, операциядан сўнг кузатиладиган вентрал чурралар, абдоминопластика, герниопластика, жарроҳлик даволаши.

Objective: To improve results of surgical treatment of postoperative ventral hernias in patients with pendulous abdomen by performing hernioplasty combined with abdominoplasty. **Materials and Methods:** From January 2007 till 2014, at the surgical departments of clinical hospital №1 of Tashkent were operated 174 patients aged 19-82 years with postoperative and ventral hernias of the anterior abdominal wall. In 90 patients was performed hernia repair with plastic prosthetic materials, in 84 patients comprehensive surgical treatment included hernioplasty combined with abdominoplasty. **Results:** In patients in the control group underwent hernia repair with plastic prosthetic materials, general and local complications were observed respectively in 7.2 and 1.5 times more often than in the control group. **Conclusions:** The combination of hernioplasty with abdominoplasty, which corrects the bodyshape and eliminates the aesthetic inconvenience, contributes to psychological and social rehabilitation of the patients with obesity and is a good incentive to develop motivation for weight loss.

Key words: obesity, postoperative ventral hernias, abdominoplasty, hernioplasty, surgical treatment.

Послеоперационные и вентральные грыжи (ПОиВГ) в структуре экстренных и плановых оперативных вмешательств занимают одно из основных мест [1-3]. Успех хирургического лечения больных с ПОиВГ, как справедливо подчеркивал Г.И. Лукомский и соавт. (1995), зависит от правильной предоперационной подготовки, направленной на адаптацию больного к повышенному внутрибрюшному давлению (ВБД), выбора адекватного способа пластики дефектов брюшной стенки и профилактики послеоперационных осложнений [4,5,8]. К настоящему времени не известны способы пластики грыжи, после которых не было бы рецидивов. Высокой остается частота рецидивов (25-52%) после первичной открытой пластики (Franklin M.E. et al., 2008). Количество рецидивов после пластики ПОиВГ варьирует в пределах 18-54%, а после протезной пластики оно снизилось до 10% (Aura T. et al., 2012; Cobb W.S. et al., 2013).

Герниопластика ПОиВГ с абдоминопластикой остается одним из распространенных оперативных вмешательств в хирургии у больных с ожирением с выраженным кожно-жировым фартуком [6,9,11,19]. Широкая мобилизация кожно-жирового лоскута позволяет оценить не только состояние тканей вокруг дефекта апоневроза, но и выявить добавочные грыжевые ворота и слабые участки [6,10,13,15]. Удаление значительного количества жировой ткани в области живота является профилактикой ближайших и отдаленных послеоперационных осложнений и рецидивов

грыж [9,12,14,16]. Большинство авторов соглашаются с тем, что доминирующем в развитии послеоперационных грыж фактором является ожирение, однако некоторые хирурги отмечают необходимость удаления при вентральном грыжесечении кожно-жирового фартука [6,9,12,16,17,19].

Цель исследования

Улучшение результатов хирургического лечения ПОиВГ у больных с отвислым животом путем выполнения герниопластики в сочетании с абдоминопластикой.

Материал и методы

С января 2007 по 2014 гг. в хирургических отделениях ГКБ №1 г. Ташкента прооперированы 174 больных в возрасте 19-82 лет с ПОиВГ передней брюшной стенки. Критерием включения было наличие ПОиВГ и абдоминального ожирения различной степени, критерием исключения – рецидивные паховые и бедренные грыжи. При распределении больных с ПОиВГ использовали классификацию J.P. Chevrel, A.M. Rath (SWR-classification) [18] (табл. 1). Эта классификация учитывает локализацию и размеры грыжевого дефекта, что, несомненно, является важным при выполнении герниопластики с абдоминопластикой.

Больные были разделены на две группы. Контрольную группу составили 90 больных, которым было выполнено грыжесечение с пластикой протезирующими материалами. В основную группу вошли 84 пациента, у которых комплексное оперативное лечение включало герниопластику с абдомино-

ОСОБЕННОСТИ ХИРУРГИЧЕСКОЕ ЛЕЧЕНИЕ ПОСЛЕОПЕРАЦИОННЫХ ВЕНТРАЛЬНЫХ ГРЫЖ У...

пластикой в зависимости от размера и локализации грыж согласно предложенному нами алгоритму выбора метода.

Таблица 1

Распределение больных по локализации и размерам грыжевого дефекта, абс. (%)

Локализация грыжи	Признак	Контрольная группа	Основная группа
S	M	Срединные	63 (70,0)
	L	Боковые	21 (23,3)
	M L	Сочетанные	6 (6,7)
W	W1	Ширина дефекта до 5 см	23 (25,5)
	W2	Ширина дефекта 5-10 см	34 (37,8)
	W3	Ширина дефекта 10-15 см	19 (21,1)
	W4	Ширина дефекта свыше 15 см	14 (15,5)
R	R1	Первичная	69 (76,7)
	R2	Рецидивная	19 (21,1)
	R3	Два рецидива	2 (2,2)

Из таблицы видно, что пациенты контрольной и основной групп были сопоставимы по локализации и ширине дефекта, а также течению заболевания. Так, соответственно у 63 (70%) и 58 (69,1%) больных грыжи локализовались по срединной линии. Ширина дефекта грыж варьировала от 5 до 15 см (у 58,9 и 67,8%), у 69 (76,7%) и 62 (73,8%) больных ПОиВГ была первичной. У больных контрольной группы ИМТ в среднем был равен $34,01 \pm 0,55$ кг/м², основной – $35,02 \pm 0,46$ кг/м².

Всем больным проводилась антропометрия, включая измерение роста, массы тела, вычисление ИМТ, который определяли по формуле: масса (кг)/м². Проводили общеклинические и биохимические исследования. Электрокардиографию и УЗИ органов брюшной полости выполняли всем пациентам. УЗИ сердечно-сосудистой системы проводили по показаниям больным, страдающим ишемической болезнью сердца. До и после операции измеряли внутрибрюшное давление. Полученные данные позволяли выбрать оптимальный оперативный доступ при герниопластике и abdominoplastике.

Для оценки эффективности лечения больных в качестве основных критериев использовали показатель частоты рецидива грыжевого выпячивания, характер и тяжесть осложнений, течение сопутствующей патологии и уровень качества жизни. Цифровой материал обработан методом вариационной статистики.

Результаты и обсуждение

Выбор оперативного вмешательства зависел от степени дефекта и локализации ПОиВГ, а также степени абдоминального ожирения. Всем больным контрольной группы независимо от ожирения проводили грыжесечение с пластикой протезирующими материалами без abdominoplastики. У пациентов основной группы использованы протезирующие материалы. Сшивание апоневроза проводили в основном с расположением сетки под ним при W1-2 (51 больной), частичное сшивание – с применением сетки при W3 (28 больных) или прибегали к многослойному способу пластики с применением сетки при W4 (5 пациентов), а при срединной ПОиВГ W4 – реконструкции брюшной

стенки (способ Ramírez) (5 больных). Наряду с вышеперечисленными видами операций проводили abdominoplastiku с учетом расположения и размеров дефекта.

Так, у 18 больных со срединной локализацией ПОиВГ с I степенью ожирения и W1 выполнена миниабдоминопластика, у 13 пациентов со II-III степенью ожирения и W2 – вертикальная, у 5 больных при W3 – классическая, у 5 больных при W4 – модифицированная abdominoplastika. При боковой и сочетанной локализации ПОиВГ в основном использовали комбинированный вариант (классический+вертикальный+модифицированный) abdominoplastiki.

При анализе полученных результатов выявлена зависимость частоты развития осложнений от наличия сопутствующей патологии и степени ожирения. В ближайшие и отдаленные сроки после операции осложнения чаще развивались у лиц с широким дефектом срединной локализации. В контрольной группе умерли 4 (4,4%) больных в результате острой сердечно-сосудистой недостаточности (табл. 2).

Таблица 2
Частота развития послеоперационных осложнений у больных контрольной и основной групп, абс. (%)

Осложнения	Контрольная группа, n=90	Основная группа, n=84
Сердечно-сосудистые	18 (20,0)	3 (3,7)
Бронхолегочные	21 (23,3)	2 (2,4)
Местные осложнения:	29 (32,2)	18 (21,4)
Инфильтрат	8 (8,8)	3 (3,6)
Гематома	6 (6,6)	-
Серома	11 (12,7)	10 (11,9)
Нагноение раны	3 (3,3)	1 (1,2)
Некроз края кожного лоскута	-	4 (4,8)
Рецидивы	8 (8,8)	2 (2,4)
Летальные исходы	4 (4,4)	-

В послеоперационном периоде у 29 (32,2%) больных данной группы наблюдались различные осложнения, в том числе инфильтрат у 8, гематома – у 6, серома – у 11, нагноение раны – у 3. Бронхолегочные осложнения отмечались у 21 (23,3%) пациента, явления сердечной недостаточности, которые проявлялись низкими показателями артериального давления, учащением пульса, одышкой, – у 18 (20%). Их устранили совместно с пульмонологами и кардиореаниматологами. Рецидивы в данной группе имели место у 8 (8,9%) больных.

Таким образом, количество осложнений после операции значительно снижается, заметно уменьшается и количество рецидивов заболевания. Это подтверждается увеличением числа больных с сохранностью физического и психического компонентов здоровья и возвращением к активной трудовой деятельности, снижению депрессивных состояний и внушения о неизлечимости от основной патологии. Все вышеизложенное свидетельствует о высокой эффективности предложенного способа лечения ПОиВГ на фоне ожирения, что служит основанием для широкого внедрения его в клиническую практику.

Алгоритм тактики лечения больных с ПОиВГ представлен на рисунке.

Послеоперационная вентральная грыжа

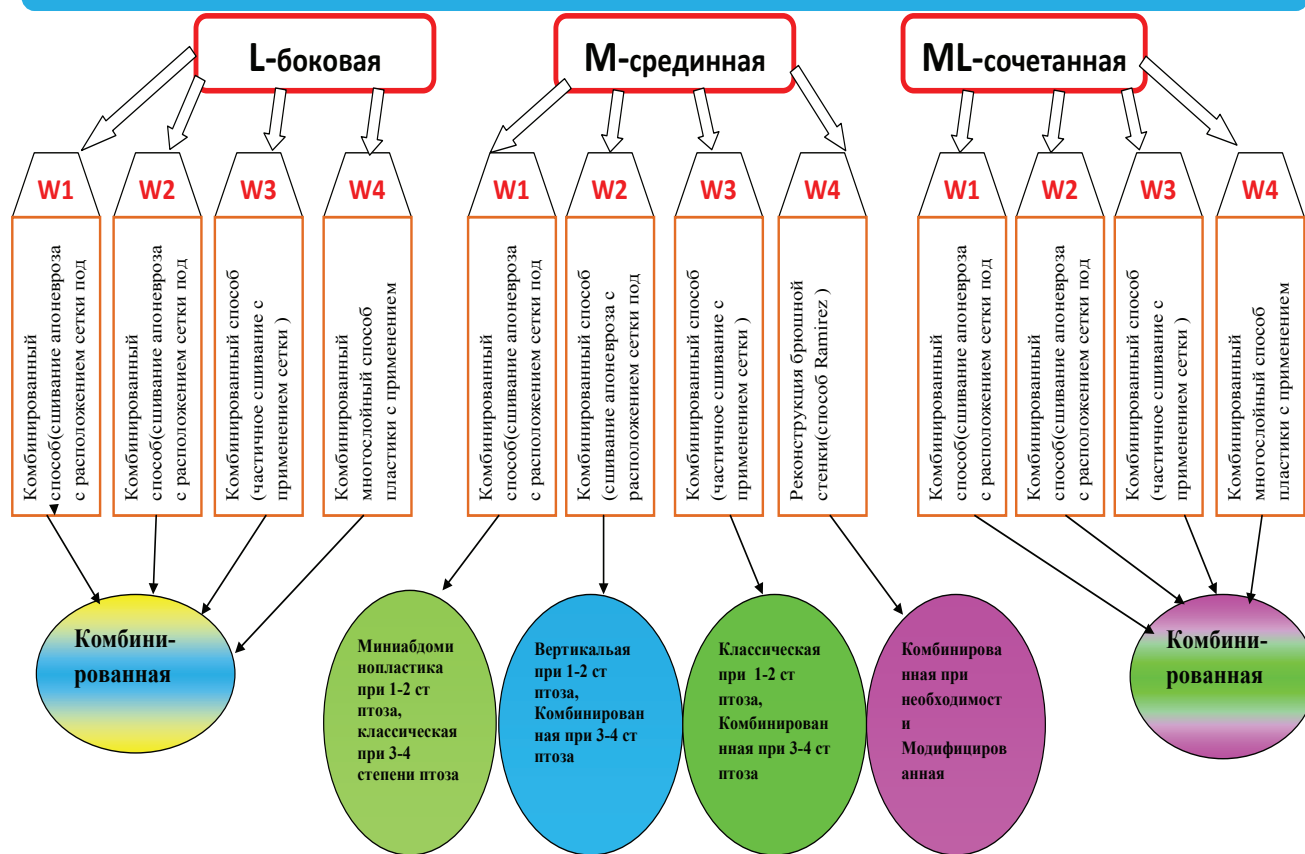


Рисунок. Критерии выбора метода абдоминопластики с протезной пластикой в зависимости от размера грыжевых ворот и их локализации у больных с ожирением (отвислый живот).

В основной группе местные осложнения отмечались у 18 (21,4%) пациентов, из них нагноение послеоперационной раны – у 1, инфильтрат в области послеоперационной раны – у 3, некроз края кожного лоскута – у 4, серома – у 10. Бронхолегочные осложнения наблюдались у 2 (2,4%) пациентов, сердечная недостаточность у 3 (3,7%). Рецидивы ПОВГ в данной группе зарегистрированы у 2 (2,4%) пациентов. Летальных исходов не было.

Таким образом, наибольшее количество общих и местных осложнений наблюдалось у больных контрольной группы, тогда как в основной группе они отмечались в 7,2 и 1,5 раза реже, чем в контрольной.

При динамическом наблюдении у больных контрольной группы в показателях массы тела и ИМТ существенных изменений не выявлено. Исходно у больных этой группы ИМТ составил $34,01 \pm 0,55$ кг/ m^2 , после операции – $33,78 \pm 0,43$ кг/ m^2 . У пациентов основной группы ИМТ до операции составил $35,02 \pm 0,46$ кг/ m^2 , после операции – $30,07 \pm 0,35$ кг/ m^2 , что значительно ниже, чем в контрольной группе. Это положительно сказалось на дальнейших жизненных перспективах, поскольку именно абдоминальный тип распределения жировой ткани, в наибольшей степени ассоциирующийся с высоким риском сердечно-сосудистых заболеваний и сахарного диабета 2-го типа, претерпевал существенные изменения.

Выводы

1. Лечение больных с отвислым животом и ПОиВГ должно быть комплексным и индивидуальным как в оценке исходного состояния больного, так и в выборе метода лечения, поскольку в задачи таких операций входит

не только снижение массы тела, но и нормализация метаболических процессов.

2. Сочетание герниологической операции с абдоминопластикой, корректирующей форму тела и устраняющей эстетические неудобства, вносит большой вклад в психологическую и социальную реабилитацию больных с ожирением и является хорошим стимулом для выработки мотивации к снижению массы тела.

Литература

- Белосладцев Д.Н. Выбор метода аллопластики при лечении послеоперационных вентральных грыж: Автореф. дис. ... канд. мед. наук. – Нижний Новгород, 2007. – 20 с.
- Жебровский В.В. Ранние и поздние послеоперационные осложнения в хирургии органов брюшной полости. – Симферополь, 2003.
- Калиш Ю.И., Аметов Л.З., Шаюсов А.Р. Аллогенернопластика у больных с хронически инфицированными вентральными грыжами // Хирургия Узбекистана. – 2007. – №3. – С. 22-23.
- Калиш Ю.И., Аметов Л.З., Шаюсов А.Р. Ближайшие результаты аллогенернопластики у больных с ущемленными вентральными грыжами // Вестн. экстр. медицины. – 2008. – №3. – С. 5-7.
- Кожемяцкий В.М., Чанцева В.И., Кожемяцкая Ж.В. Использование косметической абдоминопластики при оперативном лечении обширных вентральных грыж // Анналы пласт., реконструкт. и эстет. хирургии. – 2002. – №4. – С. 60-64.
- Леонов А. Абдоминопластика в эстетической хирургии // Анналы пласт., реконструкт. и эстет. хирургии. – 2002. – №4. – С. 72-75.
- Нелюбин П.С., Галота Е.А., Тимошин А.Д. Хирургическое лечение больных с послеоперационными и рецидивными вентральными грыжами // Хирургия. – 2007. – №7. – С. 69-74.
- Олейничук А.С. Особенности хирургического лечения вентральных грыж у больных с избыточной массой тела и ожирением: Автореф. дис. ... канд. мед. наук. – М., 2010. – 20 с.

9. Саенко В.Ф., Белянский Л.С. Актуальные проблемы современной герниологии // Клин. хирургия. – 2003. – №11. – С. 3-5.
10. Сидоренков Д.А. Пластика эстетическая хирургия в лечении ожирения // Анналы пласт. реконструкт. и эстет. хирургии. – 2002. – №4. – С. 107-110.
11. Тимербулатов В.М., Попов О.С., Попова О.В. и др. Абдоминопластика при операциях по поводу вентральных грыж // Хирургия. – 2006. – №4. – С. 24-27.
12. Тимошин А.Д. и др. Аллопластические и аутопластические методы лечения послеоперационных грыж больших размеров // Вестн. герниол. – 2004. – №3. – С. 120-126.
13. Тимошин А.Д., Юрасов А.В., Шестаков А.Л. Хирургическое лечение паховых и послеоперационных грыж брюшной стенки. – М.: Триада-Х, 2003. – С. 3:22-24.
14. Федоров Ю.Ю. Современная концепция абдоминопластики // Анналы пласт., реконструкт. и эстет. хирургии. – 2002. – №4. – С. 114-116.
15. Федоров И.В., Чугунов А.Н. Протезы в хирургии грыж: столетняя эволюция // Герниология. – 2004. – №2. – С. 45-53.
16. Ягудин М.К. Прогнозирование и профилактика раневых осложнений после пластики вентральных грыж // Хирургия. – 2003. – №11. – С. 54-60.
17. Chevrel J.P., Rath A.M. Classification of incisional hernias of the abdominal wall // Hernia. – 2000. – Vol.4, №1. – P. 1-7.
18. Douglas R.J., de la Torrell A., Gardner P.M. et al. Abdominoplasty repair for abdominal wall hernias // Ann. Plast. Surg. – 2003. – Vol. 1. – P. 85-86.
19. Olsen G.N. et al. Stair climbing as an exercise test to predict the postoperative complications of lung resection. Two years experience // Chest. – 1991. – Vol. 99. – P. 587-590.

ОСОБЕННОСТИ ХИРУРГИЧЕСКОЕ ЛЕЧЕНИЕ ПОСЛЕОПЕРАЦИОННЫХ ВЕНТРАЛЬНЫХ ГРЫЖ У БОЛЬНЫХ С ОТВИСЛЫМ ЖИВОТОМ

Тешаев О.Р., Хайитов И.Б., Мавлянов О.Р.

Цель: улучшение результатов хирургического лечения ПОиВГ у больных с отвислым животом путем выполнения герниопластики в сочетании с абдоминопластикой. **Материал и методы:** С января 2007 по 2014 гг. в хирургических отделениях ГКБ №1 г. Ташкента прооперированы 174 больных в возрасте 19-82 лет с ПОиВГ передней брюшной стенки. 90 больным было выполнено грыжесечение с пластикой протезирующими материалами, у 84 пациентов комплексное оперативное лечение включало герниопластику с абдоминопластикой. **Результаты:** у больных контрольной группы, которым выполнялось грыжесечение с пластикой протезирующими материалами, общие и местные осложнения наблюдалось соответственно в 7,2 и 1,5 раза чаще, чем в контрольной группе. **Выводы:** сочетание герниологической операции с абдоминопластикой, корrigирующей форму тела и устраняющей эстетические неудобства, вносит большой вклад в психологическую и социальную реабилитацию больных с ожирением и является хорошим стимулом для выработки мотивации к снижению массы тела.

Ключевые слова: ожирение, послеоперационные вентральные грыжи, абдоминопластика, герниопластика, оперативное лечение.

АЛЬЦЕЙМЕР КАСАЛЛИГИНИ (АК) ЭРТА ТАШХИСОТИДА ДЕГИДРОЭПИАНДРОСТЕРОН-СУЛЬФАТ РОЛИНИ АНИҚЛАШ

Толибов Д.С., Махмудов А.Т

ОПРЕДЕЛЕНИЕ РОЛИ ДЕГИДРОЭПИАНДРОСТЕРОН СУЛЬФАТА ПРИ РАННЕЙ ДИАГНОСТИКЕ БОЛЕЗНИ АЛЬЦЕЙМЕРА

Толибов Д.С., Махмудов А.Т

THE ROLE OF DEHYDROEPIANDROSTERON SULFATIS IN EARLY DIAGNOSIS OF ALZHEIMER'S DISEASE

Tolibov D.S., Makhmudov A.T.

Тошкент тиббиёт академияси

Цель: определение содержания дегидроэпиандростерон сульфата с помощью иммуноферментного метода в плазме крови у больных с когнитивными нарушениями. **Материал и методы:** под наблюдением были 154 больных с когнитивными расстройствами. **Результаты исследования:** У 27 пациентов в первая группе показали результаты с умеренными изменениями. Во 2-й группе биомаркеры у выявлены 33 пациентов. У 53 пациентов имел место высокий риск развития болезни Альцеймера. **Выводы:** определение дегидроэпиандростерон сульфата показало высокую эффективность при ранней диагностике болезни Альцеймера и выявлении групп риска развития болезни Альцеймера.

Ключевые слова: дегидроэпиандростерон сульфата, болезнь Альцеймера, когнитивные нарушения.

Objective: We aimed to determine the role of dehydroepiandrosterone sulfatis (DHEA-s) in early diagnosis of Alzheimer's disease.

Materials and Methods: We examined the level of dehydroepiandrosterone sulfatis in the blood serum in 154 patients suffering from cognitive impairments. **Results:** 1st group (n=32) with 27 patients showed the moderate results, to compare in 2nd group with 33 patients we detected the key biomarkers in the blood serum and it confirmed the AD, at the meantime 3rd group (n=69) with 53 patients (77%) made up the highest risk group and it had early diagnostic approach in AD. **Conclusions:** Dehydroepiandrosterone sulfatis (DHEA-s) levels in the blood serum increases minimally and/or remains stable in the 1st and 2nd groups.

Key words: dehydroepiandrosterone sulfatis, Alzheimer's disease, cognitive impairments.

АК бош миянинг ривожланиб борувчи нейродегенератив жараёни туфайли йиллар давомида когнитив вазифалар бузилишининг чукурлашиб бориши натижаси хисобланади [1, 4]. Бугунги кунда енгил ва ҳатто ўрта даражадаги деменция клиник амалиётда деярли ташхисланмайди [2]. Амалий жиҳатдан, когнитив бузилишларни эрта аниқлаш ва даволашни бошлаш мақсадга мувофиқдир. АК-нинг клиник олди босқичларида ўртача оғирликдаги когнитив бузилишлар етакчи ўринин эгаллайди, бу эса патоморфологик кузатишлар натижаси орқали тасдиқланган [5]. Баъзи ҳолатларда ўртача оғирликдаги когнитив бузилишлар АКга эмас, балки бошқа касалликка, хусусан қон-томир деменцияси ривожланишига олиб келиши мумкин ёки ҳолат беморларда бир қанча вақтга тургун бўлиб қолиши ва кейинчалик нормал ҳолатга қайтиши мумкин [3]. Охирги ўн йилликда АКга хос патогенетик кўрсаткичлар ўрганилиши билан бир қаторда, АКда патологик жараённинг калит механизми бўлган нейрохимик биомаркерларга алоҳида эътибор қаратилмоқда [2]. АКни эрта босқичларида, айниқса клиник олди босқичларида касаллик турли биомаркерларининг диагностик аниқлиги жуда паст ва невролог мутахассислари орасида мунозарага сабаб бўлмоқда. Шу билан бир қаторда, фақатгина янги диагностик усулларни ўрганиш эмас, балки АКни прогнозлаш тадқиқотнинг мухимлигини белгиловчи мезонлардан биридир.

Тадқиқотнинг мақсади

Альцеймер касаллигини эрта аниқлашда дегидроэпиандростерон-сульфат (ДГЕА-с) миқдорини аниқлаш ва уни скрининг диагностика сифатида баҳолаш.

Тадқиқот материал ва усуллари

Проспектив текширувга когнитив ўзгаришлар мавжуд 134 бемор киритилган бўлиб, улар 3 гурӯхга ажратилди: 1-гурӯхга 65 ёшгача (ўртача ёш 57,3±0,75) пресенил типдаги АК мавжуд бўлган 32 бемор киритилган (ХКТ 10- G30.0);

2-гурӯхга 65 ёшдан катта бўлган (ўртача ёш 70,4±0,72) сенил типдаги АК мавжуд бўлган 33 бемор киритилган (ХКТ 10- G30.1); 3-гурӯхга 43 ёшдан 92 ёшгача бўлган (ўртача ёш 67,2±1,06) қон томир деменцияли сурункали мия ишемияси (СМИ) ДЭ II-III босқич мавжуд 69 та бемор киритилган (ХКТ 10 - F01.3). Тадқиқот натижалари жинси ва ёши бўйича (ўртача ёши 58,5±1,03) мос келувчи 20 амалий соғлом эркин текширилувчи кирган назорат гуруҳи билан таққосланди. Қон зардобида ДГЭА миқдори Fe2+ катализатори билан оксидланиш орқали оксидланишдан олдин ва кейинги миқдори таҳлил этилди ва таққосланди.

Тадқиқот натижалари

Беморлар қон зардобида биомаркерларни аниқлаш натижалари жадвал 1 да келтирилган.

жадвал 1

Текширилувчиларда биомаркерлар комплекси аниқлаш натижалари (n=154)

Гурӯх	Дегидроэпиандростерон сульфат (ДГЕА-с), мкмоль/л	
	оксидланишдан олдин	оксидлангандан кейин
1-гурӯх, n=32	2,13±0,12	2,41±0,15
2-гурӯх, n=33	1,81±0,16	1,97±0,16
3-гурӯх, n=69	2,38±0,19	3,90±0,23
Назорат гурӯхи, n=20	3,05±0,08	5,64±0,12

ДГЭА миқдорини аниқлаш учун қон зардобини оксидлаш натижасида учинчи ва назорат гуруҳида ДГЭА миқдорининг бирдан ошиши, АК мавжуд беморлар қон зардобида эса ДГЭА миқдорининг ўзгармаслиги ёки бироз ўзгариши кузатилди. Бизнинг натижаларимиз шуну кўрсатдиги, қонни оксидлаш натижасида ДГЭА миқдорини аниқлаш тести

АК эрта босқичларидаётқ ташхислаш ва уни ривожланиши мониторингида күлланилиши мумкин.

1-гурұхда ($n=32$) 5 та (16%) беморда ўртача таҳлил нағижалари АК ташхисини тасдиқламади ва ДГЭА миқдори оксидланишдан олдин $2,3 \pm 0,28$ мкмоль/л, оксидланишдан кейин $3,28 \pm 0,51$ мкмоль/л ни күрсатди. Бу күрсаткічлар когнитив бузилишларни бошқа этиологияли эканлигидан дарап берди. 27 (84%) беморда ўртача таҳлил нағижалари ДГЭА миқдори оксидланишдан олдин $2,13 \pm 0,13$ мкмоль/л, оксидланишдан кейин $2,29 \pm 0,13$ мкмоль/л ни күрсатди. Бу күрсаткічлар АК ташхисини тасдиқлады ва бизнинг нағижалар АК эрта ташхисотида ва даволаш эффективтілігіни ошириш мақсадида ушбу тестни күллаш мақсад-га мувофиқ эканлигини күрсатди. Ривожланиб бўлинган АК нинг кечки босқичларида ушбу диагностик усулни күллаш даволаш эффективтілігини баҳолаш учун күлланилди.

2-гурұхда 33 та беморда қон зардобида биомаркерлар аниқланди ва таҳлил нағижалари АК ни тасдиқлади: ДГЭА нинг ўртача миқдори оксидланишгача $1,81 \pm 0,16$ мкмоль/л ни, оксидланишдан сүнг $1,97 \pm 0,16$ мкмоль/л.

3-гурұхда ($n=69$) 53 та (77%) беморда ўртача таҳлил нағижалари ДГЭА миқдори оксидланишдан олдин $2,59 \pm 0,23$ мкмоль/л, оксидланишдан кейин $4,34 \pm 0,24$ мкмоль/л; 9 та (13%) беморда ўртача таҳлил нағижалари ДГЭА оксидланишдан олдин $1,40 \pm 0,20$ мкмоль/л, оксидланишдан кейин $1,53 \pm 0,19$ мкмоль/л; 7 та (10%) беморда ўртача таҳлил нағижалари ДГЭА миқдори оксидланишдан олдин $2,11 \pm 0,57$ мкмоль/л, оксидланишдан кейин $3,67 \pm 0,75$ мкмоль/л ни күрсатди. Аникроқ қилиб айтганда, 3-гурұхда таҳлил нағижалари 9 та (13%) беморда АК га хос ўзғаришларни, 7 та (10%) беморда эса физиологик нормал қаришга хос ўзғаришларни күрсатди. Бу күрсаткічлар беморларга ташхис кўйиш ва даволаш чора-тадбирларини күллашда лаборатор усулни комплекс күллаш самараордорми эканлигини намоён этади.

Ушбу тадқиқотимизда ДГЭА-с күрсаткічларини нейропсихологик шкаласи бўлган Хачинский ишемик шкаласи бўйича турлича балларга эга бўлган гурухлар билан солишитирдик.

1-гурӯх беморларида нағижала шуни күрсатди, "кулранг майдон"га (Хачинский шкаласи бўйича 4 баллдан 7 баллгача оралиқда жойлашган) кирувчи 7 (3,5%) беморларнинг таҳлил нағижалари АК мавжуд беморлар таҳлил нағижалари билан мос эканлигини күрсатди: оксидланишдан олдин ва кейинги ДГЭА-с миқдори орасидаги фарқ $1,0$ мкмоль/л дан кичик (қон-томир этиологияли мия патологик жараёнлари мавжуд беморлар таҳлил күрсаткічлари - оксидланишдан олдин ва кейинги ДГЭА-с миқдори орасидаги фарқ $1,0$ мкмоль/л дан катта). Шундай қилиб, гурухлар орасидаги таҳлил нағижалари күрсаткічлари фарқи етарлича, шунинг учун 1-гурӯхда "кулранг майдон"га кирувчи беморларни АК мавжуд беморлар сафига кўшиш мумкин.

2-гурӯхда баллар таҳлили бўйича "кулранг майдон"-га кирувчи беморлар 8 (4%) тани ташкил этди. Бу беморларнинг биомаркерлар күрсаткічлари ҳам АК мавжуд беморлар таҳлил күрсаткічларига мос келди. Аникроқ қилиб айтганда, биомаркерлар комплексини аниқлаш усулини кўллаш Хачинский шкаласи билан нейрорегенератив жараённинг сабабини аниқлаш мавхум бўлиб қолганда беморларни гурухларга тақсимотига ёрдам беради, шунингдек биомаркерлар нағижаларига кўра аниқ патология ташхисотига ёрдам беради.

3-гурӯхда Хачинский шкаласи бўйича күрсаткич 7 баллдан (ўртача $10,9 \pm 0,14$) юкорини ташкил этди. Лекин

16 та (23%) беморда биомаркерлар нағижаси кўрсаткічлари Хачинский шкаласи кўрсаткічларига мос келмади. Шундан 9 та (13%) беморда ДГЭА-с кўрсаткічи АК га мос кўрсаткічларига мос келди, 7 та (10%) беморда ДГЭА-с кўрсаткічлари нормал қариш кўрсаткічларни кўрсатди. Бундан кўриниб турибди, 3-гурӯхнинг 53 та (77%) беморини шубҳасиз қон-томир сабабли нейрорегенератив патология мавжуд беморлар сафига кўшиш мумкин. 3-гурӯхнинг 9 та (13%) беморини АК мавжуд беморлар, 7 та (10%) беморини эса нормал қариш жараёни мавжуд индивидлар сафига кўшиш мумкин.

Хулоса

1. ДГЭА миқдорини катализатор ёрдамида оксидлашгача ва оксидланғандан кейин текшириш давомида 1- ва 2-гурӯхда ДГЭА дарајасининг бир озишига ёки ошмаслигини кўрсатди, шу билан бир вақтда 3- ва назорат гурухларида ДГЭА миқдори кескин ошган бўлиб чиқди. Биз тавсия этган биомаркерни текширишдан иборат янги диагностик усул АКни таққослама ташхисотини намойиш этди. Унинг афзаллиги юқори диагностик аҳамиятилиги, арzonлилиги, Республикализнинг ҳар қандай муассасасида биохимик таҳлил сифатида кўллаш, кекса ёщдаги аҳолини скрининг диагностика текшируви ўтказиш имкониятидан иборат.

5. ДГЭА-с ни Хачинский шкаласи билан бирга кўллашнилишини клиник текшириш, шкаланинг "кулранг майдон"ига (баллар миқдори 4-7) кирган беморлардаги нейрорегенератив патологиялар сабабини излашни енгиллаштириш учун унинг самараордормигини кўрсатди.

Фойдаланилган адабиётлар

1. Балунов О.А., Лукина Л.В. Дифференциальная диагностика деменций и аффективных расстройств у лиц пожилого возраста в амбулаторной практике невролога. – СПб, 2012. – 36 с.

2. Мальцев А.В., Галзитская О.В. Образование и участие нано-амилоидов в патогенезе болезни Альцгеймера и других амилоидогенных заболеваний // Биомедицинская химия. – 2010. – №56(6). – С. 624-638.

3. Шадрина И.В., Мамин Г.В., Пугачев А.Н. Деменция при болезни Альцгеймера - Челябинск, 2013. - 40 с.

4. Strozyk D., Blennow K., White L.R., Launer L.J. CSF A beta 42 levels correlate with amyloid-neuropathology in a population-based autopsy study // Neurology. - 2003. - Vol. 60. - P. 652-656.

5. Wiltfang J., Esselmann H., Bibl M., et al. Amyloid beta peptide ratio 42/40 but not A beta 42 correlates with phospho-Tau in patients with low-and high-CSF A beta 40 load // J. Neurochem. - 2007. - Vol. 101. - P. 1053-1059.

Клиническая
медицина

АЛЬЦГЕЙМЕР КАСАЛЛИГИНИ (АК) ЭРТА ТАШХИСОТИДА ДЕГИДРОЭПИАНДРОСТЕРОН-СУЛЬФАТ РОЛИНИ АНИҚЛАШ

Толибов Д.С., Махмудов А.Т

Мақсад: альцгеймер касаллигини эрта аниқлаша дағидроэпандростерон сульфат (ДГЭА-с) миқдори ролини аниқлаш. **Материал ва усуllibar:** тадқиқотда 154 та когнитив бузилишлар мавжуд беморлар қон зардобида иммунофермент усулида дағидроэпандростерон сульфат миқдори аниқланади. **Натижса:** 1-гурӯхда ($n=32$) 27 та беморда ўртача таҳлил нағижалари, 2-гурӯхда 33 та беморда қон зардобида биомаркерлар аниқланди ва таҳлил нағижалари АК ни тасдиқлади, 3-гурӯхда ($n=69$) 53 та (77%) беморда аркер Альцгеймер касаллигини эрта ташхислаш ва хавф гурухини аниқлашда юқори самараорлукка эга бўлди. **Хулоса:** ДГЭА миқдорини текшириш давомида 1- ва 2-гурӯхда ДГЭА дарајасининг бир озишига ёки ошмаслигини кўрсатди.

Калит сўзлар: дағидроэпандростерон сульфат, Альцгеймер касаллиги, когнитив бузилишлар.

КАРТИНА ГЕМОСТАЗА В РАЗЛИЧНЫЕ ПЕРИОДЫ ГЕМОРРАГИЧЕСКОГО ИНСУЛЬТА У ДЕТЕЙ

Туляганова Н.М., Сайдазизова Ш.Х., Назарова С.О.

БОЛАЛАРДАГИ ГЕМОРРАГИК ИНСУЛЬТНИНГ ТУРЛИ ДАВРИДА ГЕМОСТАЗ МАНЗАРАСИ

Туляганова Н.М., Сайдазизова Ш.Х., Назарова С.О.

PATTERN OF HEMOSTASIS IN DIFFERENT PERIODS OF HEMORRHAGIC STROKE IN CHILDREN

Tulyaganova N.M., Saidazizova Sh.H., Nazarova S.O.

Ташкентский институт усовершенствования врачей

Мақсад: болаларда ўтказилган геморрагик инсультнинг турли давридаги неврологик маълумотларни ва гемостаз кўрсаткичларини корреляцион таҳлилидан иборат. **Материал ва услулар:** болалардаги инсультнинг 63 ҳолатида клиник қузатув таҳлили олиб борилди. Клиник қузатув бола ва она томонидан шикоятлари баҳоланди ва неврологик қўрикдан ўтказилди. Лаборатор қисмida гемостазни асосий бўғинлари ўрганилди. **Натижса:** ўткир бош мияда қон айланishiши бузилиши геморрагик турини этиологик омилларнинг таҳлили натижасига кўра, ДТИКК (ДВС) синдроми, гипоксия, TORCH-инфекция, қон касаллиги давридаги гуруҳда, БМКАУБ ўткир давридаги гуруҳга қараганда гемостаз кўрсаткичлари қисман тромбоцитар вақти агрегацияси, тромбин вакти, плазмани фибринолитик активлигини нормаллашиши қузатилди. **Хулоса:** шундай қилиб УБМКАБ у ишемик турдами ёки геморрагик турдами уларни тарқалиши ва аниqlаниши, юқори ногиронликга ва ўлимга олиб келади. Инсульт ўтказган беморларда алгоритм текшируви ўй.

Калим сўзлар: болалар, геморрагик инсульт, ДТИКК (ДВС), коагулопатиялар, гемостаз.

Objective: To conduct correlation analysis between the neurological data and indicators of the hemostatic system in children, who suffered hemorrhagic stroke, depending on the period of disease. **Materials and Methods:** We analyzed the clinical observation of 63 cases of hemorrhagic stroke in children. Clinical examination included assessment of complaints imposed by parents and child, neurological examination. In the part of laboratory have been studied basic components of hemostasis. **Results:** Among the main causes of acute hemorrhagic stroke DIC 37 (59%), hypoxia 15 (24%), TORCH- 13 (21%), blood diseases 8 (13%). In children with hemorrhagic stroke, there is a tendency to normalization of hemostasis as APTT, thrombin time, plasma fibrinolytic activity in the recovery period as compared with the group of children with stroke in the acute period. **Conclusions:** The importance of stroke as ischemic and hemorrhagic determined by the prevalence, high rate of morbidity and mortality, lack of algorithm of examination of patients with stroke.

Key words: children, hemorrhagic stroke, DIC, coagulopathy, hemostasis.

Впоследнее время проблема инсультов у детей приобрела чрезвычайную актуальность из-за высокого уровня инвалидизации и смертности маленьких пациентов, а также в связи с тем, что у многих малышей установить причину церебральной катастрофы не представляется возможным.

Факторами риска данного заболевания называют деидратацию, сепсис, осложнённые роды, асфиксию, нарушения свёртываемости (коагулопатии), сосудистые аномалии, тромбофилю и др. Вероятность развития геморрагического инсульта при большинстве протромботических состояний представляется низкой, но риск инсульта повышается при их сочетании с другими факторами риска. Поэтому при выявлении нескольких факторов риска инсульта необходимо обследовать пациентов на наличие протромботических состояний [1,4,8].

Следует корректировать очевидную тромбоцитопению и дефицит факторов свертывания. В ряде ситуаций может потребоваться терапия витамином К в высоких дозах, особенно в случаях коррекции дефицита факторов свертывания, обусловленного медикаментами, которые принимала или принимает мать (варфарин, фенитоин, барбитураты и др.). Особую сложность в плане выделения этиологических факторов представляет инсульт у детей раннего возраста. Очень сложно в ежедневной практике, на уровне обычных поликлинических или стационарных звеньев здравоохранения, проанализировать наличие всех перечисленных факторов риска или причин, приводящих к острому нарушению мозгового кровообращения (ОНМК). Выявить сочетание каких факторов является наибольшим риском – задача не из простых. Учитывая достаточно высокую распространенность неонатального инсульта, зача-

стую под маской других состояний, высокую вероятность тяжелых инвалидизирующих резидуальных нарушений и, прежде всего, детского церебрального паралича, диагностика данного заболевания приобретает особо значение.

Геморрагические инсульты у детей, так же как и у взрослых, протекают тяжело, больные нуждаются в неотложных мероприятиях, требующих оперативности и соответствующих протоколов ведения [3]. Для адекватного ведения пациентов с геморрагическим инсультом необходима точная диагностика, корреляция с данными других методов диагностики, так как в зависимости от этого и будет решаться вопрос выбора метода лечения: консервативного или хирургического.

Основными лабораторными маркерами патологии гемостаза являются не только и не столько фазовые сдвиги параметров коагулограммы, а наличие персистирующей тромбинемии, нарастание содержания в плазме растворимого фибрина и растворимых фибрин-мономерных комплексов (РФМК), клеточных маркеров диссеминированного внутрисосудистого свертывания (ДВС), снижение уровня физиологических антикоагулянтов [6,7].

До настоящего времени не утратил актуальности вопрос оценки диагностического и прогностического значения отдельных тестов, характеризующих сдвиги в системе гемостаза, а также вопрос оптимального выбора диагностических тестов ДВС, оценки их эффективности. Необходимы дальнейшие исследования сдвигов коагуляции при различных вариантах и периодах геморрагического инсульта, особенно у детей.

Цель исследования

Корреляционный анализ между неврологическими данными и показателями системы гемостаза у детей, пе-

КАРТИНА ГЕМОСТАЗА В РАЗЛИЧНЫЕ ПЕРИОДЫ ГЕМОРРАГИЧЕСКОГО ИНСУЛЬТА У ДЕТЕЙ

перенесших геморрагический инсульт, в зависимости от периода заболевания.

Материал и методы

Под наблюдением находились 63 ребенка с ОНМК по геморрагическому типу в различные периоды заболевания. Возраст пациентов в момент осмотра варьировал от 21-го дня жизни до 6,8 года. Мальчиков было 45 (71,4%), девочек 18 (28,6%).

Клиническое обследование включало оценку жалоб, предъявляемых родителями и ребёнком (ограничение двигательной активности в конечностях, задержку/нарушение развития, эпилептические приступы). При сборе анамнеза обращали внимание на акушерский анамнез, раннее развитие ребенка, наследственность. Пристальное внимание уделялось периоду возникновения нарушения мозгового кровообращения – предвестникам, первым симптомам, развитию двигательных нарушений, уровню сознания ребенка, нарушению речи. Неврологический осмотр включал выявление общемозговых и менингеальных симптомов, оценку функций черепных нервов, двигательной, координаторной и чувствительной сфер и высших корковых функций.

В лабораторной части были изучены основные звенья системы гемостаза: тромбоцитарная, коагуляционная, а также фибринолитическая и антикоагулянтная системы. Изменения в системе гемостаза оценивались при помощи общих (ориентировочных) коагуляционных тестов и тестов, определяющих содержание в плазме продуктов деградации фибриногена и РФМК. Определяли количество тромбоцитов и время свертывания крови для анализа изменений в сосудисто-тромбоцитарном гемостазе; активированное частичное тромбо-пластиновое время для оценки изменений во внутреннем механизме плазменного гемостаза; протромбиновый индекс для выявления изменений во внешнем механизме плазменного гемостаза; тромбиновое время для определения изменений в конечном звене фибринообразования; уровень фибриногена в плазме; содержание РФМК (этаноловый, протаминсульфатный тесты) и продуктов фибринолиза (нафтоловый тест).

Критерии включения в исследования: пациенты, находящиеся на стационарном лечении, в возрасте от рождения до 7 лет, перенесшие острые нарушения мозгового кровообращения по геморрагическому типу, верифицированные нейровизуализацией, а также пациенты, чьи родители дали письменное информированное согласие на участие в исследовании.

Критерии исключения: возраст больных старше 7 лет, пациенты, перенесшие острые нарушения мозгового кровообращения по ишемическому типу, отсутствие информированного письменного согласия со стороны родителей больного на участие в клиническом исследовании.

Статистический анализ проводился с использованием программ Microsoft Excel 2013 и SPSS 19 (IBM, USA). В работе использовалась метод описательной статистики. Все данные представлены как средние значения (M) и стандартная ошибка среднего ($\pm m$). При проведении анализа результатов статистически значимыми считали значения при $p < 0,05$.

Результаты исследования

Оказалось, что наибольшее число нарушений мозгового кровообращения приходилось на детей в возрасте до 1-го года. В возрасте от рождения до 1-го года было 57 (90,5%) детей, от 1-го года до 3-х лет – 4 (6,3%), 3-х лет и старше – 2 (3,2%).

В острейшем периоде заболевания было 18 (28,6%) детей, в остром периоде – 20 (31,7%), в раннем восстановительном – 11 (17,5%), в позднем восстановительном – 10 (15,9%); в периоде остаточных явлений – 4 (6,3%).

Течение острого периода инсульта у детей существенно отличалось от такового у взрослых: у 35-40% детей до сосудистых мозговых катастроф наблюдается субфебрилитет «неясной» этиологии, несмотря на тщательное клиническое обследование; системные соматические причины инсультов у детей в 62% случаев преобладают над подобными причинами у взрослых. «Соматизация» инсультов подчеркивает отличие мозговых геморрагических катастроф у детей раннего возраста. Ведущим этиологическим фактором у 37 (59%) наших пациентов был ДВС-синдром (что и требовало уточнения), у 15 (24%) – гипоксия, у 13 (21%) – инфекции, у 8 (13%) – болезни крови.

Клиника геморрагического инсульта у детей грудного возраста проявлялась острым (реже подострым) началом заболевания, среди «полного здоровья», с нарушениями поведения: беспокойством, возбуждением или вялостью, «мозговым» криком, выбухающим большим родничком, расхождением швов черепа, снижением аппетита, рвотой, судорогами, угнетением уровня сознания, очаговой симптоматикой, преретинальными и ретинальными кровоизлияниями.

По нашим наблюдениям, наиболее частыми симптомами в начале «геморрагической атаки» были беспокойство (47%) (необъяснимое, со слов родителей), судороги (36,7%), отказ от груди (35,2%) в случаях грудного вскармливания и грудного возраста пациентов, а также вегетативные нарушения в виде побледнения, похолодания конечностей (26,4%) (табл. 1).

Таблица 1

Клинико-анамнестические признаки (начальные проявления) детского инсульта в зависимости от периода заболевания, абс. (%)

Жалоба	Острейший/ острый период
Беспокойство	32 (47,05)
Постоянный плач	14 (20,5)
Отказ от груди	24 (35,2)
Кровоточивость	7 (10,2)
Рвота	17 (25)
Повышения температуры тела	9 (13,2)
Бледность конечностей	18 (26,4)
Запрокидывание головы назад	12 (17,6)
Сонливость	12 (17,6)
Двигательные нарушения	12 (17,6)
Желтушность	9 (13,2)
Судороги	25 (36,7)
Нарушение речи	-
ЗПМР	-

*Примечание. *У некоторых пациентов вышеуказанные признаки встречались в сочетании, в связи с чем их сумма не соответствует общему числу пациентов.*

Хирургическое проведено у 28 (44,5%) больных, консервативное лечение получили 35(55,5%) пациентов раннего возраста. В восстановительном периоде инсульта двигательные расстройства различной степени тяжести в виде центрального пареза отмечались у 15 (60%) больных, атактического синдрома – у 8 (32%), гиперкинезов – у 2 (8%). Также имело место нарушение формирования психоречевых функций, развитие вторичной микроцефалии и симптоматической эпилепсии, что значительно снижало реабилитационный потенциал больных детей, (табл 2).

Таблица 2
Неврологические признаки детского инсульта в зависимости от периода заболевания

	Острейший/острый период, n=38	Ранний/поздний восстановительный период, n=25
- ясное	8 (21)	23 (92)
- сопор	19 (50)	2 (8)
- кома	11 (29)	-
Нарушение со стороны ЧМН:		
- косоглазие	4 (10,5)	12 (48)
- центральный парез 7, 12 пары	16 (42)	15 (60)
- нарушение глотания	22 (57)	4 (16)
- нарушения речи	-	12 (48)
Двигательные расстройства:		
- пирамидная недостаточность	10 (26,3)	3 (12)
- гемипарез	10 (26,3)	15 (60)
- тетрапарез	18 (47,4)	7 (28)

Судить о состоянии гемостаза на основании изменений только одного показателя представляется некорректным. Как правило, в стационарах основанием для утверждения о наличии ДВС зачастую служит факт удлинения протромбинового времени (ПТВ), прогрессирующее снижение уровня гемоглобина. На самом деле, для констатации ДВС необходимо учесть еще и таких показателей, как активированное частичное тромбиновое время (АЧТВ), протромбиновый индекс, уровень фибриногена плазмы и др.

Согласно полученным результатам, у наших пациентов имели место изменения в системе гемостаза, которые коррелировали с клиническими данными. В первую очередь это касается активированного АЧТВ, которое является показателем эффективности остановки кровотечения плазменными факторами, характеризует коагуляционный (плазменный) гемостаз и является самым чувствительным и точным показателем гемостазиограммы [1,6].

Удлинение АЧТВ в наших исследованиях могло бы служить показателем недостаточности определенных (II, V, VIII, IX, X, XI, XII) факторов свертывания крови и свидетельствовало о преобладании гипокоагуляции.

Тромбиновое время – это время формирования тромбинового сгустка, характеризующее коагуляционный (плазменный) гемостаз, отражающий 1-ю и 2-ю fazу плазменного свертывания и также активность II, V, VII и X факторов свертывания. В наших исследованиях у пациентов с геморрагическим инсультом в острой и острейшей стадиях имело место удлинение тромбинового времени, что могло служить показателем дефицита или аномалии факторов протромбинового комплекса (VII, X, V, II); болезней печени и желчевыводящих путей, что, несомненно, имело большое значение, так как большинство пациентов были раннего возраста, что не исключает наличие функциональной незрелости печени. Возврат к нормальным значениям в стадии восстановления служило показателем правильно проводимой терапии.

Агрегация с АДФ 1 – также один из показателей, характеризующих тромбоцитарный компонент гемостаза. Определение агрегации тромбоцитов с различными индукторами агрегации играет важнейшую роль в дифференциальной диагностике тромбоцитопатий. Снижение агрегации с АДФ в наших исследованиях расценивалось как проявление тромбоцитопатии, восстановление которой, несмотря на проводимую терапию, шло относительно медленно [5,10].

Согласно международной номенклатуре фибриноген плазмы – это фактор I (первый) свертывающей системы плазмы. Количественное определение фибриногена по

методу Клаусса является базисным тестом исследования гемостаза. Фибриноген относится к белкам острой фазы, его концентрация повышается в плазме при инфекциях, травмах, стрессах. Увеличение содержания фибриногена отмечается при тяжелых инфекционных заболеваниях; при сердечно-сосудистой патологии, особенно у взрослых, предшествует развитию инсульта и прочих состояний также у взрослых пациентов. Уменьшение содержания фибриногена наблюдается при врожденном и наследственном его дефиците; острым ДВС-синдроме, состояниях после кровотечения; терапии некоторыми препаратами, барбитуратами, рыбьим жиром, вальпроевой кислотой и др. [1,9,12].

Удлинение АЧТВ, протромбинового и тромбинового времени наблюдается при глубокой гипофibrиногемии, лечении активаторами фибринолиза. В наших исследованиях изменений в уровне фибриногена плазмы не отмечалось, что, вероятнее всего, связано с тем, что необходимое обследование осуществлялось после переливания плазмы, поэтому в данном случае судить об объективности данного ответа сложно, (табл 2).

Таблица 3
Показатели системы гемостаза у детей с ОНМК по геморрагическому типу в зависимости от периода заболевания

Показатель	Норма	Острейший/острый период	Ранний/поздний восстановительный период
Агрегация с АДФ 1, мм (%)	50-75	22,8±4,0	26,5±4,5
АЧТВ, с	27-36 с	48,4±3,0	41,9±4,0
Протромбиновый индекс, %	70-120	87,6±5,0	108,3±7,0
Тромбиновое время, с	8-14	17,3±2,0	14,1±1,0
Фибриноген плазмы, г/л	2-4	3,6±0,3	3,0±0,9
XII-а зависимый фибринолиз (мин.)	5-12 мин	12,1±2,0	9,8±2,0
Антитромбин-III, %	80-120	102±5,0	96,6±4,5
Протеин C, НО	0,7-1,3	0,9±0,1	0,6±0,1
Факторы Виллебранда, %	70-150	94,9±10,0	70,8±5,0
РФМК, мг/%	3,38 мг/100 мл	8,97±0,9	8,1±0,5

Примечание. p<0,05.

Обсуждение

Таким образом, значимость как ишемических, так и геморрагических ОНМК определяется их распространностью, высокой частотой инвалидизации и смертности, отсутствием алгоритма обследования больных с инсультом. Причинами возникновения нарушений мозгового кровообращения могут быть как аномалии развития сосудов головного мозга (аневризмы, артериовенозные мальформации), заболевания сердца (пороки развития, инфекционные заболевания, нарушения ритма), так и нарушения со стороны системы крови (коагулопатии, анемии, тромбоцитопатии), зачастую имеющие вторичный характер [2,11]. Наличие свершившегося ОНМК, особенно у детей раннего возраста, ухудшает прогноз основного заболевания.

Преобладание возникновения инсультов в раннем возрасте может быть обусловлено анатомическими и функциональными особенностями сосудистой системы у детей, ранней манифестиацией аномалий обмена или пороков развития. Наличие соответствующих изменений в системе гемостаза, особенно у детей раннего возраста, свидетельствует в большей степени о функциональной незрелости печени, дефиците витамина K, что является пусковым механизмом в формировании острых нарушений мозгового кровообращения. Интерпретация данных гемостазиограммы должна проводиться специалистами, так как правильная трактовка и оценка динамики показателей служат основой как правильной диагностики, так и адекватного лечения (и медикаментозного и хирургического).

КАРТИНА ГЕМОСТАЗА В РАЗЛИЧНЫЕ ПЕРИОДЫ ГЕМОРРАГИЧЕСКОГО ИНСУЛЬТА У ДЕТЕЙ

У наших пациентов наблюдались изменения как в со- судистом, так и в тромбоцитарном компоненте гемостаза, о чем свидетельствуют данные гемостазиограммы.

У детей с ОНМК в восстановительном периоде по сравнению с острым периодом отмечается тенденция к нормализации таких показателей системы гемостаза, как АЧТВ, тромбиновое время, фибринолитическая активность плазмы. Однако в восстановительном периоде уровень протеина С был ниже, чем в островом периоде, что свидетельствует об истощении антикоагулянтного потенциала крови.

Все остальные показатели значимо не отличались от нормативных значений. В связи с вышеизложенным возникает необходимость исследования системы гемостаза у детей с ОНМК в разные периоды течения болезни для проведения мониторинга и коррекции системы гемостаза при проведении терапии.

Таким образом, детский геморрагический инсульт, являясь социально-значимым, инвалидизирующим заболеванием, требует своевременной диагностики, лечения и комплексной реабилитации.

Авторы выражают свою признательность сотрудникам отдела молекулярной медицины и клеточных технологий (руководитель – профессор Каримов Х.Я.) НИИГиПК, в частности Шадыбековой О.Б., за содействие в проведении данного исследования и ценные консультации. Работа проводилась под руководством профессора Ш.Ш. Шамансурова в рамках Государственного научно-технического прикладного гранта АДСС 15.23.4 «Разработка патогенетических методов диагностики инсультов у детей раннего возраста, и оптимизация принципов терапии».

Литература

1. Асиликова У.Е. Геморрагический инсульт у детей до 1 года: клиника, диагностика и лечение // Неврол. и нейрохирургия Казахстана. – 2010. – №3. – С. 69-70.
2. Евтушенко С.К., Филимонов Д.А. Роль гомоцистеина в развитии ишемических инсультов у лиц молодого возраста (обзор литературы и личные наблюдения) // Междунар. неврол. журн. – 2013. – №7 (61). – С. 19-30.
3. Зотова Н.С., Делягин В.М. Нарушения мозгового кровообращения у детей // Вестн. новых мед. технологий. – 2009. – Т.ХV1, №2. – С. 74.
4. Кремец К.Г. Краткий обзор проблемы диагностики и лечения инсульта у младенцев и детей // Практ. ангил. (<http://angiology.com.ua/article/402.html>).
5. Мухамбетова Г.А., Кадыржанова Г.Б., Смагулова А.Р. Клинические особенности детского геморрагического инсульта в восстановительном периоде // Неврол. и нейрохирургия Казахстана. – 2013. – №2. – С. 78-81.
6. Показатели гемостаза у детей // Источник: <http://online-diagnos.ru/analiz/koagulogramma-analiz-krovi-na-svertivayemost>
7. Третьякова О.С. Особенности системы гемостаза в неонатальном периоде // Источник: <http://d-l.com.ua/ru-issue-article-101>
8. Чуйко З., Хитро С. Геморрагический инсульт у детей первых месяцев жизни // Мед. вестн. Конспект врача. – 2014. – №40 (1187). – С. 42-46.
9. Moore J.X. et al. Hemostasis biomarkers and risk of sepsis: the REGARDS cohort // J. Thromb. Haemost. – 2016. – Vol. 11. – P. 1-8.
10. Morotti A., Goldstein J.N. New Oral Anticoagulants and Their Reversal Agents // Curr. Treat. Options Neurol. – 2016. – Vol. 18, №11. – P. 47-53.
11. Oscier C., Cecconi M. Goal-directed therapy to maintain haemostasis // Best Pract. Res. Clin. Anaesthesiol. – 2016. – Vol. 2. – P. 217-228.
12. Stoll M., Rühle F. et al. Rare Variants in the ADAMTS13 Von Willebrand Factor-Binding Domain Contribute to Pediatric Stroke // Circ. Cardiovasc. Genet. – 2016. – Vol. 9. – P. 357-367.

КАРТИНА ГЕМОСТАЗА В РАЗЛИЧНЫЕ ПЕРИОДЫ ГЕМОРРАГИЧЕСКОГО ИНСУЛЬТА У ДЕТЕЙ

Туляганова Н.М., Сайдазизова Ш.Х., Назарова С.О.

Цель: корреляционный анализ между неврологическими данными и показателями системы гемостаза у детей, перенесших геморрагический инсульт, в зависимости от периода заболевания. **Материал и методы:** под наблюдением были 63 ребенка с геморрагическим инсультом. Клиническое обследование включало оценку жалоб, предъявляемых родителями и ребёнком, и неврологический осмотр. **Результаты:** среди основных причин острого нарушения мозгового кровообращения по геморрагическому типу были ДВС-синдром, гипоксия, TORCH-инфекция, заболевания крови. У детей с ОНМК по геморрагическому типу в восстановительном периоде отмечается тенденция к нормализации таких показателей системы гемостаза, как АЧТВ, тромбиновое время, фибринолитическая активность плазмы. **Выходы:** значимость как ишемических, так и геморрагических ОНМК определяется их распространенностью, высокой инвалидизацией и смертностью, отсутствием алгоритма обследования больных с инсультом.

Ключевые слова: дети, геморрагический инсульт, ДВС, коагулопатия, гемостаз.

Клиническая
медицина

ОСОБЕННОСТИ ДИАГНОСТИКИ И ДИФФЕРЕНЦИАЛЬНОЙ ДИАГНОСТИКИ ТУБЕРКУЛЕЗНОЙ ЛИМФАДЕНОПАТИИ

Файзуллаева Д.Б., Тилляшайхов М.Н., Хакимов М.А.

ТУБЕРКУЛЁЗЛИ ЛИМФАДЕНОПАТИЯЛарни ташхислаш ва ДИФФЕРЕНЦИАЛ ТАШХИСЛАШНИНГ ЎЗИГА ХОСЛИГИ

Файзуллаева Д.Б., Тилляшайхов М.Н., Хакимов М.А.

DIAGNOSTIC FEATURES AND DIFFERENTIAL DIAGNOSIS OF TUBERCULOUS LYMPHADENOPATHY

Fayzullaeva D.B., Tillashaykhov M.N., Khakimov M.A.

Республиканский специализированный научно-практический
медицинский центр фтизиатрии и пульмонологии им. Ш.А. Алимова

Мақсад: туберкулёзли лимфаденопатияларни комплекс ташхислаш ва дифференциал ташхислашни таомиллаштириши. **Материал ва усуллар:** Республика ижтисослашган илмий амалий фтизиатрия ва пульмонология тиббий марказида 2013-2015 йиллари лимфатик тугунлар касаллуклари ва уларни жадаллаштирувчи жараёнлари бўлган 150 та даволанган беморларнинг касаллук тарихи таҳлил қилинганд. **Натижаси:** туберкулёзли лимфаденопатия ҳозирги шароитда троплиги, клиник кўринишлар ва қондаги ўзгаришларнинг сустлиги билан тавсифланади. 50% дан кўпроқ ҳолатларда периферик лимфатик тугунлар туберкулези бошқа ёндош касаллуклар билан (ўпка сили, ВИЧ-инфекцияси, гепатит С, гепатит В, абдоминал туберкулез) биргаликда келади. 50% дан кўпроқ ҳолатларда кўплаб периферик лимфатик тугунларнинг заарланиши, қўпинча абсцесслар ва свищлар босқичларида аниқланади. **Хуноси:** лимфатик тугунлар туберкулезини дифференциал ташхислаш мақсадида муаллифлар алгоритм яратган, тиббий хизматнинг бирламчи босқичида ва туберкулез диспансерларда уни қўллаш туберкулезли лимфаденитни эрта ташхислаш имконини беради.

Калим сўзлар: туберкулезли лимфаденопатия, ташхис, даволаш, умумий амалиёт шифокори учун алгоритм.

Objective: To improve comprehensive diagnosis and differential diagnosis of tuberculous lymphadenopathy. **Materials and Methods:** We examined medical records of 150 patients with diseases of the lymph nodes and simulating their processes, who had been examined and treated in the clinic of Republican specialized scientific-practical medical center of Phthisiology and pulmonology of the MOH of the Republic of Uzbekistan in the period of 2013-2015. **Results:** Currently, tuberculous lymphadenopathy is characterized by a torpid course, the paucity of clinical manifestations and changes in the blood. Tuberculosis of peripheral lymph nodes is combined with other diseases (tuberculosis, HIV, hepatitis C, hepatitis B, abdominal tuberculosis) in almost half of patients. There is loss of several groups of lymph nodes in more than half of the cases, the process is often detected in advanced abscessed and fistulous stages. **Conclusions:** We propose an algorithm tactics of a physician in the differential diagnosis of TL, the use of which can help general practitioners and TB facilities in the early detection of tuberculous lymphadenitis.

Key words: tuberculous lymphadenopathy, diagnosis, treatment, physician's tactics algorithm.

На фоне ухудшения эпидемиологической ситуации по туберкулезу отмечается увеличение заболеваемости внелегочными формами туберкулеза, в том числе туберкулезом периферических лимфатических узлов. В структуре внелегочных форм туберкулеза поражение периферических лимфатических узлов почти повсеместно перешло на первое место [3-5]. Одним из таких заболеваний является туберкулезная лимфаденопатия (ТЛ), которая отличается своеобразной клинической картиной, изменчивостью и отсутствием патогномоничных признаков, вследствие чего за ТЛ принимают различные заболевания неспецифического генеза [2]. Согласно материалам статистических разработок Российского НИИТ по результатам гистологических исследований, в структуре форм активного внелегочного туберкулеза традиционно преобладает поражение лимфатических узлов – 44,5% [1,9].

В современных условиях высокой распространенности лимфаденопатий различной этиологии диагностика ТЛ остается сложной и актуальной проблемой фтизиатрии [6-8,10,11]. Практически отсутствуют публикации по диагностике и дифференциальной диагностике ТЛ.

Цель исследования

Усовершенствование комплексной диагностики и дифференциальной диагностики туберкулезной лимфаденопатии.

Материал и методы

Проанализирована медицинская документация 150 больных с заболеваниями лимфатических узлов и симули-

рующими их процессами, находившихся на обследовании и лечении в клинике Республиканского специализированного научно-практического медицинского центра фтизиатрии и пульмонологии МЗ РУз в 2013-2015 гг. Обследование проводилось по единой методике, включающей сбор анамнеза, клинический (включающий описание локального статуса согласно стандартному плану), лучевой (рентгенографическое исследование органов грудной клетки, экография и компьютерная томография лимфатических узлов), лабораторный (общеклинические исследования), бактериологический (исследование мокроты, мочи, ткань удаленных лимфатических узлов и/или отделяемого из свищей на МБТ, определение туберкулиновой чувствительности с помощью пробы Манту с 2ТЕ ППД-Л) методы.

Пункционную биопсию проводили по общепринятой методике. Готовили несколько препаратов. После фиксации этиловым спиртом в течение 20-30 мин препараты окрашивали азур-эозином. При наличии гнойногоpunktata мазки для бактериологического исследования окрашивали по Цилю – Нельсену, а в ряде случаев по Граму. Применение этих методов позволило значительно расширить объем диагностической информации и создать наиболее благоприятные условия для своевременного распознавания ТПЛУ, а следовательно, и своевременно проводимого противотуберкулезного лечения.

На основании комплексных клинико-лабораторных, ультразвуковых и морфологических исследований у 99

(66,0%) больных диагностирован ТЛ, у 51 (34,0%) – другие заболевания лимфатических узлов, в том числе неспецифический лимфаденит – у 34 (22,7%), лимфагранулематоз – у 10 (6,7%), метастазы опухолей – у 4 (2,7%), кисты шеи – у 2 (1,3%), нагноившаяся атерома – у 1 (0,7%). Наличие у больных самых разнообразных, в том числе опухолевых и системных заболеваний, ошибочно оцениваемых как ТЛ, свидетельствует о трудности дифференциальной диагностики между ними. Это подтверждается и сроками наблюдения этих больных в поликлиниках и ПТД до установления правильного диагноза. Из 99 больных, у которых первоначально ошибочно диагностировали ТЛ, примерно у половины (56 человек) срок наблюдения в ПТД и поликлинике после выявления патологии до установления истинного заболевания был выше 6 месяцев, из них у 18 больных он составлял 2-6 лет. Только у 25 пациентов правильный диагноз был установлен в течение первых трех месяцев с момента выявления заболевания.

99 больных с ТЛ были разделены на две группы: 1-я группа – 59 больных без сопутствующих патологий, 2-я группа – 40 пациентов с сопутствующими заболеваниями (туберкулез других локализаций, ВИЧ-инфекция, сахарный диабет, вирусный гепатит и др.).

Распределение обследованных больных по возрасту представлено в таблице 1. Как видно из таблицы, среди обследованных больных преобладали лица молодого и зрелого возраста (74,1%). Из числа больных до 20 лет лица без сопутствующей патологии встречались почти в 5 раза чаще, чем с сопутствующими заболеваниями – соответственно 83,3 и 16,7% ($p<0,01$), от 21 года до 30 лет – в 3,1 раза чаще, соответственно 75,7 и 24,3% ($p<0,01$).

Несколько иная картина выявлена при сравнении 1-й и 2-й групп больных ТЛ пожилого и старческого возраста. Так, лиц 2-й группы было соответственно в 2,5 и 4 раза больше – 71,4 и 28,6%; 80,0 и 20,0% ($p>0,2$ и $p<0,02$). Таким образом, у лиц молодого возраста чаще была ТЛ без сопутствующих патологий, а среди пациентов пожилого и старческого возраста, напротив, чаще встречались сопутствующие патологии.

Таблица 1

Распределение обследованных больных ТЛ по возрасту, абс. (%)

Возраст, лет	1-я группа	2-я группа	Всего
До 20	10 (83,3±10,7)	2 (16,7±10,7)*	12 (12,5±3,3)
21-30	28 (75,7±7,0)	9 (24,3±7,0)*	37 (37,4±4,8)
31-40	14 (58,3±10,0)	10 (41,7±10,0)	24 (24,2±4,3)
41-50	4 (28,6±12,0)	10 (71,4±12,0)*	14 (14,1±3,4)
51-60	2 (28,6±17,0)	5 (71,4±17,0)	7 (7,1±2,5)
Старше 60	1 (20,0±17,8)	4 (80,0±17,8)*	5 (5,1±2,2)
Всего	59	40	99 (100,0)

Примечание. * – $p<0,02$; $p<0,01$ по сравнению с данными больных 1-й группы.

Из всех групп периферических лимфатических узлов у больных ТЛ наиболее часто была поражена шейная группа (67,7%), из них у 45,5% туберкулезный процесс локализовался в передней шейной области и у 22,2% – в задней шейной области.

Сочетанное поражение шейных лимфатических узлов с подмышечными лимфатическими узлами выявили у 9,1% обследованных. Второе место занимал подчелюстной лимфаденит (11,1%), третье – подмышечный (8,1%). Туберкулез паховых лимфатических узлов наблюдался только у 4 (4,0%) больных.

У 62,5% больных ТЛ, сочетающимися с сопутствующими заболеваниями, выявлена тенденция к образованию конгломератов лимфатических узлов. У пациентов без сопутствующих заболеваний конгломераты, как правило, формировались ко второму месяцу наблюдений. При этом в пораженных лимфатических узлах часто развивался деструктивный процесс с образованием абсцессов (32,3%) и свищей (25,3%).

Статистическая обработка результатов исследований проводилась на IBM совместном компьютере с помощью пакета программ для статистических расчетов Microsoft Excel.

Таким образом, современные методы диагностики туберкулеза периферических лимфатических узлов позволяют выявлять ряд новых закономерностей как в диагностике, так и в комплексной терапии туберкулеза периферических лимфатических узлов.

Результаты и обсуждение

Клиническая картина туберкулезного лимфаденита развивалась по-разному. Согласно нашим наблюдениям, постепенное начало ТЛ со скучной симптоматикой, иногда незаметно для больного, наблюдалось у 88 (88,9%) обследованных. При этом на соответствующем участке поражения вначале пальпируется не более 2-3-х лимфатических узлов величиной 2-3 см, плотно-эластичных, безболезненных, которые, медленно увеличиваясь, нередко достигают больших размеров. У 11,1% больных имело место острое начало заболевания, сопровождающееся резкой болезненностью пораженных лимфатических узлов.

Значительные различия выявлялись в локальных проявлениях заболевания. Так, при туберкулезном лимфадените у 32,3% больных определялись флюктуация, у 41,4% – гиперемия кожного покрова, у 56,6% пациентов размеры узлов были 3 см и более, у 38,4% пациентов встречались конгломераты узлов, у 25,3% – свищи.

Анализ туберкулиновой чувствительности показал, что реакция на туберкулин у большинства больных ТЛ (54,5%) носила гиперergicкий характер; у 30,3% больных получен нормергический характер туберкулиновой реакции; отрицательные реакции на туберкулин были у 15,2% больных.

При локальных формах ТЛ у большинства больных (54,6%) показатели периферической крови была в пределах нормы, лишь у 6,1% пациентов отмечались отклонения в виде лейкоцитоза с небольшим палочкоядерным сдвигом нейтрофилов. У 68,7% больных наблюдалось повышение СОЭ, у 65,6% – анемия. В анализах мочи обнаруживались белок, единичные эритроциты, лейкоциты. Активность АЛТ и АСТ возрастала незначительно. Все эти симптомы можно отнести к парапсифическим проявлениям, присущим первичному туберкулезу.

Согласно данным М.В. Чуличниковой [12], при исследовании пораженных лимфатических узлов у больных ТЛ микобактерии туберкулеза (МБТ) выявлялись бактериологическим методом в 22,8% случаев. Мы наблюдали значительное уменьшение процента обнаружения МБТ у больных ТЛ. Проведенные исследования показали, что выявление МБТ методом простой бактериоскопии возможно лишь в 6,1% случаев, методом MGIT – в 11,1% случаев. Результаты посева патологического материала лимфатических узлов, как показали наши исследования, в значительной степени определялись формой ТЛ. Наиболее часто (54,5%) МБТ выделялись при абсцедирующем и свищевом стадии туберкулезного лимфаденита. При бактериологической диагностике ТПЛУ, учитывая специфику патологического материала, помимо классических методов обнаружения микобактерий туберкулеза, необходимо при-

менять дополнительные методы (посев на жидкие среды Левенштейна – Йенсена, методы MGIT, HAIN тест, ПЦР).

Пересмотр гистологических препаратов у 68 больных туберкулезным лимфаденитом показал, что особенности патоморфологической картины при ТЛ определяются, прежде всего, фазой активности воспалительного процесса в лимфатическом узле. На основании морфологических признаков мы выделили три группы больных с патологическим процессом в разных фазах активности. 29 (29,3%) больных 1-й группы имели преимущественно гранулематозно-продуктивные изменения в лимфатических узлах (малоактивная фаза). У 13 (13,1%) пациентов 2-й группы отмечались продуктивно-некротические изменения (активная фаза процесса). У 57 (57,6%) больных 3-й группы имели место преимущественно некротические поражения лимфатического узла с минимальными гранулематозными изменениями, нагноением и формированием свищей (прогрессирующая фаза).

Наблюдалось различия в группах по характеру начала и течения заболевания. Так, при ТЛ в фазе прогрессирования (3-я гр.) чаще отмечалось острое начало заболевания с выраженной интоксикацией и частым расплавлением лимфатических узлов. В то же время при малоактивной и активной (продуктивно-некротической) фазах чаще наблюдалось бессимптомное начало, когда единственным проявлением были случайно обнаруженные увеличенные лимфатические узлы. Больных 3-й группы чаще беспокоили симптомы интоксикации, самыми частыми из которых были общая слабость, повышение температуры тела.

Диагностика ТЛ остается одной из актуальных проблем фтизиатрии. По нашим данным, из 99 больных, у которых первоначально ошибочно диагностировали ТЛ, примерно у половины (56 человек) срок наблюдения в ПТД и поликлинике после выявления патологии до установления истинного заболевания превышал 6 месяцев, из них у 18 больных он составлял 2-6 лет, что свидетельствует о недостаточном уровне диагностики ТЛ и необходимости разработки единого алгоритма действий врача при дифференциальной диагностике ТЛ и периферических лимфаденопатий другой этиологии.

Сложность диагностики связана с недостаточной эффективностью существующих методов исследования. Бактериологические методы имеют ограниченное значение в связи с олигобактериальностью при внелегочных локализациях туберкулеза и большей вероятностью обнаружения МБТ при выраженных деструктивных формах заболевания. Так, МБТ выявлялись только у 17,2% наших пациентов с ТЛ в фазе прогрессирования и совсем не обнаруживались при малоактивной фазе заболевания. Поэтому методом выбора остается морфологическое исследование. Процесс диагностики туберкулезного лимфаденита должен включать последовательно проводимые этапы, представляющие собой комплекс диагностических и лечебных действий.

Важное значение в совершенствовании дифференциальной диагностики ТПЛУ на основе изучения патогенеза имеет разработанная в Санкт Петербургском научно-исследовательском институте фтизиатрии (Браженко Н.А., 2013) эволюционно-патогенетическая классификация, в которой выделено 4 стадии заболевания: 1) начальная, пролиферативная; 2) казеозная; 3) абсцедирующая; 4) свищевая (язвенная). Согласно этой классификации, с учетом данных клинического течения процесса и характера морфологических изменений в лимфатиче-

ских узлах у 29 (29,3%) больных диагностирована пролиферативная стадия ТЛ, у 13 (13,1%) – казеозная, у 32 (32,3%) – абсцедирующая, у 25 (25,3%) – свищевая (табл. 2). Иными словами, наибольшее число больных (57,6%) страдали абсцедирующими и свищевыми стадиями ТЛ.

Таблица 2
Распределение больных ТЛ по стадиям заболевания, абс (%)

Стадия ТЛ	1-я группа	2-я группа	Всего
Пролиферативная	25 (86,2±6,4)*	4 (13,8±6,4)	29 (29,3)
Казеозная	8 (61,5±13,4)	5 (38,5±13,4)	13 (13,1)
Абсцедирующая	16 (50,0±8,8)	16 (50,0±8,8)	32 (32,3)
Свищевая	10 (40,0±9,7)	15 (60,0±9,7)	25 (25,3)
Всего	59	40	99

Примечание. То же, что и к табл. 1.

В пролиферативной стадии ТЛ больные с сопутствующими заболеваниями выявились в 4,2 раза реже, чем пациенты без сопутствующих патологий (соответственно 13,8 и 86,2%, $p<0,001$). Напротив, в свищевой стадии ТЛ больных с сопутствующими заболеваниями было в 1,5 раза больше, чем пациентов без сопутствующих патологий (соответственно 60,0 и 40,0%, $p>0,2$). В казеозной стадии ТЛ достоверных различий между числом больных с сопутствующими и без сопутствующих заболеваний не выявлено (38,5 и 61,5%, $p>0,2$), так же, как и в абсцедирующей стадии ТЛ (50,0 и 50,0%, $p>0,1$).

На основании результатов собственных исследований, а также данных литературы, мы предлагаем алгоритм тактики врача при дифференциальной диагностике ТЛ, использование которого может помочь врачам общей лечебной сети и противотуберкулезных учреждений в своевременном выявлении туберкулезного лимфаденита (рисунок).

Таким образом, в современных условиях течение туберкулезной лимфаденопатии отличается торpidностью, склонностью к клиническим проявлениям и изменений в крови. Туберкулез периферических лимфатических узлов у 40,4% больных сочетается с другими заболеваниями (туберкулез легких, ВИЧ-инфекция, гепатит С, гепатит В, абдоминальный туберкулез). Более чем в половине случаев отмечается поражение нескольких групп лимфатических узлов (56,6%), процесс чаще выявляется в запущенных абсцедирующей (32,3%) и свищевой стадиях (25,3%). Из лимфатического узла микобактерии туберкулеза выделены только в 17,2% случаев. В условиях специализированного стационара среди пациентов с лимфаденопатиями туберкулезная лимфаденопатия установлена у 99 (66,0%), неспецифический лимфаденит - у 34 (22,7%), лимфагрануломатоз - у 10 (6,7%), метастазы опухолей - у 4 (2,7%), кисты шеи - у 2 (1,3%), нагноившейся атерома - у 1 (0,7%). Анализ гистологической картины удаленных лимфатических узлов позволил выделить три фазы активности туберкулезного лимфаденита: фазу малоактивную - у 29 (29,3%) человек (преимущественно гранулематозно-продуктивные изменения в лимфатических узлах), активную - у 13 (13,1%) пациентов (продуктивно-некротические изменения) и прогрессирующую фазу - у 57 (57,6%) (преимущественно некротические поражения лимфатического узла с минимальными гранулематозными изменениями, нагноением и формированием свищей).

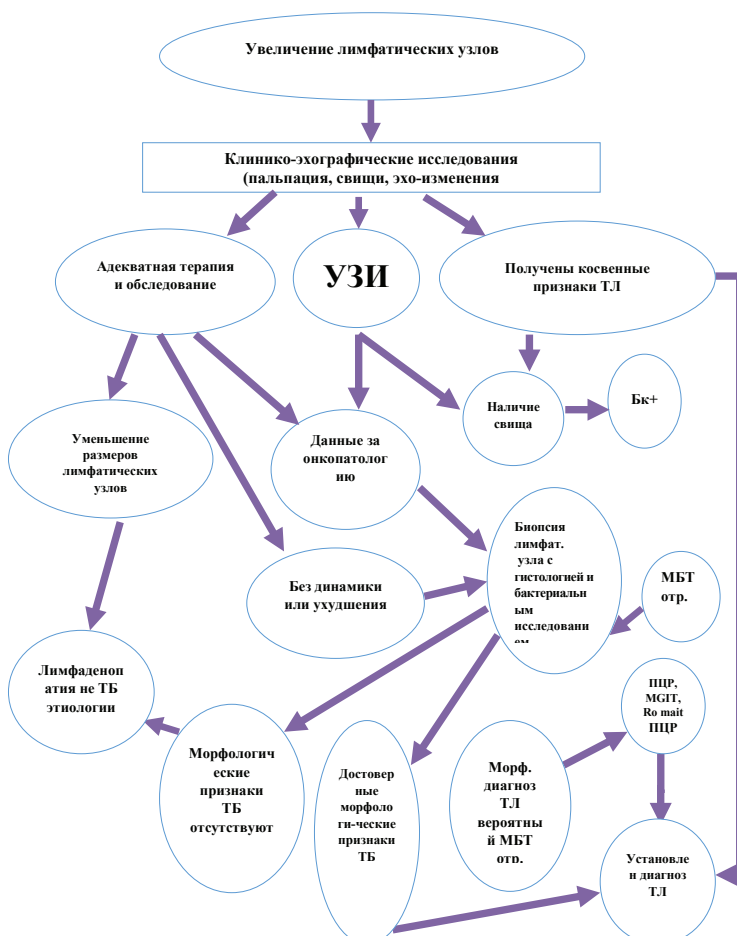


Рисунок. Алгоритм дифференциальной диагностики тл.

Литература

1. Ажмуханбетов К.А., Немова Л.А., Бескова А.И., Баграмова Б.Б. Туберкулез периферических лимфатических узлов в Центральном Казахстане // Сборник научных трудов II (XII) съезда врачей фтизиатров. – Саратов, 1994. – С. 193.
2. Ажмуханбетов К.А. Особенности туберкулеза периферических лимфатических узлов в условиях ухудшения эпидемиологической ситуации // Медицина и экология. – 1996. – №1. – С. 64-67.
3. Батыров Ф.А., Хоменко В.А., Шмакова Л.Н. Эпидемиология внелегочного туберкулеза // Пробл. туб. – 2003. – №8. – С. 49-50.
4. Гарбуз А.Е. Современное состояние проблемы по внелегочно-му туберкулезу // Пробл. туб. – 1998. – №2. – С. 32-34.
5. Кульчавеня Е.В. Туберкулез внелегочных локализаций в западной Сибири // Пробл. туб. и бол. легких. – 2003. – №4. – С. 13-15.
6. Савина Т.А. Неспецифическая лимфаденопатия в клинике туберкулеза периферических лимфоузлов // Туберкулез как объект научных исследований: Сб. тр. – СПб, 1994. – Т. 1. – С. 166-170.
7. Савина Т.А. Лимфаденопатия различной этиологии в клинике туберкулеза периферических лимфатических узлов: Автореф: дис. ... канд. мед. наук. – СПб, 1997. – 25 с.
8. Савина Т.А. Проблемы диагностики лимфаденопатии туберкулезной и неспецифической этиологии // Внелегочный туберкулез - актуальная проблема здравоохранения: Сб. науч. тр. Всерос. науч.-практ. конф. – СПб, 1997. – С. 47.
9. Соловьевна И.П., Флигель Д.М. Внелегочный туберкулез по производственным материалам // IV (XIV) съезд научно-медицинской ассоциации фтизиатров. – Москва – Йошкар-Ола, 1999. – С. 192-193.
10. Талантов В.А., Буткарев И.Н. Дифференциальная диагностика и комплексное лечение туберкулеза периферических лимфоузлов: Метод. Рекомендации. – Л., 1983. – 23 с.
11. Титаренко О.Т., Дьякова М.Е., Чужкова Н.М. и др. Критерии диагностики туберкулеза периферических лимфатических узлов с использованием аденоиндезаминазы: Метод. рекомендации. – СПб, 2000. – 17 с.
12. Чулочникова М.А. Клинико-морфологическая характеристика туберкулеза периферических лимфатических узлов в разных фазах активности процесса: Автореф. дис. ... канд. мед. наук. – М., 2005. – 26 с.

ОСОБЕННОСТИ ДИАГНОСТИКИ И ДИФФЕРЕНЦИАЛЬНОЙ ДИАГНОСТИКИ ТУБЕРКУЛЕЗНОЙ ЛИМФАДЕНОПАТИИ

Файзулаева Д.Б., Тилляшайхов М.Н., Хакимов М.А.

Цель: усовершенствование комплексной диагностики и дифференциальной диагностики туберкулезной лимфаденопатии. **Материал и методы:** проанализирована медицинская документация 150 больных с заболеваниями лимфатических узлов и симулирующими их процессами, находившихся на обследовании и лечении в клинике Республиканского специализированного научно-практического медицинского центра фтизиатрии и пульмонологии МЗ РУз в 2013-2015 гг. **Результаты:** в современных условиях течение туберкулезной лимфаденопатии отличается торpidностью, скучностью клинических проявлений и изменений в крови. Туберкулез периферических лимфатических узлов почти у половины больных сочетается с другими заболеваниями (туберкулез легких, ВИЧ-инфекция, гепатит С, гепатит В, абдоминальный туберкулез). Более чем в половине случаев отмечается поражение нескольких групп лимфатических узлов, процесс чаще выявляется в запущенных абсцедирующей и свищевой стадиях. **Выводы:** авторами предложен алгоритм тактики врача при дифференциальной диагностике ТЛ, использование которого может помочь врачам общей лечебной сети и противотуберкулезных учреждений в своевременном выявлении туберкулезного лимфаденита.

Ключевые слова: туберкулезная лимфаденопатия, диагностика, лечение, алгоритм такими врача.

АНАЛИЗ АМБУЛАТОРНО-ПОЛИКЛИНИЧЕСКОЙ ПОМОЩИ БОЛЬНЫМ САХАРНЫМ ДИАБЕТОМ

Шагазатова Б.Х., Кенжаева Д.И., Миражмедова С.А.

ҚАНДЛИ ДИАБЕТЛІ КАСАЛЛАРГА АМБУЛАТОР-ПОЛИКЛИНИК ЁРДАМНИ ТАХЛИЛИ

Шагазатова Б.Х., Кенжаева Д.И., Миражмедова С.А.

AN ANALYSIS OF OUTPATIENT CARE FOR PATIENTS WITH DIABETES

Shagazatova B.H., Kenjaeva D.I., Miraxmedova S.A.

Ташкентская медицинская академия

Тадқиқот мақсади: қандлы диабет беморларга амбулатор-поликлиника даражасыда сифатли ёрдам қўрсатишни ўрганиши. **Материал ва усуулар:** текширувлар Тошкент шаҳар поликлиникаларида ўтказилди, ҳаммаси бўлиб 240 қандлы диабет беморларни амбулатор картаси ўрганилди (109 та эркак ва 131 та аёл). Олинганд мәълумотлар "Амбулатор-поликлиник картага қайд қилинди. Антропометрик қўрсаткичлар, гликирланган гемоглобин, қондаги қанд, сийдикдаги қанд, сийдикдаги оқсили, артериал қон босими, ТВИ, даволаш тури ва асоратлар ўрганилди, бундан ташқари касалликнинг давомийлиги, касалларни ўз вақтида поликлиникага мурожаат қилиши ва диспансер рўйхатига олиниши қайд қилинди. Қандлы диабетли беморларда амбулатор-поликлиника даражасыда сифатли ёрдам қўрсатишни ўрганиш, беморларнинг ўз вақтида шифокорга мурожаат қиласмасликлари, диабетни бошқаришига қизиқмасликлари, беморларда касалликнинг тўғри назорат қилинмаслиги уларда қон-томир асоратларини кенг тарқалишини кўрсатади. **Калит сўзлар:** 1- ва 2- тип қандлы диабет, тарқалиши, касалланиши, асоратлари, соғлиқни сақлаши.

The aim of our study was to evaluate the quality of diabetes care in the outpatient level. Materials and Methods: The study was conducted in clinics of Tashkent, a total of 240 patients (109 men and 131 women) were analyzed and examined hospital records of diabetes, and the data were recorded in the questionnaire "Outpatient Card". anthropometric measures, the level of glycated hemoglobin, blood sugar, urine sugar, the presence of protein in the urine, blood pressure, BMI, type of treatment and complications, and took into account the duration of the disease, early uptake of patients in the clinic, take on the dispensary were studied. The analysis of the quality of care patients with diabetes in the provision of out-patient - polyclinic care setting showed high prevalence of vascular complications of diabetes due to poor diabetes compensation, low motivation patients control diabetes and untimely visit to the doctor.

Keywords: Diabetes mellitus of the 1st and 2nd type, prevalence, incidence, complications, health care.

По прогнозу экспертов ВОЗ, за период с 1995 по 2005 гг. предполагаемое число больных сахарным диабетом (СД) составило 300 млн [5]. Согласно же последним данным ВОЗ (2016), в 2015 г. уже зарегистрировано 415 млн больных СД [3]. В Узбекистане также наблюдается увеличение числа больных с этим заболеванием. Так, если в начале 90-х годов в результате исследований, проведенных НИИ эндокринологии, СД диагностирован у 1,88-1,90% обследованных, то к концу тысячелетия, эта цифра с учетом лиц со скрытой и явной формами СД возросла до 10%. Такое большое числа больных СД большим бременем ложиться на здравоохранение, в первую очередь амбулаторное-поликлиническое звено [4]. В связи с чем изучение современного состояния амбулаторно-поликлинической помощи больным сахарным диабетом приобретает особую актуальность.

Цель исследования

Изучение качества оказания амбулаторно-поликлинической помощи больным сахарным диабетом.

Материал и методы

Исследование проводилось в поликлиниках г. Ташкента, всего были проанализированы данные 240 больных (109 мужчин, 131 женщина) сахарным диабетом. Изучали антропометрические показатели, определяли индекс массы тела (ИМТ), уровень гликированного гемоглобина, сахара крови и мочи, белка в моче, артериального давления. Статистическая обработка полученных данных проводилась с использованием Microsoft Office Excel 2010.

Результаты исследования

Возраст больных СД 1-го типа в среднем составил 38,3 года, 2-го – 62,4 года, длительность диабета у пациентов с 1-м типом равнялась 12 годам, 2-го – 10,7 года.

В зависимости от степени тяжести больные диабетом распределялись следующим образом: у 84,5% боль-

ных СД 2-го типа отмечалась средняя степень тяжести заболевания, у 14,0% – тяжелая, у 1,5% – легкая; среди больных СД 1-го типа тяжелая степень тяжести заболевания имела место у 53,3%, средняя – у 46,6%.

Следует отметить довольно низкий процент выявления диабетических сосудистых осложнений со стороны нижних конечностей у наблюдавших нами больных [6]. Диабетическая макроангиопатия не обнаружена у 73% больных СД 1-го типа и у 87,1% больных СД 2-го типа. Наличие диабетической стопы с изъязвлением имело место соответственно у 1 и 2,2%. Ампутация была произведены у 1% больных СД 1-го типа и у 3,6% – СД 2-го типа.

Из осложнений сахарного диабета у 80% пациентов с 1-м и у 83% 2-м типом выявлена диабетическая ретинопатия, причем в более выраженных стадиях при СД 1-го типа. Диагноз диабетической нефропатии установлен соответственно у 66,7 и 71,3% больных, макропротеинурии – у 26,6 и 16,1% [7], диабетическая нейропатия – у 98 и 91,1%, причем преобладала ее дистальная форма.

Ишемическая болезнь сердца (ИБС) среди больных СД 2-го типа встречалась в 4 раза чаще, чем среди больных СД 1-го типа – соответственно у 79,1 и 20%. Острый инфаркт миокарда (ОИМ) перенесли 16% пациентов с СД 2-го типа, у 0,4% отмечались повторные ОИМ.

У 59,4% больных СД 2-го типа выявлено повышение артериального давления (АД), в том числе систолического в среднем до 141 мм рт. ст., диастолического – до 86 мм рт. ст. Среди больных СД 1-го типа высокие цифры АД отмечались только у 13%, систолическое АД в среднем составляло 125 мм рт. ст. Острое нарушение мозгового кровообращения (ОНМК) выявлено у 9,6% больных СД 2-го типа. У 0,4% пациентов с СД 2-го типа отмечались повторные ОНМК [9].

АНАЛИЗ АМБУЛАТОРНО-ПОЛИКЛИНИЧЕСКОЙ ПОМОЩИ БОЛЬНЫМ САХАРНЫМ ДИАБЕТОМ

Все больные состояли на диспансерном учете. При этом 68,6% больных СД 2-го типа и 60% – СД 1-го типа были взяты на диспансерный учет сразу, 10,5% и 23% – через месяц после установления диагноза. Значительное число больных СД как 1-го (17%), так и 2-го типа (20,9%) типов были поставлены на учет через год после выявления диабета.

Не посещали поликлинику 25,7% больных СД 2-го типа и 6,7% – СД 1-го типа, посещали эпизодически – соответственно 59,1, систематически – 15,1 и 60%. Большинство больных СД 1-го типа бывали на приеме у врача раз в полгода-год. Больные СД 2-го типа, как правило, не посещали врача даже с такой периодичностью.

За все время наблюдения не госпитализировались 29,8% больных СД 2-го типа и 13,3% – СД 1-го, госпитализировались 1 раз в год – соответственно 27 и 40%, а 1 раз за все время наблюдения – соответственно 43 и 46,7%.

В среднем уровень гликемии натощак у больных СД 1-го типа составил 9,11 ммоль/л, 2-го типа – 8,86 ммоль/л, мочевины – соответственно 6,7 и 6,8 ммоль/л, общего холестерина – 5,9 и 6,4 ммоль/л. ИМТ был равен 30,1 кг/м² у больных СД 2-го и 24,1 кг/м² – пациентов с СД 1-го типа.

Своевременно на диспансерный учет взяты 68,6% больных СД 1-го типа и 60% – 2-го типа СД. Неверное число наблюдений определено у 60% пациентов с СД 1-го типа и у 91,2% – 2-го. Наблюдались у врача нерегулярно 82,5% больных СД 2-го типа и 65% – 1-го типа. И хотя в 91% случаев при СД 2-го типа и в 93% при СД 1-го типа специалистами назначено адекватное лечение, при диспансеризации соответственно у 53,7 и 64% больных отмечалось ухудшение состояния. У 44,6% больных СД 2-го типа и у 33% – 1-го типа оно осталось без изменения, улучшилось – соответственно у 0,8 и 2% [1].

При опросе 13,9% больных СД 1-го типа и 7,1% 2-го отметили наличие вредных привычек (употребление алкоголя и курение). Не придерживались диеты или соблюдали ее нерегулярно 25,4% больных СД 1-го типа и 61,2% – 2-го типа. Несмотря на то, что 90% больных указали на хорошие и удовлетворительные знания о диабете, школу обучения больных СД не посещают 88,2% больных СД 1-го типа и 95,6% – 2-го типа.

Обучение пациентов контролю гликемии – важный фактор в профилактике осложнений. Лечение больных без санитарного просвещения не позволит решить эту проблему. Самоконтроль уровня глюкозы крови не проводили 72,2% больных. Определяли уровень гликемии и глюкозурии хотя бы раз в месяц 84,1% пациентов с СД 1-го типа и 74,3% – 2-го типа.

При дополнительном опросе и осмотре больных сосудистые осложнения удалось выявить даже у тех больных, у которых указаний на их наличие не было [8]. Так, начальные проявления диабетической макроangiопатии были обнаружены 82,4% больных СД 1-го типа и у 68,3% – СД 2-го типа, а более выраженные стадии – соответственно у 47,1 и 42,4%. Дополнительный опрос больных также подтвердил более высокую распространенность ОНМК – у 5,9% больных СД 1-го типа (4% по данным анкеты) и у 9,3% – СД 2-го типа (6,1% по данным анкеты). Проявления ИБС, стенокардии напряжения зарегистрированы соответственно у 76,9 и 86,3% опрошенных.

В результате более детальный опрос и осмотр больных СД выявил высокую степень распространенности сосудистых осложнений. Полученные данные важны с той точки зрения, что больные СД как 1-го, так и 2-го типа нуждаются не только в качественном наблюдении и лечении, но и в своевременном выявлении сосудистых осложнений. С этой целью необходимо усилить эндокринологическую службу специалистами-консультантами, наладить раннюю диагностiku сосудистых осложнений, а также проводить ежегодные профилактические осмотры с целью своевременного выявления сосудистых осложнений [2].

Таким образом, низкий уровень наблюдения за больными СД связан, с одной стороны, низкой мотивацией боль-

ных посещать врача, а с другой, – с неудовлетворительной работой врачей из-за большой нагрузки. Следует улучшить преемственность между различными звенями медицинской помощи. В этой связи для оказания помощи больным СД необходимо шире привлекать врача общей практики.

Выводы

1. Анализ качества оказания медицинской помощи больным СД в амбулаторно-поликлиническом звене медицинской помощи показал широкую распространенность сосудистых осложнений СД в связи с плохой компенсацией диабета, низкой мотивацией больных контролировать диабет и несвоевременным посещением врача.

2. Для повышения качества оказания амбулаторно-поликлинической помощи к работе с больными СД 2-го типа необходимо шире привлекать врача общей практики и разработать мероприятия по первичной, вторичной, третичной профилактике СД.

Литература

- Галстян Г.Р., Шестакова М.В. Современные возможности управления сахарным диабетом типа 2 // Consilium Medicum. – 2012. – Т. 14, 12. – С. 7 с.
- Сунцов Ю.И., Дедов И.И., Шестакова М.В. Скрининг осложнений сахарного диабета как метод оценки качества лечебной помощи больным. – М., 2010.
- American Diabetes Association. Standards of medical care in diabetes // Diabetes Care. – 2011. – Vol. 30. – P. 4-41.
- Gilmer T.P., OConnor P.J., Rush W.A. et al. Predictors of health care costs in adults with diabetes // Diab. Care. – 2011. – Vol. 28. – P. 59-64.
- International Diabetes Federation. Diabetes atlas. 7-th edition 2014; Available from: <http://www.idf.org/diabetesatlas>
- Reiber GE. The epidemiology of diabetic foot problems // Diab. Med. – 2012. – Vol. 13 (Suppl. 1. – P. S6-11.
- Saydah S., Eberhardt M., Rios-Burrows N. et al. Prevalence of chronic kidney disease and associated risk factors – United States // MMWR. – 2012. – №8. – P. 161-165.
- Scheffel R.S., Bortolanza D., Weber C.S. Prevalence of micro and macroangiopathic chronic complications and their risk factors in the care of out patients with type 2 diabetes mellitus // Assoc Med Bras. – 2010. – Vol. 50, №3. – P. 263-267.
- Stratton I., Adler A., Neil H. et al. Association of glycaemia with macrovascular and microvascular complications of type 2 diabetes (UKPDS 35): prospective observational study // Brit. Med. J. – 2010. – Vol. 321. – P. 405-412.

АНАЛИЗ АМБУЛАТОРНО-ПОЛИКЛИНИЧЕСКОЙ ПОМОЩИ БОЛЬНЫМ САХАРНЫМ ДИАБЕТОМ

Шагазатова Б.Х., Кенжаева Д.И., Мирахмедова С.А.

Цель нашего исследования явилось изучение качества оказания помощи больным сахарным диабетом (СД) на амбулаторно-поликлиническом уровне. **Материал и методы:** исследование проводилось в поликлиниках г. Ташкента, всего были проанализированы амбулаторные карты 240 больных (109 мужчин и 131 женщина) сахарным диабетом. Изучены антропометрические показатели, уровень гликерированного гемоглобина, сахар крови, сахар мочи, наличие белка в моче, уровень артериального давления, ИМТ, вид лечения и осложнения, а также длительность заболевания, своевременная обращаемость больных в поликлинику, своевременность взятие на диспансерный учет. **Результаты:** анализ качества оказания медицинской помощи больным СД в условия амбулаторно - поликлинического звена медицинской помощи показал широкую распространенность сосудистых осложнений СД в связи с неудовлетворительной компенсацией диабета, низкой мотивацией больных контролировать диабет и несвоевременным посещением врача. **Выводы:** к работе с больными СД необходима шире привлекать врача общей практики и разработать мероприятия по профилактике СД.

Ключевые слова: сахарный диабет 1-го и 2-го типов, распространенность, заболеваемость, осложнения.

Клиническая
медицина

АХОЛИ ЁШ ГУРУҲЛАРИ ТАРКИБИ ЎЗГАРИШИННИГ ДЕМОГРАФИК, ТИББИЙ-ИЖТИМОИЙ ВА ИҚТИСОДИЙ ОҚИБАТЛАРИ

Исоқов Э.З., Мамаризаев Х.О.

ДЕМОГРАФИЧЕСКИЕ, МЕДИКО-СОЦИАЛЬНЫЕ И ЭКОНОМИЧЕСКИЕ ПОСЛЕДСТВИЯ ИЗМЕНЕНИЯ ВОЗРАСТНОГО СОСТАВА НАСЕЛЕНИЯ

Исоқов Э.З., Мамаризаев Х.О.

DEMOGRAPHIC, MEDICO-SOCIAL AND ECONOMIC CONSEQUENCES OF CHANGE OF STRUCTURE OF AGE GROUPS OF POPULATION

Isakov E.Z., Mamarizaev H.O.

Тошкент тиббиёт академияси Фарғона филиали

Цель: ретроспективное изучение динамики эволюционного развития возрастного состава населения Узбекистана, анализ демографических, медико-социальных и экономических последствий. **Материал и методы:** для научных исследований материалом служили данные Комитета по статистике РУз по составу населения. На основе этих данных, рассматривая население РУз как генеральную совокупность, использовали метод общего исследования. **Результаты:** ретроспективно изучены эволюционные изменения динамики возрастного состава населения республики, анализированы современное состояние и тенденция его развития, а также освещены их демографические, медико-социальные и экономические последствия. **Выводы:** демографический процесс старения населения наблюдается не только в развитых, но и в развивающихся странах, отражается на развитии национальной экономики и требует решения ряда социально-экономических задач.

Ключевые слова: демография, ретроспектива, тенденция, эволюция, геронтология, медико-социальный, экономический.

Objective: the study of demographic, medico-social and economic consequences of change of structure of age groups of population of Uzbekistan by retrospective analysis of trends of evolutional development in dynamics. **Materials and methods:** annual reports on population statistics of the appropriate departments of Republican Statistics Committee were the materials of the study. **Results:** there were retrospectively analyzed the state and trends of dynamical development of changes of structure of age groups of population of Uzbekistan, as well as demographic, medico-social and economic consequences were highlighted. **Conclusions:** the aging of population is a demographic process, which is characteristic for not only developed, but also for developing countries, influences on state economic development, as well as causes social and economic consequences, which can be resolved.

Keywords: demography, retrospective analysis, trend, evolution, gerontologist, medico-social, economic.

XXасрнинг 90-йилларидан бошлаб, дунё ахоли-сининг йиллик ўсиси суръати 1,7%ни ташкил этган бўлса, 65 ёшдан ошганларнинг ўсиси суръати эса йилига 2,7% дан иборат бўлмоқда. БМТнинг берган маълумотларига қараганда, XXI асрнинг 2050 йилга келиб жаҳон ахолиси салмоғининг қарийб 22% ини кекса ёшдагилар ташкил этиб, иқтисодий жиҳатдан юқори ривожланган мамлакатларда ушбу кўрсаткични хатто 33% га этиши таҳмин қилинмоқда [2, 4].

Маълумки, ўртача умр кўришнинг ортиб бориши 80 ёш ва ундан юқори (қари ва узоқ умр кўрувчи) ахоли ёш гуруҳлари сонининг кўпайишига олиб келади, натижада ахолининг барқарор қариш жараёни кузатилади ва 2050 йилга келиб, ушбу ёш гуруҳ ахолиси сонининг 2 баробар ошишига ва планетамиз ахолисининг 1,6% ини ташкил этишига сабаб бўлади. [2]. Кекс ва қари ёш гуруҳларига тегишли ахоли сони ва салмоғининг ортиб бориши соғлиқни сақлаш ва ижтимоий таъминот соҳалари учун қўшимча муаммолар туғдиради.

Мақсад

Ўзбекистон ахолисини ёш гуруҳлари бўйича таркибини динамикада эволюцион ривожланиш тенденциясини ретроспектив ўрганиш ва таҳлил қилиш йўли билан унинг демографик, тиббий-ижтимоий ва иқтисодий оқибатларини ўрганишдан иборат.

Материал ва усуслар

Тадқиқот материаллари сифатида Ўзбекистон Республикаси Статистика қўмитасининг тегишли бўлимла-

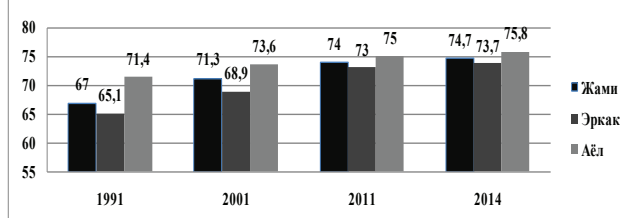
ридан олинган ахоли статистикаси бўйича йиллик ҳисобот ҳужжатлари хизмат қилди. Статистик ҳисобот ҳужжатлари орқали, Ўзбекистон ахолисини генерал мажмуа сифатида қараб, уни ёппасига ўрганиш усулидан фойдаланилди.

Тадқиқот натижалари

Соғлиқни сақлаш соҳасидаги республикамизнинг бининчи Президенти И.А. Каримов ташабуси ва раҳбарлигига амалга оширилган кенг ислоҳотлар натижасида, Ўзбекистон ахолисининг саломатлик кўрсаткичлари тобора яхшиланиб, ахолининг ўртача умр кўриши ортиб бормоқда. [6-8].

Мустақилликдан кейинги йиллардаги Ўзбекистон ахолисининг ўртача умр кўриши динамикаси тўғрисидаги маълумотлар куйидаги 1-расмда келтирилган.

1-расм. Ўзбекистон ахолисининг ўртача умр кўриш динамикаси (йилларда)



Юқоридаги диаграмма маълумотларидан кўриниб турибдики, аҳолининг ўртача умр кўриши 1991 йилдан 2014 йилгача 67,0 ёшдан 74,7 ёшгacha (7,7 йилга) ошган бўлса, шундан эркакларда 65,1 дан 73,7 гача (8,6 йилга) аёлларда эса 71,4 дан 75,8 гача (4,4 йилга) ортганлиги кузатилмоқда. Шуни таъкидлаш жоизки, кекса ва қари ёшдаги аҳоли улушининг ошиб бориши аҳолининг иқтисодий фалолигини пасайтиради. Аҳолининг барқарор демографик “қариш” жараёни кузатилиб, ишловчи аҳоли учун “демографик юк”ни кўпайишига олиб келади [1,5].

Маълумки, Ўзбекистонда аҳолининг ўсиш суръатлари юқоридир. Сўнгги йилларда аҳолининг табиий ўсиши бирмунча камайган бўлишига қарамай, у ҳали ҳам айrim мамлакатлар орасида энг юқори даражададир. Аҳоли табиий ўсишининг асосий омили унинг ёш гуруҳлари таркибини ўзгариши билан боғлиқ бўлиб, агар жамиятда таркибий жиҳатдан ёш аҳоли гуруҳлари кўп бўлса, ушбу ҳолат юқори табиий ўсиш суръатини таъминлайди, аксинча, аҳоли таркибида унинг катта ёш гуруҳлари салмоғи кўп бўлса, ўсиш суръатини нисбатан паст бўлиши кузатилади.

Мустақиллик йилларида аҳоли таркибини ўзгариш динамикаси болалар ва ўсмирлар улушининг камайиши, меҳнатга лаёқатли ва пенсия ёшидаги аҳоли улушининг ортиб бориши билан характерланади.

Диаграммада кўриниб турибдики, агарда 1991-2012 йилларда аҳоли умумий сонидан болалар улуши 43,2% дан 30,4% гача (12,8% га) камайган бўлса, аҳолининг меҳнатга лаёқатли ва пенсия ёшидаги гуруҳлари салмоғи мос равиша, 49,1% дан 61,6% гача (12,5% га) ва 7,7% дан 8,0% гача (0,3% га) ортганлиги кузатилди (2-расм).



Бошқа кўпгина мамлакатлардан фарқли ўлароқ, Ўзбекистон нисбатан ёш аҳоли таркибидан (ўртача 27,2 ёш) иборат бўлиб, иқтисодни ривожлантириш учун қулай имкониятга эгадир. Таҳлиллар шуни кўрсатмоқдаки, 1991 йилдан 2012 йилгача ёш гуруҳлари таркибида содир бўлган ўзгаришлар меҳнатга лаёқатли ёшдаги аҳоли зиммасидаги демографик юкни 1036 кишидан 635 кишига ёки қарийиб, 1,6 марта камайишига олиб келди. Демак, бу ҳолат ишловчилар сонининг ортиб бориши билан унинг қаромоғида бўлиши мумкин бўлган кишилар сонини камайишига, янги иш ўринларининг яратилиши ҳисобига эса ишчи кучини кўпайиши ва аҳоли турмуш даражасини ошишига имкон беради. [3]. Шуни таъкидлаш лозими, Ўзбекистонда меҳнатга лаёқатли аҳолига нисбатан болалар ҳисобидан “демографик юк” улуши камайиб борсада, аксинча, катта ёшдаги авлодлар ҳисобидан эса унинг кўпайиб бориш тенденцияси кузатилмоқда. Ушбу ҳолат соғлиқни сақлаш ва ижтимоий таъминот соҳасидаги устивор йўналишлар бўйича инвестициялар ҳажмига тегишли ўзгартиришлар киритилишига олиб келади.

Маълумки, Ўзбекистон Республикасининг барча худудларида аҳолининг “қуийдан” қариш жараёни ривожлан-

моқда. Одатда, Ўзбекистонда аҳолини кексайиш даражасининг ривожланиши, даставвал Тошкент шаҳри ва Тошкент вилоятидан бошланиб, аста-секин геодемографик тўлқин сифатида республиканинг қолган худудларига тарқалмоқда.

Демографик кексайиш жараёнларига баҳо беришда (агарда мезон сифатида 60 ёш ва ундан катта бўлган аҳоли салмоғидан фойдаланилганда) француз демографи Ж.Божё-Гарнье тузган ва Э.Россет томонидан қайта ишланган шкала кўлланилади.

Демографик кексайиш шкаласи (Ж.Божё-Гарнье-Э.Россет)

Аҳолининг 60 ёш ва ундан катта бўлган гуруҳлари салмоғи (%)	Кексайиш босқичлари ва аҳолининг кексайиш даражаси
<8	Демографик ёшлиқ
8-10	Кексайиш эшиги олдида
10-12	Кексайиш эшигидан кириб бориши
12 ва юқори	Демографик кексайиш
12-14	Демографик кексайишнинг дастлабки даражаси
14-16	Демографик кексайишнинг ўртача даражаси
16-18	Демографик кексайишнинг юқори даражаси
18 ва юқори	Демографик кексайишнинг ўтга юқори даражаси

Ўзбекистон аҳолисининг кексайиши жараёни ҳозирча долзарб муаммо даражасига кўтарилимаган бўлсада, бугунги кунда меҳнат қобилиятига эга бўлган аҳоли ёш гуруҳдан катта бўлган пенсионерлар салмоғи 8,6% ни ташкил этиб, ушбу ҳолат юқорида келтирилган кексайиш шкаласи бўйича Ўзбекистон аҳолисини демографик кексайиш “эшиги олдида” турганлигини кўрсатиб турибди.

БМТ томонидан аҳолининг кексайиш жараёнига баҳо беришда унинг бошланишини 65 ёш деб белгиланганда тавсия этилган шкала куйидагича:

БМТ демографик кексайиши шкаласи

Аҳолининг 65 ёш ва ундан катта бўлган гуруҳлари салмоғи (%)	Кексайиш босқичлари ва аҳолининг кексайиш даражаси
<4	Ёш аҳоли
4-7	Кексайиш бўсағасидаги аҳоли
>7	Кекса аҳоли

БМТ томонидан тавсия этилган демографик кексайиш шкаласи бўйича, Ўзбекистон аҳолиси ҳозирда демографик кексайиш бўсағасида турибди.

Демографик прогнозларга кўра, республикада аҳолининг қариш индексини 2025 йилда 36,0% га этиши тахмин қилинмоқда. Бунинг натижасида, 2025 йилга бориб, Ўзбекистон аҳолисини юқори даражада кексаяётган худудлар қаторидан ўрин олиши кузатилади. [1, 3].

Демак, аҳолининг кексайиши нафақат ривожланган мамлакатлар, балки ривожланаётган мамлакатларга ҳам хос бўлган демографик жараён бўлиб, у мамлакатлар милий иқтисодиётининг ривожланишига ўз таъсирини кўрсатади ва ҳал этилиши зарур бўлган куйидаги қатор ижтимоий-иқтисодий оқибатларга сабаб бўлади.

Кейинги ўн йилликларда пенсия жамғармалари га маблағ тўлаб борадиган меҳнатга қобилияти аҳоли салмоғининг камайиб бориши билан пенсионерлар улушининг кўпайиб бориши пенсия тўлови жамғармаси зимасига ҳаракатлар юкини оғирлашишига олиб келади.

Кексалар улушининг ортиб бориши бутун соғлиқни сақлаш тизимини қайта қуришни тақозо этади. Кексаларга тиббий хизмат кўрсатишга кўшимча маблағ сарфлаш, геrontологик муассасалар тармоғини кенгайтириш ва тиб-

биёт олий таълими муассасаларида магистр геронтолог мутахассислар тайёрлаш бўйича квоталар сонини қўпайтириш заруриятини туғдиради.

Оилавий поликлиника ва қишлоқ врачлик пунктларида фаолият олиб бораётган умумий амалиёт врачларини ва барча врач мутахассисларни малакасини ошириш режа-дастурларида геронтология ва герогигиена фанларига кенг ўрин бериш талаб этилади.

Хулоса

1. Сўнгги 25 йил давомида ахолининг ўртача умр кўриши 1991 йилдан 2014 йилгacha 67,0 ёшдан 74,7 ёшгacha (7,7 йилга) ошган бўлса, шундан эркаклarda 65,1 дан 73,7 гача (8,6 йилга), аёлларда эса 71,4 дан 75,8 гача (4,4 йилга) ортганлиги кузатилмоқда.

2. Ўтган 1991-2012-йилларда ахолининг ёш гуруҳлари таркибида содир бўлган ўзгаришлар жараёнида болалар улушини 43,2 %дан 30,4% гача (12,8% га) камайганлиги, ахолининг меҳнатга лаёқатли ва пенсия ёшидаги гуруҳлари салмоғини эса мос равиша, 49,1% дан 61,6% гача (12,5% га) ва 7,7% дан 8,0% гача (0,3% га) ортганлиги намоён бўлди.

3. Ўзбекистонда меҳнатга лаёқатли ахолига нисбатан болалар ҳисобидан "демографик юқ" улуси камайиб бориши, аксинча, катта ёшдаги авлодлар ҳисобидан эса унинг қўпайиб бориш тенденцияси соғлиқни сақлаш ва ижтимоий таъминот соҳасидаги устивор йўналишлар бўйича инвестициялар ҳажмига тегишли ўзгартеришлар киритилишига олиб келади.

4. Ўзбекистон ахолисининг кексайиши жараёни ҳозирча унчалик кўзга ташланмай долзарб муаммо даражасига кўтарилимаган бўлсада, унинг таркибидаги 60 ёшдан ошган пенсионерлар салмоғи 8,6% ни ташкил этганлиги ва Республика ахолисининг демографик кексайиши "эшиги олдида" турганлигини кўрсатиб турибди.

5. Яқин келажакда Республика ахолисининг қараш индексини 2025 йилда 36,0% га етиши натижасида, Ўзбекистон ахолисини юқори даражада кексаяётган худудлар қаторидан ўрин олиши тахмин қилинмоқда.

6. Ўзбекистон ахолиси орасида кекса ёшдагилар улшининг барқарор ортиб бориш тенденциясининг жадал ривожланиши соғлиқни сақлаш тизимида геронтологик хизматлар тармоғини кенгайтириш, шунингдек, тиббиёт олий таълими муассасаларида магистр геронтолог мутахассислар тайёрлаш режасини (квоталар сони) қайта кўриб чиқилишини тақозо этади.

7. Ахолининг кексайиш жараёнини ижтимоий-иқтисодий оқибатларини камайтириш учун давлат миқёсида ва маҳаллий маъмурний органлар даражасида илмий асосланган тегишли комплекс чора-тадбирлар ишлаб чиқилишини тақозо этади.

Адабиётлар

1. Абдурахмонов Х.Х. Ўзбекистон Республикасида ахолини кексайиш жараёнининг ривожланиш тенденциялари //Материалы Республиканской научно-практической конференции "Демографические развитие Республики Узбекистан (за годы независимости)"

стий)", посвященной 20-летнему юбилею независимого развития Республики.- Ташкент.-2011.- 306-309 с.

2. Доклад о состоянии здравоохранения в мире. -2000 Системы здравоохранения -улучшение деятельности. ВОЗ.- 2000.- С. 178-184.

3. Каспрук Л.И., Бегун Д.Н., Жакупова Г.Т., Снасапова Д.М. Некоторые актуальные аспекты социальной геронтологии // Современные проблемы науки и образования.- 2015.- №3.

4. Лушкина Н.П. Социальные и медико-демографические проблемы лиц пожилого возраста //Автореферат дисс. на соискание уч. степени канд. экон. наук.- Москва.- 2001.- 31 с.

5. Оганов Р.Г., Комаров Ю.М., Масленникова Г.Я. Демографические проблемы как зеркало здоровья нации // Профилактическая медицина. 2009.-№2.-С.3-8.

6. Постановление Президента Республики Узбекистан «О мерах по дальнейшему углублению реформирования системы здравоохранения» (2011 г.).

7. Постановление Кабинета Министров Республики Узбекистан «Об укреплении материально-технической базы учреждений здравоохранения» (2011 г.).

8. Указ Президента Республики Узбекистан «Об основных направлениях дальнейшего углубления реформ и реализации Государственной программы развития здравоохранения» (2007 г.).

9. Численность постоянного населения (динамика населения Узбекистана и его регионов в 1991-2015) //Государственный комитет Республики Узбекистан по статистике. Демографические данные. Т.- 2015.- С.274.

АҲОЛИ ЁШ ГУРУҲЛАРИ ТАРКИБИ ЎЗГАРИШИННИГ ДЕМОГРАФИК, ТИББИЙ-ИЖТИМОИЙ ВА ИҚТИСОДИЙ ОҚИБАТЛАРИ

Исоқов Э.З., Мамаризаев Х.О.

Мақсад: Ўзбекистон ахолисини ёш гуруҳлари бўйича таркибини динамикада эволюцион ривожланиш тенденциясини ретроспектив ўрганиш ва таҳлил қилиш ўйли билан унинг демографик, тиббий-ижтимоий ва иқтисодий оқибатларини ўрганишдан иборат. **Материал ва усуллар:** тадқиқот материаллари сифатида Ўзбекистон Республикаси Статистика қўмитасининг тегишли бўлимларидан олинган аҳоли статистикаси бўйича ийллик ҳисобот хужжатлари хизмат қилди. Статистик ҳисобот хужжатлари орқали, Ўзбекистон ахолисини генерал маҳсума сифатида қараб, уни ёппасига ўрганиш усулидан фойдаланилди. **Наутияж:** Ўзбекистон ахолисини ёш гуруҳлари таркибининг эволюцион ўзгариш динамикасини ретроспектив усулда ўрганилиб, унинг ҳозирги ҳолати ва ривожланиш тенденцияси таҳлил қилинган, шунингдек, унинг демографик, тиббий-ижтимоий ва иқтисодий оқибатлари ёритилган.

Хулоса: ахолининг кексайиши нафақат ривожланган мамлакатлар, балки ривожланаётган мамлакатларга ҳам хос бўлган демографик жараён бўлиб, у мамлакатлар миллий иқтисодиётининг ривожланишига ўз таъсирини кўрсатади ва ҳал этилиши зарур бўлган қўйидаги қатор ижтимоий-иқтисодий оқибатларга сабаб бўлади.

Калим сўзлар: демография, ретроспектив, тенденция, эволюция, геронтолог, тиббий-ижтимоий, иқтисодий.

МЕДИКО-БИОЛОГИЧЕСКАЯ ОЦЕНКА РАСТИТЕЛЬНОГО СЫРЬЯ – ПОБЕГОВ МАША «MUNGOLTIN»

Шайхова Г.И., Акназарова Д.Б., Турсунова Н.А., Шайхова М.А., Муминджанова Г.Т.

ТАБИЙ МАХСУЛОТ – ПОБЕГОВ МАША «MUNGOLTIN »НИ ТИББИЙ-БИОЛОГИК БАҲОЛАШ

Шайхова Г.И., Акназарова Д.Б., Турсунова Н.А., Шайхова М.А., Муминджанова Г.Т.

TO THE ARTICLE: MEDICAL AND BIOLOGICAL ASSESSMENT OF PLANT RAW MATERIALS - ПОБЕГОВ МАША «MUNGOLTIN»

Shaykhova G.I., Aknazarova D.B., Tursunova N.A., Shaykhova M.A., Mumindjanova G.T.

Ташкентская медицинская академия

Мақсад: тажрибадаги ҳайвонлар ошқозонига тахминий токсик миқдорни киритиш ва кейинчалик тажриба давомида интоксикацияни клиник белгиларини аниқлаш мақсадида уларни кузатиш ўюли билан мөш кепаги қуқунини токсиклигини баҳолаш. **Материал ва усуllibар:** стандартларга асосланган ҳолда табии маҳсулоти - мөш кепаги «Mungoltin» ни токсикологик баҳолаш ўтказилди. **Натижса:** тажрибадаги ҳайвонлар ошқозонига тахминий токсик миқдорни киритиш ва кейинчалик тажриба давомида интоксикацияни клиник белгиларини аниқлаша мақсадида уларни кузатиш ўюли билан мөш кепаги қуқуни токсиклиги ўрганилди. Аниқландик, қуруқ қуқун шаклидаги мөш кепаги тавсия қилинган миқдорда ҳайвонлар учун токсик эмас, кўз шиллиқ пардасига ножӯя таъсир қилмайди, кўп маротаба киритилганда кумуляция хусусиятига эга эмас ва гонадотоксик ҳамда сенсибилловчи таъсир қилмайди. **Хулоса:** мөш кепаги (қуруқ қуқуни) – амалий токсик бўлмаган ва кам ҳафли озиқ-овқат қўшимчаларига киритилиши мумкин.

Калим сўзлар: табии маҳсулот – мөш кепаги, токсикология, озиқ-овқат маҳсулотлари ҳавфсизлиги, лабаратория ҳайвонлари.

Background and Purpose: toxicological assessment of the wheat shoots powder after intragastric administration of the supposed toxic doses to laboratory animals followed by monitoring of the experiment course to identify clinical signs of intoxication. **Materials and methods.** According to the standards to conduct toxicological assessment of plant raw materials - of wheat sprouts «Mungoltin». **Results.** Studied toxicological assessment of the wheat shoots powder after intragastric administration of the supposed toxic doses to laboratory animals followed by monitoring of the experiment course to identify clinical signs of intoxication. It was revealed that the wheat sprouts as a dry powder at the dosages are not toxic to animals, does not cause irritation to the mucous membranes of the eyes, does not possess cumulation after multiple admission and gonadotoxic and potential sensitizing effect. Wheat sprouts (dry powder), production of LLC «ORIONA - SKORPION» - can be attributed to almost non-toxic and low-hazard food additives.

Keywords: plant material, wheat sprouts, toxicology, food safety.

Натуральные добавки – это добавки, в «создании» которых принимает участие природа. Такие добавки зачастую используются уже сотни и даже тысячи лет. Хотя современные знания и технологии, конечно же, значительно расширили перечень натуральных добавок [12].

Добавки растительного происхождения изготавливаются из растений или водорослей. Это могут быть природные красители, ароматизаторы или другие вещества, встречающиеся в природе в некоторых видах растений и их плодов в чистом виде и зачастую попадающие в наш организм естественным путем при употреблении овощей и фруктов. Такие добавки могут оказывать положительный эффект, уменьшая риск возникновения тех или иных заболеваний, укрепляя иммунитет человека. Однако есть некоторые виды добавок растительного происхождения, которые могут вызывать аллергию или другие заболевания, особенно при их чрезмерном употреблении. Поэтому они требуют тщательной медико-биологической оценки на предмет их безопасности [11].

Побеги маша «Mungoltin» – сухой порошок светло-зеленого цвета со слабым травянистым запахом, образующий в воде мелкодисперсную суспензию с травянистым привкусом. Сухой порошок «Mungoltin» содержит 19-36% белка, хорошо сбалансирован по аминокислоту составу, содержит 2,4% жира и более 5% углеводов. По качеству белка «Mungoltin» значительно превосходит многие другие растения, в том числе зерновые. Массовая доля клетчатки составляет 10%.

Эти данные послужили основанием для проведения токсикологических исследований сухого порошка, произведенного на основе растительного сырья – побегов маша «Mungoltin», предназначенного для использования в кулинарных целях и

в смежных отраслях пищевой промышленности: изучение общетоксического действия с оценкой возможного раздражающего действия на слизистые, а также его возможного кумулятивного эффекта и аллергизирующей активности.

Данный препарат планируется для производства ООО «ORION-SKORPION» (Узбекистан).

Цель исследования

Токсикологическая оценка порошка проростков маша «Mungoltin» при длительном внутрижелудочном введении лабораторным животным.

Материал и методы

«Mungoltin» представляет собой порошок, изготовленный из ростков маша. Физико-химические свойства: внешний вид – белый порошок. Содержание: белок – 12%, полисахариды – 5,6%, жиры – 1,94%, клетчатка 8,2%, крахмал – есть. Витамины: мг/100 г: А – 6,6, Е – 246, С – 8,6, D – 4,6.

Микроэлементы, мг/ 100 г: кальций – 0,5, железо – 0,008, натрий – 0,6, калий – 0,65, марганец – 0,01, сера S – 0,65, магний – 0,55.

Способ получения: выращенный корень маша после достижения оптимального уровня, собирается и сушится в течение 8 часов при низких температурах. Сушить при низких температурах очень важно, так как ферменты в корнях остаются живыми! После окончания процесса сушки корни превращаются в порошок.

Область применения: органический, естественный, питательный протеиновый напиток, а также для использования в качестве маски или оберегающей скраб-маски.

Энергетическая ценность бобовых маша в первую очередь определяется легко усвояемыми полноценными белками и

углеводами, которые находятся в общей пищевой ценности: из них 185 ккал углеводов, 96 ккал белков и лишь 10 ккал жиров.

В острых, подострых и хронических экспериментах было использовано 68 белых крыс, 12 морских свинок и 2 кролика.

Острые опыты по установлению среднесмертельных летальных доз при внутрижелудочном введении «Mungoltin» проведены на 18 половозрелых белых крысах-самцах, которых разделили на 4 группы. Животные 1-й группы получали дозу 5000 мг/кг, 2-й – 7500 мг/кг, 3-й – 10000 мг/кг. Животные 4-й группы (контроль) получали дистиллированную воду.

Воздействие проростков маша «Mungoltin» на слизистые оболочки глаз изучено на 2 кроликах. Однократная инокуляция 0,05 мл водной суспензии из порошка проводилась в конъюнктивальный мешок левого глаза кролика, правый глаз служил контролем.

Сведения об острой токсичности «Mungoltin»

Животные получали 5000, 7500 и 10000 мг/кг на массу. Кормление животных осуществляли через 3 часа после введения доз. Рацион сбалансирован по содержанию белков, жиров и углеводов, специальная диета для лабораторных животных [1,3-10,13,14].

В условиях эксперимента установление острой токсичности исследуемого порошка проведено на 24 белых беспородных крысах при однократном внутрижелудочном поступлении каждой формы препарата в дозах 5000, 7500 и 10000 мг/кг. Введение порошка в более высоких дозах было технически невозможно из-за физиологически ограниченного объема введения препарата в желудок крысам.

Максимально испытанная доза препарата на опытных животных примерно в 13 раз превышала рекомендуемую технологическую дозу, контрольные животные получали эквивалентное количество дистиллированной воды.

Возможное действие проростков маша «Mungoltin» на слизистые оболочки глаз изучено на 2-х кроликах. Проведена однократная инокуляция 0,05 мл водной суспензии из порошка в конъюнктивальный мешок левого глаза кроликов, правый глаз служил контролем.

Изучение кумулятивных свойств

Способность к кумуляции порошка побегов маша изучена методом субхронической токсичности по Лиму в условиях многократного внутрижелудочного введения белым крысам [2]. Опыты проведены на 20 белых крысах массой 158,8 г. «Mungoltin» внутрижелудочно вводили ежедневно в течение 30 дней в исходной дозе 100 мг/кг с последующим увеличением каждые 5 дней в 1,5 раза. Выбранная доза приблизительно соответствует среднему количеству потреблению смеси в одной порции порошка. Контрольным животным вводили дистиллированную воду в эквивалентном объеме. В ходе исследований велось наблюдение за такими показателями функционального состояния животных, как выживаемость, общее состояние, активность животных, динамика массы тела, морфологический состав периферической крови, содержание общего билирубина и его фракций, активность щелочной фосфатазы, АЛТ, АСТ в сыворотке крови.

Раствор изучаемого порошка вводили внутрижелудочно в течение 28 дней. Исходная доза составляла 1/10 от рекомендуемой технологической с последующим увеличением каждые 5 дней в 1,5 раза, что превышало технологическую более чем в 7 раз. Контрольным животным вводили дистиллированную воду в эквивалентном объеме. За экспериментальными животными вели наблюдения в течение всего опыта по следующим показателям: выживаемость в течение эксперимента, общее состояние, активность животных, поедание корма, потребление воды, динамика массы тела, морфологический состав крови, биохимических показателей крови.

Все выжившие животные были декапитированы по завершению опытов и уничтожены после патоморфологических исследований. Ни один орган или ткань для других целей не использовался.

Статистический анализ проводился по Стьюденту и Фишеру с определением критериев достоверности для лабораторных исследований и методическим рекомендациям «Использование принципов доказательной медицины при организации и проведении гигиенических исследований» на базе Word 2003 [4,7,13]. Данные о массе животного, клинических признаках интоксикации, смертности/параличе вводились в компьютерную систему в течение эксперимента.

Результаты исследований

За период проведения эксперимента смерти подопытных животных не наблюдалось. Клинические признаки интоксикации за период проведения эксперимента отсутствовали. Масса взятых в эксперимент животных достоверно не отличалась от массы животных контрольной группы.

В условиях эксперимента острую токсичность изучаемого порошка пшеничных побегов изучали на белых беспородных крысах при однократном внутрижелудочном введении препарата в дозах от 5000, 7500 и 10000 мг/кг. Дозы свыше 5000 мг/кг вводили дробным методом. Введение побегов маша в более высоких дозах было технически невозможно. Контрольные животные получали эквивалентный объем дистиллированной воды. Длительность наблюдения за опытными животными составляла 14 дней.

За период проведения эксперимента отмечена гибель 1 подопытного животного в первые сутки, что можно объяснить объемом вводимого вещества.

Через 5-10 минут после однократного внутрижелудочного введения порошка пшеничных побегов крысам в дозах 5000, 7500, 10000 мг/кг у животных отмечалось снижение двигательной активности и учащенное дыхание, которые нормализовались через 45 минут, при этом общее состояние животных возвращалось к фоновому. Гибели животных в течение всего времени наблюдения не отмечалось. В последующие сутки наблюдения крысы прибавляли в массе, сохраняя нормальную реакцию на внешние раздражители.

Таким образом, средняя летальная доза изучаемого порошка побегов маша для животных, взятых в эксперимент, не достигнута.

Максимальная доза порошка маша, введенная в желудок опытных животных, более чем в 16 раз превышала максимальную рекомендуемую технологическую (по данным производителя 1,5 г на 100 мл воды), рекомендованную для кулинарных целей, в связи с чем можно сделать вывод об отсутствии токсичности порошка «Mungoltin» при однократном введении его в желудок [7]. Различий в чувствительности мышей и крыс к препарату в зависимости от пола и вида не установлено.

На втором этапе при изучении действия «Mungoltin» на слизистые оболочки глаз проведена однократная инокуляция 0,05 мл водной суспензии из порошка побегов маша в конъюнктивальный мешок левого глаза 2 кроликов, правый глаз служил контролем. Под влиянием препарата отмечалась слабовыраженная гиперемия слизистых глаз, проходящая в течение 15-30 минут, что объясняется механическим раздражением слизистых взвешенными в воде частичками препарата. После промывания водой раздражение отсутствовало.

Следовательно, полученные результаты показали, что порошок побегов маша в использованных концентрациях на слизистые оболочки животных раздражающего воздействия не оказывает.

Кумулятивная способность изучаемого порошка побегов маша определялась в подостром эксперименте методом субхронической токсичности на 10 белых крысах массой 150-180 г. Раствор вводили внутрижелудочно в течение 28

дней. Исходная доза равнялась 1,5 г с последующим увеличением каждые 5 дней в 1,5 раза, что составило превышение ее более чем в 7,5 раза. 10 контрольным животным вводили дистиллированную воду в эквивалентном объеме. За экспериментальными животными вели наблюдения в течение всего опыта по следующим показателям: выживаемость в течение эксперимента, общее состояние, активность животных, поедание корма, потребление воды, динамика массы, морфологический состав крови, биохимические показатели крови.

Как показали результаты исследования, длительное введение испытанных доз порошка пшеничных побегов меша не влияло на общее состояние и поведение животных. Крысы опытной и контрольной групп оставались подвижными, адекватно реагировали на внешние раздражители, имели опрятный вид. Суточное потребление сухого корма и воды во всех группах животных соответствовало норме.

Простым и в тоже время достаточно чувствительным показателем неблагоприятного воздействия посторонних веществ на организм является динамика массы животных. Как недостаточная, так и избыточная прибавка массы опытных животных по сравнению контрольными является явным доказательством отрицательного воздействия изучаемого препарата на организм.

Животные были разделены на группы с одинаковой массой. В течение всего эксперимента животные обеих групп прибавляли в массе, причем степень ее прироста у опытных животных не отличалась от такового у крыс контрольной группы. При этом относительная масса внутренних органов животных опытной группы мало отличалась от таковой у интактных животных (табл. 1).

Таблица 1

Масса внутренних органов животных, получавших «Mungoltin»

Группа крыс	Печень	Почки	Селезенка	Сердце	Надпочечники	Легкие
Контроль	5,79±0,5	1,35±0,5	0,65±0,1	0,70±0,01	0,017±0,001	1,3±0,1
Пшеничные побеги	5,71±0,4	1,20±0,6	0,59±0,1	0,72±0,1	0,01±0,001	1,25±0,05

На протяжении подострого опыта признаков интоксикации и гибели животных не отмечалось.

Периферическая кровь является подвижной системой, быстро реагирующей на изменение гомеостаза организма вследствие неблагоприятных воздействий чужеродных веществ. При исследовании гематологических показателей периферической крови животных, получавших «Mungoltin», достоверных изменений ни по одному из изученных параметров не зарегистрировано. Общее количество эритроцитов, лейкоцитов, содержание гемоглобина у всех подопытных животных статистически значимых отличий от контрольных значений не имели (табл. 2).

Таблица 2

Показатели периферической крови крыс, получавших «Mungoltin»

Группа животных	№ животного	Эритроциты, ·1012/л	Гемоглобин, г/л	Лейкоциты, ·109/л
Контроль	1	7,2	131	12,1
	2	7,0	126	11,4
	3	6,9	135	12,2
	4	7,5	130	11,3
	5	7,1	131	11,1
	6	7,6	129	12,6
	M±m	7,21±0,6	130,3±5	11,78±1,1
1-я	1	7,4	130	12,1
	2	7,7	127	12,4
	3	7,5	126	11,5
	4	7,1	132	11,2
	5	7,6	128	11,3
	6	6,8	132	11,5
	M±m	7,35±0,13	129,2±6	11,67±1,2

Известно, что многократном поступлении через малые промежутки времени любое чужеродное вещество может либо само накапливаться в организме, либо вызывать

суммированные эффекты в виде нарушения биохимических процессов. Выяснение степени и характера такого действия позволяет с большой вероятностью предсказывать возможность развития хронического отравления.

Изученные интегральные биохимические показатели кро-ви экспериментальных животных на протяжении всего опыта находились в пределах физиологических колебаний. Как видно из таблицы 3, изучение содержания свободных сульфогидрильных групп (SH-групп), являющихся показателем активности большинства дыхательных ферментов, не выявило изменений этого показателя у животных опытной группы.

Таблица 3
Некоторые биохимические показатели белых крыс, получавших «Mungoltin»

Группа животных	№ животного	Каталаза, каталазное число	Холинэстераза цельной крови, моль/(ч·л)	SH-группы цельной крови, мг%
Контроль	1	6,65	304,98	52,82
	2	6,89	281,50	54,62
	3	6,73	314,90	55,65
	4	6,64	309,92	53,80
	5	6,84	316,40	56,00
	6	6,65	298,58	55,18
	M±m	6,73±0,25	304,38±34,90	54,68±2,83
1-я	1	6,64	313,62	57,15
	2	6,72	314,81	53,20
	3	6,81	309,46	52,32
	4	6,75	304,89	53,78
	5	6,75	301,30	54,63
	6	6,29	313,18	54,15
	M±m	6,66±0,52	309,54±13,51	54,21±4,8

Функциональное состояние центральной нервной системы оценивалось по способности к суммации подпороговых импульсов, возникающих в ответ на раздражение током. Производилось снятие суммационного порогового показателя у каждого животного трижды с интервалом в 3 минуты, расчет вели по средней величине. В опытной группе достоверных отличий СПП от контроля не выявлено.

При исследовании влияния «Mungoltin» на функциональное состояние центральной нервной системы крыс в условиях «открытого» поля также установлено, что препарат не снижал двигательную активность крыс в teste «число пересеченных квадратов» и ориентировочные реакции в teste «норковый рефлекс».

После завершения эксперимента все животные были подвергнуты вскрытию для проведения подробного макроскопического патологоанатомического исследования.

Как показали макроскопические исследования, внутренние органы крыс, получавших «Mungoltin» в течение 28 суток, были без особенностей.

Животные были опрятного вида, шерсть блестящая, очагов облысения нет. Видимые слизистые оболочки бледно-розовые, блестящие, гладкие. Молочные железы самок без уплотнений. Половые органы самцов выражены правильно. Хвосты имели несколько коричневатый цвет. Альвеолярный и бронхиальный аппарат легких обычного строения. Умеренное полнокровие. Сосуды легких были умеренно полнокровны. Альвеолы были заполнены воздухом. Отека или воспаления легочной ткани не отмечено. Размеры сердца в пределах нормы. В полостях сердца содержится небольшое количество жидкости. Мышца сердца плотная, коричневой окраски. Желудок и тонкая кишка без каких-либо выраженных изменений. Желудок заполнен небольшим количеством плотной пищи. Слизистая оболочка блестящая, складчатая, слегка розовой окраски. Слизистая тонкого кишечника блестящая, гладкая, розовой окраски. Размеры и форма печени не отличается от контроля. Поверхность печени гладкая. Капсула тонкая, прозрачная. Дольчатое строение печени сохранено.

Гигиена,
санитария и эпидемиология

Почки обычной величины и формы, коричневого цвета, плотные, с отчетливым корковым и мозговым веществом на разрезе. Щитовидная железа, надпочечники и поджелудочная железа по внешнему виду не отличаются от контроля.

Сенсибилизирующий эффект порошка «Mungoltin» оценивался скарификационным методом. У опытных животных через 5 суток после суббронического эксперимента выявляют сенсибилизацию постановкой кожной скарификационной пробы с каплей минимального разведения порошка (тест-антисигна), не вызывающего видимой реакции у животных контрольной группы (1/2 от разовой дозы). Животным контрольной группы, получавшим внутрь желудочно дистиллированную воду, разрешающую дозу вводили так же, как подопытным животным: на участок боковой поверхности туловища наносили каплю порошка побегов в дозе, превышающей сенсибилизирующую в 1,5-2 раза ($\approx 2,5$ г), проводили скарификатором надрез через каплю длиной 1-1,5 см. Выявление сенсибилизации осуществляется на 12-14-е сутки после скарификации «Mungoltin». Реакция кожи на месте скарификации учитывается через 4-24-48 часов по следующей шкале:

Реакция	Обозначение реакции	Описание реакции
Отрицательная	-	размеры надреза такие же, как у животных контрольной группы
Сомнительная	\pm	гиперемия на месте скарификации
Слабоположительная	+	гиперемия, в месте скарификации незначительное уплотнение
Положительная средней степени	++	воздырь до 5 мм, отчетливо заметен и окружен гиперемией
РезкоПоложительная	+++	гиперемия, воздырь до 10 мм, лихенификации

Тестирование, проведенное после скарификационной пробы исследуемым порошком побегов, показало следующее. В опытной группе животных, получавших «Mungoltin», реакция была четко отрицательной (по оценочной шкале: $\leftarrow\rightarrow$). Следовательно, потенциальным аллергенным действием исследуемые побеги маша в дозах применения не обладают.

Изучение возможного гонадотоксического действия порошка побегов маша проводили в соответствии с методическими рекомендациями по изучению гонадотоксического и мутагенного действия химических веществ [9]. Через 28 суток было установлено, что общая дозовая нагрузка побегов маша, которая была в 10 раз выше рекомендуемой, не повлияла на количество циклов в месяц у самок, на количество дней, приходящихся на период покоя, т.е. метаэструс и диэструс опытных крыс не отличались от таковых у контрольных. Таким образом, побеги маша «Mungoltin» в виде сухого порошка при многократном поступлении гонадотоксического действия не оказывают.

Выводы

1. Побеги маша в виде сухого порошка в использованных дозах не токсичны для животных, не оказывают раздражаю-

щего действия на слизистые оболочки глаз, при многократном поступлении не обладают кумуляцией и потенциальным гонадотоксическим и сенсибилизирующим действием.

2. Сухой порошок побегов маша «Mungoltin» производства ООО «ORIONA-SKORPION» по параметрам острой токсичности можно отнести к 5-му классу – практически нетоксичное и малоопасное вещество.

Литература

- Иш жойи хавосида заарали моддаларни тиббий стандартларини асослаш учун олиб бориладиган санитар текширишлар. – Ташкент, 1998.
- Каган Ю.С., Станкевич В.В. Коэффициент кумуляции как количественный критерий // Актуальные вопросы гигиены труда, промышленной токсикологии и проф. патологии в нефтяной и нефтетехнической промышленности. – Уфа, 1964. – С. 48-49.
- Методические рекомендации по изучению гонадотоксического и мутагенного действия химических веществ. – Ташкент, 1997.
- Методические указания по гигиеническому регламентированию пищевых добавок и ксенобиотиков в продуктах питания. – Ташкент, 2010.
- Оценка воздействия вредных химических соединений на кожные покровы: Метод указания. – Ташкент, 2001.
- Рекомендуемые уровни потребления пищевых и биологически активных веществ. – М., 2004.
- Руководство по экспериментальному (доклиническому) изучению новых фармакологических средств; Под общ. ред. Б.А. Курляндского. – М., 2005.
- Саноцкий И.В. Методы определения токсичности и опасности химических веществ. – М., 1970. – С. 161-163, 175-177.
- Тиллаева Г.У., Арипов А.Н., Аверьянова А.А. Руководство по контролю качества лабораторных исследований. – Ташкент, 2000. – Т. 1.
- Щательная токсикологическая оценка – классический метод: Стандарты для исследований по химии. – 1996.
- Шайхова Г.И., Рахимов Б.Б. Профилактика ожирения у детей и подростков. – Ташкент, 2016. – 125 с.
- Элинская О.Л. Гигиенические аспекты применения пищевых добавок: Справочно-метод. руководство. – Ташкент, 2011.
- Элинская О.Л. Порядок и методология предрегистрационной токсикологической экспертизы пищевых добавок: Метод. руководство. – Ташкент, 2013.

МЕДИКО-БИОЛОГИЧЕСКАЯ ОЦЕНКА РАСТИТЕЛЬНОГО СЫРЬЯ – ПОБЕГОВ МАША «MUNGOLTIN»

Шайхова Г.И., Акназарова Д.Б., Турсунова Н.А., Шайхова М.А., Муминджанова Г.Т.

Цель: токсикологическая оценка порошка побегов маша после внутрь желудочного введения предполагаемой токсической дозы лабораторным животным с последующим наблюдением в течение эксперимента для выявления клинических признаков интоксикации. **Материал и методы:** проведена токсикологическая оценка растительного сырья – побегов маша. **Результаты:** побеги маша в виде сухого порошка в использованных дозах оказались не токсичными для животных, не вызывали раздражающего действия на слизистые оболочки глаз, при многократном поступлении не обладали кумуляцией и потенциальным гонадотоксическим и сенсибилизирующим действием. **Выводы:** побеги маша (сухой порошок), могут быть отнесены практически к нетоксичным и малоопасным пищевым добавкам.

Ключевые слова: побеги маша, пищевые добавки, токсикологическая оценка, лабораторные животные.

В помощь практическому врачу

УДК: 616.831+616.127-0005.8

ПРИМЕНЕНИЕ ТРОМБОЛИЗИСА ПРИ ИНСУЛЬТЕ

Акбарходжаева З.А., Рахимбаева Г.С.

ИНСУЛЬТ ТРОМБОЛИЗИДАН ФОЙДАЛАНИШ

Акбарходжаева З.А., Рахимбаева Г.С.

THE USE OF THROMBOLYSIS FOR STROKE

Akbarkhodjayeva Z.A., Rakhimbayeva G.S.

Ташкентская медицинская академия

Адабиётлар шарҳида ўтқир ишемик инсультни даволаши тромболитик даво усуларини қўллаш бўйича замонавий маълумотлар келтирилган. Ишемик инсультни даволаши тизимли, селектив тромболитик даволаши муолажаларига кўрсатмалар, қандай вазиятларда қўллаш мумкин эмас, уларнинг самарадорлиги, жарроҳлик даволаш усулларининг изжобий ва салбий томонлари чуқур таҳлил қилинган.

Калим сўзлар: ўтқир ишемик инсульт, тромболизис, тромболизисни тизимли ва селектив қўллаш, жарроҳлик даволаш.

Modern data on the possible use of thrombolytic therapy in acute ischemic stroke have been systematized. The indications, contraindications, the effectiveness of the system, selective thrombolytic therapy, surgical methods were considered in detail, the positive and negative aspects of each of these methods were analyzed.

Key words: acute ischemic stroke, thrombolysis, systemic and selective use of thrombolytic therapy, surgical correction.

Причиной возникновения подавляющего большинства острых ишемических повреждений мозгового кровообращения являются атеротромбоз и тромбоэмболия сосудов, пытающих мозг. Среди причин развития ишемических острых нарушений мозгового кровообращения (ОНМК) эмболический механизм встречается с частотой 50-90% [10]. Известно, что односторонние изменения гемореологии и системы гемостаза характеризуются повышением свертывающей и депрессии противосвертывающей системы крови, длительной умеренной активацией системы фибринолиза, выраженность которых зависит от ведущего патогенетического механизма ОНМК. В отличие от атеротромботического и лакунарного инсульта, у больных с кардиоэмболическим типом показатели тромбинемии более выражены. По мнению авторов, наличие у больных микроэмболий способствует реализации микроэмболических сигналов, свидетельствуя о продолжающемся эмболическом процессе, что диктует необходимость проведения тромболитической терапии (ТЛТ).

Лечение ишемического инсульта (ИИ) – одна из актуальных проблем современной неврологии вследствие широкой распространенности, высокой смертности и инвалидности. Достигнутые в последние годы успехи в уточнении патогенетических механизмов развития ИИ позволили определить основную стратегию патогенетической терапии в острейшем периоде болезни – улучшение перфузии ткани мозга путем ранней медикаментозной или хирургической реканализации склерозированного сосуда. Согласно рекомендациям Европейской Инициативной группы по проблеме инсульта (UESI) [22,23] и Американской инсультной ассоциации [14], одним из перспективных методов ранней медикаментозной реканализации при ИИ является ТЛТ, проводимая в условиях «терапевтического окна». В настоящее время применяются 2 метода ТЛТ: системная (СТТ) и интраартериальная, или селективный тромболизис (ИАТТ), использование комбинации системного и селективного тромболизиса (методика "bridging" проведения тромболизиса), а также механическое удаление тромба с помощью специализированных устройств – ретракторов (тромбэктомия) [7].

Основным требованием к ТЛТ является достижение полного лизиса тромба, поскольку нелизированные тромбы ведут к формированию осложнений с последующим ле-

тальным исходом в течение 5 лет [20]. Системный и селективный тромболизис имеют 2 существенных недостатка: низкая эффективность и высокая частота геморрагических осложнений из-за попадания фибринолитика в системный кровоток [4]. Геморрагические осложнения связаны с развитием плазминемии, повышением уровня продуктов деградации фибринина, снижением концентрации фибриногена и других факторов свертывания в плазме крови [17].

Следует отметить, что арсенал медикаментозных средств для ТЛТ ограничен тремя препаратами: стрептокиназа – неэнзимный протеин, продуцируемый гемолитическим стрептококком группы С; урокиназа – трипсиноподобная протеаза, выделенная из мочи и культуры человеческих эмбриональных почечных клеток; активизе (rt-PA) – тканевой активатор плазминогена, созданный методом генной инженерии и являющийся точной копией человеческого тканевого активатора плазминогена. Учитывая, что частота аллергических реакций при попытках проведения ТЛТ с использованием стрептокиназы очень высока, более эффективным и рекомендованным к применению является rt-PA. В отличие от урокиназы, активизе лизирует тромб у больных с ТЭЛА, нормализует гемодинамические параметры большого и малого круга кровообращения в течение часа и обеспечивает профилактику геморрагических осложнений [4].

Критериями включения больных в ТЛТ являются [1]: 1) стационарные больные в возрасте 18-80 лет с клиническим диагнозом ИИ, наличием достаточного неврологического дефицита в виде речевых, двигательных, когнитивных, глазодвигательных, зрительных и/или гностических нарушений. Больным должна быть проведена КТ для исключения геморрагического характера очага; 2) давность инсульта 3-4,5 часа, симптомы инсульта сохраняются у больного не менее 30 мин, они клинически отличимы от эпизода генерализованной ишемии (обморока), эпилептического припадка или мигренозного расстройства; 3) пациенты дают информационное согласие на лечение тромболизисом, а также на рассмотрение их медицинских данных и последующее наблюдение в соответствии действующим законодательством страны, где они проживают; 4) пациенты хотят и могут участвовать в протоколе исследования.

Основными критериями исключения являются: 1) наличие внутричерепного кровоизлияния по данным КТ или

**В помощь
практическому
врачу**

МРТ; 2) минимальный неврологический дефицит, регressing до начала лечения; 3) тяжелый инсульт согласно клинической балльной оценке (по шкале NIHSS более 25 балла) и/или данным КТ или МРТ; 4) эпилептический припадок в дебюте инсульта; 5) перенесенный ранее инсульт, а также наличие сопутствующего диабета; 6) систолическое АД выше 185 мм рт. ст. или диастолическое выше 110 мм рт. ст., либо потребность во внутривенном введении гипотензивных средств; 7) уровень глюкозы в крови ниже 3 или выше 22 ммоль/л; 8) высокий риск геморрагических осложнений (в соответствии со списком); 9) тяжелые сопутствующие заболевания (в соответствии со списком).

Преимуществом СТТ, который был впервые применен в 1995 году, являются: простота, неинвазивность, минимальная потеря времени с момента установления диагноза и начала ТЛТ, эффективна при малых тромбоэмболиях, окклюзирующих церебральные артерии 2-3-го уровня. К недостаткам можно отнести использование только одного препарата – рекомбинантного тканевого активатора плазминогена (rt-PA), высокая стоимость, применение больших доз и соответственно большая частота геморрагических осложнений, неэффективность при тромбоэмболиях крупных магистральных артерий [3]. Внутривенное введение rt-PA в дозе 0,9 мг/кг, максимально – 90 мг; 10% дозы болюсно и последующая инъекция в течение 60 мин в первые 4,5 часа от начала инсульта получило высокий уровень доказательности и рекомендовано к применению в европейских и североамериканских руководствах по ведению пациентов с острым ИИ [11]. Это было доказано 5 международными плацебо контролируемыми исследованиями, мета-анализом и данными международного регистра SITS по изучению эффективности и безопасности внутривенного введения rt-PA для лечения острого ИИ [23]. Проведение международного двойного плацебо контролируемого исследования ECASSIII по оценке эффективности rt-PA показал положительный эффект от терапии у 52,4% пациентов, получавших ТЛТ и у 45,2% лиц группы плацебо, частота черепно-мозговых кровоизлияний составила соответственно 2,4 и 0,2%. Главным выводом исследователей было заключение об эффективности СТТ в окне терапевтических возможностей от 3 до 4,5 часов.

По мнению ряда авторов, СТТ с применением rt-PA является наиболее эффективным и безопасным методом реперфузионной терапии при ИИ в первые 4,5 часа от начала развития симптомов заболевания [9]. Основными факторами, ограничивающими ее использование, являются позднее обращение больных за медицинской помощью, задержки при поступлении в стационар, достаточно большое количество противопоказаний. В соответствии с Хельсинборгской декларацией СТТ можно выполнять до 40% больных, госпитализированных в период «терапевтического окна» [18].

По сравнению с СТТ преимуществами ИАТТ являются высокая степень реканализации окклюзированного сосуда, более высокая эффективность при ИИ в вертебробазилярном бассейне и при окклюзии артерии крупного калибра, обеспечение локальной высокой концентрации тромбolyticского препарата, несмотря на использование меньшего его количества и как следствие уменьшение количества геморрагических осложнений, применение его возможно в более поздний период (не более 6 ч) от момента развития первых симптомов ОНМК. P. Schaefer и соавт. [21] при исследовании 14 пациентов с острым ИИ до и после селективного внутриартериального тромболизиса установили, что зоны ишемии со сниженным уровнем церебрального кровотока более 66% имеют прогностическую ценность положительного результата более 95% для формирования ядра

инфаркта даже при значимой реканализации после тромболизиса. Зоны ишемии со сниженным уровнем церебрального кровотока менее 50% имеют положительный результат более 90% для обеспечения жизнеспособности, даже при отсутствии значимой реканализации.

Внутриартериальное введение rt-PA и других фибринолитиков (урокиназа, рекомбинантная проурукиназа) изучалось в ряде исследований, таких как PROACT [15], EMS [13], IMS [12], IMS II [22]. Мета-анализ 27 исследований [19], в которых оценивались эффективность и безопасность внутриартериального тромболизиса, подтвердил, что в группе тромболитической терапии чаще, чем в группе плацебо наблюдались лучшие функциональные исходы (соответственно 41,5 и 23%). И хотя частота симптомных внутримозговых кровотечений в группе тромболизиса была выше (9,5% в основных и 3% в группе плацебо), летальность в группе плацебо составляла 40%, а в группе ТЛТ – 27,2%. Согласно международным рекомендациям внутриартериальная ТЛТ рекомендуется в первые 6 часов при окклюзиях крупных артерий головного мозга (класс доказательности II, уровень Б).

Основное показание к проведению селективной тромболитической терапии – выявление окклюзии или сужение просвета артерии тромбом или тромбоэмболом, отсутствие контрастирования дистального русла. Для разблокирования артерии и восстановления проходимости ее просвета вводят rt-PA (алтеплазу). При отсутствии на ангиограммах признаков поражения сосуда введение фибринолитика не проводится.

Методика селективного тромболизиса имеет ряд существенных преимуществ перед системной ТЛТ: во-первых, помогает уточнить локализацию окклюзии, ее характер, выяснить индивидуальные особенности мозговой циркуляции; во-вторых, значительно уменьшает дозу фибринолитического препарата и, тем самым, снижает риск геморрагических осложнений; в-третьих, предоставляет возможность для дополнительного механического воздействия на тромб, используя для этого микрокатетер или проводник; в-четвертых, может проводиться за пределами 3-часового временного окна и, наконец, наличие катетера в пораженной артерии позволяет с помощью дробной ангиографии контролировать процесс лизиса тромба и восстановления циркуляции. Селективный тромболизис является методом выбора в тех случаях, когда фибринолитическая терапия может быть начата в период от 3 до 6 часов от начала заболевания, а также в ситуациях, когда системный тромболизис оказывается неэффективным (не наблюдается клинического улучшения к концу его проведения).

Тромболитическая терапия при ишемическом инсульте должна проводиться в стационарах скорой медицинской помощи, в структуре которых имеются блок интенсивной терапии и реанимации, кабинет или отделение рентгенодиагностических методов лечения и диагностики, круглосуточные службы нейровизуализации (компьютерная или высокопольная магнитно-резонансная томография) и лабораторной диагностики. Тромболизис может проводиться лишь после исключения геморрагического характера поражения мозга. Необходимо максимально стремиться к сокращению времени от момента поступления пациента в стационар до начала введения тромболитика (время «от двери до иглы», door-to-needletime). Согласно международным рекомендациям, это время не должно превышать 60 минут.

Общая доза алтеплазы при селективном внутриартериальном введении составляет до 20-25 мг, из которых 1 мг вводится дистальнее участка тромбоза (если удалось провести в эту область микрокатетер), 1 мг – непосред-

ственno в тромб, осталное количество – в зону проксиимальной границы тромба через шприц-дозатор в течение часа. Каждые 15 минут производится ангиография для контроля положения микрокатетера, профилактики, выявления и лечения ангиоспазма и оценки эффективности тромболизиса. В ряде случаев, если это возможно, медикаментозный тромболизис дополняют механической реканализацией пораженного участка артерии специальным инструментами (Merci, Catch, Penumbra). После окончания тромболитической терапии катетер удаляют и выполняют гемостаз путем прижатия бедренной артерии на 15–20 мин. Затем накладывается давящая повязка на 24 часа. Пациент переводится в блок интенсивной терапии и реанимации для последующего наблюдения.

При лечении острого ишемического инсульта основной нежелательной реакцией ТЛТ является симптомное внутримозговое кровоизлияние (при использовании алтеплазы частота достигает 8-10%). В случае развития потенциально опасного кровотечения, особенно церебрального, лечение должно быть прекращено. Тем не менее, в целом необходимости в замещении факторов свертывания не возникает вследствие короткого периода полуыведения алтеплазы и умеренного действия препарата на системные факторы коагуляции [8].

Таким образом, внутриартериальный тромболизис при ишемическом инсульте является наиболее эффективным видом реперфузии в тех ситуациях, когда системная ТЛТ уже не показана вследствие превышения 3-часового терапевтического окна или была неэффективна.

Хирургическим методом реканализации является каротидная эндартерэктомия (КЭ) – баллонная ангиопластика и стентирование, которая является стандартной методикой первичной или вторичной профилактики ИИ при окклюзионно-стенотических поражениях сонных артерий [2]. КЭ рекомендуется при выраженному стенозе (сужение до 70-99% диаметра) внутренней сонной артерии или при умеренной степени (сужение 50-69% диаметра) при наличии дополнительных факторов риска инсульта и отсутствии выраженных сочетанных заболеваний [5]. Эффективность КЭ зависит от срока выполнения операции: максимально эффективна в ранние (первый месяц с момента ИИ или транзиторной ишемической атаки – ТИА) сроки. Зависимость эффективности операции от времени ее выполнения наиболее существенна у пациентов с умеренной степенью стеноза.

Каротидное стентирование не имеет преимуществ перед КЭ у больных, перенесших ИИ или ТИА и имеющих стеноз внутренней сонной артерии (ВСА), особенно при применении устройства для предупреждения возможной артерио-артериальной эмболии [6]. Каротидное стентирование рекомендуется лишь в особых случаях: 1) расположение стеноза ВСА в месте, плохо доступном для проведения КЭ; 2) наличие сочетанных заболеваний, при которых высок риск осложнений при проведении КЭ; 3) радиационный стеноз ВСА вследствие воздействия радиации; 4) рестеноз ВСА после КЭ; 5) расслоение ВСА; 6) фибромаскулярная гиперплазия; 7) артериит Такаясу.

Ангиопластика (баллонная дилатация) и стентирование обычно проводятся в тех случаях, когда имеются выраженные стенозы (обычно средней мозговой артерии) [5]. Наложение экстра-интракраниального анастомоза у больных, перенесших ИИ или ТИА и имеющих закупорку ВСА, рекомендуется только в отдельных случаях, когда доказана роль гемодинамических нарушений в повторных ишемических событиях [16].

Результаты

ТЛТ свидетельствуют о ее высокой эффективности и безопасности: если при системной ТЛТ степень реканализации составила 57,1%, то при интра-артериальной –

72,5%. Активная хирургическая тактика является более эффективной в острой стадии ИИ при соблюдении показаний к вмешательству. Быстрый регресс неврологического дефицита в течение 5 суток наблюдался у 86,4% пациентов. Лучшие клинически значимые результаты получены при КЭ на этапах обратимых ишемических неврологических нарушений. По мнению некоторых авторов, существует 4 клинических сценария, при которых целесообразно выполнение КЭ по экстренным и неотложным показаниям: нарастающие ТИА, малый ИИ при наличии гемодинамически значимого или критического стеноза сонных артерий, инсульт в ходе или персистирующая прогрессия инсульта, флотирующий тромб или атерома.

Литература

1. Вахлгрен Н.Г. Применение тромболизиса при инсульте: от клинических испытаний к клинической практике // Инсульт. – 2003. – №3. – С. 36-40.
2. Захидов Я.С. Эффективность перфузионной терапии в остром периоде ишемического инсульта // Неврология. – 2014. – №2 (58). – С. 65.
3. Мубараков Ш.Р., Захидов А.Я. Стратегии ранней реканализации в лечении острого ишемического инсульта // Неврология. – 2014. – №2 (58). – С. 66.
4. Неймарк М.И., Акатов А.В. Сравнительная оценка эффективности локального тромболизиса различными фибринолитиками // Ангиол. и сосуд. хирургия. – 2010. – Т. 16, №4. – С. 43-46.
5. Парфенов В.А., Вербицкая С.В. Вторичная профилактика ишемического инсульта: международные рекомендации и клиническая практика // Неврол. журн. – 2014. – №2. – С. 4-10
6. Парфенов В.А., Хасанова Д.Р. Ишемический инсульт. – М.: МИА, 2012.
7. Рахимбаева Г.С., Юнусов Ф.М., Бом Джо Ким. Роль и значение тромболизиса в лечении острого ишемического инсульта // Неврология. – 2014. – №4 (60). – С. 3-5.
8. Скворцова В.И., Голухов Г.Н., Губский Л.В. и др. Системная тромболитическая терапия при ишемическом инсульте // Журн. неврол. и психиатр. – 2006. – Т. 106, №12. – С. 24-31.
9. Скворцова В.И., Шамалов Н.А., Анисимов К.В., Рамазанов Г.Р. Результаты внедрения тромболитической терапии при ишемическом инсульте в Российской Федерации // Журн. неврол. и психиатр. – 2010. – №12 (2). – С. 17-22.
10. Суслина Г.А., Ерофеева А.В., Танашян М.М., Ионова Г.В. Ишемический инсульт: состояние гемостаза и факторы церебральной ишемии // Инсульт. – 2006. – №16. – С. 3-9.
11. Berihet K, Lavergne T, Cohen A, et al. Significant association of atrial fibrillability with atrial septal abnormalities in young patients with ischemic stroke of unknown cause // Stroke. – 2000. – Vol. 31. – P. 398-403.
12. Combined Intravenous and Intra-arterial Recanalization for Acute Ischemic Stroke: The Interventional Management of Stroke Study. The IMS Study Investigators // Stroke. – 2004. – Vol. 35. – P. 904-912.
13. Christopher A, Lewandowski M.D. et al. Combined Intravenous and Intra-Arterial r-TPA versus Intra-Arterial Therapy of Acute Ischemic Stroke. Emergency Management of Stroke (EMS) Bridging Trial // Stroke. – 1999. – Vol. 30. – P. 2598-2605.
14. Del Zoppo G.J., Saver J.L., Jauch E.C., Adams H.P. Behalf of the American Heart Association Stroke Council. Expansion of the Time Window for Treatment of Acute Ischemic Stroke with Intravenous Tissue Plasminogen Activator. A Science Advisory from the American Heart Association/American Stroke Association // Stroke. – 2009. – Vol. 40. – P. 2945.
15. Del Zoppo G.J., Higashida R.T., Furlan A.J. et al. PROACT: A Phase II Randomized Trial of Recombinant Pro-Urokinase by Direct Arterial Delivery in Acute Middle Cerebral Artery Stroke // Stroke. – 1998. – Vol. 29. – P. 4-11.
16. Furie K.L., Kasner S.E., Adams R.J. et al. Guidelines for the prevention of stroke in patients with stroke or transient ischemic attack. A guideline for healthcare professionals from the American Heart Association/American Stroke Association // Stroke. – 2011. – Vol. 42. – P. 227-276.
17. Goldhaber S.Z. Pulmonary Thromboembolism. Harrison's principles of internal medicine; Ed. By T.R. Harrison. – 16th ed. – 2005. – P. 1561-1565.
18. Kjellstrom T, Norrving B, Shatchkute A. Helsingborg Declaration 2006 on European stroke strategies // Cerebrovasc. Dis. – 2007. – Vol. 23. – P. 229-241.
19. Lisboa R.C., Jovanovic B.D., Alberts M.J. Analysis of the Safety and Efficacy of Intra-Arterial Thrombolytic Therapy in Ischemic Stroke // Stroke. – 2002. – Vol. 33. – P. 2866-2871.
20. Ribeiro A., Lindmarker P., Johnson H. et al. Pulmonary embolism:

ПРИМЕНЕНИЕ ТРОМБОЛИЗИСА ПРИ ИНСУЛЬТЕ

- one-year follow-up with echocardiography Doppler and five-year survival analysis // Circulation. – 1999. – Vol. 99. – P. 1325-1330.
21. Schaefer P.W., Rossagliata L., Ledezma C. et al. Fist-passquantitative CT perfusion identifies thresholds for salvageable penumbra in acute stroke patients treated with intra-arterial therapy // Amer. J. Neuroradiol. – 2006. – Vol. 27. – P. 20-25.
22. The Interventional Management of Stroke (IMS) II Study // Stroke. – 2007. – Vol. 38. – P. 2127-2135.
23. The National Institute of Neurological Disorders and Stroke rt-PA Stroke Study Group // New Engl. J. Med. – 1995. – Vol. 333. – P. 1581.

ПРИМЕНЕНИЕ ТРОМБОЛИЗИСА ПРИ ИНСУЛЬТЕ

Акбарходжаева З.А., Рахимбаева Г.С.

Систематизированы современные сведения о возможности применения тромболитической терапии при остром ишемическом инсульте. Подробно рассмотрены показания, противопоказания, эффективность системной, селективной тромболитической терапии, хирургические методы коррекции, проанализированы положительные и отрицательные стороны каждого из этих методов.

Ключевые слова: острый ишемический инсульт, тромболизис, системное и селективное применение тромболитической терапии, хирургическая коррекция.

Трибуна молодых

УДК: 616.27-006.6.39-07/089

ПРИНЦИПЫ ДИАГНОСТИКИ И ХИРУРГИЧЕСКОГО ЛЕЧЕНИЯ ВНЕГОНАДНЫХ ГЕРМИНОГЕННЫХ ОПУХОЛЕЙ СРЕДОСТЕНИЯ

Мадиёров Б.Т.

ҚҰҚС ОРАЛИҒИ ГЕРМИНОГЕН ЎСМАЛАРИНИ ТАШХИСЛАШ ВА ХИРУРГИК ДАВОЛАШ ПРИНЦИПЛАРИ

Мадиёров Б.Т.

PRINCIPLES OF DIAGNOSIS AND SURGICAL TREATMENT FOR EXTRAGONADAL GERM CELL TUMORS OF THE MEDIASTINUM

Madiyorov B.T.

Республиканский онкологический научный центр

Мақсад: құқс оралығи герминоген ўсмаларини ташхислаш ва жаррохлық үйли билан даволаш принциплари натижасын бақолаш. **Материал ва усууллар:** құқс оралығи герминоген ўсмалари бүйінша 41 беморда үтқазилған ташхислаш ва даволаш натижалари ретроспектив тақыл қылымды. Ҳавфсиз тератома 36 (87,80%) беморда, ҳавфли тератома – 4 (9,75%) ва бир (2,43%) беморда семинома аниқланды. **Натижә:** 6 (14,63%) беморда ўсманни видеоторакоскопияусул билан олиб ташланған, 33 (80,48%) ҳолатда ўсманни традицион усул – торакотомия ёки стернотомия, үйли билан амалиёт үтқазилған. 6 (15,38%) ҳолатда комбинирлашған резекциялар бажарылған: ўпка резекцияси – 2, перикард – 3, ва қовурға резекция – бир марта. Давомий ўсиши, рецидив ва ўлым күрсаткычлари күзатылмады. **Хулоса:** құқс оралығи ҳавфли герминоген ўсмалари - консерватив даводан бошланиши мақсадға мувофиқ.

Калит сүзлар: құқс оралығи, герминоген ўсмалар, видеоторакоскопия, ташхис, даволаш.

Objective: To evaluate the results of diagnostics and surgical treatment for extragonadal germ cell tumors of the mediastinum. **Materials and Methods:** Retrospective analysis of results of treatment of 41 patients with extragonadal germ cell tumors of the mediastinum, of them 36 (87.80%) had mature teratoma (including a dermoid cyst), 4 (9.75%), immature teratoma, 1 (2.43%) seminoma. **Results:** Six (14.63%) patients underwent videothoracic removal, in 33 (80.48%) the tumor was removed by traditional method. Relapse, continued growth and deaths were noted. In malignant extragonadal germ cell tumors of the mediastinum in the first phase was conducted conservative treatment. **Conclusions:** Adequate surgical treatment of patients with mature teratoma of the mediastinum prevents the development of relapse and provides a full recovery.

Key words: mediastinum, extragonadal germ cell tumors, videothoracoscopy, diagnosis, treatment.

Первичными внегонадными герминогенными опухолями (ВГО) средостение поражается в 50% случаев, но от общего числа истинных герминогенных опухолей яичка и яичников первичная их локализация в средостении редка и встречается всего в 1-5% случаев. ВГО средостения возникают в любом возрасте, с одинаковой частотой у представителей обоих полов, но злокачественные встречаются чаще у мужчин, причем пик заболеваемости приходится на возраст 20-35 лет [1-3,6-8,10-12].

Согласно классификации ВОЗ (1998), по патоморфологическому строению среди ВГО различают семиному и несеминомные ГО. Последние в свою очередь представлены тератомами различной степени зрелости (зрелая, дермоидная киста, незрелая, со злокачественной трансформацией), эмбриональным раком, хориокарциномой, опухолями желточного мешка и их сочетаниями [1-4,6-11].

Оперативное вмешательство является основным методом лечения при зрелой тератоме. В настоящее время оптимальным доступом считаются стернотомия, торакотомия, но при больших размерах опухоли в зависимости от распространенности процесса предпочтительны доступы типа «clamshell» или «hemiclamshell» [1-3,5,7,9-13]. При сравнительно небольших размерах образования, низком уровне риска повреждения структур средостения неоспорима роль видеоторакоскопических доступов [6,7,10,11].

Цель исследования

Оценка результатов диагностики и хирургического лечения внегонадных герминогенных опухолей средостения.

Материал и методы

В 2000-2015 гг. в торакальном отделении РОНЦ МЗ РУЗ на лечении находился 41 больной в возрасте от 15 до 65 лет с ВГО средостения, из них 19 (46,34%) женщин и 22 (53,66%) мужчины. В возрасте до 19 лет было 4 (9,75%) пациентов, 19-44 лет – 29 (70,73%), 45-59 лет – 7 (17,07%), 60-75 лет – 1 (2,43%). Средний возраст – $34,58 \pm 12,4$ года. 70,73%, т.е. большинство больных были в наиболее трудоспособном возрасте от 19 до 44 лет. ВГО средостения диагностировали при исключении новообразований в яичниках и яичках.

Для оценки общего состояния пациента, верификации опухолевого процесса проводили комплексное обследование, которое включало общеклиническое исследование, стандартную двухпроекционную рентгенографию грудной клетки, трахеобронхоскопию, трансторакальную пункцию опухоли (по показаниям), цитологическое и гистологическое исследование биопсийного материала, компьютерную томографию органов грудной клетки с контрастированием сосудов средостения, ультразвуковое исследование средостения, надключичных областей, брюшной полости, при необходимости – магнитно-резонансную томографию (МРТ) грудной клетки.

У 16 (39,02%) пациентов новообразование в средостении было выявлено случайно при полном отсутствии каких-либо симптомов. У 6 (14,63%) пациентов клиника была неспецифической – кашель, боли в грудной клетке, повышение температуры тела, слабость. У 2 (4,87%) больных отмечалась клиника кровохарканья, свидетельствующая о прорастании опухоли в ткань легкого. При больших раз-

мерах опухоли, локализующейся в переднем средостении, у 3 (7,31%) больных наблюдалась клиника компрессионного синдрома, проявившаяся осиплостью голоса, что указывало на синдром сдавления верхней полой вены. Время от первичного обследования до постановки окончательного диагноза ВГО средостения составляло от 3 до 8,5 месяца.

Учитывая тот факт, что онкомаркеры АФП, ХГ используются для диагностики, дифференциации семиномных и несеминомных опухолей, мониторинга лечения и прогноза, у всех больных в предоперационном периоде и поэтапно определялось содержание этих онкомаркеров.

С целью гистологической верификации в предоперационном периоде под контролем УЗД у 6 больных выполнена трансторакальная функциональная биопсия.

Оперативные вмешательства проведены у всех больных. Выбор оперативного доступа определялся в зависимости от размеров, наличия или отсутствия прилегания к крупным сосудам средостения, инфильтрации в легочную ткань. Размеры опухоли до 6-8 см выявлены у 2 больных, до 10-12 см – у 39.

Для определения клинической стадии вариантов ВГО средостения использовали классификацию С. Moran, S. Susters [2,6]: I стадия – хорошо ограниченная опухоль с или без локальной адгезии плевры или перикарда, без микроскопических признаков инвазии в прилежащие структуры; II – опухоль с микро- или макроскопической инвазией в прилежащие структуры (плевра, перикард, крупные сосуды); III – опухоль с метастазами: А – внутригрудными (легкие, лимфоузлы и т.д.), В – экстрапортакальными. Распределение больных в зависимости от клинической стадии ВГО средостения показано в таблице.

У 24 (58,53%) пациентов с целью гистологической верификации и определения резектабельности процесса первым этапом проведена диагностическая торакоскопия. У 2 из этих больных операция завершена биопсией, одновременно вторым этапом у 6 (14,63%) больных выполнено видеоторакоскопическое удаление опухоли, у 16 (39,02%) опухоль удалена торакотомным доступом (справа – у 8, слева – у 8). Всего торакотомным доступом опу-

холь удалена у 31 (75,60%) пациента, у 2 (4,87%) больных удаление опухоли выполнено стернотомным доступом.

Таблица
Распределение наблюдавшихся больных в зависимости от клинической стадии ВГО средостения, абс. (%)

Тип опухоли	Всего больных	Стадия			
		I	II	III A	III B
Зрелая тератома	36 (87,80)	6 (14,63)	31 (75,60)	-	-
Незрелая тератома	4 (9,75)		3 (7,31)	1 (2,43)	
Семинома	1 (2,43)	-	-	1 (2,43)	-
Всего	41 (100)	6 (14,63)	34 (82,92)	2 (4,87)	-

После операции 5 пациентов со злокачественной тератомой и семиномой получали полихимиотерапию от 4 до 6 курсов на основе препаратов платины в комбинации с другими цитостатиками (блеомицин, циклофосфан, винбластин, этопозид) с последующей лучевой терапией на область средостения от 40 до 60 Гр.

Полученные результаты обработаны статистическими методами. Определяли среднее арифметическое значение, стандартное отклонение от среднего арифметического значения, 25-м и 75-м процентилями, медианой. Достоверность различий определяли с помощью непараметрического U-критерия Манна – Уитни, при уровне ошибки $p < 0,05$. Расчет выполняли на персональном компьютере с использованием приложения Microsoft Excel и пакета статистического анализа данных Statistica 5.1 for Windows ("Stat Inc.", США).

Результаты и обсуждение

При анализе полученных результатов учитывали пол и возраст больных, начальные клинические проявления заболевания, данные комплексного обследования, гистологический характер опухоли, уровень опухолевых маркеров – АФП, β -ХГ, степень распространенности опухолевого процесса (на рис. 1 представлена МСКТ с ангиографией сосудов средостения), методы проведенного лечения.

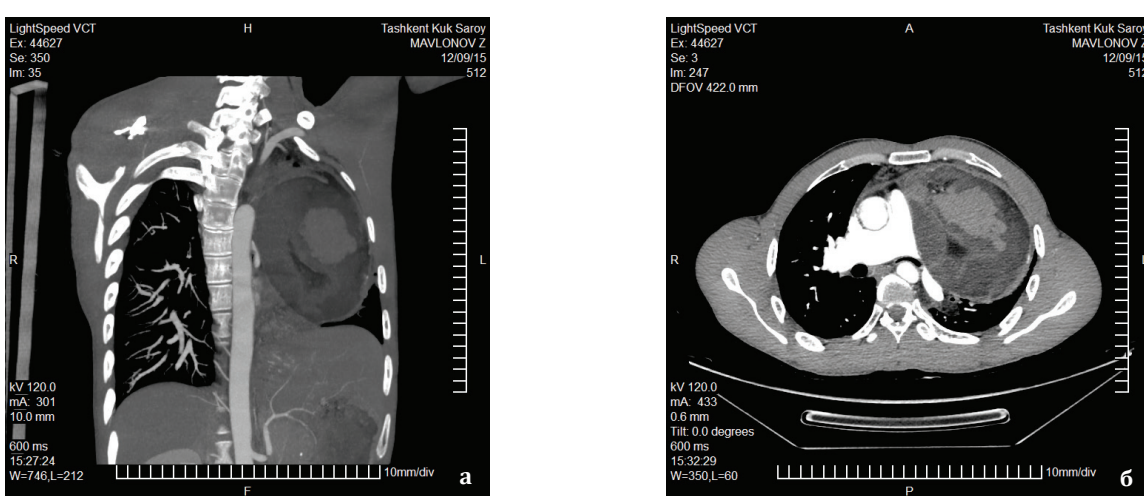


Рис. 1. Компьютерная томография органов грудной клетки (поперечный и фронтальный срез): объемное об разование средостения слева размерами 10,4x12,6x13,0 см с неоднородной жировой, кистозной и мягкотканой структурой, плотность -50, +0+55 ед. Н. (а); опухоль оттесняет и коллагирует прилежащие сегменты легкого, отмечается критический стеноз левой легочной артерии, без признаков инвазии (б).

Доброкачественные тератомы резистентны к химио- и лучевой терапии, склонны к местноинвазивному росту, возможно появление злокачественных элементов, таких как тератокарцинома. В этих случаях показано оперативное лечение, которое имеет свои особенности из-за наличия выраженного спаечного процесса между опухолью и окружающими структурами, требуется резекция соседних органов. У 6 (15,38%) наших больных выполнены комби-

нированные резекции: легкого – у 2, перикарда – у 3, ребер – у 1. Часто опухоли приходится удалять фрагментарно или вскрыв капсулу, особенно при больших новообразованиях. Прогноз после радикального удаления благоприятный – все больные выздоравливают. Рецидивов и продолженного роста мы не наблюдали. На рис. 2 показан макропрепарат удаленной ВГО средостения.



а



б

Рис. 2. Макропрепарат удаленной ВГО средостения: зрелая тератома – капсула опухоли с содержимым эпидермальной консистенции с элементами волос (а); зрелая тератома с проявлением злокачественных элементов – тератокарцинома (стрелкой указано место злокачественного роста) (б).

В зависимости от доступа оперативного вмешательства пациенты разделены на две группы: в 1-ю группу были включены 6 (14,63%) пациентов, у которых осуществлено видеоторакоскопическое удаление опухоли, контрольную группу составили 33 (80,48%) больных, у которых использовался стандартный доступ: торакотомия, стернотомия. Травматичность хирургических вмешательств оценивалась на основании продолжительности экссудации в послеоперационном периоде, сроков дренирования, времени нахождения пациента в отделении реанимации и интенсивной терапии, длительности оперативного вмешательства, длительности обезболивания.

Продолжительность оперативного вмешатель-

ства стандартным доступом составила $106,5 \pm 21,3$ мин, при миниинвазивных вмешательствах – $92,2 \pm 27,8$ мин. Обезболивающие препараты больные получали соответственно в течение $4,2 \pm 1,6$ и $2,1 \pm 0,6$ дня. Сроки дренирования плевральной полости в среднем составляли $4,5 \pm 1,4$ и $2,5 \pm 0,8$ дня, количество койко-дней – $16 \pm 8,5$ и $7 \pm 2,4$ дня. Учитывая сравнительно небольшую группу больных, перенесших видеоторакоскопические операции, различия были статистически не достоверными, но полученные результаты соответствуют данным литературы.

В зависимости от окончательного гистологического заключения определена окончательная тактика лечения. На рис. 3 показана гистологическая картина ВГО средостения.

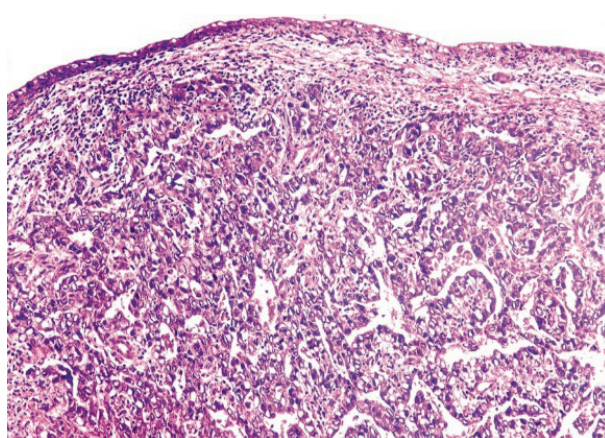
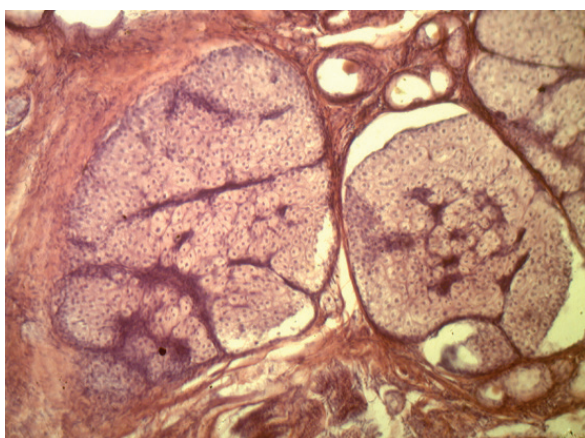


Рис. 3. Гистологическая картина: зрелая тератома (а), злокачественная тератома (тератокарцинома) (б).

Одной из отличительных особенностей несеминомных ВГО является продукция онкомаркеров АФП и ХГ, которые в настоящее время используется в клинической практике для диагностики и мониторинга и прогноза заболевания. Доказано, что наличие маркеров в сыворотке крови пациента зависит от гистологического строения опухоли [1,2,5,6]. Из несеминомных ГО не продуцируют АФП и ХГ только зрелые тератомы и так называемые эмбриональные карциномы чистого типа. Очень высокую концентрацию сывороточного ХГ фиксируют при хорионкарциномах (до 100% случаев), несколько меньшую (70-75% – АФП и

55-63% – ХГ) определяют при тератокарциномах с наличием других гистологических элементов [1,2,5,6].

До проведения оперативного вмешательства положительная реакция на АФП отмечалась у 7 (17,07%) больных, высокий уровень ХГ зарегистрирован у 5 (12,19%). В послеоперационном периоде повышения уровня онкомаркеров не отмечалось. При семиноме и злокачественной тератоме больным проводилась консервативная химиолучевая терапия.

Осложнения в послеоперационном периоде в виде внутриплевральных кровотечений и нагноений раны у наших больных не отмечалось. Терапевтические осложнения представлены в основном пневмонией (2) и различ-

ными сердечно-сосудистыми нарушениями (3). Рецидива и летальных исходов после операций не было.

Медиана наблюдения за больными после радикальных оперативных вмешательств составила 120 месяцев (от 58 до 276 мес.).

Выводы

1. Для диагностики и дифференциальной диагностики необходим комплексный подход с обязательным определением уровня онкомаркеров и гистологического исследования.

2. При больших размерах опухоли адекватным доступом считается торакотомия или стернотомия, в некоторых случаях рекомендованы комбинированные доступы, а при небольших размерах опухоли возможно удаление ее видеоторакоскопическим методом.

3. Адекватное хирургическое лечение больных со зрелой тератомой средостения предупреждает развитие рецидива и обеспечивает полное выздоровление.

4. При злокачественных ВГО средостения на первом этапе рекомендовано проведение консервативной химиолучевой терапии.

Литература

1. Давыдов М.И., Полоцкий Б.Е., Мачаладзе З.О. и др. Внегонадные герминогенные опухоли // Вестн. РОНЦ им. Н.Н. Блохина. – 2007. – №18 (4). – С. 43-49.
2. Захарычев В.Д., Ганул А.В., Борисюк Б.О. Лечение пациентов с герминогенными опухолями средостения // Онкология. – 2011. – Т. 13, №1. – С. 53-54.
3. Acharya M.N., De Robertis F., Popov A.F., Anastasiou N. Surgical resection of a huge ruptured mature mediastinal teratoma // Asian Cardiovasc. Thorac. Ann. – 2016. – Vol. 24, №7. – P. 726-728.
4. Caposole M.Z., Aruca-Bustillo V., Mitchell M., Nam B. Benign Metachronous Bilateral Ovarian and Mediastinal Teratomas With an Elevated Alpha-Fetoprotein // Ann. Thorac. Surg. – 2015. – Vol. 99. – P. 1073-1075.
5. Chen Ch., Zheng H., Jiang S. An Unusual Case of Giant Mediastinal Teratoma With Malignant Transformation // Ann. Thorac. Surg. – 2008. – Vol. 86 – P. 302-304.
6. Kesler K.A., Kruter L.E., Perkins S.M. et al. Survival after Resection for Metastatic Testicular Nonseminomatous Germ Cell Cancer to the Lung or Mediastinum // Ann. Thorac. Surg. – 2011. – Vol. 91. – P. 1085-1093.
7. Lin M.-W., Chang Y.-L., Wu Ch.-T., Lee Y.-Ch. Video-Assisted Thoracoscopic Surgery for a Cystic Seminoma of the Mediastinum // Ann. Thorac. Surg. – 2010. – Vol. 90. – P. 2041-2044.
8. Liu Ch.-H., Peng Y.-J., Wang H.-H. et al. Spontaneous Rupture of a Cystic Mediastinal Teratoma Complicated by Superior Vena Cava Syndrome // Ann. Thorac. Surg. – 2014. – Vol. 97. – P. 689-991.
9. Maillart J.-F., V. Lacroixalérie, Camboni A., Poncelet A.J. Mediastinal Teratoma with Coexisting Parenchymal Pulmonary Cystic Lesion // Ann. Thorac. Surg. – 2013. – Vol. 96. – P. 1081-1083.
10. Raoufi M., Herrak L., Benali A. et al. Mediastinal Mature Teratoma Revealed by Empyema // Case Rep. Pulmonol. – 2016.
11. Shintani Y., Funaki S., Nakagiri T. et al. Experience with thoracoscopic resection for mediastinal mature teratoma: a retrospective analysis of 15 patients // Interactive Cardiovasc. Thorac. Surg. – 2013. – Vol. 16. – P. 441-444.
12. Tsai Ch.-K., Huang T.-W., Li Ch.-Ch. et al. Cystic Seminoma With Elevated Value of Carbohydrate Antigen 19-9 in Tumor Fluid Mimicking Cystic Teratoma // Ann. Thorac. Surg. – 2009. – Vol. 88. – P. 1693-1695.
13. Willems E., Martens S., Beelen R. Robotically enhanced mediastinal teratoma resection: a case report and review of the literature // Acta Chirurgica Belgica. – 2016.

ПРИНЦИПЫ ДИАГНОСТИКИ И ХИРУРГИЧЕСКОГО ЛЕЧЕНИЯ ВНЕГОНАДНЫХ ГЕРМИНОГЕННЫХ ОПУХОЛЕЙ СРЕДОСТЕНИЯ

Мадиёров Б.Т.

Цель: оценка результатов диагностики и хирургического лечения внегонадных герминогенных опухолей средостения. **Материал и методы:** проведен ретроспективный анализ результатов лечения 41 пациента с внегонадными герминогенными опухолями средостения, из них у 36 (87,80%) имела место зрелая тератома (в том числе дермоидные кисты), у 4 (9,75%), незрелая тератома, у 1 (2,43%) семинома. **Результаты и обсуждение:** у 6 (14,63%) больных выполнено видеоторакоскопическое удаление, у 33 (80,48%) опухоль удалена традиционным доступом. Рецидивов, продолженного роста и летальных исходов не отмечалось. При злокачественных внегонадных герминогенных опухолях средостения на первом этапе проводилась консервативная терапия. **Выводы:** адекватное хирургическое лечение больных со зрелой тератомой средостения предупреждает развитие рецидива и обеспечивает полное выздоровление.

Ключевые слова: средостение, внегонадные герминогенные опухоли, видеоторакоскопия, диагностика, лечение.

БЕЗОПАСНЫЙ И ЭФФЕКТИВНЫЙ МЕТОД КОНТРАЦЕПЦИИ ЖЕНЩИН С ПРОЛАПСОМ ГЕНИТАЛИЙ

Насимова Н.Р.

ГЕНИТАЛ ПРОЛАПСИ БОР АЁЛЛАРДА КОНТРАЦЕПЦИЯ УСУЛИНИНГ ХАФСИЗЛИГИ ВА САМАРАДОРЛИГИ

Насимова Н.Р.

SAFETY AND EFFECTIVENESS OF CONTRACEPTIVE METHODS WOMEN WITH GENITAL PROLAPSE

Nasimova N.R.

Самаркандинский государственный медицинский институт

Максад: операцияни режсалаштираетган кинdevори тушган репродуктив ёшдаги аёллар учун ихтиёрий жарроҳлик контрацепцияни қуллаш принципларини ишлаб чикиш. **Материал ва услублар:** 315та 30-дан 45 ёшдаги беморларнинг соғлиқ холати урганилди. Шулардан 253 тасига кинdevори тушишини даволаш билан биргаликда ихтиёрий жарроҳлик йули билан бачадон найларини боғланди ва Бум усулибидан сийдик пифагини мустакамлаши билан кольпоперинеолеваторопластика утказилди. **Натижалар:** аёлларда кинdevорини тушишини бартараф қилиши билан биргаликда ихтиёрий жарроҳлик контрацепция никуллаш уларнинг жинсий турмуш тарзи ва турмуш сифатини яхшилади. Операция ҳажми бачадон буйиннинг холатига боғлик. **Хулосалар:** бачадон найларини трансвагинал йули билан боғлаш-кинdevоритушган аёллар учун самарали контрацепция усулини хисобланади.

Калим сузлари: генитал пролапс, ихтиёрий жарроҳлик контрацепцияси.

Objective: Development of principles on the use of voluntary surgical contraception for women of reproductive age who are planning surgery for genital prolapse. **Material and Methods:** The health status was studied in 315 patients aged 30 to 45 years. 253 of them were subjected to surgical treatment of genital prolapse concurrent with voluntary surgical sterilization and kolpoperineolevatoroplastics strengthening vesicovaginal fascia on the Boom method. **Results:** The elimination of genital prolapse concurrent with voluntary surgical contraception in women contributes to a significant improvement in the quality of sexual life and quality of life in general. Displacement surgery also depends on the state of the cervix. **Conclusions:** Transvaginal tubal ligation effective method of contraception for patient's genital prolapse.

Key words: genital prolapse, voluntary surgical contraception, transvaginal tubal ligation.

Неполное опущение стенок влагалища является чрезвычайно частой патологией. По некоторым данным, это заболевание встречается почти у трети женщин репродуктивного возраста [3]. В этой ситуации для женщин важно не только лечение пролапса, но и выбор эффективного метода контрацепции [4,5,8]. Высокая частота рецидивов заболевания (от 16 до 43%) свидетельствует о недостаточной эффективности применяемых в настоящее время хирургических методик [1,2]. В современных условиях, учитывая тенденцию к «омолаживанию» заболевания, генитальный пролапс представляется не только медицинской, но и личной, семейной, социальной проблемой, оказывающей влияние на сексуальную, профессиональную и многие другие сферы жизни пациенток.

Причины высокой заболеваемости среди женщин репродуктивного возраста кроются в общем ухудшении здоровья женщины в популяции [13]. В связи с этим женщины, оперированные по поводу пролапса стенок влагалища, нуждаются в высокоэффективных методах контрацепции, в том числе и таких как добровольная хирургическая контрацепция [9,11]. Поэтому применение контрацепции рассматривается как одно из важнейших направлений в реабилитации женщин в процессе комплексного лечения пролапса гениталий [7,12].

Известно, что при выборе метода контрацепции необходимо учитывать репродуктивные намерения и опыт пациенток, которые являются ведущим фактором контрацептивного поведения [6,11]. Изучением этих вопросов у женщин с пролапсом гениталий ранее исследователи не занимались.

Цель исследования

Разработка принципов применения добровольной хирургической контрацепции для женщин репродуктивного возраста, планирующих операции по поводу пролапса гениталий.

Материал и методы

Состояние здоровья изучено у 315 пациенток в возрасте от 30 до 45 лет. 253 из них были подвергнуты хирургическому лечению пролапса гениталий с одновременной добровольной хирургической стерилизацией и кольпоперинеолеваторопластикой с укреплением пузырно-влагалищной фасции по методу Бума.

Результаты исследования

По данным литературы, среди женщин репродуктивного возраста заболевание встречается в 63,1% случаев, в том числе до 30 лет – в 10,1%, от 30 до 45 лет – в 40,2% (Краснопольский В.И.). В связи с этим повышается значение исследования ранних субклинических форм опущения и выпадения внутренних половых органов. К ранним формам относится элонгация шейки матки (ЭШМ).

Под нашим наблюдением были 315 женщин репродуктивного возраста – 20-45 лет, при этом большинство пациенток (52%) были в возрасте 31-40 лет. 2 (1,3%) больные были в возрасте до 20 лет. 25,5% составили больные женщин с ЭШМ, 17,3% имели элонгацию в сочетании с неполным опущением внутренних половых органов (ОВПО). Распределение пациенток в зависимости от диагноза представлено в таблице 1.

Таблица 1
Распределение пациенток по диагнозам

Диагноз	Число больных, абс. (%)
Элонгация шейки матки в сочетании с давним разрывом промежности	144 (45,7)
Выпадение стенок влагалища шейки матки, цистоцеле	44 (14)
Всего	315 (100)

По нашим данным, опущение и выпадение внутренних половых органов (ВВПО) среди женщин репродуктивного возраста (от 31 года до 45 лет) встречается в 17%. Большинство наших пациенток были в возрасте от 46 до 59, 60 лет и старше – соответственно 41 и 42%. Причем, неполное ОВПО чаще встречалось у больных в возрасте от 46 до 59 лет, а полное – у женщин старше 60 лет, что соответствует данным литературы. У 133 (32,1%) обследованных диагностирована ЭШМ, из них 57,1% имели изолированную элонгацию, а 57 (42,9%) – ЭШМ в сочетании с неполным опущением внутренних половых органов. Обследование и опрос пациенток показали, что 59,5% из них опущение и ВВПО обнаружили самостоятельно, что может указывать на позднюю обращаемость пациенток к врачу, когда имеется значительное ОВПО. Лишь у 177 женщин ОВПО выявлено врачом на ранней стадии, до начала клинических проявлений. Это были женщины, пришедшие прием к врачу через 1-2 года после родов.

У всех наших пациенток было проведено хирургическое лечение пролапса гениталий с одновременной добровольной хирургической стерилизацией, в том числе 50 женщинам произведена кольпоперинеолеваторопластика с укреплением пузырно-влагалищной фасции по методу Бума.

Обсуждение

Обследование показало, что опущение стенок влагалища часто возникало даже у женщин, трудовая деятельность которых не была связана с физическими усилиями (табл. 2). Достоверной зависимости частоты развития элонгации шейки матки от физической деятельности не обнаружено.

Таблица 2
Зависимость пролапса гениталий от вида
трудовой деятельности, абс. (%)

Степень пролапса	Число больных	Трудовая деятельность		p1-2
		связана с физ. нагрузкой, n=195	не связана с физ. нагрузкой, n=58	
Опущение передней и задней стенок влагалища	175	135 (77,1)	40 (22,9)	p<0,001
Опущение стенок влагалища с рубцовой деформацией шейки матки	49	35 (714)	14 (28,6)	p<0,001
Элонгация шейки матки	29	25 (86,2)	4 (13,8)	p>0,5

В то же время у 100% обследованных пациенток имели место гинекологические заболевания воспалительного характера. Травматичные роды, abortionы, выкидыши, сопровождались низведением шейки матки, что не исключало травму мочеполовой диафрагмы. Все перечисленные факторы неблагоприятны для полноценности промежности и мышц тазового дна, что следует расценивать как фактор риска возникновения генитального пролапса [9,11].

Как показали результаты наших наблюдений, предложенная оперативная методика имеет преимущества перед минилапаротомией и хирургической перевязкой с применением передней и задней кольпорафии. Продолжительность операции зависела от выраженности пролапса и объема вмешательства и варьировала от 15 до 25 минут. Послеоперационный период, в отличие от такового после операций добровольной хирургической контрацепции ДХК минилапаротомным доступом, отличался гладким течением, более ранней активацией пациенток. При использовании вагинального доступа большинству больных назначения наркотических анальгетиков не требовалось. При недолгом периоде наблюдения после операций по поводу пролапса влагалищным доступом отмечается хороший косметический эффект, отсутствие рецидива цистоцеле, который при использовании традиционных методик в первые два года

после операции встречается достаточно часто. Жалоб на недержание мочи при напряжении исчезли у большинства пациенток даже без применения слинговых методик.

Устранение генитального пролапса с одновременной добровольной хирургической контрацепцией у женщин способствует значительному улучшению качества половой жизни и качества жизни в целом. Объем оперативного вмешательства зависит также от состояния шейки матки, которое оценивалось визуально и кольпоскопически, всем пациенткам перед операцией проводилась расширенная кольпоскопия.

Выходы

Разработанный метод хирургического лечения опущения и выпадения стенок влагалища и одновременной трансвагинальной добровольной хирургической контрацепцией в качестве первого этапа операции с дальнейшей типичной кольпоперинеографией, леваторопластикой или ампутацией шейки матки, достоверно не влияет на продолжительность операции.

Добровольная хирургическая контрацепция, выполненная влагалищным доступом, требует более высокой квалификации хирурга, но достоверно сокращает продолжительность операции, объем кровопотери, способствует уменьшению количества интра- и послеоперационных осложнений.

Для женщин опущением и выпадением внутренних половых органов наиболее эффективным методом контрацепции является добровольная хирургическая контрацепция.

Литература

1. Адамян Л.В. Современные возможности лечения пролапса гениталий и стрессового недержания мочи // Пробл. репрод. – 2008. – Спец. вып. – С. 109-110.
2. Адамян Л.В., Блинова М.А. Современные концепции хирургического лечения опущения и выпадения женских половых органов // Эндоскопия в диагностике, лечении и мониторинге женских болезней: Материалы междунар. конгресса. – М., 2000. – С. 622-635.
3. Адамян Л.В., Смольнова Т.Ю. Состояние структур тазового дна больных с пролапсом гениталий // Современные технологии в диагностике и лечении гинекологических заболеваний. – М., 2006. – С. 142-143.
4. Беженарь В.Ф. Результаты комплексного лечения смешанного недержания мочи у женщин // Современные технологии в диагностике и лечении гинекологических заболеваний. – М., 2006. – С. 149-150.
5. Беженарь В.Ф. Возможности реконструктивно-пластических операций при пролапсе тазовых органов с применением PROLIFT // Пробл. репрод. – 2008. – Спец. вып. – С. 113.
6. Кулаков В.И. Хирургическая коррекция несостоятельности тазового дна и функциональных нарушений тазовых органов у гинекологических больных // Современные технологии в диагностике и лечении гинекологических заболеваний. – М., 2006. – С. 153-157.
7. Кулаков В.И., Серов В.Н. и др. Руководство по охране репродуктивного здоровья. – М.: Триада-Х, 2006.
8. Смольнова Т.Ю. Метод расширенной кольпоперинеолеваторопластики как выбор вспомогательного метода хирургической коррекции дефектов тазового дна у женщин при дисплазии соединительной ткани // Мать и дитя: Материалы 7-го Рос. форума. – М., 2005. – С. 506.
9. Смольнова Т.Ю. Пролапс гениталий у больных репродуктивного возраста – как один из симптомов синдрома генерализованной дисплазии соединительной ткани на уровне органов тазового дна, возможности новых технологий в урогинекологии и тазовой хирургии. – М., 2005. – С. 217-218.
10. Смольнова Т.Ю. Использование классификации ICS и американского общества урогинекологов у больных с пролапсом гениталий // Пробл. репрод. – 2008. – Спец. вып. – С. 124-125.
11. Тарасова М.А., Шаповалова К.А., Лекарева Т.М. Консультирование по вопросам репродуктивного здоровья и выбору метода контрацепции: Практ. пособие для врачей. – М., 2008. – 116 с.
12. Тихомиров А.Л., Олейник Ч.Г. Возможности использования оральных контрацептивов в сохранении и восстановлении репродуктивной функции // Рус. мед. журн. – 2008. – Т. 16, №1. – С. 34.
13. Benagiano G., Primiero F.M., Farris M. Clinical profile of contraceptive progestins // Europ. J. Contracept. Reprod. Health Care. – 2004. – Vol. 9. – P. 182-193.

**БЕЗОПАСНЫЙ И ЭФФЕКТИВНЫЙ МЕТОД КОНТРАЦЕПЦИИ
ЖЕНЩИН С ПРОЛАПСОМ ГЕНИТАЛИЙ**

Насимова Н.Р.

Цель: разработка принципов применения добровольной хирургической контрацепции для женщин репродуктивного возраста, планирующих операции по поводу пролапса гениталий.

Материал и методы: состояние здоровья изучено у 315 пациенток в возрасте от 30 до 45 лет. 253 из них были подвергнуты хирургическому лечению пролапса гениталий с одновременной добровольной хирургической стерилизацией и кольноперинео леваторопластикой с укреплением пузыр-

но-влагалищной фасции по методу Бума. **Результаты:** устранение генитального пролапса с одновременной добровольной хирургической контрацепцией у женщин способствует значительному улучшению качества половой жизни и качества жизни в целом. Объем оперативного вмешательства зависит также от состояния шейки матки. **Выводы:** трансвагинальная перевязка маточных труб эффективным методом контрацепции для пациенток пролапсом гениталий.

Ключевые слова: генитальный пролапс, добровольная хирургическая контрацепция, трансвагинальная перевязка маточных труб.

МОЛЕКУЛЯРНО-ГЕНЕТИЧЕСКИЕ МЕХАНИЗМЫ РАЗВИТИЯ ТРОМБОФИЛИИ У БОЛЬНЫХ САХАРНЫМ ДИАБЕТОМ

Турсунов Д.Х., Эргашова Ш.К., Икрамов А.Ш.

ДИАБЕТ БИЛАН ОҒРИГАН БЕМОРЛАРДА ТРОМБОФИЛИС МОЛЕКУЛЯР ГЕНЕТИК МЕХАНИЗМЛАРИ

Турсунов Д.Х., Эргашова Ш.К., Икрамов А.Ш.

MOLECULAR-GENETIC MECHANISMS OF DEVELOPMENT OF THROMBOPHILIA IN PATIENTS WITH DIABETES MELLITUS

Tursunov J.H., Ergashova Sh., Ikramov A.SH.

Ташкентская медицинская академия

Мақола қанди диабетнинг асорталаридан бири бўлмиси тромбофилия касаллига бағишиланган. Қанди диабетнинг 1 ва 2 типларида гемостаз тизимнинг яъни томирлар тонаси, қон шаклли элементларининг ҳолати ва плазма ферменталри фаоллашиши маълумдир [10,11]. З.С. Баркаган классификациясига кўрақанди диабет гематоген тромбофилиянинг VIII гуруҳига мансубdir яъни гемостаз тизимининг турли компонентларини бузилиши ва қоннинг биокимёвий маркиби ва моддалар алмашинувини ўзгариши билан кечиши.

Калим сўзлар: гомоцистеин, гипергомоцистинемия.

Review is dedicated to possible complications of diabetes – to thrombophilia. In diabetes type 1 and 2 confirmed activation of the hemostatic system involved to the regulation of vascular tone, to state of the blood cells and plasma enzyme systems [10,11]. According to the classification Z.S.Barkagan diabetes included in the VIII group hematogenous thrombophilia involving violations of the various components of the hemostatic system, due to changes in metabolism and to biochemical condition of blood. (13).

Keywords: homocysteine, hyperhomocystinemia.

Изучение механизмов нарушений гемостаза при сахарном диабете 1-го (ИЗСД) и 2-го (ИНЗСД) типов является одним из важных аспектов проблемы профилактики и лечения осложнений, ограничивающих срок жизни больных [12,21]. В настоящее время патогенез осложнений СД рассматривается с позиций теории глюкозотоксичности, согласно которой хронически повышенный уровень глюкозы крови является ведущим фактором, инициирующим многообразные биохимические и структурные изменения в клетках и тканях. Показано, что при СД главным патогенетическим механизмом развития микроангиопатии является гликозилирование сосудистой стенки.

Гемостатические нарушения у больных СД являются обычно комплексными и включают активацию естественных механизмов системы коагуляции, подавление фибринолитической активности, а также различные нарушения функции тромбоцитов. Известно, что внутрисосудистое тромбообразование в физиологических условиях содержится различными механизмами, среди которых важное место занимает тромбрезистентность сосудистой стенки, т.е. ее антитромбогенная активность [4,7,16,19]. Последняя определяется функциональным состоянием сосудистого эндотелия, в котором синтезируется простациклин – мощный вазодилататор и антиагрегант, препятствующий действию тромбоксана А2, выделяемого тромбоцитами при их активации. Эндотелий накапливает также важнейший физиологический антикоагулянт антитромбин III и синтезирует фактор Виллебранда, участвует в регуляции фибринолиза [9,16]. Избыточная активность протромбина (FII) в плазме крови также стимулирует формирование тромбов. Поэтому любые нарушения его функциональной активности влекут за собой множественные сдвиги в гемостатическом равновесии.

Одним из патогенетических факторов развития диабетической анигиопатии при СД являются изменения в системе сосудисто-тромбоцитарного звена гемостаза. Дисфункция систем коагуляции и фибринолиза на ранних стадиях заболевания приводит к появлению ретинопатии и нефропатии [7,16].

При увеличении длительности заболевания нарастает концентрация фибриногена, снижается фибринолитическая активность, что создает условия для повышенной возможности тромбообразования [18]. Тромбофилии при СД относят к группе «Метаболические формы», внутри которой генетические формы не выделяются. Это связано с тем, что гемокоагуляционные и реологические нарушения у пациентов с СД обоснованно рассматриваются как следствие характерных для этого заболевания метаболических нарушений и оксидативного стресса [7], в то время как сопряженность патологии гемостаза с генетической конституцией изучены недостаточно.

В патогенезе СД тесно переплетены метаболические, гемодинамические, гемостатические, иммунные и другие факторы, многие из которых генетически детерминированы. Однако, если о генетической предрасположенности к развитию определенного типа СД, его формы (например, моногенные формы или МODY-типы СД, митохондриальный диабет, а также его специфические формы, связанные с генетическими дефектами в действии инсулина) хорошо известно [7,12,16], то роль генетической конституции в подверженности (или, напротив, защищенности) к реализации варианта заболевания с поражением различных органов и систем изучена в значительно меньшей степени. В единичных работах изучена распространенность, клиническое и прогностическое значение полиморфизма C677T в гене метилентетрагидрофолатредуктазы (MTHFR) у больных СД. По мнению авторов, частота полиморфизма вышеперечисленных генов у больных СД и предопределяет риск развития тромбофилий [10,11].

К числу наиболее распространенных генных маркеров наследственных тромбофилий относятся мутации генов протромбина, MTHFR и фактора Лейдена [6,15,19,22]. У многих людей с наследственной тромбофилией нет никаких симптомов (или эти симптомы проходят незамеченными), поскольку тенденция к тромбофилии выражена недостаточно сильно. Эти генетические нарушения часто проявляются только при дополнительных условиях (особенности питания, беременность, прием лекарств). При

одновременном наличии обоих дефектов заболеваемость достигала 80%. В 1999 г. в Израиле были выведены отношения шансов развития тромбоза при разных сочетаниях генетических дефектов [20,22]. Они составили 58,6% при одновременном присутствии полиморфизма генов FV и протромбина; 35,0% – при полиморфизме генов FV и MTHFR; 7,7% – при полиморфизме генов FII и MTHFR.

Исследованиями О.В. Сибиревой и соавт. (2012) показано, что частота генотипа C/C гена MTHFR в группе здоровых людей составляет 0,63, у пациентов с СД2 встречается статистически значимо реже – 0,42, а при гетерозиготной форме C677T – среди здоровых и пациентов с СД1 обнаруживается соответственно в 58 и 50% случаев [10]. Встречаемость мутации гена G1691A (мутации FV Leiden), носительство которого предрасполагает к тромбозам, связанным с врожденной резистентностью к активированному протеину C, у больных СД1 типа была выше – у 33%, а среди пациентов с СД2 типа – только у 8%.

При оценке относительного риска (ОР) выявлена ассоциация полиморфизма G1691A в гене FV с СД1 типа (OR – 7,83; 95% ДИ (2,87; 21,46)). Частота мутантного G/A гена FII у здоровых лиц составила 3%, у пациентов с СД1 типа – 11%, СД2 типа – 25% (OR – 5,97; 95% ДИ (3,12; 18,23)). В группе больных СД с наличием полиморфизма генов MTHFR, FV и FII степень выраженности коагуляционного синдрома была большей. Для больных СД с протромботическими генотипами также была характерна гиперактивация тромбоцитов. В другом исследовании этих авторов показана зависимость протромботического генотипа и риска развития диабетической нефропатии вследствие четырехкратного увеличения образования микротромбозов в почечных капиллярах и ускорения темпа развития почечной недостаточности [11].

Как известно, полиморфизм C677T в гене MTHFR, наследуемый по аутосомно-рецессивному типу, сопряжен с нарушением метилирования гомоцистеина и, как следствие, – с развитием гипергомоцистинемии – одного из ключевых факторов риска гиперкоагуляционного синдрома и ангиопатии [4,13]. Замена цитозина на тимин в 677 положении приводит к снижению функциональной активности фермента до 35% от среднего значения. Гомоцистеин – продукт метаболизма метионина – одной из 8 незаменимых аминокислот организма. В норме он не накапливается, высокие его концентрации оказывают токсическое действие на клетку. Циркулируя в крови, гомоцистеин повреждает сосуды, тем самым повышая свертываемость крови и образование микротромбов в сосудах. Снижение активности MTHFR – одна из важных причин накопления гомоцистеина в крови [3,5,8].

Мутация в гене, кодирующем MTHFR (фермент, катализирующий превращение N5,10-метилен-THF в донора метильной группировки – N5-метил-THF), связана с умеренным повышением уровня гомоцистеина [14,15]. При гетерозиготном варианте (677C→T) активность фермента снижена на 30%, а при гомозиготном – на 70%, что на фоне пищевой недостаточности фолата приводит к росту уровня гомоцистеина плазмы крови [6]. Гомозиготность для генных мутаций MTHFR является наиболее распространённой причиной ГГЦ. Гомозиготность для MTHFR C677T и A1298C полиморфизмов присутствует соответственно у 10-16 и 4-6% всех европейцев [6]. Миссенс-мутация C677T гена приводит к снижению активности фермента и накоплению гомоцистеина. У гомозигот по полиморфному аллелю активность фермента *in vitro* снижена на 70%, а у гетерозигот – на 35%. Этот дефект выявляется у 1,4-15% белого населения. Данные мета-анализа показали, что у носителей термолабильного варианта MTHFR

вероятность развития коронарной недостаточности на 16% выше, чем в контроле [1,20]. По другим данным, увеличение концентрации гомоцистеина в плазме крови более 22 мкмоль/л ведет к возрастанию риска (отношения шансов) развития тромбоза глубоких вен до 4,0 [2,3,13]. Сниженная активность MTHFR может привести к замедлению метилирования гомоцистеина с его последующим накоплением. В то же время сниженная активность этого фермента означает недостаточную выработку окиси азота – важнейшего вазодилататора. Это, в свою очередь, ведет к сужению кровеносных сосудов с нарушением целостности эндотелия и последующим тромбированием [6,13]. Конкретная роль мутации гена MTHFR C677T именно в тромбообразовании до конца не выяснена, хотя ученые занимаются этой проблемой уже более 10 лет, однако то, что она влияет на сосуды, повреждает их, способствуя образованию сгустка, уже нашло свое подтверждение.

Избыточная активность протромбина (FII) в плазме крови также стимулирует формирование тромбов. Протромбин – предшественник тромбина, конечного продукта каскада коагуляции, обладающий, помимо прокоагулянтной, также антикоагулянтной и антифибринолитической активностью [4,11,17]. Поэтому любые нарушения его функциональной активности влекут за собой множественные сдвиги в гемостатическом равновесии. Мутация гена протромбина (протромбин G20210A) встречается, главным образом, среди белого населения, причем наиболее он распространен в Испании [10,11]. Общая его распространенность в различных регионах варьирует от 0,7 до 6,5%. Протромбин G20210A повышает риск развития тромбоза у носителя приблизительно втрое по сравнению с нормой. При этом как генетическая аномалия, так и повышенная протромбиновая активность в равной мере являются маркерами предрасположенности к тромботическому заболеванию.

В 1981-1982 гг. выявлены тромбофилии, вызванные дефицитом PC и PS. Затем была обнаружена резистентность FVa к активированному PC. Активированный PC ингибирует FVa и FVIIIa, замедляя выработку тромбина [1,4]. Вскоре эта аномалия была идентифицирована как замещение единичной аминокислоты в одном из субстратов PC – FV; позднее она получила название FV Лейден [19]. В дальнейшем было открыто множество генетических мутаций, обуславливающих дисфункцию факторов гемостаза, антикоагуляции и фибринолиза и объясняющих склонность больных к тому или иному виду тромбофилии в аспекте риска тромбоза [6,8].

FVL-мутация встречается в основном среди представителей белой расы [1,4,8]. Ее распространенность составляет 5-8%, в отдельных регионах (Греция, Швеция, Ливан) достигая 15%. Многие исследования показывают, что FV Лейден может быть причиной тромбоза глубоких вен, нередко переходящего в ТЭЛА. Кроме того, эта мутация может обусловливать повторяющиеся выкидыши вследствие тромбоза плацентарных сосудов. Не менее 25% носителей FVL в возрасте 50 лет имеют хотя бы один случай тромботического заболевания. В целом риск развития тромбэмболии у гетерозиготных носителей этой мутации увеличен семикратно по сравнению с нормой; для гомозиготных носителей риск развития тромботических заболеваний возрастает в 80 раз [8,10,11].

Полиморфный вариант 4G затрагивает промоторную область и сопровождается повышенной экспрессией гена и повышением уровня PAI-1 в крови [17,19,20]. В результате снижается активность тромболитической системы. Различия в фенотипических проявлениях генотипа PAI-1 обусловлены тем, что с промотором гена 5G может связываться как активатор, так и репрессор, а с промотором

гена 4G – только активатор. Поэтому ген 5G легко включается и легко выключается, а ген 4G легко включается, но плохо выключается. Риск тромбообразования возрастает примерно в 1,7 раза как у гомозигот, так и у гетерозигот.

Система фибринолиза включает два основных компонента: плазминоген и тканевой t-PA. Под действием t-PA в присутствии фибрина плазминоген превращается в активный фермент плазмин (фибринолизин), растворяющий фибрин с образованием растворимых продуктов деградации фибрина [4,21]. Дефицит какого-либо из компонентов системы фибринолиза (количественный или функциональный) означает снижение растворения фибрина и избыточное присутствие фибриновых волокон, т.е. предрасположенность к тромбозу и тромбоэмболии. Распространенность дефицита плазминогена составляет 0,5-2% от общего количества случаев тромботических заболеваний. PAI-1 подавляет t-PA; его избыток означает повышенный тромботический риск. Однако компоненты фибринолитической системы увеличивают риск развития тромбоза и тромбоэмболии не столько самостоятельно, сколько в сочетании с другими наследственными факторами тромбофилии.

Это ген семейства ядерных рецепторов, активируемых пролифераторами пероксисом [20,21]. Функции этого транскрипционного фактора заключаются в регуляции генов, связанных с аккумуляцией жира, дифференцировкой адипоцитов и миобластов, а также с чувствительностью к инсулину. Продукты экспрессии гена регулируют работу многих генов, вовлеченных в обмен жиров, углеводов и белков. Регуляция заключается в повышении экспрессии одних и подавлении экспрессии других генов. Продукт экспрессии гена PPARGC1A играет ключевую роль в метаболизме клеток миокарда. В гене PPARGC1A обнаружен ряд полиморфных маркеров, которые показали ассоциацию с инсулинерезистентностью и СД2 типа. К таким маркерам относится полиморфизм Ser482Gly (A/G). В мета-анализе 3-х исследований взаимосвязь полиморфизма Ser482Gly и СД2 аллель A(Ser) увеличивал риск развития диабета в 1,34 раза [20-22]. Также выявлено, что полиморфизм Ser482Gly является фактором риска развития артериальной гипертензии у лиц, болеющих сахарным диабетом, независимо от возраста, степени ожирения, дислипидемии и функционирования почек. Кроме того, выявлена ассоциация данной мутации с развитием метаболического синдрома и гипертонии. Это связано с тем, что у носителей редкого аллеля G окисление жирных кислот в миокарде, скелетных мышцах и печени происходит менее эффективно, чем у AA гомозигот.

Имеется много работ, свидетельствующих о нарушении функции эндотелия сосудов, тромбоцитов, процессов фибринолиза и свертывания крови при СД. Повышение функциональной активности тромбоцитов и снижение антитромбогенных свойств сосудистой стенки у больных СД может явиться одним из патогенетических механизмов развития и прогрессирования диабетической ангиопатии, создать условия для возникновения внутрисосудистой агрегации тромбоцитов, их адгезии к сосудистой стенке и тромбогенеза. Однако результаты исследований функциональной активности тромбоцитов у больных СД, осложненным и не осложненным микроangiопатией противоречивы. Это определяет целесообразность дальнейшего всестороннего и комплексного изучения состояния системы гемостаза и тромбогенеза сосудистой стенки и их роли в развитии и прогрессировании сосудистых осложнений при СД.

Известно, что гипергомоцистинемия (либо наследственная, обусловленная полиморфизмом гена MTHFR, либо приобретённая) является фактором развития тромбофилии. Несмотря на длительное активное изучение причинной связи между накоплением в крови аминокислоты гомоцисте-

ина и сосудисто-тромботическими проявлениями, пока не удалось получить ответы на многие важные вопросы, такие как роль гомоцистеина в свёртываемости крови; механизмы взаимодействия и точки приложения гомоцистеина и процессов свёртываемости крови; значение протромбогенного действия гомоцистеина в патогенезе заболеваний.

Литература

1. Васильев С.А., Виноградов В.Л. Роль наследственности в развитии тромбозов // Тромбоз, гемостаз и реология. – 2007. – №3. – С. 32-40.
2. Виноградов В.Л., Орёл Е.Б., Васильев С.А. Гипергомоцистинемия как фактор тромботического риска // Тромбоз, гемостаз и реология. – 2009. – №3 (39). – С. 12-20.
3. Колешев Ю.А., Костюченко Г.И. Гомоцистеин. Роль в патологии. – М., 2005. – 17 с.
4. Момот А.П. Патология гемостаза. Принципы и алгоритм клинико-лабораторной диагностики. – СПб: Фарма Т, 2006. – 208 с.
5. Наумов А.В. Роль нарушений процессов метилирования и обмена метионина в патогенезе заболеваний человека // Журн. ГрГМУ. – 2007. – №1. – С. 4-7.
6. Наумов А.В., Гриневич Т.Н., Найдина В.М. Гомоцистеин в патогенезе микроциркуляторных и тромботических осложнений // Тромбоз, гемостаз и реология. – 2012. – №1 (49). – С. 9-19.
7. Нелаева А.А., Хасанова Ю.В. Роль гемостаза // Сахарный диабет и хроническая болезнь почек; Под ред. М.В. Шестакова, И.И. Дедова. – М.: ООО «МИА», 2009. – С. 118-126.
8. Озолина Л.А., Патрушев Л.И., Шполянская Н.Ю. и др. Распространённость мутаций в генах фактора V (G1691 A, Leiden), протромбина (G20210A) и метилентетрагидрофолатредуктазы (C677T) среди бременных московской популяции и их связь с патогенезом // Тромбоз, гемостаз и реология. – 2001. – №1 (5). – С. 47-53.
9. Петрищев Н.Н. Дисфункция эндотелия. Причины, механизмы, фармакологическая коррекция. – СПб, 2005. – 184 с.
10. Сибирева О.Ф., Уразова О.И., Калюжин В.В., Калюжина М.И. Соотносимость полиморфизма генов метилтетрагидрофолатредуктазы (C677T), факторов II (G20210A) и V (G1691A) с изменениями показателей свертывающей системы крови при сахарном диабете 1 и 2 типа // Досягнення біології медицини. – 2012. – №1 (19). – С. 67-70.
11. Сибирева О.Ф., Хитринская Е.Ю., Калюжин В.В. и др. Полиморфизм генов II, V факторов свертывания крови и метилентетрагидрофолатредуктазы у больных диабетической нефропатией: распространенность, клиническое и диагностическое значение // Сахарный диабет. – 2010. – №1. – С. 6-9.
12. Таганович А.Д., Олецкий Э.И., Котович И.Л. Патологическая биохимия. – М: БИНОМ, 2013. – С. 11-35.
13. Шевченко О.П. Гомоцистеин и его роль в клинической практике (лекция) // Клин. лаб. диагностика. – 2008. – №11. – С. 25-32.
14. Шмелева В.М. Роль гипергомоцистинемии в формировании протромботических нарушений системы гемостаза: Автореф. дис. ... д-ра мед. наук. – СПб, 2010. – 41 с.
15. Шмелева В.М., Папаян Л.П. Клинико-лабораторная диагностика и лечение тромбофилии, обусловленной гипергомоцистинемией. – СПб: ФГУ РосНИИГТ Росметодтехнологий, 2008. – 34 с.
16. Щепанкевич Л.А. Ишемический инсульт у больных с сахарным диабетом 2 типа: кровь и сосудистая стенка: Автореф. дис. ... д-ра мед. наук. – М., 2014.
17. American College of Chest Physicians (ACCP) Evidence-Based Clinical Practice Guidelines for Antithrombotic and Thrombolytic therapy (8th Edition) recommendations on venous thromboembolism, thrombophilia, antithrombotic therapy, and pregnancy can be found // Chest. – 2008. – Vol. 133 (Suppl. 6). – P. 844S.
18. American Society of Plastic Surgeons evidence-based patient safety advisory on blood dyscrasias can be found in Plast Reconstr // Surgery. – 2009. – Vol. 124 (4 Suppl.). – P. 82S.
19. British Committee for Standards in Haematology guideline on testing for heritable thrombophilia can be found // Brit. J. Haematol. – 2010. – Vol. 149, №2. – P. 209.
20. Colman R.W., Marder V.J., Clowes A.W. et.al. Hemostasis and thrombosis. Basic principles and clinical practice. – Philadelphia, 2006. – 1827 p.
21. French Group on Haemostasis and Thrombosis/French Society of Vascular Medicine consensus guideline on testing for thrombophilia in venous thromboembolic disease can be found // J. Mal. Vasc. – 2009. – Vol. 34, №3. – P. 156.
22. Khan S., Dickerman J.D. Hereditary thrombophilia // Thromb. J. – 2006. – Vol. 4. – P. 15-38.

МОЛЕКУЛЯРНО-ГЕНЕТИЧЕСКИЕ МЕХАНИЗМЫ РАЗВИТИЯ ТРОМБОФИЛИИ У БОЛЬНЫХ САХАРНЫМ ДИАБЕТОМ

Освещены возможные осложнения сахарного диабета – тромбофилии. При сахарном диабете 1-го и 2-го типов подтверждена активация всех систем гемостаза, участвующих в регуляции тонуса кровеносных сосудов, состояния клеток крови и плазменных ферментных систем. Сахар-

ный диабет входит в VIII группу гематогенных тромбофилий, связанных с нарушениями различных компонентов системы гемостаза, вследствие изменения обмена веществ и биохимического состава крови. Обсуждается механизм развития тромбофилии, ее генетические аспекты.

Ключевые слова: сахарный диабет, тромбофилии, мутации генов, гомоцистеин, гипергомоцистеинемия.

ASSESSMENT OF HEMODYNAMIC PARAMETERS IN PATIENTS WITH CHRONIC KIDNEY DISEASE

Saipova D.S., Ruzmetova I.A., Egamberdieva D.A.

ОЦЕНКА ГЕМОДИНАМИЧЕСКИХ ПАРАМЕТРОВ У БОЛЬНЫХ ХРОНИЧЕСКОЙ БОЛЕЗНЬЮ ПОЧЕК

Саипова Д.С., Рузметова И.А., Эгамбердиева Д.А.

СУРУНКАЛИ БҮЙРАК КАСАЛЛИГИ БИЛАН КАСАЛЛАНГАН БЕМОРЛАРДА ГЕМОДИНАМИК КҮРСАТ-КИЧЛАРНИ БАҲОЛАШ

Саипова Д.С., Рузметова И.А., Эгамбердиева Д.А.

Tashkent Pediatric Medical Institute, Uzbekistan

Мақсад: Сурункали бүйрак касаллиги билан оғриган беморларда юрак миокардин функциональ ва тузилмавий ўзгаришларни ўрганиши. **Материал ва методлар:** 2014- 2016 йиллар давомида ТТА З клиникаси нефрология бўлимида даволанган сурункали бүйрак касаллиги бўлган 82 та бемор. Барча беморлар "Samsung Medi-o'g'li Accuvix V20» (Корея) эхокардиографидаги текширувдан ўтган. **Натижалар:** Сурункали бүйрак касаллиги бор беморларда чап қоринча миокард массаси индекси 48,2% ҳолатда нормал кўрсаткичдан юқори. Сурункали бүйрак касаллиги II-III босқичларида чап қоринча миокард массаси индекси мос равишда 140 ± 5 g / m² ва 142 ± 6 g / m² ташкил этди, сурункали бүйрак касаллигининг I босқичида чап қоринча миокард массаси индекси сурункали бүйрак касаллиги IV босқичи чап қоринча миокард массаси индекси мос равишда 124 ± 6 g / m² ($r \leq 0,001$) ва 146 ± 7 g / m² ($r \leq 0,001$) ташкил этди. **Хуноса:** Сурункали бүйрак касаллигининг дастлабки босқичларида ва нормотензив беморларда ҳам диастолик дисфункцияни учраши қузатилди.

Калит сўзлар: Сурункали бүйрак касаллиги, кардиоренал синдром, чап қоринча диастолик дисфункцияси, чапқоринча гипертрофияси, чап қоринча миокард массаси индекси

Цель: изучение выраженности функциональных и структурных изменений миокарда при различных стадиях ХБП. **Материал и методы:** под наблюдением были 82 пациента с хронической болезнью почек, находящихся на лечении в отделении нефрологии 3-й клиники ТМА в 2014-2016 гг. **Результаты:** индекс массы миокарда левого желудочка (ИММЛЖ) был выше нормы у 48,2% больных с ХБП. При ХБП I ст. диастолическая дисфункция встречалась у 23%, при ХБП II ст. у 30%, при ХБП III ст. у 51% пациентов, при ХБП IV ст. - у 62%. Следует отметить, что при ХБП I ст. диастолическая дисфункция встречалась почти у четверти больных, ее частота увеличивалась по мере прогрессирования ХБП, достигая максимальных значений при ХБП IV ст. **Выводы:** у больных с ХБП на ранних стадиях, в том числе и у нормотензивных больных, выявляется диастолическая дисфункция левого желудочка.

Ключевые слова: хроническая болезнь почек, кардиоренальный синдром, диастолическая дисфункция левого желудочка, гипертрофия левого желудочка, индекс массы миокарда.

Introduction. Chronic kidney disease (CKD) is one of the leading causes in the overall morbidity and mortality. Cardiorenal relationships are determined by common mechanisms of formation and progression of lesions of the cardiovascular and renal systems in such common in the general population diseases as hypertension, diabetes mellitus, generalized atherosclerosis [6,9,12]. Currently, the decline in renal function is regarded as a factor of accelerated development of pathology of the cardiovascular system [3,10]. The presence of moderate renal dysfunction was associated with increased prevalence of coronary heart disease and cerebrovascular pathology [6,8]. The interdependence of pathological processes of the cardiovascular system and kidneys determines cardiorenal relationships as a continuous chain of events, constituting a vicious circle of cardiorenal continuum [3,7]. However, a number of aspects of this problem remain poorly understood.

The study of formation of cardiovascular changes depending on the stage of CKD and clarify the role of risk factors of cardiovascular diseases in patients with CKD allow to determine the direction of therapeutic effects and to develop preventive approaches to cardio- and renoprotection in patients with different stages of CKD.

The aim of the study was to establish the degree of myocardial functional and structural changes, depending on the stage of CKD.

Materials and Methods

All patients underwent echo-cardiography on the device "Samsung Medison Accuvix V20" (Korea). There were measured and counted the following morphometric parameters of the heart: the interventricular septal thickness (IST, cm), the left

ventricular posterior wall thickness (LVPWT), relative wall thickness (RWT), the left ventricular end-diastolic dimension (EDD, cm), end-systolic dimension (ESD, cm), the left atrial diameter (LAD, cm), the left ventricular myocardial mass index (LVMMI, g/m²), end-systolic volume (ESV, ml), end-diastolic volume (EDV, ml), stroke volume (SV, ml), ejection fraction (EF, %). LV diastolic function was studied in all patients according to the transmitral blood flow. We evaluated the following Doppler parameters: the maximal speed of early diastolic filling (E peak, m/s), the maximum rate of filling of the left ventricle in systole (A peak, m/s), the ratio of these velocities, E/A (normal 1.0-2.0) and the LV isovolumic relaxation time (IVRT).

Statistical analysis of the data obtained was performed using conventional methods of parametric and non-parametric statistics using the package of applied statistical programs Statistica for Windows, version 6.0.

Common clinical and laboratory characteristics of patients

The study included 82 patients with CKD, hospitalized in the Department of Nephrology of the 3rd clinic of TMA in the period from 2014 to 2016.

Inclusion criteria were: CKD of I-IV stages, chronic glomerulonephritis, confirmed morphologically, chronic pyelonephritis, polycystic kidney disease, lack of clinical and laboratory signs of exacerbation of the underlying disease within the last 6 months.

The diagnosis and stage of CKD was determined in accordance with the recommendations of the All-Russian scientific society of cardiologists GFCF (2008) and the National Kidney Foundation (K/DOQI, 2002). As the main causes of CKD in

ASSESSMENT OF HEMODYNAMIC PARAMETERS IN PATIENTS WITH CHRONIC KIDNEY DISEASE

the patients studied were diagnosed: chronic glomerulonephritis in 52 (63.4%), chronic pyelonephritis in 26 (31.7%), and polycystic kidney disease in 4 patients (4.9%). Stages of CKD patients were as follows: I stage CKD – in 19 patients (23%), II stage CKD – in 18 (22%) patients, III stage CKD – in 36 patients (44%), IV stage CKD – in 9 (11%) patients. Thus, the surveyed group was represented by patients with primary kidney disease with a stable course of illness without established primary pathology of the cardiovascular system and diabetes.

The average age was 45.0 ± 0.8 years (ranges from 20 to 57 years). The majority of patients were less than 50 years old

(60.9%). Table 1 shows the distribution of patients, according to gender, age, and the stage of CKD.

Table 1
The distribution of patients by CKD stages, age, gender and duration of disease

Stage of CKD	Number of patients		Age, years (M±m)	Duration of disease, months (M±m)
	Total	Males		
I	19	8	39.8±1.5	5.2±1.0
II	18	5	43.8±1.8	6.2±1.3
III	36	16	44.7±1.4	9.2±1.4
IV	9	4	52.3±3.8	9.2±1.4

Results of the study

REMODELING AND FUNCTIONAL STATE OF MYOCARDIUM IN PATIENTS WITH CKD

Echocardiography was carried out in order to study structural-functional changes of the myocardium. Table 2 shows the echocardiographic data of the studied patients, depending on CKD stages.

Table 2

Echocardiographic data of patients, depending on the stage of CKD

Index	CKD				P
	I stage N=19 (M±m)	II stage N=18 (M±m)	III stage N=36 (M±m)	IV stage N=9 (M±m)	
	1	2	3	4	
LVPWT, mm	10.5±0.2	10.3±0.2	11.8±0.2	12.1±0.2	1.3≤0.01 1.4≤0.001 2.3≤0.05 2.4≤0.005
IST, mm	10.8±0.2	11.4±0.3	12.3±0.3	12.8±0.3	1.3≤0.001 1.4≤0.0001 2.3≤0.0001 2.4≤0.00001
LVEDD, mm	46.6±0.7	47.2±0.5	48.2±0.8	48.9±1.1	1.4≤0.05
RWT	0.44±0.01	0.44±0.01	0.50±0.01	0.50±0.01	1.3≤0.0001 1.4≤0.0005 2.3≤0.0005 2.4≤0.001
LAD, mm	38.2±0.5	38.4±0.8	40.5±0.7	41.8±0.7	1.3≤0.05 1.4≤0.001 2.3≤0.05 2.4≤0.001
LVMMI, g/m ²	124±6	140±5	142±6	146±7	1.2≤0.01 1.3≤0.001 1.4≤0.05
EF, %	70±4	71±4	65±4	61±3	1.4≤0.05
E/A	1.33±0.05	1.13±0.04	1.08±0.04	1.06±0.06	1.4≤0.05
IVRT, msec	76.5±8.3	95.0±16	97.1±8.9	106.2±5.1	1.3≤0.05 1.4≤0.05 2.3≤0.05 2.4≤0.05
dT, mces	200.0±13.3	201.0±13.5	234.9±12.1	241.8±7.3	p≥0.05
SV, ml	68.8±4.8	66.7±2.9	90.0±4.0	98.3±5.9	p≥0.05

Noteworthy, LVMMI increased in I stage CKD. The size of the right ventricle was not significantly changed and remained within the normal range – 124 ± 6 g/m² ($P\geq0.1$). The size of the left atrium in CKD of I and II stages were normal – 140 ± 5 g/m², but increased in CKD of III stage to 142 ± 6 g/m² and in CKD of IV stage to 146 ± 7 g/m² ($P\leq0.01$). Global myocardial contractility that characterizes LV systolic function was estimated based on EF. It was preserved regardless of the stage of CKD ($P\geq0.1$).

At the same time, indicators of LV diastolic function changed. Thus, the value of E/A ratio peak in patients with CKD of I and II stages were in normal ranges. In CKD of III and IV stages it was significantly decreased to 1.08 ± 0.04 and 1.06 ± 0.06 , respectively ($P\leq0.0005$). IVRT, which characterizes LV active relaxation, remained normal in CKD of I-III stages, however, increased in CKD of IV stage ($P\leq0.05$). The deceleration time of early diastolic filling, which characterizes the stiffness of

the myocardium, was normal only in patients with CKD of I stage. In CKD of II-IV stages, the indicator increased, reaching maximum values in IV stage CKD to 241.8 ± 7.3 msec ($P \leq 0.001$).

Among patients with I stage CKD, diastolic dysfunction was noted in 23% of cases ($P \leq 0.0001$). In II stage CKD, it was diagnosed in 30% of patients ($P \leq 0.0001$) (Table 3). In III stage CKD, the number of patients with and without LVDD was not significantly different: 51% and 49%, respectively ($P \geq 0.01$). In IV stage CKD, LVDD was revealed in 62% of patients ($P \leq 0.001$). It should be noted that in I stage CKD, diastolic dysfunction was found almost in a quarter of patients, and its frequency continued to increase with increasing severity of CKD, reaching maximum values in CKD of IV stage.

The myocardial functional state in ckd

Table 3

The proportion of patients with left ventricular myocardial diastolic dysfunction in CKD

	I stage	II stage	III stage	IV stage	Total	P
	1	2	3	4		
Patients without LVDD	76.8%	69.2%	48.9%	38%	59.1%	1.4 ± 0.001 2.4 ± 0.005 3.4 ± 0.005
Patients wit LVDD	23.2%	30.8%	51.1%	62%	48.9%	1.3 ± 0.001 1.4 ± 0.001 2.3 ± 0.001 2.4 ± 0.001
Total	25.2%	23.7%	35.7%	15.4%	100%	
P	≤ 0.0001	≤ 0.0001	≥ 0.01	≤ 0.001	≤ 0.01	

The index of E/A in patients with CKD was 1.14 ± 0.02 , and in the control group was 1.48 ± 0.06 , respectively ($P \leq 0.01$). There were correlations between GFR $r=0.245$ ($P \leq 0.01$), hemodynamic parameters: duration of hypertension: $r=-0.240$ ($P \leq 0.005$), LVMMI $r=-0.143$ ($P \leq 0.05$), LAD $r=0.226$ ($P \leq 0.001$), IST $r=-0.406$ ($P \leq 0.0001$), IVRT $r=-0.546$ ($P \leq 0.001$), dT $r=0.443$ ($P \leq 0.001$).

Discussion

Currently, glomerular filtration rate (GFR) and albuminuria are recognized as markers of unfavorable overall and cardiovascular prognosis in general population that determines multidisciplinary and socially relevant problems of cardiorenal relationships in chronic kidney disease [2,3,4,5]. According to epidemiological studies, the prevalence of renal dysfunction in the general population acquires a global character [11,12]. The decline in kidney function currently regarded as a factor of accelerated development of cardiovascular pathology [7,9,12].

Most of the studies, dedicated to the interaction between renal dysfunction and cardiovascular risk in patients in the general population with established cardiovascular diseases, are epidemiological and state unfavorable prognosis in relation to cardiovascular events at GFR reducing [6,7,9].

There were accumulated extensive clinical and experimental data on cardiorenal relationships in the terminal stage of CKD, on the background of treatment with chronic hemodialysis and at the time of substitution therapy, indicating accelerated development of atherosclerosis and arteriosclerosis in these patients [3,6].

It is established that LVH is revealed with GFR reducing to 49-25 ml/min [1]. In our study, we obtained the evidence of the left ventricle remodelling in patients in early stages of CKD. LVMMI was higher than norm in 48.2% of patients with CKD. In CKD of II-IV stages LVMMI exceeded the normal values of 140 ± 5 g/m², 142 ± 6 g/m², and 146 ± 7 g/m², respectively ($P \leq 0.001$) and were highest in CKD of IV stage, compared with I stage CKD, respectively, 146 ± 7 g/m² and 124 ± 6 g/m² ($P \leq 0.001$). It is characteristic that the highest values of LVMMI were observed in patients with hypertension, who did not reach target levels of blood pressure (high normal BP) - 157 ± 15 g/m². In normotensive patients, LVMMI was significantly lower and amounted to 108 ± 8 g/m². In patients achieved target BP levels, LVMMI was not

significantly different from this index in normotensive patients (118 ± 8 g/m² vs. 108 ± 8 g/m², respectively).

Currently, the left ventricular myocardial remodeling is regarded as the most important factor determining the prognosis of patients [5].

In I stage CKD, diastolic dysfunction was found in 23%, in II stage – in 30%, in III stage – in 51% and in IV stage CKD – in 62% of patients, respectively. It should be noted that in I stage CKD diastolic dysfunction was found almost in a quarter of patients, and its frequency increased with CKD progression, reaching the maximum values in IV stage CKD. Among patients with achieved target BP levels, diastolic function was reduced in 36% of patients, in patients, who did not reach target BP levels – in 71% of patients ($P \leq 0.001$). In normotensive patients, diastolic dysfunction was noted in 48.2% of cases. The deceleration time of early diastolic flow (dT) in patients with CKD totaled 217.0 ± 4.3 msec, while in the control group was 145.8 ± 2.5 msec ($P \leq 0.0001$). Average values of dT were normal in patients with I stage CKD – 200.0 ± 13.3 msec and was maximal in patients with IV degree CKD 241.8 ± 7.3 msec ($P \leq 0.05$). There were correlation relationships between dT and duration of hypertension ($r=0.256$, $P \leq 0.01$) and GFR ($r=-0.218$, $P \leq 0.005$).

Thus, for the first time it was shown that LVDD develops in patients with CKD in the early stages, including normotensive patients.

Conclusions

1. The left ventricle myocardial mass index (LVMMI) was higher normal values in 48.2% of patients with CKD. In CKD of II-IV stages LVMMI exceeded the normal values of 140 ± 5 g/m², 142 ± 6 g/m², and 146 ± 7 g/m², respectively ($P \leq 0.001$) and were highest in CKD of IV stage, in comparison with CKD of I stage (146 ± 7 g/m² vs. 124 ± 6 g/m², respectively) ($P \leq 0.001$).

2. In CKD of I stage, diastolic dysfunction was found in 23%, in II stage – in 30%, in III stage – in 51% of patients and in CKD of IV stage – in 62% of patients, respectively. It should be noted that in CKD of I stage diastolic dysfunction was marked almost in a quarter of patients, and its frequency increased with CKD progression, reaching the maximum values in CKD of IV stage.

References

- Гендлин Г.Е., Шило В.Ю., Томилина Н.А. и соавт. гипертрофия миокарда левого желудочка и ее прогностическое значение при хронической болезни почек // Клин, нефрология. — 2009. — №1. - С.22-29.
- Мухин Н.А., Арутюнов Г.Л., Фомин В.В. Альбуминурия - маркер поражения почек и риска сердечно - сосудистых осложнений // Клин, нефрология. - 2009. - №1. - С.5-10.
- Смирнов А.В., Каюков И.Г., Добронравов В.А. Концепция факторов риска в нефрологии: вопросы профилактики и лечения хронической болезни почек // Нефрология. - 2008. - Т.12, №1. - С.7-14.
- Agrawal V., Marinescu V., Agrawal M., McCullough P.A. Cardiovascular implications of proteinuria: an indicator of chronic kidney disease // NatRev.Cardiol. -2009. -Vol.6, №4. -P.301-311.
- Dukkipati R., Adler S., Mehrotra R. Cardiovascular implications of chronic kidney disease // Drugs Aging. - 2008. - Vol.3. - P.241-253.
- Foley R.N., Wang C., Collins A. J. Cardiovascular risk factor profiles and kidney function stage in the US general population: the NHANES III study // Mayo Clin. Proc. - 2005. - Vol. 80. - P. 1270-1277.
- Glynn L.G., Reddan D., Newell J. et al. Chronic kidney disease and mortality and morbidity among patients with established cardiovascular disease: a West of Ireland community-based cohort study // Nephrol. Dial. Transplant. - 2007. - Vol.22. - P.2586-2594.
- Majunath G., Tighionart H., Ibrahim H. et al. Level of kidney function as a risk factors for atherosclerotic cardiovascular outcomes in the community // J. Am. Coll. Cardiol. -2003. -Vol.41. -P.47- 55.
- Nakamura K., Okamura T., Hayakawa T. et al. Chronic kidney disease is a risk factor for cardiovascular death in a community-based population in Japan: NIPPON DATA90 // Circ. J. - 2006. - Vol.70, №8. - P.954-959.
- Nitsch D., Dietrich D.F., von Eckardstein A. et al. Prevalence

ASSESSMENT OF HEMODYNAMIC PARAMETERS IN PATIENTS WITH CHRONIC KIDNEY DISEASE

of renal impairment and its association with cardiovascular risk factors in a general population: results of the Swiss SAPAZDIA study // Nephrol. Dial. Transplant. - 2006. - Vol.21. - P.935-944.

13. Poggio E.D., Rule A.D. A critical evaluation of chronic kidney disease—should isolated reduced estimated glomerular filtration rate be considered a disease // Nephrol. Dial. Transplant. - 2009. - Vol.24. - P.698-700.

14. Shlipak M.G., Fried L.F., Cushman M. et al. Cardiovascular mortality risk in chronic kidney disease: comparison of traditional and novel risk factors // JAMA. - 2005. - Vol.293. - P.1737-1745.

ASSESSMENT OF HEMODYNAMIC PARAMETERS IN PATIENTS WITH CHRONIC KIDNEY DISEASE

Saipova D.S., Ruzmetova I.A., Egamberdieva D.A.

Objective: To establish the degree of myocardial functional and structural changes, depending on the stage of CKD. **Materials and Methods:** The study included 82 patients with CKD, hospitalized in the Department of Nephrology of the 3rd clinic of TMA in the period from 2014 to 2016. All patients underwent echo-cardiography

on the device "Samsung Medison Accuvix V20" (Korea). **Results:** In patients with CKD, the left ventricular myocardial mass index (LVMMI) exceeded the norm in 48.2% of patients with CKD. In CKD of II-IV stages LVMMI exceeded the normal values of $140\pm 5 \text{ g/m}^2$, $142\pm 6 \text{ g/m}^2$, and $146\pm 7 \text{ g/m}^2$, respectively ($P\leq 0.001$) and were highest in CKD of IV stage, compared with CKD of I stage, respectively ($146\pm 7 \text{ g/m}^2$ vs. $124\pm 6 \text{ g/m}^2$) ($P\leq 0.001$). In CKD of I stage, diastolic dysfunction was found in 23%, in CKD of II stage in 30%, in CKD of III stage in 51% of patients and in CKD of IV stage – in 62% of patients, respectively. It should be noted that in CKD of I stage, diastolic dysfunction was found almost in a quarter of patients, and its frequency increased with CKD progression, reaching the maximum values in CKD of IV stage. **Conclusions:** Thus, for the first time left ventricle diastolic dysfunction was revealed in patients with CKD in the early stages, including normotensive patients.

Key words: chronic kidney disease, cardiorenal syndrome, left ventricle diastolic dysfunction, left ventricle hypertrophy, myocardial mass index.

Трибуна
молодых

К СВЕДЕНИЮ АВТОРОВ

Статьи принимаются только оформленные в строгом соответствии с приведенными правилами!

ПРАВИЛА ОФОРМЛЕНИЯ РУКОПИСЕЙ

I. Рукопись статьи представляется в двух экземплярах с электронной версией, на узбекском или русском языках с экспертным заключением, сопроводительным письмом направляющего учреждения и рефератом (не менее 10 и не более 15 строк) на узбекском, русском и английском языках.

II. Рукопись должна быть набрана только на компьютере в программе «Word.» и распечатана четким шрифтом , размером 14 на одной стороне листа (форматA4) через полтора интервала с полями. Объем статьи не должен превышать указанного в каждой конкретной рубрике.

III. Структура статьи:

- вводная часть;
- методы исследований;
- результаты исследований;
- обсуждение;
- выводы;
- список использованной литературы, составленный в соответствии с библиографическими правилами.

Изложение материала должно быть ясное, сжатое, без длинных введений, повторений и дублирования в тексте таблиц и рисунков.

IV. Каждая статья должна содержать:

- 1) шифр УДК;
- 2) полное название статьи; На русском, узбекском и на английском языках
- 3) ученую степень, научное звание, инициалы и фамилии авторов;
- 4) название учреждения, в котором выполнена работа, с указанием инициалов и фамилии научного руководителя;
- 5) почтовый электронный адрес и телефоны автора, с кем следует вести редакционную работу.
- 6) визу руководителя работы или учреждения на право ее опубликования, а в конце статьи – подписи всех авторов.
- 7) слова, которые, по мнению автора должны быть выделены, подчеркиваются им в тексте. Специальные буквенные шрифты и символы (например, буквы греческого алфавита), а также ссылки на рисунки и таблицы выносятся на левое поле при первом их упоминании.
- 8) Единицы измерения должны быть выражены в единицах Международной системы (СИ), при необходимости в скобках после единицы измерения СИ может быть указана размерность в других системах.
- 9) обязательным должны быть аннотации на русском, узбекском и на английском языках

V. Список использованной литературы должен быть оформлен в строгом соответствии с правилами библиографического описания.

VI. Оформление иллюстраций. Все иллюстрации (рисунки, схемы, фотографии) должны быть в отдельном файле, сохраненныевформатеCPT,BMP,CDR,JPG,TIF.Наобороткаждойиллюстрацииуказывается«верх»,номеррисунка,фамилия первого автора и название статьи. Иллюстрации должны быть пронумерованы согласно порядку их следования в тексте.

Подписи к рисункам печатаются на отдельном листе с указанием номера рисунка. В подписях к микрофотографиям указывается увеличение окуляра и объектива.

VII. Оформление таблиц. Каждая таблица печатается на отдельной странице через два интервала, должна иметь название и, при необходимости, подстрочные примечания. Таблицы должны содержать только необходимые данные и представлять собой обобщенные и статистически обработанные материалы исследования.

VIII. Оформление формул. В формулах необходимо размечать:

- строчные и прописные буквы (прописные обозначаются двумя черточками снизу, а строчные – двумя черточками сверху);
- латинские и греческие буквы (латинские обводятся красным, а греческие – синим цветом);
- подстрочные и надстрочные буквы и цифры.

IX. Оформление литературы. В библиографический список вносится не более 10 работ(за исключением обзорных статей), опубликованных за последние 5 лет. На все работы, включенные в библиографический список, в тексте обязательно приводятся ссылки в квадратных скобках!!!. Список литературы составляется в соответствии с ГОСТом «Библиографическое описание документа» и помещается в конце статьи. Библиография составляется строго в алфавитном порядке по фамилии первого автора и в хронологическом, если приводится несколько публикаций одного и того же автора. Названия статей и книг и журналов приводятся на том языке, на котором они были изданы. Перевод на язык представляемой статьи не допускается!!!

X. В списке должны быть приведены: по книгам – фамилия автора (ов) и его инициалы, полное название книги, место и год издания; по журналам, сборникам научных трудов: фамилия автора и его инициалы, название статьи, название журнала или сборника, номер журнала, номер страницы – от и до. В список не включаются диссертации и авторефераты к ним.

Список должен быть тщательно выверен автором.

XI. Направление в редакцию работ уже посланных в другие издания или ранее опубликованных, недопустимо.

XII. Статьи, оформленные не по правилам не рассматриваются.

Содержание

Обзоры

ЗАБОЛЕВАНИЯ ПАРОДОНТА У ЛИЦ ПОЖИЛОГО И СТАРЧЕСКОГО ВОЗРАСТА (ОБЗОР ЛИТЕРАТУРЫ)	
Асадуллаев Н.С., Сафаров М.Т.....	3
СОВРЕМЕННЫЙ ВЗГЛЯД НА ПРОБЛЕМУ ВИРУСНОГО ГЕПАТИТА Е	
Мирзаев У.Х., Рахимова В.Ш., Утегенова С.К., Саматова И.Р., Бригидा К.С.....	7
СОВРЕМЕННОЕ СОСТОЯНИЕ ПРОБЛЕМЫ БРУЦЕЛЛЕЗА	
Миррахимова Н.М., Ахмедова Х.Ю., Рузимурадов М.А., Ибрагимов А.А.....	11
ЗНАЧИМОСТЬ МОЛЕКУЛЯРНО-БИОЛОГИЧЕСКИХ ФАКТОРОВ В ПРОГНОЗИРОВАНИИ ЭФФЕКТИВНОСТИ ТЕРАПИИ ПРИ РАКЕ ТОЛСТОЙ КИШКИ (ОБЗОР ЛИТЕРАТУРЫ)	
Нишанов Д.А., Абдуллаходжаева М.С., Абдужаббаров С.Б., Мадалиев А.А., Хамидов С.Ю.....	15
ВРОЖДЕННЫЕ РАСЩЕЛИНЫ ВЕРХНЕЙ ГУБЫ И НЕБА	
Шамсиев Ж.А., Шамсиев Р.А.....	20

Экспериментальная биология и медицина

ВЗАИМОСВЯЗЬ УРОВНЯ НЕЙРОМЕДИАТОРОВ В ТКАНИ МОЗГА С АКТИВНОСТЬЮ ФЕРМЕНТОВ МЕТАБОЛИЗМА В ПЕЧЕНИ ПРИ ХРОНИЧЕСКОЙ ИНТОКСИКАЦИИ ЭТАНОЛОМ	
Абдуллаева М.И., Иноярова Ф.Х., Сафарова С.Ч.....	27
ДИНАМИКА РАЗВИТИЯ СОСУДОВ НИЖНЕЙ КОНЕЧНОСТИ В УСЛОВИЯХ ТРАВМЫ И НА ФОНЕ ЭКСПЕРИМЕНТАЛЬНОГО САХАРНОГО ДИАБЕТА	
Миршарапов У.М., Сагдуллаева М.К., Каттаходжаева Д.У.....	30

Клиническая медицина

РОЛЬ МУЛЬТИСПИРАЛЬНОЙ КОМПЬЮТЕРНОЙ ТОМОГРАФИИ В РАННЕЙ ДИАГНОСТИКЕ ИНФРАВЕЗИКАЛЬНОЙ ОБСТРУКЦИИ У ДЕТЕЙ	
Акилов Х.А., Хаккулов Э.Б., Пайзиев Х.М.....	33
ИММУНОГИСТОХИМИЧЕСКАЯ ОЦЕНКА БЕЛКА Р 53 И БЕЛКОВ СЕМЕЙСТВА BCL2 У ДЕТЕЙ С ЦЕЛИАКИЕЙ, АССОЦИИРОВАННОЙ С ДЕФИЦИТОМ И НЕДОСТАТКОМ ВИТАМИНА Д	
Алиева Н.Р.....	36
ПРАКТИЧЕСКИЕ АСПЕКТЫ ОЦЕНКИ КОНТРОЛЯ КАЧЕСТВА ЛЕЧЕНИЯ ЗАБОЛЕВАНИЙ ПАРОДОНТА В МНОГОПРОФИЛЬНОЙ КЛИНИКЕ	
Гафуров Г.А., Ризаев Ж.А.....	39
ИЗМЕНЕНИЯ КЛИНИКО-ФУНКЦИОНАЛЬНЫХ ПОКАЗАТЕЛЕЙ ОРГАНА ЗРЕНИЯ В ПРОЦЕССЕ КОМБИНИРОВАННОГО ЛЕЧЕНИЯ ПАЦИЕНТОВ С НЕПРОЛИФЕРАТИВНОЙ ДИАБЕТИЧЕСКОЙ РЕТИНОПАТИЕЙ	
Журабекова А.З., Кангилаева Г.Э.....	44
НЕЙРОДЕГЕНЕРАТИВНЫЕ ПРОЯВЛЕНИЯ В ГОЛОВНОМ МОЗГЕ У ЛЮДЕЙ ПРИ СМЕРTELЬНОЙ КРОВОПОТЕРЕ	
Индиаминов С.И.....	48
ПОКАЗАТЕЛИ СИНДРОМА ЦИТОЛИЗА И ХОЛЕСТАЗА У БОЛЬНЫХ С АРТЕРИАЛЬНОЙ ГИПЕРТЕНЗИЕЙ НА ФОНЕ ПРИМЕНЕНИЯ ГИПОТЕНЗИВНЫХ ПРЕПАРАТОВ	
Иноярова Ф.Х., Хайитов М.С.....	51
ВЛИЯНИЕ АНЕМИЧЕСКОГО СИНДРОМА И ПОРАЖЕНИЯ ГАСТРОДУОДЕНАЛЬНОЙ ЗОНЫ НА КЛИНИЧЕСКИЕ ХАРАКТЕРИСТИКИ БОЛЬНЫХ РЕВМАТОИДНЫМ АРТРИТОМ (ПО ДАННЫМ РЕТРОСПЕКТИВНОГО ИССЛЕДОВАНИЯ)	
Каримов М.Ш., Эшмурзаева А.А., Сибиркина М.В.....	56
СИМУЛЬТАННЫЕ ОПЕРАЦИИ У БОЛЬНЫХ С ОПУХОЛЯМИ НАДПОЧЕЧНИКОВ	
Каримов Ш.И., Беркинов У.Б., Сахибоев Д.П., Ирназаров А.А., Тажиев С.З.....	60

ПЕРВЫЙ ОПЫТ ЛАПАРОСКОПИЧЕСКОЙ ЛИКВИДАЦИИ ДИАСТАЗА ПРЯМЫХ МЫШЦ ЖИВОТА В РЕСПУБЛИКЕ УЗБЕКИСТАН	
Каримов Ш.И., Хакимов М.Ш., Беркинов У.Б., Саттаров О.Т., Холматов Ш.Т.	63
СРАВНИТЕЛЬНАЯ ОЦЕНКА ЭФФЕКТИВНОСТИ ПРЕПАРАТА ПАЛЛАДА ПРИ ЛЕЧЕНИИ АЛЛЕРГИЧЕСКИХ КОНЬЮНКТИВИТОВ	
Кодирова Ш.Р., Нарзикулова К.И., Исламова Ф.К.....	66
КЛИНИКО-МИКРОБИОЛОГИЧЕСКИЕ ОСОБЕННОСТИ АЛЛЕРГОДЕРМАТОЗОВ В ЗАВИСИМОСТИ ОТ ПОЛОВОЙ ПРИНАДЛЕЖНОСТИ	
Мавлянова Ш.З., Тешабаева Д.А., Боймирзаев Н.И.....	69
ИНФОРМАТИВНОСТЬ ЛУЧЕВЫХ МЕТОДОВ В ДИАГНОСТИКЕ ТУБЕРКУЛЕЗНОГО СПОНДИЛИТА, СОЧЕТАННОГО С ТУБЕРКУЛЕЗОМ ЛЕГКИХ И ОСЛОЖНЕННОГО НЕВРОЛОГИЧЕСКИМИ РАССТРОЙСТВАМИ	
Махмудова З.П.....	72
СРАВНИТЕЛЬНАЯ ОЦЕНКА ЭФФЕКТИВНОСТИ АНТИБАКТЕРИАЛЬНЫХ ПРЕПАРАТОВ ЛЕВОКСИМЕД И ТОБРАМИЦИН В ПРОФИЛАКТИКЕ ПОСЛЕОПЕРАЦИОННЫХ ОСЛОЖНЕНИЙ ПРИ ЭКСТРАКАПСУЛЯРНОЙ ЭКСТРАКЦИИ КАТАРАКТЫ	
Миррахимова С.Ш., Нигматжанова Н.Б.....	75
КЛИНИЧЕСКИЕ ОСОБЕННОСТИ И ХАРАКТЕР ТЕЧЕНИЯ ПНЕВМОЦИСТНОЙ ПНЕВМОНИИ В СОЧЕТАНИИ С ОРОФАРЕНГИАЛЬНЫМ КАНДИДОЗОМ У ПАЦИЕНТОВ С ВИЧ-ИНФЕКЦИЕЙ	
Мустафаева Д.А., Атабеков Н.С., Аслонов М.Н.....	78
ЭФФЕКТИВНОСТЬ ПРИМЕНЕНИЯ ЛИРАГЛУТИДА (ГЛЮКАГОНОПОДОБНОГО ПЕПТИДА-1) В ЛЕЧЕНИИ БОЛЬНЫХ САХАРНЫМ ДИАБЕТОМ 2-ГО ТИПА	
Нажмутдинова Д.К., Урунбаева Д.А., Содыкова Н.Ф., Нуралиев И.И., Рахимбердиева З.А., Худойберганова Ш.Б.....	81
ОТДАЛЕННЫЕ РЕЗУЛЬТАТЫ ЭНДОСКОПИЧЕСКИХ ВМЕШАТЕЛЬСТВ В ПРОФИЛАКТИКЕ РЕЦИДИВА КРОВОТЕЧЕНИЙ ПОРТАЛЬНОГО ГЕНЕЗА	
Назыров Ф.Г., Девятов А.В., Бабаджанов А.Х., Джуманиязов Д.А.....	84
ПРИЧИНЫ ГЕНЕРАЛИЗАЦИИ ИНФЕКЦИИ У БОЛЬНЫХ С ГНОЙНО-ВОСПАЛИТЕЛЬНЫМИ ЗАБОЛЕВАНИЯМИ МЯГКИХ ТКАНЕЙ НА ФОНЕ САХАРНОГО ДИАБЕТА	
Охунов А.О., Бабаджанов Б.Д., Пулатов У.И., Косимов У.К., Султанов Н.Х.	89
АТОПИК ДЕРМАТИТЛИ БОЛАЛАРДАГИ СУРУНКАЛИ ГЛОМЕРУЛОНЕФРИТДА ИММУНОПАТОЛОГИК СИЛЖИШЛАР ХУСУСИЯТИ	
Рахманова Л.К., Каримова У.Н., Рахманов А.М.....	94
ОЦЕНКА ЭФФЕКТИВНОСТИ КОНСЕРВАТИВНОГО ЛЕЧЕНИЯ КИШЕЧНОГО БИОЦЕНОЗА У ДЕТЕЙ С ХРОНИЧЕСКИМ КОЛОСТАЗОМ	
Сайдов Ф.Х., Акилов Х.А., Мухамеджанова Н.Н.....	97
ВЛИЯНИЕ ГЛИКОЗАМИНОГЛИКАНОВ (СУЛОДЕКСИД «VESSEL DUE F») НА ТЕЧЕНИЕ ДИАБЕТИЧЕСКОЙ НЕФРОПАТИИ НА СТАДИИ МИКРОАЛЬБУМИНУРИИ У БОЛЬНЫХ САХАРНЫМ ДИАБЕТОМ 2-ГО ТИПА	
Салихова И.С., Муродова С.М.....	101
РАЦИОНАЛЬНОЕ ДОЗИРОВАНИЕ И МОНИТОРИНГ ЛЕКАРСТВЕННЫХ СРЕДСТВ ПРИ ЭПИЛЕПСИИ У ДЕТЕЙ	
Самадов Ф.Н.....	104
РЕЗУЛЬТАТЫ ВИДЕОЭНДОСКОПИЧЕСКОЙ АДРЕНАЛЭКТОМИИ У БОЛЬНЫХ С ДОБРОКАЧЕСТВЕННЫМИ ОПУХОЛЯМИ НАДПОЧЕЧНИКОВ БОЛЬШИХ РАЗМЕРОВ	
Сахибоев Д.П.....	108
СОСТОЯНИЕ ГЕМОДИНАМИКИ ВО ВРЕМЯ СПИНАЛЬНОЙ И ЭПИДУРАЛЬНОЙ АНЕСТЕЗИИ У ПАЦИЕНТОК С ПОВЫШЕННЫМ ИНДЕКСОМ МАССЫ ТЕЛА ПРИ АБДОМИНАЛЬНОМ РОДОРАЗРЕШЕНИИ	
Семенихин А.А., Матлубов М.М., Ким Е.Д., Абидов А.К.....	111

ОСОБЕННОСТИ ХИРУРГИЧЕСКОГО ЛЕЧЕНИЯ ПОСЛЕОПЕРАЦИОННЫХ ВЕНТРАЛЬНЫХ ГРЫЖ У БОЛЬНЫХ С ОТВИСЛЫМ ЖИВОТОМ

Тешаев О.Р., Хайитов И.Б., Мавлянов О.Р.....114

АЛЬЦГЕЙМЕР КАСАЛЛИГИНИ (АК) ЭРТА ТАШХИСОТИДА ДЕГИДРОЭПИАНДРОСТЕРОН-СУЛЬФАТ РОЛИНИ АНИҚЛАШ

Толибов Д.С., Махмудов А.Т118

КАРТИНА ГЕМОСТАЗА В РАЗЛИЧНЫЕ ПЕРИОДЫ ГЕМОРРАГИЧЕСКОГО ИНСУЛЬТА У ДЕТЕЙ

Туляганова Н.М., Сайдазизова Ш.Х., Назарова С.О.....120

ОСОБЕННОСТИ ДИАГНОСТИКИ И ДИФФЕРЕНЦИАЛЬНОЙ ДИАГНОСТИКИ ТУБЕРКУЛЕЗНОЙ ЛИМФАДЕНОПАТИИ

Файзуллаева Д.Б., Тилляшайхов М.Н., Хакимов М.А.....124

АНАЛИЗ АМБУЛАТОРНО-ПОЛИКЛИНИЧЕСКОЙ ПОМОЩИ БОЛЬНЫМ САХАРНЫМ ДИАБЕТОМ

Шагазатова Б.Х., Кенжаева Д.И., Мирахмедова С.А.....128

Гигиена, санитария и эпидемиология

АҲОЛИ ЁШ ГУРУҲЛАРИ ТАРКИБИ ЎЗГАРИШИНинг ДЕМОГРАФИК, ТИББИЙ-ИЖТИМОИЙ ВА ИҚТИСОДИЙ ОҚИБАТЛАРИ

Исоқов Э.З., Мамаризаев Х.О.....130

МЕДИКО-БИОЛОГИЧЕСКАЯ ОЦЕНКА РАСТИТЕЛЬНОГО СЫРЬЯ – ПОБЕГОВ МАША «MUNGOLTIN»

Шайхова Г.И., Акназарова Д.Б., Турсунова Н.А., Шайхова М.А., Муминджанова Г.Т.....133

В помощь практическому врачу

ПРИМЕНЕНИЕ ТРОМБОЛИЗИСА ПРИ ИНСУЛЬТЕ

Акбарходжаева З.А., Рахимбаева Г.С.....137

Трибуна молодых

ПРИНЦИПЫ ДИАГНОСТИКИ И ХИРУРГИЧЕСКОГО ЛЕЧЕНИЯ ВНЕГОНАДНЫХ ГЕРМИНОГЕННЫХ ОПУХОЛЕЙ СРЕДОСТЕНИЯ

Мадиёров Б.Т.....141

БЕЗОПАСНЫЙ И ЭФФЕКТИВНЫЙ МЕТОД КОНТРАЦЕПЦИИ ЖЕНЩИН С ПРОЛАПСОМ ГЕНИТАЛИЙ

Насимова Н.Р.....145

МОЛЕКУЛЯРНО-ГЕНЕТИЧЕСКИЕ МЕХАНИЗМЫ РАЗВИТИЯ ТРОМБОФИЛИИ У БОЛЬНЫХ САХАРНЫМ ДИАБЕТОМ

Турсунов Д.Х., Эргашова Ш.К., Икрамов А.Ш.....148

ASSESSMENT OF HEMODYNAMIC PARAMETERS IN PATIENTS WITH CHRONIC KIDNEY DISEASE

Saipova D.S., Ruzmetova I.A., Egamberdieva D.A.....152

ВЕСТНИК ТАШКЕНТСКОЙ МЕДИЦИНСКОЙ АКАДЕМИИ

IV

2016

Выпуск набран и сверстан на компьютерном издательском комплексе
редакционно-издательского отдела Ташкентской медицинской академии

Начальник отдела: М. Н. Аслонов

Редактор русского текста : О.А. Козлова

Редактор узбекского языка: М.Ф. Файзиева

Редактор английского текста: Х.А.Расулова

Редактор-дизайнер: Ш.П. Аширова

С. Э. Тураева

Компьютерная корректура: З.Т. Алюшева

Учредитель: Ташкентская медицинская академия

**Издание зарегистрировано в Ташкентском Городском управлении печати
и информации**

Регистрационное свидетельство 02-00128

**Журнал внесен в список, утвержденный приказом № 201/3 от 30 декабря 2013года
реестром ВАК в раздел медицинских наук**

Рукописи, оформленные в соответствии с прилагаемыми правилами, просим направлять по адресу:

100109, Ташкент, ул. Фароби, 2, Главный учебный корпус ТМА, 4-й этаж, комната 444.

Контактный телефон: 214 90 64

e-mail: rio-tma@mail.ru

rio@tma.uz

Формат 60x84 1/8. Усл. печ. л. 9,75.

Гарнитура «Cambria».

Тираж 150.

Цена договорная.

Отпечатано на ризографе редакционно-издательского отдела ТМА.

100109, Ташкент, ул. Фароби, 2.